

Université de Montréal

**Préhistoire de la Moyenne-Côte-Nord :
Le chert de la Minganie et l'utilisation des ressources lithiques**

par
Jean-Christophe Ouellet

Département d'anthropologie
Faculté des arts et des sciences

Mémoire présenté à la Faculté des études supérieures
en vue de l'obtention du grade de Maître ès Science
en anthropologie

Mai 2010

© Jean-Christophe Ouellet, 2010

Université de Montréal
Faculté des études supérieures et postdoctorales

Ce mémoire intitulé :

Préhistoire de la Moyenne-Côte-Nord : le chert de la Minganie
et l'utilisation des ressources lithiques

Présenté par :
Jean-Christophe Ouellet

a été évalué par un jury composé des personnes suivantes :

Brad Loewen, président-rapporteur
Adrian L. Burke, directeur de recherche
Claude Chapdelaine, membre du jury

Résumé

Ce mémoire traite de l'utilisation des matières premières lithiques telle que représentée sur les sites préhistoriques de la Moyenne-Côte-Nord du Golfe du Saint-Laurent, au Québec. Cette étude régionale se base sur la réanalyse d'un nombre important de collections archéologiques et accorde une grande importance à l'identification et à la description des matières premières utilisées. Un matériau d'origine locale, *le Chert de la Minganie*, y occupe une place particulière. L'importance de ce matériau pour la préhistoire régionale était jusqu'ici virtuellement inconnue.

Suite à nos analyses, un inventaire complet des matières premières utilisées est mis sur pied. Ces données mettent en évidence un certain nombre de comportements. Principalement, nous identifions deux ensembles qui illustrent la présence de territoires attribuables à la répartition de groupes amérindiens subrégionaux (bandes). Finalement, à travers l'utilisation des ressources lithiques, les liens qui rattachent les groupes de notre région d'étude à ceux de la péninsule du Québec-Labrador sont illustrés.

Mots-clés : Préhistoire, matières premières lithiques, technologie lithique, pétroarchéologie, territoires, Chert de la Minganie, Moyenne-Côte-Nord.

Abstract

This thesis deals with lithic raw material use as evidenced on prehistoric sites from the middle North Shore of the Saint Lawrence River, Quebec. This regional study is based on the reanalysis of a large number of archaeological collections and places central importance on the identification and description of the varieties of lithics that were used. A specific material of local origin, *Mingan chert*, occupies a special place in this study. The importance of this material for regional prehistory has remained, until now, poorly understood.

As a result of our analyses, a full inventory of the lithic varieties used on these sites is presented and permits us to illustrate certain prehistoric behaviours. Principally, we identify two sets of sites which correspond to the presence of subregional aboriginal groups (bands). Finally, raw material use demonstrates social and exchange ties that link the groups of our study area to those of the broader region of the Quebec-Labrador peninsula.

Keywords : Prehistory, lithic raw materials, lithic technology, petrographic analysis, territories, *Mingan Chert*, middle North Shore of the Saint Lawrence.

Table des matières

Introduction	1
Chapitre 1 : Problématique	6
1.1- La Moyenne-Côte-Nord du Saint-Laurent	6
1.2- Objectifs de recherche	8
1.3- Volet pétroarchéologique	10
1.4- Volet technologique	15
Chapitre 2 : Méthodologie	21
2.1- Inventaire et sélection des sites archéologiques	21
2.2- Analyse de la culture matérielle	23
2.2.1- Le volet technologique	24
2.2.1.1-Analyse du débitage	25
2.2.1.2- L'analyse des outils	30
2.2.1.2.1- Les outils bifaciaux	32
2.2.1.2.2- L'analyse des outils sur éclats	34
2.2.1.2.3- L'analyse des nucléus	36
2.2.2- Le volet pétroarchéologique	38
2.2.2.1-La description des matières premières lithiques	41
2.2.2.1.1-Les attributs retenus pour la description	41
2.2.2.2- Détermination de la provenance et les collections de références	44
Chapitre 3 : Présentation de la région d'étude	46
3.1- Présentation générale	46
3.1.1- Le milieu physique	46
3.1.2- Évolution du paysage; un aperçu	47
3.1.3- Géologie générale	49
3.1.4- Les populations en place	49
3.2- Le volet archéologique	50
3.2.1- Historique des recherches	50
3.2.2- La structure et la nature des interventions	53
3.2.3- Aperçu de l'histoire culturelle de la Moyenne-Côte-Nord	56
3.2.4- Présentation des données par « secteurs archéologiques »	61
3.2.4.1- Le secteur archéologique de Sheldrake/Rivière-au-Tonnerre/Longue-Pointe de Mingan	61
3.2.4.2- Secteur archéologique de l'archipel de la Minganie	64
3.2.4.3- Secteur archéologique de Mingan	68
3.2.4.4- Secteur archéologique de l'embouchure de la rivière Romaine et de Havre-Saint-Pierre	72
3.2.4.5- Le secteur archéologique du cours intérieur de la rivière Romaine	76

3.2.4.6- Le secteur archéologique des Betchouanes.....	77
3.2.4.7- Secteur archéologique des rivières Corneille, Piashti et Watshishou.....	80
3.2.4.8- Secteur archéologique d'Aguanish-Natashquan	83
3.2.4.9- Secteur archéologique de la région de Kégashka.....	86
Chapitre 4: Le potentiel lithique et l'étude des réseaux d'approvisionnement.....	92
4.1- L'approvisionnement en matières premières lithiques.....	92
4.1.2- Les matières premières lithiques disponibles à l'intérieur de la région d'étude.....	93
4.1.2.1- Le Chert de la Minganie	95
4.1.2.1.1- La prospection géologique effectuée	100
4.1.2.1.1.1- Le lac de la Carrière	101
4.1.2.1.1.2- La pointe aux Morts	105
4.1.2.1.1.3- La pointe du Sauvage.....	107
4.1.2.1.1.4- La Grande Pointe.....	107
4.1.2.1.2- Description détaillée du chert de la Minganie.....	109
4.1.2.1.2.1- La roche encaissante	109
4.1.2.1.2.2- Le chert (description macroscopique)	109
4.1.2.1.2.3- Description microscopique.....	111
4.1.2.2- Les matières premières disponibles dans le Bouclier	115
4.1.2.2.1- La Crête blanche et le « quartzite EbCp ».....	116
4.1.3- Les réseaux d'approvisionnement de matériaux lithiques des régions avoisinantes	119
4.1.3.1- La Basse-Côte-Nord.....	119
4.1.3.1.1- Les réseaux d'approvisionnement lithiques en Basse-Côte-Nord à travers le temps..	120
4.1.3.2- La Haute-Côte-Nord	123
4.1.3.3- Les ressources lithiques de la côte et de l'intérieur au Labrador	125
4.1.3.4- La fosse du Labrador	128
4.1.3.5- Les cherts originaires de la région de Terre-Neuve	129
4.1.3.6- Le quartzite de Mistassini	129
Chapitre 5 : Présentation des résultats.....	131
5.1- Présentation générale des résultats	132
5.2- Le chert de la Minganie.....	140
5.2.1- Le chert de la Minganie : Les sites de transformation initiale.....	144
5.2.1.1- Le site EbCt-002 : un atelier de taille sur l'archipel de la Minganie.....	144
5.2.1.1.1- EbCt-002, L'assemblage de débitage en chert de la Minganie	146
5.2.1.1.2- EbCt-002, l'assemblage des outils en chert de la Minganie.....	156
5.2.1.1.2- Les autres matériaux	163

5.2.1.2- Le site EbCv-015 de Havre-Saint-Pierre.....	164
5.2.1.3- Le site EbCu-002	169
5.2.1.4- Conclusions à propos des sites de transformation initiale.....	173
5.2.2- Le chert de la Minganie : de la source à la périphérie.....	177
Chapitre 6- Les autres matériaux représentés.....	193
6.1- Le quartzite EbCp.	193
6.1.1- L’atelier de la Baie Ponbriand, le site EbCp-002.	196
6.1.2- La distribution du « quartzite EbCp » à l’échelle régionale	204
6.2- Le « quartzite Noui ».....	215
6.3- Le quartzite de Ramah	224
6.4- Les autres matériaux et la question de la provenance	230
6.4.1- Le chert mauve ou chert « Saunders ».....	233
6.4.2- Chert marbré gris-beige-mauve	234
6.4.3- Le chert brun carbonaté.....	236
6.4.4- Le chert vert lustré.....	237
6.4.5- Le « quartzite fin de Kégashka ».....	238
6.4.6- Le chert rhyolitique noir.....	240
6.5- Limitations dans les données.....	246
6.6- Conclusion de la présentation des résultats.....	251
Chapitre 7 : Interprétations.....	254
7.1- Données et modèles ethnographiques	254
7.2- Données et modèles archéologiques.....	260
7.3- La provenance des matériaux.....	272
7.4-Organisation de la technologie lithique.....	276
7.4.1- Le chert de la Minganie et les matériaux de provenance locale/régionale	276
7.4.2- Les matériaux exotiques.....	278
Conclusion	282
Bibliographie.....	292
Annexes.....	xvi

Liste des tableaux

Tableau I : Nombre de sites préhistoriques par secteur archéologique	53
Tableau II : Nombre de sites en fonction du type d'intervention	54
Tableau III : Nombre de sites par catégorie de nombre d'artéfacts lithiques selon l'ISAQ	54
Tableau IV : Datations radiocarbone disponibles pour la région d'étude	56
Tableau V : Sites archéologiques du secteur de Sheldrake/Rivière-au-Tonnerre/Longue-Pointe de Mingan...	63
Tableau VI : Sites archéologiques du secteur de l'archipel de la Minganie	65
Tableau VII : Sites archéologiques du secteur de Mingan	69
Tableau VIII : Sites archéologiques du secteur du delta de la Romaine et de Havre-Saint-Pierre	73
Tableau IX : Sites archéologiques du secteur du cours intérieur de la rivière Romaine	77
Tableau X : Sites archéologiques du secteur des Betchouanes	78
Tableau XI : Sites archéologiques du secteur des rivières Corneille, Piashti et Watshishou	81
Tableau XII : Sites archéologiques du secteur d'Aguanish-Natashquan	86
Tableau XIII : Sites archéologiques du secteur de Kégashka	87
Tableau XIV : Tableau synthèse; nombre de sites analysés et d'éléments analysés par secteur archéologique	91
Tableau XV : Occurrences parmi les affleurements du chert de Mingan	98
Tableau XVI : Descriptions disponibles du chert de la Minganie dans la littérature géologique et archéologique	100
Tableau XVII : Dimensions générales des nodules de chert de la Minganie récupérés	110
Tableau XVIII : Tableau synthèse des caractéristiques du chert de la Minganie	114
Tableau XIX : Répartition des éléments analysés par secteur archéologique	132
Tableau XX : Distribution des variétés de matériaux par type de matériau	135
Tableau XXI : Représentation des différentes catégories de matériau parmi les assemblages du débitage et de l'outillage	136
Tableau XXII : Représentation des variétés de matériaux pour les assemblages de débitage et d'outillage de tous les sites analysés	138
Tableau XXIII : Représentation du chert de la Minganie par secteur archéologique	141
Tableau XXIV : EbCt-002, représentation des différents matériaux parmi les éléments de débitage	146
Tableau XXV : EbCt-002, zone 1b, représentation des différentes stratégies de réduction par secteur	149
Tableau XXVI: EbCt-002, zone 2. Représentation des matériaux parmi le débitage	155
Tableau XXVII : EbCt-002, zone 1b, distribution des différents matériaux au sein de l'outillage	156
Tableau XXVIII : EbCt-002, zone 1b; distribution des types d'outils par secteur	157
Tableau XXIX : EbCt-002, zone 1b, dimensions générales des différents stades de production des pièces bifaciales	159
Tableau XXX : EbCt-002, zone 1b, dimensions générales des outils sur éclats	160

Tableau XXXI : Dimensions générales des nucléus récupérés sur le site EbCt-002 (N=50).....	161
Tableau XXXII : Représentation des outils avec cortex par catégorie fonctionnelle.....	162
Tableau XXXIII : EbCv-015, distribution des éléments de débitage par matériau.....	165
Tableau XXXIV : EbCv-015, représentation des différents types de réduction.....	167
Tableau XXXV : EbCv-015, dimensions générales des nucléus en chert de la Minganie.....	168
Tableau XXXVI : EbCv-015, représentation des différents types d'outils.....	169
Tableau XXXVII : EbCu-002; représentation des stratégies de réduction.....	172
Tableau XXXVIII : Caractéristiques des assemblages d'outils des sites de transformation initiale du chert de la Minganie.....	174
Tableau XXXIX : Chert de la Minganie, caractéristiques des assemblages de débitage des sites de transformation initiale.....	176
Tableau XL : Représentation des différentes catégories d'outils pour le chert de la Minganie.....	186
Tableau XLI : Représentation des différentes catégories fonctionnelles parmi les outils en chert de la Minganie.....	187
Tableau XLII : Poids moyen des outils complets en chert de la Minganie.....	188
Tableau XLIII : EbCp-002, zone 1, représentation des matières premières pour le débitage.....	197
Tableau XLIV : EbCp-002, zone 2, représentation des matières premières pour le débitage.....	198
Tableau XLV : Représentation des matières premières parmi l'outillage des zones 1 et 2 du site EbCp-002.....	201
Tableau XLVI : EbCp-002 zone 1 et 2, catégories fonctionnelles des outils taillés en « quartzite EbCp ».....	202
Tableau XLVII : EbCp-002 zone 1 et 2, caractéristiques morphométriques des pièces bifaciales.....	202
Tableau XLVIII : Site EbCp-002, caractéristiques morphométriques des outils unifaciaux et sur éclats du site EbCp-002.....	203
Tableau XLIX : EbCp-002 zone 1 et 2 dimensions générales des nucléus de « quartzite EbCp » (N=8).....	204
Tableau L : Représentation du « quartzite EbCp » par secteur archéologique.....	205
Tableau LI : dimensions des nucléus de « quartzite EbCp » du secteur archéologique de Mingan.....	211
Tableau LII : Représentation des différentes catégories d'outils analysés en « quartzite EbCp ».....	214
Tableau LIII : « Quartzite EbCp », poids moyen outils par catégorie fonctionnelle.....	215
Tableau LIV : Représentation du « quartzite Noui » par secteur archéologique.....	216
Tableau LV : Représentation des catégories types d'outils en « quartzite Noui ».....	223
Tableau LVI : Poids moyen des différents types d'outils confectionnés en « quartzite Noui ».....	223
Tableau LVII : Représentation du quartzite de Ramah par secteurs archéologiques.....	226
Tableau LVIII : Représentation des catégories fonctionnelles des outils en quartzite de Ramah.....	229
Tableau LIX : Poids moyen des outils complets en quartzite de Ramah.....	230
Tableau LX : Représentation des différents types de matériaux.....	231
Tableau LXI : Échantillons similaires et détermination de la provenance de certains matériaux.....	232

Tableau LXII : Distribution des éléments en chert mauve par secteur archéologique	234
Tableau LXIII : Distribution des éléments de Chert marbré gris-beige-mauve par secteur archéologique.....	235
Tableau LXIV : Distribution des éléments de chert brun carbonaté par secteurs archéologiques	236
Tableau LXV : Distribution des éléments en chert vert lustré par secteurs archéologiques	238
Tableau LXVI : Distribution des éléments de quartzite fin de Kégashka par secteurs archéologiques	239
Tableau LXVII : Distribution des éléments en chert noir rhyolitique par secteur archéologique	241
Tableau LXVIII : Comparaison de deux variables pour les assemblages de matériaux exotiques et de matériaux dits « régionaux ».....	244
Tableau LXIX: Inventaire des sites préhistoriques répertoriés à l'intérieur de la région d'étude.	xvi
Tableau LXX: Inventaire des matériaux répertoriés	xxii
Tableau LXXI: Définition du code de couleur.....	xvi
Tableau LXXII: Description des échantillons récupérés lors de nos prospections géologiques	xvi
Tableau LXXIII: Assemblages de débitage de chert de la Minganie	xvii
Tableau LXXIV: Assemblages de débitage de quartzite EbCp.....	xviii
Tableau LXXV: Assemblages de débitage de quartzite Noui.....	xix
Tableau LXXVI: Assemblages de débitage de quartzite de Ramah.....	xx
Tableau LXXVII: Catalogue de débitage par matériaux pour le secteur archéologique de la rivière au Tonnerre	xxi
Tableau LXXVIII: Catalogue de débitage par matériaux pour le secteur archéologique de Mingan.....	xxii
Tableau LXXIX: Catalogue de débitage par matériaux pour le secteur archéologique de l'archipel	xxiv
Tableau LXXX: Catalogue de débitage par matériaux pour le secteur archéologique de Havre-Saint-Pierre ..	xxv
Tableau LXXXI: Catalogue de débitage par matériaux pour le secteur archéologique de la rivière Romaine (cours intérieur)	xxvii
Tableau LXXXII: Catalogue de débitage par matériaux pour le secteur archéologique des Betchouanes .	xxviii
Tableau LXXXIII: Catalogue de débitage par matériaux pour le secteur archéologique des rivières Piashti, Watshishou et Corneille.....	xxix
Tableau LXXXIV: Catalogue de débitage par matériaux pour le secteur archéologique d'Aguanish et Natashquan	xxxii
Tableau LXXXV: Catalogue de débitage par matériaux pour le secteur archéologique de Kégashka	xxxiii
Tableau LXXXVI: Catalogue des outils analysés.....	xxxv

Liste des figures

Figure 1 : Localisation de l'aire d'étude.....	7
Figure 2 : Stades de réduction et types d'éclats selon Magne (tiré de Magne 1985 : p.127)	28
Figure 3 : Courbe d'émersion de la Moyenne-Côte-Nord (Selon Bigras et Dionne 1987)	48
Figure 4 : Cadre chronologique régional.....	60
Figure 5 : Localisation générale des sites et secteurs archéologiques	62
Figure 6 : Secteur archéologique de Rivière-au-Tonnerre	64
Figure 7 : Secteur archéologique de l'archipel.....	67
Figure 8: Secteur archéologique de Mingan.....	71
Figure 9: Secteur archéologique de l'embouchure de la rivière Romaine et de Havre-Saint-Pierre	75
Figure 10 : Secteur archéologique du cours intérieur de la rivière Romaine	76
Figure 11: Secteur archéologique des Betchouanes	80
Figure 12 : Secteur archéologique des rivières Corneille, Piashti-Watshishou.....	82
Figure 13 : Secteur archéologique d'Aguanish-Natashquan	85
Figure 14 : Secteur archéologique de Kégashka	89
Figure 15 : Distribution des membres constituant des formations de Romaine et de Mingan (tirée de Desrochers 1988 : p.6).....	96
Figure 16 : Localisations des formations de Romaine et de Mingan et identifications des zones d'affleurement visitées par l'auteur.....	102
Figure 17 : Présentation des unités géologiques à la localité du lac de la Carrière	104
Figure 18 : Nodules de chert à l'intérieur de la roche encaissante (dolomie).....	105
Figure 19 : Présentation de la formation de Romaine à la localité de la coulée à Paul	106
Figure 20 : Nodules de chert de la Minganie, échantillons #26 et #16.....	107
Figure 21 : Vacuoles dans la matrice de quartz micro et cryptocristallin comblée par des cristaux de quartz grenu.	112
Figure 22 : Concentration de calcédoine sphérulitique	113
Figure 23 : La Crête blanche et son environnement immédiat (vue vers le sud et le golfe Saint-Laurent).....	117
Figure 24 : Bloc massif de quartzite de type « quartzite EbCp »	118
Figure 25 : Sites archéologiques analysés.....	134
Figure 26 : Aire d'affleurement du chert de la Minganie et sites de transformation initiale du chert de la Minganie.....	143
Figure 27 : EbCt-002 zone 1, plan du site et échantillonnage	145
Figure 28 : EbCt-002, zone 1b, représentation des classes de superficie pour le débitage (% du nombre total)	147
Figure 29 : EbCt-002, zone 1b, représentation des classes de superficie pour le débitage (% poids total).....	148

Figure 30 : EbCt-002, zone 1b, distribution des stades de réduction pour le débitage du secteur est	151
Figure 31 : EbCt-002, distribution des stades de réduction pour le débitage du secteur ouest.....	151
Figure 32 : Plan du site EbCv-015, nombre d'éclats par quadrants et échantillonnage	165
Figure 33 : EbCv-015, distribution des stades de réduction pour le chert de la Minganie	166
Figure 34 : EbCu-002; représentation des différentes classes de dimensions (% du nombre).	171
Figure 35 : EbCu-002, représentation des stades de réduction en fonction du décompte des facettes de la plateforme du talon (N.facettes) et des cicatrices dorsales (N.cicatrices).....	172
Figure 36 : Distribution des sites présentant des assemblages de débitage en chert de la Minganie.....	179
Figure 37 : Représentation du chert de la Minganie en relation avec l'éloignement de la source.....	180
Figure 38 : représentation des outils en chert de la Minganie	182
Figure 39 : Représentation des nucléus parmi les assemblages d'outils en chert de la Minganie.....	182
Figure 40 : Chert de la Minganie, représentation des éléments corticaux parmi les éléments de débitage.	183
Figure 41 : Représentation des outils avec surfaces corticales pour le chert de la Minganie.	184
Figure 42 : Poids moyen des éléments de débitage en chert de la Minganie	184
Figure 43: Distribution des poids moyens pour la catégorie des bifaces et des outils sur éclats par site	185
Figure 44 : Coefficient de fractionnement pour le chert de la Minganie.....	186
Figure 45 : Représentation du chert de la Minganie pour les assemblages de débitage, en fonction du système de bornes kilométriques.....	191
Figure 46: Quartzite EbCp, nucléus EbCp002.255 provenant du site EbCp-002.....	195
Figure 47 : EbCp-002 zones 1 et 2, distribution des classes de dimension « quartzite EbCp » (% nombre) ..	199
Figure 48 : EbCp-002 zone 1 et 2, représentation des stades de réduction	200
Figure 49 : distribution des sites qui présentent des assemblages de débitage de « quartzite EbCp »	206
Figure 50: Représentation du « quartzite EbCp » pour le débitage.....	207
Figure 51: Représentation du quartzite EbCp pour l'outillage.....	207
Figure 52: Poids moyen des éléments de débitage complets pour le « quartzite EbCp ».....	209
Figure 53 : Coefficient de fractionnement du « quartzite EbCp ».....	210
Figure 54 : Nombre de nucléus en quartzite EbCp par site	211
Figure 55 : Poids moyen des bifaces complets en « quartzite EbCp » par site.....	212
Figure 56: quartzite Noui, nucléus EbDa004.023 provenant du site EbDa-004.....	216
Figure 57 : Carte de distribution des sites avec assemblage de « quartzite Noui »	218
Figure 58 : Représentation du quartzite Noui à l'échelle de l'aire d'étude.	219
Figure 59: Représentation des stades avancés de réduction pour le « quartzite Noui »	220
Figure 60 : Représentation des outils en quartzite Noui sur les sites de l'aire d'étude	221
Figure 61 : Distribution des sites avec assemblage de débitage de « Quartzite de Ramah »	225
Figure 62 : représentation du quartzite de Ramah par secteurs pour le débitage et l'outillage	226

Figure 63 : Quartzite de Ramah; % poids des éléments de débitage.....	227
Figure 64 : Représentation des éléments de petites et de grandes dimensions pour le quartzite de Ramah.....	228
Figure 65 : Poids moyen des éléments de débitage en quartzite de Ramah	228
Figure 66 : Distribution des éléments de quartzite de Kégashka par secteur archéologique.....	240
Figure 67 : Distribution des éléments en chert noir rhyolitique à travers l'aire d'étude	242
Figure 68 : Provenance des matériaux exotiques identifiés	246
Figure 69 : Territoire utilisé par les Innus de Mingan, Ekuanitshit (tiré de Comtois 1983).....	258
Figure 70 : Modèle d'utilisation du territoire et de circulation entre les bandes (tiré de Mailhot 1999).....	258
Figure 71 : Représentation du chert de la Minganie et du quartzite EbCp à l'échelle de l'aire d'étude.....	262
Figure 72 : Grands ensembles identifiés sur la base de la distribution du chert de la Minganie et du « quartzite EbCp ».....	264
Figure 73 : Représentation du chert de la Minganie par site selon le mode de présentation par bornes kilométriques	266
Figure 74 : poids moyen des éléments de débitage en chert de la Minganie.....	267
Figure 75: Distribution géographique des sites où figure le chert mauve	li
Figure 76: Distribution géographique des sites où figure le chert marbré gris-beige mauve	lii
Figure 77: Distribution géographique des sites où figure le chert brun carbonaté	liii
Figure 78: Distribution géographique des sites où figure le chert vert lustré	liv
Figure 79: Distribution géographique des sites où figure le quartzite fin de Kégashka.....	lv
Figure 80: Distribution géographique des sites où figure le chert rhyolitique noir	lvi

Remerciements

Je tiens ici à souligner la contribution de plusieurs personnes qui ont grandement facilité la production de ce mémoire. Dans un premier temps, je remercie mon directeur de maîtrise, Adrian L. Burke, pour ses sages commentaires, sa patience et son attention malgré les nombreuses années qui se sont écoulées. Je souhaite également souligner le travail de Mme Claudine Giroux, M. Marc Gadreau et Mme Marie-Hélène Blanchet du MCCCQF et Mme Diane Lebrun de Parcs Canada, qui ont permis et facilité l'accès et l'emprunt du nombre important de collections archéologiques qui ont été utilisées pour cette étude. Je remercie également M. Claude Chapdelaine, professeur au Département d'anthropologie, pour son enseignement et m'avoir donné accès aux collections du secteur de Kégashka qu'il amassa en 1993. La réalisation d'un certain nombre de tâches, principalement associées à la production et à l'analyse de lames minces, a également été grandement facilitée et a profité de l'expertise de M. Jean Beaulieu, professeur et géologue au département de génie minier de l'École Polytechnique de Montréal. Finalement, je tiens à remercier M. Daniel Chevrier, véritable pilier de la recherche archéologique au Québec, pour m'avoir ouvert aux possibilités qu'offre le travail dans une firme de consultants en archéologie et la possibilité de faire de nombreuses campagnes de terrain à travers le Québec, dont sur la Moyenne-Côte-Nord.

Introduction

Ce mémoire présente le résultat d'une étude régionale des sites préhistoriques de la région de la Moyenne-Côte-Nord du Saint-Laurent. Ce projet de maîtrise est centré principalement sur l'utilisation et l'identification des matières premières lithiques qui sont représentées parmi les assemblages des collections étudiées. Cette étude s'inspire d'une thématique fortement répandue de l'analyse de la culture matérielle en archéologie préhistorique (Pintal 1990; 1992; Morin et Marquis 1995; Burke 2003; Chalifoux et Burke 1995). La description et l'identification des matières premières lithiques utilisées par les groupes amérindiens préhistoriques permettent d'explorer différentes problématiques reliées non seulement à l'organisation technologique de ces groupes, mais également d'étudier la relation entre cette sphère d'activité et l'adaptation culturelle au sens plus large (Burke 2007; Aubry 2005). Principalement, l'étude de l'utilisation des matières premières et de leur provenance permet d'aborder le thème des territoires de même que les questions d'identité qui en découlent.

La Moyenne-Côte-Nord du Saint-Laurent constitue une région pour laquelle la compréhension et l'organisation des données associées à la période préhistorique présentent plusieurs lacunes. Au cours de plus de quatre décennies de recherches préhistoriques, ont permis la mise au jour d'un nombre important de sites archéologiques et la collecte d'un nombre important de données. Par contre, un nombre limité de publications mettent en valeur et d'organiser ce patrimoine. Le programme de recherche que nous avons mis sur pied pour la réalisation de ce mémoire vise principalement à combler ces lacunes, et avec cette étude régionale centrée sur l'utilisation des matières premières, organiser et présenter de façon cohérente l'ensemble de ces données.

L'objectif premier de ce projet de recherche réside dans l'identification et la description des matières premières lithiques présentes parmi les assemblages de la région d'étude. L'analyse de la distribution de ces matériaux nous autorisera à étudier les relations entre

l'utilisation des matières premières et les notions de territoire, d'échange et d'interaction qui définissent les groupes amérindiens étudiés. Un matériau en particulier y occupe une place particulière, le chert de la Minganie. Il s'agit d'un matériau d'origine locale dont on connaît la source et pour lequel l'utilisation au cours de la préhistoire est attestée, mais dont le rôle et l'importance au niveau de l'organisation de la technologie des groupes occupant la Moyenne-Côte-Nord sont jusqu'ici méconnus.

À travers la détermination de la représentation et de la distribution des matières premières, nous souhaitons identifier les matériaux qui caractérisent les groupes et la préhistoire de la région étudiée. Ces résultats nous permettront également, sur la base de l'utilisation et de la provenance des matières premières lithiques, d'étudier les liens qui unissent les groupes locaux et leurs voisins de la Haute et de la Basse-Côte-Nord.

La poursuite de ces objectifs implique une réanalyse globale des assemblages qui ont été récupérés à l'intérieur de la région d'étude au cours des différentes campagnes de terrain qui y ont été effectuées. Nous privilégions une approche régionale de large spectre, plus de 250 km linéaires de côte compris entre les villages de Sheldrake et de Kégashka, en incluant un nombre maximal de sites. Deux volets composent notre processus d'analyse. Un premier, pétroarchéologique, concerne la description et l'identification des variétés de matières premières représentées. Le second, technologique, permet de déterminer pour chaque site la composition et les caractéristiques des assemblages lithiques. La méthodologie d'analyse est présentée en détail au chapitre 2.

Pour le volet pétroarchéologique de notre démarche, nous avons privilégié une approche visuelle macroscopique. Notre approche est fortement influencée par les travaux de Codère (1998; 1996) et de Marquis (1998). Cette méthode a fait ses preuves et permet un traitement rapide d'un nombre important de données et une caractérisation efficace des matériaux représentés. Le volet technologique de nos analyses découle d'une volonté de dépasser la création d'un simple inventaire des variétés représentées. Pour arriver à définir la représentation des différents matériaux pour chacun des sites et étudier leur variabilité à

travers l'espace, la dimension spatiale de la technologie (Geneste 1988), une analyse complète des assemblages, débitage et outils, s'imposait. Un corollaire de la poursuite de ces objectifs réside dans la mise en place d'un catalogue actualisé des collections archéologiques hébergées par le MCCCCFQ. Ce catalogue est d'ailleurs augmenté par l'identification et la description des matières premières lithiques représentées.

Au chapitre 3 nous présentons la région d'étude, dans sa dimension physiographique et humaine, et effectuons un survol des connaissances reliées à la préhistoire de celle-ci. Le registre archéologique de la région d'étude, bien qu'il soit composé de nombreux sites, est assez mal connu et contrôlé. Cet état de fait découle essentiellement du nombre limité de publications qui traitent de la préhistoire de la région et de l'absence d'un effort de synthèse impliquant un retour sur les données de base, les assemblages archéologiques. Particulièrement, c'est le contrôle chronologique de ce registre qui y est le plus déficient. Dans ce contexte, l'approche par matériau fournit une opportunité d'effectuer un premier traitement global de ces données et de les standardiser à l'échelle régionale.

Nous y effectuons principalement un inventaire et la présentation des sites archéologiques présentant une composante préhistorique selon le registre de l'ISAQ¹. Cette présentation est facilitée et structurée par la création d'un ensemble de secteurs archéologiques que nous avons définis. Ce chapitre témoigne également d'un effort de représentation cartographique de ce registre et identifie les pistes de recherches et questions soulevées par les chercheurs et mises au jour à travers les collections que nous utilisons pour cette recherche.

Le chapitre suivant, le chapitre 4, présente les données concernant l'utilisation des matières premières lithiques et la description des réseaux d'acquisition et de circulation de celles-ci. Dans un premier temps, nous effectuons un inventaire des ressources lithiques qui sont disponibles à l'intérieur de notre aire d'étude. Le chert de la Minganie y est le principal matériau disponible et nous présentons un survol de la littérature archéologique et géologique qui traite de la présence et de l'utilisation de ce matériau. Toutefois, les

¹ Inventaire des Sites Archéologiques de Québec selon le MCCCCFQ.

informations contenues dans les rapports géologiques sont généralement assez mal adaptées aux besoins des archéologues. Afin de préciser la nature et l'occurrence de ce matériau, nous y présentons également le résultat d'une prospection géologique réalisée par l'auteur. Nous y effectuons un inventaire des matières premières utilisées à une échelle plus large et de présenter les réseaux d'approvisionnement lithique qui caractérisent les régions avoisinantes. Cet inventaire permet de mieux cerner la variabilité et la provenance des matériaux qui sont susceptibles de se retrouver parmi les assemblages de notre région d'étude.

Au chapitre 5, nous présentons le résultat de nos analyses. Ce sont 90 sites préhistoriques, cumulant près de 33 000 éléments de débitage et 574 outils, qui ont été analysés. Un inventaire des variétés de matières premières y est exposé et leur représentation générale est présentée. Nous y apportons une attention particulière aux matériaux qui sont le mieux représentés et présentons leur distribution à l'échelle régionale. L'utilisation et la distribution du chert de la Minganie, le matériau qui bénéficie globalement de la meilleure représentation, y sont présentées de façon détaillée. L'utilisation et la représentation de deux autres matériaux d'origine locale/régionale, le « quartzite EbCp » et le « quartzite Noui » y sont également présentées, car ceux-ci bénéficient également d'une représentation considérable à l'échelle régionale. Nous concluons cette section portant sur les résultats avec l'identification et la description des matériaux exotiques qui ont été répertoriés. En plus de présenter les caractéristiques propres de ces assemblages, les questions de provenance et l'identification de réseaux d'alliances et de circulation des matières premières sont soulevées. L'utilisation d'un matériau exotique en particulier, le quartzite de Ramah, qui témoigne d'une présence significative, sera abordée plus en détail.

Finalement, au chapitre 6, suite à la présentation de nos résultats on bénéficie maintenant d'un bien meilleur contrôle de la variabilité dont font preuve les sites préhistoriques de la Moyenne-Côte-Nord au niveau de l'utilisation des matières premières. À la lumière de ces résultats, on est mieux en mesure de définir la représentation et l'importance du chert de la

Minganie pour l'organisation de la technologie lithique des groupes de la région à l'étude. Nous parvenons également à identifier, à travers l'utilisation et la représentation des matériaux, de grandes tendances et des regroupements qui peuvent être interprétés en termes comportementaux et en particulier par les notions de territoire, d'identité et d'interaction.

Chapitre 1 : Problématique

La production de ce mémoire de maîtrise s'inspire d'une thématique très répandue en archéologie préhistorique actuellement, celle de l'étude de l'utilisation et de la circulation des matières premières lithiques. Il s'agit d'une thématique très vaste, caractérisée par des méthodes diverses s'appliquant à différents niveaux d'analyse. Dans notre cas, elle s'applique au niveau régional, celle de la Moyenne-Côte-Nord. Cette portion centrale de la Côte-Nord demeure très méconnue quant à sa préhistoire malgré la disponibilité d'un ensemble de données archéologiques considérable.

Ce mémoire cherche à faire une contribution potentielle à la compréhension de la préhistoire de cette région du Québec. L'approche par matériau constitue selon nous une méthode privilégiée pour tenter d'organiser les données relatives à la préhistoire de la région. La thématique au centre de la production de ce mémoire sera donc la description de l'utilisation des ressources lithiques telles que représentées sur les sites de la Moyenne-Côte-Nord.

1.1- La Moyenne-Côte-Nord du Saint-Laurent

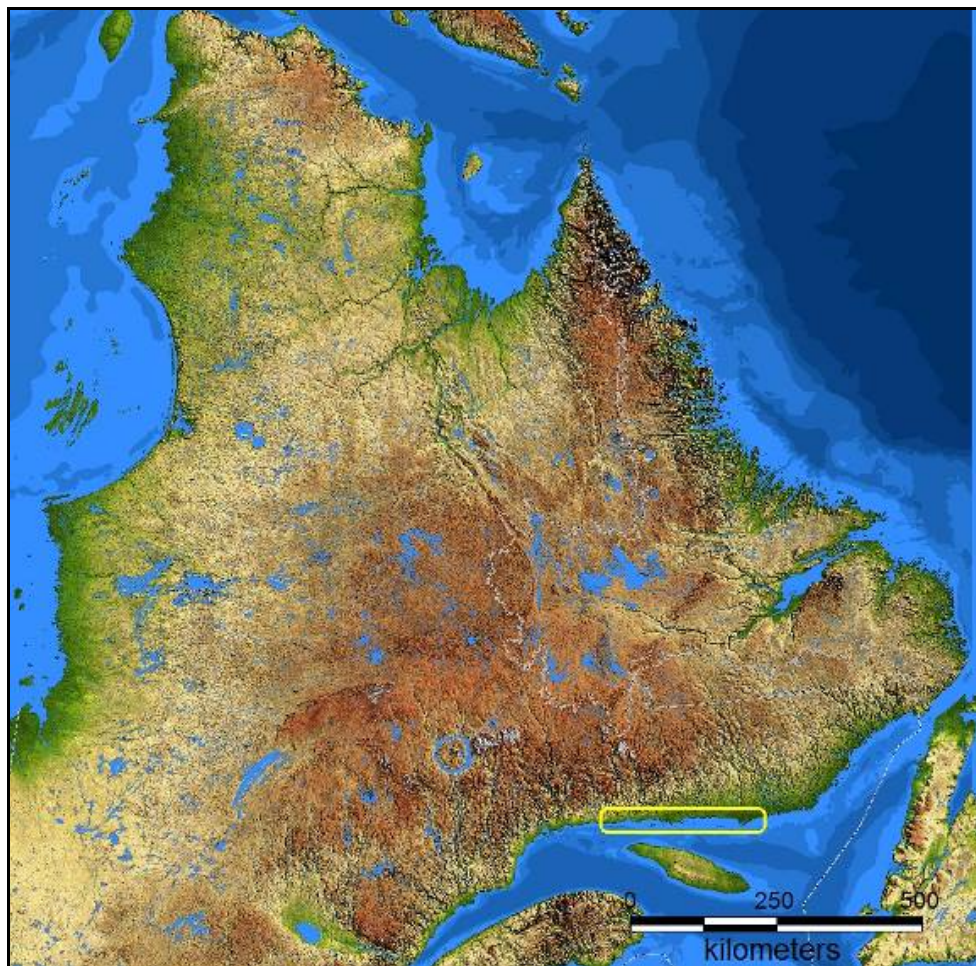
La Moyenne-Côte-Nord du Saint-Laurent constitue un énorme territoire mal connu en termes de compréhension de sa préhistoire régionale. Cet état de connaissance est essentiellement le fait de la rareté des programmes de recherche systématiques entrepris sur le territoire et d'un effort de synthèse déficient. Effectivement, peu de publications traitant de la préhistoire de la région sont en circulation et les tentatives de synthèse sont rares ou trop anciennes pour être actuelles (Chevrier 1976; 1978). Certaines publications, d'ordre plus général et traitant de la préhistoire de la Côte-Nord dans son ensemble, sont toutefois disponibles (Chevrier 1996; 1996a). Pourtant, de nombreux sites à composante préhistorique sont connus et répertoriés sur le territoire. De plus, la région de la Moyenne-

Côte-Nord s'insère entre deux régions mieux connues quant à leur préhistoire, la Haute et la Basse-Côte-Nord. Ces dernières bénéficient d'un meilleur contrôle chronologique, d'une plus grande abondance de publications et de la réalisation de synthèses régionales (Pintal 1998; Plourde 2003; Plourde 1993; Archambault 1987; 1995). Non seulement la Moyenne-Côte-Nord semble être l'enfant pauvre de cette grande région, mais son intégration à ce contexte global n'a été jusqu'ici qu'effleurée.

Le principal problème qui incombe l'avancement des connaissances sur la Moyenne-Côte-Nord semble être paradoxalement la grande quantité de données qui y ont été amassées. Celles-ci se répartissent sur quatre décennies (des années 1960 au début des années 1990 essentiellement) et un vaste territoire. Les données y sont diversifiées, de qualité inégale et parfois mal contrôlées. Il en ressort donc un manque d'organisation, de systématisation des données qui nuit à leur mise en commun et intégration.

L'objectif de cette étude régionale est de tenter de tirer profit de cette abondance de données « qui dorment ». Elle consiste en une organisation de ces données. Le manque de résolution et la faible qualité contextuelle d'un important ensemble de ces données limite toutefois cette tentative et contraint cette recherche à en rester, parfois à un niveau superficiel, aux dénominateurs communs. Le grand dénominateur commun est ici l'assemblage lithique des sites préhistoriques et particulièrement les matériaux constituant ceux-ci. L'intérêt se tourne donc vers l'identification des matériaux qui composent ces assemblages, leur description, mais aussi vers la détermination des modalités de leur utilisation et de leur distribution.

Figure 1 : Localisation de l'aire d'étude



1.2- Objectifs de recherche

La technologie lithique est le plus grand dénominateur commun de tous les sites préhistoriques du Québec. Cette catégorie d'artéfact est toujours représentée et constitue généralement l'élément le plus nombreux des collections. L'objectif principal poursuivi par la production de ce mémoire réside dans la description de l'utilisation des matières premières représentées dans les collections étudiées.

Un matériau en particulier a été déterminant dans l'orientation de la recherche : le chert de la Minganie. Il s'agit d'un matériau originaire de la région d'étude. Il est connu depuis longtemps des archéologues travaillant dans la région (Bernard 1966 : p.13; Lévesque 1966), mais il demeure mal défini (description visuelle et pétrographique) et sa distribution et son importance à l'échelle régionale demeurent méconnues. La présence de ce matériau d'origine locale permet donc d'ancrer plus solidement notre thème de recherche dans une perspective régionale. Notre premier objectif sera de préciser la provenance et documenter la nature du chert de la Minganie. La précision de l'occurrence géologique et de la description de celui-ci permettra de l'identifier plus systématiquement à l'intérieur des assemblages analysés. Nous souhaitons donc étudier la représentation et la distribution géographique de celui-ci à l'échelle régionale. L'utilisation du chert de la Minganie fournit donc une opportunité stimulante d'étudier l'ensemble de la distribution d'un matériau local, de sa source jusqu'à la périphérie de sa distribution.

Deuxièmement, nous n'accorderons pas uniquement notre attention au chert de la Minganie, mais souhaitons également identifier et décrire l'ensemble des matériaux qui constituent les assemblages archéologiques de la région étudiée. À travers l'étude de leur distribution et de leur représentation, nous souhaitons identifier les matériaux qui caractérisent réellement l'utilisation des ressources lithiques. La description et l'identification des variétés présentes permettront ultimement d'aborder la question de la provenance de ces matériaux et relever la présence de contacts ou relations avec les régions avoisinantes. L'identification de ces contacts devrait préciser la nature des relations qui existent entre les groupes de notre région d'étude et ceux de la Haute et de la Basse-Côte-Nord, vue principalement à travers l'utilisation des ressources lithiques. Troisièmement, à travers le résultat de ces analyses nous étudierons la relation qui existe entre l'organisation de la technologie lithique et l'utilisation des matières premières et la notion de territoire (Burke 2006; Aubry 2005; Geneste 1988). Principalement, on s'intéressera au rôle des matières premières d'origine locale par des groupes subrégionaux (bande, macrobande) dans un contexte d'exploitation des ressources et de territoire parcouru. L'établissement de

ces territoires permettra de préciser la distribution de ces différents niveaux d'organisation, la bande et la macrobande (Leacock 1964; Fitzhugh 1972), et de préciser les relations qu'ils entretenaient avec leurs voisins de la haute et de la Basse-Côte-Nord.

Finalement, ce mémoire vise à actualiser et mieux organiser un ensemble de données dont l'état actuel rend difficile leur utilisation et le développement de questions de recherche spécifiques. Nous espérons que l'actualisation de cette base de données permettra de faciliter la diffusion des connaissances et attirer l'attention d'autres chercheurs à la préhistoire de cette région.

Un premier niveau d'analyse devra donc reposer sur la description et la caractérisation des matériaux présents dans les assemblages. Cette étape vise principalement à donner une description systématique et standardisée des matériaux à travers la région, à systématiser l'identification à une échelle régionale. Cette démarche constitue le premier volet de notre programme de recherche. Afin d'atteindre les objectifs mentionnés, une nouvelle analyse des données récoltées est nécessaire. Effectivement, les données disponibles sur la nature des matériaux, lorsque celles-ci sont présentes, ne permettent généralement pas d'effectuer des regroupements ou encore étendre leur application à une échelle régionale.

1.3- Volet pétroarchéologique

Avec ce premier volet de notre recherche, pétroarchéologique, nous cherchons à identifier et décrire les matériaux lithiques qui composent les assemblages provenant des sites préhistoriques de notre région d'étude. Afin de ne pas compromettre notre perspective régionale, cette analyse se devra de respecter une importante contrainte de temps. À cet égard, nous avons privilégié une méthodologie impliquant essentiellement une analyse visuelle et macroscopique de ces matériaux.

Il faudra d'ailleurs développer une méthodologie pour standardiser les observations et descriptions des matériaux qui sont présents dans les assemblages. De telles procédures existent déjà et ont été appliquées à d'autres régions. Ces méthodes de description ont été développées par des individus compétents et dans la poursuite d'objectifs similaires aux nôtres. Ces méthodes se caractérisent par l'utilisation d'attributs et de modalités clairement explicitées et par un effort de standardisation des observations (Codère 1998; 1996; 1993; Marquis 1998; Morin et Marquis 1985). Nous nous inspirerons donc grandement du travail de Codère et Marquis lors du développement de notre procédure d'identification et de description.

L'analyse macroscopique que nous proposons ne représente qu'un premier traitement des données et ne constituera vraisemblablement pas une réponse définitive quant à leur nature et provenance. Un tel devis d'analyse représente toutefois un préalable incontournable (Morin et Marquis 1995 : p.44; Grégoire 2002 : p.931) pour la poursuite de questions plus détaillées qui pourraient faire appel à des méthodes d'analyses permettant d'obtenir un degré de précision supérieur (Morin et Marquis 1995 : p.44; Leblanc 2004). L'analyse macroscopique d'échantillons lithiques permet toutefois de dresser un inventaire des matériaux représentés, de les décrire adéquatement et de façon relativement précise (Blades 2006 : p.156; Odell 2004 : p. 28; Andrefsky 1998 : p. 41; Codère 1996). De plus, elle permet généralement d'effectuer les recoupements et regroupements qui permettent de standardiser et d'homogénéiser ces identifications (Morin et Marquis 1995).

Finalement, cette analyse représente un premier niveau de traitement des données, et permet d'organiser et de standardiser rapidement et efficacement les données pour un grand nombre de collections. Il s'agit donc selon nous d'un outil efficace pour identifier certaines tendances et ainsi soulever un nouvel ensemble de questions tout en permettant d'identifier les éléments (ou échantillons) les plus susceptibles d'y contribuer.

L'utilisation d'une approche macroscopique pour déterminer la nature des différentes catégories lithiques présentes dans les assemblages archéologiques peut toutefois faire l'objet de certaines critiques (Calogero 1992; Clermont et Chapdelaine 1995). Vraisemblablement, c'est le manque de formation et d'expérience de l'analyste qui peuvent compromettre la validité d'une telle entreprise (Clermont et Chapdelaine 1995 : p.45). C'est pourquoi l'auteur a entrepris un programme de formation en géologie permettant d'aborder cette analyse avec une « perspective informée² ». De plus, l'analyste qui entreprend une analyse de ce type à une échelle régionale doit également bénéficier d'une bonne connaissance du potentiel lithique de celle-ci (Odell 2004 : p.24; Aubry et Mangado 2006 : p.42). La détermination de la provenance des matériaux identifiés bénéficie évidemment de ces éléments, mais repose aussi sur l'état d'avancement des collections de référence lithique (Aubry 2005 : p.250; Odell 2004 : p.28). Nous présenterons donc au chapitre 4 les éléments pertinents relevant de ces derniers points.

Principalement, deux approches caractérisent une analyse centrée sur l'identification des matériaux : la première se situe au niveau de l'assemblage et est intéressée par la provenance des matériaux s'y trouvant. La seconde est plutôt axée sur la distribution spatiale d'un matériau particulier (Elburg et Van der Kroft 2006 : p.151). Nous privilégions ici une approche combinant ces deux aspects. La documentation de l'utilisation du chert de la Minganie y tient un rôle central, mais nous sommes aussi intéressés à identifier la provenance et la distribution des autres matériaux constituant les assemblages lithiques de notre région d'étude. La distribution d'un matériau local, le chert de la Minganie par exemple, permet d'aborder les questions d'utilisation et de transformation de ce matériau de même que les déplacements de groupes humains tandis que l'identification des autres matériaux permet plus particulièrement de définir des zones d'approvisionnement et l'étendue des contacts.

² Au cours de la session d'automne 2007 et d'hiver 2008, l'auteur a participé à deux cours axés sur la minéralogie et la pétrographie dispensés par le département de génie géologique de l'école polytechnique de Montréal.

Si les archéologues se sont longtemps préoccupés principalement de la distribution de certains matériaux de grande qualité circulant sur de grandes distances, une telle approche doit maintenant aussi inclure les matériaux locaux (Inizan et al. 1995 : p.25; Blades 2006 : p.156; Elburg et Vander Kroft 2006 :p.152). Ces derniers sont généralement moins bien connus et de qualité moindre, mais ils constituent souvent une portion significative des assemblages lithiques (Elburg et Van der Kroft 2006 : p.151) et leur implication dans ce processus s'impose donc afin de fournir une image aussi complète que possible.

Certains auteurs se limitent parfois à l'élaboration d'un inventaire des catégories lithiques répertoriées (Codère 1996; 1998), leur identification et la détermination de leur provenance offrant toutefois la possibilité d'effectuer des extrapolations spatiales et ainsi aborder les questions de mobilité et de territoires (Aubry 2005 : p.249). La détermination de la provenance de ces matériaux permet notamment d'identifier des territoires d'approvisionnement (Geneste 1988; Aubry 2005; Burke 2006 : p.77; 2003 : 187; Pintal 1992; Marquis 1998). Les territoires ainsi constitués sont définis de diverses façons. Généralement les chercheurs utilisent une distance relativement arbitraire pour identifier différents « niveaux d'organisation » des territoires d'approvisionnement. Ceux-ci sont par exemple, en ordre croissant de superficie, les environs immédiats du site (Burke 2003; p.206), le territoire local, régional, et suprarégional (Aubry et Mandago 2006 : p.46; Geneste 1988 : p.63). À cette notion de territoire d'approvisionnement est généralement, de façon plus ou moins explicite, associée la notion de cycle annuel d'activité du groupe en question (Aubry 2005 : p. 250; Blades 2006 : p.158). L'agencement de ces deux types d'information permet donc de postuler la présence d'un territoire d'approvisionnement relié au cycle annuel de déplacement, donc effectivement parcouru, et l'identification d'un territoire social, généralement beaucoup plus étendu et représentant plutôt les contacts ou l'échange entre groupes (Aubry 2005 : p.250).

Cette approche par l'attribution d'un point de départ (représenté par la source du matériau) et d'un point d'arrivée (l'assemblage archéologique) permet de reconstituer les principaux axes de circulation qu'ont empruntés ces matériaux (Chalifoux, Burke et Chapdelaine 1998 : p.138). Les matériaux les plus fréquemment utilisés peuvent d'ailleurs constituer en quelque sorte des marqueurs identitaires dans le sens où ils renvoient à un espace géographique défini (Chapdelaine 2004 : p.112).

Quant aux procédés méthodologiques employés pour documenter la distribution et l'importance d'un matériau parmi les assemblages, les chercheurs utilisent généralement une méthode développée par Renfrew (1977; Renfrew et al 1968 dans Burke 2007 : p.74) qui consiste à opposer graphiquement sur deux axes la représentation du dit matériau (à l'aide de différentes mesures telle le % du nombre d'éléments ou encore le % du poids total de l'assemblage) et la distance qui sépare le site de la source présumée du matériau. Ainsi sont créées différentes courbes qui témoignent d'effets de seuils, ou « *drop-off* », qui permettent de modéliser la circulation de ce matériau (Renfrew 1977; Kooyman 2000 : p.138).

Les différents types de courbes produites, ou les anomalies présentes, peuvent donc être interprétés en fonction de différents modèles ou s'opposent principalement les notions d'accès direct et d'échange (Renfrew 1977). La validité des interprétations que l'on peut en tirer sera toutefois augmentée en y superposant un modèle d'utilisation et de circulation sur le territoire par les groupes étudiés. La création d'un tel modèle peut s'inspirer de l'ethnographie et de l'ethnohistoire ou encore par d'autres données archéologiques. L'utilisation d'une telle méthode implique toutefois un certain contrôle des données archéologiques (par exemple de bénéficier minimalement de décompte d'éléments par matériau, de leur poids, etc.) et introduit la notion de « dimension spatiale de la technologie » (Geneste 1991 dans Aubry 2005 : p.88). La poursuite de ce volet de nos objectifs implique donc une réanalyse complète des assemblages lithiques récupérés par les archéologues. Par exemple, pour une très grande majorité des collections amassées,

l'analyse des éléments de débitage (déchets de taille) représente un ensemble de données qui, pour notre région d'étude, ne dépasse qu'exceptionnellement le simple catalogue, parfois par grandes catégories de matériaux. Effectivement, afin de documenter la distribution et l'utilisation des matières premières lithiques, le volet technologique de l'analyse s'impose à ce programme de recherche et permet d'affiner, de détailler, l'image produite par un simple inventaire des matériaux figurant au sein des assemblages.

1.4- Volet technologique

La poursuite de nos objectifs implique également un deuxième volet à cette recherche, le volet technologique. Effectivement, pour arriver à déterminer/quantifier l'importance relative des différents matériaux présents dans les assemblages, nous devons dépasser les simples inventaires de matières premières et nous pencher sur divers éléments relevant de la technologie lithique. L'objectif est en quelque sorte de réussir à dresser un portrait de l'utilisation des matières premières lithiques pour chacun des assemblages étudiés. L'identification et la classification des matériaux constituent en ce sens un préalable nécessaire à l'étude de leur utilisation. L'approche conjointe de la pétroarchéologie et de l'analyse technologique appliquée aux assemblages lithiques permettent de documenter la dimension spatiale de l'utilisation des matériaux (Aubry 2005).

Toutefois, pour les mêmes raisons que celles avancées pour le volet pétroarchéologique, celui consacré à l'analyse technologique des assemblages ne saurait avoir la prétention d'être très exhaustif. L'objectif explicite d'une couverture régionale large et du traitement d'un grand nombre d'éléments concordant assez mal avec une lecture technologique très détaillée. Nous devons donc privilégier certaines avenues. En relation avec notre question de recherche, les éléments de la technologie qui retiennent notre attention sont ceux qui nous permettront d'établir l'importance relative, la représentation, des différents matériaux

dans les assemblages. Le principal outil que nous utiliserons permettant de documenter cette dimension est le concept de chaîne opératoire ou séquence de réduction.

Bien qu'il s'agisse de conceptions qui renvoient à un ensemble de comportements pratiquement similaires (Andrefsky 2008 : p.5; Schlanger 2005 : p.25), celui de chaîne opératoire peut révéler des significations diverses et demande certaines précisions. Ces différentes significations peuvent être partiellement expliquées par un développement parallèle du concept, la tradition européenne d'analyse lithique y appliquant parfois une signification particulière et différente de celle de la tradition plus américaine (Sellet 1993 : p.107), mais principalement la distinction semble résider dans le niveau d'application du concept (Sellet 1993 : p.106). Pour la tradition européenne, le concept de chaîne opératoire dans son application spécifique renvoie à un schéma conceptuel, ou schéma opératoire de taille (Inizan et al. 1995 : p.15) caractérisé par l'application d'une séquence de gestes particuliers et anticipés (Inizan et al. 1995 : p.34; Sellet 1993 : p.106). Toutefois, dans son utilisation plus générale, le concept implique la documentation globale du processus de transformation des matériaux, de leur acquisition à la source, en passant par la production et l'utilisation des outils produits, et ce, jusqu'au moment de leur abandon (Inizan et al 1995 : p.14; Schlanger 2005 : 25; Sellet 1993 : p. 106).

Cette définition du concept est beaucoup plus proche de celle généralement employée en Amérique du Nord et dont l'utilisation devient interchangeable avec le concept de séquence de réduction. Ces deux concepts documentent l'organisation de la technologie lithique de façon globale en s'intéressant à toutes les étapes impliquées dans son acquisition, la production et l'utilisation d'outils de pierre taillée et leur rejet ou abandon (Andrefsky 2008 : p.6). En ce sens, la chaîne opératoire peut aussi être présentée de façon séquentielle, ou par étapes, mais celles-ci ne sont pas constituées ici par un seul geste précis, mais peuvent en regrouper plusieurs (Chalifoux et Burke 1995 : p.249). Ces étapes sont par exemple : 1- l'acquisition de la matière première, 2- la réduction initiale, 3-la mise en forme et 4- la finition des outils et finalement 5- l'utilisation et la réjuvenation de

l'outillage (*Idem*; Chalifoux, Burke et Chapdelaine 1998 : p.130). La chaîne opératoire documente donc le processus de réduction ou le cycle de vie des outils (Andrefsky 2008 : p.4).

Notre démarche s'accorde ici plutôt avec cette version plus globalisante de la chaîne opératoire. Ce processus, bien qu'il puisse être découpé en différentes étapes constitue essentiellement un continuum (Andrefsky 2008 : p.5; Shott 2005 : p.110). Les grandes tendances que nous visons à faire ressortir sont la position des différents éléments dans la séquence de réduction de même que d'identifier la représentation de différentes stratégies de réduction. Si le cycle de vie des objets de pierre taillée constitue un de nos intérêts et que celui-ci est immanquablement associé à la réduction des outils taillés (Andrefsky 2008 : p.5), notre attention doit néanmoins se porter à l'ensemble des assemblages. Les déchets de taille sont aussi particulièrement aptes à révéler des indices de réduction (Magne 1985, 2001). Cette catégorie d'artéfacts est généralement la plus abondante dans les assemblages et leur nombre les rend particulièrement bien adaptés aux analyses statistiques (Magne 2001 : p.17). De plus, comme ils ne sont pas transportés de site en site comme peuvent l'être les outils ils enregistrent le degré de production représenté sur le site même (Magne 1985 : p.15).

La réalisation de ces analyses et l'interprétation des résultats s'appuient sur des considérations théoriques inspirées par un ensemble d'expérimentations et diverses études de cas qui poursuivent des objectifs similaires aux nôtres. Afin de relier les observations que l'on peut effectuer sur la culture matérielle et des propositions théoriques découlant de l'application du concept de chaîne opératoire ou séquence de réduction, bon nombre de chercheurs ont mis sur pied des programmes d'expérimentation de taille (Shott 1994 : p.83; Bradbury et Carr 1995). Ceux-ci sont généralement effectués afin d'identifier les attributs les plus susceptibles de révéler 1-la position dans la chaîne opératoire ou le stade de réduction des produits de débitage (Magne 1985; Bradbury et Carr 2004 : p.68) ou 2-le type de réduction représenté (Sullivan et Rosen 1985; 1989; Kuijt, Prentiss et Pokotylo 1995) ou

encore servent à vérifier les propositions et résultats et propositions issus de ces travaux (Bradbury et Carr 2004, 1999; Ingbar, Larson et Bradley 1989).

Nous utiliserons ici une méthodologie d'analyse inspirée du résultat de ces analyses. Plus particulièrement, pour l'analyse des éléments de débitage nous retenons la méthode développée sur la base d'expérimentations par Magne (1985) qui permet non seulement d'attribuer un stade de réduction à chacun des éléments analysés, mais qui permet aussi de définir clairement la signification de ces différents stades (Magne 1985 : p.106). Nous privilégions donc une analyse individuelle, par attributs, des éléments de débitage. Cette approche permettra de plus d'utiliser un ensemble d'avenues différentes, et cumulatives, « *multiple lines of evidence* » (Bradbury et Carr 2004 : p.115), qui permettront de détailler nos interprétations et vérifier la concordance de ces différents éléments (Andrefsky 1998 : p.13).

Quant aux outils, nous appuyons principalement leur analyse sur le concept de réduction, « *reduction thesis* » (Shott 2005; 2007; Shott et Nelson 2008). Le concept de réduction vise particulièrement à déterminer le degré d'utilisation des outils (Shott 2007 : p.133). Celui-ci repose principalement sur la compréhension que les objets retouchés, les outils, vont présenter une variation progressive de leur morphologie et leurs dimensions au cours de ce processus en fonction de l'intensité du réaffutage qu'ils expérimentent (Shott et Nelson 2008 : p.27). La thèse de la réduction rappelle la notion de « *curation* » (Odell 1996 : p.54), mais en utilise une définition stricte et précise qui élimine beaucoup d'ambiguïtés associées à l'application de ce concept et permet d'en effectuer une certaine quantification et non simplement une indication de présence ou absence (Shott et Nelson 2008 : p.39).

Le concept de « *curation* » y est défini comme un indice qui met en relation le degré d'utilité réalisée et d'utilité maximale potentielle d'un outil (Shott 2005 : p.113; Andrefsky 2008 : p.8). L'utilité est à son tour définie comme le potentiel d'utilisation que fournit un outil (Shott 2005 : p.13). Bien que l'établissement du degré de réduction absolu des outils

soit, dans la pratique, difficile à mesurer (Shott 2005 : p.14), un nombre de méthodes mettant en relation différentes proportions et dimensions des outils permettent néanmoins de générer une échelle relative et de comparer le degré d'utilisation enregistré par un outil. Ces ratios sont par exemple la relation entre la largeur et l'épaisseur des pièces bifaciales (Shott et Nelson 2008 : p.28), ou la proportion de la portion emmanchée et la portion utilisable d'un outil (Shott 2005 : p.119).

Bien que ces méthodes puissent sembler complexes, leur application repose essentiellement sur l'utilisation d'attributs qui sont généralement mesurés sur les outils et sur l'application de ratios issus de mesures de dimension assez classiques. L'originalité de cette portion de l'analyse repose dans une tentative de quantifier le degré d'utilisation de l'assemblage des outils en fonction des matériaux et des types d'outils afin de pouvoir comparer l'utilisation de ces matériaux et compléter l'image générée par l'analyse du débitage. Nous tenterons aussi de vérifier si certains matériaux se voient attribuer un traitement particulier, soit par leur utilisation préférentielle pour la manufacture de certains types d'outils ou encore parce que ceux-ci sont essentiellement représentés par des outils peu ou, au contraire, très réduits. Certaines tendances concernant l'utilisation des matériaux seront alors mises en évidence.

La méthodologie d'analyse devra donc dépasser le niveau des analyses intra-site et permettre d'effectuer des comparaisons entre les sites et mettre en lumière la dimension spatiale de la technologie lithique. L'analyse devra donc déboucher sur la création d'indices qui caractérisent bien la position d'un matériau dans la séquence de réduction pour un site en particulier, mais aussi permettent de comparer efficacement et rapidement l'utilisation des matériaux dans une perspective régionale.

L'objectif de ce mémoire pourrait donc se résumer comme suit : identifier, nommer et décrire les matériaux qui caractérisent la préhistoire de la Moyenne-Côte-Nord. On y combine les deux grandes approches basées sur l'étude des matériaux : étudier la distribution d'un matériau en particulier sur une multitude de sites, particulièrement le chert

de la Minganie, et l'identification des différents matériaux que l'on répertorie dans la région d'étude. Les principaux résultats résideront dans l'identification d'assemblages récurrents, l'identification de matériaux de provenance locale, régionale ou exotique et dans la description des modalités de leur utilisation et leur distribution sur le territoire.

Le chert de la Minganie y occupe une importance prépondérante. Ce matériau d'origine locale fournit la possibilité de documenter toute la séquence de réduction d'une matière première, de la source jusqu'à la périphérie de sa distribution. Non seulement a-t-elle le potentiel de jouer un rôle central en ce qui a trait aux questions de territoire, elle permettra d'évaluer les indices de réduction et leur contribution à la compréhension, la mise en lumière du processus de réduction. De plus, d'autres matériaux deviendront inévitablement familiers et permettront de détailler l'image générée par l'utilisation du chert de la Minganie. Finalement, l'identification de certains matériaux exotiques déjà connus complètera ce portrait (par exemple quantifier l'importance du quartzite de Ramah dans la région). Il s'agit donc de décrire une dynamique interne, mais aussi d'identifier les liens qui existent entre la Moyenne-Côte-Nord et les régions avoisinantes.

Finalement, ce programme de recherche effectué dans le cadre de la réalisation d'un mémoire de maîtrise fournit une opportunité rare de réévaluer un grand nombre de collections amassées par le passé et contribuer à la création d'un inventaire actualisé des données archéologiques de la région. Non seulement nous souhaitons actualiser les données concernant les assemblages étudiés, nous voulons par ce travail les rendre plus facilement accessibles et favoriser leur utilisation par la communauté de chercheurs. Ainsi, nous espérons participer à une plus grande diffusion de ces données et permettre l'intégration de celles-ci à un cadre plus large.

Chapitre 2 : Méthodologie

Tel que mentionné dans le chapitre précédent, nous avons privilégié une approche régionale avec une couverture géographique large. Cette orientation, combinée à la volonté d'inclure la majorité des données disponibles, aura inévitablement certaines implications méthodologiques. La méthodologie employée, particulièrement en ce qui a trait à l'analyse de la culture matérielle, devra notamment permettre de traiter rapidement et efficacement un grand nombre de données. Immanquablement, certaines questions de détails demeureront en suspens, mais une première ébauche de l'identification et de l'utilisation des ressources lithiques devra émerger de nos travaux.

À la base de ce processus repose la sélection d'une région d'étude. Les différents éléments menant au choix de la Minganie et de la Moyenne-Côte-Nord sont exposés au chapitre précédent, mais rappelons seulement que c'est le besoin de combler un manque de contrôle de contexte, de chronologie archéologique et une très faible diffusion des données qui ont orienté notre choix en premier lieu. La région de la Moyenne-Côte-Nord ne constitue pas nécessairement une aire culturelle définie, dans le sens où celle-ci n'est pas définie à la base par des critères anthropologiques ou archéologiques spécifiques. Elle constitue donc en une aire géographique relativement arbitraire, mais elle renvoie toutefois à un ensemble de conceptions et de relations bien établies dans la littérature archéologique et constitue en ce sens un ensemble valable, connu et reconnu (Chevrier 1996; 1996a; Pintal 1998 : p.124).

2.1- Inventaire et sélection des sites archéologiques

Avant de pouvoir effectuer la sélection des sites à analyser, nous devons dans un premier temps dresser un inventaire complet des sites archéologiques présentant une composante préhistorique. Cet inventaire a été compilé à l'aide du registre des sites archéologiques du MCCCQ, l'ISAQ (Inventaire des Sites Archéologiques du Québec). Ce registre permettait

d'obtenir une liste complète des sites connus à ce jour³, et d'obtenir de façon synthétisée, les informations de base pour chacun d'eux. À partir de ces données, nous avons effectué une compilation des données pertinentes à la poursuite de nos objectifs et créé une base de données compilant ces informations et permettant de les consulter et traiter plus efficacement (voir « **base de données sites** » fournie en annexe). Afin de présenter efficacement les informations contenues dans cette base de données, nous avons aussi élaboré un volet cartographique à ce processus. L'utilisation d'un logiciel de type Système d'Information Géographique (SIG)⁴, permet non seulement de visualiser une carte illustrant la localisation et la distribution des sites archéologiques, mais aussi de lui associer notre base de données « sites » et ainsi combiner les informations de type géographiques à celles archéologiques. Un tel processus assure une grande flexibilité dans la représentation visuelle des données et permet d'obtenir rapidement la représentation de différentes requêtes, tri ou sélections effectuées à partir de notre base de données archéologiques.

Une deuxième étape de la sélection d'une région d'étude est constituée par la création de « secteurs archéologiques ». Cette classification des données s'effectue sur la base de différents critères. Un premier critère est la présence d'importantes concentrations de sites. De telles concentrations sont d'ailleurs parfois mentionnées dans la littérature comme c'est notamment le cas pour le secteur de Mingan. Certains secteurs ont été générés en fonction de leur association avec des éléments hydrographiques particuliers, ou encore parce qu'ils bénéficient d'un emplacement particulier (les sites de l'archipel de Mingan par exemple). Finalement, certains secteurs sont constitués par des portions de territoire enchâssées entre deux secteurs définis sur la base des critères précédents. Ce découpage, effectué essentiellement sur une base géographique, permet la mise en place d'unités plus facilement abordables et en facilite aussi la présentation et le traitement.

La sélection des sites à analyser s'est effectuée en respectant une approche globalisante et de façon à privilégier l'intégration d'un nombre maximum de sites afin d'obtenir une bonne

³ Décembre 2008

⁴ Logiciel MapInfo professional 9

représentation. À la base de cette sélection, le critère de la disponibilité et de l'accès aux collections constituait un élément incontournable. Une fois cet élément pris en compte, un premier constat s'imposait. Le nombre de collections effectivement disponibles⁵ réduisait considérablement le volume de données utilisables.

Le critère de sélection initial des sites à analyser est la présence d'un nombre minimal de 50 artefacts de pierre taillée. Ce nombre constitue pour nous un échantillon minimum permettant un traitement statistique significatif. D'autres critères pouvaient toutefois stimuler la sélection d'un assemblage ne satisfaisant pas ce premier critère. Par exemple, dans le cas d'un secteur archéologique où les sites livrant beaucoup d'objets sont rares et qui pour cette raison aurait bénéficié d'une représentation déficiente. Par exemple, les sites inventoriés sur le cours de la rivière Romaine ne présentent généralement que très peu d'artefacts, mais leur position géographique unique stimule toutefois leur intégration à notre corpus.

Finalement, au contraire des assemblages trop restreints, certains sites ont livré une quantité d'artefacts trop importante pour bénéficier d'une analyse complète de leur assemblage. Les sites pour lesquels plus de 2000 éléments de débitage étaient disponibles ont donc été échantillonnés. Au nombre de 5, ils constituent toutefois de rares exceptions⁶.

2.2- Analyse de la culture matérielle

La poursuite de nos travaux se développe autour de deux thèmes distincts, mais complémentaires. Un premier volet est constitué de l'analyse de la composante technologique représentée dans les assemblages lithiques étudiés et le second correspond à

⁵ Dans un premier temps, la sélection s'est effectuée en considérant uniquement l'information des fiches ISAQ. En pratique, plusieurs collections théoriquement disponibles se sont avérées non disponibles.

⁶ EbCp-002 (Piashti-Watshishou), EbCt-002 (Betchouanes), EbDa-004 (Mingan), EbCv-015 (Romaine côte / Havre-Saint Pierre et Kégashka).

la description et à l'identification des matières premières lithiques présentes dans ceux-ci. Bien qu'ils constituent deux volets distincts de la question, ces données devront être utilisées en conjonction afin d'atteindre nos objectifs et révéler les modalités de leur utilisation. À partir de ce point, la compilation de données existant dans la littérature et la documentation du MCCCCFQ ne suffit pas et afin d'obtenir et d'organiser les données dont nous avons besoin nous devons procéder à une réanalyse systématique des collections sélectionnées.

2.2.1- Le volet technologique

L'analyse technologique des assemblages lithiques s'inscrit dans la poursuite d'objectifs spécifiques. La poursuite de ces objectifs implique l'analyse de l'ensemble des assemblages et attribue une importance fondamentale à l'analyse du débitage. Les objectifs spécifiques poursuivis peuvent essentiellement se résumer ainsi : pour le débitage nous cherchons à déterminer la représentation relative de chacune des différentes matières de même que la représentation des différents « stades » et types de réduction. L'analyse des outils permet de compléter l'image obtenue par l'analyse du débitage et à travers celle-ci nous tenterons de déterminer la représentation des différents matériaux dans cet assemblage (en général et par types d'outils) de même que de statuer sur leur position dans la séquence de réduction. Finalement, comme nous souhaitons inclure la plus grande quantité de données possible à notre analyse, nous avons tout intérêt à utiliser une méthodologie en permettant un traitement rapide et efficace.

Afin de respecter la contrainte de temps que nous nous imposons, nous avons employé une méthode d'analyse pour laquelle la mesure des différents attributs pouvait se faire efficacement. Pour effectuer nos observations, nous nous sommes principalement servis d'une source lumineuse munie d'une lentille effectuant un grossissement de 10X. Cette méthode permettait d'effectuer aisément l'observation d'une grande majorité de nos attributs. Dans le cas d'incertitude, ou requérant une résolution plus importante, le

microscope binoculaire était toujours disponible et avec un grossissement allant jusqu'à 40X permettait de résoudre ces imprécisions.

2.2.1.1-Analyse du débitage

Une multitude d'approches peuvent être utilisées pour réaliser l'analyse d'un assemblage de débitage. Elles peuvent globalement être classées sous trois catégories, les analyses de masse, les analyses typologiques et les analyses par attributs (Bradbury et Carr 2004). Les analyses de masse sont particulièrement efficaces pour traiter un nombre important d'éléments et c'est là un avantage qui aurait pu être intéressant pour nous. Toutefois, pour bien se prêter à ce type d'analyse, les collections doivent présenter certains aspects particuliers, notamment être constituées de lots comptant plusieurs centaines d'éléments, une analyse de masse effectuée sur un lot de 10 objets par exemple n'étant pas très avantageuse (Andrefsky 2007; Bradbury et Carr 2004 : p.67). Comme très peu de collections de notre corpus auraient pu satisfaire ce critère, nous avons privilégié une analyse individuelle des éléments de débitage. Nous avons aussi privilégié une analyse par attributs à une analyse essentiellement typologique.

Dans un premier temps, on retrouve dans la base de données les informations permettant d'attribuer une provenance à chacun des éléments analysés. Cette **provenance** respecte les fouilles ou reconnaissances archéologiques desquels sont issus ces artefacts et conserve le plus détails possible quant à celle-ci. Toutefois, il arrive que la provenance soit très générale, voire imprécise. Minimale nous indiquons le code Borden du site et le numéro de collection de l'ISAQ duquel proviennent les artefacts.

Au niveau technologique, le premier attribut à retenir notre attention est l'**intégrité** de l'élément de débitage. Cette variable permet d'établir plusieurs précisions par rapport à un simple décompte des éléments. Elle permet d'établir un nombre minimum d'éléments et de produire la représentation des différentes classes d'intégrité des éléments de débitage. Outre ces raisons, certaines expérimentations, dont notamment celles de Sullivan et Rozen (1985),

utilisent cette variable, particulièrement la représentation de ces différentes catégories (Sullivan et Rozen 1989 : p.180; 1985 : p.758), pour tenter d'identifier des assemblages caractéristiques de modes/stratégies de réduction particuliers (*Idem*; Kuijt, Prentiss et Pokotylo 1995). La définition des modalités de cet attribut que nous utilisons ici sera telle qu'elle permettra d'effectuer ce genre d'analyse. On y retrouve donc différentes catégories d'intégrité d'un éclat de taille, mais notamment nous y identifions la présence de débris de taille (*blocky debris*). Ceux-ci se définissent comme des éléments résultants du processus de taille, mais qui ne peuvent être considérés comme des éclats de taille puisque l'on ne peut y observer leurs principales caractéristiques, la présence d'un talon et d'une face ventrale et dorsale (Andrefsky 1998 : 123; Sullivan et Rozen 1985 : p.759). Finalement, cet attribut est fortement associé aux deux suivants qui sont la **superficie** et le **poids** de ces éléments.











La superficie des éclats est mesurée à l'aide d'une grille de superficie et le poids est quant à lui obtenu à l'aide d'une balance numérique à plateau et sa précision est de l'ordre du dixième de gramme (0,1g). La superficie des éléments de débitage n'est mesurée que pour les éclats de taille complets afin de ne pas produire une image trompeuse de la présentation générale de l'assemblage (Andrefsky 1998 : p.97) et le poids est quant à lui mesuré pour tous les éléments. Les éléments pour lesquels le poids était inférieur à 0,1gr se sont vu attribuer un poids arbitraire de 0,05gr. L'attribut suivant, **l'identification du matériau** constituant l'élément de débitage, relève essentiellement du second volet de cette présentation. Ces variables constituent les données de base de notre analyse et permettent d'obtenir une image assez nette de la variation entre les assemblages (les différents matériaux à l'intérieur d'un site, mais également la variabilité inter-site).

Ce premier ensemble d'attributs permet déjà d'obtenir un aperçu des caractéristiques de base de chacun des assemblages de débitage des sites analysés. Nous y ajoutons les deux prochains attributs, issus principalement des travaux d'expérimentation de Magne (1985). Ils permettent essentiellement d'attribuer un « stade » de réduction à chacun de ces éléments. Par ses expérimentations, Magne cherchait à identifier les attributs les plus

susceptibles de révéler le stade de réduction représenté par chacun des éléments de débitage (Magne 1985 : p.118). C'est ainsi que les attributs : **nombre de facettes sur le talon** et nombre de **cicatrices d'enlèvements de la face dorsale** de l'éclat ont été proposées. Magne obtint un taux de prédictibilité acceptable pour ces deux attributs : «respectivement 76 et 65,5 %» (Magne 1985 : p.118-119), et ces propositions ont aussi été testées avec un succès comparable par d'autres expérimentateurs (Bradbury et Carr 2004 : p.69; 1999 : p.107).

Par l'utilisation du concept de stades de réduction, Magne découpe en quelque sorte le processus de réduction en différentes entités et propose une méthodologie pour les identifier. Il est généralement admis que l'utilisation de stades ne renvoie pas à de réelles entités, mais sont plutôt des unités développées pour des fins de classification (Bradbury et Carr 1999 : p.105). C'est pourquoi ils doivent être explicitement définis et reliés à des considérations théoriques ou expérimentales pour constituer des unités analytiques viables et permettre de tester des hypothèses (*idem*). Magne identifie trois stades de réduction : les stades initiaux, intermédiaires et terminaux (Magne 1985 : p.106). Le stade initial est relié à la réduction de masses ou nucléus (*idem*), le stade intermédiaire implique les premières étapes de la retouche marginale et la mise en forme des outils (Magne 1985 : p.107). Le stade final quant à lui implique la finition des outils, les dernières étapes de la retouche marginale (*idem*). La définition de ces stades est directement liée au nombre de facettes et de cicatrices dorsales observées. C'est d'ailleurs le décompte de celles-ci qui permettent d'attribuer un stade à chaque élément :

Figure 2 : Stades de réduction et types d'éclats selon Magne (tiré de Magne 1985 : p.127)

		STAGE			DISTINCT REDUCTION TYPE	
		EARLY	MIDDLE	LATE	BIFACIAL	BIPOLAR
PRB	Platform	0-1	2	≥ 3	BRF	
	Scar					
	Count					
SHATTER	Dorsal	0-1	2	≥ 3	BPO	
	Scar					
	Count					

Ces attributs représentent jusqu'ici ceux pour lesquels la mesure est la plus ardue et la plus couteuse en temps (Bradbury et Carr 2004 : p.69; Shott 1994 : p.80; Andrefsky 1998 : p.106) et elles requièrent ainsi certaines précisions quant à leur observation et codification. Toutefois, leur utilité autorise leur utilisation malgré ces difficultés. L'utilisation de ces variables, particulièrement celle du décompte des cicatrices dorsales, a de plus l'avantage de permettre de considérer l'ensemble des éléments de débitage et non seulement les éclats présentant un talon.

Pour le décompte des facettes du talon, Bradbury et Carr proposent de ne relever que la présence de facettes sur les talons dont la dimension est supérieure à 2mm (Bradbury et Carr 1995 : p.115). Ces facettes correspondent en fait à des cicatrices d'enlèvements, mais situées sur le talon d'un éclat. Elles prennent donc généralement une forme concave et sont séparées par une arête (Magne 1985 : p.100; Bradbury et Carr 1995 : p.115). Le décompte de cicatrices de la face dorsale procède essentiellement de la même manière (Magne 1985 : p.100). Andrefsky, en soulevant la difficulté que ce décompte peut parfois représenter, propose de se limiter à l'identification de 2 facettes ou plus et ainsi augmenter la rapidité

d'analyse et éliminer le « désordre » (*clutter*) de ce décompte en ne considérant que les cicatrices qui sont clairement le résultat d'enlèvements antérieurs et non les petites cicatrices qui sont le résultat de bris, de préparation de plateforme, etc. (Andrefsky 1998 : p.106). Certains auteurs suggèrent toutefois d'augmenter le nombre de ce décompte à 5 ou 6 cicatrices (Schott 1994 : p.80; Tomka 1989 : p.138). Nous utilisons ici la méthode développée par Magne (1985) et l'enregistrement de la présence de 3 facettes/cicatrices ou plus au maximum afin de simplifier l'analyse.

Finalement, Magne suggère aussi d'ajouter à l'analyse l'identification de deux **types** d'éclats spécifiques : les éclats issus de la taille bifaciale et ceux issus de la taille bipolaire. Les premiers sont pour lui associés aux stades finaux de réduction et la mise en forme de nucléus ou outils bifaciaux tandis que les seconds sont plutôt associés aux stades initiaux de réduction. Magne (1985 : p.107) justifie cette proposition en suggérant que cette distinction permettrait de raffiner l'interprétation quant à la variabilité des assemblages archéologiques. Il identifie principalement trois caractéristiques qui lui permettent d'attribuer un éclat au type bifacial : il s'agit 1- de la présence de facettes sur le talon, 2- de la présence d'un angle faible du talon et finalement 3- de la présence fréquente d'une lèvre entre le talon et la surface ventrale (Crabtree 1972 dans Magne 1985 : p.100). Les éclats bipolaires sont quant à eux définis par la présence de stigmates opposées, un point d'impact en position proximale et la présence d'esquilles ou d'écrasement sur l'extrémité distale (Magne 1985 : p.100).

Nous utiliserons ici la méthode proposée par Magne (1985), car elle permet de clairement relier nos observations aux stades de réduction qu'il définit. Cette méthode n'est certainement pas parfaite et certains auteurs proposent d'ailleurs de combiner ces décomptes à la dimension des éclats comme celle-ci est susceptible d'influencer le nombre de cicatrices présentes (Shott 1994 : p.80; Andrefsky 1998 : p.106). Une analyse individuelle des éléments de débitage permet effectivement de réaliser ultérieurement un tel traitement à l'étape de l'interprétation et permet ainsi de considérer une multitude de pistes

afin de vérifier si les données convergent vers un résultat commun ou encore si elles révèlent certaines incongruités dans nos résultats (Bradbury et Carr 2004 : p.115).

Une dernière série d'observations permet d'apporter certaines précisions quant à la nature des matériaux représentés. Ces variables sont la présence de **cortex** et la présence d'**altérations causées par la chaleur**. La présence de surfaces naturelles sur les éclats est généralement une indication que ceux-ci reflètent les étapes initiales de la réduction et la présence de blocs ou galets de matière première (Andrefsky 1998 : p.101; Dibble et al 2005). Certaines classifications ont d'ailleurs été proposées en fonction de la représentation de la surface corticale pour attribuer un stade de réduction à un éclat (Dibble et al. 2005 : p.545). Il est maintenant généralement admis que plusieurs autres facteurs que le stade de réduction peuvent influencer la présence de cortex, comme la nature du matériau par exemple (Andresfsky 1998 : p.102; Dibble et al 2005 : p.547). De plus, il est aussi recommandé de n'enregistrer cette variable qu'en termes de présence ou d'absence (Schott 1994 : p.80).

Nous avons aussi identifié les éléments qui portaient des traces d'une altération par la chaleur. L'altération peut résulter en la présence de cupules de feu, de noircissement ou encore d'éclatement des éléments (Patterson 1995). Cet attribut peut indiquer un contexte de dépôt particulier ou encore un traitement particulier de la matière et pour cette raison il a été enregistré lorsque présent. Finalement, une colonne commentaires permettait ponctuellement d'ajouter certains éléments, souvent d'ordre descriptif quant au matériau, qui ne trouvaient leur place nulle part au sein de la grille d'analyse.

2.2.1.2- L'analyse des outils

L'analyse des outils que nous avons effectuée est relativement sommaire. Les objectifs poursuivis par celle-ci sont dans un premier temps de dresser un inventaire précis de cette catégorie d'objets et de documenter l'utilisation respective des différents matériaux dont sont composés ces outils. L'objectif principal de leur analyse est de générer une base

de données compréhensive qui permet de quantifier leur importance et leur représentation au sein d'un assemblage. Dans un second effort, nous tentons d'y obtenir une image du degré de production et d'utilisation de ces objets et ainsi tenter de les situer dans la séquence de réduction et documenter leur degré d'usure. Notre perspective est donc plus technologique que typologique.

Notre analyse n'a pas pour objectif de renverser les identifications effectuées par les chercheurs ayant fouillé et publié les données de ces sites et pour cette raison elle accorde une grande importance à leurs interprétations. De plus, les données concernant les assemblages d'outils sont généralement plus étoffées que celles de débitage et il est généralement possible d'obtenir dans les rapports un catalogue identifiant sa fonction et le type auquel il peut être rattaché. L'originalité de notre travail réside dans une approche qui tente de mesurer le degré d'usure et l'intensité de l'utilisation représentée par les outils en fonction du matériau qui les constitue. Ce processus passe essentiellement par l'application de différents ratios.

Dans un premier temps, nous avons employé une méthodologie spécifique en fonction des grands types d'outils. Une fiche d'analyse spécifique est donc employée pour les outils bifaciaux, les outils sur éclat (unifaces) et les nucléus (Andrefsky 1998 : p.136). Les données sont regroupées par code Borden, chaque outil est aussi photographié et ces données sont rendues disponibles sous forme de catalogue.

Malgré certaines particularités, un ensemble de variables seront partagées par ces trois types de grilles d'analyse. Les informations concernant le site, le numéro de collection, le numéro de catalogue original, l'intégrité, le matériau, les dimensions générales, la présence de cortex et celle de traces de chauffe ou d'altération par la chaleur constituent des informations de base qui sont enregistrées pour chaque type d'outil. Certaines particularités caractérisent toutefois ces différentes grilles et c'est principalement celles-ci, et leurs applications, qui sont ici présentées.

La compilation de ces informations de base permet déjà d'avoir une image assez nette de la composition de l'assemblage d'outils. Elle permet entre autres d'établir la représentation des différentes catégories d'outils pour chaque matériau. On peut ainsi comparer la représentation de chaque matériau parmi les outils et parmi le débitage. L'établissement du nombre d'outils confectionné pour chaque matériau permet aussi d'établir un coefficient de fractionnement de ces matériaux, représenté par le nombre d'éclats retrouvés pour chaque outil (Burke 2003 : p.204; Plourde 1993 : p.40) et ainsi mettre en relation la représentation des différents matériaux pour les assemblages de débitage et d'outillage. Ces différentes mesures permettent d'ores et déjà de documenter l'utilisation des matériaux sur le site, mais permet aussi des comparaisons à un niveau plus global et de comparer les sites dans une perspective régionale (Plourde 1993 : p.38-43). La présentation de ces analyses est plutôt rattachée au volet interprétatif de notre recherche et sera donc essentiellement présentée à ce moment. Toutefois, nous présentons ici la méthodologie derrière cette étape de collecte de données.

2.2.1.2.1- Les outils bifaciaux

Les outils bifaciaux constituent l'ensemble des outils taillés sur leurs deux faces de façon à ce que celles-ci se rencontrent en formant un bord, ou tranchant (Andrefsky 1998 : p.172). Cet assemblage est essentiellement constitué de pointes de projectiles et de « couteaux » divers. Un ensemble d'attributs standardisés constitue la première portion de cette analyse, on y recense la provenance et le catalogage de chaque objet. Comme pour le débitage on tâche ici aussi de conserver le plus grand degré de précision possible. L'identification du type d'outil, son **nom générique**, découlant d'une désignation fonctionnelle (Chevrier 1977 : p.142), est ensuite mentionné. Celui-ci est généralement issu d'une analyse antérieure, toutefois dans le cas d'outils non identifiés préalablement ou dont l'identification semble douteuse, celle-ci peut être modifiée. **L'identification du matériau** relève encore ici plutôt du volet pétroarchéologique de cette présentation.

Un ensemble de **dimensions générales** de la pièce de même que son **poids** sont ensuite répertoriées. Le poids est encore ici mesuré à l'aide de la balance électronique (précision de 0,1gr). Les dimensions générales de la pièce sont composées d'une mesure de la longueur maximale de l'objet, de mesures de la largeur de celui-ci à différentes proportions de la pièce et de mesures d'épaisseur effectuées à ces mêmes points. Une mesure de largeur maximale et d'épaisseur maximale est aussi enregistrée. Cette prise de mesures de dimensions est évidemment effectuée en fonction de **l'intégrité de l'outil**. On y recense si celui-ci est complet ou fragmentaire. Nous identifions aussi toujours si la pièce présente des **portions corticales** ou encore **des traces d'altération thermique** en termes de présence, absence.

Ce sont essentiellement les variables qui suivent qui représentent des informations nouvelles. La présence d'un talon sur la pièce est relevée, de même que le type de celui-ci. Cette identification peut être considérée essentiellement comme un indicateur de l'achèvement d'une pièce et sa présence est généralement révélatrice d'un degré d'utilisation faible (Andrefsky 1998 : p.180). Sa présence nous informe également sur le type de support initial qui est utilisé et donc sur le début de la chaîne opératoire. Nous enregistrons par la suite si la pièce présente des traces d'**emmanchement**. Ces traces peuvent être plus ou moins visibles, mais un ensemble de caractéristiques permettent généralement d'identifier la présence de celui-ci (Andrefsky 1998 : p.176; Shott 1995 : p.58). Le cas échéant, on identifie le type d'emmanchement que celui-ci permettait et on en mesure la largeur et la longueur (Andrefsky 1998 : 179). L'identification et la description de l'emmanchement permettent de mettre en perspective les différentes proportions de l'outil, soit la portion emmanchée et la portion utilisable de celui-ci, aussi appelée lame (Andrefsky 1998 ; Shott 2005 : p.119; Odell 1996 : p.59). La mesure de ces proportions permet théoriquement d'aborder la notion d'utilité résiduelle de l'outil. Le type d'emmanchement est aussi identifié. Il s'agit d'une description simple du mode d'emmanchement et les différents modes répertoriés sont les encoches (latérales et en coin), le pédoncule et l'amincissement de la base. Le mode d'emmanchement constitue généralement un élément caractéristique de certaines catégories typologiques et son

enregistrement peut potentiellement permettre certaines comparaisons et généralisations entre les assemblages, surtout sur une base diachronique.

Une dernière variable est ensuite mesurée, **l'angle du bord**. On mesure l'angle qui se veut le plus représentatif de la pièce générale à l'aide d'un goniomètre. Cette mesure est parfois considérée comme peu fiable (Andrefsky 1998 : p.181), mais le fait qu'un même analyste effectue cette mesure pour tout l'assemblage devrait permettre une certaine reproductibilité de celle-ci (ou de l'erreur de mesure de celle-ci) et ainsi conserver une certaine valeur, sur une base comparative du moins (*idem*). Cette mesure permet aussi théoriquement de déterminer le degré d'achèvement d'une pièce bifaciale (Callahan 2000; Andrefsky 1998 : 181-182). Finalement, une section « remarques » est disponible pour y loger certains commentaires ou éléments de nature descriptive ou qualitative concernant l'utilisation et l'usure de la pièce (Chevrier 1977 : p.142) qui ne trouvent place ailleurs dans la base de données. Cette colonne contient aussi les informations concernant les modifications d'identifications, les jointifs, etc.

Cette collecte de données permet d'effectuer différents tests ou l'établissement de différents ratios reliés au degré d'utilisation de ce type d'outil. Les dimensions générales de ceux-ci et leur comparaison peuvent être considérées comme une mesure grossière de leur degré d'utilisation (Kuhn 1989 : p.37). Un second ratio peut être produit en mettant en relation la largeur et l'épaisseur des pièces, le ratio largeur/épaisseur (Shott et Nelson 2008 : p.28; Shott 2005 : p.120; Callahan 2000). Finalement, et ce, pour les bifaces particulièrement, les analystes indiquent généralement le stade d'avancement ou de finition des pièces et lorsque celles-ci sont inachevées ou aux stades de préforme ou d'ébauche. Cette indication permet aussi d'aborder la question de leur position dans la séquence de réduction et leur degré d'utilisation (Andrefsky 1998 : 181).

2.2.1.2.2- L'analyse des outils sur éclats

Les outils sur éclat sont composés d'outils non bifaciaux qui sont généralement taillés sur éclats et peuvent aussi se définir comme les outils unifaciaux (Andrefsky 1998 : p.153). Cet ensemble est principalement constitué de grattoirs, de racloirs, d'éclats retouchés ou utilisés, mais plusieurs types et fonctions peuvent être représentés. Un même ensemble de données de base y sont compilées comme pour les bifaces, mais certaines particularités caractérisent aussi leur analyse.

La présence de traces d'emmanchement est ici aussi notée. On en répertorie les dimensions de celui-ci de même que les différentes proportions de l'outil et de la même façon que pour les bifaces. Ce ratio constitue un indicateur du degré d'utilisation de ces pièces (Shott 1995 : p.68). Une particularité de cette analyse est l'identification des **unités fonctionnelles** (*Employable Units*) représentées sur chaque outil (Andrefsky 1998 : 168; Shott 1986 : p.36). Par exemple, un grattoir ne présente généralement qu'une seule unité fonctionnelle : le front. Toutefois, certains outils peuvent présenter plusieurs unités fonctionnelles. Ces unités fonctionnelles sont identifiées sur la base de la présence et de la nature de la retouche, d'une rupture dans la morphologie du support ou par la présence de traces d'utilisation (*idem*). Un décompte de ces unités est effectué et chacune d'elles est décrite indépendamment.

Leur description identifie la **position** de chaque unité sur l'outil (par exemple, une position distale, latérale ...), la **localisation de la retouche** (face ventrale, dorsale), son **angle** (selon trois catégories : $<30^\circ$, $30-60^\circ$, $>60^\circ$) de même que la **morphologie générale** de cette unité fonctionnelle : concave, convexe, droite ou acuminée (Andrefsky 1998 : p.168-171). Lorsque possible, on attribue une **fonction** à chaque unité. La longueur de chaque unité fonctionnelle est mesurée à l'aide d'une ficelle. On peut ensuite combiner la longueur cumulée des différentes unités et comparer cette mesure à celle de la périphérie totale de la portion potentiellement utilisable du support et ainsi obtenir un **ratio** mettant en relation

l'utilisation réalisée et l'utilisation potentielle de la pièce⁷ (Shott 1986 : p.36). Ce ratio constitue donc un indice du degré d'utilisation de chaque outil de cette catégorie.

Pour chaque unité fonctionnelle, on mesure également la **longueur** de la pièce de façon perpendiculaire au bord utilisé, *length across* de Kuhn (1989 : p.37). Cette mesure permet aussi théoriquement d'évaluer le potentiel d'utilisation résiduelle de l'outil (*idem*, Shott 1995). Cette dernière stratégie est particulièrement applicable aux grattoirs et racloirs (Shott 1995; Shott et Weedman 2007) alors que la première permet de documenter dans une certaine mesure l'intensité d'utilisation des éclats utilisés et retouchés.

Par l'application de ces mesures et ratios, nous souhaitons mettre en lumière un degré d'utilisation relatif pour les outils confectionnés en différents matériaux et ainsi identifier certaines tendances. Ces ratios complètent selon nous l'image que l'on peut obtenir en effectuant de simples compilations. Finalement, une colonne commentaires permet de consigner certaines informations de nature descriptive.

2.2.1.2.3- L'analyse des nucléus

La catégorie des nucléus est composée de toutes les pièces desquelles ont été détachés des éclats. Leur fonction doit résider dans cet usage à titre de réserve de matériau et non dans une utilisation telle quelle de ces objets (Andrefsky 1998 : 137). Un nombre relativement restreint de variables est utilisé pour décrire cet assemblage. Les informations concernant leur provenance figurent évidemment encore ici, de même que leurs **dimensions générales** et leur **poids**.

Les principaux attributs observés concernent la technologie et la nature du matériau. Au niveau technologique, nous avons principalement déterminé le **type de nucléus**. Le type de

⁷ Il est admis que pour obtenir une estimation de l'utilité potentielle maximale d'un outil nous devons en connaître les dimensions initiales (Shott 2005 : p.113, Shott et Sillitoe 2005 : p.660). Toutefois, l'application de ce ratio permet une quantification relative du degré d'utilisation et permet de comparer celui-ci pour différents outils ou assemblages.

nucléus renvoie à la stratégie de débitage (Andrefsky 1998 : p.144). Nous avons particulièrement tenté de relever la présence de nucléus de type bipolaire. Cette dernière technique laisse des traces diagnostiques d'écrasements et de points d'impacts opposés (Berman et al 1999 : p.419; Kuijt, Prentiss et Pokotylo 1995 : p.118; Andrefsky 1998 : 147). Cette stratégie de réduction est parfois assimilée à une volonté de maximiser l'utilisation d'une masse de pierre (Berman et al 1999 : p.423; Andrefsky 1998 : p.149) ou encore à des contraintes imposées par la nature des matières premières (Andrefsky 1998 : p.149, 1994). L'identification de ce type de nucléus s'insère donc très bien dans la poursuite de nos objectifs.

Certains attributs sont plutôt orientés vers la documentation de la nature du matériau dont sont constitués ces nucléus. Nous avons donc tenté de documenter la nature du **support** lorsque l'opportunité était présente. C'est principalement par la présence de **cortex** sur la pièce et l'identification du type de celui-ci que nous avons pu déterminer dans certains cas la nature du support (Andrefsky 1998 : p.101). On arrive donc parfois à déterminer si le nucléus est taillé à partir d'un bloc massif ou encore à partir d'un galet. La détermination du type de support permet de documenter sous quelle forme les groupes amérindiens ont pu se procurer certains matériaux et cet élément peut d'ailleurs contribuer à décrire plus adéquatement ces matières premières et potentiellement contribuer à la détermination de leur provenance. Nous avons ici aussi noté la présence **d'altération par la chaleur**. L'identification de telles traces pourrait permettre de proposer la présence d'un traitement thermique de certains matériaux (Patterson 1995 : p.73).

L'abondance et la nature de cette catégorie d'artéfacts sur les sites permettront d'évaluer dans une certaine mesure l'intensité de l'utilisation des matériaux de même que leur accessibilité. Comme pour le débitage, au cours du processus de réduction, leurs dimensions devraient devenir de plus en plus restreintes jusqu'à un point où l'on ne retrouve plus de nucléus au sein d'un assemblage lithique. Ils fournissent donc de bons indicateurs quant à l'utilisation et à la circulation des matières premières lithiques.

En plus de nous permettre d'effectuer certains tests et de générer des interprétations quant à l'utilisation des matières premières lithiques, cette collecte de données permet aussi de générer un catalogue exhaustif où plusieurs assemblages et sites figurent pour composer un outil de consultation sans précédent pour la région à l'étude. Cette présentation conclut le volet technologique de notre collecte de données sur les assemblages lithiques. La section qui suit traite de la description, de la classification et de l'identification des matières premières lithiques qui composent les assemblages étudiés.

2.2.2- Le volet pétroarchéologique

La pétrographie est la branche de la discipline géologique chargée de la description et de la classification des roches (Nehlig 1999 : p.10; Codère 1998 : p.4). Son application à l'archéologie, somme toute relativement récente (Grégoire 2002 : p.929), a reçu le nom de pétroarchéologie (Codère 1998 : p.4; Stelcl et Malina 1970 dans Grégoire 2002 : p.292). Si pour le géologue la pétrographie implique essentiellement la description des matériaux à l'aide de l'examen de lames minces au microscope polarisant (Nehlig 1999 : p.10), celle-ci doit toujours impliquer une description macroscopique préliminaire qui permet d'effectuer une description systématique et de répertorier un maximum de critères descriptifs afin de bien caractériser la pierre (Grégoire 2002 : p.931). L'analyse de lames minces⁸ constitue donc une seconde étape de ce traitement et vise essentiellement à affiner la description et vérifier les éléments suggérés par l'analyse macroscopique (*idem*).

Dans le cadre de notre recherche, nous devons nous limiter essentiellement à une analyse macroscopique des roches constituant les assemblages archéologiques étudiés. Par analyse macroscopique nous entendons une analyse effectuée dans un premier temps à l'œil nu à l'aide de sources lumineuses afin d'apprécier certaines caractéristiques de la pierre combinée à une analyse à l'aide d'un microscope binoculaire permettant un grossissement de 10 à 40X. Notre approche vise principalement à obtenir une description sommaire pour chacun des types de pierres rencontrés dans les collections étudiées. Cette description doit

être systématique et guidée par l'utilisation d'attributs et de modalités explicites. Elle doit notamment permettre d'identifier et de décrire les éléments les plus pertinents quant à la nature des matériaux. Cette méthode se doit aussi d'être globalisante dans le sens où elle permet d'effectuer des regroupements et recoupements sur la base de similarités. De manière complémentaire, elle doit aussi être assez spécifique pour permettre de distinguer deux matériaux relativement similaires et permettre l'attribution d'une provenance, lorsque possible.

Notre démarche constitue donc un premier traitement systématique de ce type d'information pour la région à l'étude. L'étude macroscopique d'une collection d'artéfacts lithiques ne permet effectivement pas toujours d'être très spécifique quant à la composition exacte des matériaux (Morin et Marquis 1995 : p.39). Les limites d'une telle méthode de description ont été abondamment soulevées (Clermont et Chapdelaine 1995 : p.45). L'un des principaux problèmes soulevés est que l'archéologue n'est souvent qu'un géologue amateur (*idem*) et que si les géologues sont plus aptes à effectuer de telles descriptions « c'est parce que leur formation et leur expérience les préparent mieux à cette description » (*idem*). Si une étude macroscopique ne permet évidemment pas de lever toutes les interrogations, il est néanmoins reconnu qu'elle permet de classer les matériaux selon des critères rigoureux et de regrouper des échantillons semblables (Marquis 1998 : p.325; Morin et Marquis 1995 : p.44). L'analyse pétrographique de lames minces permettrait probablement d'atténuer les inquiétudes et questions qui demeureront probablement en suspens, mais cette méthode d'analyse constitue une méthode destructive des artéfacts⁹ et son utilisation devrait se limiter à des questions plus spécifiques qu'un inventaire régional. Une analyse macroscopique est d'ailleurs très apte à identifier les matériaux pour lesquels une telle étude serait fructueuse (Morin et Marquis 1995 : p.44).

⁸ Il en va de même pour les autres types d'analyse plus détaillée, soient-elles visuelles ou constitutives.

⁹ Bien que les lames minces demeurent disponibles pour de futures analyses et pour comparaisons, leur production à partir d'objets archéologiques exige une modification/altération considérable de celui-ci. De plus, la production de ces lames exige certaines dimensions minimales.

La validité et la fiabilité d'une analyse macroscopique semblent donc non seulement résider dans l'utilisation de critères rigoureux et explicites, mais dépend aussi de l'expérience et de la formation de l'analyste. C'est en ce sens que l'auteur a complété une formation sommaire, composée par le cours de Minéralogie (GLQ-1105) et celui de Pétrographie (GLQ-1115) dispensés par le département de génie géologique de l'École Polytechnique. Ces cours visent particulièrement à former les étudiants à identifier et décrire les éléments constitutifs des roches. Ces cours sont particulièrement axés sur la pratique en laboratoire et ont permis d'obtenir une formation géologique de base concernant la description d'échantillons macroscopiques de même que l'étude de lames à l'aide d'un microscope à lumière polarisée. Cette formation a permis d'obtenir une meilleure maîtrise du vocabulaire et des méthodes de la pétrographie et devrait permettre de combler certaines lacunes qui découlent du manque de formation de nature géologique. C'est en ce sens que nous pouvons prétendre bénéficier d'une approche informée et ainsi augmenter la validité de nos analyses et la crédibilité de nos résultats. Il est aussi assez bien établi que la validité des identifications réalisées sur une base visuelle macroscopique dépend également du contrôle du potentiel lithique de la région étudiée (Odell 2004 : p.24; Aubry et Mangado 2006 : p.42; Flébot-Augustin 2006 : p.108) et de l'état d'avancement général des collections de références, soient-elles d'origine archéologique ou géologique (Aubry 2005 : p.250; Odell 2004 : p.28; Burke 2006 : p.80).

Finalement, quatre lames minces ont été préparées et analysées dans le cadre de cette recherche. Elles proviennent toutes d'échantillons géologiques de nodules de chert de la Minganie. Leur analyse permettra de dresser un portrait plus détaillé de ce matériau. Ce dernier volet de notre étude est relativement accessoire dans le sens où il ne s'agit pas ici d'une étude portée sur l'utilisation intense de cette méthode et nous nous contenterons donc de présenter les résultats obtenus par l'analyse de ces lames minces au chapitre 4 sans trop nous attarder sur les questions de méthodologie.

2.2.2.1-La description des matières premières lithiques

Un certain nombre d'études visant à décrire les matériaux constituant les collections archéologiques québécoises sont disponibles et exposent généralement en détail la méthodologie employée (Codère 1996; 1998; Marquis 1998; Morin et Marquis 1995). Ces travaux constituent véritablement la référence en ce qui concerne l'identification et la description des matières premières lithiques et nous nous en inspirerons grandement pour le développement de notre démarche d'analyse.

Quelques remarques concernant le processus d'analyse doivent ici être effectuées. Au cours de l'analyse des collections archéologiques, les matériaux rencontrés se voyaient dans un premier temps octroyer un code temporaire et une description sommaire était alors consignée dans un cahier d'analyse. L'inventaire des matériaux s'effectuait initialement au niveau du site et il n'est pas rare qu'à la fin de l'analyse d'un assemblage, plusieurs codes temporaires se voyaient regrouper ensemble et constituer une certaine variabilité d'un même matériau. C'est à cette étape que la description systématique des matériaux était effectuée et que l'information s'est vue consignée définitivement dans une base de données informatisée.

On obtient donc une fiche descriptive de chacun des matériaux recensés sur chacun des sites. Afin de privilégier une approche globalisante et standardisée, les différents matériaux se voient par la suite attribuer une appellation. L'objectif de ce processus est de standardiser son identification et son appellation à l'échelle régionale.

2.2.2.1.1-Les attributs retenus pour la description

La première étape de la description des matériaux passe par l'identification de la **matière première** (Codère 1998 : p.21). Un nombre assez varié de pierres sont susceptibles d'avoir été taillées au cours de la préhistoire. En pratique toutefois le nombre de types de roches utilisées est relativement restreint. L'identification de la matière première est

essentiellement une question de nomenclature et de terminologie (Codère 1993 : p.91) et il serait fastidieux d'en dresser ici une liste exhaustive. On peut d'ailleurs en consulter de très complètes dans les travaux de Codère (1998 : p.10-19, 1993 : p.91-92). Afin d'éviter l'utilisation d'une surabondance de termes et permettre plus facilement les comparaisons, nous utilisons essentiellement l'inventaire dressé par Codère (1998).

Le prochain attribut observé est la **couleur de la pierre**. L'appréciation de la couleur peut constituer un élément relativement arbitraire et varier grandement en fonction de l'observateur. C'est pour cette raison qu'il est abondamment suggéré d'utiliser une charte de couleur standardisée (Codère 1998 : p.21, Morin et Marquis 1995 : p.42). Malgré cet effort de standardisation, la détermination d'une couleur principale implique tout de même un choix de l'analyste et ne permet pas toujours de bien documenter la variabilité qui peut être présente au sein d'un même matériau. Pour cette raison, nous identifions dans un premier temps la **couleur principale** du matériau (celle qui le caractérise le mieux et le plus abondamment) et dans un deuxième temps nous dressons une liste des **couleurs secondaires** qui ont été observées. Afin de parvenir à une détermination standardisée de la couleur, nous avons employé la charte de couleur *Rock Color Chart* de Munsell (1963) qui est abondamment utilisée (Codère 1998; Morin et Marquis 1995). Par la suite, le **degré de transparence** de la pierre était alors déterminé en fonction du degré de lumière qui parvient à traverser la matière (Codère 1998 : p.25). Encore une fois, dans le but de standardiser les observations et utiliser des modalités standardisées nous avons employé la méthodologie proposée par Codère (1998 : p.25). Puisque l'épaisseur de la pièce influence cette caractéristique, nous avons privilégié l'utilisation constante d'éclats minces.

La description des éléments qui suivent est également fortement inspirée des travaux de Codère et sur cette base nous utilisons les mêmes attributs et leurs modalités en respectant les critères qui y sont présentés (Codère 1998). Par la suite la **texture** du matériau était analysée. Bien que la texture peut essentiellement être appréciée grâce au toucher elle renvoie également à la façon dont une pierre reflète la lumière (Codère 1998 : p.22). Il faut cependant faire attention de ne pas confondre texture et **granulométrie**. Bien que cette

dernière puisse également être appréciée dans une certaine mesure par le toucher, la granulométrie renvoie à la dimension des grains qui constituent la pierre analysée. L'utilisation de la loupe binoculaire est ici privilégiée, car seule une granulométrie grossière est visible à l'œil nu (Codère 1998 : p.26). Contrairement, pour une granulométrie aphanitique, on ne parvient pas, même à l'aide d'une loupe binoculaire, à discerner la limite des grains (*idem*).

L'identification des structures est importante, car elle permet parfois de déterminer le mode de formation des matériaux et peut ainsi participer à la détermination de leur provenance. Codère identifie 16 types de structures susceptibles de se retrouver dans les matériaux utilisés (Codère 1998 : p.22). Certaines structures sont liées à la **nature des inclusions** qui composent la pierre. Par exemple, une structure oolithique est généralement associée à la présence d'oolithes, structures d'origine sédimentaire de moins de 1mm. De diamètre, rondes elles présentent généralement des zones concentriques (Codère 1998 : p.23). Les inclusions constituant les roches peuvent être très variables et sont elles aussi liées au mode de formation et au type de pierre (Beaulieu 2004; Deer, Howie et Zussman 1992; Bonewitz 2005). Une analyse macroscopique ne permettra pas toujours d'identifier hors de tout doute la nature des inclusions (Codère 2000 : p.2). Les principaux types d'inclusions peuvent toutefois être généralement discernés, ils sont les inclusions fossiles, les inclusions minérales et les fragments de roches. Codère (1998 : p.24-25, 70) dresse une liste et décrit les différentes inclusions susceptibles d'être rencontrées. Une expérience considérable est toutefois requise pour arriver à identifier certains types et c'est pourquoi nous avons aussi parfois utilisé des indications assez générales alors que des doutes subsistaient. Par exemple, nous avons parfois noté que les inclusions étaient constituées de structures circulaires ou sphériques siliceuses et incolores devant l'impossibilité de déterminer s'il s'agissait de radiolaires, de fossiles ou encore d'oolithes. De plus, une roche peut parfois contenir un nombre varié de types d'inclusions. Pour cette raison, nous avons aussi utilisé deux niveaux de description : **inclusions principales** et **inclusions détaillées**. Le second niveau permet soit de dresser une liste des inclusions accessoires et moins abondantes ou encore de donner une description plus détaillée des inclusions principales.

Par exemple, dans le cas de quartzites présentant des inclusions minérales, il peut être pertinent de déterminer la représentation (pourcentage) de ceux-ci parmi la matrice à l'aide d'une charte visuelle.

Finalement, nous avons observé deux attributs qui ne figurent pas parmi ceux proposés par Codère (1998). Nous avons identifié le type de **cortex**, lorsque présent, qui caractérise la pierre. Le cortex représente la surface naturelle de la pierre et sa **nature** de même que sa **couleur** peuvent constituer des éléments pertinents de la description du matériau. Les types de cortex sont relativement limités et renvoient aussi au mode de formation de la pierre. Celui-ci peut être arrondi et provenir de galets ou encore il peut être relativement rectiligne et indiquer une provenance d'un affleurement massif. La présence de lits ou de surface de joint dans un matériau peut aussi permettre de proposer une telle provenance. Nous avons aussi recensé la présence d'**altération** sur les matériaux lorsque celle-ci était présente. Il peut s'agir de la formation d'une patine, d'une oxydation des minéraux ferreux ou encore du résultat d'une altération par la chaleur.

Ultimement, une colonne **commentaire** permettait de consigner certains éléments descriptifs. On peut par exemple y retrouver certaines indications quant à la variabilité d'un matériau ou encore certaines indications quant à la similarité avec d'autres matériaux.

2.2.2.2- Détermination de la provenance et les collections de références

En plus de décrire les matériaux qui figurent au sein des assemblages étudiés, nous souhaitons également déterminer la provenance de ceux-ci, lorsque possible. Cette démarche n'est pas toujours aisée et dépend grandement de notre connaissance des sources potentielles. L'expérience cumulée par un analyste est particulièrement déterminante pour la réussite de cet objectif. Toutefois, certains outils sont disponibles et peuvent faciliter une telle détermination.

Ceux-ci sont essentiellement les collections de référence lithique qui ont été mises sur pied. Celles-ci sont de deux types, les collections dont les échantillons sont de provenance géologique et celles dont la provenance est archéologique. La collection la plus importante qui nous est accessible, celle du Centre de Référence Lithique du Québec, est constituée essentiellement d'échantillons géologiques de provenances diverses. Deux collections de référence lithiques dont les échantillons sont de provenance archéologique sont hébergées au centre de conservation du MCCCCFQ et documentent respectivement les collections de la Basse-Côte-Nord (Marquis 1998) et de la Haute-Côte-Nord. Les études de potentiel lithiques effectuées à partir de documentation géologique permettent aussi d'obtenir une image de l'inventaire des ressources lithiques disponibles pour une région donnée (Codère 1999). Finalement, une bonne connaissance des réseaux d'échanges et de la présence de sources de matières premières présentes dans les régions avoisinantes permet de mieux contrôler la variabilité de matériaux susceptibles de figurer dans nos assemblages et facilite leur identification. Ces données sont présentées au chapitre 4.

Chapitre 3 : Présentation de la région d'étude

3.1- Présentation générale

Notre région d'étude occupe la portion centrale de la Côte-Nord du Saint-Laurent. De façon très globale, cette côte forme la partie méridionale de la grande région de la péninsule Québec-Labrador. Cette péninsule constitue un environnement très vaste dominé par la forêt boréale. Sa limite ouest est constituée par la rivière Saguenay et plus à l'est par les eaux du golfe du Saint-Laurent et de l'océan Atlantique (Lacasse 2004 : p.28). La région d'étude s'insère donc dans un vaste environnement subarctique. Plus particulièrement, notre aire d'étude correspond au territoire de la MRC de la Minganie. Celle-ci correspond grosso modo à la région que l'on appelle la Moyenne-Côte-Nord. La région de la Minganie s'étend toutefois moins vers l'ouest et cette limite est constituée par la rivière Sheldrake. Vers l'ouest, la limite est constituée par la rivière Natashquan et le village du même nom. Pour des raisons de proximité, nous avons toutefois aussi inclus le secteur de Kégashka à notre aire d'étude (voir figure 5 : localisation des sites et secteurs archéologiques p.49).

3.1.1- Le milieu physique

Géographiquement, la Moyenne-Côte-Nord se définit comme la portion côtière comprise entre les villages de Pointe-de-Monts à l'ouest et celui de Natashquan à l'est et correspond assez bien à la définition de notre aire d'étude. Ce territoire inclut aussi le vaste territoire intérieur jusqu'à la frontière du Labrador au nord. La région se découpe en deux provinces physiographiques, la région Laurentidienne et celle des Basses-Terres du Saint-Laurent (Dubois 1979 : p. 43). La première fait partie du Bouclier canadien alors que la seconde, essentiellement ennoyée sous les eaux du golfe et n'émergeant qu'en de rares endroits, essentiellement à Havre-Saint-Pierre et constituant l'archipel de la Minganie, constitue en quelque sorte une particularité de la région (Dubois 1979 : p.45). Cette région s'organise, du sud au nord, en trois secteurs altimétriques. Un premier secteur, la plaine côtière, constitue la côte et les replats situés à moins de 150 mètres d'élévation. Sa largeur est très

variable, en moyenne 10 km. Le littoral y est surtout sablonneux et ponctué de zones rocheuses entre les deltas (Dubois 1979 : p.43). Le Piedmont laurentien, quant à lui correspond aux élévations comprises entre 150 et 300m et fait la transition entre la plaine côtière et le Plateau laurentidien (*idem*). Le Piémont est fortement morcelé dans un axe nord-sud par les rivières importantes de la région. Le Plateau laurentien, perché entre 300 et 1000m d'altitude (Dubois 1979 : p.44), aussi appelé « la hauteur des terres » constitue l'habitat privilégié des grands mammifères terrestres comme le caribou (Dubois 1996 : p.29).

3.1.2- Évolution du paysage; un aperçu

L'objectif n'est pas ici de dresser un portrait complet de l'évolution du paysage depuis la dernière déglaciation, mais seulement d'en dresser une brève esquisse et de faire ressortir les éléments les plus pertinents en ce qui concerne l'occupation du territoire. Aussi tôt que vers 11 000 ans A.A. certaines portions de la côte sont déjà libérées de glaces : la région de Baie-Comeau et celle de Blancs-Sablons soit les deux extrémités de la côte (Dubois 1977 : p.243; Richard 1985; Parent et al 1985). La portion comprise entre Sept-Îles et Aguanish n'émergera quant à elle qu'aux environs de 9800-9500 ans A.A., période qui correspond à la position maximale de la mer de Goldthwait qui envahit les territoires libérés des glaces (Dubois 1977 : p.241). À cette période, le niveau de la mer atteint entre 126 et 140 mètres au dessus du niveau moyen actuel et plus précisément entre 128 et 131m d'altitude dans la région de la rivière Romaine (Dubois 1979 : p.241; Bigras et Dubois 1987).

3.1.3- Géologie générale

Au niveau de sa géologie constitutive, la Moyenne-Côte-Nord est formée de trois provinces géologiques. Les provinces de Grenville et du Supérieur (d'âge précambrien 570 à 4500 millions d'années) forment la partie de la région attribuable au Bouclier canadien (la portion Laurentidienne de territoire) (Dubois 1996 : 42). La province de Grenville couvre la majeure partie de ce territoire, celle du Supérieur n'occupant qu'une petite portion de la portion nordique de la région. La province des Basses-Terres du Saint-Laurent, plus récente (d'âge cambrien et ordovicien), repose en discordance sur les formations Grenvilliennes du Bouclier précambrien (570 à 4500 millions d'années) et occupe toute la partie sous-marine de la région, les îles de Mingan et d'Anticosti et quelques affleurements dans les environs du village de Havre-Saint-Pierre (Dubois 1996 : p.42).

Quatre grands ensembles lithologiques constituent les pierres de la région. Les roches ignées volcaniques et intrusives et les roches métasédimentaires composent le Bouclier, les provinces de Grenville et du Supérieur (Dubois 1979 : 85). Le bouclier est donc le domaine des roches minéralisées alors que les roches sédimentaires, quant à elles, ne sont présentes que dans les Basses-Terres du Saint-Laurent (*idem*).

3.1.4- Les populations en place

La Moyenne-Côte-Nord de même que toute la péninsule Québec-Labrador sont les territoires traditionnellement parcourus par les Innus, aussi connus sous le nom de Montagnais de la Côte-Nord et du Labrador (Lacasse 2004 : p.27; Mailhot 1999; Bouchard 2004). Cette nation occupe toujours ce territoire et est regroupée en plusieurs petites communautés qui sont réparties tout le long de la côte entre Les Escoumins (*Essipit*) et Davis Inlet (*Utshimassit*) au Labrador. L'emplacement de ces communautés sur la frange côtière semble toutefois être le reflet de la création des réserves indiennes (Lacasse 2004 : p.31) et non strictement celui de réalités historiques. Les Innus se définissent généralement

comme un peuple de l'intérieur et c'est d'ailleurs celui-ci qui constitue le lieu où se déroule la plus grande partie de leur cycle annuel d'activité traditionnel (Mailhot 1999; Dominique 1989; Speck 1931; Archéotec 1979 : p.20). Toutefois, l'emplacement de ces villages semble souvent correspondre à d'anciens lieux de rassemblements. Ces lieux ont d'ailleurs aussi déterminé la localisation des premiers postes de traite établis dans la région (Frenette 1986 : p.). Celui de Mingan est d'ailleurs établi dans la région dès le XVII^e siècle (Archéotec 2000 : p. 4; Lévesque 1971). À l'intérieur de notre aire d'étude, on trouve les communautés de Mingan (*Ekuanitshit*) et celle de Natashquan (*Nutashkuan*).

En plus des communautés autochtones répertoriées, plusieurs villages euro-canadiens sont présents sur le territoire. Ceux-ci, souvent fondés en premier lieu par des familles de pêcheurs, sont essentiellement installés près de la côte (Archéotec 1979). Il en ressort donc une image de corridor, où seulement la côte est réellement habitée et où se concentrent les différentes infrastructures routières, laissant le territoire de l'intérieur essentiellement vierge.

3.2- Le volet archéologique

3.2.1- Historique des recherches

À l'échelle du développement de la recherche archéologique au Québec, les premiers travaux effectués sur la Côte-Nord représentent un ensemble relativement précoce. Différents points d'intérêt y ont été visités par les archéologues au début du 20^e siècle, notamment ses deux extrémités; la région de Tadoussac et celle du détroit de Belle-Isle (Martijn 1978 :16).

La Moyenne-Côte-Nord verra ses premiers travaux réalisés dans les années 1920 alors que l'archéologue du Musée de l'Homme (Ottawa), W.J. Wintemberg, explorera l'ensemble de

la vallée du Saint-Laurent (Martijn 1978 : p.16). Notamment, il visita les régions de Mingan (Chevrier 1977 : p.45) et de Kégashka (Chapdelaine 2004 : p.87) tentant de localiser et de documenter différents gisements présentant des poteries de type iroquoïennes (Martijn 1978 : p.16).

Les travaux mentionnés jusqu'ici représentent une première vague d'explorations dans la région et il faudra attendre près d'une quarantaine d'années avant que les travaux n'y soient poursuivis. Dans les années 1960, la Société d'archéologie du Québec entreprend des interventions dans la région du village de Mingan (Lévesque 1965; 1966). Malgré la grande quantité de données produites par les interventions de la société dans la région de Mingan et la publication de l'une des rares monographies (Lévesque 1971), la qualité de celles-ci sera abondamment critiquée (Chevrier 1977 : p.46). Malgré cela, les travaux de Lévesque ont tout de même contribué à souligner le potentiel archéologique de la région et stimulé le développement des recherches. Les premières mentions du chert de la Minganie traitant de son utilisation et de sa provenance lui sont d'ailleurs attribuables (Lévesque 1966; Bernard 1966).

Il faudra attendre le début des années 1970 et le projet de construction de la route 138 pour voir la mise sur pied d'un programme systématique et rigoureux de recherche archéologique dans la région. Un programme d'inventaire mené en plusieurs étapes permet de documenter l'essentiel de la portion côtière de la région entre Sept-Îles et Havre-Saint-Pierre (Chevrier 1973; 1973a et 1976). Ces travaux ont permis la découverte d'un nombre important de sites et certains d'entre eux feront d'ailleurs l'objet de fouilles (Chevrier 1978a; 1978b). Un inventaire réalisé en bordure de la rivière au Bouleau (Chevrier 1973), situé légèrement à l'ouest de notre région d'étude, permettra d'identifier un ensemble de sites préhistoriques qui seront fouillés par Chevrier et dont la publication des résultats (Chevrier 1977) constitue sans aucun doute la contribution la plus significative pour la compréhension de la préhistoire régionale.

La poursuite des travaux entrepris dans la région sera le fait de la prise en charge par le Conseil Atikamekw Montagnais (CAM) d'un programme de recherche visant à documenter la préhistoire de la région. C'est à ce titre qu'une évaluation des sites de la région de Mingan (Somcynsky 1987), de même qu'un programme d'inventaire de l'archipel de Mingan furent entrepris (Somcynsky 1986). Ces travaux permirent la découverte de plusieurs nouveaux sites et la documentation plus approfondie de nombreux gisements déjà connus et constitue un des rares exemples de recherche dirigée dans la région. Le CAM se chargera également de réaliser les interventions reliées au prolongement de la route 138 entre les villages de Havre-Saint-Pierre et de Natashquan (Somcynsky 1989; 1989a).

Finalement, pour atteindre l'extrémité est de notre région d'étude, c'est une équipe de l'Université de Montréal dans le cadre d'une entente avec le Ministère des Transports qui réalisa un inventaire et la fouille de quelques sites dans la région du village de Kégashka (Chapdelaine 1994; 2004). Quelques travaux ponctuels de sauvetage complètent cet inventaire, par exemple les interventions de Plourde (2003) sur l'archipel, de Laforte (1989) pour la réfection d'une portion de la 138 et de Pintal (1996; 1996a) dans la région d'Aguanish.

Nous concluons en soulignant que ces travaux ne touchent qu'essentiellement des zones comprises dans la frange littorale du paysage et que l'intérieur des terres n'est jamais pénétré sur de grandes distances. Toutefois, en relation avec le développement hydroélectrique, un programme d'inventaire archéologique a présentement cours sur la rivière Romaine (Archéotec 1999; 2000; 2002; 2004; 2006; 2006a) et permettra vraisemblablement de poser les bases de l'occupation de ce secteur. Malheureusement, ce programme ne constitue qu'une trop rare exception et l'intérieur des terres demeure fort méconnu.

3.2.2- La structure et la nature des interventions

La présentation de l'historique des recherches effectuées sur la Moyenne-Côte-Nord permet d'effectuer un premier constat. Les données existantes ont essentiellement été produites dans un contexte de sauvetage, lors d'inventaires archéologiques touchant des régions menacées par les développements divers. Ces recherches n'ont pas échappé à la nature de l'occupation et du développement régional et donc si la côte bénéficie d'une couverture appréciable, l'intérieur n'est que très peu documenté.

Malgré cet état des choses, un nombre important de sites présentant une composante préhistorique ont été mis au jour dans la région. Entre les villages de Sheldrake et de Kégashka, ce nombre atteint 154¹⁰. Ceux-ci se répartissent toutefois de façon inégale sur le territoire et certaines concentrations de sites ressortent. Celles-ci peuvent être le reflet d'un effort de recherche inégal, mais certaines comme celle de Mingan témoigne assurément de l'attrait important de ce secteur. Le tableau I présente la répartition de ceux-ci en fonction des secteurs archéologiques que nous proposons.

Tableau I : Nombre de sites préhistoriques par secteur archéologique

Secteur archéologique	N	%
Tonerre/Saint-Jean/Longue-Pointe	10	6,49%
Archipel	8	5,19%
Mingan	30	19,48%
Romaine/Havre-Saint-Pierre	24	15,58%
Rivière Romaine	21	13,64%
Betchouanes	7	4,55%
Piashti/Watshishou	13	8,44%
Aguanish	18	11,69%
Kégashka	23	14,94%
Total	154	100,00%

Le nombre relativement élevé de sites découverts, doit être mis en contexte en tenant compte de l'ampleur du territoire considéré, plus de 250 km linéaires. De plus, la nature des interventions effectuées, qui relèvent essentiellement d'inventaires réalisés en contexte de

sauvetage, n'aura pas permis la fouille d'un nombre important de sites. Ces sites sont donc en majeure partie uniquement investigués par sondages (73,91%, Tableau II) et l'image qu'ils nous renvoient n'est généralement que très partielle.

Tableau II : Nombre de sites en fonction du type d'intervention

Type d'intervention	N	%
Découverte fortuite	1	0,65%
Identification visuelle	3	1,95%
Collecte de surface	17	11,04%
Sondages	118	76,62%
Fouille	15	9,74%
Total	154	100,00%

Tableau III : Nombre de sites par catégorie de nombre d'artéfacts lithiques selon l'ISAQ

Nombre d'artéfacts par site selon l'ISAQ	N	%
0	5	3,25%
Moins de 10	45	29,22%
10-49	37	24,03%
50-99	13	8,44%
100-249	15	9,74%
250-499	13	8,44%
500-999	9	5,84%
1000-1999	4	2,60%
2000-4999	7	4,55%
5000-9999	2	1,30%
10 000-100 000	1	0,65%
Plus de 100 000	3	1,95%
Total	154	100,00%

On se retrouve donc avec un très grand échantillon de données de provenances diverses qui ne présente que peu de résolution quant à leur contexte. Le faible nombre de fouilles entreprises sur ces gisements n'aura pas permis de réaliser un nombre important de datations radiocarbone. Le contrôle chronologique des ensembles archéologiques de la région s'en trouve donc très limité. Bien que d'autres méthodes permettent d'organiser les données archéologiques de façon relative, la présence d'objets diagnostiques par exemple, ou l'élévation des terrasses abritant les sites, aucune réelle tentative n'a jusqu'ici été appliquée à la région dans son ensemble. La présence de poterie sur certains des sites de la

¹⁰ En date de décembre 2008 (inventaire ISAQ)

région (10 sites, principalement concentrés dans la région de Mingan, des Betchouanes et de Kégashka) permet de situer grossièrement l'occupation de ces sites à la période du sylvicole. Leur présence pose toutefois le problème de leur provenance (Chevrier 1978; Cermont 1998; Chapdelaine 1986; Chapdelaine et al 1995). Quant à l'élévation des terrasses et leur ancienneté, Dubois (1979 : p.332) nous indique que celle-ci bénéficie d'une assez bonne concordance à l'échelle régionale et autorise donc partiellement l'emploi de cette méthode, mais celles-ci n'a été que rarement utilisée (Chapdelaine 2004 : p.112; Chevrier 1973) et n'implique généralement pas de comparaisons très étendues ou de généralisations à l'échelle régionale.

Ce manque de contexte pour les données archéologiques est aussi reflété par l'absence de synthèses régionales. Si certains exemples existent (Chevrier 1976; 1978a; 1996), celles-ci demeurent très générales et n'ont généralement pas impliqué de retour sur les collections. De plus, la région ne bénéficie pas d'un cadre chronologique/culturel propre comme il en existe pour les régions avoisinantes, particulièrement pour la Basse-Côte-Nord (Pintal 1998). Un tel cadre permettrait de dresser un portrait de l'évolution des cultures archéologiques représentées.

Chapdelaine a toutefois fait la démonstration qu'une telle entreprise était réalisable (Chapdelaine 2004). Ces travaux dans la région de Kégashka ont permis de générer de nouvelles datations absolues et ainsi d'organiser ses données (Chapdelaine 2004 : p.97). Pintal en développant sa problématique d'intervention dans la région de Blanc-Sablon soulevait aussi la nécessité d'effectuer des nouvelles datations radiocarbone et que malgré un nombre important de données, sans les datations absolues la mise en place d'un cadre chronologique demeure difficile ou impossible (Pintal 1998 : p.24). Malgré le nombre limité de datations radiométriques dont nous disposons et la rareté des efforts de publication qui permettent de proposer une synthèse des données reliées à la préhistoire de notre région d'étude, nous dressons dans les lignes qui suivent un aperçu de l'histoire

culturelle de celle-ci. Celui-ci est évidemment incomplet, mais permet toutefois de fournir un cadre dans lequel s'insèrent les données que nous utilisons.

Tableau IV : Datations radiocarbone disponibles pour la région d'étude

Secteur archéologique	Code Borden	Provenance	Années ^{14}C (ans A.A.)	# Laboratoire	Référence
Betchouanes	EbCt-002	Zone 1b foyer Est	720 \pm 120	Beta- 41871	Somcynsky 1990a: p.82
	EbCt-002	Zone 1b foyer Ouest	1130 \pm 160	Beta- 41872	Somcynsky 1990a: p.82
	EbCt-002	Zone 2 foyer	1400 \pm 100	Beta- 41873	Somcynsky 1990a: p.100
Kégashka	EbCi-001	Foyer 1	1640 \pm 80	Beta- 67384	Chapdelaine 2004: p.89
	EbCi-001	Foyer 2	960 \pm 90	Beta- 67385	Chapdelaine 2004: p.89
	EbCi-001	Couche d'ocre	1700 \pm 80	Beta- 67386	Chapdelaine 2004: p.89
	EbCi-001	Fosse	810 \pm 90	Beta- 67387	Chapdelaine 2004: p.89
	EbCi-007	Couche d'ocre	3010 \pm 130	Beta- 67389	Chapdelaine 2004: p.89
	EbCi-010	Foyer	2420 \pm 100	Beta- 67388	Chapdelaine 2004: p.89
Rivière Romaine	EiCw-002		3370 \pm 50		Archéotec 2005: P. 205
	EiCw-010		280 \pm 80		Archéotec 2004: P.29, 146
	EkCw-004		3570 \pm 50		Archéotec 2000b: p.122
	EiCw-009		430 \pm 50		Archéotec 2004: P.29, 370
Total	8 sites		13 datations		

3.2.3- Aperçu de l'histoire culturelle de la Moyenne-Côte-Nord

Parmi les tentatives de synthèse qui existent (Chevrier 1976; 1978; 1996a et 1996b), une seule est relativement récente, et bien qu'elle ne traite pas spécifiquement de la région de la Moyenne-Côte-Nord, elle fournit une synthèse des connaissances et fournit un cadre de référence. Si l'occupation initiale des deux extrémités de la Côte-Nord peut remonter à plus de 8000 ans A.A. (Archambault 1995; Plourde 2003; 1993; Pintal 1998), la colonisation et l'exploitation des ressources de la Moyenne-Côte-Nord quant à elles ne commenceraient pas significativement avant 6000 ans A.A (Chevrier 1996 : p.94; 1978 : p.80). Toutefois, l'occupation d'un site de la région de Mingan, le site EbCx-065, pourrait remonter à environ 7000 ans A.A. (Somcynsky 2009 : p.3, 1990; 1992) et ainsi vraisemblablement

constituer le site le plus ancien de la région. Cette proposition ne se base toutefois qu'essentiellement sur l'altitude du gisement de même que sur la présomption de Somcynsky, aucune datation n'ayant été effectuée sur celui-ci (Somcynsky 1992, 1992a).

Entre 6000 et 4000 ans A.A., la Moyenne-Côte-Nord apparaît peu peuplée ou encore en processus de peuplement (Chevrier 1996 : p.95). Pour cette période, l'adaptation des groupes humains semble axée sur l'exploitation des ressources de l'intérieur, particulièrement le caribou (Chevrier 1996 : p.94; 1978 : p.123; 1977 : p.83). Cette période représenterait donc les premières incursions et une phase de familiarisation avec les possibilités offertes par l'intérieur des terres (McCaffrey 2006). Nous précisons ici que bien que la région de la Moyenne-Côte-Nord ne présente qu'un nombre très limité de sites anciens, les régions de la Basse-Côte-Nord et de la côte du Labrador présentent quant à elles un nombre important de sites attribuable à la culture de l'Archaïque Maritime (Pintal 2006; 1998; Fitzhugh 2006; 1972). Cette présence remonte d'ailleurs à plus de 8000 ans sur la Basse-Côte-Nord (Pintal 2006 : p.111) et à 7500 au Labrador central (Fitzhugh 2006 : p.51). Des sites aussi anciens ne sont pas connus sur la Moyenne-Côte-Nord, d'ailleurs la présence de groupes de la tradition de l'Archaïque Maritime dans la région reste encore à être démontrée (Fitzhugh 2001).

À partir de 4000 ans A.A., les traces de l'occupation du territoire commencent à être plus concrètes (Chevrier 1996 : p.98) et « les groupes qui avaient pris racine à l'intérieur des bassins hydrographiques assurent leur présence » (*idem*). Quelques sites situés sur la rivière Romaine semblent attester la présence de ces groupes aux environs de 4000 ans A.A. À cette période l'adaptation semble maintenant tournée plutôt sur la poursuite de plus petit gibier (Chevrier 1977 : p.123) et l'occupation de la côte ne serait qu'occasionnelle (Chevrier 1996 : 99; 1977 : p.123). Chevrier mentionne que pour le territoire compris entre les rivières Moisie et Natashquan, la distribution des populations locales s'organisait autour de l'exploitation de bassins hydrographiques distincts et formait ainsi « la toile humaine » (Chevrier 1996 : p.99).

À partir de ce moment, le territoire est véritablement occupé par des groupes dont les Innus de la Côte-Nord en sont les descendants directs (Neilson 2006; Loring 1992; Wright 1999; Fitzhugh 1972). Malgré le caractère local de ces populations, différentes influences commencent à se faire sentir et à partir de 2000 ans A.A. les zones d'influence commencent à se définir (Chevrier 1996a : p.109). Vers 2500 ans A.A., le site des sépultures Middlesex de Mingan (Clermont 1990 : p.12; Chevrier 1996a) témoignent déjà de la présence et de la possible influence de groupes méridionaux dans la région. Pour la période récente, une diversité de populations semble exploiter les ressources de la côte (Chevrier 1996a : p.109). La présence des groupes iroquoiens se fait particulièrement sentir après l'an 1000 après J.-C. (Chevrier 1996a : p.110; 1978 : p.123; Martijn 1990 : p.45). Bien que Chevrier mentionne que cette présence est discrète et tardive à l'est du village de Pointe-des-Monts (Chevrier 1996a : p.110), un nombre considérable de sites de notre région d'étude ont livré de petits assemblages de poterie. Leur présence soulève la question de leur provenance (Chapdelaine 1996; Chevrier 1978 : p.123) et démontre une présence iroquoise, ou du moins la présence de contacts entre les populations locales et celles de la région en amont du fleuve et leur participation, même périphérique à cette sphère d'influence (Clermont 1998).

Pour la période historique, le nombre de ces populations pourrait même être augmenté par la présence de groupes Micmacs (Martijn 1986 : p.197) et de groupes Inuits (Clermont et Martijn 1980; Martijn 1980 : p.105). Malgré la possibilité de la présence de groupes Micmacs effectuant des excursions à l'île d'Anticosti et au poste de Tadoussac (Martijn 1986 : p.197), il n'a pas encore été possible de distinguer les vestiges archéologiques qui témoignent de leur passage (Chevrier 1996a : 113) dans notre région d'étude. Quant à la présence inuite, elle aussi supporté par les documents historiques (Martijn 1980 : p.119), aucun vestige archéologique ne leur est attribuable pour l'instant. Fitzhugh, avec le projet *Gateway Project* (2001), qui couvrait une grande partie de la Côte-Nord du Golfe, entre Mingan et Brador, visait particulièrement à vérifier la présence de sites attribuables à cette

culture ou encore à celle de l'Archaïque maritime (Fitzhugh 2001 : p.2). À sa surprise, il ne trouva aucun site attribuable aux Inuits sur la Moyenne-Côte-Nord (Fitzhugh 2001 : p.13).

Tout au long de cette séquence, l'occupation de la portion côtière du territoire par les groupes locaux est considérée comme occasionnelle et sporadique (Chevrier 1977 : p.123; Chevrier 1978 : p.83). D'ailleurs, les groupes Innus de la région, bien qu'ils aient profité des ressources abondantes que fournit ce type de milieu à la saison estivale, sont plutôt caractérisés par leur exploitation des ressources de l'intérieur (Comptois 1983; Mailhot 1999; Dominique 1989). Bien que celle-ci semble constituer un milieu situé en périphérie du système adaptatif des groupes locaux, comme celui des groupes visiteurs, Chevrier souligne tout de même que la région de la Minganie « *à livré de nombreux sites importants qui font croire que la région fut [...] propice à une intense exploitation des ressources marines* » (Chevrier 1996a : p.101). Il faut donc comprendre que celle-ci exerçait tout de même un attrait considérable pour les groupes locaux et que celle-ci était véritablement intégrée à leur exploitation des ressources offertes par leur territoire.

Figure 4 : Cadre chronologique régional¹¹

		Haute Côte-Nord	Haute Côte-Nord	Moyenne Côte-Nord		Kégashka	Sites (Cultures archéologiques)	Basse Côte-Nord	Labrador	
Années A.A.		Saguenay	Baie-Comeau	Pintal 1998	Chevrier 1996			Blanc Sablon	Cultures archéologiques	Cultures archéologiques
0		Historique					EbCh-11			
		Protohistorique	Historique						Innus	Innus
1000		Sylvicole supérieur 1000-400	Céramique récente 1000-400			Sylvicole supérieur	EbCi-1 EbCh-2		Anse Morel 1100-400	Point Revenge 1000-400
						Sylvicole moyen tardif	EbCi-1 (Point Revenge)		Anse Lazy Longue Pointe Petit Havre 1500-1300	North-West River 1400-1000
2000		Sylvicole Moyen 2400-1000	Céramique moyenne 2400-1000	Période Céramique 2500-400	Archaique régional et Sylvicole	Sylvicole moyen ancien (Maritime? Middlesex?)	EbCi-1 EbCh-1 (Middlesex)	Post archaïque	Flèche Littorale 2500-1500	Daniel Rattle 1800-1000
		Sylvicole Inférieur 3000-2400	Céramique ancienne 3000-2400			Archaique terminal	EbCi-10 EbCi-7 (Point Revenge?)		Ruisseau Manius 3500-2500	
3000				???						Intermediate Indian Period Saunders Phase 3500-1800
		Archaique Post-Laurentien 4200-3000				Archaique supérieur	EbCi-5 EbCi-2 (Archaique Maritime)			
4000			Archaique récent 6000-3000	Archaique ???-3500	Archaique Régional 6000-3000			Archaique maritime récent 5000-3500	La Tabatière	Archaique maritime récent Rattlers Bight 4500-3500
		Archaique Récent 6000-4200				??			Bonne Espérance	Sandy Cove 5200-4500
5000								Archaique maritime moyen 6500-5000	Blanc-Sablon	Archaique maritime moyen 6800-4500 Naksak 6200-5200
6000										
		Archaique Moyen 7000-6000	Archaique ancien/moyen							Whale Island ca 6800
7000								Archaique maritime ancien 8200?-6500	Letemplier	Archaique maritime ancien >6800
		Archaique Ancien 8000-7000								
8000										

¹¹ Les références dont proviennent ces données sont les suivantes : Pour la région de Tadoussac et du Saguenay (Plourde 2003), celle de Baie-Comeau (Pintal 2000), Moyenne-Côte-Nord (Pintal 1998, Chevrier 1996), région de Kégashka (Chapdelaine 2004), Labrador (Pintal 1998, Neilson 2006).

3.2.4- Présentation des données par « secteurs archéologiques »

Bien que cet aperçu de l'histoire culturelle de notre région d'étude soit incomplet, il constitue à cette étape de notre recherche le portrait le plus fidèle que l'on puisse en dresser. À partir de ce point, la présentation par sous-régions des données archéologiques nous permettra de présenter les données disponibles en provenance de chacune d'elle, d'identifier les sites importants et de souligner les pistes de recherche proposées par les différents chercheurs s'y étant attardés. Leur présentation s'effectue d'ouest en est.

3.2.4.1- Le secteur archéologique de Sheldrake/Rivière-au-Tonnerre/Longue-Pointe de Mingan

Cette région est constituée par la portion de côte comprise entre les villages de Sheldrake à l'ouest et celui de Longue-Pointe de Mingan à l'est. Elle représente la sous-région la plus occidentale de notre aire d'étude. On observe une concentration de sites dans les environs de l'embouchure de la rivière au Tonnerre qui est l'une des plus importantes de ce secteur. Toutefois, les rivières Magpie et Saint-Jean ne sont pas négligeables (Chevrier 1977 : p.7), car on sait historiquement qu'elles constituaient des voies d'accès privilégiées à l'intérieur des terres (*idem*; Comptois 1983 : p.47). Somcynsky (2009) nous indique qu'une concentration de sites plus importante que ne le laisse présumer l'inventaire de l'ISAQ à l'embouchure de la rivière Sheldrake. Bien qu'il y identifie au moins huit sites (Somcynsky 2009 : p.3), ces derniers n'ont pas fait l'objet de rapport et aucune collection n'est accessible à la réserve du MCCCCFQ. Pour ces raisons et puisqu'ils ne figuraient toujours pas au registre de l'ISAQ au moment de notre recherche ils n'ont pas été considérés dans ce mémoire.

Cette région ne dispose d'aucun site fouillé. Les inventaires par sondages ont révélé que la majorité des sites sont de petites dimensions, relativement pauvres en artefacts, et constituent majoritairement des sites dont les assemblages étaient exposés à la surface du sol (Chevrier 1976 : p.83-92).

Figure 5 : Localisation générale des sites et secteurs archéologiques

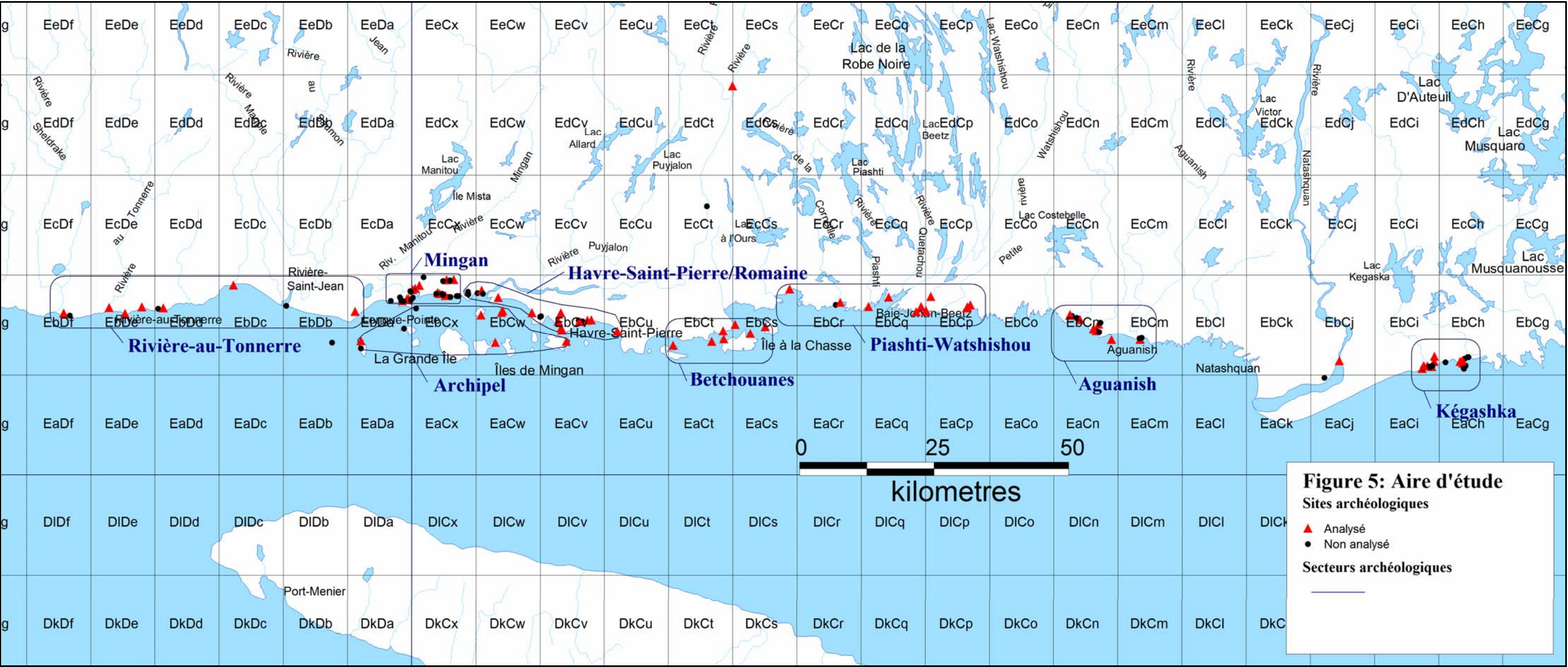
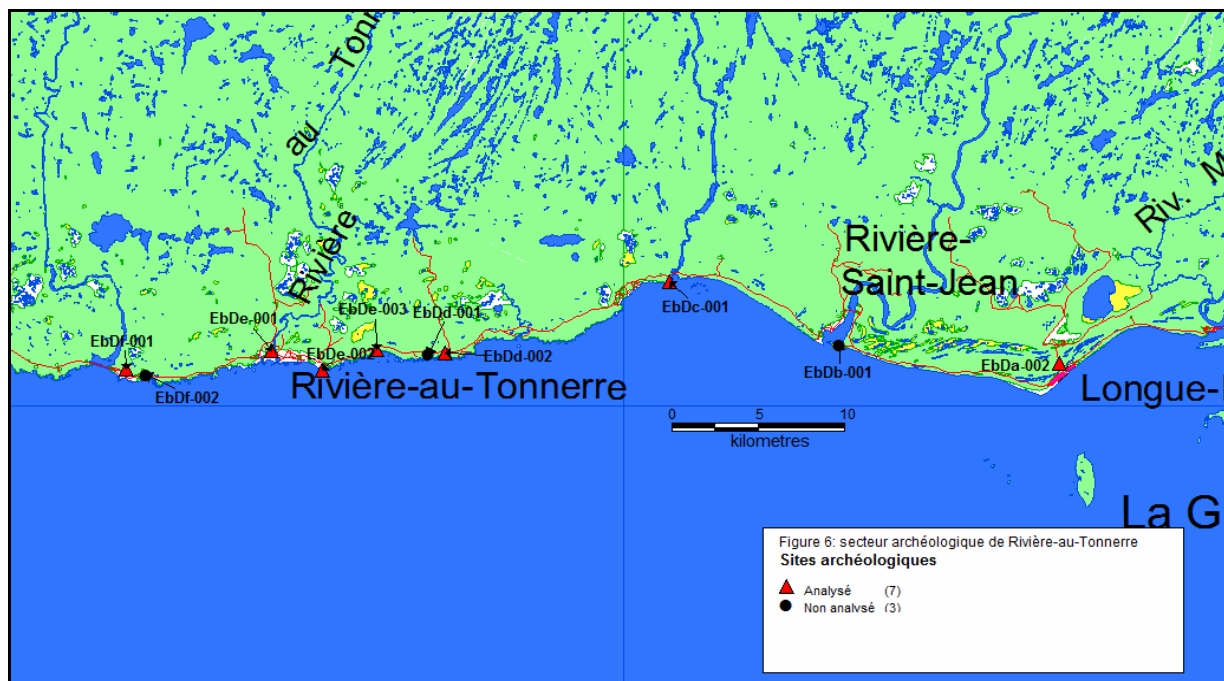


Tableau V : Sites archéologiques du secteur de Sheldrake/Rivière-au-Tonnerre/Longue-Pointe de Mingan

Code Borden	Inv.	Sélection	Disponibilité des collections	Type analyse	Attribution	N. artefacts ISAQ	Datation	Poterie
EbDa-002	Sondages	Sélectionné	Partielle	Partielle	Préhistorique indéterminé	100-249	non	non
EbDb-001	Sondages	Non sélectionné	Complètes	Non analysée	Préhistorique indéterminé	<10	non	non
EbDe-001	Collecte	Sélectionné	Complètes	Complète	Préhistorique indéterminé	100-249	non	non
EbDd-001	Sondages	Non sélectionné	Complètes	Non analysée	Préhistorique indéterminé	<10	non	non
EbDd-002	Sondages	Non sélectionné	Complètes	Complète	Préhistorique indéterminé	<10	non	non
EbDe-001	Sondages	Sélectionné	Complètes	Complète	Préhistorique indéterminé	500-999	non	non
EbDe-002	Sondages	Non sélectionné	Complètes	Complète	Préhistorique indéterminé	10-49	non	non
EbDe-003	Sondages	Non sélectionné	Complètes	Complète	Préhistorique indéterminé	10-49	non	non
EbDf-001	Sondages	Non sélectionné	Complètes	Complète	Préhistorique indéterminé	<10	non	non
EbDf-002	Collecte	Non sélectionné	Complètes	Non analysée	Préhistorique indéterminé	<10	non	non
Total Tonnerre/Saint-Jean/Longue-Pointe								10

Ces petits sites ne fournissent qu'une image très partielle de la préhistoire de ce secteur. Bien que seulement trois sites satisfaisaient le critère de sélection, sept d'entre eux ont été analysés afin de tenter d'obtenir une image globale et fournir une meilleure représentation à ce secteur limitrophe de notre aire d'étude. Aucune datation radiocarbone n'est disponible pour cette sous-région de même qu'aucun site n'a révélé la présence de poterie. Le site le plus significatif de ce secteur est vraisemblablement le site EbDe-001, qui a livré la plus importante quantité d'artefacts. L'inventaire de ce secteur a toutefois été limité aux portions inférieures à 25m d'élévation (Chevrier 1976 : p.84), des zones intéressantes, plus élevées, n'ayant pas été inventoriées (*idem*). Nous pouvons ainsi avancer que, pour l'instant, les sites anciens n'y sont pas représentés.

Figure 6 : Secteur archéologique de Rivière-au-Tonnerre



3.2.4.2- Secteur archéologique de l'archipel de la Minganie

Le secteur de l'archipel de la Minganie correspond aux îles situées à l'ouest de la Grande-Pointe, celles à l'est ont été intégrées à la région des Betchouanes. huit sites à composante préhistorique y ont été répertoriés. La grande majorité de ces sites ont été découverts dans les années 1980 par un inventaire mené par Pablo Somcynsky pour le compte du CAM et de Parcs Canada (Somcynsky 1986). Toutefois, le seul site fouillé et le plus significatif de cette sous-région, le site EbCx-001, a été fouillé par René Lévesque dans les années 1960 (Lévesque 1971). Bien que le site ait été visité plusieurs fois par la suite (Crête 1978; Somcynsky 1986; Fitzhugh 2001) très peu de nouvelles informations en ont été extraites.

Tableau VI : Sites archéologiques du secteur de l'archipel de la Minganie

Code Borden	Inv.	Sélection	Disponibilité des collections	Type analyse	Attribution	N artefacts ISAQ	Datation	Poterie
EbCv-026	Sondages	Sélectionné	Complètes	Complète	Préhistorique indéterminé	10-49	non	non
EbCv-046	Sondages	Sélectionné	Complètes	Complète	Préhistorique indéterminé	10-49	non	non
EbCv-048	Sondages	Sélectionné	Complètes	Complète	Préhistorique indéterminé	<10	non	non
EbCv-049	Sondages	Sélectionné	Complètes	Complète	Préhistorique indéterminé	250-499	non	non
EbCv-050	Sondages	Sélectionné	Complètes	Complète	Préhistorique indéterminé	50-99	non	non
EbCx-001	Fouille	Sélectionné	Complètes	Non analysée	Sylvicole Supérieur	2000-4999	non	oui
EbDa-042	Sondages	Sélectionné	Complètes	Complète	Préhistorique indéterminé	500-999	non	non
EbDa-043	Sondages	Non sélectionné	Complètes	Non analysée	Préhistorique indéterminé	<10	non	non
Total Archipel								8

Le site EbCx-001 présentait différents niveaux archéologiques, dont celui associé au poste de traite de Louis Jolliet, datant du XVII^e siècle, de même qu'un niveau strictement préhistorique (Lévesque 1971). Ce site est d'ailleurs classé par Dubreuil comme un site archéologique de la période historique très significatif (Dubreuil 2007 : p.88). Ce sont toutefois les occupations préhistoriques qui sont pour nous d'intérêt. Il représente le seul gisement de cette portion de l'archipel livrant un assemblage de poterie. De plus, il constitue vraisemblablement une des plus importantes collections de poterie de l'estuaire (Chapdelaine 1986 : p.95). Chapdelaine associe cet assemblage à la phase *Owasco* du Sylvicole supérieur, 1000-1300 après J.-C. (Chapdelaine 1986 : p.100), mais propose que bien que cette poterie soit de facture iroquoienne, elle ait été utilisée sur EbCx-001 par des groupes algonquiens (Chapdelaine 1986 : p.101). Cette collection de poterie témoigne des échanges et de la présence d'un réseau d'influence ayant cours dans la région (*idem*). Malheureusement, les informations incomplètes figurant dans la publication de Lévesque (1971) et l'impossibilité d'avoir accès aux assemblages préhistoriques empêchent d'élargir cette question aux matériaux lithiques.

Les autres sites de l'archipel ont été découverts et inventoriés à l'aide de sondages par l'équipe du CAM (Somcynsky 1986). Ces sites ont tous été localisés sur des terrasses d'altitude inférieure à 6 mètres d'élévation (Somcynsky 1986 : p.265). Ces terrasses auraient émergé aux environs de 2000 ans A.A. (*idem*; Couillard et al 1983 : p.35) et sont donc essentiellement attribuables à la période préhistorique récente. En raison du caractère

particulier de leur localisation et de leur datation relative, ces assemblages ont tous été sélectionnés de façon préliminaire pour analyse. De plus, ce secteur a la particularité de contenir certains des gisements connus de chert de la Minganie (Desrochers 1988; Codère 1999) et cet élément a aussi favorisé leur intégration à nos analyses.

Plusieurs de ces sites n'ont livré que de petits assemblages, toutefois, les sites EbCw-049, EbCw-050 et EbDa-42 en présentent de plus substantielles collections. Malgré l'identification de plusieurs questions de recherches stimulantes, telles la présence de stratification sur EbDa-42 (Somcynsky 1986 : 264; Plourde 2003) et celle de la présence de différentes aires d'activité sur EbCw-49 (Dubreuil 2007 : p.32), aucun de ces sites ne sera fouillé et seul le site EbDa-42 aura été le lieu d'une intervention impliquant de nouveaux sondages depuis celles de 1985 (Plourde 2003).

Quant aux matières premières utilisées, Somcynsky mentionne la prépondérance du chert de la Minganie dans ces assemblages (Somcynsky 1986 : p.257). Il indique notamment que sa couleur, bien que dominée par des variétés de gris pâle, peut aussi inclure des teintes gris foncé ou brunes (*idem*). Outre la présence du quartzite de Ramah sur plusieurs sites (Somcynsky 1986 : p.259), celle de cherts, vraisemblablement exotiques, est aussi mentionnée (*idem*).

Figure 7 : Secteur archéologique de l'archipel



3.2.4.3- Secteur archéologique de Mingan

Le secteur archéologique de Mingan correspond aux environs de l'emplacement actuel du village de Mingan (*Ekuanitshit*). Il constitue la plus importante concentration de sites observée sur la Moyenne-Côte-Nord. L'intérêt de ce secteur est d'ailleurs reconnu depuis longtemps (Chevrier 1977 : p.37). Celui-ci compte une trentaine de sites et bien qu'aucun ne dispose d'une datation au radiocarbone, la présence de poterie sur quatre d'entre eux permet néanmoins parfois d'obtenir une datation relative.

Plusieurs sites importants sont identifiés pour ce secteur. Dubreuil attire particulièrement l'attention sur le site des sépultures Middlesex de Mingan, EbCx-64 (Dubreuil 2007 : p.37 et 59), tandis que Plourde souligne celui de la Station Noui (EbDa-4) (Plourde 2009 : p.43; Plourde 2006 : p.41). Le site des sépultures représente un site d'exception dans la préhistoire du Québec, car c'est l'un des rares sites de tradition Middlesex connu dans la province (Clermont 1990 : p.12). Divers objets associés aux sépultures y ont été récupérés incluant entre autres des perles de cuivre natif, de la poterie du Sylvicole moyen ancien et de grandes pièces bifaciales foliacées très fines (Clermont 1990 : p.13-14). La présence de ce site dans la région semble indiquer que l'aire de circulation, ou du moins la sphère d'influence Middlesex du début du Sylvicole moyen, pourrait inclure notre région d'étude (Clermont 1990 : p.15).

Le second site, EbDa-004, a été fouillé par Chevrier en 1977 (Chevrier 1978b). Il s'agit d'un site de plus de 3000 m², et indique une occupation débutant au Sylvicole moyen ancien et se poursuivant au Sylvicole supérieur (Chevrier 1978b). La présence de poterie soulève encore une fois ici la question des contacts avec les groupes Proto-Iroquoiens et Iroquoiens (Plourde 2009 : p.43). C'est toutefois l'utilisation massive d'un matériau de provenance indéterminée, un quartzite vert, qui amène Plourde à soulever la question de la provenance de ce matériau (Plourde 2009 : p.64). Ces deux sites ne sont pas les seuls à se mériter un statut particulier. Les sites EbCx-65 et EbCx-66, perchés sur une haute terrasse à plus de 40m d'élévation (Somcynsky 1992 : p.18), semblent témoigner de la présence de sites anciens dans la région. Le site EbCx-65 pourrait d'ailleurs être le plus ancien de toute la région et dater, selon Somcynsky, de près de 7000 ans A.A. (Somcynsky 2009 : 4;

Somcynsky 1992). Malheureusement, ces sites partagent également une caractéristique beaucoup moins désirable : leurs collections, véritables otages d'une situation particulière, demeurent inaccessibles.

Tableau VII : Sites archéologiques du secteur de Mingan

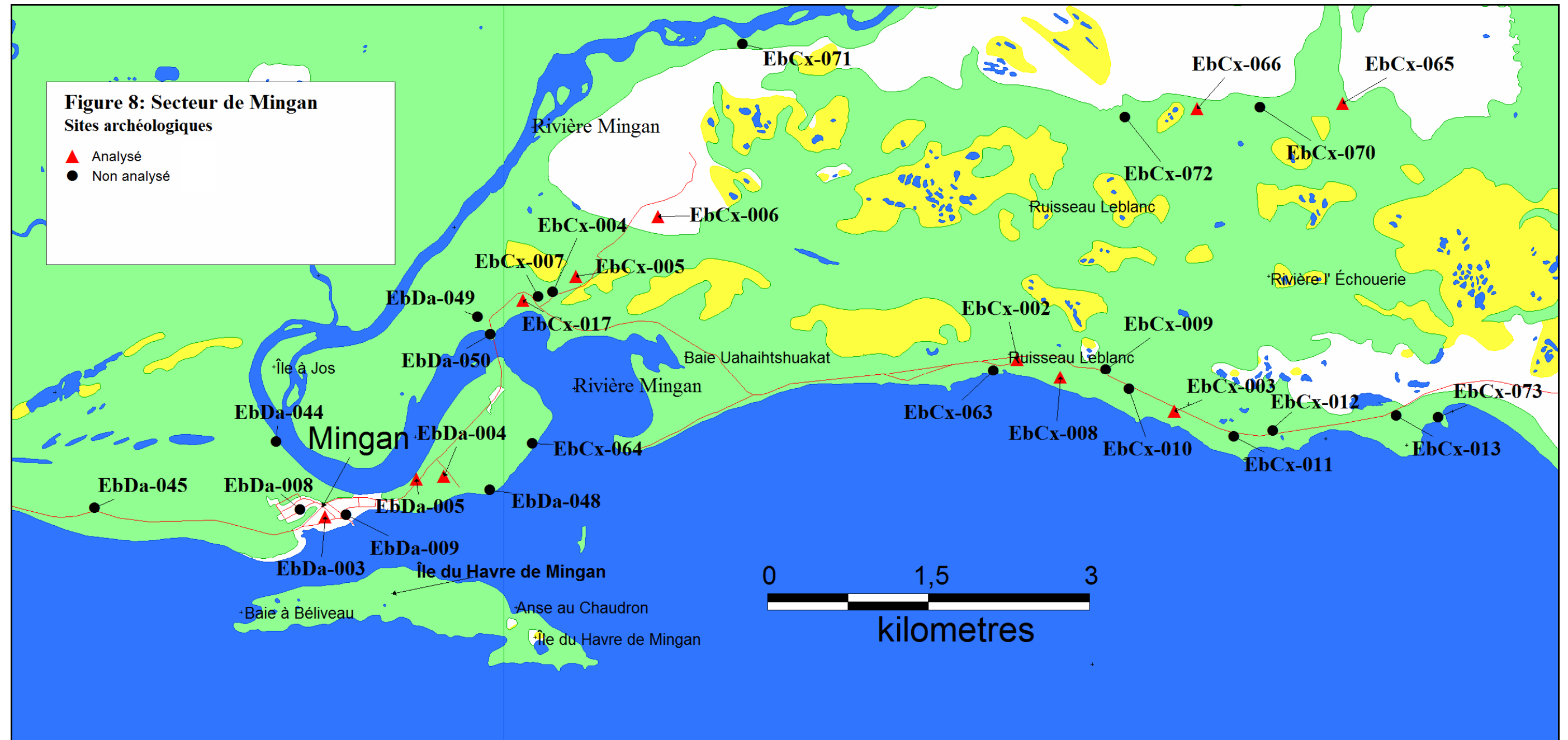
Code Borden	Inv.	Sélection	Disponibilité des collections	Type analyse	Attribution	N artéfacts ISAQ	Datation	Poterie
EbCx-002	Sondages	Sélectionné	Partielle	Partielle	Sylvicole	500-999	non	oui
EbCx-003	Sondages	Sélectionné	Partielle	Partielle	Préhistorique indéterminé	2000-4999	non	non
EbCx-004	Fouille	Sélectionné	Manquante	Non analysée	Préhistorique indéterminé	500-999	non	non
EbCx-005	Sondages	Sélectionné	Partielle	Partielle	Préhistorique indéterminé	2000-4999	non	non
EbCx-006	Sondages	Sélectionné	Partielle	Partielle	Préhistorique indéterminé	100-249	non	non
EbCx-007	Fouille	Sélectionné	Manquante	Non analysée	Préhistorique indéterminé	2000-4999	non	non
EbCx-008	Sondages	Sélectionné	Partielle	Partielle	Préhistorique indéterminé	100-249	non	non
EbCx-009	Fouille	Sélectionné	Partielle	Non analysée	Préhistorique indéterminé	250-499	non	non
EbCx-010	Collecte de surface	Sélectionné	Partielle	Non analysée	Préhistorique indéterminé	50-99	non	non
EbCx-011	Sondages	Non sélectionné	Partielle	Non analysée	Préhistorique indéterminé	10-49	non	non
EbCx-012	Collecte de surface	Non sélectionné	Partielle	Non analysée	Préhistorique indéterminé	10-49	non	non
EbCx-013	Sondages	Non sélectionné	Complètes	Non analysée	Préhistorique indéterminé	<10	non	non
EbCx-017	Fouille	Sélectionné	Partielle	Partielle	Préhistorique indéterminé	1000-1999	non	non
EbCx-063	Sondages	Sélectionné	Manquante	Non analysée	Préhistorique indéterminé	250-499	non	non
EbCx-064	Fouille	Sélectionné	Manquante	Non analysée	Sylvicole Inférieur	250-499	oui	oui
EbCx-065	Fouille	Sélectionné	Partielle	Partielle	Préhistorique indéterminé	>100000	non	non
EbCx-066	Fouille	Sélectionné	Complètes	Complète	Préhistorique indéterminé	2000-4999	non	non
EbCx-070	Sondages	Non sélectionné	Manquante	Non analysée	Préhistorique indéterminé	10-49	non	non
EbCx-071	Sondages	Non sélectionné	Manquante	Non analysée	Préhistorique indéterminé	<10	non	non
EbCx-072	Sondages	Non sélectionné	Manquante	Non analysée	Préhistorique indéterminé	10-49	non	non
EbCx-073	Sondages	Sélectionné	Manquante	Non analysée	Préhistorique indéterminé	1000-1999	non	non
EbDa-003	Sondages	Non sélectionné	Complètes	Complète	Sylvicole	10-49	non	oui
EbDa-004	Fouille	Sélectionné	Partielle	Echantillon	Sylvicole moyen / supérieur	10000-100000	oui	oui
EbDa-005	Collecte de surface	Sélectionné	Partielle	Partielle	Préhistorique indéterminé	100-249	non	non
EbDa-008	Sondages	Non sélectionné	Complètes	Non analysée	Historique ancien	<10	non	non
EbDa-044	Collecte de surface	Non sélectionné	Manquante	Non analysée	Préhistorique indéterminé	<10	non	non
EbDa-045	Sondages	Sélectionné	Manquante	Non analysée	Préhistorique indéterminé	5000-9999	non	non
EbDa-048	Sondages	Sélectionné	Manquante	Non analysée	Préhistorique indéterminé	100-249	non	non
EbDa-049	Sondages	Non sélectionné	Complètes	Non analysée	Préhistorique indéterminé	10-49	non	non
EbDa-050	Sondages	Non sélectionné	Manquante	Non analysée	Préhistorique indéterminé	<10	non	non
Total Mingan								30

Si le secteur de Mingan comprend le plus important nombre de sites (N=30) et la plus grande quantité de sites fouillés (au nombre de 8), il compte toutefois le plus grand nombre de collections indisponibles à l'analyse (N=14). D'ailleurs parmi les 19 sites sélectionnés pour analyse, neuf sont indisponibles (dont 4 sites fouillés incluant EbDa-004 et EbCx-64). La majorité des sites indisponibles sont ceux concernés par les travaux de Somcynsky en 1984 (Somcynsky 1987), mais incluent malheureusement les travaux antérieurs, particulièrement ceux de fouilles (EbCx-004 et -007 de Chevrier 1978-96) ou encore ceux ayant livré un nombre important d'artéfacts. Cette situation se répète malheureusement trop souvent pour ce secteur et bien que celui-ci recèle depuis longtemps un matériel pouvant

donner lieu à une synthèse complète de la préhistoire de cette région, cette situation limite grandement l'élaboration d'une telle entreprise.

Heureusement, un nombre tout de même appréciable de collections demeurent disponibles pour ce secteur et permettent néanmoins de réaliser une analyse partielle des sites disponibles. Par exemple, le site de la station Noui (EbDa-004) semble avoir été le lieu de fouilles réalisées par Lévesque en 1965 (Lévesque 1965, collection 145c) et cette collection a d'ailleurs été intégrée à celle de EbDa-004 par

Figure 8: Secteur archéologique de Mingan



Somcynsky (1987 : p.5). Bien que ces travaux présentent des lacunes de publication et de localisation incontournable, nous avons sélectionné les éléments provenant d'unités fouillées dont la provenance est mieux contrôlée et leur intégration permet d'avoir une idée de la nature du matériel récupéré sur le site EbDa-004 par Chevrier en 1977 (Chevrier 1978).

Malgré ces lacunes, le secteur de Mingan constitue un endroit privilégié pour étudier l'utilisation des matières premières et possiblement identifier des liens avec les régions plus en amont du fleuve Saint-Laurent. La distribution verticale des sites de ce secteur, variant entre 3 et 50 mètres d'élévation au dessus du niveau marin moyen, permettra vraisemblablement de tester la proposition que les sites plus anciens et donc plus élevés puissent être représentés par des assemblages de matériaux différents de ceux retrouvés à de plus basses altitudes (Chapdelaine 2004 : p.112; Chevrier 1973).

3.2.4.4- Secteur archéologique de l'embouchure de la rivière Romaine et de Havre-Saint-Pierre

Ce secteur se compose principalement de deux concentrations importantes de sites préhistoriques. Une première est associée au delta de la rivière Romaine et regroupe sept sites. La seconde est essentiellement associée à la large baie qui abrite le village de Havre-Saint-Pierre et compte vingt-quatre sites préhistoriques.

Tableau VIII : Sites archéologiques du secteur du delta de la Romaine et de Havre-Saint-Pierre

Code Borden	Inv.	Sélection	Disponibilité des collections	Type analyse	Attribution	N artéfacts ISA	Datation	Poterie
EbCu-002	Sondages	Sélectionné	Complètes	Complète	Préhistorique indéterminé	2000-4999	non	non
EbCv-001	Sondages	Sélectionné	Partielle	Partielle	Préhistorique indéterminé	250-499	non	non
EbCv-001.1	Sondages	Sélectionné	Partielle	Partielle	Préhistorique indéterminé	NA	non	non
EbCv-002	Sondages	Non sélectionné	Partielle	Non analysée	Préhistorique indéterminé	10-49	non	non
EbCv-003	Sondages	Non sélectionné	Complètes	Complète	Préhistorique indéterminé	10-49	non	non
EbCv-004	Collecte de surface	Non sélectionné	Complètes	Complète	Préhistorique indéterminé	10-49	non	non
EbCv-005	Sondages	Sélectionné	Partielle	Partielle	Préhistorique indéterminé	50-99	non	non
EbCv-006	Sondages	Non sélectionné	Partielle	Non analysée	Préhistorique indéterminé	<10	non	non
EbCv-007	Sondages	Non sélectionné	Partielle	Non analysée	Préhistorique indéterminé	<10	non	non
EbCv-015	Fouille	Sélectionné	Complètes	Echantillon	Préhistorique indéterminé	5000-9999	non	non
EbCv-015.1	Sondages	Sélectionné	Complètes	Complète	Préhistorique indéterminé	NA	non	non
EbCv-025	Sondages	Non sélectionné	Complètes	Non analysée	Archaique	<10	non	non
EbCv-027	Sondages	Sélectionné	Complètes	Complète	Préhistorique indéterminé	50-99	non	non
EbCv-030	Sondages	Non sélectionné	Complètes	Complète	Préhistorique indéterminé	10-49	non	non
EbCv-031	Sondages	Sélectionné	Complètes	Complète	Préhistorique indéterminé	50-99	non	non
EbCw-001	Collecte de surface	Non sélectionné	Complètes	Non analysée	Préhistorique indéterminé	<10	non	non
EbCw-002	Sondages	Sélectionné	Partielle	Partielle	Préhistorique indéterminé	2000-4999	non	non
EbCw-003	Sondages	Sélectionné	Partielle	Partielle	Préhistorique indéterminé	500-999	non	non
EbCw-051	Sondages	Sélectionné	Complètes	Complète	Préhistorique indéterminé	50-99	non	non
EbCw-052	Sondages	Non sélectionné	Complètes	Non analysée	Préhistorique indéterminé	<10	non	non
EbCw-054	Collecte de surface	Non sélectionné	Manquante	Non analysée	Préhistorique indéterminé	<10	non	non
EbCx-014	Sondages	Non sélectionné	Partielle	Non analysée	Préhistorique indéterminé	10-49	non	non
EbCx-015	Sondages	Non sélectionné	Partielle	Non analysée	Préhistorique indéterminé	10-49	non	non
EbCx-016	Sondages	Non sélectionné	Partielle	Non analysée	Préhistorique indéterminé	10-49	non	non
Total Romaine/Havre-Saint-Pierre								24

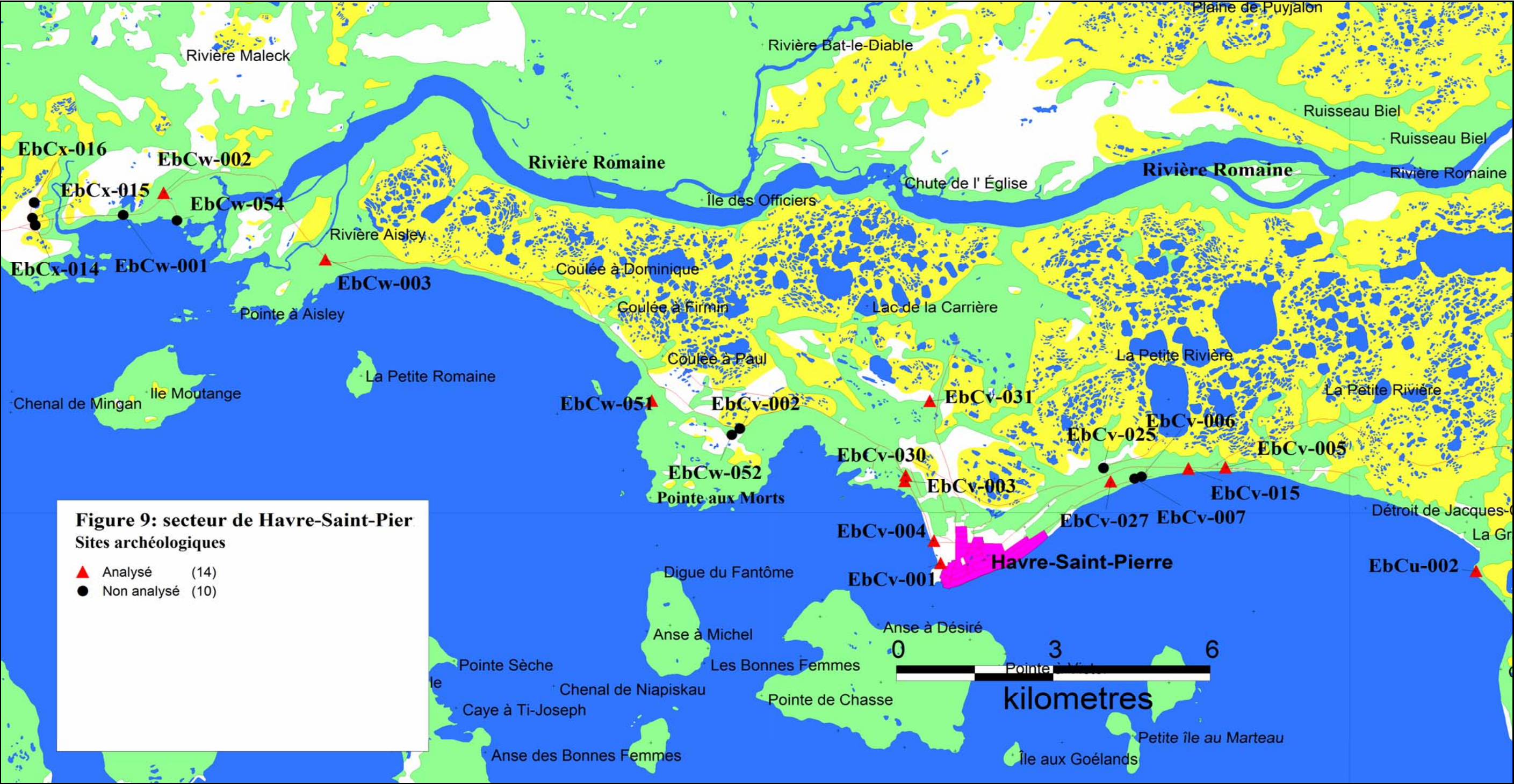
La concentration de sites du delta de la rivière Romaine, de la même façon que le secteur de Sheldrake/Longue-Pointe de Mingan, est essentiellement un ensemble de petits sites, partiellement exposés, livrant généralement peu d'artéfacts, aucune datation absolue ou poterie, et dont un seul a été fouillé (Chevrier 1976 : 115). Seulement deux sites y ont été sélectionnés, les sites EbCw-002 et -003. Ces deux sites représentent assez bien le contexte général des sites du secteur, mais ont livré des assemblages plus importants (Chevrier 1976 : p.133 et 135). Si l'assemblage du site EbCw-002 semble dominé par le chert de la Minganie, celui du site EbCw-003 semble beaucoup plus varié (Chevrier 1976 : p.135) et est constitué par une grande diversité de cherts vraisemblablement exotiques (Laforte 1989 : p.12).

À l'intérieur de la concentration de sites associés au village de Havre-Saint-Pierre, un nombre beaucoup plus important de sites ont été sélectionnés pour analyse. Ce nombre plus élevé s'explique évidemment par la plus grande abondance de sites de ce secteur, mais

aussi parce que ce secteur correspond à la principale aire de distribution géologique du chert de la Minganie sur la côte (Desrochers 1988). Le site EbCv-015, seul site fouillé de ce secteur, a livré une quantité importante d'éléments de débitage (Somcynsky 1990a : p.41). Bien que le chert de Mingan ne soit pas identifié formellement par l'auteur la description qu'il donne du principal matériau constituant cette collection (près de 95%), un chert présentant des variétés brunes et grises (Somcynsky 1990a : p.49), est vraisemblablement le chert de Mingan. Très peu d'informations sont disponibles quant à l'interprétation de la nature et de la fonction du site dans le rapport de Somcynsky (1990a : p.38-43), mais sa dimension réduite, combinée à l'abondance et la domination du chert de Mingan, semble suggérer qu'il s'agisse d'un lieu de transformation de ce matériau. Ce site, compte tenu de l'abondance de matériel, a fait l'objet d'un échantillonnage. Un autre site, le site EbCu-002, à aussi livré un assemblage abondant de déchets de taille dominé par le chert de Mingan (Somcynsky 1989 : p.91-92) et pourrait lui aussi constituer un lieu de transformation de ce matériau.

Les sites de ce secteur archéologique fournissent une opportunité de documenter les stades initiaux de réduction du chert local de la Minganie. L'association de ce secteur avec la rivière Romaine, permettra de comparer la nature des assemblages côtiers et ceux de l'intérieur et ainsi s'intéresser à leur mode de pénétration à l'intérieur des terres.

Figure 9: Secteur archéologique de l’embouchure de la rivière Romaine et de Havre-Saint-Pierre



3.2.4.5- Le secteur archéologique du cours intérieur de la rivière Romaine

Le secteur de la rivière Romaine constitue une exception dans notre aire d'étude. Il est composé d'un ensemble de sites archéologiques qui ont été identifiés essentiellement dans le cadre d'études reliées à la construction de centrales hydroélectriques sur ce plan d'eau (Archéotec 2000; 2002; 2004; 2006, 2006a). Ces sites sont donc répartis le long de ce cours d'eau, bien à l'intérieur des terres.

Figure 10 : Secteur archéologique du cours intérieur de la rivière Romaine

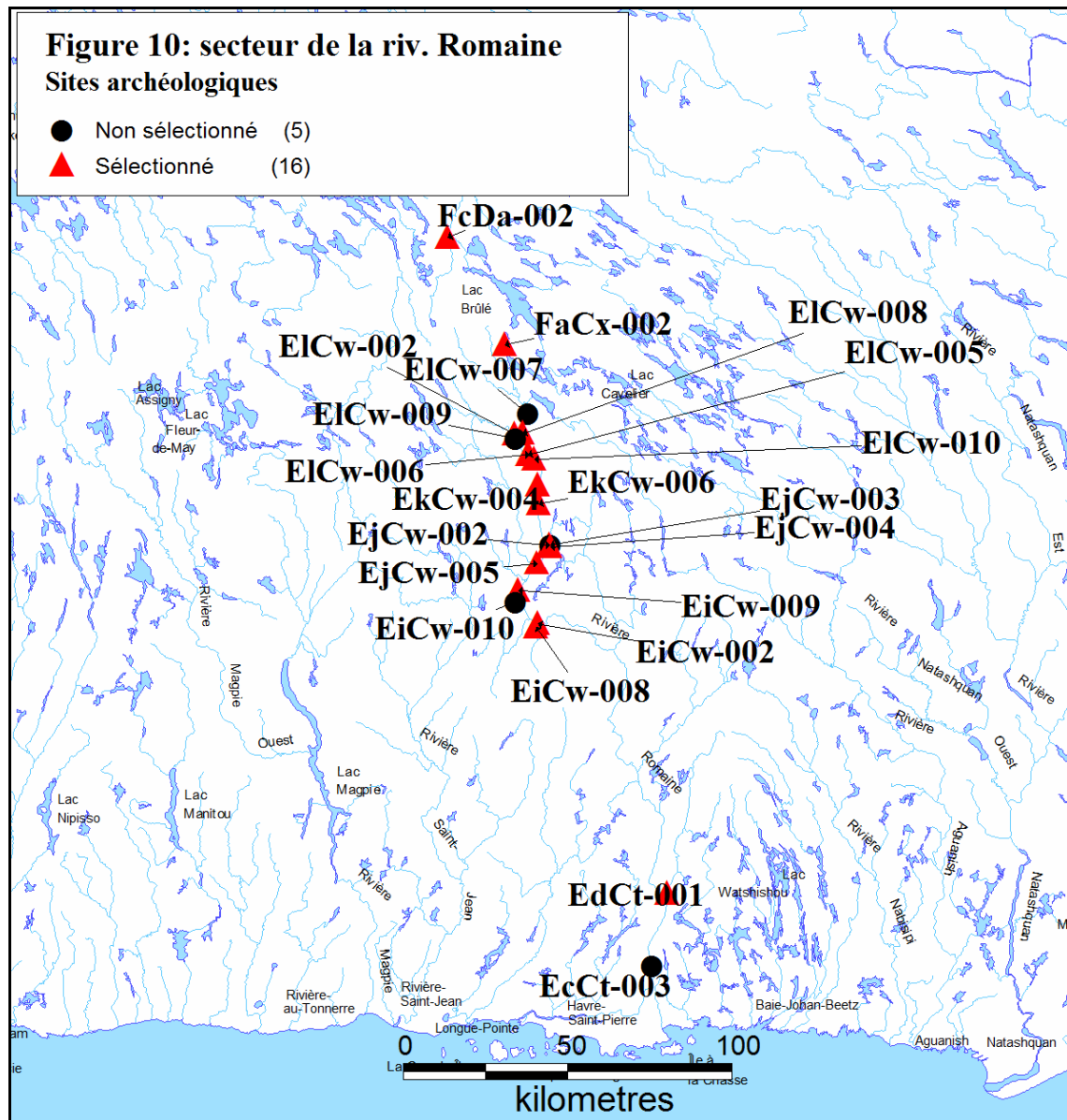


Tableau IX : Sites archéologiques du secteur du cours intérieur de la rivière Romaine

Code Borden	Intervention	Sélection	Disponibilité des collections	Type analyse	Attribution	N artéfacts ISAC	Datation	Poterie
EcCt-003	Sondages	Non sélectionné	Complètes	Non analysée	Préhistorique indéterminé	0	non	non
EdCt-001	Sondages	Sélectionné	Complètes	Complète	Préhistorique indéterminé	10-49	non	non
EiCw-002	Sondages	Sélectionné	Complètes	Complète	Archaïque	<10	oui	non
EiCw-008	Sondages	Sélectionné	Complètes	Complète	Préhistorique indéterminé	<10	non	non
EiCw-009	Sondages	Sélectionné	Complètes	Complète	Préhistorique indéterminé	<10	non	non
EiCw-010	Sondages	Non sélectionné	Complètes	Non analysée	Préhistorique indéterminé	0	oui	non
EjCw-002	Sondages	Sélectionné	Complètes	Complète	Préhistorique indéterminé/Mon	<10	non	non
EjCw-003	Sondages	Non sélectionné	Complètes	Non analysée	Préhistorique indéterminé	0	non	non
EjCw-004	Sondages	Sélectionné	Complètes	Complète	Préhistorique indéterminé	<10	non	non
EjCw-005	Sondages	Sélectionné	Complètes	Complète	Préhistorique indéterminé	10-49	non	non
EkCw-004	Sondages	Sélectionné	Complètes	Complète	Archaïque	10-49	oui	non
EkCw-006	Sondages	Sélectionné	Complètes	Complète	Préhistorique indéterminé	<10	non	non
ElCw-002	Sondages	Sélectionné	Complètes	Complète	Préhistorique indéterminé	<10	non	non
ElCw-005	Sondages	Sélectionné	Complètes	Complète	Préhistorique indéterminé	<10	non	non
ElCw-006	Sondages	Sélectionné	Complètes	Complète	Préhistorique indéterminé	<10	non	non
ElCw-007	Sondages	Non sélectionné	Complètes	Non analysée	Préhistorique indéterminé	0	non	non
ElCw-008	Sondages	Sélectionné	Complètes	Complète	Sylvicole	10-49	non	non
ElCw-009	Sondages	Non sélectionné	Complètes	Non analysée	Sylvicole	0	oui	non
ElCw-010	Sondages	Sélectionné	Complètes	Complète	Préhistorique indéterminé	<10	non	non
FaCx-002	Sondages	Sélectionné	Complètes	Complète	Préhistorique indéterminé	<10	non	non
FcDa-002	Sondages	Sélectionné	Complètes	Complète	Préhistorique indéterminé	<10	non	non
Total Rivière Romaine								21

Bien que ces sites ne soient qu'inventoriés par sondages et n'ont livré que de petits assemblages lithiques, ils constituent le seul échantillon dont nous disposons pour avoir une idée de l'utilisation des ressources lithiques à l'intérieur des terres. De plus, ces travaux ont déjà permis, bien que dans un stade préliminaire de la recherche, d'obtenir de nouvelles datations au radiocarbone et fournissent donc un ensemble de données inédites et non négligeables. Ces dates documentent d'ailleurs assez bien les deux extrémités du spectre temporel et semblent indiquer une occupation remontant à approximativement 4000 ans A.A. (voir tableau IV). Finalement, la position septentrionale de ces sites, combinée au fait que l'embouchure de la rivière Romaine corresponde grosso modo à la source du chert de la Minganie, permet d'étudier la pénétration de ce matériau à l'intérieur des terres. Ce matériau a d'ailleurs été identifié au site EjCw-004 (Archéotec 2000a).

3.2.4.6- Le secteur archéologique des Betchouanes

Le secteur archéologique des Betchouanes correspond à une concentration de six sites associés à la portion est de l'archipel de la Minganie.. Les sites sont répartis également entre la côte et les îles. Un seul site archéologique y a été fouillé, le site EbCt-002 de l'île

Saint-Charles. Toutefois, ces sites, seulement inventoriés par sondage, ont généralement livré une quantité appréciable d'artéfacts et de ce fait se sont tous vus sélectionnés pour analyse, sauf un. Deux sites, EbCs-10 et 11, tous deux localisés sur l'archipel, ont livré des assemblages de poterie. En raison de sa richesse et de sa diversité, Dubreuil retient d'ailleurs le premier dans son étude sur la mise en valeur des sites caractéristiques de la Côte-Nord (Dubreuil 2007 : p. 32). Ces assemblages à poterie soulèvent à nouveau la question de l'identité des occupants et renforcent la nécessité d'identifier les matériaux lithiques qui y sont présents afin d'aborder cette question.

Tableau X : Sites archéologiques du secteur des Betchouanes

Code Borden	Inv.	Sélection	Disponibilité des collections	Type analyse	Attribution	N. artéfacts ISAQ	Datation	Poterie
EbCs-010	Sondages	Sélectionné	Complètes	Complète	Préhistorique indéterminé	500-999	non	oui
EbCs-011	Sondages	Sélectionné	Complètes	Complète	Préhistorique indéterminé	250-499	non	oui
EbCs-015	Sondages	Sélectionné	Complètes	Complète	Préhistorique indéterminé	100-249	non	non
EbCt-002	Fouilles	Sélectionné	Complètes	Échantillon	Sylvicole moyen tardif	> 100 000	oui	non
EbCt-003	Sondages	Non sélectionné	Complètes	Complète	Préhistorique indéterminé	<10	non	non
EbCt-004	Sondages	Sélectionné	Complètes	Complète	Préhistorique indéterminé	100-249	non	non
EbCt-005	Sondages	Sélectionné	Complètes	Complète	Préhistorique indéterminé	50-99	non	non
Total Betchouanes								7

Le site le plus significatif de ce secteur demeure néanmoins le seul site fouillé, EbCt-002 (Somcynsky 1991). Ce site constitue un important atelier de taille localisé sur l'île Saint-Charles. Le site renferme différentes zones d'occupation et combine une aire de transformation de la matière et une d'habitation. La zone 1b, représente le lieu de transformation de la matière première. Deux aires d'activités y sont identifiées, le secteur est et le secteur ouest (Somcynsky 1991 : 80). Chacune de ces aires est associée à une structure de combustion étendue, constituant vraisemblablement des foyers extérieurs (Somcynsky 1991 : p.85). Chacune d'elles s'est vue dater par radiocarbone et les dates obtenues laissent croire que ces deux concentrations représentent des moments d'occupation différents (Somcynsky 1991 : p.82). Le foyer du secteur est a livré une date de 720 ± 120 ans A.A. (Beta-41871) et celui du secteur ouest a livré une date de 1130 ± 160 ans (Beta-41872) (Somcynsky 1991 : p.82).

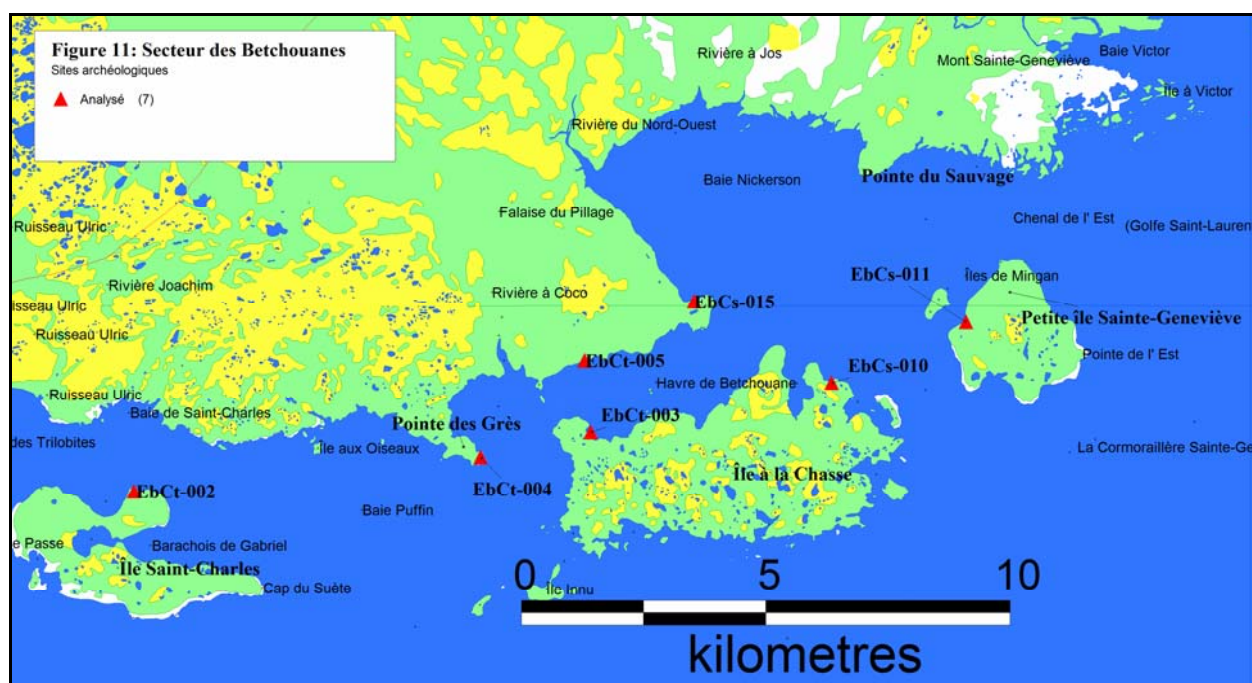
La zone 1b, interprétée comme un atelier de taille (Somcynsky 1991 : p.83), a livré une grande quantité de témoins de taille. C'est 188 969 éclats et 126 outils qui y ont été récupérés (Somcynsky 1991). Le chert de la Minganie domine totalement cet assemblage avec 98,27% des éléments de débitage (Somcynsky 1991 : p.43) et 97% des outils (Somcynsky 1991 : p.63). Toutes les étapes de réduction sont représentées parmi le débitage (Somcynsky 1991 : p.46) et l'outillage présente lui aussi tout le spectre de cette production, les ébauches, préformes et outils abandonnés en cours de taille y étant fréquents (Somcynsky 1991 : p.59-62). De très rares matériaux exotiques figurent toutefois dans cet assemblage (Somcynsky 1991 : p.85), mais sont représentés par des éclats généralement de petites tailles et par des outils finis (*idem*). Finalement, la zone 1 a aussi livrée un important assemblage ostéologique, composé de 2580 os blanchis (Somcynsky 1991 : p.74). Malheureusement, les restes fauniques n'ont pas été analysés et ne permettent pas d'aborder la question des espèces qui y sont représentées.

La seconde aire d'activité, la zone 2, située plus en retrait de la plage, représenterait quant à elle une aire d'habitation. Un petit foyer, interprété comme un foyer intérieur (Somcynsky 1991 : p.100), y a été mis au jour. Celui-ci a livré une date légèrement plus ancienne, situant cette occupation à 1400 ± 100 ans A.A. (Beta-41873) (*idem*). Cette aire d'activité est très différente de la précédente. Beaucoup moins de témoins y ont été récupérés, 243 éclats de taille et 3 outils (Somcynsky 1991 : p.86, 99). La représentation des matériaux y est pratiquement inversée, le chert de la Minganie ne composant que 0,4% des éléments de débitage (Somcynsky 1991 : p.87).

Pour des raisons évidentes, ce site constitue un assemblage majeur pour la poursuite de nos objectifs et donc il a été sélectionné pour analyse. Si nous avons analysé l'ensemble des éléments de la zone 2, nous avons été contraints d'effectuer un échantillonnage du secteur de l'atelier de taille. Nous avons privilégié une méthode d'échantillonnage stratifié et aléatoire permettant d'obtenir un échantillon de chacun des deux secteurs identifiés par Somcynsky (1991). Non seulement l'analyse de ce site devrait permettre de brosser un

portrait détaillé des méthodes et des produits de la réduction du chert de la Minganie, il permettra aussi d'établir les dimensions initiales des outils finis, une information primordiale pour qui souhaite observer le processus de leur réduction à travers l'espace (Burke 2007; Burke et Chalifoux 1998; Shott 2007).

Figure 11: Secteur archéologique des Betchouanes



3.2.4.7- Secteur archéologique des rivières Corneille, Piashti et Watshishou

Ce secteur archéologique couvre une région côtière étendue, de plus de 30 km. Il est composé essentiellement de sites côtiers qui ont été découverts en relation avec la prolongation de la route 138 (Somcynsky 1989). Il est caractérisé par la présence de nombreuses rivières importantes, la Corneille, la Piashti, la Quetachou et la Watshishou. Ces rivières donnent accès à un ensemble de lacs intérieurs de grandes dimensions qui sont situés entre 10 et 50 km de la côte. Un total de 13 sites archéologiques y a été répertorié. Toutefois, un seul a été fouillé (EbCp-002), le reste n'étant qu'inventoriée à l'aide de sondages. Aucune publication, à l'exception des rapports de Somcynsky (1989 : vol 1,

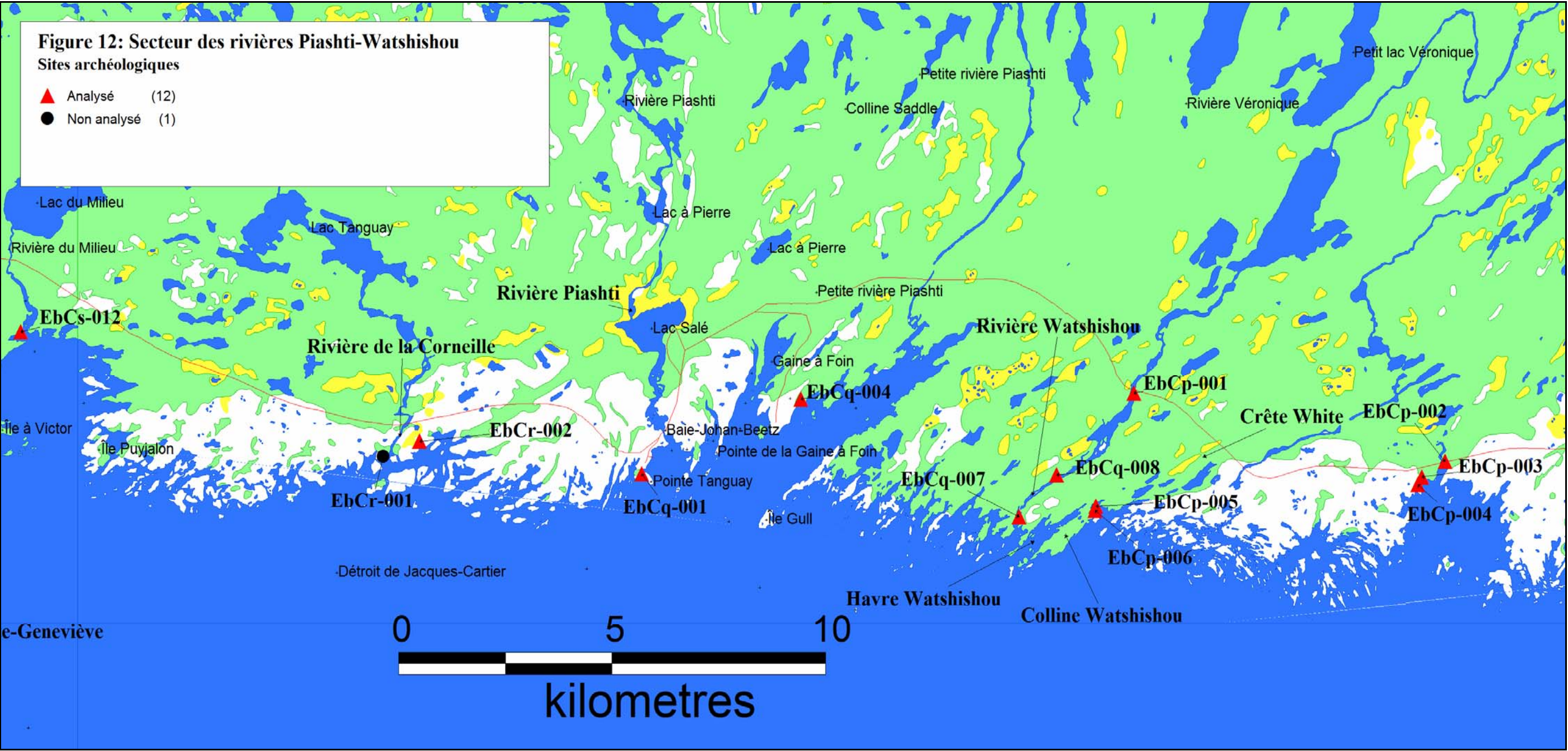
1990a), ne met en valeur la préhistoire de ce secteur. Dix sites y ont été sélectionnés pour analyse et permettent pour une première fois de mettre en lumière certains éléments importants de la préhistoire de ce secteur de la Moyenne-Côte-Nord.

Tableau XI : Sites archéologiques du secteur des rivières Corneille, Piashti et Watshishou

Code Borden	Inv.	Sélection	Disponibilité des collections	Type analyse	Attribution	N. artéfacts ISAQ	Datation	Poterie
EbCp-001	Sondages	Non sélectionné	Complètes	Complète	Préhistorique indéterminé	10-49	non	non
EbCp-002	Fouille	Sélectionné	Complètes	Échantillon	Préhistorique indéterminé	> 100 000	non	non
EbCp-003	Sondages	Non sélectionné	Complètes	Complète	Préhistorique indéterminé	10-49	non	non
EbCp-004	Sondages	Sélectionné	Complètes	Complète	Préhistorique indéterminé	100-249	non	non
EbCp-005	Sondages	Sélectionné	Complètes	Complète	Préhistorique indéterminé	250-499	non	non
EbCp-006	Sondages	Sélectionné	Complètes	Complète	Préhistorique indéterminé	100-249	non	non
EbCq-001	Sondages	Sélectionné	Complètes	Complète	Préhistorique indéterminé	1000-1999	non	non
EbCq-004	Sondages	Sélectionné	Complètes	Complète	Préhistorique indéterminé	250-499	non	non
EbCq-007	Sondages	Sélectionné	Complètes	Complète	Préhistorique indéterminé	250-499	non	non
EbCq-008	Sondages	Sélectionné	Complètes	Complète	Préhistorique indéterminé	50-99	non	non
EbCr-001	Sondages	Sélectionné	Complètes	Non analysée	Préhistorique indéterminé	50-99	non	non
EbCr-002	Sondages	Sélectionné	Complètes	Complète	Préhistorique indéterminé	250-499	non	non
EbCs-012	Sondages	Sélectionné	Complètes	Complète	Préhistorique indéterminé	500-999	non	non
Total Piashti/Watshishou								13

Le site EbCp-002, bien qu'il n'ait été l'objet que d'un intérêt et d'un traitement limité, constitue l'un des sites majeurs de la région de la Moyenne-Côte-Nord. Plus de 200 m² (205,75 m² au total) y ont été fouillés et se répartissent sur trois zones (Somcynsky 1990a : p.48). La fouille de ce gisement a permis la collecte d'un assemblage de 242 outils et de 106 603 éléments de débitage (Somcynsky 1990a : p.51). Bien que la section de son rapport traitant de ce site soit très courte (Somcynsky 1990a : p.46-54) et n'est essentiellement constituée que de divers décomptes, on peut toutefois néanmoins y entrevoir le potentiel de ce site. Somcynsky situe son occupation, essentiellement sur des bases typologiques, aux environs de 4000 ans A.A. (Somcynsky 1990a : p.54).

Figure 12 : Secteur archéologique des rivières Corneille, Piashti-Watshishou



L'assemblage lithique de ce site est dominé par la taille d'un quartzite grossier, dont l'auteur mentionne la présence de plusieurs variétés qui seraient toutes d'origine locale (Somcynsky 1990a : p.53). Ce quartzite compose 93,80% de l'assemblage de débitage et 95,85% de celui des outils (Somcynsky 1990a : p.51-52). Il semble donc vraisemblable que ce site représente un atelier de taille, ou du moins un lieu de transformation assez intensif de ce matériau. On peut donc y voir certains parallèles avec l'atelier de taille du chert de la Minganie de l'île Saint-Charles. De plus, à EbCp-002 on constate aussi la présence de différentes aires d'activités dont l'une, le secteur 3, est caractérisée par une densité moins importante d'artéfacts et par l'utilisation d'une plus grande variété de matériaux (le quartzite grossier n'y compose que 59% des éléments de débitage, Somcynsky 1990a : p.53). L'identification des matériaux retrouvés sur cet espace est susceptible de nous informer sur la provenance de ses occupants, car il semble moins caractérisé par la transformation du matériau local.

Compte tenu de la quantité d'artéfacts récupérés, notre analyse ne portera que sur un échantillon de ce site. En l'absence de structures de combustion ou de « centres d'intérêt particulier », constitués par l'identification de concentrations ou structures (Somcynsky 1990a : p. 51), l'échantillonnage des secteurs 1 et 2 se fera sur une base strictement aléatoire. Cette sélection, qui vise un échantillon approximatif de 2000 éléments par zone, devrait permettre d'obtenir une image assez précise des activités de taille réalisées sur ces secteurs. La zone 3 avec seulement 625 éclats sera analysée intégralement. L'analyse de ce site devrait permettre de mieux définir la nature du quartzite en question et de dresser un portrait de la transformation et de l'utilisation de ce matériau.

3.2.4.8- Secteur archéologique d'Aguanish-Natashquan

Ce secteur archéologique est constitué de 18 sites préhistoriques. Ils ont majoritairement été identifiés au cours de travaux reliés au prolongement de la route 138 (Somcynsky 1990a : vol.2, Pintal 1996d-2395) et à l'implantation d'infrastructures d'aqueduc au village d'Aguanish (Pintal 1996a-2354). Ce secteur se compose de trois concentrations de sites, chacune associée à une rivière donnant accès à l'intérieur des terres. À l'est, une

concentration de six sites est associée à la Petite Rivière du Milieu (Somcynsky 1990a : vol.2). Sept sites sont associés à la rivière Nabisipi (Somcynsky 1990a : vol.2; Pintal 1996d-2395) et finalement trois sites sont associés à la rivière Aguanus et au village de Aguanish (Pintal 1996a-2354). Plus à l'est, deux sites ont été découverts sur la rivière Natashquan. Bien que leurs assemblages soient de dimension très restreinte, ils constituent le seul échantillon dont nous disposons pour cette rivière importante et pour cette raison ils ont été également intégrés au corpus d'analyse.

Figure 13 : Secteur archéologique d'Aguanish-Natashquan

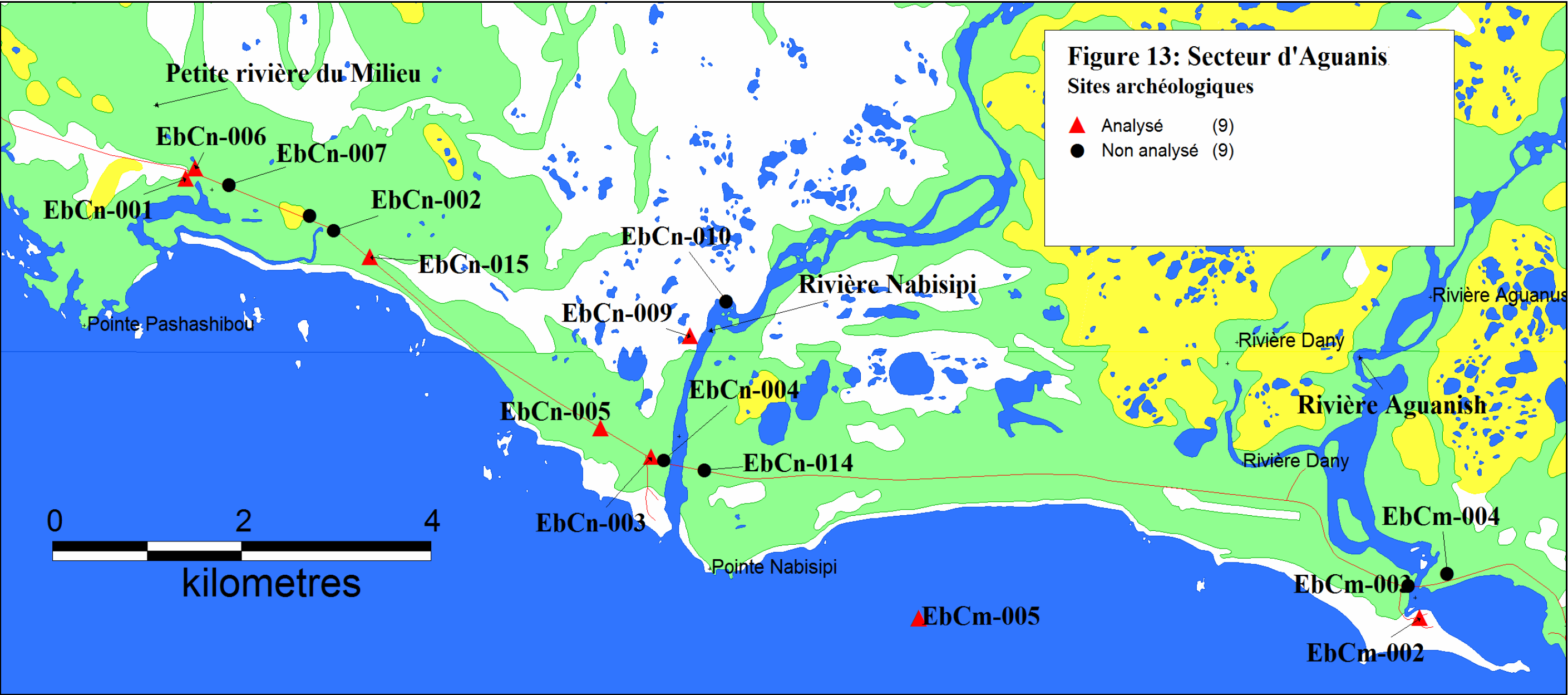


Tableau XII : Sites archéologiques du secteur d'Aguanish-Natashquan

Code Borden	Inv.	Sélection	Disponibilité des collections	Type analyse	Attribution	N. artefacts ISAQ	Datation	Poterie
EaCj-001	Sondages	Sélectionné	Complètes	Complète	Préhistorique indéterminé	<10	non	non
EbCj-001	Sondages	Non sélectionné	Complètes	Complète	Sylvicole	<10	non	oui
EbCm-002	Sondages	Non sélectionné	Complètes	Complète	Préhistorique indéterminé	10-49	non	non
EbCm-003	Sondages	Non sélectionné	Complètes	Non analysée	Préhistorique indéterminé	<10	non	non
EbCm-004	Sondages	Sélectionné	Complètes	Non analysée	Préhistorique indéterminé	100-249	non	non
EbCm-005	Sondages	Sélectionné	Complètes	Complète	Préhistorique indéterminé	50-99	non	non
EbCn-001	Sondages	Sélectionné	Complètes	Complète	Préhistorique indéterminé	100-249	non	non
EbCn-002	Sondages	Non sélectionné	Complètes	Non analysée	Préhistorique indéterminé	10-49	non	non
EbCn-003	Sondages	Sélectionné	Complètes	Complète	Préhistorique indéterminé	50-99	non	non
EbCn-004	Sondages	Non sélectionné	Complètes	Non analysée	Préhistorique indéterminé	10-49	non	non
EbCn-005	Sondages	Sélectionné	Complètes	Complète	Préhistorique indéterminé	10-49	non	non
EbCn-006	Sondages	Sélectionné	Complètes	Complète	Préhistorique indéterminé	50-99	non	non
EbCn-007	Sondages	Non sélectionné	Complètes	Non analysée	Préhistorique indéterminé	10-49	non	non
EbCn-008	Collecte de surface	Non sélectionné	Complètes	Non analysée	Préhistorique indéterminé	<10	non	non
EbCn-009	Sondages	Sélectionné	Complètes	Complète	Préhistorique indéterminé	100-249	non	non
EbCn-010	Sondages	Non sélectionné	Complètes	Non analysée	Préhistorique indéterminé	10-49	non	non
EbCn-014	Sondages	Non sélectionné	Complètes	Non analysée	Préhistorique indéterminé	10-49	non	non
EbCn-015	Sondages	Sélectionné	Complètes	Complète	Préhistorique indéterminé	500-999	non	non
Total Aguanish								18

Aucun site de ce secteur n'a été fouillé et nous ne disposons que de très peu d'informations spécifiques sur les matériaux permettant de soulever des questions de recherche spécifiques pour ce secteur. Pintal (1998) mentionne toutefois que certains sites de la région d'Aguanish semblent révéler certaines affinités avec des sites datés aux environs de 4000 ans A.A. sur la Basse-Côte-Nord (Somcynsky 1999a vol2 dans Pintal 1998 : p. 109).

3.2.4.9- Secteur archéologique de la région de Kégashka

Le secteur archéologique de la région de Kégashka constitue l'extrémité est de notre aire d'étude. Un total de 23 sites préhistoriques y est répertorié et ceux-ci se concentrent surtout à l'embouchure de la rivière Kégashka et sur le pourtour de la baie qui abrite le village de Kégashka. Wintemberg visita la région en 1928 et y localisa plusieurs sites, dont deux présentant des assemblages de céramique amérindienne typiquement iroquoienne attribuables au Sylvicole supérieur (Chapdelaine 2004 : p.87; Chapdelaine 1994 : p.3). La majorité des sites (N=18) ont reçu la visite d'une équipe d'archéologues de l'Université de Montréal lors d'une intervention menée en 1993 (Chapdelaine 1994).

Parmi les objectifs de l'intervention de Chapdelaine figuraient la documentation plus approfondie des gisements à poterie de Wintemberg et la création d'un cadre culturel

chronologique (Chapdelaine 2004 : p. 87). Trois sites y ont été fouillés et plusieurs datations radiocarbone (N=6) ont été effectuées (Chapdelaine 2004 : p.89) ce qui a permis à Chapdelaine de réaliser l'esquisse d'une séquence culturelle (Chapdelaine 2004 : p.97). Le site majeur de ce secteur est incontestablement le site Foreman (EbCi-001). Quatre datations radiocarbone y sont associées et indiquent la présence d'au moins trois occupations se répartissant entre le Sylvicole moyen ancien et le Sylvicole supérieur (Chapdelaine 2004 : p.97).

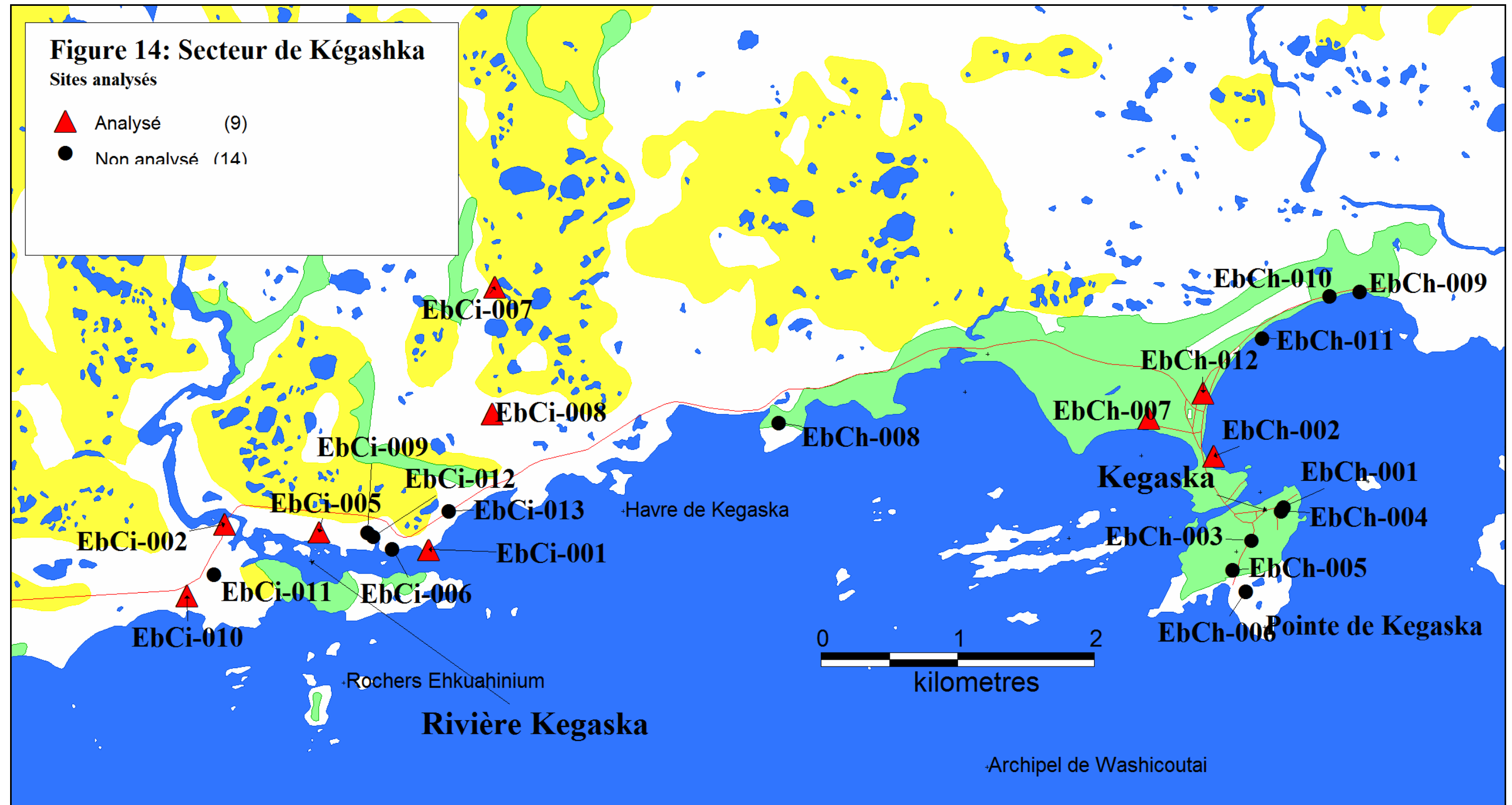
Tableau XIII : Sites archéologiques du secteur de Kégashka

Code Borden	Inv.	Sélection	Disponibilité des collections	Type analyse	Attribution	N. artefacts ISAQ	Datation	Poterie
EbCh-001	Découverte fortuite	Non sélectionné	Complète	Non analysée	Sylvicole Moyen	10-49	non	non
EbCh-002	Sondages	Non sélectionné	Partielle	Complète	Sylvicole	10-49	non	oui
EbCh-003	Identification visuelle	Non sélectionné	Complète	Non analysée	Préhistorique indéterminé	<10	non	non
EbCh-004	Identification visuelle	Non sélectionné	Complète	Non analysée	Préhistorique indéterminé	<10	non	non
EbCh-005	Sondages	Non sélectionné	Complète	Non analysée	Préhistorique indéterminé	indéterminé	non	non
EbCh-006	Sondages	Non sélectionné	Complète	Non analysée	Préhistorique indéterminé	<10	non	non
EbCh-007	Sondages	Non sélectionné	Complète	Complète	Archaique	10-49	non	non
EbCh-008	Sondages	Non sélectionné	Complète	Non analysée	Préhistorique indéterminé	10-49	non	non
EbCh-009	Sondages	Non sélectionné	Complète	Non analysée	Préhistorique indéterminé	<10	non	non
EbCh-010	Sondages	Non sélectionné	Complète	Non analysée	Préhistorique indéterminé	10-49	non	non
EbCh-011	Sondages	Non sélectionné	Complète	Non analysée	Préhistorique indéterminé	<10	non	non
EbCh-012	Collecte de surface	Sélectionné	Complète	Complète	Préhistorique indéterminé	100-249	non	non
EbCi-001	Fouille	Sélectionné	Partielle	Échantillon	Sylvicole Moyen	1000-1999	oui	oui
EbCi-002	Collecte de surface	Sélectionné	Complète	Complète	Archaique Maritime	250-499	non	non
EbCi-005	Collecte de surface	Sélectionné	Complète	Complète	Archaique Maritime	250-499	non	non
EbCi-006	Identification visuelle	Non sélectionné	Complète	Non analysée	Préhistorique indéterminé	<10	non	non
EbCi-007	Fouille	Sélectionné	Complète	Complète	Archaique terminal	500-999	oui	non
EbCi-008	Collecte de surface	Sélectionné	Complète	Complète	Préhistorique indéterminé	50-99	non	non
EbCi-009	Sondages	Non sélectionné	Complète	Non analysée	Préhistorique indéterminé	indéterminé	non	non
EbCi-010	Fouille	Sélectionné	Complète	Complète	Archaique terminal	250-499	oui	non
EbCi-011	Collecte de surface	Non sélectionné	Complète	Non analysée	Préhistorique indéterminé	10-49	non	non
EbCi-012	Collecte de surface	Non sélectionné	Complète	Non analysée	Préhistorique indéterminé	<10	non	non
EbCi-013	Collecte de surface	Non sélectionné	Complète	Non analysée	Préhistorique indéterminé	<10	non	non
Total Kégashka								23

Ces travaux ont également permis à Chapdelaine, grâce à la mise en place d'un cadre temporel, de dresser un portrait de l'utilisation des matières premières à travers le temps. Il y observe la prépondérance de matériaux d'origine locale ou régionale tels le quartz et le quartzite pour la période archaïque (Chapdelaine 2004 : p.113) et l'intégration d'une

multitude de nouveaux matériaux, notamment des cherts, à la période « Post-Archaique » (*idem*). Ces matériaux impliquent notamment plusieurs matériaux typiques de la préhistoire récente de Blanc-Sablon tels le quartzite de Ramah et divers cherts de Terre-Neuve (Chapdelaine 2004 : p.107). La provenance de ces divers matériaux lui permet de définir un univers qui correspond à la péninsule du Québec-Labrador (*idem*).

Figure 14 : Secteur archéologique de Kégashka



Chapdelaine souligne à plusieurs endroits la présence d'un chert mauve dans certains des assemblages mis au jour, il lui assigne une provenance probable à la région du lac Seal au Labrador central (Chapdelaine 2004 : p. 112-113). Il assimile donc ce matériau au « chert Saunders » un matériau très populaire à la période intermédiaire de la préhistoire du Labrador (Nagle 1978; Neilson 2006; McCaffrey, Loring et Fitzhugh 1989). Ce matériau figure également dans certains assemblages de la région de Blanc-Sablon (Pintal 1990; 1992). Chapdelaine mentionne que des travaux futurs devraient éventuellement mettre son utilisation plus en évidence comme celui-ci « ne peut passer inaperçu dans une collection lithique » (Chapdelaine 2004 : p.104). Il pourrait donc constituer un bon matériau diagnostique pour l'étude de réseaux d'échanges.

Finalement, ce secteur archéologique a l'avantage de bénéficier d'un contrôle chronologique appréciable. Ces sites ont généralement été situés chronologiquement par Chapdelaine (2004) et permettront éventuellement d'effectuer des comparaisons avec les autres sites de notre région d'étude et ainsi préciser la nature des réseaux d'échanges en place. Si Chapdelaine ne considère cette contribution que comme partielle, il souligne néanmoins la nécessité de publier les données provenant de ces régions éloignées qui manquent cruellement de visibilité et « ose espérer que leur diffusion pourra inciter d'autres chercheurs à s'y aventurer » (Chapdelaine 2004 : p.113). C'est justement en ce sens que s'inscrit notre projet de recherche.

Nous venons donc de présenter un survol rapide de l'état des connaissances tel que représenté pour chacun des secteurs archéologiques que nous avons définis. Par la même occasion, nous avons présenté des informations sommaires sur chacun des sites qui constituent ces secteurs. Une quantité plus importante d'information se retrouve toutefois dans notre base de données synthèse des sites archéologiques (voir « **base de données sites** » fournie en annexe). Notre objectif était principalement de présenter les données disponibles pour notre programme de recherche et recenser les pistes de recherches pertinentes soulevées antérieurement. Le tableau XIV présente de façon sommaire le nombre de sites et d'éléments analysés pour chacun des secteurs définis.

Tableau XIV : Tableau synthèse; nombre de sites analysés et d'éléments analysés par secteur archéologique

Secteur archéologique	N sites analysés	N matériaux représentés	N éléments de débitage analysés	N outils analysés	Types d'outils			total artéfacts
					Bifaciaux	Sur éclat	Nucléus	
Tonnerre/Saint-Jean/Longue-Pointe	7	10	875	22	5	6	11	897
Mingan	11	24	5224	125	32	55	38	5349
Archipel	6	13	1179	9	6	2	2	1188
Romaine/Havre-Saint-Pierre	14	26	4398	60	14	28	18	4458
Rivière Romaine	14	15	100	11	7	4	0	111
Betchouanes	7	16	9135	164	57	56	51	9299
Piashti/Watshishou	12	28	8167	89	24	39	26	8256
Aguanish	10	17	1073	27	20	5	2	1100
Kégaska	9	28	2777	67	26	39	2	2844
Total	90	59	32928	574	191	234	150	33502

Le prochain chapitre de ce mémoire présente les données reliées au potentiel lithique de la région d'étude. Une attention particulière y est portée au chert de la Minganie. Nous y présentons un survol de la littérature géologique et archéologique traitant de la présence et de la nature de ce matériau. Le résultat d'une prospection géologique que nous avons effectué est également présenté et permet de préciser dans une large mesure les informations disponibles sur cette source de matériau. Nous y présentons également un aperçu des réseaux d'échanges qui caractérisent la préhistoire des régions de la Basse et de la Haute-Côte-Nord. Ces informations permettent de se familiariser avec les ressources lithiques qui ont été employées au cours de la préhistoire de la région et permettent de recenser un ensemble de régions-sources potentielles.

Chapitre 4: Le potentiel lithique et l'étude des réseaux d'approvisionnement

4.1- L'approvisionnement en matières premières lithiques

Les matières premières lithiques employées par les tailleurs préhistoriques sont diverses et variées (Codère 1996; Inizan et al 1995). Toutefois, bien que ces pierres semblent représenter un ensemble hétéroclite en termes de variétés, elles composent un ensemble très cohérent du point de vue de leurs propriétés mécaniques (Inizan et al 1995 : 19). Cette homogénéité semble être le fruit d'une sélection effectuée par les tailleurs préhistoriques qui recherchaient vraisemblablement des caractéristiques spécifiques pour la sélection de ces matériaux.

Différents critères de sélection des matériaux ont été proposés (Codère 1996 : p.7-9; Inizan et al 1995 : p.21; Andrefsky 1994) et permettent essentiellement d'évaluer la qualité des différents types de pierre. La qualité de la pierre peut se définir ici comme son aptitude pour la taille et aussi la capacité de retenir un tranchant et de performer les tâches envisagées pour l'outil. Si les critères de sélection proposés relèvent principalement des propriétés mécaniques, telle la nature de la cassure, la granulométrie, la densité, etc. (Codère 1996 : p.8) des critères esthétiques ou symboliques peuvent aussi avoir été employés (Burke 2006a : p.32-33; Kooyman 2000 : p.148). La couleur par exemple peut constituer un de ces critères (Codère 1996 : p.8) de même que l'association d'un lieu (qui peut être une carrière) avec une croyance ou un symbolisme particulier (Denton et Pintal 2002 : p.30; Loring 2002 : p.184).

Si la sélection des matières premières lithiques utilisées pendant la préhistoire peut être analysée en fonction de leur qualité, elle doit aussi être abordée en fonction de la disponibilité et de l'abondance de celles-ci (Andrefsky 1994; Inizan et al 1995 : p.25).

L'accessibilité d'un matériau et son abondance peuvent contribuer grandement ou alors inhiber sa sélection par les tailleurs. Par exemple, un matériau propice à la taille (tel un chert) peut être présent à l'intérieur d'une formation géologique, mais être inaccessible (puisqu'enfoui sous une épaisse couche de dépôts quaternaires ou d'autres strates de roches) ou encore d'être si peu abondant qu'il ne puisse constituer une source de matériau intéressante (Codère 1996). La forme sous laquelle se présente un matériau peut jouer un rôle important dans la sélection de celui-ci (Andrefsky 1994). La morphologie peut effectivement constituer un facteur limitatif et imposer des contraintes au système technologique (Andrefsky 1994; Inizan et al 1995 : p.23), par exemple dans le cas de nodules de dimensions très limitées. Finalement, la disponibilité et l'accessibilité d'un matériau spécifique peuvent avoir évolué dans le temps, en fonction de l'évolution du paysage (Inizan et al 1995 : p.26) ou encore en fonction d'éléments socioculturels telle que les territoires exploités par différents groupes et les relations d'interaction et d'échange entre groupes (Loring 2002; Fitzhugh 1972).

4.1.2- Les matières premières lithiques disponibles à l'intérieur de la région d'étude

Une première étape de notre inventaire de matériaux consiste à identifier et à présenter les sources de matières premières lithiques connues ou susceptibles d'avoir été utilisées qui sont présentes dans notre région d'étude et pouvant donc être considérées comme d'origine locale ou régionale. Cet inventaire est essentiellement bâti à partir de données géologiques. Comme nous avons priorisé une perspective régionale large, ce processus est relativement laborieux et implique la consultation d'un nombre important de rapports géologiques. Afin de compléter les informations que nous offre la littérature géologique, nous avons également effectué un petit inventaire géologique qui nous a principalement permis de préciser les descriptions disponibles pour le chert de la Minganie

Nous avons toutefois la chance de bénéficier d'un rapport produit par Yvon Codère : *Potentiel des ressources lithiques du bassin de la Romaine* (Codère 1999), réalisé pour le compte de la firme Archéotec Inc. dans le cadre d'une étude du potentiel archéologique (Archéotec 2000). L'objectif de ce rapport était de répertorier, à partir de la littérature géologique, les ressources lithiques susceptibles d'avoir présenté un intérêt pour les tailleurs préhistoriques (Codère 1999 : p.1). La méthodologie employée impliquait notamment l'utilisation de critères de sélection similaires à ceux présentés plus haut (Codère 1996; 1998).

Ce document est donc d'une grande utilité pour la poursuite de nos objectifs et permet d'identifier les ressources lithiques disponibles dans notre région d'étude. Cette étude de potentiel couvre la portion comprise entre les longitudes 60° à 68° ouest et les latitudes 50° à 53° nord (Codère 1999 : p.1). Il constitue jusqu'ici l'effort le plus important pour la Côte-Nord visant à décrire les ressources lithiques disponibles dans une perspective géologique. Bien que Codère identifie correctement la formation contenant le chert de la Minganie (1999) sa plus grande contribution repose dans la couverture du vaste espace constitué par le bouclier.

Les matériaux qu'il y identifie sont principalement des quartzites de même que des rhyolites (Codère 1999). Nous rappelons ici que notre région d'étude est constituée essentiellement de deux grands ensembles géologiques; celui du Bouclier (province de Grenville) et celle des Basses-Terres du Saint-Laurent. C'est dans cette dernière, et exclusivement qu'ont été identifiées des sources de chert, notamment le chert de la Minganie, ou chert Mingan (Codère 1999).

4.1.2.1- Le Chert de la Minganie

La présence et l'utilisation préhistorique de ce matériau sont connues depuis longtemps dans la région (Bernard 1966¹²) et est occasionnellement répertorié dans les collections archéologiques¹³ (Castonguay et Chevrier 1976; Somcynsky 1989 et 1989a). Certains éléments de ce matériau auraient d'ailleurs même été identifiés dans les collections de la rivière Sainte-Marguerite (Codère 2000).

La présence des formations sédimentaires des Basses-Terres du Saint-Laurent dans la région, et de l'archipel de Mingan qu'elles constituent, ont depuis longtemps intéressé les géologues qui en ont fréquemment et abondamment documenté la nature (Longley 1944 : 1950; Waddington 1950; Nissaire 1981; Desrochers 1982, 1983, 1988). Ces différents rapports, particulièrement celui de Desrochers (1988) fournissent un bon point de départ pour mieux comprendre la nature et la distribution du chert de la Minganie. Mais, comme nous le verrons plus loin, l'acquisition de données de première main pour la description des matériaux, et particulièrement en respect des besoins des archéologues, permet dans une large mesure de préciser la description de celui-ci et d'établir son potentiel réel d'utilisation.

La province des Basses-Terres du Saint-Laurent (d'âge cambrien et ordovicien) repose en discordance sur les formations Grenvilliennes du Bouclier, plus ancien et d'âge précambrien, 570 à 4500 millions d'années (Dubois 1996 : p.42). Elle occupe toute la partie sous-marine de la région et compose les îles de Mingan et d'Anticosti ainsi que quelques affleurements sur la côte dans les environs du village de Havre-Saint-Pierre (*idem*). Dans la région, elle est constituée de deux formations : celle de Romaine et celle de Mingan

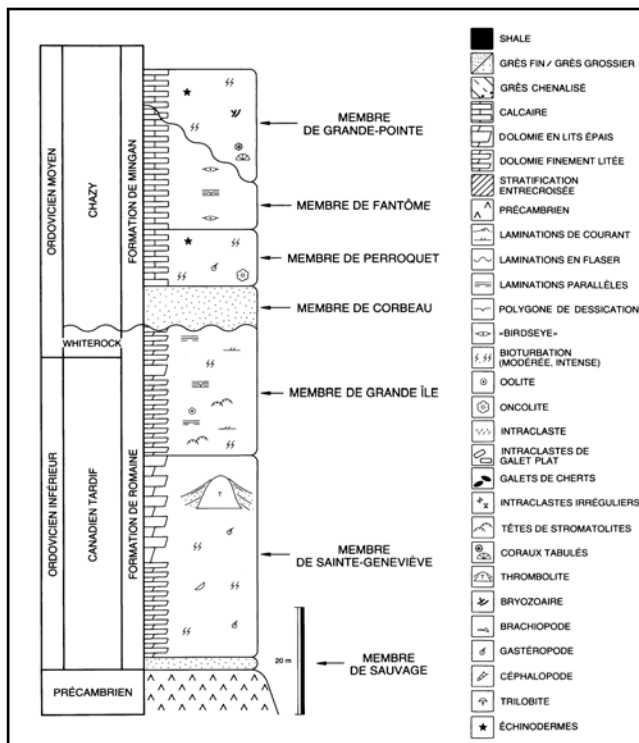
¹² En 1966, Lévesque note également la présence de nodules à « la coulée à Paul », à l'ouest du village de Havre-Saint-Pierre, et en a récolté un échantillon qui a été intégré à la collection du site EbCx-001 lors d'une campagne réalisée dans la région (Lévesque 1966).

¹³ Nous précisons ici que certains auteurs ont correctement identifié le chert de Mingan dans leurs collections et même parfois utilisé cette appellation lors de la description des assemblages (% du débitage, etc.). Cet élément n'est toutefois pas constant et ne peut, à l'heure actuelle être appliqué à une échelle régionale. De plus, aucun de ces auteurs n'en donne une description exhaustive.

(Nissaire 1981; Desrochers 1988). La formation de Romaine se rencontre surtout sur la portion côtière de la région alors que la formation de Mingan constitue la majeure partie des Îles de Mingan (Nissaire 1981 : p.43).

Bien que ces formations soient bien exposées sur la côte et sur l'archipel, elles sont plus difficiles à suivre à l'intérieur des terres (*idem*). Toutefois, ces formations sont caractérisées par un faible pendage (Desrochers 1988 : p.5) et de fait elles ont pu être retracées en retrait de la côte, au moins jusqu'au lac de la Carrière¹⁴ (Codère 1999 : p.2). Selon la littérature, on note la présence de chert dans ces deux formations (Codère 1999 : p.2), mais celui-ci serait plus abondant et récurrent dans la formation de Romaine (Codère 1999 : p.3; Desrochers 1988; 1983; 1982).

Figure 15 : Distribution des membres constituant des formations de Romaine et de Mingan (tirée de Desrochers 1988 : p.6)



La formation de Romaine, constituée à l'Ordovicien inférieur, est la plus ancienne des deux formations sédimentaires (Desrochers 1988 : p.6). Elle présente un faciès dolomitique et est constituée de trois membres : en ordre ascendant, celui de Sauvage, de Sainte-Geneviève et de Grande-Île (Desrochers 1988 : p.7-8). Le membre de Sauvage constitue la base de cette formation. Il est constitué d'un grès gris-pâle d'une épaisseur de 2 à 3 mètres (Desrochers 1988 : p.7). C'est

¹⁴ Ce lac est situé à approximativement 4km au nord de la côte. Une carrière moderne s'y trouve et Daniel Chevrier y a récolté quelques éléments (Archéotec 2001). Ils constituent l'échantillon de référence inclus dans le CRLQ au numéro Qc-09-001, Qc-09-002

ce membre qui repose en discordance avec les roches minéralisées d'âge précambrien de la province de Grenville, voir figure 15 (Desrochers 1988 : p.6).

C'est dans le membre médian, celui de Sainte-Geneviève, que l'on retrouve des nodules de chert. Ce membre est constitué de dolomies saccharoïdes brun-foncé, « on trouve aussi des nodules de chert [...] qui abondent ici et là, mais qui sont en général confinés à des intervalles stratigraphiques bien définis » (Desrochers 1988 : p.8). Ce membre atteint une épaisseur de 45m, il est présent sur la majorité des îles côtières et affleure également à plusieurs endroits sur la côte (*idem*).

La faune comprise à l'intérieur de ce membre présente un assemblage fossilifère diversifié dont Desrochers (1988 : p.8) donne l'inventaire précis. Selon les informations disponibles dans la littérature géologique, la dimension des nodules varie de 5 à 12 cm de diamètre (Nissaire 1981 : p.46) et la couleur varie de gris pâle à gris moyen et présente une altération blanc craie (*idem*; Desrochers 1988 : p.8; 1982; Archéotec 2000 : p.10-11).

Tableau XV : Occurrences parmi les affleurements du chert de Mingan¹⁵

Localité	Localisation	Formation	Membre	Abondance	Faciès	Référence
Pointe Sauvage*	Côte	Romaine	Indéterminé: «nodules de chert [...] concentrés au sommet de la formation»	Abondant	Dolomitique	Nissaire 1981: p.46
Île à Bouleau du Large	Archipel	Romaine	Grande Île	Présence	Dolomitique	Desrochers 1988, carte 1: coupe 8
Île du Havre de Mingan	Archipel	Romaine	Sainte-Geneviève	Abondant	Dolomitique	Desrochers 1988, carte 1: coupe 7
La Grande Île	Archipel	Romaine	Grande Île	Présence	Dolomitique	Desrochers 1988, carte 1: coupe 9a
La Grosse Romaine	Archipel	Romaine	Sainte-Geneviève	Moyennement abondant	Dolomitique	Desrochers 1988, carte 1: coupe 10
La Petite Romaine	Archipel	Romaine	Sainte-Geneviève	Présence	Dolomitique	Desrochers 1988, carte 1: coupe 12
Île Niapiscau	Archipel	Mingan	Grande Pointe	Présence	Calcaire	Waddington 1950, p.5. Desrochers 1988, carte 1: coupe 13d.
Île du Fantôme	Archipel	Romaine	Grande Île	Présence	Dolomitique	Desrochers 1988, carte 1: coupe 15A
Pointe aux Morts*	Côte	Romaine	Sainte-Geneviève	Abondant	Dolomitique	Desrochers 1988, carte 1: coupe 14a
Lac de la carrière*	Intérieur	Romaine	Sainte-Geneviève	Présence	Dolomitique	Archéotec 2001. Codère 1999
La Grande Pointe*	Côte	Romaine	Grande Île	Présence	Dolomitique	Desrochers 1988, carte 2: coupe 22A
Baie Puffin	Côte	Romaine	Sainte-Geneviève	Présence	Dolomitique	Desrochers 1988, carte 2: coupe 26
Île à la Chasse	Archipel	Mingan?	Indéterminé	Abondant	Calcaire? ¹	Longley 1950, p.25
Île à la Chasse (Ouest)	Archipel	Romaine	Sainte-Geneviève	Présence	Dolomitique	Desrochers 1988, carte 2: coupe 29a
Île à la Chasse (Est)	Archipel	Romaine	Sainte-Geneviève	Moyennement abondant	Dolomitique	Desrochers 1988, carte 2: coupe 29b

Desrochers dans son étude de 1988 présente plusieurs coupes géologiques localisées où est indiquée la présence de nodules de chert (Desrochers 1988). De plus, l’auteur y présente la localisation d’affleurements (*idem*). La présence combinée de ces deux indications permet de mieux estimer l’abondance et l’accessibilité de cette ressource. Les études de Desrochers se concentrent essentiellement sur l’archipel, mais documentent relativement bien la portion côtière où sont présentes ces formations. En plus des affleurements présentés par cet auteur on peut proposer que ces formations puissent également être exposées localement plus à l’intérieur des terres. Le long de cours d’eau qui ont érodé les dépôts quaternaires sus jacents et exposé ces formations par exemple. Ces indications de Desrochers permettent également de cibler certains endroits pour notre prospection géologique. Les localités qui

présentent un astérisque au tableau 15 ont d'ailleurs été visitées au cours de notre prospection géologique.

Selon le document de Codère (1999), la formation de Mingan peut elle aussi contenir des nodules de chert. Cette formation est de faciès calcaire (Desrochers 1988 : p.5), elle occupe la portion supérieure de l'ensemble et n'est pas présente sur la côte. Desrochers n'y identifie du chert qu'à un seul endroit, sur l'île Niapiskau (coupe 13D) et n'en donne pas de description. Codère quant à lui cite les résultats de Longley (1944) et propose la présence de nodules sur l'île à la Chasse (Codère 1999 : p.3). Toutefois, selon les travaux plus détaillés de Desrochers (1983 et 1988), la formation de Mingan n'est pas présente sur cette île. Ces nodules doivent donc être attribués à la formation de Romaine. Cet élément renforce quand même la proposition de Codère que le chert de la formation de Mingan « semble peu abondant et donc de disponibilité limitée » (Codère 1999 : p.3).

Nous venons de dresser un inventaire des données présentées dans les inventaires géologiques et autres documents susceptibles de documenter la présence et la nature du chert de la Minganie. Le tableau suivant présente une description sommaire du chert de la Minganie que l'on peut effectuer jusqu'ici, tel que présenté dans la documentation géologique et archéologique. Pour les intérêts de l'archéologue, cette description est incomplète et ne permet pas de décrire adéquatement la nature du matériau (couleur, dimension des nodules, etc.) et sa variabilité. Ce portrait permet toutefois d'identifier des éléments diagnostiques préliminaires (gangue dolomitique, nature des inclusions). Nous présentons maintenant le résultat de notre prospection géologique effectuée dans le secteur de Havre-Saint-Pierre et qui nous a permis d'effectuer une description beaucoup plus détaillée de la nature de ce matériau et en préciser l'abondance parmi les affleurements côtiers.

¹⁵ Selon Desrochers 1988; carte 2, la formation de Mingan n'est pas présente sur l'Île à la chasse. L'identification de Longley (1950) serait donc potentiellement erronée et la présence de nodules sur l'Île à la chasse serait ainsi associée à la formation de Romaine.

Tableau XVI : Descriptions disponibles du chert de la Minganie dans la littérature géologique et archéologique.

Discipline	Géologie	Archéologie
Provenance	Formation de Romaine à faciès dolomitique (Membre de Ste-Geneviève)	Formations sédimentaires de la Minganie (Romaine et Mingan)
Nature du matériau	Nodules	Nodules
Dimensions	5-12cm de diamètre	Nodules de petites dimensions
Couleur	- gris pâle à gris moyen - blanchâtre	- Gris-blanc - Variétés de gris - Brun
Cortex	Gangue dolomitique brunâtre - blanchâtre	Gaine calcaireuse/dolomitique
Inclusions	- Fossiles - Quartz - Pyrite ?	- Indéterminé

4.1.2.1.1- La prospection géologique effectuée

À l'été 2009, une intervention de terrain effectuée sur le cours de la rivière Romaine (Archéotec 2010) m'amena à séjourner à Havre-Saint-Pierre. J'ai pu profiter des journées de congé de ce séjour pour mener une brève prospection géologique dans le secteur côtier de Havre-Saint-Pierre. 2 journées ont donc été consacrées à l'inspection du potentiel lithique qu'offre la région.

L'objectif principal de cette prospection était de vérifier la disponibilité et l'abondance du chert de la Minganie au sein d'affleurements situés sur la portion côtière de sa distribution. Les résultats de cette prospection permettront de décrire la nature de ce matériau ainsi que sa présentation au sein des affleurements visités. Les échantillons géologiques récoltés permettront de compléter l'information issue de l'analyse des collections archéologiques.

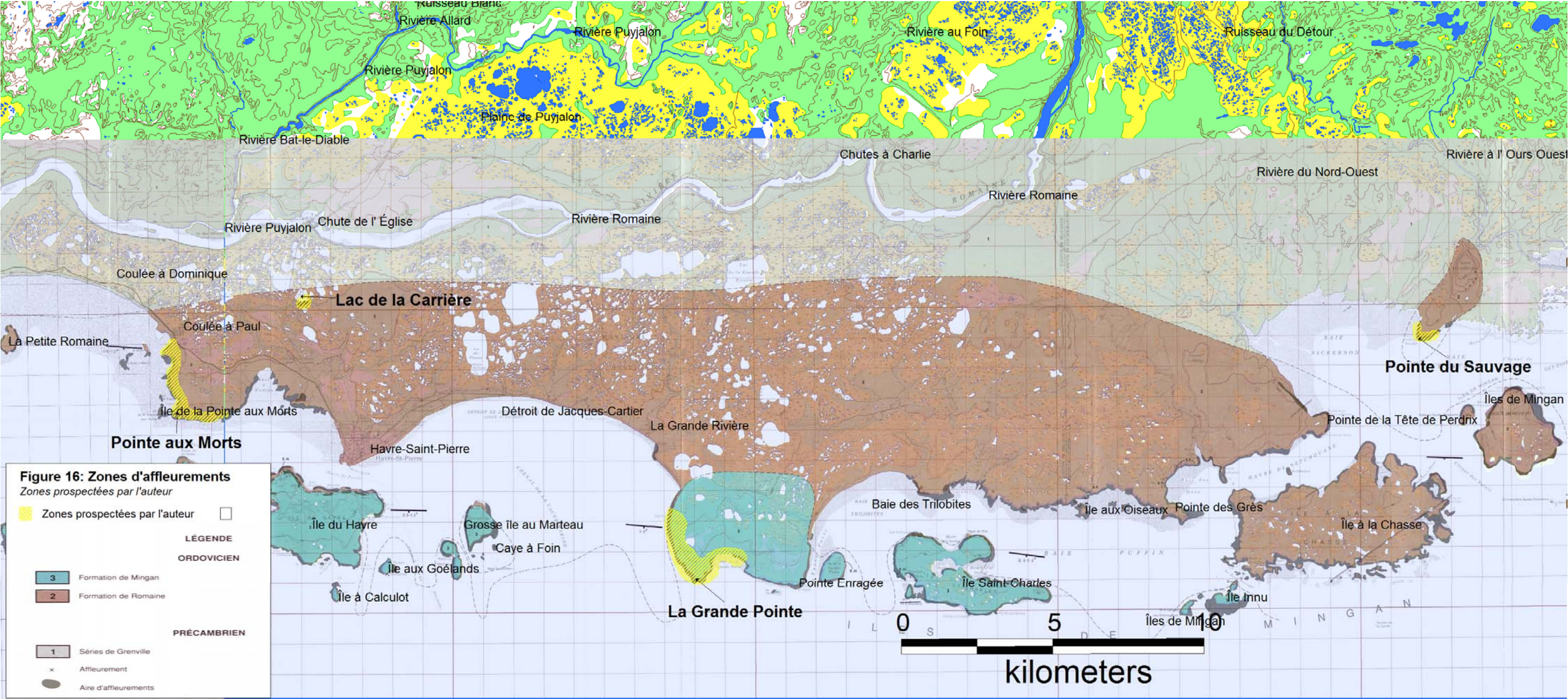
C'est principalement sur la base des informations recensées dans la documentation géologique qu'ont été ciblés les affleurements renfermant théoriquement des nodules de chert (voir tableau XV: tableau occurrence de chert). Un total de cinq emplacements a été visité. Quatre de ceux-ci l'ont été afin de documenter la présence et la nature du chert de la Minganie. Ils sont : le lac de la Carrière, la pointe aux Morts, la Grande Pointe et celle du Sauvage.

4.1.2.1.1.1- Le lac de la Carrière

Cet emplacement est un peu particulier puisqu'il s'agit d'une carrière anthropique et non d'un affleurement naturel. Toutefois, la présence de la formation de Romaine à cette localité témoigne de l'étalement vers le nord de celle-ci. La formation de Romaine est caractérisée par un faible pendage (Desrochers 1988 : p.5) ce qui lui permet d'être représentée sur une grande superficie à une altitude relativement similaire. Cette caractéristique permet de proposer que celle-ci puisse être exposée en différents endroits tels que la bordure de rivières ou ruisseaux.

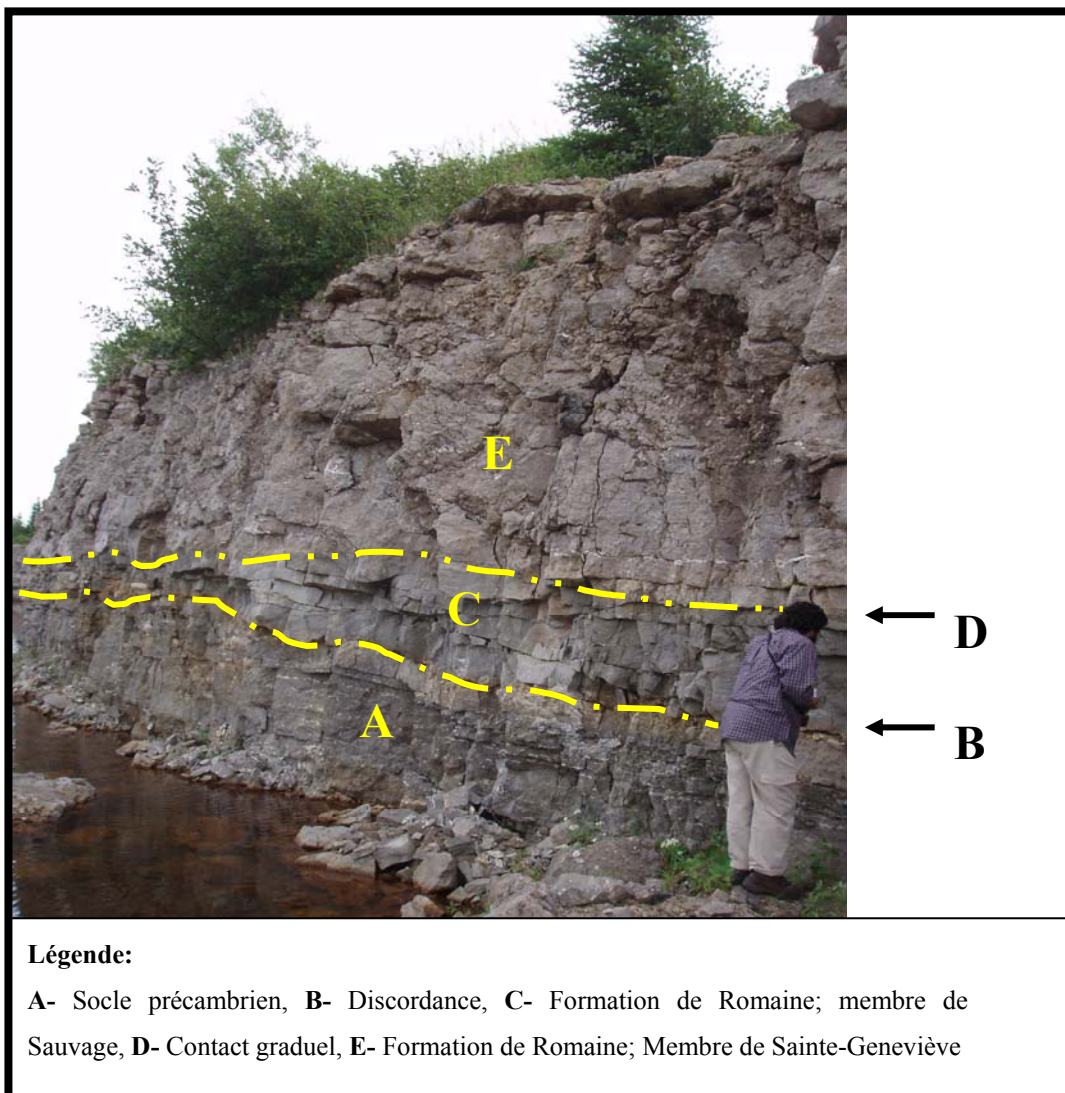
La présence de nodules de chert y avait été signalée en 2001 (Archéotec 2002 : p.21) et l'échantillon QU-09-0001 de la collection de référence de CRLQ est d'ailleurs issu de cette intervention. Peu d'informations permettent toutefois d'identifier la nature de la formation et identifier le ou les membres représentés. Notre visite en 2009 a permis d'établir la nature des membres représentés de même que de relever une présence relativement abondante de nodules de chert.

Figure 16 : Localisations des formations de Romaine et de Mingan et identifications des zones d’affleurement visitées par l’auteur.
(Carte adaptée et géoréférencée à partir des cartes 1 et 2 de Desrochers 1988)



Selon les travaux de Desrochers (1988 : carte 2), c'est exclusivement la formation de Romaine qui est représentée dans le secteur, mais aucune coupe relevée par cet auteur ne permet d'identifier les membres représentés. À cet emplacement, nous identifions trois unités distinctes. À la base de la séquence, on retrouve le socle précambrien sur lequel repose en discordance la formation de Romaine (voir les figures 15 et 17). Le membre de base de cette formation est le membre de Sauvage (Desrochers 1988), il est constitué d'arénites (i.e. grès) et constitue une unité massive de grès gris-pâle en lits épais (Desrochers 1988 : p.7). C'est ce membre qui repose en discordance avec le socle précambrien (*idem*). Aucun nodule n'ayant été répertorié dans ce membre, son identification sert principalement de point de repère. C'est le membre qui surmonte celui de Sauvage, celui de Sainte-Geneviève, constitué de dolomies vermiculées (Desrochers 1988 : p.8) qui est ici d'intérêt. Il se distingue du membre de Sauvage par le passage graduel à un faciès dolomitique (*idem*). C'est à l'intérieur de ce membre qu'ont été identifiés de nombreux nodules de chert.

Figure 17 : Présentation des unités géologiques à la localité du lac de la Carrière



Le fait qu'il s'agisse ici d'une carrière anthropique y expose de nombreux affleurements et facilite grandement notre travail. Bien qu'il ne s'agisse pas d'un contexte naturel et que celui-ci ne représente pas une source d'approvisionnement accessible à la préhistoire, celui-ci permet de décrire la nature de ce matériau. Les nodules de chert s'y sont avérés abondants. Toutefois, ceux-ci sont souvent difficiles, voire impossibles, à extirper de la roche encaissante (voir figure 18).

Figure 18 : Nodules de chert à l'intérieur de la roche encaissante (dolomie)



Un total de neuf échantillons ont été prélevés à cette localité et permettent de dresser un portrait de la présentation de ce matériau à cette localité. Les nodules ont une dimension variant entre 5 et 14 cm. de diamètre et un poids variant de 78 à 755,8gr. À titre d'inclusion, les fossiles y sont abondants et parfois visibles à l'œil nu de même que le quartz cristallin qui comble certaines vacuoles ou encore forme de « yeux » (lentilles allongées). La texture varie de cireuse à mate, la granulométrie est aphanitique et sa couleur de brun jaunâtre pale (10YR 6/2) à gris jaunâtre (5Y 8/1). La gaine dolomitique est quant à elle blanchâtre ou gris-jaunâtre (5Y 8/1). La base de données, « **description des échantillons géologiques** » fournie en annexe, présente une description détaillée de chacun des échantillons prélevés.

4.2.1.1.2- La pointe aux Morts

La portion de côte contenue entre la coulée à Paul et la pointe aux Morts présente une zone d'affleurements continus. C'est exclusivement le membre de Sainte-Geneviève de la formation de Romaine qui y est représenté (Desrochers 1988 : carte 1 coupe 14a). La présence de nodules est suggérée par Desrochers (*idem*) et par Lévesque (1966) qui y aurait

récupéré des « fragments naturels » de chert dans les environs de la coulée à Paul (Site EbCv-001 : EbCv-1.8). Ces affleurements naturels sont bien exposés et facilement accessibles puisque situés directement sur la côte. Ils sont toutefois assez limités en hauteur, d'une hauteur de 1 - 1,50 m., sur la côte, et une importante portion en est ennoyée. Les phénomènes érosifs sont ici très importants et facilitent vraisemblablement le détachement des nodules de la roche encaissante (ceux-ci étant plus résistants) lesquels se trouvent souvent « libres » (voir figure 19). Ils constituent donc une source de matière qui est ici facilement accessible. Toutefois, plusieurs nodules sont également visibles, mais impossibles à extirper de la formation de dolomie.

Figure 19 : Présentation de la formation de Romaine à la localité de la coulée à Paul



Un total de 16 échantillons y a été prélevé. Leur diamètre varie entre 4,77 et 13,96 cm, mais ceux excédant 10 cm sont rares et généralement peu siliceux. Ils présentent un poids variant de 157,5 à 755,8 g et leurs caractéristiques sont très similaires à ceux récupérés au lac de la Carrière. Certains nodules, en particulier les échantillons #16 et #26 (voir figure 20),

constituent vraisemblablement le matériau de prédilection qui était recherché. Ces nodules complets sont de dimension assez importante, sont très siliceux et ne présentent qu'une mince gaine dolomitique.

Figure 20 : Nodules de chert de la Minganie, échantillons #26 et #16



4.2.1.1.1.3- La pointe du Sauvage

La pointe du Sauvage représente l'extrémité est de la répartition de la formation de Romaine. Les membres de Sauvage et de Sainte-Geneviève y sont représentés (Desrochers 1988 : carte 2, coupe 31). Une fois sur place, nous avons constaté que les affleurements y sont aussi assez limités en termes de hauteur, ne dépassant rarement 1 m d'épaisseur. C'est principalement le membre de Sauvage qui y est représenté avec ses lits de grès grisâtre et le membre à faciès dolomitique de Sainte-Geneviève n'y est que peu représenté. Aucun nodule n'a été trouvé à cette localité. Toutefois, la dolomie présentait localement un caractère siliceux.

4.2.1.1.1.4- La Grande Pointe

À la Grande Pointe, la formation de Romaine est surmontée par la formation à faciès calcaireux de Mingan (Desrochers 1988 : p.5). La présence de chert y est suggérée par la coupe 14a de Desrochers (1988). Toutefois, les membres de la formation de Romaine n'y sont que très peu représentés et la formation de Mingan domine vraiment l'espace donnant à la côte un paysage typique de celui que l'on peut observer sur les îles de l'archipel de Mingan (voir photographies « **prospection géologique** » fournies en annexes).

Seulement quelques nodules de très petites dimensions sont attribuables au sommet de la formation de Romaine (membre de Grand-Île). Ils sont fortement encaissés et de dimension n'excédant jamais plus de quelques cm (2 à 4cm). Aucun n'a pu être récupéré. Ils sont sensiblement distincts des nodules provenant du membre de Sainte-Geneviève et présentent une texture vitreuse, granuleuse et correspondent vraisemblablement au chert que Codère (1999) associe à la formation de Mingan. Selon nos observations ils ne présentent qu'un potentiel très limité pour la taille et est nettement distinct du chert que l'on observe dans les assemblages archéologiques.

La prospection géologique que nous avons effectuée nous a permis de documenter plus en profondeur la distribution et l'abondance du chert de la Minganie à l'intérieur de sa zone d'affleurement. Un total de 26 échantillons, constitués de nodules complets et de fragments de nodules de chert de la Minganie ont ainsi pu être récupérés et permettre leur description. Ces échantillons et leurs provenances sont décrits à l'intérieur de la base de données « **description des échantillons géologiques** » fournie en annexe. Toutefois, notre prospection ne couvre que la portion côtière de la distribution théorique du chert de la Minganie et ne documente pas la présentation ou encore la présence de ce matériau sur les îles de l'archipel. La collecte de ces échantillons permet néanmoins de décrire cette matière première de façon plus appropriée pour les besoins de la discipline archéologique. Les résultats de notre prospection tendent également à démontrer que les affleurements côtiers renfermant des nodules de chert sont plus nombreux dans la portion ouest de la zone d'affleurement de la formation de Romaine. Toutefois, une importante portion de côte n'a

pas été prospectée, entre la Grande Pointe et la pointe du Sauvage, et est également susceptible de livrer des nodules de chert (Desrochers 1988).

4.1.2.1.2- Description détaillée du chert de la Minganie

Pour cette section de la présentation, nous utiliserons un ensemble de caractéristiques qui sont généralement employées pour les descriptions pétrographiques effectuées par des archéologues (Black et Wilson 1999; Burke 2002; Burke et Chalifoux 1998; Luedke 1992; Elay et von Bitter 1989).

4.1.2.1.2.1- La roche encaissante

La roche encaissante qui abrite les nodules de cherts de la Minganie semble maintenant clairement identifiée comme étant les roches au faciès dolomitique du membre de Sainte-Geneviève de la formation de Romaine. Ces dolomies sont à grains très fins, d'un brun léger (#192 : 10YR 6/2) à blanchâtre (#31 : 5Y 8/1). On peut par endroits y observer des fossiles de bonnes dimensions, ou mégafossiles (Desrochers 1988 : p.8). Cette dolomie compose également la gaine qui forme la partie extérieure des nodules de chert. Elle y est de granulométrie très fine et présente une cassure conchoïdale. Elle présente de façon générale une transition graduelle avec la portion plus siliceuse qui compose le cœur de ces nodules. Cette gaine dolomitique présente une épaisseur très variable. Par endroits elle n'excède à peine les 2 mm alors qu'ailleurs elle peut être caractérisée par une épaisseur de plus de 2 cm.

4.1.2.1.2.2- Le chert (description macroscopique)

Ces nodules se présentent donc à l'intérieur d'un massif de dolomie et sont libérés par les processus érosifs. Autrement, ils sont très difficiles à extirper. Le tableau XVII présente la dimension générale des nodules de chert qui ont été récupérés au cours de notre prospection

géologique. Leurs dimensions présentent une variabilité considérable, mais correspondent assez bien aux descriptions disponibles dans la littérature géologique, ceux-ci variant entre 7 et 15 cm. Le chert contenu dans ces nodules présente souvent des structures plus ou moins continues qui forment un rubanement concentrique et ce, particulièrement en bordure de la portion extérieure composée par la gaine. La couleur de celui, en bordure de la gaine est généralement d'un gris blanchâtre (#31 : 5Y 8/1). Le centre des nodules présente généralement une couleur plus foncée, gris-brunâtre à brun (#23 : 5YR 4/1) et la structure y devient principalement mouchetée. Ce caractère moucheté du matériau lui confie une variabilité importante au niveau des couleurs où dominant les teintes de gris et de brun, mais où ont été également observés des variétés bleutées, ou gris bleutés (#62 : 5B 7/1, #63 : 5B 5/1).

Tableau XVII : Dimensions générales des nodules de chert de la Minganie récupérés

Nodules complets (N=10)				
Valeur	Poids	Longueur	Largeur	épaisseur
Moyenne	524,56	9,45	7,06	5,36
Maximum	1046,30	14,37	11,76	7,86
Minimum	78,30	5,11	4,32	3,42

Fragments de nodules (N=10)				
Valeur	Poids	Longueur	Largeur	épaisseur
Moyenne	205,92	7,41	5,61	4,07
Maximum	449,6	11,91	8,89	5,68
Minimum	54,7	4,77	4,10	3,05

Le chert de la Minganie présente également un nombre d'inclusions qui permettent de le caractériser. Il contient plusieurs fossiles qui sont parfois observables à l'œil nu ou encore sous un faible grossissement (20X). Le mode de formation de ce matériau par précipitation de la silice (Jean Beaulieu, communication personnelle 2010) permet également d'observer par endroits des portions et des fragments de roches provenant de la roche encaissante. Ils peuvent se présenter sous la forme de fragments de roche à l'intérieur d'une matrice de silice ou encore composer des lentilles plus ou moins importantes (2mm à plus de 1cm de long). Finalement, on peut fréquemment observer la présence de cristaux de quartz grenu et

de vacuoles. Elles sont d'ailleurs régulièrement comblé par l'apparition et l'accroissement de ces cristaux de quartz.

4.1.2.1.2.3- Description microscopique

La section qui suit présente une description microscopique du chert de la Minganie. Ces observations ont été effectuées au laboratoire de pétrographie du département de génie géologique de l'École Polytechnique de Montréal. Quatres lames minces ont été analysées à l'aide d'un microscope pétrographique à lumière polarisée de marque ZEISS permettant un grossissement allant de 20 à 100X. Une détermination des caractéristiques microscopiques de ce matériau permet de donner une description beaucoup plus détaillée de la nature et du mode de formation de ce matériau et donc d'avoir un meilleur contrôle de sa variabilité (Morin et Marquis 1995; Elay et Von Bitter 1989). Nous présentons maintenant le résultat de ces analyses.

Le chert de la Minganie se présente sous la forme de nodules encaissés dans une gaine et une unité massive de dolomie. La diagenèse de ce matériau est liée à la précipitation de la silice dans celle-ci et plusieurs des caractéristiques observables au niveau microscopique mettent en évidence ce processus. Premièrement, la matrice qui constitue ce chert est composée de quartz microcristallin et cryptocristallin. Sa nature illustre la présence de phénomènes de substitution et de remplissage (Elay et Von Bitter 1989 : p.7). Les formes que prennent la silice (fabriques), associées au phénomène de substitution, particulièrement le quartz micro et cryptocristallin et la calcédoine sphérulitique (*idem*) dominant l'image observée en lames minces (voir figure 22). Les structures de remplissage (*idem*), sont toutefois bien représentées par la présence de quartz grenu (sous forme cristalline) et de calcédoine en bandes étroites qui comblent les vacuoles qui sont présentes dans la matrice de quartz cryptocristallin (voir figure 21 : lentille de quartz grenu avec bordure de calcédoine). Certaines de ces structures de remplissage sont d'ailleurs visibles macroscopiquement et même parfois à l'œil nu pour les plus volumineuses. Elles

expliquent la présence de quartz cristallin parmi les inclusions observées au cours de l'analyse des artéfacts en chert de la Minganie.

Le mode de formation du chert de la Minganie résulte également en la présence des vestiges de la roche hôte sous la forme de rhomboédres de carbonates disséminés dans une matrice siliceuse (quartz micro et cryptocristallin). Ces vestiges donnent aussi un aspect poussiéreux ou sale à la lame mince, lorsqu'observés en lumière naturelle (Jean Beaulieu, communication personnelle 2010). Un nombre très limité de fossiles a effectivement été observé. Ce nombre semble limité comparativement à la formation à laquelle ce matériau est associé (Desrochers 1988). Les traces des fossiles contenus originalement ont vraisemblablement été majoritairement effacées ou remplacées par la cristallisation du quartz microcristallin et de la calcédoine (Jean Beaulieu, communication personnelle 2010). Certains spécimens ont néanmoins été observés : ils sont des trilobites dont la présence a été relevée grâce à l'identification de structures circulaires attribuables à leurs antennes vues en coupe (idem). Des concentrations diffuses de pelloïdes (*pellets*), formant de petites masses opaques (Elay et Von Bitter 1989 : p.47), ont également été observées. Finalement, aucune inclusion minérale à l'exception des vestiges de carbonates n'a été observée.

Figure 21 : Vacuoles dans la matrice de quartz micro et cryptocristallin comblée par des cristaux de quartz grenu.

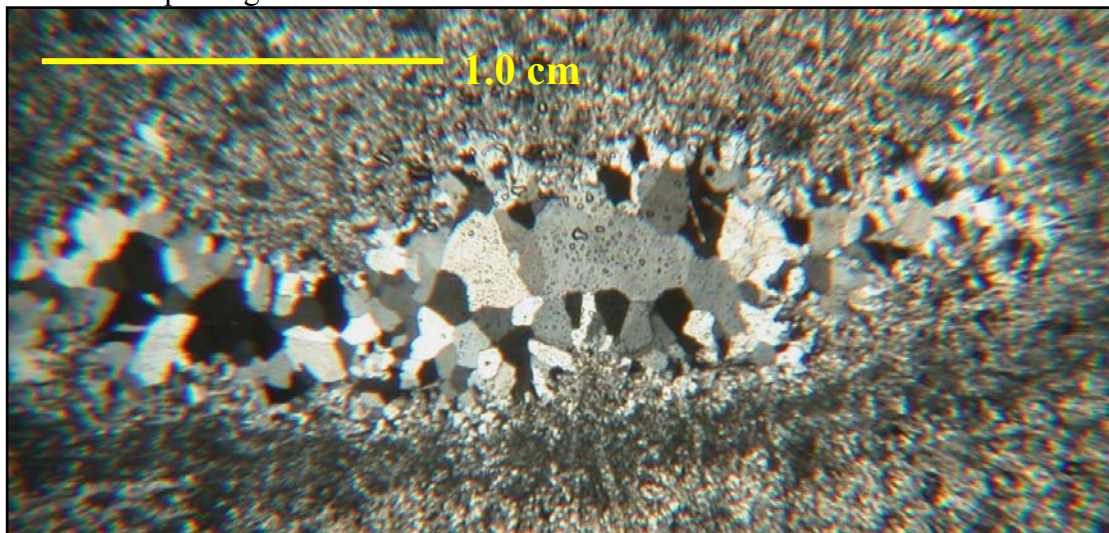
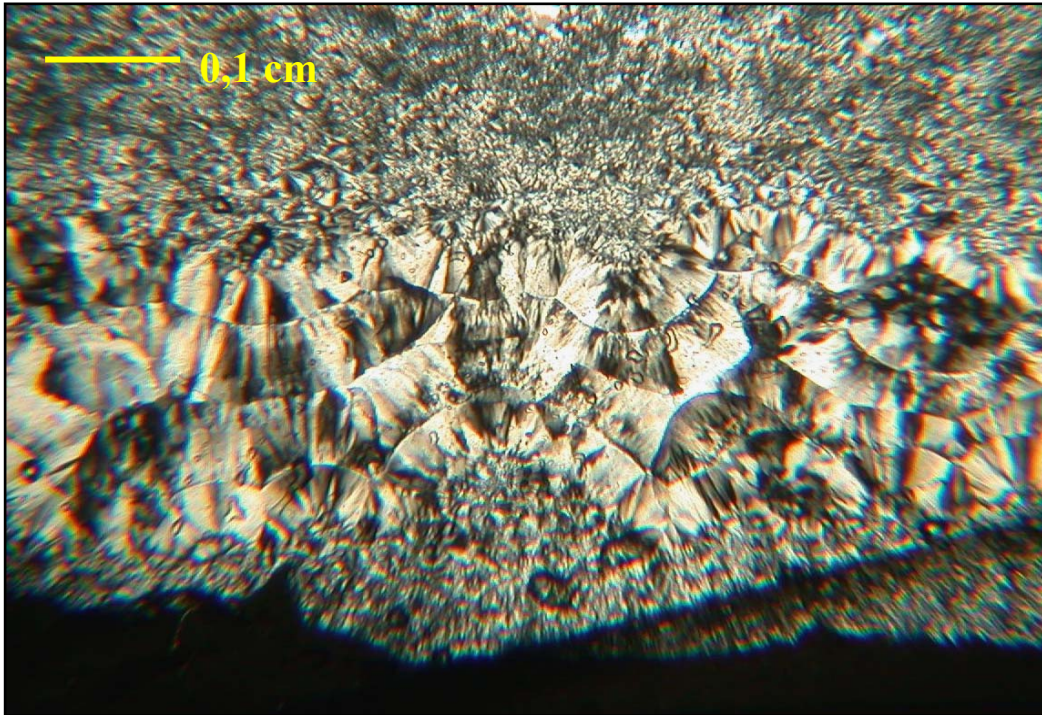


Figure 22 : Concentration de calcédoine sphérulitique



Les figures précédentes présentent certains éléments observables en lames minces pour le chert de la Minganie. La première (figure 21) illustre, en lumière polarisée, la présence d'une vacuole comblée par une masse de quartz grenu et de calcédoine. Ces structures, qui rappellent les géodes, forment un élément diagnostique qui est observé sur toutes nos lames minces. Une seconde photographie (figure 22), effectuée en lumière polarisée également, illustre la présence d'importantes concentrations de calcédoine sous forme sphérulitique (Elay et von Bitter 1989 : p.7). Ces structures volumineuses sont également observables à l'œil nu et sont responsables de certaines des structures incolores ou bleutées de type concentriques observées macroscopiquement. Ces structures ont dans un premier temps été mal interprétées puisqu'on assimilait ces structures circulaires à la présence de fossiles.

Pour conclure cette section sur la présentation et la description du chert de la Minganie, le tableau suivant, présente de façon sommaire les principales caractéristiques visuelles

macroscopiques et microscopique du chert de la Minganie et reprend les informations relatives à sa provenance et son contexte géologique.

Tableau XVIII : Tableau synthèse des caractéristiques du chert de la Minganie

A- Contexte géologique	... suite de la description macroscopique ...
<ul style="list-style-type: none"> • Association géologique Formation à faciès dolomitique de Romaine (Basses-Terres du Saint-Laurent) Membre de Sainte-Geneviève 	<ul style="list-style-type: none"> • Cortex Gaine dolomitique brunâtre : 10YR 6/2 Gaine d'épaisseur de 0,2 à 2,5cm Opaque
<ul style="list-style-type: none"> • Âge Ordovincien inférieur 	<ul style="list-style-type: none"> • Texture cireuse à mate
<ul style="list-style-type: none"> • Occurrence Affleurements côtiers îles de l'archipel de la Minganie 	<ul style="list-style-type: none"> • Structure moutonnée
<ul style="list-style-type: none"> • Inclusions Quartz cristallin (vacuoles) Calcédoine Fossiles 	<ul style="list-style-type: none"> • Inclusions Quartz cristallin (vacuoles) Calcédoine Fossiles
B- Description de la roche hôte (encaissante)	D- Description microscopique du chert
<ul style="list-style-type: none"> • Dolomie vermiculées Couleur brunâtre : 10YR 6/2 Granulométrie très fine Structure homogène 	<ul style="list-style-type: none"> • Matrice Quartz microcristallin à cryptocristallin Structures de remplacement dominant Quartz microcristallin calcédoine sphérulitique Structures de remplissage bien représentées Mosaïque de quartz grenu Calcédoine en bandes
<ul style="list-style-type: none"> • Ensemble sous-jacent Grès gris du membre de sauvage de la formation de Romaine 	<ul style="list-style-type: none"> • Fossiles Trilobites Pelloïdes (<i>Pellets</i>)
C- Description macroscopique du chert de la Minganie	<ul style="list-style-type: none"> • Carbonates Quelques rhomboèdres de carbonates (dolomie) Vestiges de roche encaissante (poussière, aspect "sale")
<ul style="list-style-type: none"> • Présentation (<i>mode of occurrence</i>) Nodules de diamètre variant de 7 à 15cm Cassure conchoïdale 	
<ul style="list-style-type: none"> • Couleur principale Gris brunâtre à brun : 5YR 4/1 	
<ul style="list-style-type: none"> • Couleurs secondaire Gris blanchâtre : 5Y 8/1 Gris-bleuté : 5B 7/1 	

4.1.2.2-- Les matières premières disponibles dans le Bouclier

Tel que mentionné plus tôt, à l'exception des Basses-Terres du Saint-Laurent, la grande majorité de notre aire d'étude est constituée par les roches minéralisées, d'origine métamorphique ou volcanique, du Bouclier (Dubois 1996 : p.42). Codère (1999) nous informe que les sources de matière première y sont peu abondantes (Codère 1999 : p.1) et que les descriptions disponibles sont souvent insuffisantes pour caractériser adéquatement ces pierres. Les travaux géologiques ont toutefois l'avantage d'identifier adéquatement les inclusions, minérales et autres, présentes dans ces roches et fournissent ainsi une information importante pour tenter de les départager.

Codère dresse une liste de sources potentielles et celles-ci abritent essentiellement des quartzites (Codère 1999 : p.3). Treize variétés de quartzite sont répertoriées et attribuables principalement au Supergroupe de Wakeham et à la formation de Whishart (*idem*). Certains de ces matériaux ont des distributions relativement étendues et présentent une variabilité importante, il est donc difficile d'identifier à priori les matériaux les plus importants ou significatifs. De même, l'étendue des formations qui contiennent ces quartzites est généralement considérable et les géologues les ayant décrites ne localisent à peu près jamais les affleurements de ces derniers (Codère 1999; p.03). Codère a produit toutefois une carte très utile (Carte 6.3 dans Archéotec 2000) sur laquelle est indiquée la localisation de ces formations et sources potentielles.

À un niveau plus spécifique, Codère identifie quatre variétés de rhyolite, une roche ignée, associée au groupe d'Aganuk du Supergroupe de Wakeham. Non seulement la distribution de ces roches est plus limitée, elles présentent une signature plus diagnostique que les différents quartzites, qui sont parfois impossibles à différencier au niveau visuel. Finalement, trois sources importantes de quartz sont identifiées par Codère. Une en particulier, celle de la colline Watshishou (Codère 1999 : p.12), qui porte aussi le toponyme de *Crête blanche*, est considérable (Longley 1944). Elle est décrite (Longley 1950 : P.30) comme un massif lenticulaire de quartz blanc laiteux et opaque d'une longueur excédant

2000 pieds et d'une largeur maximale de 200 pieds et qui est à découvert sur une superficie estimée de 250 000 pieds carrés. Ce dernier endroit, compte tenu de son accessibilité, a aussi fait l'objet d'une brève prospection par l'auteur en 2009.

4.1.2.2.1 -La Crête blanche et le « quartzite EbCp »

La prospection géologique que nous avons effectuée à l'été 2010 nous a également amenés à visiter une source de matériau associée à la région du Bouclier, il s'agit du lieu dit de la « Crête blanche », un important massif de quartz situé à proximité du village de Baie-Johan-Beetz. Elle figure dans les travaux de Longley (1950 et 1944) où elle est décrite comme un massif lenticulaire de plus de 2000 pieds de long (Longley 1944 : p.18) constitué de quartz pur, blanc et laiteux (1950 : p.30). Celle-ci est d'ailleurs répertoriée par Codère (1999 : p.12) comme une source potentielle. Cette crête se trouve sur la bordure ouest de l'élargissement d'un cours d'eau sans nom situé entre les rivières Watshishou et Petite-Watshishou. En plus d'être facilement accessible, elle bénéficie d'une bonne visibilité de par sa couleur et par le relief plat du secteur (voir figure 23 et photographies de la prospection fournie en annexe).

Figure 23 : La Crête blanche et son environnement immédiat (vue vers le sud et le golfe Saint-Laurent)



Une fois sur place nous avons constaté que la crête constitue réellement un important massif de quartz pur. Sa couleur est d'un blanc laiteux à gris rosâtre (5YR 8/1). Très homogène, il présente aussi une cassure conchoïdale. Le caractère arrondi de la surface du massif peut toutefois rendre difficile l'extirpation de blocs. Malgré sa qualité, son accessibilité et son abondance, ce matériau est assez peu diagnostique et il serait difficile de le distinguer à l'intérieur des assemblages archéologiques. Il renforce toutefois la proposition que différentes sources de quartz soient disponibles localement et permettent un approvisionnement relativement aisé de ce matériau.

À proximité de la Crête blanche, la présence d'un quartzite taillable a aussi été notée. Ce quartzite grisâtre (N8) à gris rosé (5YR 8/1) présente une cassure conchoïdale. Il provient de massifs locaux et présente un grain de taille moyenne et des inclusions minérales brunes. Il semble disponible sur une grande superficie et semble associé au complexe d'Aguanish (Brisebois et Clark 2003 : carte 5) ou au groupe de Davy (Indarès et Martignole 1993 : carte 1; Longley 1944 : carte 1, unité 1). Codère (1999) identifie d'ailleurs le groupe de

Davy comme une source potentielle de quartzite (Codère 1999 : p.5). Ce matériau présente plusieurs similarités avec le « quartzite EbCp » de notre analyse des collections archéologiques. Il est intéressant de constater que la provenance de ce matériau puisse concorder avec notre appellation, effectuée dans un premier temps, seulement en fonction de la distribution géographique de ce matériau dans les sites archéologiques.

Figure 24 : Bloc massif de quartzite de type « quartzite EbCp »



Cette portion de la présentation est moins détaillée que celle concernant le chert de la Minganie, car les informations, bien que synthétisées par Codère (1999), y sont moins précises. Ces données identifient tout de même des régions sources potentielles et fournissent une base de comparaison à laquelle nous pourrions éventuellement confronter notre inventaire archéologique de matières premières lithiques.

4.1.3- Les réseaux d'approvisionnement de matériaux lithiques des régions avoisinantes

De la même façon que notre région d'étude ne bénéficie pas de synthèse des données archéologiques au niveau régional, elle ne bénéficie d'aucune étude concernant les réseaux d'approvisionnement lithiques. Pour l'instant elle ne bénéficie qu'au mieux de simples comparaisons avec les régions avoisinantes où des contacts sont suggérés, mais toujours de manière hypothétique (Pintal 1998 : p.124, 146, 169). Les régions limitrophes du Labrador, de la Haute et de la Basse-Côte-Nord bénéficient de connaissances plus développées sur l'utilisation des matières premières et permettent d'identifier les principales sources de matériaux utilisées au cours de leur préhistoire et éventuellement d'identifier des relations potentielles avec notre région d'étude.

4.1.3.1- La Basse-Côte-Nord

La région de la Basse-Côte-Nord en particulier profite d'une documentation relativement élaborée concernant l'utilisation des matières premières lithiques. Effectivement, plusieurs travaux de différents types permettent de mettre en contexte l'utilisation des ressources lithiques de la région (Pintal 1998; 1992; 1990; Marquis 1998). L'archéologue Jean-Yves Pintal consacra deux articles à l'utilisation des ressources lithiques de la région (Pintal 1990; 1992). Le premier article (Pintal 1990) s'intéresse particulièrement à l'utilisation des ressources lithiques dans une perspective diachronique pour une région particulière, l'ensemble des sites de la région de Blanc-Sablon. Une sériation de l'utilisation des matières premières lithiques de la région y est générée (Pintal 1990 : p.92). On peut y observer non seulement les différents matériaux présents, mais aussi le type de réduction qui les caractérisent (Chevrier 1986 dans Pintal 1990 : p.93). Une importance particulière est attribuée à l'utilisation d'un quartzite local, le quartzite de Blanc-Sablon. Le second article (Pintal 1992) s'insère dans une thématique semblable, mais l'attention est ici portée à une perspective régionale plus large (Pintal 1992). À travers ces deux articles, Pintal

identifie les principaux matériaux qui caractérisent la préhistoire régionale et parvient à documenter et quantifier leur utilisation à travers le temps et l'espace (Pintal 1990; 1992). De plus, les données présentées par cet archéologue ont l'avantage d'avoir été appuyées par l'analyse d'un géologue, Robert Marquis (1998) dont l'analyse permet d'obtenir une description formelle de ces matériaux de même que l'attribution d'une provenance pour la grande majorité d'entre eux (Marquis 1998 : p.326-327 ; Pintal 1992).

Cette démarche a permis de documenter la présence et l'importance des matériaux d'origine locale en plus d'en donner une caractérisation détaillée (Marquis 1998), et aussi d'identifier la présence et la provenance de matériaux exotiques (Pintal 1990; 1992; 1998; Marquis 1998). Cette démarche pétroarchéologique, combinée à un contrôle chronologique et la création d'une séquence culturelle régionale permettent d'identifier l'importance de différents réseaux d'échanges et d'influences ayant eu cours à la préhistoire de la région. Finalement, un inventaire de ces matériaux, de même qu'une collection de référence lithique ont d'ailleurs été mis sur pied et rendus disponibles à la communauté de chercheurs¹⁶.

4.1.3.1.1- Les réseaux d'approvisionnement lithiques en Basse-Côte-Nord à travers le temps

Les premiers groupes ayant occupé le territoire de la Basse-Côte-Nord, à la période du peuplement initial entre 8200 et 6500 ans A.A. (Pintal 1998 : p.35), ont utilisé presque exclusivement des matériaux d'origine locale; le quartzite de Blanc-Sablon et le quartz (Pintal 1998 : p.46; Pintal 1992 : p.59; Pintal 1990 : p.93). À ceux-ci s'ajoutaient, de façon accessoire, des cherts originaires de Terre-Neuve comme le chert Cow Head (Pintal 1990 : p.93). Au cours de la première cristallisation culturelle (6500-5000 ans A.A.) correspondant à l'Archaique Moyen ou Archaique Maritime Moyen (Pintal 1998 : p.101), les matériaux

utilisés demeurent essentiellement les mêmes, mais le quartzite de Ramah sera ajouté à cet inventaire, aux environs de 6200 ans A.A. (Pintal 1998 : p.101; Pintal 1990 : p.94). Cette donnée témoigne de l'élargissement du territoire parcouru ou encore de celui d'un réseau d'échange.

Si les liens avec le Labrador et Terre-Neuve sont explicites, ceux avec le reste de la Côte-Nord demeurent équivoques bien que le matériel archéologique semble suggérer des relations (Pintal 1998; p.79). Toutefois, tant que les connaissances ne seront pas approfondies et le contrôle chronologique amélioré, particulièrement pour la Moyenne-Côte-Nord ces relations demeurent hypothétiques (*idem*).

La période suivante, celle de l'interrègne de l'Archaïque Récent allant de 5000-3500 ans A.A. (Pintal 1998 : 105), est caractérisée dans la région de Blanc-Sablon par un usage intensif des cherts de Terre-Neuve (Pintal 1998 : p.107). La domination de ce matériau fait croire à Pintal que les occupants de la région ont pu avoir un accès direct à ces matériaux (Pintal 1990 : p.94). Les quartzites de Blanc-Sablon et de Ramah demeurent utilisés, mais de façon très limitée. Toutefois, pendant cette période au Labrador, particulièrement pendant la phase Rattler's Bight entre 4100 et 3800 A.A. (Fitzhugh 1972), l'utilisation des ressources lithiques est caractérisée par un usage quasi exclusif du quartzite de Ramah (Pintal 1998 : p.107). Pour cette période, Pintal identifie des liens plus formels entre certains assemblages de la Moyenne-Côte-Nord (EbDj-4 et certains sites de la région du village d'Aguanish) et ceux de Blanc-Sablon (Pintal 1998 : p.108).

La prochaine période marque le commencement du « Post-Archaïque » (Pintal 1998; 1992 : p.59). Si l'utilisation des matériaux d'origine locale était abondante au cours de la période Archaïque, le recours à des pierres exotiques, parfois de façon importante, distingue maintenant les assemblages post-archaïques de ceux de la période précédente (Pintal 1992 :

¹⁶ Collection de référence lithique de la Basse-Côte-Nord. Cette collection comprend 168 échantillons et est entreposée à la réserve des collections archéologiques du Ministère de la Culture, des Communications et de la Condition Féminine du Québec (MCCCFQ) à la ville de Québec.

p.59). Cette période semble témoigner de la présence d'un réseau d'échange plus actif qui peut même impliquer des matériaux originaires de la Haute et de la Moyenne-Côte-Nord (Pintal 1998 : p.146). Les cherts de Terre-Neuve et le quartzite de Ramah deviennent fortement utilisés pendant cette période (Pintal 1990 : p.94). La période intermédiaire (*Intermediate Indian* du Labrador de 3500 à 1800 A.A.) caractérisée par la phase Saunders (Neilsen 2006), entraîne aussi l'apparition de matériau de l'intérieur, notamment le « chert Saunders » (Pintal 1998 : p.169; Pintal 1994 : p.94).

L'émergence du complexe/phase Daniel Rattle du Labrador central, 1800 à 1100 A.A. (Fitzhugh 1972), caractérisé par une utilisation très abondante du quartzite de Ramah (Pintal 1998 : p.171) tarde à se matérialiser sur la Basse-Côte-Nord, où ce sont principalement les cherts de Terre-Neuve qui sont utilisés aux dépens du quartzite de Ramah (Pintal 1998 : 207). L'utilisation du quartzite de Ramah deviendra courante à la préhistoire récente avec le complexe Point Revenge, entre 1100 et 400 A.A. (Pintal 1998 : 211; Pintal 1989 : p.34). Les cherts de Terre-Neuve et du détroit de Belle-île demeurent eux aussi courants (Pintal 1992 : p.64) et c'est d'ailleurs de cette région que provient l'essentiel des cherts retrouvés dans les assemblages de la Basse-Côte-Nord (Marquis 1998 : 336).

Pendant ce temps, sur la Haute et la Moyenne Côte-Nord on note la présence de sites avec de la poterie, ceux-ci demeurent toutefois très rares sur la Basse-Côte-Nord (Pintal 1998 : 169). Malgré cette rareté de la poterie sur la Basse-Côte-Nord, il est proposé par Pintal que la Moyenne-Côte-Nord puisse participer à ce réseau de circulation des matières premières (Pintal 1998 : 247) et l'on pourrait donc y retrouver les matériaux mentionnés pour la Basse-Côte-Nord et vice-versa. Toutefois, les données en provenance de la Moyenne-Côte-Nord étant trop imprécises pour l'instant, la nature de ces liens demeure à être explicitée (*idem*).

Cet ensemble de données permet donc d'identifier les relations possibles qui existaient entre différents groupes répartis sur le territoire. Elles permettent non seulement de

déterminer l'échelle de ce territoire, mais le contrôle chronologique dont bénéficie cette région permet également d'observer les changements à travers le temps (Pintal 1998; 1992) et parfois même d'identifier des assemblages de matériaux qui semblent diagnostiques d'une période temporelle définie (Pintal 1990 : 95).

4.1.3.2- La Haute-Côte-Nord

La région de la Haute-Côte-Nord quant à elle, bien qu'elle bénéficie également d'un meilleur contrôle chronologique que notre région d'étude, ne bénéficie pas véritablement d'étude synthèse portant spécifiquement sur l'utilisation des matériaux. Un ensemble de publications traitent de la préhistoire de la région et en abordent le sujet (Plourde 2003; 1993; Archambault 1995; 1987; Plumet et al. 1993; Pintal 2000), mais l'information est généralement plus éparpillée.

Une synthèse des recherches archéologiques de Plourde (2003) pour le Parc marin du Saguenay permet néanmoins d'obtenir une perspective diachronique de l'utilisation des matières premières lithiques, bien que cette aire d'étude soit relativement restreinte. Il y identifie aussi les différentes études/rapports impliquant une analyse plus approfondie des matériaux lithiques (Plourde 2003 : p.11). Ces études ont principalement été effectuées par Yvon Codère (Taillon 1995; Plourde 1998) et Robert Marquis¹⁷.

Selon une perspective chronologique il en ressort qu'au début de la séquence, pour la période de l'Archaïque¹⁸, l'accent est tourné essentiellement vers les matériaux d'origine locale tels le quartz et différents quartzites dits « locaux » (Archambault 1987 : p.107,

¹⁷ Cette collection de référence est très similaire en terme de forme à celle mise sur pied par Pintal et Marquis pour la région de la Basse-Côte-Nord. L'identification de la provenance des matériaux y est toutefois moins fréquente. Cette collection compte 121 spécimens et est également entreposée à la réserve des collections archéologiques du Ministère de la Culture, des Communications et de la Condition Féminine du Québec (MCCCFQ) à la ville de Québec.

¹⁸ La majorité des manifestations de cette période sont attribuables à l'Archaïque Supérieur, de 6000 à 3000 ans A.A. (Archambault 1987 : p.103)

1995) ou quartzites indéfinis (Pintal 2000 : p.5). Bien que des matériaux exotiques puissent aussi être présents dans les assemblages, ceux-ci sont toujours très minoritaires (Archambault 1995; 1987). Vers la fin de la période archaïque dans la région de Baie-Comeau, Pintal (2000 : p.6) mentionne que la culture matérielle s'enrichit de matériaux exotiques, essentiellement des cherts, qu'il associe aux formations appalachiennes. Malgré cet ajout, les matériaux d'origine locale dominent toujours les assemblages (*idem*).

C'est à la période suivante, celle du Sylvicole¹⁹, que l'on observe la mise en place d'un réseau d'échange dont l'importance est plus marquée dans les assemblages (Plourde 2003; Plourde 1993; Pintal 2000). Certains de ces matériaux proviennent de sources éloignées et témoignent de l'étendue de ces réseaux d'échanges (Plourde 1993 : p.27). Les cherts provenant du bassin du Saint-Laurent et de la région des Appalaches sont encore ici présents, mais dans des proportions plus importantes (Plourde 2003; 1993 : p.64; 1999 : p.9). Pour la région de Baie-Comeau, ce sont toutefois des matériaux provenant de l'intérieur et du nord, le quartzite de Mistassini et celui de Ramah, qui sont maintenant présents dans les assemblages, et ce, parfois dans des proportions importantes, particulièrement pour le quartzite de Ramah (Pintal 2000; p.5). Plourde nous indique toutefois que selon ses données sur la Haute-Côte-Nord (1993), la représentation du quartzite de Ramah est beaucoup plus importante pour la portion est de la région (Plourde 1993 : p.63). On constate donc la présence de différentes directions dans la provenance des matériaux. Les cherts semblent provenir essentiellement du sud et du sud-est (formations appalachiennes) et de Terre-Neuve (Plourde 1993 : p.64) et identifient des relations avec les groupes occupant ces régions (Plourde 2003; Marquis 1988), tandis que le quartzite de Ramah et celui de Mistassini identifient plutôt des liens avec les groupes septentrionaux de l'intérieur, notamment ceux de la péninsule Québec-Labrador. Toutefois, Plourde (1993) souligne des absences notables, les cherts de la fosse du Labrador ne semblent pas faire partie de ces assemblages (Plourde 1993 : p.64). Il fait aussi mention du chert de Mingan (*idem*), qui serait lui aussi absent (*idem*).

¹⁹ Aussi appelée période céramique (Pintal 2000)

La présence de groupes iroquoiens dans la région, notamment dans le secteur du Saguenay, constitue une problématique de recherche qui s'est vue attribuer beaucoup d'attention (Plourde et Gates Saint-Pierre 2003; Plourde 1999; Chapdelaine 1995, 1993b). La présence de ces groupes y semble maintenant bien établie, en particulier pour la période du Sylvicole supérieur (Plourde 1999 : p.9 et 22). Ces visiteurs seraient originaires de la région de Québec (Plourde 1999 : p.23) et seraient venus profiter des ressources de l'estuaire, notamment le phoque (Plourde 1999 : p.23, Plourde et Saint-Pierre 2003). Leur présence permet d'identifier un vecteur pour la circulation de matières premières lithiques attribuables au Québec méridional et leur intégration aux réseaux d'échanges et de circulation des biens parmi les groupes de la Côte-Nord.

4.1.3.3- Les ressources lithiques de la côte et de l'intérieur au Labrador

Le quartzite de Ramah constitue sans doute le matériau qui caractérise le mieux la préhistoire du Labrador (Loring 2002; Fitzhugh 1972). Un nombre important d'études ont d'ailleurs porté sur la documentation de cette source de matériau dont on retrouve la trace sur un territoire énorme (Gramly 1978; Lazenby 1980; Loring 1993). Les travaux de Gramly (1978) et de Lazenby (1980) ont impliqué des visites à la source de ce matériau dans la région de Saglek dans les Monts Torngat (Gramly 1978 : p.38; Lazenby 1980 : p.633) et ces auteurs en fournissent une description détaillée (Gramly 1978 : p. 37). Les travaux de Lazenby font d'ailleurs partie des premiers efforts de caractérisation chimique de matériaux lithiques (Lazenby 1980 : p.634-636).

C'est toutefois un article de Loring (2002) qui en fournit la source d'information la plus complète. Non seulement un historique des travaux à Ramah est fourni, mais l'auteur nous fournit plusieurs descriptions complètes et détaillées de ce matériau (p.167-168). De plus, Loring dresse le portrait de l'étendue de la distribution du quartzite de Ramah dans le Nord-est américain, distribution qui atteint même le Maryland (p.180). La distribution de ce

matériau est très étendue (Loring 1993; Wright 1982), et combiné à sa qualité de taille et ses caractéristiques visuelles attrayantes, lui confère le titre de matériau phare, visiblement désirable et susceptible de circuler sur de grandes distances (Loring 2002 : p.167; Andrefsky 1994). Ce matériau, dès sa découverte par les groupes de l'Archaïque Maritime, occupera subséquemment une position toujours importante dans l'acquisition de matière première lithique au Labrador (Loring 2002 : p.170, 174).

Comme nous l'avons vu, ce matériau occupe aussi une place importante dans la préhistoire de la Basse et de la Haute-Côte-Nord. Le quartzite de Ramah, de par sa popularité, est l'un des mieux connus et facilement identifiés des archéologues. Loring souligne les efforts considérables mis en place pour permettre à ce matériau de franchir de si grandes distances et participer à la production d'outils des groupes relativement éloignés de la Côte-Nord (Loring 2002 : p.176). Ces efforts sont notamment illustrés par la présence de caches de ce matériau (*idem*), la cache Stubbart de Kégashka en étant d'ailleurs un bon exemple. Finalement Loring propose que cette volonté d'acquérir et d'utiliser ce matériau devait vraisemblablement relever d'un investissement social et idéologique substantiel (Loring 2002 : p.176-177; Bellavance 2006 : p.148; McCaffrey 1989a). La distribution de ce matériau laisse donc entrevoir l'ampleur des réseaux d'échanges qui caractérise les groupes de la péninsule Québec-Labrador et constitue en quelque sorte un marqueur identitaire et un bien essentiel (*staple*) de ces cultures, un indicateur du lien invisible qui les unit (Loring 2002 : p.183)

Malgré l'hégémonie de ce matériau, le territoire du Labrador n'est pas en reste quant à la présence de matériaux lithiques de qualité. Certains cherts côtiers tels ceux du groupe de Mugford, région de Cod Island, au nord du Labrador en sont un exemple (Lazenby 1980 : p.630; Gramly 1978 : p.46). Ce dernier semble toutefois avoir été essentiellement utilisé par les groupes paléoesquimaux (Gramly 1978 : p.47). Plus près de nous, au Labrador central, plusieurs publications mentionnent la présence d'un chert mauve de qualité, originaire de l'intérieur au Labrador central (Nagle 1978; McCaffrey, Loring et Fitzhugh 1988; Neilsen

2006). La source de ce matériau n'est pas connue avec précision. Nagle (1978) associe principalement l'occurrence de ce matériau aux occupations de la période intermédiaire au Labrador central, 3500 à 1800 ans A.A. (Nagle 1978).

Plusieurs sites de la région centrale de la côte du Labrador (Nagle 1978 : p.126) de même que de Hamilton Inlet (Nagle 1978 : p.120) attribuables à cette période sont d'ailleurs caractérisés par un assemblage de matériaux lithiques particuliers, comprenant ce matériau (Nagle 1978 : p.139). Les assemblages de ces sites présentent en général une combinaison de chert de « l'intérieur » et de chert « côtier » de la région de Cod Island (*idem*), mais c'est principalement la présence du chert mauve, dit « chert Saunders », qui constitue le matériau diagnostique de cette période, la phase Saunders (Nagle 1978 : p.143; Neilsen 2006 : p.34, 36).

Ce matériau est décrit par Nagle (1978) et Fitzhugh (1972) comme un chert à grains fins, opaque, qui présentent généralement une variété de couleurs comprenant le mauve, le rose, le rouge et le brun (Nagle 1978 : p.139), celui-ci est parfois moucheté (*speckled*) (Nagle 1978 : p. 127, 130). Il attribue sa provenance à la région du lac Seal, mais sa provenance exacte n'est pas connue (Nagle 1978 : p.122). Un inventaire archéologique mené dans la région du lac Seal avait pour objectif de tenter de localiser la source de ce matériau (McCaffrey, Loring et Fitzhugh 1989 : p.117). Bien qu'une source de quartzite rouge à grain fin a été identifiée²⁰ (McCaffrey, Loring et Fitzhugh 1989 : p. 130-131), la recherche de la source du «Saunders chert» s'y avéra sans résultats (*idem*). Les auteurs proposent toutefois que la source soit dans les environs, possiblement vers l'ouest, dans la région du Lac Pocket Knife. Ils y synthétisent toutefois les informations concernant sa nature:

A number of different stone types have been grouped under the general heading "Saunders chert". They are grey banded lava, and a range of

²⁰ Un ensemble de différents quartzites à grain fins, de couleur, blanche, brune ou rouge sont apparemment originaires de la région de Hamilton Inlet, mais leur description et l'absence d'une source connue ne permet pas d'élaborer davantage sur leur apparence ou provenance. Ces derniers sont aussi surtout utilisés au cours de la période intermédiaire, 3500 à 1800 ans A.A. (Fitzhugh 1972, Nagle 1978 : p.121, 123-124).

opaque fine grained bedded cherts and felsites varying from purple to pink, lavender, green-black, and tan in colour. At times, these materials can be fairly coarse-grained, and they often contain small light-coloured inclusions (Fitzhugh 1972: 39; Nagle 1978 dans McCaffrey, Loring et Fitzhugh 1989: p.115-116).

Neilsen (2006) identifie aussi la présence de ce matériau sur l'un des sites, attribuable à la période intermédiaire, qu'il a étudié (Neilsen 2006 : p.63). Comme la provenance exacte de ce matériau n'est pas connue, nous ne bénéficions d'aucune base comparative, outre les données archéologiques, pour l'identifier et le décrire. D'ailleurs, aucune tentative de caractérisation n'a été entreprise pour l'instant (Neilsen 2006 : p.64). Sa couleur mauve est toutefois fréquemment utilisée par les archéologues pour inférer sa présence. Il aurait ainsi été identifié dans certains assemblages de la région de Blanc-Sablon (Pintal 1990 : p.94), du détroit de Belle-île (Martijn 1972) et de Kégashka (Chapdelaine 2004 : p.113).

4.1.3.4- La fosse du Labrador

La région de la fosse du Labrador (géosynclinal du Labrador) est aussi reconnue pour les sources de matière première lithique qu'elle abrite (McCaffrey 1989; 1989a; Denton et McCaffrey 1988). Des ateliers de taille ont été identifiés en association avec la formation de chert de Fleming dans la région de Schefferville (McCaffrey 1989 : p.74; 1989a : p.99). Le chert de Fleming est un chert à grains fins dont la couleur varie de gris clair à foncé, à vert ou brun (McCaffrey 1989 : p.74). En plus du chert de la formation de Fleming, l'existence de plusieurs autres variétés est suggérée (Denton et McCaffrey 1988 : p.139; McCaffrey 1989a : p. 103). Un élément caractéristique de ces variétés est la présence fréquente de structures de type oolithiques (McCaffrey 1989b : p.103; Codère 2000 : p.4).

Selon McCaffrey (1989), les cherts de la fosse du Labrador ne semblent pas avoir circulé sur de grandes distances, particulièrement en direction de la côte Atlantique (McCaffrey 1989 : p.88). Toutefois, ces matériaux peuvent avoir circulé vers le sud, car ils ont été

identifiés dans les assemblages archéologiques de la rivière Sainte-Marguerite (Codère 2000 : p.4), mais seulement sur une base macroscopique.

4.1.3.5- Les cherts originaires de la région de Terre-Neuve

Tel que mentionné précédemment, la région de Terre-Neuve est aussi la source de différents matériaux lithiques, notamment de sources de cherts situées sur sa côte ouest (Marquis 1998; Simpson 1984; Nagle 1985). Ces cherts ont été répertoriés et ont été utilisés tout au long de la préhistoire de la Basse-Côte-Nord (Pintal 1998; Marquis 1998 : p.336). Simpson (1984) et Nagle (1985) ont effectué des reconnaissances sur cette côte, particulièrement dans la région de Port au Port (Simpson 1984 : p.130) et dans celle du Parc National de Gros Morne, où se trouvent les formations contenant le chert de Cow Head (Nagle 1985 : p.91-92).

Les informations les plus pertinentes proviennent toutefois de l'analyse de Marquis (1998) qui associe clairement des matériaux identifiés dans des assemblages archéologiques à des formations spécifiques de la région de Terre-Neuve (Marquis 1998 : p.335). Le principal avantage réside dans la possibilité de consulter la collection de référence et ainsi disposer d'échantillons fournissant une base comparative solide.

4.1.3.6- Le quartzite de Mistassini

Nous concluons notre inventaire des matériaux susceptibles d'être présents dans notre région d'étude en faisant quelques commentaires sur le quartzite de Mistassini, matériau très populaire et dont l'utilisation est très commune pour le centre du Québec (Denton et Pintal 2002; Denton 1998). Sa présence dans les assemblages de la période sylvicole de la Haute et de la Basse-Côte-Nord, malgré une très faible abondance (Plourde 1993; Pintal 2000 : p.5; Pintal 1990 : p.92), permet de supposer la possibilité de le retrouver aussi parmi ceux de la Moyenne-Côte-Nord. Nous ne sommes pas sans connaître les dangers reliés à l'identification sur des bases strictement visuelles de ce matériau (Leblanc 2004 : p.4). Toutefois, bénéficiant de la présence de nombreux échantillons de référence de provenance

géologique dans la collection de référence du CRLQ, nous avançons, sur une base préliminaire, être en mesure d'identifier ce matériau au sein de nos assemblages si celui-ci y est présent.

Par la présentation des réseaux d'échange et d'approvisionnement lithiques qui caractérisent les régions avoisinantes et par la description de sources potentielles que contient notre aire d'étude, nous sommes parvenus à préciser l'inventaire de matériaux susceptibles de figurer au sein des assemblages que nous étudions. La description du chert de la Minganie de même que les précisions quant à sa présentation et sa disponibilité permettent plus particulièrement de cerner avec plus de précision son potentiel d'utilisation pour la confection d'outils de pierre taillée. Le résultat de notre prospection géologique fournit maintenant une base plus solide au travail de description et d'identification de ce matériau au sein des assemblages archéologiques. La section suivante, au chapitre 5, présente les résultats de nos analyses.

Chapitre 5 : Présentation des résultats

La sélection des sites archéologiques présentée au chapitre 3 a mené à l'analyse de 90 assemblages lithiques répartis parmi les neuf secteurs archéologiques définis. La réalisation de ces analyses a mené à la production d'un nombre important de nouvelles données. Ces analyses permettent de décrire les assemblages du débitage et de l'outillage de chacun des sites sélectionnés de même que d'identifier et de décrire les matières premières qui y figurent.

Afin d'organiser et compiler efficacement cet ensemble de données, plusieurs bases de données ont été mise en place. Dans un premier temps, notre analyse permet de compléter la « **base de données des sites archéologiques** » employée dans la première partie de ce mémoire en y indiquant le nombre d'éléments effectivement répertoriés. Cette compilation permet une appréciation actualisée du contenu accessible de ces collections²¹. Au niveau des analyses effectuées, pour chaque site analysé une base de données compile l'information relative à l'assemblage de débitage et une autre, associée à l'analyse des outils. La mise en commun de l'ensemble de celles-ci permet de générer une compilation pour chacune de ces catégories et ainsi constituer un catalogue précis du contenu des collections archéologiques (voir bases de données « **catalogue débitage** », « **catalogue outils** » et le dossier « **photographies des outils** » fournis en annexe). Finalement, une base de données « **description des matériaux** » recense et donne une description de chacun des matériaux qui figurent sur chacun des sites analysés.

²¹ Les différences qui existent entre notre compilation et celle du registre de l'ISAQ sont le reflet de collections qui sont maintenant inaccessibles ou encore d'éléments manquants parmi les collections disponibles.

5.1- Présentation générale des résultats

Au cours des analyses c'est un total de 33 502 artefacts de pierre taillée qui ont été analysés individuellement. Ce nombre est constitué de 32 928 éléments de débitage et de 574 outils. Le tableau XIX présente un aperçu général de la représentation des différentes catégories d'artefacts par secteur archéologique, ce nombre considérable, se répartissant sur un ensemble de 90 sites préhistoriques, eux-mêmes distribués sur plus de 250 km linéaires de côte, permet de proposer que notre objectif de couverture régionale ait bien été atteint. C'est 58,44% des sites présentant une composante préhistorique compris à l'intérieur de l'aire d'étude qui ont ainsi été analysés.

Tableau XIX : Répartition des éléments analysés par secteur archéologique

Secteur archéologique	N sites analysés	N matériaux représentés	N éléments débitage	N outils	Outils sur éclats	Outils bifaciaux	Nucléus	total artefacts
Tonger/Saint-Jean/Longue-Pointe	7	10	875	22	5	6	11	897
Mingan	11	24	5224	125	32	55	38	5349
Archipel	6	13	1179	9	6	2	2	1188
Romaine/Havre-Saint-Pierre	14	26	4398	60	14	28	18	4458
Rivière Romaine	14	15	100	11	7	4	0	111
Betchouanes	7	16	9135	164	57	56	51	9299
Piashti/Watshishou	12	28	8167	89	24	39	26	8256
Aguanish	10	17	1073	27	20	5	2	1100
Kégashka	9	28	2777	67	26	39	2	2844
Total	90	59*	32928	574	191	234	150	33502

Un total de 59 variétés de matières premières lithiques a été répertorié au cours de nos analyses. Ce nombre pourrait toutefois s'avérer plus ou moins élevé en fonction de la précision de nos identifications. Il représente toutefois selon nous une bonne estimation du nombre total de variétés présentes. Préalablement, à la suite d'une première appréciation globale des matériaux composant les assemblages archéologiques, un nombre de 99 variétés avait été répertorié. Le nombre final de 59 variétés représente donc un effort de recoupement et de regroupement des matériaux qui présentent un nombre de caractéristiques permettant de les assimiler à une même variété. Il est possible que ce

nombre puisse être encore réduit à un nombre inférieur de variétés, mais il constitue une approximation prudente effectuée sur l'appréciation de caractéristiques visuelles. Ce genre d'exercice de regroupement avait d'ailleurs été effectué lors d'autres études régionales et permit de réduire considérablement le nombre de catégories qui avaient été identifiées sur une base préliminaire (Pintal 1990 : p.88). Le tableau XX présente la distribution des différentes variétés au sein des grandes catégories de matériaux. On peut trouver une description détaillée de chacune de ces variétés à l'intérieur de la base de données « **description des matériaux** » fournie en annexe.

Figure 25 : Sites archéologiques analysés

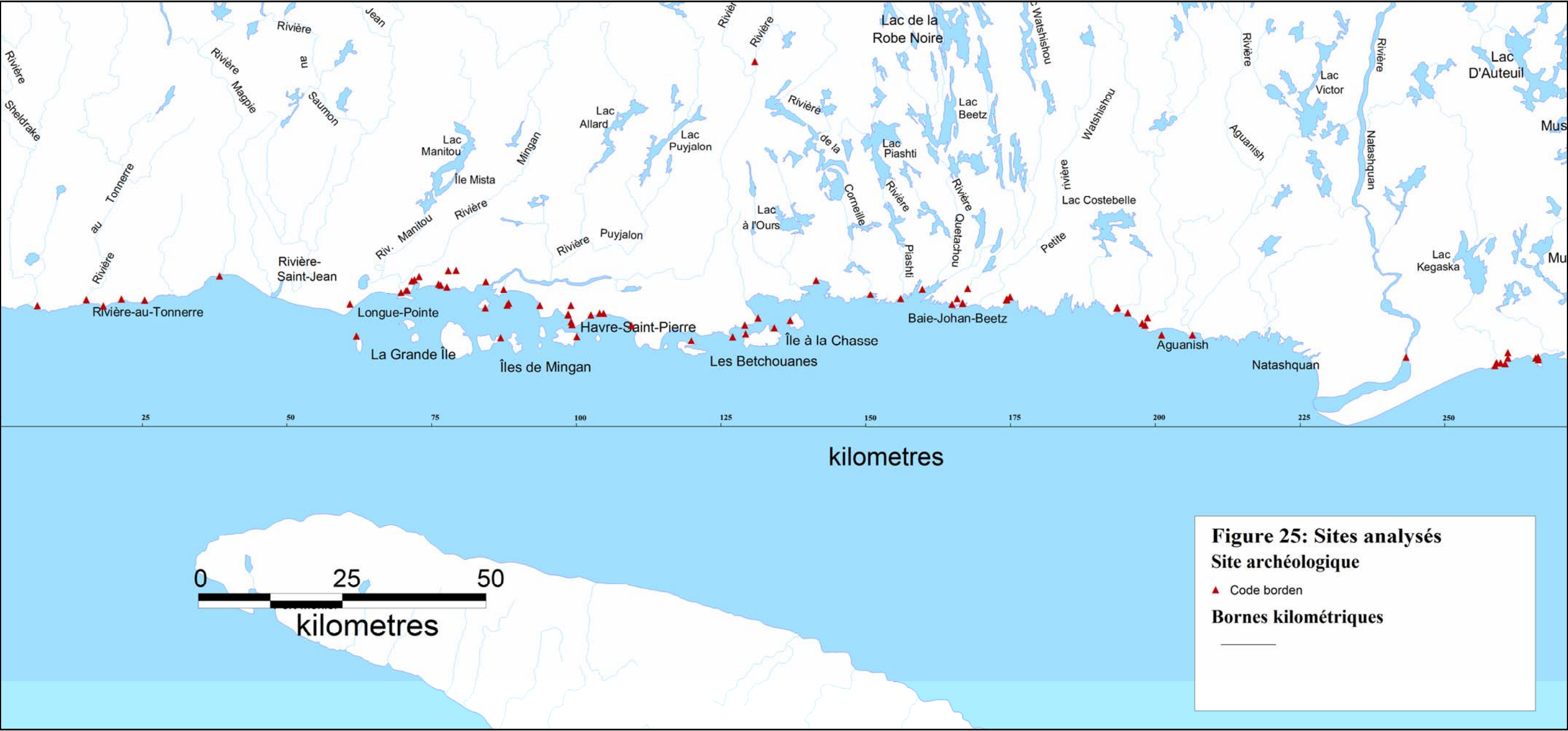


Tableau XX : Distribution des variétés de matériaux par type de matériau

Cherts (N=23)	Calcédoine bleutée Calcédoine jaune Chert "La Romaine" Chert blanc mat Chert bourgogne Chert brun caramel Chert brun carbonaté Chert gris laminé Chert gris mat Chert gris moutonné Chert gris veiné Chert gris-verdâtre (fosse Lab) Chert marbré gris-beige-mauve Chert marbré gris-noir Chert Mauve Chert Mingan Chert noir carbonaté Chert rhyolitique noir Chert veiné bleu-vert-orangé Chert vert laminé Chert vert lustré Jaspe Shale vert oxydé	Quartz (N=4)	Quartz hyalin Quartz hyalin avec inclusions brunes Quartz hyalin enfumé Quartz laiteux
	Pélites (N=7)	Quartzite (N=15)	Quartzite blanc Quartzite blanc-brunâtre Quartzite de Blanc-Sablons Quartzite de Ramah Quartzite de Wishart Quartzite EbCp Quartzite enfumé gris-rouge Quartzite fin blanc-gris Quartzite fin bleuté Quartzite fin de Kégashka Quartzite fin verte Quartzite grossier "poivre et sel" Quartzite Noui Quartzite fin grisâtre; Mistassini? Quartzite blanc enfumé
		Rhyolite (N=9)	Rhyolite bleutée Rhyolite bourgogne Rhyolite brune sphérolitique Rhyolite grise-noire Rhyolite intraclastique Rhyolite mauve BJB Rhyolite mauve porphyroblastique Rhyolite vert forêt Rhyolite verte porphyroblastique
		Silex	Silex?

À la lecture du tableau XX on remarque que la catégorie des cherts est celle qui est représentée par le plus grand nombre de variétés. Afin de réduire le nombre de catégories lithiques recensées, nous avons regroupé ensemble les différents sous types fréquemment identifiés par les archéologues, par exemple la calcédoine et le jaspe (Luedke 1992 : p.5; Odell 2004 : p.19). La catégorie des « pélites » quant à elle regroupe l'ensemble des pierres d'origine sédimentaire à grains fins qui ne présentent pas de ciment de silice. Ces pierres sont essentiellement des roches sédimentaires argileuses consolidées (Beaulieu 2004 : p.68) à granulométrie fine, variant de la taille des silts à celle des argiles (Beaulieu 2004 : p.70). Les variétés de cette catégorie sont les pierres que les archéologues nomment généralement « mudstones » ou argilites (Codère 1996; Andrefsky 1998 : 49). Les cherts et les pélites partagent la particularité d'être associées principalement aux formations de roches sédimentaires (Bonewitz 2005). Bien que ces deux catégories témoignent de la présence d'un nombre élevé de variétés répertoriées à l'échelle de notre aire d'étude elles ne représentent qu'une très faible fraction du nombre total d'artéfacts récupérés avec respectivement 6,10% et 0,38% du nombre total d'éléments de débitage.

Cette faible représentation n'est pas surprenante en considérant que, comme proposée au chapitre 4, la provenance des cherts pour notre région d'étude, à l'exception du chert de la Minganie, doit être considérée comme exotique ou provenant de distances importantes. Les matériaux disponibles localement, le chert de la Minganie, ou régionalement qui sont composés par le quartz et vraisemblablement par une majorité des variétés de quartzites (Codère 1999), occupent une place beaucoup plus importante au sein des assemblages avec une proportion de 96,27% du poids total du débitage. Le tableau XXI présente la représentation des différentes catégories de matériau parmi les assemblages du débitage et de l'outillage. On y remarque que le Chert de Mingan de même que le quartzite de Ramah y sont individualisés, car ils constituent des matériaux sur lesquels nous portons un intérêt particulier.

Tableau XXI : Représentation des différentes catégories de matériau parmi les assemblages du débitage et de l'outillage

Somme de N	Débitage				Outils			
Type Matériau	N	%N	Poids	% Poids	N	%N	Poids	% Poids
Chert	2009	6,10%	576,69	2,34%	57	9,93%	300,2	1,43%
Chert Mingan	15501	47,06%	11094,6	45,08%	272	47,39%	7606,4	36,13%
Pélites	125	0,38%	73,62	0,30%	5	0,87%	121,5	0,58%
Quartz	2636	8,00%	2556,71	10,39%	46	8,01%	2389,1	11,35%
Quartzite	11696	35,51%	10042,84	40,80%	157	27,35%	10375,1	49,29%
Quartzite de Ramah	819	2,49%	191,23	0,78%	33	5,75%	220,5	1,05%
Rhyolite	134	0,41%	75,05	0,30%	3	0,52%	37,0	0,18%
Schiste	1	0,00%	1,6	0,01%	0	0,00%	0,0	0,00%
Silex	17	0,05%	1,15	0,00%	1	0,17%	0,2	0,00%
Total	32938	100,00%	24613,49	100,00%	574	100,00%	21050,1	100,00%

Le tableau XXI permet pour une première fois d'apprécier la représentation du chert de la Minganie au sein de l'ensemble des sites que nous avons analysé. Le chert de la Minganie est le matériau qui bénéficie de la meilleure représentation à l'intérieur de l'aire d'étude que nous avons définie. Il constitue approximativement la moitié de tous les artefacts analysés, tant au niveau du débitage que de l'outillage. La forte représentation de ce matériau parmi les assemblages de la région, bien qu'elle semble tomber sous le sens, ne pouvait que faire l'objet de spéculations. L'importance de ce matériau au niveau régional semble maintenant

bien établie et constitue vraisemblablement la principale contribution de nos efforts et nous stimule à pousser plus loin la description et l'étude de l'utilisation de celui-ci.

Bien qu'un nombre élevé de variétés de matériaux aient été identifiées au sein des assemblages, lorsque l'on observe leur importance respective en termes de représentation, on constate que seulement un nombre limité de ceux-ci sont vraiment récurrents et bénéficient d'une représentation considérable. Le tableau XXII présente, en ordre décroissant, la représentation des différentes variétés identifiées en fonction de leur contribution au nombre et au poids total de l'assemblage de débitage de même qu'au nombre total d'outils. Parmi les 53 variétés de matériaux identifiées parmi les assemblages de débitage, on constate qu'à eux seuls, les 10 matériaux les plus représentés cumulent plus de 95% du nombre total (95,62%) et 96,11% du poids total de ces éléments, ne laissant que très peu de place aux 43 autres matériaux répertoriés. La représentation des matériaux pour la confection des outils témoigne d'un phénomène similaire. Pour cet assemblage, le nombre de variétés identifiées diminue sensiblement et c'est un nombre total de 36 qui y sont répertoriées. Seulement 11 de ces variétés présentent une représentation en fonction du nombre plus élevée que 1%.

Tableau XXII : Représentation des variétés de matériaux pour les assemblages de débitage et d'outillage de tous les sites analysés

Variété matériau	Débitage Nombre	% nombre	Poids	% poids	Outils Nombre	% nombre
Chert Mingan	15504	47,08%	11094,60	45,13%	272	47,39%
Quartzite EbCp	7273	22,09%	5446,65	22,13%	98	17,07%
Quartzite Noui	3465	10,52%	3735,23	15,19%	40	6,97%
Quartz hyalin avec inclusions brunes	1470	4,46%	1315,31	5,33%	15	2,61%
Quartz hyalin	1055	3,20%	894,77	3,63%	26	4,53%
Quartzite de Ramah	819	2,49%	191,23	0,77%	33	5,75%
Quartzite fin de Kégashka	801	2,43%	744,38	3,02%	15	2,61%
Chert Mauve	458	1,39%	83,95	0,32%	6	1,05%
Chert marbré gris-beige-mauve	388	1,18%	95,05	0,37%	7	1,22%
Chert vert lustré	254	0,77%	52,70	0,21%	9	1,57%
Chert brun carbonaté	181	0,55%	69,75	0,28%	5	0,87%
Chert rhyolitique noir	163	0,50%	55,89	0,23%	4	0,70%
Calcédoine bleutée	136	0,41%	93,45	0,37%	1	0,17%
Chert "La Romaine"	117	0,36%	21,55	0,09%	2	0,35%
Quartz hyalin enfumé	112	0,34%	325,45	1,32%	3	0,52%
Chert brun caramel	98	0,30%	7,30	0,03%	2	0,35%
Mudstone gris marbré	90	0,27%	42,95	0,17%	4	0,70%
Chert gris moutonné	84	0,26%	18,25	0,07%	3	0,52%
Rhyolite mauve BJB	84	0,26%	62,10	0,25%	0	NA
Chert noir carbonaté	51	0,15%	65,85	0,27%	8	1,39%
Chert gris-verdâtre (fosse Lab)	46	0,14%	3,73	0,01%	2	0,35%
Quartzite blanc enfumé	37	0,11%	64,55	0,26%	2	0,35%
Rhyolite bleutée	24	0,07%	4,05	0,02%	1	0,17%
Quartzite fin blanc-gris	23	0,07%	2,30	0,01%	0	NA
Argilite blanchâtre	22	0,07%	11,45	0,05%	1	0,17%
Silex?	17	0,05%	1,15	0,00%	1	0,17%
Quartz laiteux	15	0,05%	25,28	0,10%	2	0,35%
Quartzite blanc-brunâtre	15	0,05%	3,18	0,01%	1	0,17%
Quartzite enfumé gris-rouge	14	0,04%	17,95	0,07%	0	NA
Rhyolite intracristallique	14	0,04%	3,45	0,01%	0	NA
Chert gris laminé	13	0,04%	1,61	0,01%	1	0,17%
Quartzite fin grisâtre; Mistassini?	12	0,04%	9,40	0,04%	0	NA
Quartzite grossier "poivre et sel"	8	0,02%	5,50	0,02%	0	NA
Mudstone gris-bleuté	7	0,02%	1,07	0,00%	0	NA
Chert marbré gris-noir	6	0,02%	2,70	0,01%	1	0,17%
Quartzite de Blanc-Sablons	6	0,02%	1,10	0,00%	1	0,17%
Quartzite de Wishart	5	0,02%	4,40	0,02%	0	NA
Quartzite fin verte	5	0,02%	1,40	0,01%	0	NA
Rhyolite vert forêt	5	0,02%	3,40	0,01%	0	NA
Chert gris mat	4	0,01%	1,60	0,01%	0	NA
Sandstone bleuté	3	0,01%	12,20	0,05%	0	NA
Chert bourgogne	3	0,01%	0,20	0,00%	1	0,17%
Shale vert oxydé	3	0,01%	1,51	0,01%	0	NA
Rhyolite brune sphérolitique	3	0,01%	0,15	0,00%	0	NA
Mudstone mauve	2	0,01%	5,25	0,02%	0	NA
Rhyolite bourgogne	2	0,01%	1,50	0,01%	0	NA
Chert vert laminé	2	0,01%	0,70	0,00%	1	0,17%
Chert blanc mat	2	0,01%	0,40	0,00%	0	NA
Mudstone vert pâle	2	0,01%	0,70	0,00%	0	NA
Rhyolite grise-noire	2	0,01%	0,40	0,00%	0	NA
Quartzite fin bleuté	1	0,00%	2,70	0,01%	0	NA
Schiste à hornblende	1	0,00%	1,60	0,01%	0	NA
Calcédoine jaune	1	0,00%	0,50	0,00%	0	NA
Jaspe	0	NA	0,00	NA	2	0,35%
Rhyolite mauve porphyroblastique	0	NA	0,00	NA	1	0,17%
Rhyolite verte porphyroblastique	0	NA	0,00	NA	1	0,17%
Chert veiné bleu-vert-orangé	0	NA	0,00	NA	1	0,17%
Chert gris veiné	0	NA	0,00	NA	1	0,17%
Total	32928	100,00%	24613,49	100,00%	574	100,00%

Ces éléments témoignent non seulement de la forte représentation d'un nombre limité de matériaux, mais aussi de leur caractère récurrent au sein des assemblages. Ces matériaux, constituent en quelque sorte des constantes des assemblages de la région d'étude et sont: le chert de la Minganie, le « quartzite EbCp » et le « quartzite Noui », différentes variétés de

quartz, et le quartzite de Ramah. La représentation globale et l'importance du chert de la Minganie parmi les assemblages, bien que soulevée très tôt (Bernard 1966), n'avaient pas jusqu'ici été établies ni même estimées explicitement. Sa forte représentation au sein des assemblages étudiés permet maintenant de le considérer comme un matériau significatif de la préhistoire de notre région d'étude. Tel que mentionné au chapitre 4, un nombre considérable de sources potentielles de quartzites ont été identifiées pour notre région d'étude (Codère 1999). La forte représentation de ce type de matériau au sein des assemblages lithiques de la région ne devrait donc pas surprendre.

Les différentes variétés de quartzites peuvent poser certaines difficultés quant à leur identification et à l'établissement de diverses variétés, car ce type de matériaux peut localement être très variable (variabilité intrasource) et de par sa constitution très pure peut présenter de grandes similarités en différents lieux (Codère 1996). Toutefois, l'identification de 2 types principaux, le « quartzite EbCp » et le « quartzite Noui », est intéressante et leur forte représentation parmi les assemblages permet de soutenir que leur identification a été constante et répétée. Le matériau que nous nommons « quartzite EbCp » constitue vraisemblablement la variété que nous avons repérée au cours de notre prospection géologique dans le secteur de la Crête blanche (voir chapitre 4). Il tire son nom du quadrilatère Borden pour lequel une forte représentation de ce matériau a été relevée en cours d'analyse et de la présence d'un atelier de taille de ce matériau, le site EbCp-002. En ignorant la provenance géologique exacte, il n'est pas rare de donner le nom d'une localité ou encore d'un site où ledit matériau a été repéré et identifié une première fois (Black et Wilson 1999). Le « quartzite Noui », quant à lui, est le quartzite verdâtre dont la présence avait été soulevée sur EbDa-004 (Plourde 2009). Il tire son nom de l'appellation qu'avait donné Lévesque au site EbDa-001, la station Noui (Lévesque 1966) maintenant intégrée au site EbDa-004 (Somcynsky 1987).

Parmi ces trois matériaux, nous ne connaissons toutefois avec précision que la provenance du chert de la Minganie et pouvons proposer une « région source » pour le quartzite EbCp.

Malgré ce manque de contrôle, la distribution de ces matières sur les sites archéologiques à l'échelle régionale est toutefois susceptible de préciser la provenance de ceux-ci en identifiant les secteurs où celles-ci sont plus fortement représentées, surtout en poids, mais aussi en nombre.

C'est principalement sur la distribution et la nature des assemblages de chert de la Minganie que nous porterons notre attention dans la section suivante. Toutefois, nous présenterons également, de façon plus succincte, celles du « quartzite EbCp » et du « quartzite Noui » qui bénéficient également d'une représentation considérable. Nous accorderons une certaine importance à l'identification et à l'utilisation de certains matériaux exotiques, en particulier le cas du quartzite de Ramah. Finalement, nous aborderons la question de la provenance de ceux-ci en identifiant les recoupements que nous sommes parvenus à établir entre les matériaux que nous avons identifiés et les collections de références lithiques disponibles.

5.2- Le chert de la Minganie

Le chert de la Minganie constitue le matériau qui bénéficie de la meilleure représentation parmi les assemblages de notre aire d'étude. S'il était attendu que ce matériau, de par la présence de sa source au cœur de la région d'étude, allait constituer un élément important de l'organisation de la technologie lithique des groupes de la région, il était jusqu'ici très difficile, voire impossible d'en déterminer l'importance réelle. À la lumière de nos analyses, le chert de la Minganie constitue réellement un matériau dominant à l'échelle régionale. Au niveau des assemblages de débitage, celui-ci compose 47,08% du nombre total d'éléments et 45,13% du poids total de cette catégorie d'objets. Au niveau des outils il présente une représentation similaire avec 47,39% du nombre total d'outils.

Bien qu'il constitue le matériau le mieux représenté de façon globale, sa distribution à l'échelle de la région d'étude témoigne d'une représentation très variable en fonction des différents secteurs archéologiques. Nous utiliserons donc pour la section suivante, qui tente de dresser un portrait de l'utilisation et de la distribution de ce matériau, une approche souvent utilisée pour documenter la distribution d'une matière première lithique spécifique qui consiste à présenter les assemblages situés à proximité de la source pour ensuite effectuer un parcours en s'éloignant de celle-ci (Denton 1998; Loring 2002). Le tableau suivant présente la représentation du chert de la Minganie pour chacun des secteurs archéologiques que nous avons définis.

Tableau XXIII : Représentation du chert de la Minganie par secteur archéologique

Secteur archéologique	Débitage				Outils			
	N	%N	Poids	%Poids	N	%N	Poids	%Poids
Tonerre/Saint-Jean/Longue-Pointe	529	60,46%	1227,55	76,05%	18	81,82%	359,7	95,72%
Mingan	1763	33,75%	1925,10	29,64%	45	36,00%	885,3	25,83%
Archipel	887	75,23%	468,44	91,43%	4	44,44%	93,1	75,51%
Romaine/Havre-Saint-Pierre	3658	83,16%	1329,60	69,20%	43	71,67%	809,1	71,87%
Rivière Romaine	0	0,00%	0,00	0,00%	2	18,18%	11,71	14,69%
Betchouanes	8431	92,29%	5972,70	98,45%	147	89,63%	5306,99	99,06%
Piashti/Watshishou	122	1,49%	32,75	0,70%	6	6,74%	109,5	1,16%
Aguanish	67	6,25%	83,25	7,48%	3	11,11%	22,8	7,93%
Kégashka	47	1,69%	55,10	2,53%	4	5,97%	8,2	0,99%
Total	15504	47,08%	11094,50	45,08%	272	47,39%	7606,4	36,13%

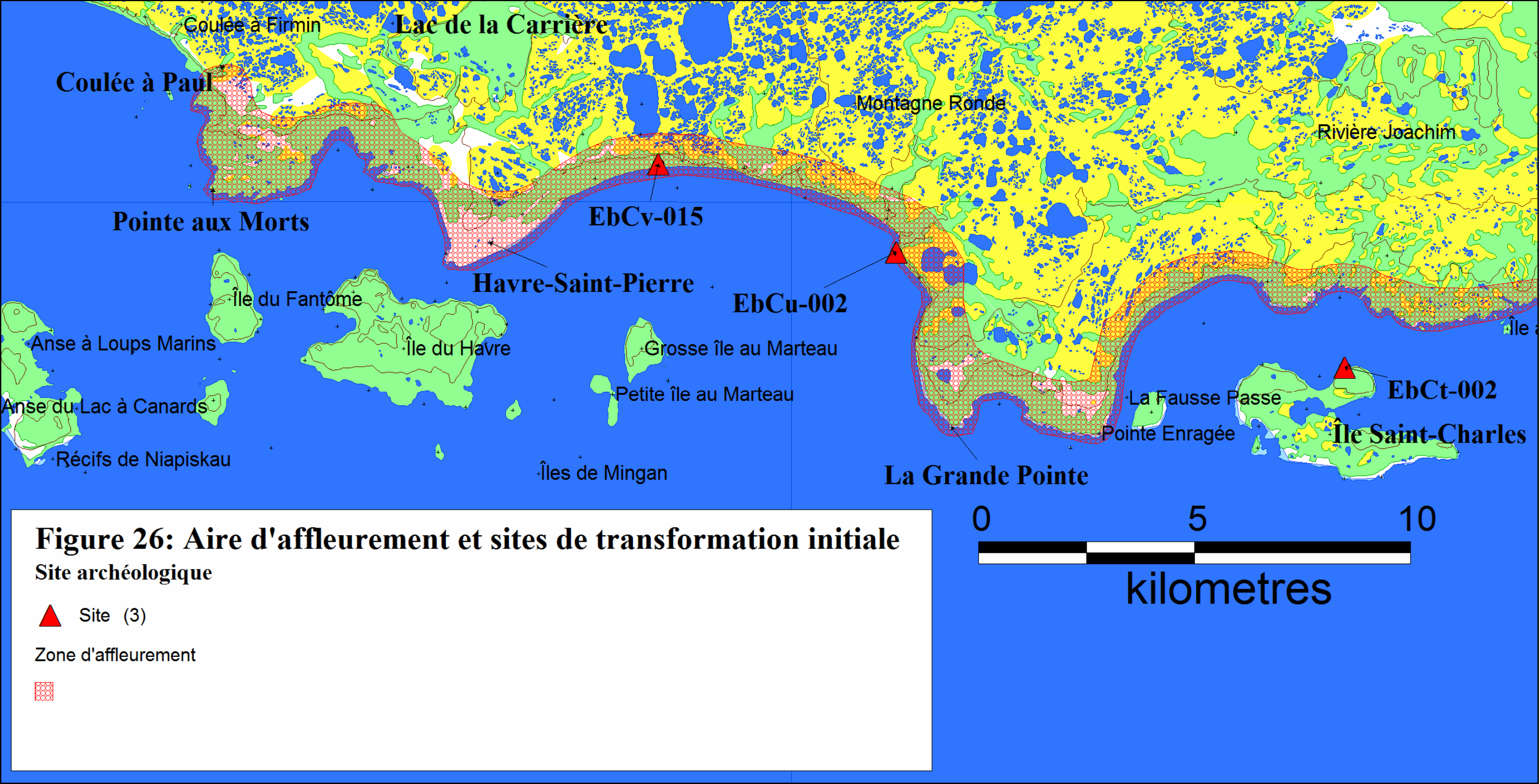
Commencer cette présentation par la source du matériau permet d'établir une base empirique solide pour comprendre et décrire la production d'outils de pierre taillée et de ses sous-produits, le débitage (Burke 2007 : p.64). L'étude de la zone d'approvisionnement rend possible la détermination des formes initiales produites et les volumes, ou quantité, de matériau transformé pour ensuite, en s'éloignant de celle-ci, étudier la transformation des assemblages (Burke 2007 : p.65). La description des activités réalisées à la source permet donc de documenter le début de la chaîne opératoire et entre autres identifier certaines contraintes imposées par le matériau de base (*idem*; Andrefsky 1998; 1994; Shott 2005) qui vont influencer les caractéristiques fondamentales des assemblages.

Dans le cas qui nous concerne ici, le chert de la Minganie, on a la chance de connaître la source du matériau et on en possède maintenant une bonne description. La recherche

littéraire combinée à la prospection géologique que nous avons effectuée a effectivement permis d'établir une zone à l'intérieur de laquelle on peut retrouver des nodules de chert de même que de décrire avec assez de détails la présentation et les caractéristiques de ce matériau (voir chapitre 4). Tel que mentionné, le chert de la Minganie ne se présente pas en une source unique, mais est susceptible de se retrouver à l'intérieur d'un certain nombre d'affleurements qui constituent un espace défini essentiellement par la distribution du membre de Sainte-Geneviève de la formation de Romaine. On peut donc parler ici d'une « région source » ou plus précisément d'une zone d'affleurement de ce matériau. Cette zone correspond à la portion côtière comprise entre la pointe aux Morts à l'ouest et la pointe de la Tête de Perdrix à l'est et s'étend approximativement sur 40 km. Elle comprend également, sur une base théorique, les îles de l'archipel de Mingan.

Comme le chert de la Minganie ne se présente pas en une source unique, mais est plutôt présent à l'intérieur d'une zone d'affleurement circonscrite, nous ne disposons d'aucun site d'extraction (ou carrière) de ce matériau. Il est donc difficile d'établir un point 0 à partir duquel ce matériau a pu être acquis. Toutefois, à l'intérieur de cette « zone source », nous identifions trois sites qui constituent selon nous des sites de transformation initiale du chert de la Minganie. Ces sites sont EbCt-002, EbCv-015 et EbCu-002 et ils ont été présentés au chapitre trois. Ces sites sont considérés comme des sites de transformation initiale, car leurs assemblages sont très majoritairement constitués par le chert de la Minganie et que l'ensemble des stades de réduction y est représenté. Cet ensemble a de plus l'avantage de mettre en valeur deux des rares sites fouillés de notre corpus (EbCt-002 et EbCv-15). La présentation détaillée de leurs assemblages permettra de dresser un portrait des caractéristiques générales des assemblages de débitage et d'outils qui témoignent du début de la chaîne opératoire (Burke 2007).

Figure 26 : Aire d’affleurement du chert de la Minganie et sites de transformation initiale du chert de la Minganie



5.2.1- Le chert de la Minganie : Les sites de transformation initiale

5.2.1.1- Le site EbCt-002 : un atelier de taille sur l'archipel de la Minganie

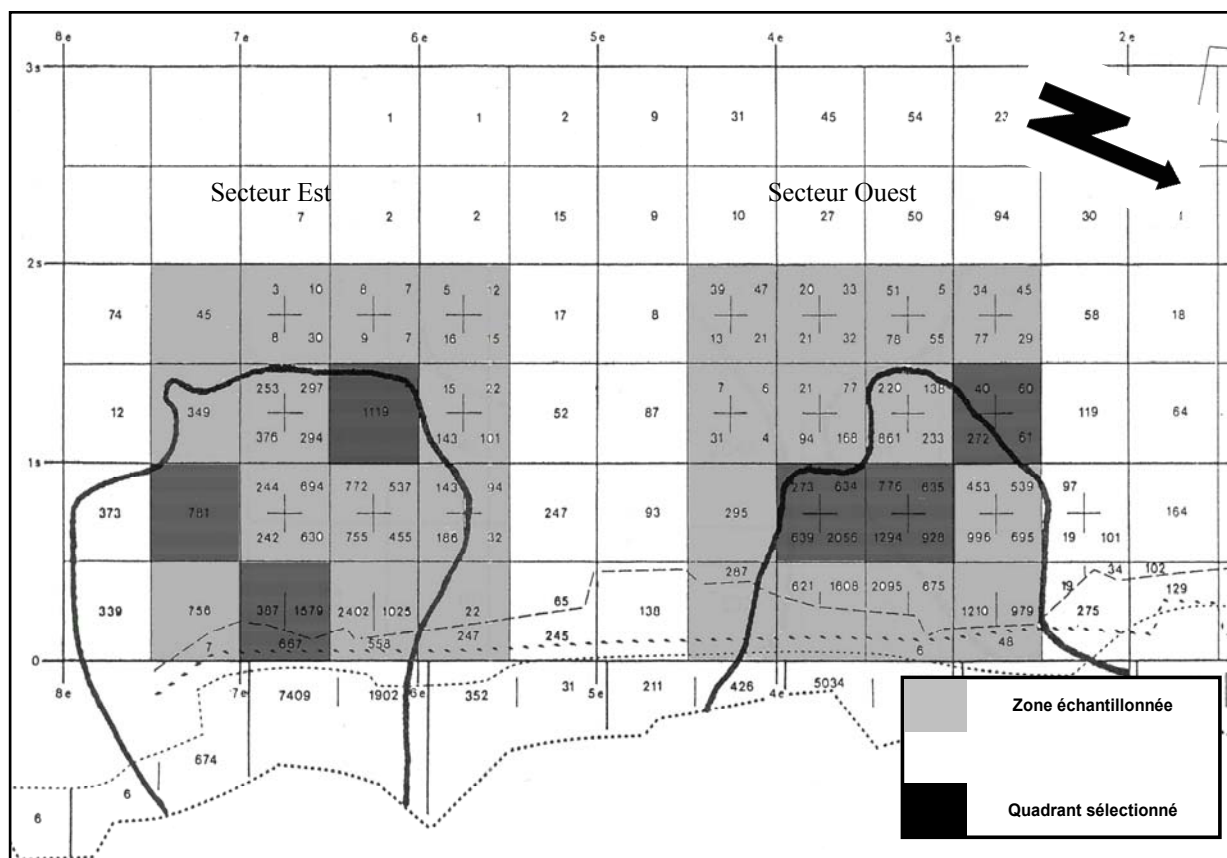
Le site EbCt-002 est le site le plus important quantitativement, mais aussi en termes de compréhension des étapes initiales de transformation du chert de Mingan. C'est d'ailleurs le seul site explicitement considéré comme un atelier de taille (Somcynsky 1991 : p.83). Il constitue le seul site fouillé de tout l'archipel de la Minganie et l'un des rares sites pour lesquels des datations absolues sont disponibles.

Le site est constitué de deux secteurs principaux. Le premier (la zone 1) est celui qui constitue l'atelier de taille situé en bordure du talus, tandis que le second (la zone 2) située à une vingtaine de mètres vers l'intérieur, constitue plutôt un lieu de halte de courte durée, voire le lieu d'une habitation (Somcynsky 1991 : p.102). C'est principalement l'assemblage associé à l'atelier de taille qui retiendra notre attention ici. Sur la zone 1, Somcynsky indique la présence de deux structures de combustion, chacune associée à une importante concentration d'éléments de débitage (Somcynsky 1991 : p.85, voir figure 27). Des échantillons de charbons de bois provenant de ces deux foyers ont été datés et bien qu'ils aient livré des datations assez proches, 720 ± 120 ans A.A. pour le foyer Est et 1130 ± 160 ans A.A. pour le foyer Ouest (Somcynsky 1991 : p.82), un écart minimum d'approximativement 130 années radiocarbone sépare ces deux moments. Somcynsky hésite à considérer ces deux concentrations comme relevant de moments d'occupation distincts (Somcynsky 1991 : p.83) et souligne plutôt la présence de similarités entre les deux concentrations et une exploitation similaire du matériau (*idem*). La zone 2 a elle aussi bénéficiée d'une datation, mais situe toutefois son occupation à une période légèrement plus ancienne, soit 1400 ± 100 ans A.A. (Somcynsky 1991 : p.100).

Le secteur de l'atelier de taille a livré une quantité importante d'éléments de pierre taillée. La fouille de celui-ci a livré 188 969 éclats de taille de même que 126 outils (Somcynsky 1991 : p.63). Ce nombre étant beaucoup trop élevé pour permettre une analyse détaillée des éléments de débitage, nous y avons sélectionné un échantillon qui rend plus accessible la

caractérisation de cet assemblage. Nous y avons effectué un échantillonnage aléatoire stratifié permettant de documenter les deux concentrations identifiées par Somcynsky (Somcynsky 1991 : p.102). Pour ce faire, nous avons déterminé pour chaque concentration une zone de 2 m² qui couvrait le « cœur » de ces concentrations (voir figure 27). Les quadrants de puits contenus dans ces zones ont été numérotés et leur sélection a par la suite été effectuée à l'aide de l'utilisation d'une table de nombre aléatoire (Scherrer 1984 : p.790). Un nombre de trois quadrants par concentration ont ainsi été sélectionnés et représentent une superficie totale de 1,5 m². 4048 éléments ont été sélectionnés pour la concentration Est et 4117 pour la concentration ouest pour ainsi composer un échantillon de 8165 éléments de débitage qui ont été analysés. La collection d'outils a quant à elle été intégralement analysée de même que 22 nouveaux outils, découverts parmi les éléments de débitage de notre échantillon. La section qui suit présente en détail le résultat de l'analyse de la culture matérielle provenant de l'atelier de taille, soit la zone 1b (Somcynsky 1991).

Figure 27 : EbCt-002 zone 1, plan du site et échantillonnage



5.2.1.1.1- EbCt-002, L'assemblage de débitage en chert de la Minganie

C'est sans surprise que l'analyse de la collection de débitage témoigne de la très forte domination du chert de la Minganie parmi les matériaux travaillés. Parmi les 8165 éléments de débitage analysés, seulement 11 éléments sont composés d'un autre matériau. Le poids total des éléments analysés est considérable avec 5285,75 g pour le chert de Mingan. Les deux secteurs de l'atelier présentent une représentation similaire du chert de la Minganie, celui-ci constituant plus de 99% du nombre d'éléments de l'assemblage. Cette domination se poursuit, et même s'accroît, lorsque l'on considère la contribution des différents matériaux au poids total de l'assemblage.

En ce qui concerne le chert de la Minganie, bien que les deux secteurs soient composés d'un nombre assez semblable d'éléments, leur contribution au poids total de l'assemblage présente toutefois un déséquilibre assez net. Les éléments du secteur est, bien qu'ils cumulent 49,85% du nombre total d'éléments ne représente que 35,76% du poids total avec 1889,85 g. Le secteur ouest avec ses 3395,9 g représente quant à lui 64,24% du poids total pour 50,42% du nombre. Cette différence est aussi illustrée par le poids moyen des éléments de débitage de chaque secteur. Le poids moyen des éléments du secteur est de 0,442 g et celui pour le secteur ouest est beaucoup plus important avec 0,780 g.

Tableau XXIV : EbCt-002, représentation des différents matériaux parmi les éléments de débitage

Secteur	Matériau	N	% N	Poids	% Poids
Est	Chert Mingan	4040	99,80%	1889,85	99,98%
	Quartz hyalin	1	0,02%	0,05	0,00%
	Quartzite EbCp	7	0,17%	0,35	0,02%
<i>Total Est</i>		4048	100,00%	1890,25	100,00%
Ouest	Chert Mingan	4114	99,93%	3395,9	99,99%
	Quartz laiteux	1	0,02%	0,1	0,00%
	Quartzite EbCp	2	0,05%	0,15	0,00%
<i>Total Ouest</i>		4117	100,00%	3396,15	100,00%
Total		8165	NA	5286,4	NA

Les deux secteurs sont aussi assez similaires en termes de représentation des différentes classes de dimension des éléments de débitage en fonction de leur nombre (voir figure 28). On constate que les éclats de petites dimensions (moins de 50 mm², les classes 1 et 2) sont fortement représentés pour les deux secteurs. Ils constituent 73,68% des éclats complets du secteur est et 69,84% de ceux du secteur ouest. Les éclats de grandes dimensions (plus de 400 mm², classes 5 et suivantes) ne contribuent qu'assez peu bien qu'ils soient tout de même présents. Ils constituent 5,42% des éléments complets du secteur est et 8,21% du secteur ouest. Encore ici on remarque une plus grande importance des éléments de grandes dimensions pour le secteur ouest, mais celle-ci est beaucoup mieux illustrée lorsque l'on observe la contribution du poids parmi les différentes classes de dimension. La figure 29 illustre assez clairement la distinction entre les deux secteurs et témoigne de la plus grande contribution des éléments de grande dimension à l'assemblage du secteur ouest.

Figure 28 : EbCt-002, zone 1b, représentation des classes de superficie pour le débitage (%)

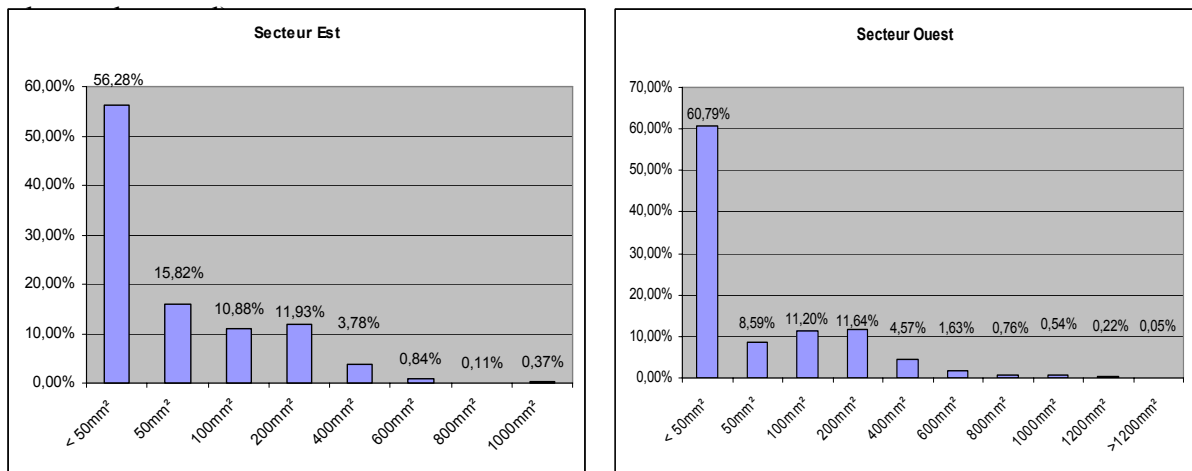
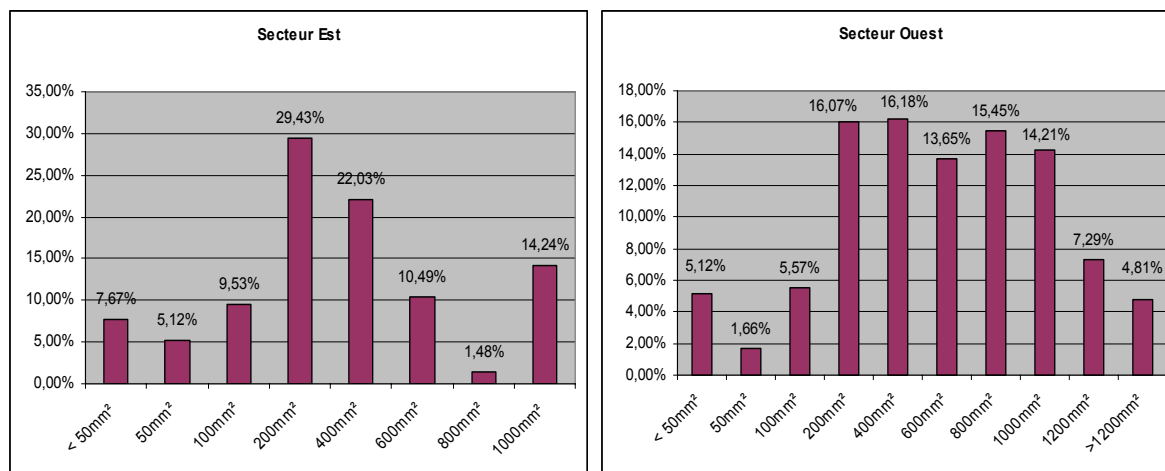


Figure 29 : EbCt-002, zone 1b, représentation des classes de superficie pour le débitage (% poids total)



La figure 29 témoigne aussi globalement de l'influence des éléments les plus gros sur la représentation des classes de dimension. Selon ce mode de comptabilisation, les éléments de plus de 400 mm² constituent 48,25% des éléments complets du secteur est et 71,59% pour le secteur ouest. Les éléments de petites dimensions quant à eux ne représentent maintenant plus que 12,79% et 6,78%. Le secteur est semble donc constituer un assemblage où les éclats de petites dimensions ont une importance plus grande et aussi une distribution des classes de dimension plus réduite. Ces distinctions témoignent vraisemblablement de l'utilisation de stratégies de réduction différentes, de différences dans la représentation des stades de réductions ou encore de productions différentes en termes des types d'outils taillés. La forte contribution au poids total de l'assemblage par les éléments de grandes dimensions (plus de 400 mm²) indique que les activités de réduction sont mieux représentées que les activités de finition sur le site (Chevrier 1986 dans Pintal 1990). Cette caractéristique de l'assemblage n'est pas étonnante puisque le site est considéré comme un atelier de taille où a été transformée une quantité importante de matière première. Toutefois, il est important de soulever la forte représentation du nombre d'éléments de petites dimensions.

La représentation des différentes stratégies de réduction peut théoriquement être révélée par l'utilisation de notre variable « type d'éclats » qui recense la présence d'éclats issus de stratégies de réduction bifaciale et bipolaire (Magne 1985, voir chapitre 2). Après analyse, nous constatons toutefois qu'un nombre important d'éléments demeurent dans la catégorie indéterminée et l'utilisation de cette variable ne semble donc que présenter une utilité à titre indicatif et permet essentiellement de recenser de grandes tendances parmi les assemblages. La stratégie de réduction bipolaire ne semble que peu représentée sur l'atelier avec une représentation de 0,74% pour le secteur est et 1,85% pour le secteur ouest. La stratégie de réduction bipolaire semble donc peu représentée sur cet atelier. On aurait pu s'attendre à ce que celle-ci soit mieux représentée en présence d'un matériau sur nodules (Andrefsky 1998 : p.149; Kuijt, Prentiss et Pokotylo 1995). La stratégie bipolaire pourrait avoir constitué une stratégie de transformation initiale des blocs pour en tirer des supports (Andrefsky 1998 : p.149). Ces pièces ont toutefois peut-être été retirées du registre archéologique par leur utilisation et leur transformation en outils, éliminant ainsi les stigmates caractéristiques de ces pièces (Magne 1985) ou ayant simplement été emportées ailleurs. Parmi les éclats dont le type de réduction est identifiable, ce sont les éclats de réduction bifaciale, surtout associés aux stades de mise en forme et d'amincissement (Magne 1985, 2001) qui dominent avec 22 et 25%.

Tableau XXV : EbCt-002, zone 1b, représentation des différentes stratégies de réduction par secteur

Secteur	Type de réduction	% Nombre
Est	Bifaciale	25,07%
	Bipolaire	0,74%
	Indéterminée	74,18%
Total Est		100,00%
Ouest	Bifaciale	21,93%
	Bipolaire	1,85%
	Indéterminée	76,23%
Total Ouest		100,00%

Les différences dont témoignent les deux secteurs de la zone 1b devraient également être exprimées par la représentation des différents stades de réduction qui caractérise l'assemblage du débitage. Ces stades de réduction sont reflétés par la valeur des variables proposées par Magne (1985) qui sont le décompte des cicatrices d'enlèvements sur la face dorsale des éclats (N.cicatrices) et le décompte des facettes présentes sur le talon (N.facettes). En organisant la séquence de réduction en trois étapes, cette méthodologie permet d'illustrer de façon ordonnée la représentation des différents stades de réduction (Magne 1985; 2001; Bradbury et Carr 2004). Bien que ces deux variables poursuivent un même objectif, elles présentent chacune leur avantage. Premièrement, la variable N.facettes est réputée plus précise dans sa détermination des stades de réduction et devrait donc se voir accorder une place plus importante (Magne 1985; 2001; Shott 1994; Bradbury et Carr 2004). Toutefois, cette dernière a le désavantage de n'être utilisable que pour les éclats complets alors que le décompte des cicatrices dorsales (N.cicatrices) peut être effectué pour tous les éclats. Pour le secteur est dans ce cas-ci, le nombre d'éléments utilisables est de 3569 pour la variable N.cicatrices comparativement à 2453 pour celle de N.facettes. Pour le secteur ouest cette proportion est respectivement de 3521 et 2371 éléments. Bien que la variable N.cicatrices soit théoriquement celle pour laquelle l'attribution d'un stade de réduction est la plus fiable (Magne 1985; 2001; Shott 1994), celle de N.cicatrices, en considérant un échantillon plus grand, semble donner une image plus représentative de l'assemblage.

Les figures 30 et 31 présentent la distribution des stades de réduction en combinant la présentation de ces deux variables pour chacun des secteurs.

Figure 30 : EbCt-002, zone 1b, distribution des stades de réduction pour le débitage du secteur est

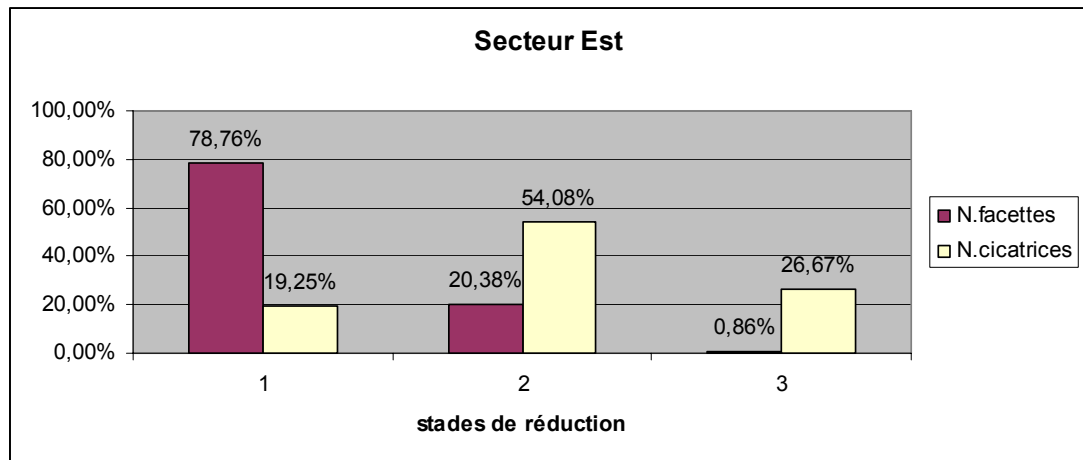
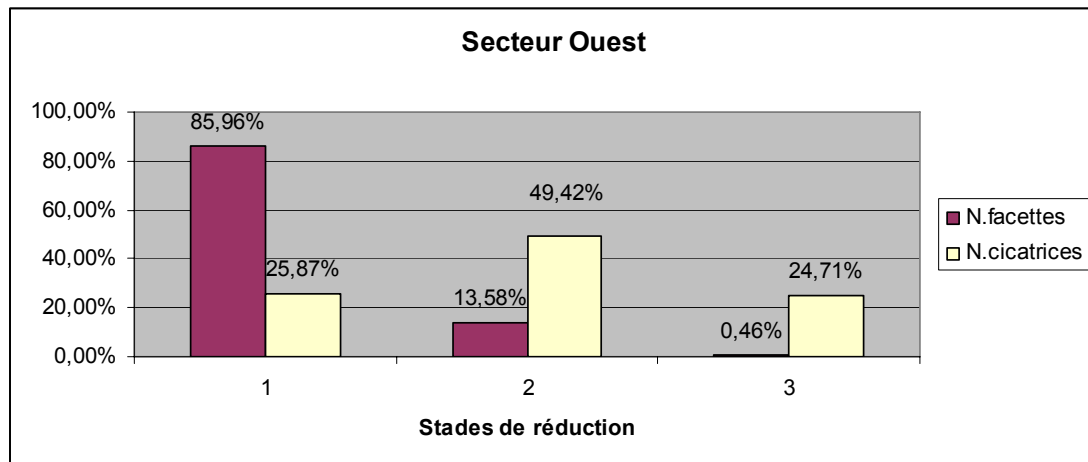


Figure 31 : EbCt-002, distribution des stades de réduction pour le débitage du secteur ouest



De façon globale, ces figures présentent une réalité relativement similaire. On y observe toutefois que l'utilisation de ces deux variables renvoie une image assez dissemblable de la représentation des stades de réduction. Le décompte des facettes du talon indique une domination assez nette du stade initial de réduction tandis que le décompte des cicatrices dorsales indique plutôt une forte représentation du stade intermédiaire. Ces résultats sont,

malgré la variation dont ils témoignent, assez fidèles à ceux qui peuvent être attendus d'un atelier de taille. La variable N.facettes indique assez clairement que c'est essentiellement le stade initial de réduction qui est représenté alors que le stade intermédiaire ne représente qu'une faible proportion du débitage et le stade final est quant à lui presque absent. La variable N.cicatrices semble tempérer cette proposition en identifiant une représentation beaucoup plus forte du stade intermédiaire (54 et 49%) et en attribuant approximativement 25% des éclats au stade final de réduction. La combinaison de ces deux variables laisse néanmoins entrevoir une image essentiellement dominée par le stade initial et intermédiaire de réduction. Cette image s'accorde bien avec le contexte du site, où une quantité importante de matière première a été transformée afin d'en tirer des outils. Dans cette mesure, il est aussi intéressant de relever la présence d'un nombre assez important (approximativement 25%) d'éclats attribuables au stade final (selon le nombre de cicatrices). Cette observation, combinée à l'analyse des outils devrait permettre de démontrer que toutes les étapes de réduction ont été réalisées sur le site et non seulement les étapes assimilables au début de la chaîne opératoire que sont le dégrossissement et la mise en forme initiale de supports pour être emportés ailleurs.

Les figures 30 et 31 illustrent aussi une plus forte représentation du stade initial sur le secteur ouest que le secteur est. Cette différence est particulièrement exprimée par la représentation du stade intermédiaire. Cette légère différence s'accorde bien avec les observations effectuées antérieurement et peut aussi s'expliquer par une stratégie de réduction ou des objectifs poursuivis différents. Cette différence peut également être causée par l'échantillonnage effectué.

La variable de l'intégrité des éléments de débitage est aussi susceptible de nous informer dans une certaine mesure sur l'intensité et la représentation des stades de réduction. La présence de débris en particulier est généralement associée aux stades initiaux de réduction (Sullivan et Rozen 1985; Bradburry et Carr 2004). Ce type d'objet est assez bien représenté parmi notre échantillon avec 1067 éléments pour 13,09% du nombre total. Ce nombre élevé

semble indiquer une activité de réduction assez intense impliquant le détachement non intentionnel de ces pièces et témoigne vraisemblablement de l'intensité des stades initiaux de réduction (Sullivan et Rosen 1985). La forte représentation des débris peut également être associée à la nature de la matière première, les blocs de chert de la Minganie présentant de nombreuses diaclases et autres imperfections. Ce secteur ouest présente encore ici une représentation légèrement plus élevée de ce type d'éléments avec 14,51% contre 11,63% pour le secteur est. Ce fort nombre de débris peut aussi être interprété comme un indicateur de la présence de réduction bipolaire (Kuijt, Prentiss et Pokotylo 1995). Cette catégorie d'objets est particulièrement associée à ce type de réduction et permet de souligner sa présence, même en l'absence de nucléus bipolaires ou d'un nombre élevé d'éclats caractéristiques (*idem*). À noter que les éclats qui portent des traces de réduction bipolaires, produits en fracturant les blocs, ont pu être retirés ou transformés en outils, ceux-ci constituant des supports potentiels et ainsi ne transparaître que peu parmi les types de réduction dont témoignent les éléments de débitage.

La présence de surfaces naturelles ou corticales sur les éléments de débitage témoigne elle aussi de la transformation initiale de la matière première lithique (Andrefsky 1998; Dibble et al. 2005). Il est vrai que la nature d'un matériau, particulièrement sa forme, peut influencer la superficie de surface corticale que présente une masse brute (Dibble et al. 2005). Ceci est particulièrement vrai pour les matériaux sous la forme de galets, comme le chert de la Minganie (Dibble et al. 2005). Le nombre de pièces qui présentent une portion corticale sur le site est très élevé et illustre clairement la réduction de nodules bruts. Un total de 34,18% du nombre des éléments de débitage porte au moins une portion corticale. Si l'on considère aussi la portion qui constitue la gaine des nodules, on peut constater que c'est 40,14% des éléments qui exhibent des surfaces naturelles. Cette gaine, bien que moins résistante et homogène que les portions siliceuses des galets, possède néanmoins une cassure conchoïdale et certains outils présentent d'ailleurs des portions qui sont constituées par la gaine des nodules. L'utilisation de ces portions témoigne une fois de plus de contraintes imposées par la dimension réduite des nodules.

Finalement, un certain nombre d'éléments de débitage portaient des traces d'altérations par la chaleur. Leur nombre est relativement peu élevé, mais tout de même considérable avec près de 1% (0,92%) de l'assemblage. De ce nombre, 52% portaient également des traces de cortex, ce qui pourrait porter à croire à un traitement thermique de blocs entiers préalablement à la chauffe. Le manque de contrôle quant au contexte des découvertes laisse toutefois en suspens la possibilité que ces pièces aient été rejetées dans une zone de combustion suite à leur taille. La possibilité d'un traitement thermique ne peut toutefois pas être écartée trop rapidement. Elle peut même s'avérer confirmée ou infirmée par l'analyse des nucléus.

La présentation des caractéristiques de l'assemblage de débitage révèle certaines tendances importantes. Premièrement, bien que les éclats de grandes dimensions soient présents et représentés par un certain nombre d'éléments, ce sont les éclats de petites dimensions qui occupent la majeure partie de la production réalisée sur le site. Il faut donc accepter que malgré le contexte d'atelier et la forte représentation des stades initiaux et intermédiaires soutenus par les décomptes du nombre de facettes du talon et des cicatrices sur la face dorsale, la production réalisée sur le site a résulté en un nombre très élevé d'éclats de petites dimensions. Cette forte présence semble donc indiquer la réalisation de retouche relativement fine des outils et vraisemblablement la réalisation d'un bon nombre d'outils finis et non seulement la production d'ébauches ou supports pour être emporté ailleurs. Toutefois, les étapes initiales de la production d'outils sont également susceptibles de produire une grande quantité de petits éclats (voir expérimentation de taille bifaciale de Yves Chrétien, entreposée au labo C-3103 du département d'anthropologie de l'UdeM). Si la présence d'éléments de petite dimension n'est donc que difficilement attribuable à une extrémité spécifique de la chaîne opératoire, leur nombre élevé devrait indiquer un travail relativement intensif de production et non seulement le réaffutage ou le maintien d'outils finis. La présence d'un fort nombre d'éléments de petites dimensions peut donc être également attribuable aux sites d'atelier de taille (Burke 1993). La représentation élevée

d'éléments portant des surfaces naturelles indique néanmoins la transformation initiale de blocs bruts sur le site.

Tel que mentionné plus tôt, un second secteur du site, la zone 2, située en retrait de l'atelier, semble constituer une zone d'habitation temporaire (Somcynsky 1991 : p.102). Une concentration d'éléments de débitage (N=243), essentiellement concentrée autour d'une petite structure de combustion ayant livré la datation radiocarbone y a été découverte (Somcynsky 1991 : p.86). L'assemblage livré par ce secteur est très différent de celui de l'atelier de taille. Dans ce cas, le chert de la Minganie ne représente qu'une très faible proportion de l'assemblage et un nombre beaucoup plus important et varié de matériaux y sont représentés (voir tableau XXVI). De plus, les éclats en chert de la Minganie présentent des caractéristiques assez différentes de ceux de l'atelier. Notamment, aucun de ceux-ci ne porte de cortex et le poids moyen des éclats complets n'est que de 0,19g comparativement à 0,608g pour l'ensemble du secteur de l'atelier. Étant donné que ces deux aires ont été fouillées avec une méthodologie similaire (Somcynsky 1991), cette différence au niveau du poids moyen illustre clairement la dimension plus réduite des éléments de débitage récupérés sur la zone 2.

Tableau XXVI:EbCt-002, zone 2. Représentation des matériaux parmi le débitage

Matériau	Nombre	%N	Poids	%Poids
Chert bourgogne	3	1,40%	0,2	0,98%
Chert gris moutonné	16	7,48%	3,3	16,10%
Chert Mingan	18	8,41%	2,3	11,22%
Chert rhyolitique noir	53	24,77%	5,1	24,88%
Chert vert lustré	1	0,47%	0,05	0,24%
Quartz hyalin	1	0,47%	0,05	0,24%
Quartzite de Ramah	95	44,39%	7	34,15%
Quartzite fine blanc-gris	23	10,75%	2,3	11,22%
Quartzite fin de kégashka	4	1,87%	0,2	0,98%
Total	214	100,00%	20,5	100,00%

Ce secteur semble donc être représenté par la réalisation d'un nombre d'activités plus variées comme en témoigne la variété de matériaux retrouvés. Quant au chert de la

Minganie, la faible dimension des éléments de débitage et l'absence de cortex portent à croire que la taille réalisée sur ce site impliquait uniquement des pièces préalablement mises en forme ou des outils finis. La fonction différente de la zone 2 semble donc expliquer les différences qui existent entre ces assemblages. Finalement, il apparaît important de souligner qu'à une distance de seulement 20 m d'un site de transformation majeur on puisse observer une représentation si réduite du chert de la Minganie.

5.2.1.1.2- EbCt-002, l'assemblage des outils en chert de la Minganie

L'assemblage d'outils analysés de l'atelier du site EbCt-002 renferme un total de 148 outils. Ce nombre est composé des 126 outils identifiés par Somcynsky (1991) et de 22 nouveaux outils non identifiés préalablement. La collection d'outils est encore ici fortement dominée par le chert de la Minganie celui-ci composant 97,30% du nombre total. Les autres matériaux sont toutefois ici plus fortement représentés et témoignent d'une variabilité plus importante qu'à l'intérieur du débitage. Le tableau XXVII présente les différents matériaux.

Tableau XXVII : EbCt-002, zone 1b, distribution des différents matériaux au sein de l'outillage

Matériaux	Nombre	% Nombre
Chert Mingan	144	97,30%
Quartzite EbCp	1	0,68%
Quartzite de Ramah	1	0,68%
Chert bourgogne	1	0,68%
Chert gris veiné	1	0,68%
Total	148	100,00%

Le chert de la Minganie a été abondamment taillé sur le site et plusieurs outils ont été produits. La forte représentation des nucléus et blocs atteste la transformation de blocs bruts sur le site. La provenance de ces blocs peut se situer dans les environs immédiats du site bien qu'aucun affleurement n'ait été identifié (Somcynsky 1991 : p.45). Les outils tirés de ce matériau ne se limitent pas à un seul type d'outil, mais ont été taillés en une importante variété d'objets. La production d'outils réalisée sur chacun des secteurs du site est assez distincte. Le secteur est plutôt caractérisé par la production de pièces de type bifaciales

avec 63,63% du nombre (en excluant les nucléus), comparativement à 41,03% pour le secteur ouest (voir tableau XXVIII). Le secteur ouest semble plutôt orienté vers la production d'outils sur éclats (59,97% du nombre en excluant les nucléus) et a révélé la présence d'un nombre beaucoup plus élevé de nucléus.

Tableau XXVIII : EbCt-002, zone 1b; distribution des types d'outils par secteur

Secteur est				Secteur ouest			
Type outil	Nom générique	Nombre	% Nombre	Type outil	Nom générique	Nombre	% Nombre
Bifaces	Biface	2	2,82%	Bifaces	Couteau	3	4,11%
	Couteau	12	16,90%		Préforme bifaciale	5	6,85%
	Préforme bifaciale	7	9,86%		Ébauche bifaciale	8	10,96%
	Ébauche bifaciale	12	16,90%		Total Biface	16	21,92%
	Pointe de projectile	2	2,82%	Outils sur éclat	Grattoir	5	6,85%
Total Biface		35	49,30%		Coin	1	1,37%
Outils sur éclat	Grattoir	3	4,23%		É.utilisé/retouché	10	13,70%
	É.utilisé/retouché	10	14,08%		Indéterminé	7	9,59%
	Indéterminé	6	8,45%	Outils sur éclats		23	31,51%
	Racloir	1	1,41%	Nucléus	Nucléus	34	46,58%
Outils sur éclat		20	28,17%		Total Nucléus	34	46,58%
Nucléus	Nucléus	16	22,54%	Total		73	100,00%
Total Nucléus		16	22,54%				
Total		71	100,00%				

Ces différences en termes de production d'outils semblent pouvoir expliquer au moins partiellement les distinctions observées au niveau des assemblages de débitage de chacun de ces secteurs. On pourrait proposer que les activités de taille réalisées sur le secteur est, dirigées principalement par la production de pièces bifaciales, soient plus contrôlées puisqu'orienté essentiellement vers la production d'outils élaborés ou formels. La représentation des outils formels et informels tend aussi à soutenir cette image. Pour le secteur est la production d'outils formels (en excluant les nucléus) représente 70,91% de l'assemblage récupéré alors que pour le secteur ouest cette proportion n'est que de 56,76%. La production d'outils informels, outils expéditifs qui ne requièrent qu'un aménagement sommaire et peu soigné (Andrefsky 1994), occupe tout de même une bonne partie de l'assemblage à l'échelle de tout l'atelier avec 34,78% du nombre total d'outils.

Quant à leur intégrité, les outils récupérés sur l'atelier présentent une forte proportion d'objets complets avec 70,21%. Cette proportion suggère un succès assez élevé lors de la réalisation d'outils en chert de la Minganie. La présentation de leurs caractéristiques générales permet d'identifier les données de base quant aux dimensions originales des outils confectionnés dans ce matériau (voir tableau XXIX) et ainsi permettre des comparaisons avec les assemblages qui se retrouvent à l'extérieur de la zone de transformation initiale.

Tel que mentionné précédemment, la réalisation de pièces bifaciales occupe une part importante de la production réalisée sur le site. Les bifaces constituent donc la catégorie d'objets la mieux représentée et celle qui se prête le mieux à cet exercice de caractérisation. De plus, les différents stades de production de ceux-ci (Callahan 2000; Andrefsky 1998) sont représentés sur le site (voir tableau XXIX). Dans ce cas-ci, Somcynsky (1991) a identifié trois étapes distinctes, soit l'ébauche bifaciale, la préforme bifaciale et les outils finis, outils auxquels on peut attribuer une fonction (pointes de projectiles et couteaux). Nous avons conservé la détermination effectuée par Somcynsky et plutôt que de proposer une codification différente (Callahan 2000), nous préférons plutôt tester ses propositions en présentant les caractéristiques générales de chacune des étapes qu'il identifie.

Le tableau XXIX présente les dimensions générales des différents stades identifiés. Les ébauches représentent le stade le moins avancé de la réduction des supports initiaux et constituent donc sans surprise la catégorie d'objets présentant les dimensions le plus importantes. Ces proportions diminuent progressivement, particulièrement celles de la longueur et du poids, à mesure que la réduction progresse pour enfin atteindre le stade de l'outil fini. Le ratio longueur/largeur quant à lui augmente progressivement à mesure que la mise en forme de la pièce progresse.

Tableau XXIX : EbCt-002, zone 1b, dimensions générales des différents stades de production des pièces bifaciales

Ébauches N=15					
Valeur	Poids (g)	Longueur (cm)	Largeur 1/2 (cm)	Épaisseur 1/2 (cm)	Ratio Longueur/épaisseur (W/T)
Moyenne	20,54	3,97	3,11	1,76	1,85
Maximum	50,90	6,09	3,99	2,62	2,39
Minimum	8,20	2,86	1,85	1,21	1,40

Préformes N=5					
Valeur	Poids (g)	Longueur (cm)	Largeur 1/2 (cm)	Épaisseur 1/2 (cm)	Ratio Longueur/épaisseur (W/T)
Moyenne	8,94	3,53	2,17	1,24	1,92
Maximum	10,00	3,91	2,48	1,48	2,55
Minimum	7,60	3,00	1,36	1,00	1,09

Outils finis N=17 (15 couteaux et 2 pointes de projectiles)					
Valeur	Poids (g)	Longueur (cm)	Largeur 1/2 (cm)	Épaisseur 1/2 (cm)	Ratio Longueur/épaisseur (W/T)
Moyenne	7,08	3,31	2,21	0,84	2,81
Maximum	16,20	5,56	3,56	1,52	4,45
Minimum	2,00	2,55	1,41	0,46	1,09

L'établissement de ces mesures permet de confirmer que la progression de la réduction du chert de la Minganie se conforme aux prédictions théoriques de l'auteur, présentées au chapitre 2, et nous autorise à utiliser certaines de ces mesures à titre d'indices de réduction et observer leur progression à mesure que l'on s'éloigne de la zone de transformation initiale. La lecture du tableau précédant témoigne non seulement de la diminution des dimensions générales des pièces bifaciales à mesure que le stade de réduction avance, mais également de la dimension vraisemblablement très restreinte de ces pièces. La longueur moyenne des ébauches bifaciales n'atteint même pas 4 cm.

Les grattoirs et les éclats utilisés et/ou retouchés constituent également des catégories d'objets bien représentées sur EbCt-002, et les sites préhistoriques en général. Les

dimensions dont témoignent les grattoirs sont relativement restreintes et indiquent clairement que malgré l'abondance de matière première dont témoigne le site de transformation initiale, les outils et supports qui quittent le site pour cette catégorie d'outils sont de dimensions restreintes et donc que celles qui circulent sur le territoire seront également de dimension restreinte (tableau XXX). Ce pattern est également observé pour les sites de carrières et d'ateliers de taille de chert Touladi au Témiscouata et semble témoigner de la recherche de formes et de dimensions spécifiques plutôt que d'une maximisation de la dimension de ces pièces (Burke 2007 : p.71).

Tableau XXX : EbCt-002, zone 1b, dimensions générales des outils sur éclats

Grattoirs (n= 5)				
Valeur	Longueur (cm)	Largeur (cm)	Épaisseur (cm)	Poids (g)
Moyenne	2,51	1,85	0,71	3,86
Maximum	3,64	2,31	1,15	7,90
Minimum	1,44	1,45	0,39	0,70

Éclats retouchés/utilisés (n= 12)				
Valeur	longueur (cm)	Largeur (cm)	épaisseur (cm)	Poids (g)
Moyenne	2,95	1,87	0,83	5,19
Maximum	4,74	2,55	1,50	14,80
Minimum	1,61	0,93	0,29	0,40

La donnée la plus significative et qui permet les comparaisons entre les assemblages réside probablement dans l'utilisation de valeur moyenne de chacune de ces caractéristiques et particulièrement en utilisant le poids moyen de ces outils qui permet une approximation rapide de la dimension générale des pièces. Il faut toutefois souligner que seules les pièces complètes figurent dans ces calculs et qu'un nombre suffisant d'éléments doit être utilisé afin d'éviter les biais. Dans ce cas-ci, cette condition est généralement atteinte comme le site a révélé un nombre important d'outils. Elle sera toutefois beaucoup plus difficile à rencontrer pour les sites inventoriés par sondages ou les sites ne livrant qu'un nombre limité d'outils.

Le site EbCt-002 a livré un nombre important de nucléus et de fragments de blocs qui permettent de dresser un portrait assez complet de ce type d'objet. Les nucléus récupérés sur le site EbCt-002 ont tous la forme de nodules et, conformément aux données issues de notre description du matériau au chapitre 4, ils sont de dimensions assez réduites et leur axe le plus long n'excède qu'exceptionnellement les 10 cm. De toute évidence, les nucléus partiellement transformés du site EbCt-002 présentent des dimensions inférieures à celles des blocs bruts issus des affleurements. Toutefois, les nodules retrouvés en contexte archéologique sont véritablement conformes aux informations issues de la documentation géologique et de notre prospection géologique. Outre cet élément, l'analyse des nucléus de ce site permet d'identifier les dimensions initiales de ces objets et permet éventuellement d'effectuer des comparaisons avec les nucléus de ce matériau retrouvés dans d'autres contextes et particulièrement ceux qui sont retrouvés à l'extérieur de la zone d'affleurement de ce matériau.

Tableau XXXI : Dimensions générales des nucléus récupérés sur le site EbCt-002 (N=50)

Valeur	Poids (g)	Longueur (cm)	Largeur (cm)	Épaisseur (cm)
Moyenne	86,13	5,08	3,91	2,78
Maximum	459,40	10,26	7,84	7,31
Minimum	3,70	1,95	1,50	1,28

Suite à l'identification d'éléments portant des traces de chauffe parmi le débitage, nous avons soulevé l'éventualité d'un possible traitement thermique du chert de la Minganie préalablement à sa transformation. Comme aucun nucléus que nous avons analysé ne porte de traces d'altération par la chaleur nous suggérons maintenant que les nodules de cherts n'ont pas été soumis à un traitement thermique pour en modifier ses caractéristiques de taille. Dans ce sens, la présence d'éléments chauffés semble donc plutôt résulter du contexte de déposition de ceux-ci.

Un élément important qui semble constituer une caractéristique intrinsèque de l'utilisation du chert de la Minganie est la présence de surfaces naturelles sur les éléments taillés. La présence de ces surfaces a été souvent observée pour les éléments de débitage et caractérise

également l'assemblage des outils. Comme nous l'avons mentionné précédemment, la plus forte représentation de cortex peut être tributaire de la nature et de la présentation du matériau taillé (Dibble et al 2005; Andrefsky 1998). Généralement, la présence de surfaces naturelles sur un outil tend à démontrer que celui-ci n'a pas encore été fortement utilisé et réafluté. Afin de pouvoir comparer les proportions d'outils qui portent de telles surfaces entre les assemblages, il est important d'en établir la représentation à l'intérieur des ateliers de taille de la zone de transformation initiale. Sur le site EbCt-002, cette représentation est très forte avec 65,96% des outils (en y excluant les nucléus). La présence de surfaces corticales se distribue à travers tous les types d'outils, sans particulièrement épargner la catégorie des outils finis, soient-ils de types formels ou informels.

Tableau XXXII : Représentation des outils avec cortex par catégorie fonctionnelle

Nom générique	Présence de cortex				Total (N)
	Non (N)	Non (%)	Oui (N)	Oui (%)	
Pointe de projectile	0	0,00%	2	100,00%	2
Couteau	5	33,33%	10	66,67%	15
Préforme bifaciale	6	50,00%	6	50,00%	12
Ébauche bifaciale	3	15,00%	17	85,00%	20
Grattoir	4	50,00%	4	50,00%	8
Racloir	1	100,00%	0	0,00%	1
Coin	0	0,00%	1	100,00%	1
É.utilisé/retouché	7	35,00%	13	65,00%	20
Indéterminé	4	30,77%	9	69,23%	13
Total	30	32,61%	62	67,39%	92

Cette forte représentation des surfaces corticales, tant au niveau de l'assemblage d'outils qu'à celui du débitage est fortement influencé par la dimension réduite des nucléus qui ont été transformés sur le site et par la nature arrondie des galets (eux-mêmes de petites dimensions) qui présente une surface corticale plus grande que toute autre morphologie pour un même volume ou une même masse (Dibble et al 2005). Toutefois, le fait que l'on ne constate pas une diminution du nombre d'éléments avec cortex à mesure que l'on passe de l'ébauche à l'outil fini pour les pièces bifaciales constitue une mise en garde quant à

l'utilisation de cette variable pour identifier un état plus réduit des outils en chert de la Minganie.

5.2.1.1.2- Les autres matériaux

Rappelons que les matériaux autres que le chert de la Minganie introduits sur la zone 1 du site EbCt-002 n'y occupent qu'une très faible proportion. S'ils sont mieux représentés dans l'assemblage des outils, ils y demeurent très minoritaires avec seulement quatre éléments, soit 2,70% du total de l'assemblage. Ils ont vraisemblablement été apportés sur le site sous la forme d'outils finis puisque le nombre d'éléments de débitage que l'on peut leur attribuer est très faible. Quant au chert de la Minganie, la fonction du site EbCt-002 en tant qu'atelier de taille associé à la transformation initiale de ce matériau ne fait pour nous aucun doute. Une grande quantité de matériel y a été transformée et un nombre important d'outils y ont été produits. L'image qui se dégage de ce travail intensif et de la production d'un nombre important d'outils est celle d'une stratégie de production en prévision d'une utilisation anticipée réalisée en prévision de besoins futurs.

L'analyse des outils récupérés permet de définir certaines constantes quant aux caractéristiques de cet assemblage. La détermination des dimensions moyennes et le poids moyen initial des outils produits de même que des nucléus permettront entre autres d'effectuer des comparaisons entre les assemblages et ainsi identifier leur variation en fonction de l'éloignement de la région-source ou « zone d'affleurement ». L'établissement de certaines caractéristiques telles que la représentation des éléments de débitage et d'outils portant des surfaces naturelles permet aussi d'abonder en ce sens. Les données présentées pour les deux sites suivants, EbCv-015 et EbCu-002, permettront de mettre en perspective ces valeurs et préciser la nature des assemblages associés à la transformation initiale du chert de la Minganie

5.2.1.2- Le site EbCv-015 de Havre-Saint-Pierre

Le site EbCv-015, situé à proximité du village de Havre-Saint-Pierre, avait aussi été préalablement identifié, au chapitre 3, comme un atelier de taille reflétant vraisemblablement la transformation initiale du chert de la Minganie. Il est de plus le seul site fouillé du secteur archéologique de Havre-Saint-Pierre/Romaine côte. Ce dernier point stimule d'autant plus une présentation plus approfondie de sa collection archéologique.

Fouillé en 1988, une aire ouverte de 25,5 m² y avait été dégagée et permis la récolte de 6516 éclats et 6 outils (Somcynsky 1990a). En termes d'organisation de l'espace, ce site aux dimensions restreintes n'a vraisemblablement livré aucune forme d'aménagement (Somcynsky 1990a : p.41). Il est principalement caractérisé par la présence d'une importante concentration d'éléments de débitage (*idem*). Le chert de la Minganie n'y avait pas jusqu'ici été identifié formellement, mais la description sommaire qu'en donnait l'auteur (Somcynsky 1990a : p.42), combinée au contexte géographique du gisement permettait de le présager. Nos analyses confirment que le matériau qui domine fortement l'assemblage de ce site est effectivement le chert de la Minganie.

L'assemblage lithique du site est composé d'un nombre relativement élevé d'éléments et a fait l'objet d'un échantillonnage. En l'absence de structures d'aménagement ou de structure de combustion, nous avons défini un secteur qui correspond à la concentration d'éléments de débitage mentionnée (voir figure 32). À l'intérieur de ce secteur, chaque quadrant s'est vu octroyer un numéro et leur sélection s'est par la suite effectuée à l'aide d'une table de nombre aléatoire. vingt quadrants de puits ont ainsi été sélectionnés et représentent une surface de 5,00 m². Cet échantillon constitue un assemblage de 2115 éclats et comme pour le site EbCt-002, nous avons analysé tous les outils disponibles²²

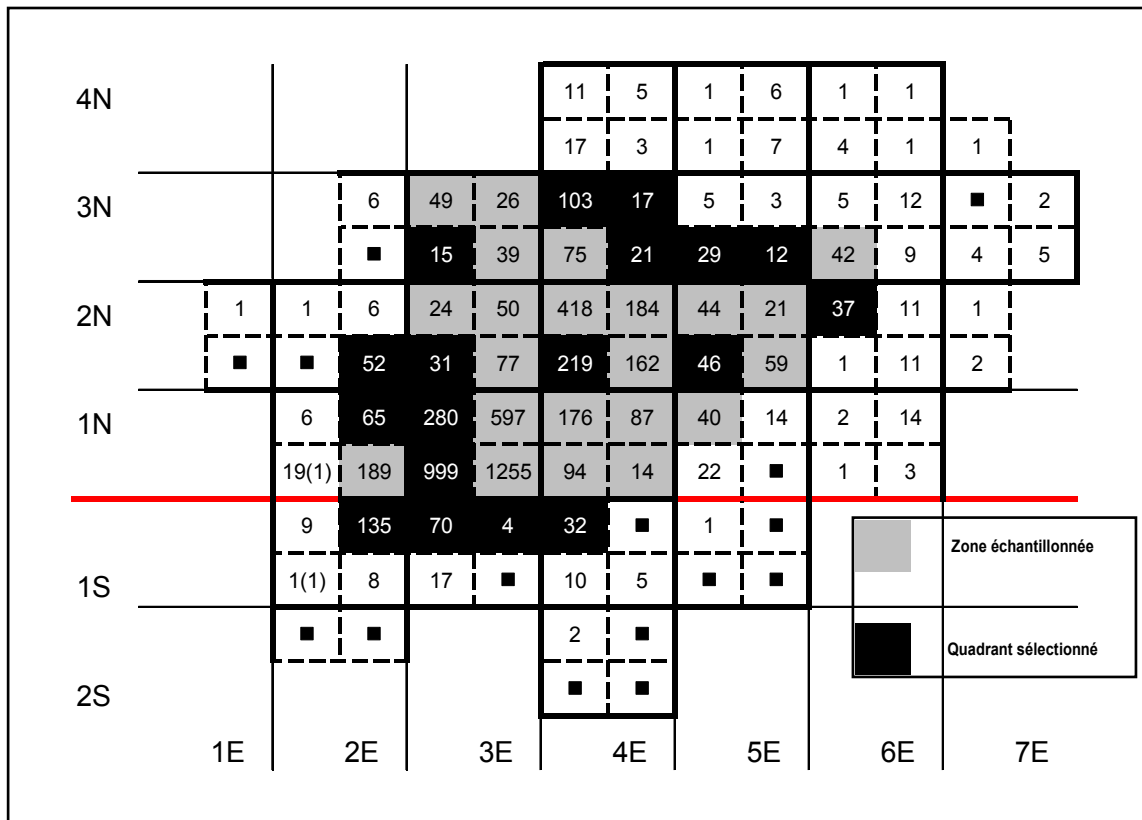
²² ¹ Selon le rapport de Somcynsky (1990a), de même que le catalogue ISAQ, la collection d'outils se compose de 6 outils. Toutefois, nous n'avons observé que 4 de ceux-ci parmi la collection disponible, mais en avons identifié trois nouveaux, issus des lots de débitage analysés.

Tel que mentionné précédemment, la collection de EbCv-015, autant les outils que le débitage, est fortement dominée par un matériau qui s'avère effectivement être le chert de la Minganie. Ce matériau occupe plus de 99% du nombre d'éléments de débitage et 85,71% du nombre d'outils (voir tableau XXXIII).

Tableau XXXIII : EbCv-015, distribution des éléments de débitage par matériau

débitage	Nombre	%N	Poids	%Poids
Chert Mingan	2107	99,62%	235,9	97,88%
Quartz hyalin avec inclusions brunes	8	0,38%	5,1	2,12%
total	2115	100,00%	241	100,00%

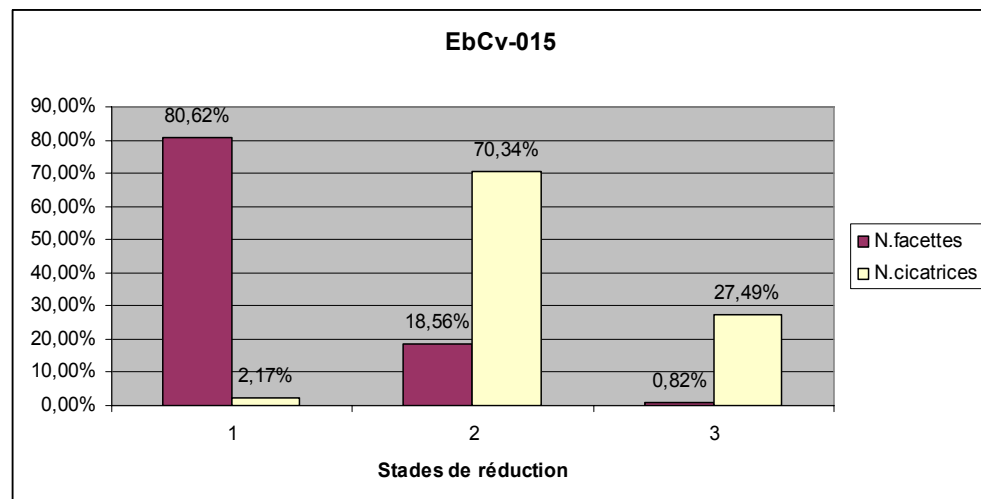
Figure 32 : Plan du site EbCv-015, nombre d'éclats par quadrants et échantillonnage



Le chert de la Minganie domine fortement l'assemblage du débitage et le quartz hyalin n'y occupe qu'une proportion très faible témoignant d'activités de réduction peu intensives.

Bien que le chert de la Minganie semble avoir été transformé assez intensivement sur le site, la distribution des classes de dimension laisse entrevoir la forte prépondérance des éclats de petite dimension. Les éclats de moins de 50 mm² (ou les classes 1 et 2 de superficie) cumulent 87,17% du nombre des éclats et les éclats de forte dimension, de plus de 400 mm² ou les classes 5 et plus n'occupent que 1,17% du nombre. Même lorsque l'on considère la contribution des éclats de grande dimension au poids total de l'assemblage de débitage, leur part n'est pas très élevée à 34,67%. Les éclats de forte dimension ne semblent donc pas tenir une place aussi importante dans cet assemblage que sur le site EbCt-002. Néanmoins, la représentation des éléments de forte dimension en termes de contribution au poids total témoigne de la plus forte représentation des étapes initiales de la production d'outils que représente le dégrossissage (Chevrier 1986 dans Pintal 1990). Finalement, le poids moyen des éléments de débitage de l'assemblage de chert de la Minganie de ce site est beaucoup plus petit que pour le site EbCt-002 à 0,194 g contre un poids moyen global de 0,61 g pour le site de l'Île Saint-Charles.

Figure 33 : EbCv-015, distribution des stades de réduction pour le chert de la Minganie



La lecture de la figure précédente indique que les stades initiaux de réduction sont bien représentés sur le site EbCv-015. Cette caractéristique s'accorde mieux avec les résultats

attendus pour un assemblage de la zone de transformation initiale. Toutefois, la représentation des types de réduction ne témoigne toutefois qu'une très faible représentation de la stratégie de réduction bipolaire et semble indiquer que celle-ci n'ait pas été employée sur le site.

De façon générale, cette technique semble associée aux premières étapes de transformation des blocs bruts de matière première (Andrefsky 1998). Les résultats de notre analyse, bien qu'ils identifient que les stades initiaux de réduction et les activités de dégrossissage dominant l'assemblage, les indices de fracturation bipolaire des blocs n'y figurent pas explicitement. Ces éléments ont pu être utilisés et retirés de l'assemblage archéologique du site en étant utilisés comme supports et éliminant ainsi les indices permettant de mettre en évidence la stratégie de réduction bipolaire.

Tableau XXXIV : EbCv-015, représentation des différents types de réduction

Type de réduction	Nombre	% Nombre
Bifaciale	467	22,16%
bipolaire	1	0,05%
Indéterminée	1639	77,79%
Total	2107	100,00%

D'autres caractéristiques des éléments de débitage abondent en ce sens. Par exemple, seulement 3,23% (N=68) de ces éléments présentent des surfaces corticales. Le nombre de débris est lui aussi assez faible avec 5,70% (N=120) du nombre des éléments de débitage. La faible représentation de ces débris soutient aussi la faible représentation de la stratégie de réduction bipolaire et d'une faible représentation des activités de taille reliées au travail de blocs (Sullivan et Rozen 1985). Ces éléments portent à croire que les blocs apportés sur le site (N=3) aient pu être dégrossis ailleurs. Les éclats de réduction bifaciale sont ici représentés dans une proportion similaire à l'assemblage du site EbCt-002, à 22% et témoigne de l'importance de cette stratégie et donc de la mise en forme de pièces bifaciales sur le site.

Quant aux outils, le chert de la Minganie domine toujours l'assemblage, mais est ici accompagné par un matériau qui ne figure pas parmi le débitage, le chert « la Romaine », qui semble avoir été introduit sous forme finie sur le site. Les nucléus occupent une proportion importante du nombre d'outils récupérés sur le site. Leur présence semble indiquer qu'un travail à partir de blocs a été réalisé sur le site. Leur nombre est toutefois limité à seulement trois et leurs dimensions générales sont très réduits, de loin inférieures à ceux du site EbCt-002 de même qu'à celles des blocs naturels que nous avons récoltés.

Tableau XXXV : EbCv-015, dimensions générales des nucléus en chert de la Minganie

Valeur	Poids (g)	Longueur (cm)	Largeur (cm)	Épaisseur (cm)
Moyenne	18,47	3,79	2,74	1,61
Maximum	36,30	4,95	3,71	2,34
Minimum	6,00	2,93	2,18	1,06

Les dimensions réduites de ces blocs, combinée à la faible représentation des éléments portant des surfaces naturelles semblent indiquer que ces blocs aient pu être dégrossis préalablement à leur arrivée sur le site. Les deux bifaces en chert de la Minganie retrouvés sur le site représentent vraisemblablement des outils en cours de production puisque le premier constitue vraisemblablement une préforme bifaciale et le second un fragment de biface, probablement fracturé en cours de taille. Ces deux outils ne portent d'ailleurs aucune trace d'utilisation. La production d'outils réalisée sur le site EbCv-015 est caractérisée par confection d'outils de type formels. Finalement, la représentation des outils présentant des surfaces corticales (en excluant les nucléus) est relativement faible sur le site avec seulement 33,33% de leur nombre.

Tableau XXXVI : EbCv-015, représentation des différents types d'outils

Matériau	Nom générique	Nombre	% Nombre
Chert "La Romaine"	Perçoir	1	14,29%
Total Chert "La Romaine"		1	14,29%
Chert Mingan	Biface	2	28,57%
	Grattoir	1	14,29%
	Nucléus	3	42,86%
Total Chert Mingan		6	85,71%
Total		7	100,00%

Le nombre limité d'outils en chert de la Minganie récupérés sur le site ne permet pas d'effectuer une compilation de données aussi détaillée que pour le site EbCt-002. Néanmoins, l'assemblage du site EbCv-015 semble témoigner d'un lieu de transformation et de production d'outils en chert de la Minganie. Il se distingue clairement du site EbCt-002 dans le sens où les surfaces corticales et les débris sont presque absents sur le site EbCv-015, indiquant un travail à partir de blocs ou de masses dégrossies préalablement. Le site EbCv-015, bien qu'il constitue vraisemblablement un atelier de taille du chert de la Minganie, ne semble donc pas être réellement un lieu de transformation initiale.

5.2.1.3- Le site EbCu-002

Contrairement aux deux sites précédents, le site EbCu-002 n'a fait l'objet que d'un inventaire par sondage (Somcynsky 1989 : p.85). Il a tout de même livré un assemblage lithique assez volumineux qui compte 2763 éléments de débitage et aucun outil, dont la très grande majorité est attribuable au chert de la Minganie (Somcynsky 1989 : p.90). Aucun outil n'y avait toutefois été identifié (*idem*). À la lumière de notre analyse, l'origine anthropique de plusieurs éléments à toutefois été mise en doute et selon nous, seul le sondage 4 renferme des éléments dont l'origine anthropique est sans équivoque. Selon Somcynsky, ce sondage contenait 2720 éclats (1989 : p.91). Toutefois, nous n'avons retenu que les éléments dont l'origine anthropique était sans équivoque et également laissé de côté

les éléments récupérés en laboratoire dans un tamis aux mailles de 1/16 de pouce²³ (Somcynsky 1989). De plus, Somcynsky (1989) indique la présence d'éléments en quartz, mais rejette leur origine anthropique (Somcynsky 1989 : p.92). Notre analyse a donc porté sur 750 éléments de débitage et a permis d'identifier cinq outils.

Par la présence d'un assemblage composé intégralement en chert de la Minganie et la proximité des affleurements recelant théoriquement des nodules de ce matériau (Desrochers 1988 : carte 2), nous considérons le site EbCu-002 comme un lieu de transformation initiale du chert de Mingan et pour cette raison présentons son assemblage ici de façon détaillée.

Nous avons analysé 750 éléments de débitage, qui cumulent 579,45 g pour un poids moyen de 0,882 g par élément. La répartition de ces éléments en fonction des catégories de dimension indique une forte représentation des éléments de petite dimension (50 mm² et moins) avec 62,16% du nombre d'éléments, mais témoigne néanmoins d'une certaine importance des éléments de dimension intermédiaire (100 à 400 mm²) avec 30,07%. Les éléments de grande dimension (plus de 400 mm²) sont donc assez peu nombreux avec 7,77% du nombre total. Leur contribution au poids total est toutefois de 54,44% et témoigne de l'importance du dégrossissage sur le site (Chevrier 1986 dans Pintal 1990 : p.93). La figure 34 illustre la représentation des différentes classes de dimension.

Quant à la représentation des stades de réduction parmi les éléments de débitage, l'assemblage du site EbCu-002 est assez similaire à ceux des sites EbCt-002 et EbCv-015. Le décompte des facettes de la plateforme du talon indique une forte représentation du stade initial de réduction avec 87,62% du nombre d'éclats. Le décompte des cicatrices d'enlèvements de la face dorsale des éclats indique quant à lui une forte représentation d'éléments attribuables au stade intermédiaire de réduction. Prises conjointement (voir

²³ Cet ensemble comprend 1970 éléments, tous en chert de la Minganie, pour un poids total de 92,1g et un poids moyen de 0,047 g. Ils sont donc tous de très petite dimension et ont été écartés afin de ne pas induire de biais issus par un mode de tamisage non représentatif des autres interventions entreprises à l'intérieur de notre région d'étude.

figure 35), ces valeurs semblent donc témoigner la réalisation d'activités de taille principalement attribuables au commencement de la chaîne opératoire de ce matériau. La présence de surfaces naturelles sur 12,80% (N=96) des éléments de débitage analysés tend aussi à soutenir cette proposition et la présence de blocs bruts sur le site, bien qu'aucun n'ait été récupéré.

Figure 34 : EbCu-002; représentation des différentes classes de dimensions (% du nombre).

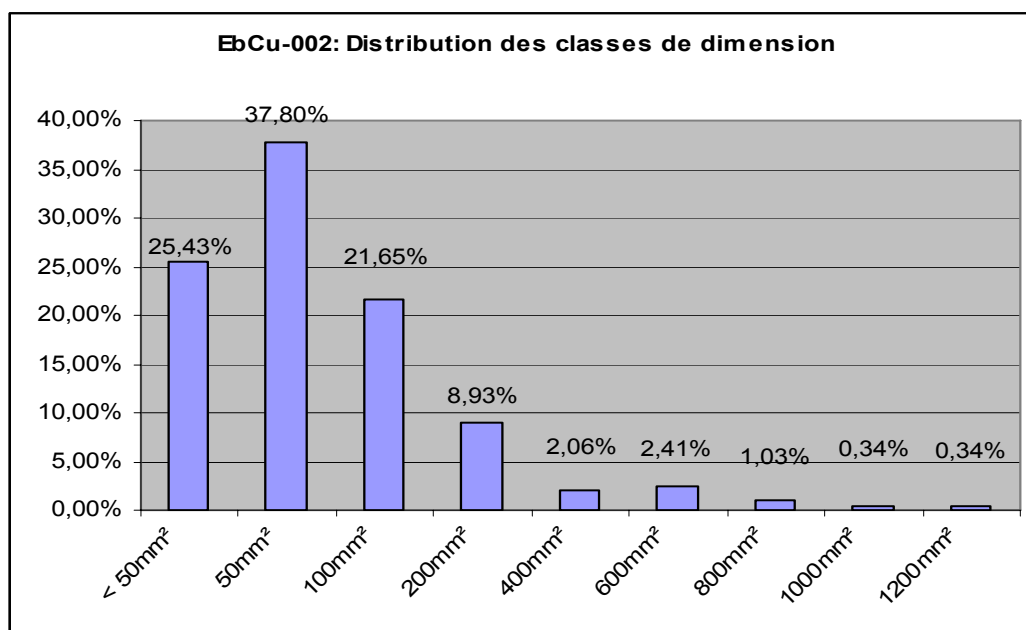
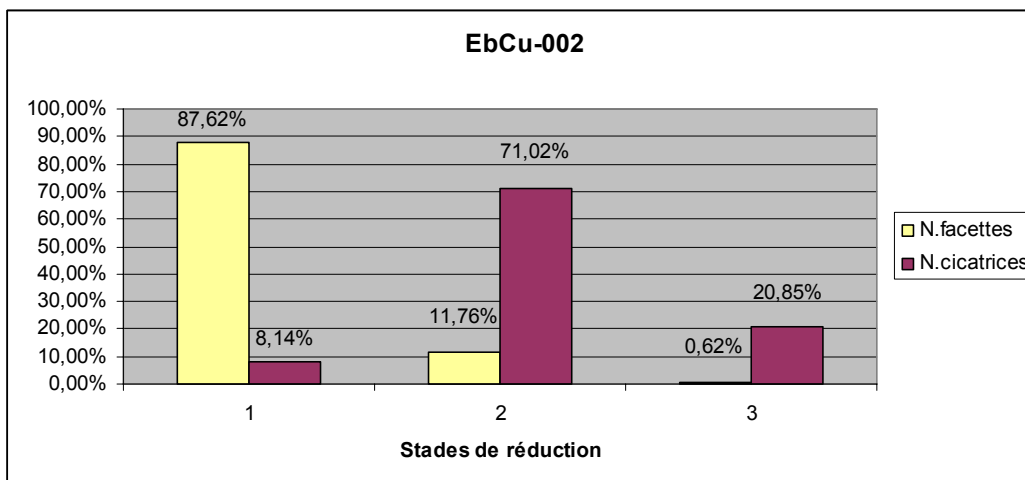


Figure 35 : EbCu-002, représentation des stades de réduction en fonction du décompte des facettes de la plateforme du talon (N.facettes) et des cicatrices dorsales (N.cicatrices)



Quant à la représentation des types de réduction dont témoigne l'assemblage de débitage, la stratégie de réduction bipolaire bénéficie d'une représentation appréciable sur le site avec 8,53% du nombre. La présence de cette stratégie de réduction sur le site est d'ailleurs soutenue par la forte représentation des débris parmi l'assemblage. Ce sont 167 éléments qui sont attribuables à cette catégorie et avec 22,27% du nombre total d'éléments, ils permettent de réellement soutenir cette proposition bien qu'aucun nucléus n'ait été récupéré sur le site (Kuijt, Prentiss et Pokotylo 1995).

Tableau XXXVII : EbCu-002; représentation des stratégies de réduction

Type de réduction	Nombre	% Nombre
bifacial	159	21,20%
bipolaire	64	8,53%
Indéterminé	527	70,27%
Total	750	100,00%

La présence d'un nombre considérable de débris, combinée à la présence d'une stratégie de réduction bipolaire, tend à renforcer la proposition que le site EbCu-002 soit un lieu de transformation initiale du chert de la Minganie. Tel que mentionné, aucun nucléus ou bloc n'a été récupéré sur le site, mais cela peut fort bien résulter d'une représentativité déficiente de l'assemblage comme la collection n'est issue que d'un seul sondage de 50 par 50 cm. L'assemblage tend néanmoins à soutenir l'emploi d'une stratégie de réduction de type bipolaire associée aux étapes initiales de transformation. Cette stratégie, semble ici utilisée dans le but d'en tirer des fragments ou éclats susceptibles de servir de supports pour la taille d'outils. L'utilisation de cette stratégie ne représente donc pas ici un caractère d'optimisation d'une masse de matière première (Andrefsky 1998; Burke 2007; Kuijt Prentiss et Pokotylo 1995), mais plutôt une contrainte imposée par la nature et la dimension réduite des nodules en chert de la Minganie. L'identification de ce type d'éclats renvoie donc essentiellement aux stades initiaux de réduction et non à une stratégie de maximisation de masses de matière première épuisées.

Quant aux outils identifiés parmi les éléments de débitage, ils sont tous des coins. Ce type d'outil appartient à la catégorie des outils informels, ou dits expéditifs. La présence d'un nombre important d'éclats issus d'une réduction de type bifaciale (21,20% du nombre), témoigne quant à elle de la production d'une ou plusieurs pièces bifaciales sur le site. Certaines n'ont vraisemblablement pas été récupérées lors de l'intervention ou ont été emportées ailleurs.

5.2.1.4- Conclusions à propos des sites de transformation initiale

Nous avons présenté de façon détaillée les assemblages des trois sites précédents, EbCt-002, EbCv-015 et EbCu-002, dans le but de caractériser les assemblages diagnostiques de la transformation initiale du chert de la Minganie. Bien que deux sites aient été fouillés, le nombre d'outils complets se prêtant à l'identification des caractéristiques de base est assez limité. Malgré le fait que l'on se trouve à l'intérieur de la zone d'affleurement et en

présence d'ateliers de taille. Dans ce contexte, la principale caractéristique qui permet de caractériser l'importance d'un matériau parmi les assemblages est vraisemblablement sa représentation globale (% du nombre). Toutefois, certains indices sont utiles pour caractériser les outils, tels que le ratio largeur/épaisseur (L/É) pour les bifaces et le poids moyen des outils et des nucléus.

La faible représentation d'outils complets indique leur transport à l'extérieur des lieux de production (Chalifoux et Burke 1995). La présence de nucléus permet néanmoins de suggérer que le matériau a été introduit sous forme brute sur le site et ainsi mettre le site directement en lien avec la zone d'acquisition (Inizan et al 1995). Pour documenter la transformation des assemblages du chert de la Minganie, le débitage constitue donc un bon allié, d'autant plus qu'il présente des populations beaucoup plus nombreuses que les outils. Le tableau XXXVIII présente néanmoins les caractéristiques générales des assemblages d'outils des sites de transformation initiale.

Tableau XXXVIII : Caractéristiques des assemblages d'outils des sites de transformation initiale du chert de la Minganie

Site	%N outils	Ratio outils Mingan vs autres	% outils complets	% outils avec cortex	% outils formels	Bifaces: longueur moyenne (cm)	Bifaces: poids moyen (g.)	Bifaces: ratio L/É	outils sur éclats; longueur moyenne (cm)	outils sur éclats; poids moyen (g.)	N. nucléus	nucléus: poids moyen	nucléus: % outils
EbCt-002 (cumulée)	96,67%	144/4	70,21%	65,96%	63,83%	3,60	11,96	3,30	3,25	8,92	50	86,13	34,72%
EbCv-015	85,71%	6/7	66,67%	33,33%	100,00%	4,58	20,30	1,79	1,94	1,40	6	18,47	50,00%
EbCu-002	100,00%	5/0	60,00%	20,00%	0,00%	NA	NA	NA	3,27	11,40	0	NA	NA

Dans un premier temps, et en relation avec l'assemblage des outils, le coefficient de fracturation semble permettre d'identifier l'intensité avec lequel ce matériau a été transformé (Plourde 1993). La forte représentation des outils complets récupérés sur les sites de transformation présentés semble témoigner de l'abondance de ce matériau et ne semble pas indiquer un degré d'utilisation intense ou encore une volonté de maximiser le potentiel d'utilisation des outils.

Pour le débitage, le pourcentage du poids total que constitue un matériau représente vraisemblablement l'attribut le plus marquant et le plus représentatif de l'importance de ce matériau parmi les assemblages. La très forte représentation du chert de la Minganie témoigne réellement de l'intensité de l'utilisation de ce matériau. Cette représentation parmi les assemblages devrait donc théoriquement décliner à mesure que l'on s'éloigne de la source du matériau. Le poids moyen des éclats complets permet aussi de documenter l'évolution des assemblages de débitage, en diminuant théoriquement au cours de la réduction (Bradbury et Carr 2004; Shott 2007). Pour les sites de transformation initiale, ce poids moyen oscille entre 0,442g et 0,779g. Le pourcentage d'éléments avec cortex semble aussi être un indicateur intéressant puisqu'un haut pourcentage tendra à indiquer une plus forte représentation des stades initiaux de réduction voire même la présence de blocs bruts sur le site (Dibble et al. 2005).

Le décompte des facettes de la plateforme du talon et des cicatrices dorsales permet d'identifier la représentation des stades de réduction (Magne 1985) et présente donc un certain intérêt pour la documentation de l'utilisation du chert de la Minganie à une échelle régionale. Nous proposons ici une version simplifiée afin de faciliter la présentation et la lecture des tableaux. Selon Bradbury et Carr (2004), le pourcentage d'éclats présentant deux facette et plus sur la plateforme de leur talon, et de ceux en comptant trois et plus sur leur face dorsale, indique assez bien la représentation des stades avancés de réduction. L'utilisation de ces valeurs aura essentiellement une valeur relative, mais permettra facilement les comparaisons. Ces données sont d'ailleurs assez similaires pour nos trois sites de transformation initiale et n'indiquent qu'une faible représentation des stades finaux de réduction. De la même façon, l'utilisation de groupes de classes de dimensions représentant les deux extrémités du spectre permet une représentation simplifiée de celles-ci et de leur importance. L'utilisation du pourcentage d'éléments de grandes dimensions (plus de 400 mm²) devrait par exemple être plus élevée à proximité de la zone source et sur

les lieux de transformation initiale où les activités de dégrossissage devraient être plus importantes (Chevrier 1986 dans Pintal 1990 : p.93).

Quant à la représentation de la stratégie de réduction bipolaire, associée à la transformation initiale des nodules, identifiée par la représentation de ce type d'éclats (Magne 1985) et par la représentation du nombre de débris dans les assemblages (Kuijt, Prentiss et Pokotylo 1985), elle devrait diminuer à mesure qu'on avance dans la chaîne opératoire. Le nombre de débris peut indiquer la présence de la stratégie de réduction bipolaire, mais est aussi, et de façon plus générale, associée au début de la séquence de réduction et au travail sur nucléus ou blocs (Sullivan et Rozen 1985). Le tableau XXXIX présente les caractéristiques des assemblages de débitage et d'outillage pour chacun des trois sites de transformation initiale présentés.

Tableau XXXIX : Chert de la Minganie, caractéristiques des assemblages de débitage des sites de transformation initiale

Site	% Poids total	Poids moyen (g)	% cortex	N.facettes 2 et plus	N.cicatrices 3 et Plus	< 50mm ² (%) du nombre	>400mm ² (%) du nombre	% Débris	% éclats bipolaires	% éclats bifaciaux	Coeff. de fracturation
EbCt-002 (Est)	99,80%	0,44	29,98%	21,24%	26,67%	73,68%	5,42%	11,63%	0,74%	25,07%	NA
EbCt-002 (Ouest)	99,93%	0,78	38,31%	14,04	24,71%	69,84%	8,21%	14,51%	1,85%	21,93%	NA
EbCt-002 (cumulée)	99,64%	0,61	34,18%	17,70%	25,70%	71,74%	6,83%	13,09%	1,30%	23,50%	1312,28
EbCv-015	97,88%	0,19	3,23%	19,38%	27,49%	87,17%	1,17%	5,70%	0,05%	22,16%	351,17
EbCu-002	100,00%	0,88	12,80%	12,38%	20,85%	62,16%	7,77%	22,27%	8,53%	21,20%	150,00

La caractérisation des caractéristiques des assemblages de débitage et d'outils permet de dresser un portrait général des activités de réduction initiale et les stratégies de réductions associées à l'utilisation du chert de la Minganie. On peut notamment y entrevoir l'influence de la présentation naturelle des nodules et les contraintes qu'ils imposent aux tailleurs qui les utilisent. En effet, la dimension initiale des outils produits est assez restreinte. Quant au débitage, une forte représentation des surfaces naturelles et la représentation élevée de la catégorie des débris semble caractériser et identifier les sites sur lesquels la transformation de blocs a pu avoir lieu. Dans un deuxième temps, l'identification de ces tendances pour les

sites de transformation initiaux fournit une base comparative pour étudier la représentation et la nature des assemblages du chert de la Minganie à l'échelle de la région. Il sera pertinent de documenter la progression de la représentation du chert de la Minganie en termes de proportion des assemblages à mesure que l'on s'éloigne de la source.

5.2.2- Le chert de la Minganie : de la source à la périphérie.

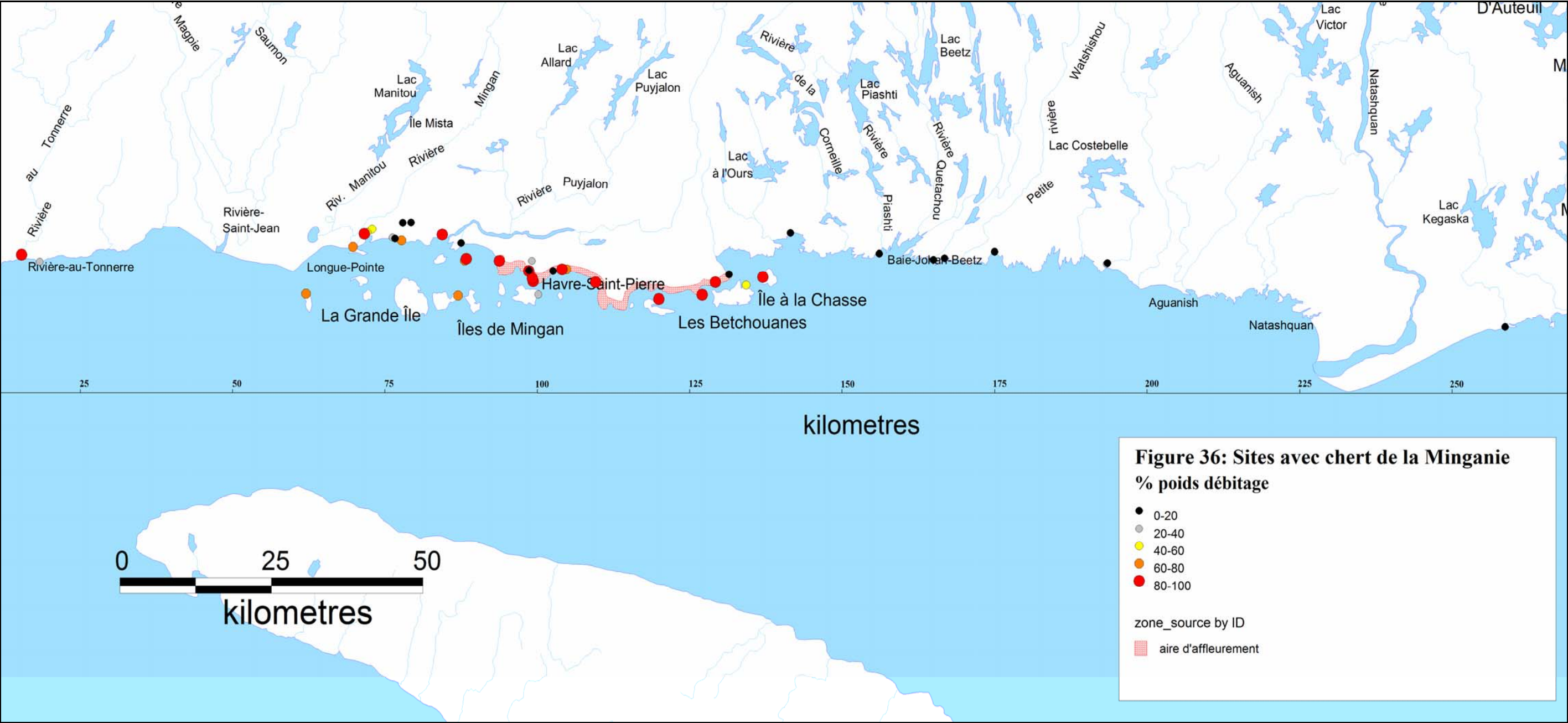
Le chert de la Minganie est le matériau qui bénéficie de la meilleure représentation à l'échelle de notre région d'étude. Un total de 47 sites témoigne de l'utilisation de ce matériau ce qui constitue 52,22% du nombre de sites analysé. Nous présentons dans la section suivante la représentation de ce matériau sur l'ensemble des sites de notre aire d'étude et tenterons d'en définir la distribution. La figure 36 identifie les sites pour lesquels le chert de la Minganie a été identifié parmi l'assemblage de débitage. La base de données « **assemblages de chert de la Minganie** », fournie en annexe, présente les caractéristiques des assemblages de débitage et de l'outillage de chacun d'eux.

Pour l'ensemble de présentation suivante, nous utilisons abondamment une série de concepts issus d'un modèle développé principalement par Renfrew (Renfrew et al 1968 dans Burke 2007; Renfrew 1977). En étudiant la distribution d'un matériau spécifique, une variété d'obsidienne, à une échelle régionale Renfrew et al. (1968 dans Burke 2007), ont mis en relation la représentation de ce matériau avec la distance qui sépare les gisements étudiés de la source. Cette approche permet de présenter de façon visuelle un ensemble de caractéristiques montrant rapidement et efficacement la distribution et la représentation d'un matériau à travers l'espace (Renfrew 1977). Cette méthode leur permettait non seulement de présenter visuellement leurs résultats, mais également démontre un ensemble de généralisations se basant sur leurs résultats. Principalement, ils identifient pour les secteurs à proximité de la source, une zone d'acquisition (*supply zone*), dans laquelle la représentation du matériau étudié est très élevée (Renfrew 1977; Renfrew et al 1968 dans Burke 2007 : p.74). À l'extérieur de cette zone d'acquisition, la représentation de ce

matériau diminue de façon très subite et exponentielle (*fall-off*), c'est le point de seuil de la représentation de ce matériau (Renfrew 1977). Nous avons employé cette approche pour étudier la représentation et la distribution spatiale du chert de la Minganie à l'échelle de notre région d'étude.

Les caractéristiques qui permettent le plus rapidement et le plus efficacement de représenter l'importance ou la représentation du chert de la Minganie pour les assemblages de la région sont celles de sa représentation globale au sein des assemblages de débitage et d'outils analysés. Certaines caractéristiques mettent aussi en lumière la séquence de réduction de ce matériau à travers l'espace. Particulièrement en ce qui a trait aux sous-produits issus de la transformation et des supports qui sont eux-mêmes en évolution à travers l'espace et à mesure que leur degré d'utilisation progresse (Shott 2007; Bradbury et Carr 2004; Magne 1985; 2001).

Figure 36 : Distribution des sites présentant des assemblages de débitage en chert de la Minganie

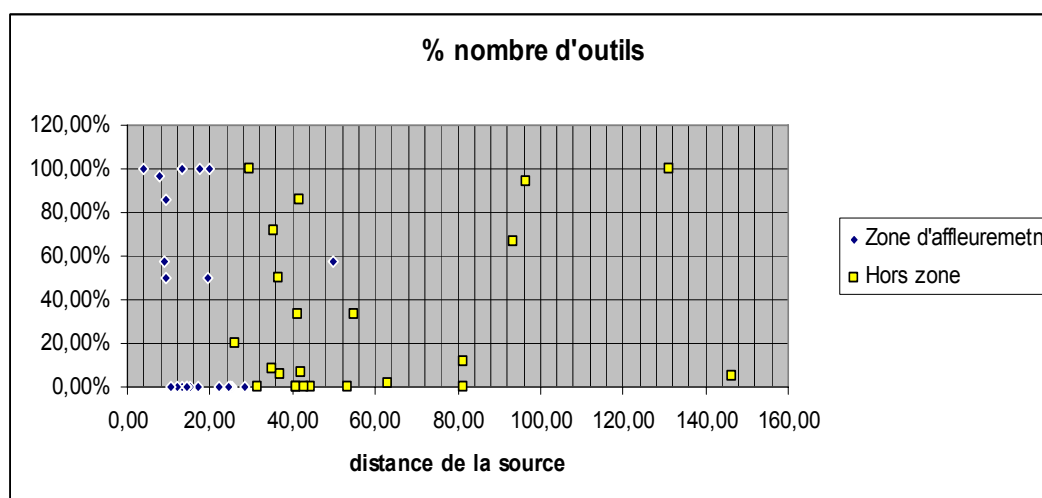


Six autres sites, situés entre 25 et 45 km de la zone d’affleurement, contiennent aussi une forte proportion d’élément en chert de la Minganie au sein de leurs assemblages.

Si la figure 37 illustre clairement qu’une concentration de sites, située essentiellement à moins de 45 km du centre de la région d’affleurement de ce matériau, bénéficie d’une représentation appréciable du chert de la Minganie dans leurs assemblages, elle indique également une chute rapide de la représentation de ce matériau lorsque la distance augmente au-delà de ce point. Ce point correspond bien au seuil du modèle de Renfrew (1977) et permet de délimiter la zone d’acquisition du chert de la Minganie. Deuxièmement, malgré la présence de sites nombreux et dont les assemblages sont fortement dominés par le chert de la Minganie, la zone d’affleurement contient aussi des sites où ce matériau est faiblement représenté. Finalement, non seulement la représentation du chert de la Minganie diminue drastiquement au-delà du point 45 km, mais le nombre de sites qui présentent des éléments en chert de la Minganie deviennent rares.

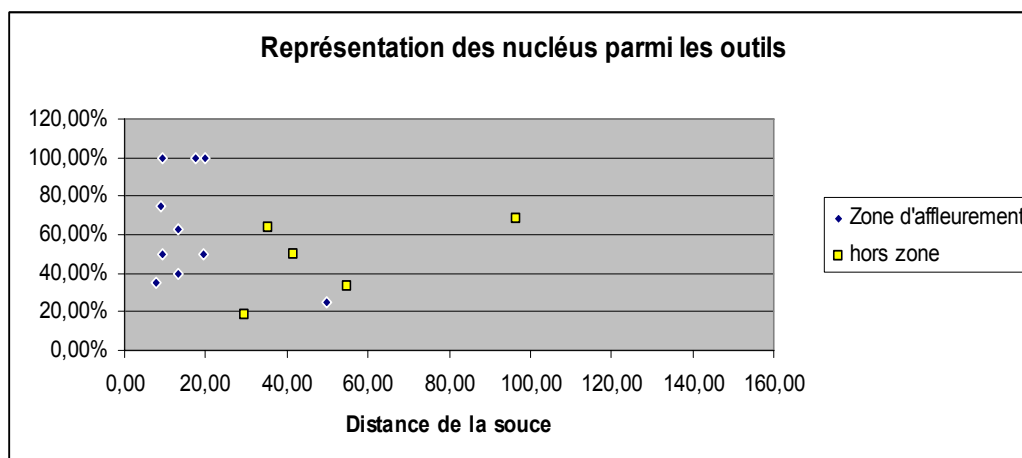
La représentation du chert de la Minganie au sein des assemblages d’outils suit un schème relativement similaire à celui du débitage. Elle diminue rapidement au-delà de la limite des 45 km. Sa diminution est toutefois moins drastique entre les distances de 45 et de 60 km. Les sites où les outils en chert de la Minganie dominent sont toutefois moins nombreux et cette différence par rapport au débitage peut témoigner d’un transport à l’extérieur de la zone d’affleurement de ces éléments.

Figure 38 : représentation des outils en chert de la Minganie



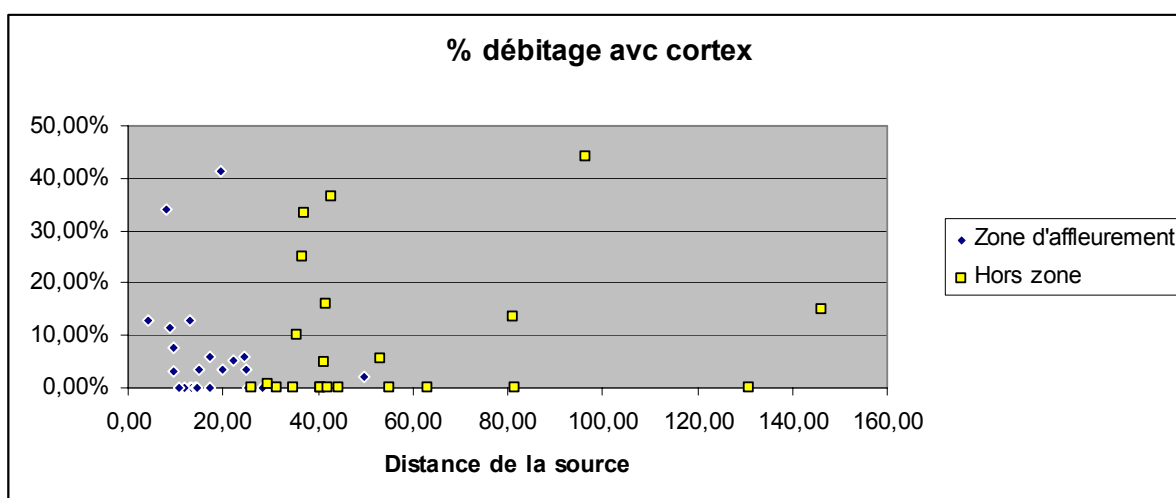
La représentation des nucléus parmi les assemblages d'outils diminue elle aussi drastiquement au-delà de la distance de 45 km, et même 20 km. Leur nombre devient rapidement très limité et, bien que les outils en chert de la Minganie soient susceptibles de se retrouver sur une distance considérable, la présence de nucléus sur les sites définit une région plus restreinte. On en retrouve néanmoins sur une distance considérable.

Figure 39 : Représentation des nucléus parmi les assemblages d'outils en chert de la Minganie.



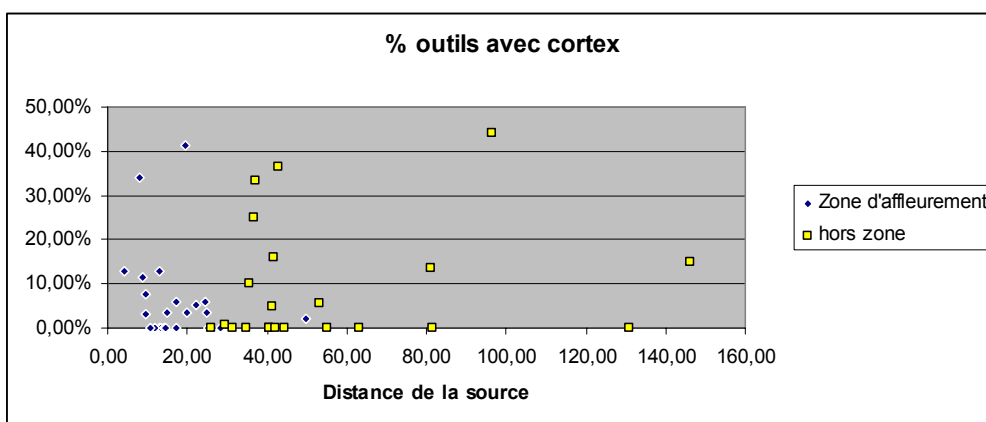
L'analyse des assemblages des sites de transformation initiale du chert de la Minganie avait démontré une représentation élevée d'éléments de débitage présentant des surfaces corticales. La figure 40 illustre la représentation des éléments corticaux parmi les assemblages de débitage pour l'ensemble de l'aire d'étude. La représentation de ces éléments semble se maintenir assez fortement pour un bon nombre de sites. Assez étonnamment, la représentation des surfaces corticales parmi les éléments de débitage n'est pas plus élevée dans la zone d'affleurement. La forte représentation des surfaces corticales parmi les assemblages semble donc être un élément diagnostique de l'utilisation du chert de la Minganie et constitue un attribut de ces assemblages virtuellement invariable, sans rapport avec l'éloignement de la source.

Figure 40 : Chert de la Minganie, représentation des éléments corticaux parmi les éléments de débitage.



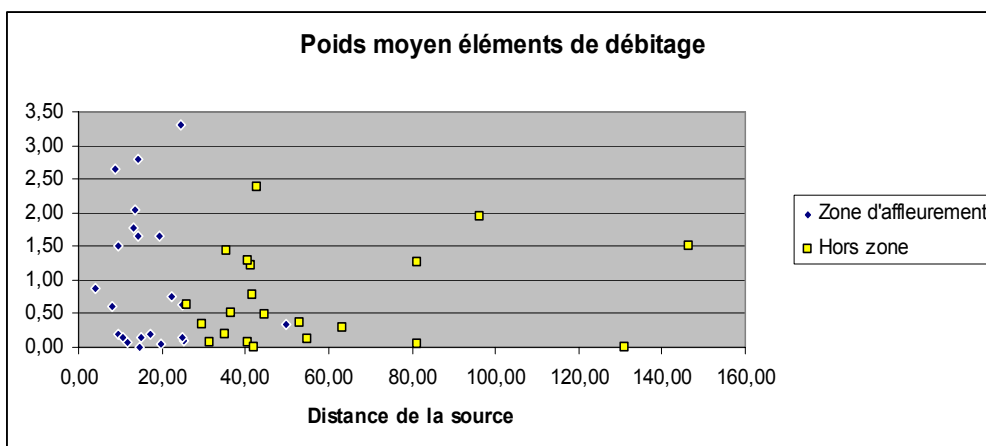
La proportion d'outil portant des surfaces corticales s'est également avéré assez élevé sur les sites de transformation initiale. Elle se maintient plus fortement que pour celle des éléments de débitage avec l'éloignement (voir figure 41). Elle semble donc être une caractéristique inhérente des assemblages de chert de la Minganie, liée à la nature du matériau et non seulement aux étapes initiales de réduction.

Figure 41 : Représentation des outils avec surfaces corticales pour le chert de la Minganie.



Le poids moyen des éclats complets diminue rapidement lorsque la distance de 45 km est franchie (voir figure 42). Toutefois, sur une quantité importante de sites, le poids moyen ne semble pas plus élevé que pour les sites situés à l'extérieur de la zone d'affleurement et même ceux situés à des distances importantes. Le poids moyen des éléments de plusieurs sites est beaucoup plus élevé que pour les sites de transformation initiale que nous avons présentés, où il est toujours inférieur à 1 g.

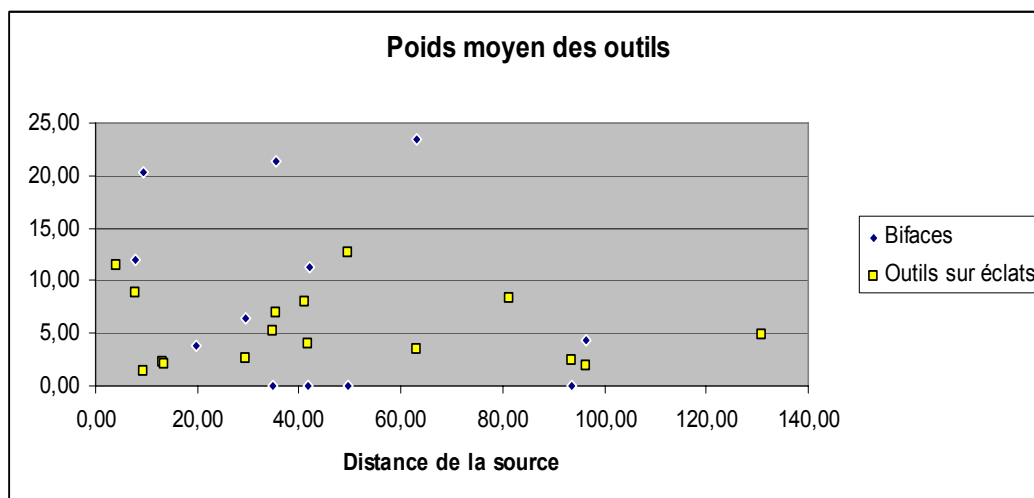
Figure 42 : Poids moyen des éléments de débitage en chert de la Minganie



Le poids moyen des différentes catégories d'outils tend également à démontrer que la dimension générale des outils, exprimée par leur poids moyen, diminue avec l'éloignement

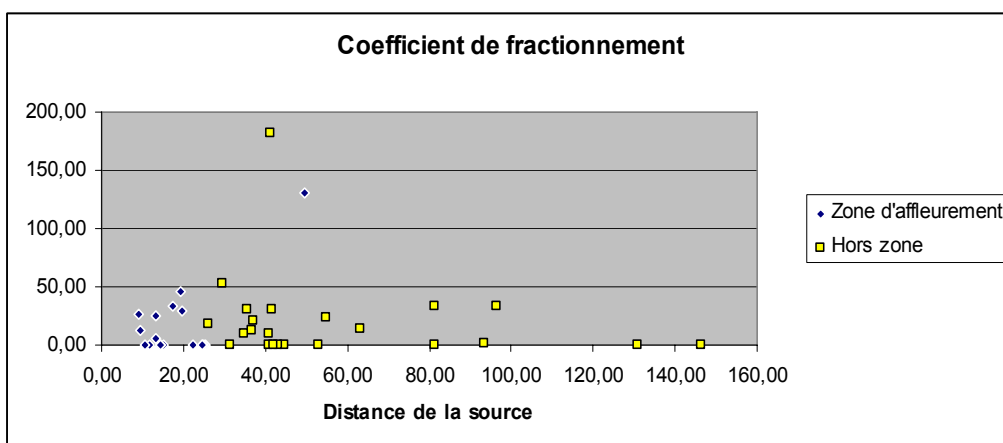
de la source. Toutefois, un nombre élevé de sites ne permet pas de mesurer ces valeurs puisqu'ils ne présentent aucun outil ou encore aucun outil complet. Cette diminution du poids moyen semble plus clairement exprimée par la catégorie des pièces bifaciales.

Figure 43: Distribution des poids moyens pour la catégorie des bifaces et des outils sur éclats par site



Finalement, le coefficient de fractionnement, qui indique le nombre d'éléments de débitage récupéré pour chaque outil présent, se maintient à l'échelle de la région, quelle que soit la l'éloignement de la source (voir figure 44). Notez que les sites de transformation initiale que nous avons présentés ont été retirés de cette figure, car ils déformaient beaucoup trop la présentation de celle-ci. Pour ces sites, le coefficient de fractionnement du chert de la Minganie est beaucoup plus élevé avec 1312,28 pour le site EbCt-002, 1086 pour le site EbCv-015 et 150,0 pour le site EbCu-002. Ces hauts coefficients tendent à démontrer un effort de taille plus soutenu et vraisemblablement la production d'un certain nombre d'outils qui ont été emportés ailleurs.

Figure 44 : Coefficient de fractionnement pour le chert de la Minganie



En termes de représentation des différentes catégories d'outils, le chert de la Minganie est sans conteste le matériau pour lequel la catégorie des nucléus est la mieux représentée, avec plus du tiers des outils récupérés. Cette forte abondance est vraisemblablement associée à un travail relativement intense de ce matériau à l'intérieur de notre aire d'étude, mais également à la faible dimension des nodules desquels sont tirés les supports utilisés pour confectionner les outils.

Tableau XL : Représentation des différentes catégories d'outils pour le chert de la Minganie.

Type d'outils	Nombre	% nombre
Biface	82	30,15%
Unifaces	88	32,35%
Nucléus	102	37,50%
Total Chert Mingan	272	100,00%

Autrement, la production d'outils en chert de la Minganie est caractérisée par une production diversifiée où les pièces bifaciales et unifaciales, ou sur éclats, bénéficient d'une représentation similaire. Le tableau XLI présente la représentation des différentes catégories fonctionnelles des outils en chert de la Minganie en excluant la catégorie des nucléus. La production d'outils est aussi caractérisée par une représentation considérable

d'outils informels ou dits « expéditifs » avec 37,64% du nombre total d'outils, en excluant les nucléus du calcul. Parmi ces outils on retrouve principalement les éclats utilisés/retouchés qui sont la catégorie d'outils la mieux représentée pour le chert de la Minganie avec un nombre total de 39 pour 22,94% des outils (toujours en excluant les nucléus).

Tableau XLI : Représentation des différentes catégories fonctionnelles parmi les outils en chert de la Minganie.

Type d'outils	Catégorie fonctionnelle	Nombre	% nombre
Biface	Pointe de projectile	9	5,29%
	Couteau	17	10,00%
	Biface	24	14,12%
	Préforme bifaciale	12	7,06%
	Ébauche bifaciale	20	11,76%
Total Biface		82	48,24%
Unifaces	Grattoir	21	12,35%
	Racloir	3	1,76%
	É.utilisé/retouché	39	22,94%
	Coin	9	5,29%
	Indéterminé	16	9,41%
Total Unifaces		88	51,76%
Total Chert Mingan		170	100,00%

L'assemblage d'outils en chert de la Minganie témoigne également d'une assez forte représentation d'outils complets. Seulement 41,46% des pièces bifaciales récupérées en chert de la Minganie sont fracturées et 29,54% des outils sur éclats. Sur une base préliminaire, ces proportions nous semblent peu élevées et seront comparées aux assemblages des autres matériaux. Comme pour les assemblages des sites de transformation initiale, ces faibles taux de fracturation semblent ne pas témoigner d'un effort de conservation très intense des outils confectionnés en chert de la Minganie. Le tableau XLII présente les poids moyens pour chaque catégorie fonctionnelle d'outils et permet également de poser certaines bases qui seront utilisées pour comparer les productions d'outils réalisées pour les autres matériaux identifiés.

Tableau XLII : Poids moyen des outils complets en chert de la Minganie

Type d'outils	Catégorie fonctionnelle	Poids moyen	Nombre d'outils complets
Biface	Pointe de projectile	2,35	4
	Couteau	7,74	17
	Biface	15,23	7
	Préforme bifaciale	8,94	5
	Ébauche bifaciale	20,54	15
Total Biface		12,51	48
Unifaces	Grattoir	3,21	16
	Racloir	3,95	2
	É.utilisé/retouché	4,84	26
	Coin	10,97	7
	Indéterminé	9,94	9
Total Unifaces		7,60	60
Nucléus	Nucléus	55,83	72
Total Nucléus		55,83	72
Total Complet		27,98	182

De façon générale, l'analyse de la distribution du chert de la Minganie illustre assez clairement un déclin rapide de la représentation du chert de la Minganie parmi les assemblages de débitage et d'outillage. La distance de 45 km à partir du centre de la zone d'affleurement semble constituer un point de rupture au-delà duquel on ne retrouve que très peu d'éléments de ce matériau. On peut donc observer la présence d'une zone d'acquisition à l'intérieur de laquelle le chert de la Minganie bénéficie d'une représentation appréciable, et d'un effet de seuil à partir duquel le chert de la Minganie devient beaucoup moins représenté. Toutefois, certaines anomalies sont également présentes parmi cette distribution.

Certains sites cadrent toutefois assez mal avec le bilan dressé jusqu'ici. Premièrement, en ce qui a trait aux outils, certains sites présentent des proportions d'outils en chert de la Minganie qui sont beaucoup plus élevées que pour les autres sites situés à une distance équivalente. Ces sites sont EbCj-001, EbDe-001 et -002. Réglons rapidement le cas du site EbCj-001. Il s'agit d'un site éloigné de 131 km du point zéro, situé en bordure de la rivière Natashquan, pour lequel un seul élément a été récolté. L'outil récupéré s'avère être un racloir en chert de la Minganie. Bien que la présence d'un outil confectionné en ce matériau à cette distance soit notable, un seul objet ne permettant pas de développer sur la

représentation du chert de la Minganie pour ce site. Les sites EbDe-001 et -002 sont tous deux associés au secteur archéologique de Rivière-au-Tonnerre. Le site EbDe-002 présente une proportion de 39,44% du poids total du débitage et 66,67% du nombre d'outils, toutefois il ne s'agit que d'un petit site d'inventaire et seulement deux éclats sont effectivement attribuables au chert de la Minganie. Parmi les outils, deux éclats retouchés, taillés dans le chert de la Minganie y ont été récupérés et attestent du transport d'outils sur d'assez grandes distances. Il est également intéressant de noter que ces deux outils présentent des portions corticales.

Le site EbDe-001 représente quant à lui un site qui fait réellement exception et pour lequel la forte représentation du chert de la Minganie ne peut être mise en doute par la taille de l'assemblage. Au total, 527 éclats et 16 outils taillés dans ce matériau y ont été mis au jour. Le chert de la Minganie compose 99,91% du poids total de l'assemblage de débitage et 94,12% du nombre d'outils. Parmi ces 16 outils, 11 sont des nucléus ou fragments de blocs et constituent 68,75% de l'assemblage des outils. La présence d'un tel nombre de blocs et nucléus sur le site implique vraisemblablement leur transport depuis la zone d'affleurement et leur transformation de ce matériau à partir de blocs bruts. La séquence de réduction commence donc sur ce site à une distance de plus de 75 km de la zone d'acquisition du chert de la Minganie.

Le débitage de ce site présente un poids moyen pour les éléments complets élevé avec 1,95g et une forte représentation d'éléments corticaux avec 44,21% du nombre total. Ces données s'accordent bien avec la proposition que les étapes initiales de réduction aient bien été effectuées sur le site. La forte représentation de débris de taille (21,44%) et l'attribution de 12,52% des éléments à la taille bipolaire semblent d'ailleurs confirmer que la réduction initiale des blocs s'est bien opérée sur ce site. La représentation des stades de réduction, quant à elle, semble suggérer que les étapes finales de la production d'outils a aussi eu lieu sur ce site. Le nombre d'éléments portant trois cicatrices dorsales ou plus, avec 46,25%, semble le confirmer. Ce site, malgré son éloignement, partage donc plusieurs

caractéristiques avec ceux identifiés comme sites de transformation initiale et constitue donc réellement une anomalie en termes de la distribution et de la représentation du chert de la Minganie dans les assemblages de la région. Les sites avec une grande proportion de chert de la Minganie qui sont au-delà de la zone d'acquisition de 45 km sont importants car ils tendent à indiquer la limite maximale d'une utilisation intensive de ce matériau et donc vraisemblablement du territoire fréquenté et occupé par le groupe associé à l'utilisation de ce matériau.

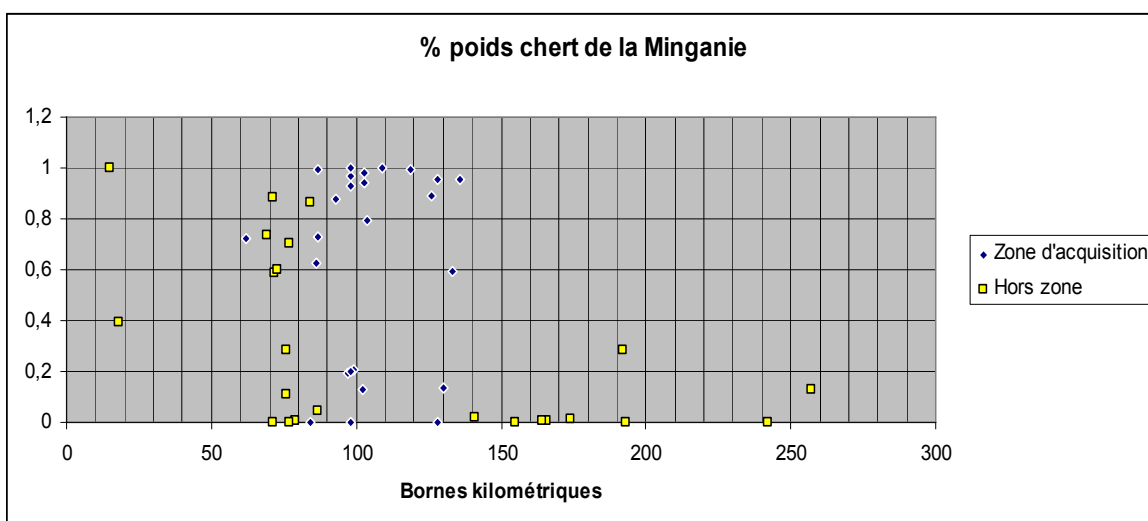
Malgré ces « irrégularités », la représentation du chert de la Minganie au sein des assemblages suit un schème correspondant à l'effet de seuil (Renfrew 1977) au-delà duquel ce matériau ne figure que peu ou pas. Les nucléus sont en général très rares, à l'exception de certains sites, qui sont EbDe-001 dont nous venons de traiter et les sites EbCx-003 et EbCx-017. Ces sites, situés dans le secteur archéologique de Mingan, sont respectivement distants de 35,56 km et de 41,69 km du point zéro, donc à approximativement 20 km de la limite ouest de la zone d'acquisition. Ces sites présentent des assemblages de débitage en chert de la Minganie similaire à celui de EbDe-001, notamment en ce qui concerne le nombre de débris et la stratégie de réduction bipolaire. Ils semblent donc présenter toutes les étapes de la transformation du chert de la Minganie à partir de blocs bruts et impliquent le transport de blocs à l'extérieur de la zone d'affleurement.

La présence de ces anomalies a attiré notre attention sur un aspect qui n'a pas réellement été pris en compte jusqu'ici par le modèle de Renfrew (1977). Il s'agit de la direction de mouvement. Nous présentons ici une façon de représenter la distribution des matériaux à travers l'espace, à l'aide d'un système arbitraire de bornes kilométriques qui traversent notre région d'étude d'ouest en est. Ce système permet de mettre l'ensemble des sites en relation les uns avec les autres à l'échelle de la région et s'avère particulièrement adapté pour la représentation de la distribution des matériaux dont on ne connaît pas la source. Ce système de bornes kilométriques (voir figure 25 : sites analysés de l'aire d'étude en page

117) se répartit donc sur un peu plus de 250 km linéaires de côte. La zone d'acquisition présumée se situe entre les bornes 90 et 135 km.

Lorsque l'on représente la représentation du chert de la Minganie en relation avec la distance qui sépare les sites de la zone d'affleurements selon notre système de bornes kilométriques une nouvelle dimension de cette variabilité est documentée. On peut maintenant y observer non seulement la distance qui sépare le site de la zone d'affleurement, mais également la direction de celle-ci.

Figure 45 : Représentation du chert de la Minganie pour les assemblages de débitage, en fonction du système de bornes kilométriques



La lecture de la figure précédente illustre de façon assez nette que la représentation du chert de la Minganie parmi les assemblages de débitage se maintient mieux en direction ouest, vers le secteur archéologique de Mingan. Plusieurs sites compris entre les kilomètres 70 et 80, qui correspondent essentiellement au secteur archéologique de Mingan, présentent de fortes proportions de chert de la Minganie parmi leurs assemblages. Plus loin vers l'ouest encore, dans le secteur de Rivière-au-Tonnerre, se trouve le Site EbDe-001 qui est composé

à près de 100% par le chert de la Minganie et dont les caractéristiques de ses assemblages de débitage et d'outillage témoignent d'un travail effectué à partir de blocs bruts.

La distance ne semble donc pas être le seul facteur permettant d'expliquer la variation que l'on observe dans la représentation des matières premières. Avant d'interpréter une directionnalité pour dont la distribution du chert de la Minganie, un second facteur, celui de la présence d'une autre source de matériau doit être pris en compte. Effectivement, la source d'un autre matériau fortement représenté parmi les assemblages de notre aire d'étude, le quartzite EbCp, se trouve à l'est de l'aire d'acquisition du chert de la Minganie telle que définie. La présence de cette source de matériau peut influencer la distribution du chert de la Minganie sur la côte, mais un autre facteur, la présence et l'utilisation du territoire par un groupe voisin peuvent également influencer sa circulation. Cette question sera abordée plus en détail au chapitre 6.

Si la présentation de ces données indique assez clairement que le chert de la Minganie ne bénéficie d'une représentation appréciable que sur un territoire relativement limité. Le nombre important de sites (N=47 sur 90) sur lesquels il figure permettent néanmoins de le considérer dorénavant comme un matériau dont la présence est récurrente, voir caractéristiques des sites situés entre Mingan et la rivière de la Corneille. Le chert de la Minganie joue vraisemblablement un rôle important dans le système technologique et l'organisation de la technologie lithique des groupes qui occupent le territoire Minganien.

Chapitre 6- Les autres matériaux représentés.

Avec ce chapitre, nous présentons un ensemble de matériaux qui caractérisent également les assemblages préhistoriques de notre région d'étude. Parmi ces matières premières, deux, les quartzites EbCp et Noui, sont d'origine locale ou régionale et bénéficie d'une représentation considérable parmi les assemblages régionaux. La représentation et la distribution des matériaux de provenance exotique y sont également présentés de même que l'identification de réseaux d'échange et de circulation des matières premières lithique. À l'intérieur de cette thématique le cas du quartzite de Ramah, sera présenté plus en détails.

6.1- Le quartzite EbCp.

Le « quartzite EbCp » constitue le deuxième matériau le mieux représenté parmi l'assemblage de sites qui ont été analysés. Il figure sur 39 sites, soit 43,33% de leur nombre. On y recense 7273 éléments de débitage en ce matériau pour 22,09% du nombre total et 22,13% du poids total de cette classe d'objets. C'est 98 outils taillés dans ce matériau ont été recensés, pour 17,07% du nombre total d'outils et 41,92% du poids total de cette classe d'objets. Si le « quartzite EbCp » arrive au deuxième rang en termes de nombre d'outils, il constitue néanmoins la variété de matière première qui témoigne du poids cumulé le plus important. Cette caractéristique est une conséquence directe de la nature de cette pierre et de la dimension des outils qui ont été produits à partir d'elle.

La provenance géologique exacte de ce matériau n'est toujours pas définie avec précision, mais un certain nombre d'éléments permettent d'en identifier la région de provenance. Dans un premier temps, nous avons mentionné au chapitre 4 que la prospection géologique que nous avons effectuée dans le secteur de la Crête blanche, située légèrement à l'est du village de Baie-Johan-Beetz, avait permis de documenter la présence d'un matériau qui, sur

une base visuelle, présente d'importantes similarités avec les objets archéologiques que nous avons analysés. Ce quartzite, associé au complexe d'Aguanish (Brisebois et Clark 2003 : carte 5) ou au groupe de Davy (Indarès et Martignole 1993 : carte 1; Longley 1944 : carte 1, unité 1), se répand sur un territoire considérable et présente vraisemblablement des caractéristiques visuelles et une qualité variable en fonction des localités. Codère identifie d'ailleurs le groupe de Davy comme une source potentielle de quartzite (Codère 1999 : p.5).

Les données archéologiques sont aussi vraisemblablement susceptibles d'aider à préciser la provenance du matériau en indiquant la région géographique où celui-ci bénéficie d'une très forte représentation. Nous avons donné sur une base préliminaire le nom de « quartzite EbCp » à un matériau qui semblait fortement dominer les assemblages archéologiques provenant du secteur archéologique des rivières Corneille, Piashti et Watshishou et particulièrement ceux provenant du quadrilatère Borden EbCp. Cette intuition allait être renforcée par la présence d'un site important dans ce secteur, le site EbCp-002, qui avait été interprété comme un atelier de taille (Somcynsky 1990a) sur lequel une ou plusieurs variétés d'un quartzite local ont été taillées abondamment (Somcynsky 1990a : p.54). Notre analyse d'une portion de l'assemblage de ce site allait renforcer notre hypothèse voulant que la provenance de ce matériau, ou du moins sa région source, puisse se trouver à proximité. La présence de nombreux blocs et nucléus aux dimensions et au poids imposants présents dans cet assemblage tendait aussi à suggérer que la provenance de ce matériau ne soit pas très éloignée.

Le « quartzite EbCp » présente des caractéristiques visuelles assez variables. Cette catégorie peut donc potentiellement amalgamer un certain nombre de variétés ou provenances (localités). Cependant, un bon nombre de caractéristiques ont permis son identification à plusieurs reprises et sur un nombre important de sites. Cette catégorie nous semble réellement significative et suffisamment robuste pour la poursuite de nos objectifs.

Figure 46: Quartzite EbCp,
nucléus EbCp002.255
provenant du site EbCp-002

Il s'agit d'un quartzite dont la dimension des grains varie de moyenne à grossière et lui donne une texture rugueuse. C'est un quartzite massif, se présentant sous forme de lits ou lentilles importantes,



puisque celui-ci présente généralement des surfaces naturelles (surfaces corticales) au relief plat de même que de fréquentes surfaces de joints ou diaclases. Toutefois, des spécimens portant des surfaces corticales arrondies ont aussi été recensés et témoignent d'un approvisionnement occasionnel de ce matériau sous forme de galet, au sein de dépôts secondaires. La couleur dominante de celui-ci est le gris (code Munsell #12, N7), mais avec une variabilité importante pour cet attribut. Les variétés les plus fréquentes témoignent d'une gradation de couleurs qui le fait passer de grisâtre (#11 : N8), à gris-brunâtre (#22 : 5YR 6/1) ou rosâtre (#21 : 5YR 8/1, #181 : 5YR 7/2), à un gris plus foncé (#14 : N5). Malgré sa variabilité de couleur, ce quartzite présente toujours des inclusions de type minérales foncées de couleur brune. Par endroits on peut aussi observer des concentrations de grains de quartz de plus grandes dimensions qui forment des yeux ou encore de minces lits au sein d'une matrice de grains plus fins.

Nous débuterons cette portion de notre présentation qui traite de la distribution et de l'utilisation du quartzite EbCp en présentant les données provenant du site EbCp-002 qui constitue un atelier de taille de ce matériau, vraisemblablement situé à proximité de la source de ce matériau. De la même façon que pour le chert de la Minganie, cette stratégie

permet de documenter les caractéristiques initiales des objets produits et des assemblages de débitages représentant les stades initiaux de réduction.

6.1.1- L'atelier de la Baie Ponbriand, le site EbCp-002.

Le site EbCp-002 a été inséré rapidement dans son contexte régional au chapitre 2. Il constitue le seul site fouillé pour le secteur archéologique des rivières Piashti, Watshishou et Corneille. Une fouille relativement étendue de l'espace productif du site aura permis le dégagement de 205,75 m² (Somcynsky 1990a). La fouille s'est répartie sur trois espaces contigus et a fourni un assemblage important d'éléments de débitage et d'outils confectionnés dans un « quartzite local » (Somcynsky 1990a : p.53). Un total de 106 603 éléments de débitage et 242 outils y ont été récoltés (Somcynsky 1990a : p.52). Comme ce matériau que Somcynsky appelle le quartzite local s'avère être le « quartzite EbCp », l'assemblage lithique livré par ce site présentait un potentiel intéressant pour préciser la nature et la présentation de ce matériau de même que pour documenter les étapes initiales de réduction de celui-ci.

Pour ces raisons nous avons sélectionné un échantillon relativement important d'éléments afin de nous attaquer à ces questions. Bien qu'il s'agisse d'un site aux dimensions imposantes et qui a permis la mise au jour d'un nombre important d'artéfacts, la compréhension de cet espace n'est que très limitée et les interprétations voulant qu'il constitue un atelier de taille reposent principalement sur le nombre élevé d'éléments qui ont été récoltés (Somcynsky 1990a). Parmi les trois secteurs définis par Somcynsky (1990a), pour aucun de ceux-ci n'est identifiée la présence de structures d'aménagements ou de concentrations d'artéfacts significatives. Face à cette situation et à l'abondance d'éléments récupérés, nous avons effectué un échantillonnage aléatoire sur les zones 1 et 2 qui constituent vraisemblablement des aires de taille importantes du matériau local (Somcynsky 1990a). La zone 1 a livré 15 775 éléments de débitage et la zone 2, 90 203 (Somcynsky 1990a : p.48). L'échantillonnage de chacune de ces zones a permis de sélectionner un

échantillon approximatif de 2000 éléments pour la zone 1 et de 3000 éléments provenant de la zone 2 pour un total approximatif de 5000 éléments de débitage. Ces éléments proviennent de quadrants sélectionnés de façon aléatoire en fonction de la sélection de leur numéro de catalogue à l'aide d'une table de nombre aléatoire (Scherrer 1984 : p.790). La zone 3 quant à elle, ne livrant que 625 éléments de débitage, a été analysée dans son ensemble. Quant à l'assemblage des outils, 60 ont été sélectionnés de la même manière parmi les 240 provenant des zones 1 et 2 (25% du nombre), sans égard quant à leur provenance et les deux outils de la zone 3 ont été analysés.

Pour le secteur de l'atelier, les zones 1 et 2, ce sont donc un total de 4911 éléments de débitage qui ont été sélectionnés et analysés. Le matériau local (notre « quartzite EbCp ») que Somcynsky appelle le quartzite grossier (Somcynsky 1990a : p.53) constitue la grande majorité de l'assemblage de débitage avec 93,15% du poids total pour la zone 1 et 97,63% pour la zone 2. Les tableaux XLIII et XLIV présentent la représentation des différentes matières premières qui ont été identifiées sur chacun de ces secteurs.

Tableau XLIII : EbCp-002, zone 1, représentation des matières premières pour le débitage

Zone	Matériau	Nombre	% nombre	Poids	% poids
EbCp-002 (zone 1)	Quartzite EbCp	1790	88,88%	641,1	93,15%
	Chert "La Romaine"	4	0,20%	0,2	0,03%
	Chert Mingan	65	3,23%	19,2	2,79%
	Quartzite de Ramah	34	1,69%	2,1	0,31%
	Quartz hyalin avec inclusions brunes	121	6,01%	25,65	3,73%
Total EbCp-002 (zone 1)		2014	100,00%	688,25	100,00%

Tableau XLIV : EbCp-002, zone 2, représentation des matières premières pour le débitage

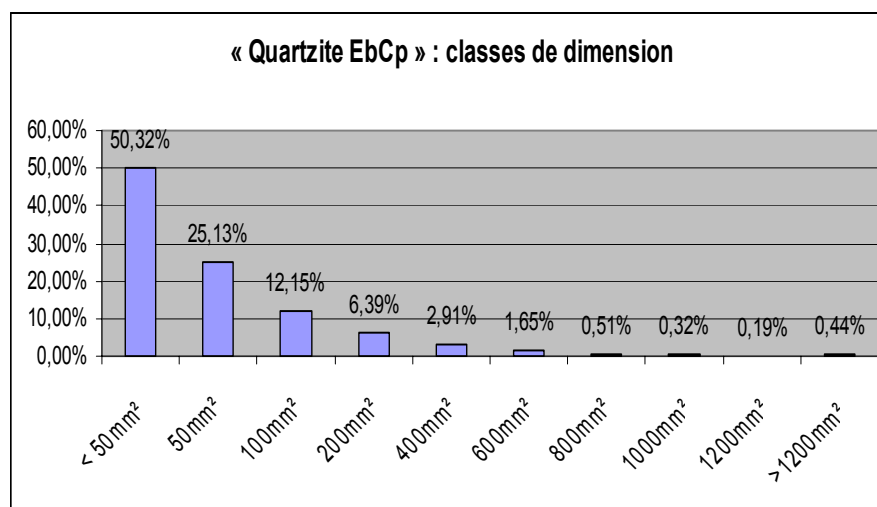
Zone	Matériau	Nombre	% nombre	Poids	% poids
EbCp-002 (zone 2)	Quartzite EbCp	2636	90,99%	859,15	97,63%
	Chert "La Romaine"	2	0,07%	0,1	0,01%
	Chert Mingan	1	0,03%	0,05	0,01%
	Quartzite de Ramah	23	0,79%	1,5	0,17%
	Chert gris moutonné	1	0,03%	0,1	0,01%
	Chert Mauve	2	0,07%	0,15	0,02%
	Chert rhyolitique noir	17	0,59%	1,15	0,13%
	Chert vert lustré	9	0,31%	0,55	0,06%
	Mudstone gris marbré	5	0,17%	0,5	0,06%
	Quartz hyalin avec inclusions brunes	88	3,04%	9,1	1,03%
	Quartz laiteux	7	0,24%	0,35	0,04%
	Quartzite fin de Kégashka	100	3,45%	6,8	0,77%
	Quartzite grossier "poivre et sel"	6	0,21%	0,5	0,06%
	Total EbCp-002 (zone 2)	2897	100,00%	880	100,00%

Le nombre relativement élevé de variétés de matières premières qui ont été identifiées sur ces zones tendent à soutenir que ces secteurs ne correspondent pas exclusivement à des lieux de transformation du quartzite EbCp. Tout de même, la forte domination du quartzite EbCp tend à soutenir la proposition initiale voulant que ces secteurs constituent des ateliers de taille (Somcynsky 1990a), des lieux de transformation initiale du quartzite local. Nous nous attarderons ici à l'assemblage composé par le « quartzite EbCp » et sur ses caractéristiques générales afin de documenter les étapes initiales du processus de réduction de ce matériau. Nous présenterons de façon conjointe les assemblages des zones 1 et 2.

L'assemblage de débitage présente des éléments attribuables à l'ensemble des classes de dimensions que nous avons définies. La figure 47 montre que malgré la présence d'éléments de bonne dimension (classes 4 et supérieures, soit plus de 400 mm²), l'assemblage est dominé par des éléments de petites dimensions avec 75,45% du nombre. Toutefois, à l'instar du site EbCt-002, ces proportions sont presque inversées lorsque l'on analyse la contribution des classes de superficie au poids total de l'assemblage. Selon cette

mesure, les éléments les plus petits ne composent que 12,39% du poids total et ceux de plus de 400 mm² y cumulent alors 69,05% du poids total. Cette forte représentation pondérale des éléments de grande dimension caractérise généralement les assemblages pour lesquels le dégrossissage est plus important que le façonnage (Chevrier 1986 dans Pintal 1990 : p.93), donc pour lesquels les stades initiaux de réduction caractérisent le mieux l'assemblage. Finalement, le poids moyen des éléments complets taillés en quartzite EbCp sur le site est légèrement inférieur à ceux en chert de Minganie sur son atelier respectif (EbCt-002) avec 0,457g comparativement à 0,608g.

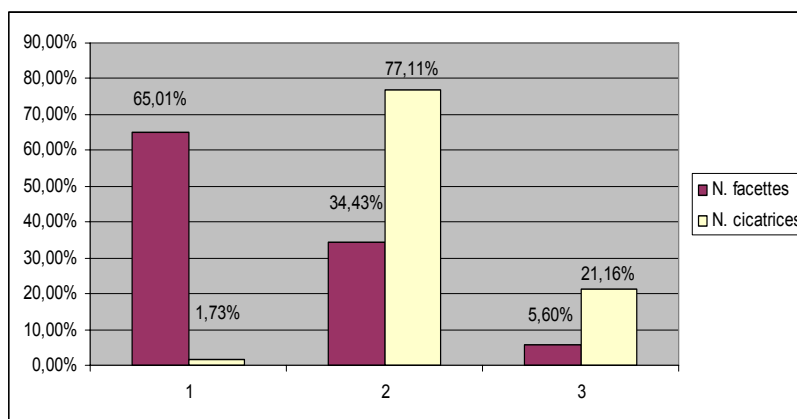
Figure 47 : EbCp-002 zones 1 et 2, distribution des classes de dimension « quartzite EbCp » (% nombre)



L'analyse de la représentation des stades de réduction, tel qu'exprimée à la figure 48, par le décompte du nombre de facettes de la plateforme du talon et des cicatrices dorsales, semble aussi indiquer que les stades initiaux de réduction sont bien représentés sur le site. La représentation du stade initial de réduction est particulièrement bien illustrée par la représentation du nombre de facettes de la plateforme du talon, tandis que le nombre de cicatrices sur la face dorsale des éclats tend quant à lui à identifier le stade intermédiaire comme le mieux représenté. De façon conjointe, ces deux variables indiquent toutefois une assez faible représentation des stades finaux de réduction. Un certain nombre d'éléments

témoigne néanmoins de la présence des stades finaux et donc de la finition d'outils sur le site. La finition de ces outils sur le site semble expliquer en partie la forte représentation du nombre d'éléments de petite dimension sur le site.

Figure 48 : EbCp-002 zone 1 et 2, représentation des stades de réduction



La catégorie d'éléments de débitage composée par les débris bénéficie d'une représentation appréciable sur le site avec 9,44% du nombre total. Cette forte représentation du nombre de débris n'est toutefois pas dans ce cas-ci reliée à l'utilisation sur le site de la stratégie de réduction bipolaire puisque seulement 0,02% des éléments présentent des stigmates généralement associés à la réduction bipolaire. Cette forte représentation des débris semble donc simplement attribuable à un travail relativement intensif de la pierre associé au stade initial de réduction et au travail effectué à partir de blocs ou de nucléus (Sullivan et Rosen 1985 : p.68). Bien que plusieurs caractéristiques de l'assemblage de débitage soutiennent la domination des stades initiaux et intermédiaires de réduction sur le site, un nombre très limité d'éléments (0,64% du nombre) présentent des surfaces naturelles. Cette caractéristique de l'assemblage semble témoigner de caractéristiques propres à la nature du matériau (Dibble et al. 2005; Andrefsky 1998). Les éléments qui présentent du cortex sont donc beaucoup moins fortement représentés pour le « quartzite EbCp » que pour le chert de la Minganie, même pour les assemblages qui témoignent des stades initiaux de réduction et de la réduction de blocs bruts. La représentation de cet attribut s'avère donc

vraisemblablement être un indice moins probant de la progression de la réduction et de la réduction initiale pour ce matériau.

Quant aux outils, la représentation du quartzite EbCp est sensiblement moins élevée que le débitage dans son ensemble, avec une représentation de 76,56% contre 93,80%. Les matériaux autres que le quartzite EbCp qui composent l'assemblage des outils témoignent de la réalisation d'une variété d'activités sur le site et non seulement d'activités de réduction du quartzite EbCp. Rendre compte de ces activités et présenter l'utilisation respective de ces autres matériaux permettrait sans doute d'obtenir une meilleure compréhension de l'utilisation de cet espace et de l'utilisation spécifique du « quartzite EbCp », mais serait trop long et quelque peu hors de notre objectif.

Tableau XLV : Représentation des matières premières parmi l'outillage des zones 1 et 2 du site EbCp-002

Mtériaux	Nombre	% nombre
Quartzite EbCp	49	76,56%
Chert brun carbonaté	1	1,56%
Chert Mingan	5	7,81%
Quartz hyalin	1	1,56%
Quartz hyalin avec inclusions	1	1,56%
Quartzite de Ramah	4	6,25%
Quartzite fin de Kégashka	2	3,13%
Quartzite Noui	1	1,56%
Total	64	100,00%

La production d'outils en quartzite EbCp sur le site EbCp-002 est caractérisée principalement par la production de pièces bifaciales avec 57,14% du nombre d'outils de notre échantillon. Les outils unifaciaux et sur éclats sont beaucoup moins représentés avec seulement 26,53% du nombre et ceux-ci sont principalement constitués d'éclats utilisés ou retouchés. La catégorie des nucléus est assez bien représentée avec 16,33% du nombre d'outils (N=8). La forte représentation de cette classe d'objets s'accorde assez bien avec la proposition initiale que le site constitue un atelier de taille du quartzite EbCp.

Tableau XLVI : EbCp-002 zone 1 et 2, catégories fonctionnelles des outils taillés en « quartzite EbCp »

Type d'outil	Catégorie fonctionnelle	Nombre	% nombre
Biface	Pointe de projectile	2	4,08%
	Couteau	3	6,12%
	Biface	23	46,94%
<i>Total Biface</i>		28	57,14%
Unifaces	Grattoir	2	4,08%
	Racloir	2	4,08%
	Perçoir	2	4,08%
	É.utilisé/retouché	6	12,24%
	Indéterminé	1	2,04%
<i>Total Unifaces</i>		13	26,53%
Nucléus	Nucléus	8	16,33%
<i>Total Nucléus</i>		8	16,33%
Total		49	100,00%

Seulement huit des pièces bifaciales en « quartzite EbCp » analysées étaient complètes (28,57%). Les pièces qui se sont vu attribuer le nom de biface plutôt que de couteau ou de pointe de projectile représentent essentiellement des pièces abandonnées en cours de production et pour lesquelles la détermination de la fonction était impossible. Elles sont donc essentiellement des préformes ou ébauches (Callahan 2000). Leurs dimensions générales sont globalement plus importantes que pour les pièces finies (1 pointe et un couteau). Les pièces bifaciales analysées sur ce site d'atelier permettent de décrire les dimensions générales initiales des outils bifaciaux taillés dans ce matériau. Le tableau XLVII présente les caractéristiques morphométriques des pièces bifaciales analysées.

Tableau XLVII : EbCp-002 zone 1 et 2, caractéristiques morphométriques des pièces bifaciales

Catégorie fonctionnelle	Nombre	Poids moyen (g)	Longueur moyenne (cm)	Largeur 1/2 moyenne (cm)	Ratio L/É
Pointe de projectile	1	15,50	5,13	2,58	2,37
Couteau	1	5,80	3,81	1,98	3,19
Bifaces	6	121,87	9,32	4,49	2,47
Total	8	94,06	8,11	3,94	2,55

La comparaison de l'assemblage des pièces bifaciales de l'atelier du site EbCp-002 permet d'identifier des différences sensibles avec ceux produits en chert de la Minganie sur son atelier respectif, le site EbCt-002. Les pièces taillées en quartzite du site EbCp-002 présentent des dimensions ainsi qu'un poids initial véritablement plus important et nous indiquent que les pièces produites présentent des différences importantes dès leur fabrication et les comparaisons effectuées en considérant ces variables doivent donc en tenir compte. Le ratio largeur/épaisseur (L/É) est quant à lui assez élevé, même sensiblement plus que pour les sites de transformation initiale du chert de la Minganie. Pour le site EbCt-002, le ratio L/É était de 2.20 et pour EbCv-015, de 1,79.

Les pièces unifaciales et les outils sur éclats dans l'assemblage des outils analysés sur le site EbCp-002 sont peu nombreux et ne permettent qu'une caractérisation assez générale de l'assemblage, celui-ci ne présentant qu'un nombre restreint d'outils complets par catégorie fonctionnelle.

Tableau XLVIII : Site EbCp-002, caractéristiques morphométriques des outils unifaciaux et sur éclats du site EbCp-002

Catégorie fonctionnelle	Nombre	Poids moyen (g)	Longueur moyenne (cm)	Largeur max moyenne (cm)
Grattoir	1	7,2	3,89	2,00
Racloir	1	147,2	9,04	5,27
Perçoir	2	45,1	5,93	3,79
É.utilisé/retouché	1	3,3	3,48	1,81
Total Complet	5	49,58	5,654	3,33

Leurs caractéristiques générales, présentées au tableau XLVIII permettent néanmoins d'effectuer un commentaire similaire à celui auquel on arrive pour l'assemblage des pièces bifaciales. Les outils produits en « quartzite EbCp » sont encore une fois plus volumineux que ceux produits en chert de la Minganie. C'est toutefois au niveau des nucléus que les différences les plus importantes distinguent le « quartzite EbCp » et le chert de la Minganie. Les nucléus de « quartzite EbCp » proviennent généralement de lits massifs et présentent des surfaces corticales planes et plusieurs surfaces de joints. Ce caractère de

leur diagenèse, par opposition à la constitution de nodules de chert, permet vraisemblablement aux tailleurs d'avoir accès à un matériau qui permet la collecte et l'utilisation de blocs aux dimensions plus importantes. Cette réalité est particulièrement bien exprimée par les dimensions générales des nucléus de l'atelier du site EbCp-002 :

Tableau XLIX : EbCp-002 zone 1 et 2 dimensions générales des nucléus de « quartzite EbCp » (N=8)

Valeur	Poids (g)	Longueur (cm)	Largeur (cm)	Épaisseur (cm)
Moyenne	627,00	12,61	9,09	4,69
Minimum	129,20	6,69	5,55	3,10
Maximum	1660,90	20,00	11,67	7,53

La détermination des caractéristiques initiales des outils produits et récupérés sur les sites de transformation initiale de même que de sous-produits associés à leur fabrication permet d'identifier les données de base qui caractérisent théoriquement le début de la chaîne opératoire de ce matériau (Burke 2007). Suite à la documentation de l'assemblage d'un site atelier nous sommes donc maintenant mieux équipés pour documenter le processus de réduction de ce matériau et sa distribution à travers l'espace et les différents sites de la région.

6.1.2- La distribution du « quartzite EbCp » à l'échelle régionale

Tel que mentionné précédemment, le « quartzite EbCp » est la matière première qui bénéficie de la deuxième plus forte représentation, juste derrière le chert de la Minganie. Ce sont 39 sites qui ont recelé des éléments taillés à partir de ce matériau, et ceux-ci se répartissent sur presque tous les secteurs archéologiques que nous avons présentés à l'exception de celui de l'archipel et celui de la rivière Romaine. Sa distribution sur la côte couvre un espace approximatif de 200 km, la limite de sa distribution au sein de notre échantillon étant représentée à l'ouest par le site EbDa-002, près du village de Longue-

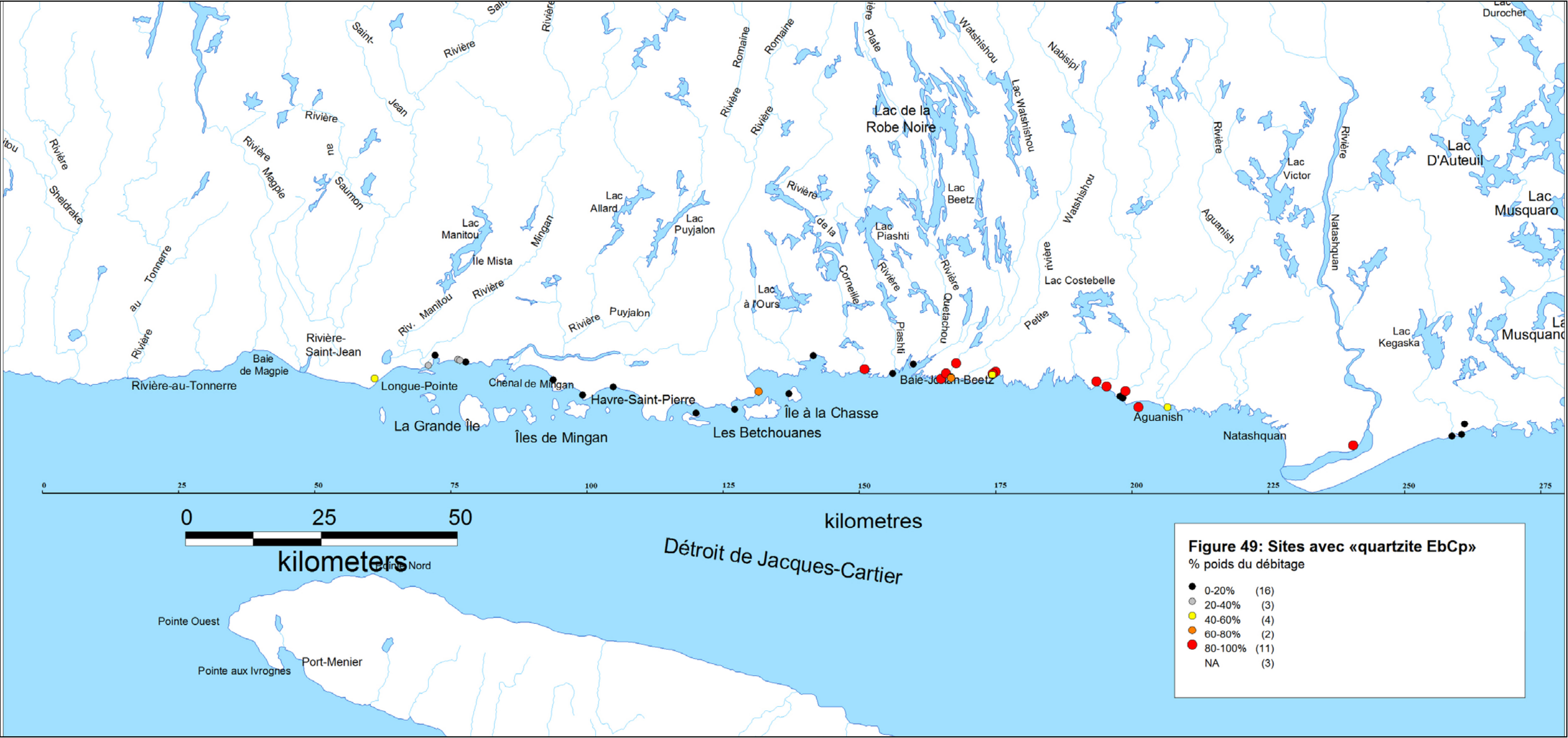
Pointe, et à l'est par le site EbCi-007, dans le secteur archéologique de Kégashka. La figure 49 indique la position des sites qui présentent des assemblages où figure le « quartzite EbCp ». La base de données « **assemblages en quartzite EbCp** », fournie en annexe, permet de documenter les caractéristiques des assemblages d'outils et d'éclats de ce matériau pour chacun de ces sites. Le Tableau L présente la représentation du « quartzite EbCp » par secteur pour les assemblages de débitage et de l'outillage.

Tableau L : Représentation du « quartzite EbCp » par secteur archéologique

Secteur archéologique	Sites		Débitage				Outils	
	N sites avec EbCp	% Nbre du secteur	Nombre	% Nombre total secteur	Poids EbCp	% poids total secteur	Nombre	% Nombre total secteur
Tonerre/Saint-Jean/Longue-Pointe	1	10,00%	22	2,51%	67,7	4,19%	0	0,00%
Archipel	0	0,00%	0	0,00%	0,0	0,00%	0	0,00%
Mingan	7	100,00%	817	15,64%	1183,1	18,22%	27	21,60%
Romaine/Havre-Saint-Pierre	3	33,33%	12	0,27%	12,0	0,27%	1	1,67%
Rivière Romaine	0	0,00%	0	0,00%	0,0	0,00%	0	0,00%
Betchouanes	5	41,67%	209	2,29%	32,0	0,53%	4	2,44%
Piashti/Watshishou	12	85,71%	5307	64,98%	5325,0	65,07%	55	61,80%
Aguanish	8	57,14%	846	78,92%	695,1	62,48%	5	18,52%
Kégashka	3	42,86%	60	2,16%	185,6	8,51%	6	8,96%
Total	39	43,33%	7273	NA	7500,6	NA	98	NA

La lecture du tableau nous indique sans trop de surprises que c'est dans le secteur archéologique des rivières Piashti et Watshishou, secteur qui comprend le site EbCp-002, que la représentation du « quartzite EbCp » est la plus élevée en termes de la représentation du poids total des éléments de débitage et du nombre d'outils. Le secteur avoisinant d'Aguanish présente lui aussi une très forte représentation du « quartzite EbCp », particulièrement au niveau de la représentation du nombre d'éléments de débitage.

Figure 49 : distribution des sites qui présentent des assemblages de débitage de « quartzite EbCp »



Le « quartzite EbCp » ne bénéficie toutefois d’une représentation considérable que sur ces deux secteurs et les secteurs avoisinants témoignent d’une baisse rapide de sa représentation. Les figures 50 et 51 illustrent la représentation du « quartzite EbCp » parmi les assemblages de débitage et de l’outillage en les mettant en relation avec le système de bornes kilométriques que nous avons défini.

Figure 50: Représentation du « quartzite EbCp » pour le débitage

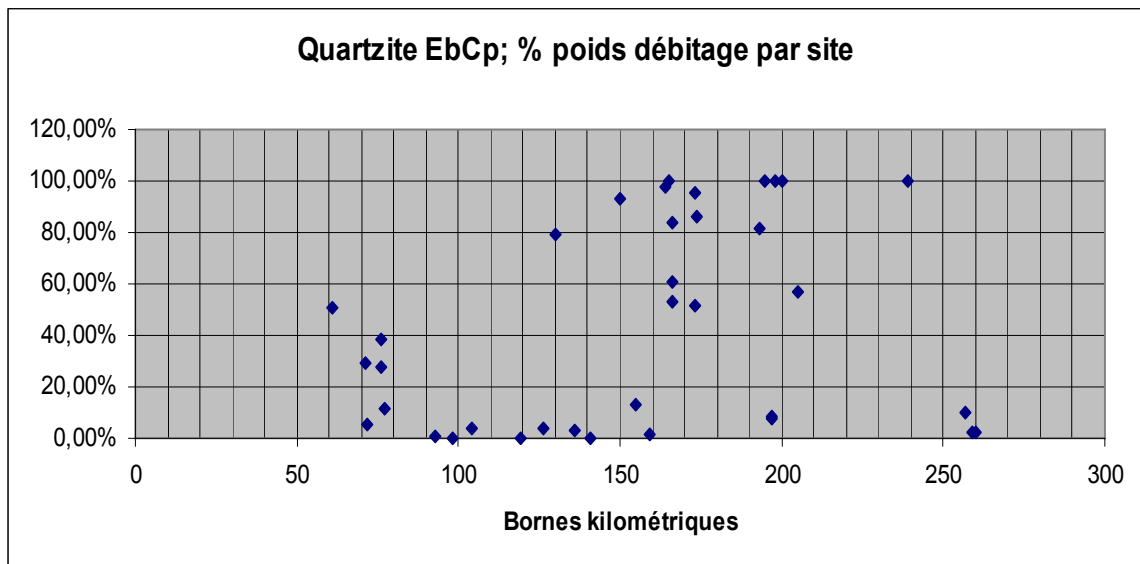
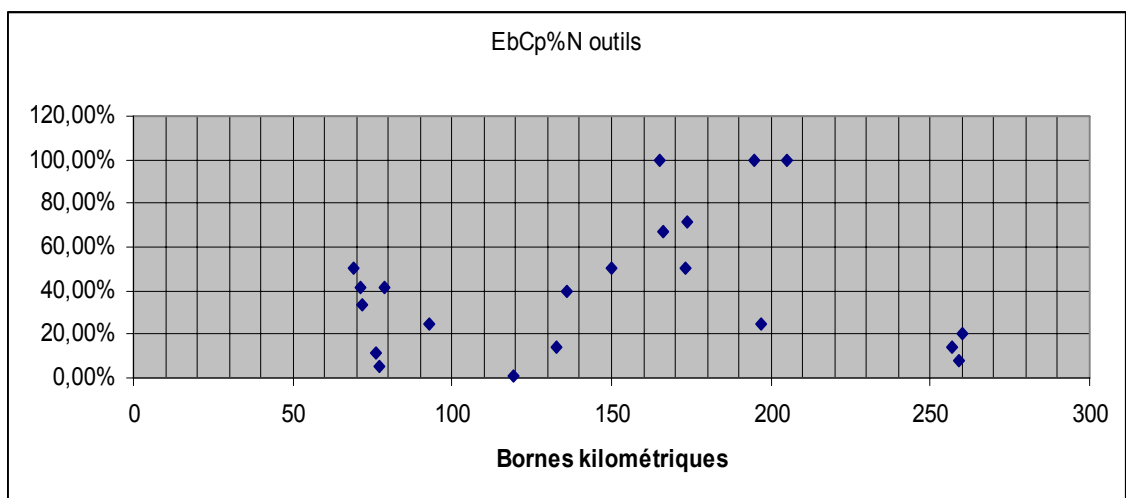


Figure 51: Représentation du quartzite EbCp pour l’outillage



La figure 50 illustre que le « quartzite EbCp » bénéficie d'une représentation très élevée parmi les éléments de débitage pour un secteur assez bien défini et au-delà duquel sa représentation chute drastiquement. La portion de côte comprise entre les bornes 150 et 200 km recèle 10 sites pour lesquels la représentation du « quartzite EbCp » excède 80% du poids total des éléments de débitage²⁴. Comme le site EbCp-002 se situe à la borne kilométrique 174, en plein centre de cette zone de forte représentation du « quartzite EbCp », ce site semble bien se situer à proximité de la source de ce matériau.

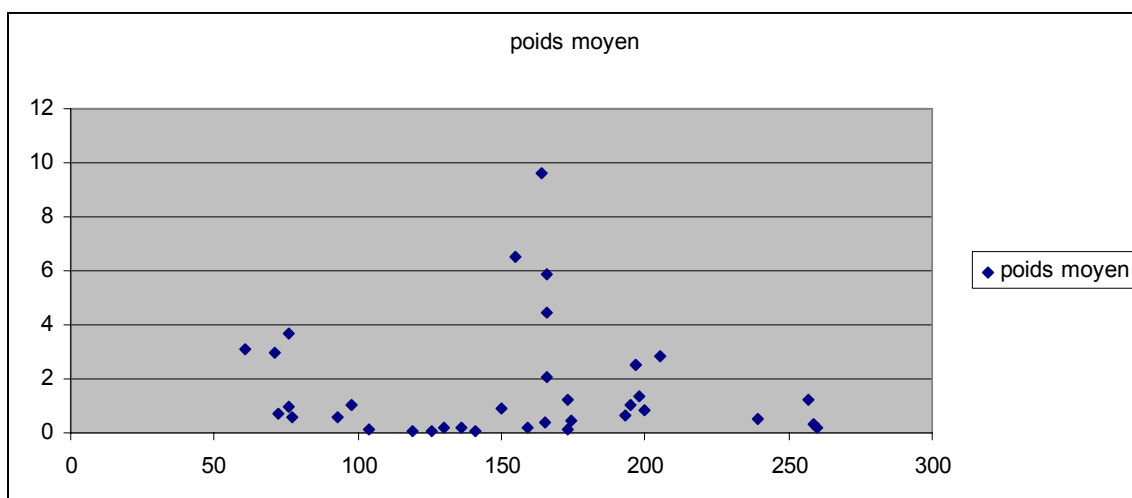
La figure 51, qui illustre la représentation du « quartzite EbCp » parmi l'assemblage d'outils, témoigne également de la présence d'une zone de forte représentation de ce matériau centrée approximativement sur la borne kilométrique 175. La figure 51 montre toutefois une diminution moins drastique de la représentation de « quartzite EbCp » à mesure que l'on s'éloigne du centre de sa distribution. En outre, Les deux figures présentent toutes les deux un phénomène particulier qui cadre mal avec l'effet de seuil modélisé par Renfrew (1977). En effet, on constate une reprise de la représentation du « quartzite EbCp » entre les bornes kilométriques 60 et 80, qui correspondent essentiellement au secteur archéologique de Mingan. Cette recrudescence confère à la distribution du « quartzite EbCp » un certain caractère bimodal, tant au sein de l'assemblage d'outils que de débitage.

Ce caractère de la distribution se poursuit d'ailleurs parmi les caractéristiques de l'assemblage de débitage. Au niveau du poids moyen des éléments complets de débitage, on constate une distribution assez similaire à celle produite à la figure 50. La figure 52 représente le poids moyen des éléments de débitage de « quartzite EbCp » en fonction de la distance. Malgré la présence de valeurs extrêmes (poids moyen de plus de 4g pour les sites EbCp-005 -006, EbCq-001 et -007) qui se démarquent nettement, on y observe également une concentration de sites présentant des valeurs plus élevées pour le secteur compris entre

²⁴ Le site EaCj-001, attribuable à la borne 239 ne contient qu'un seul élément de débitage et la forte représentation du « quartzite EbCp » y est donc essentiellement attribuable au très faible nombre d'éléments récupérés (biais).

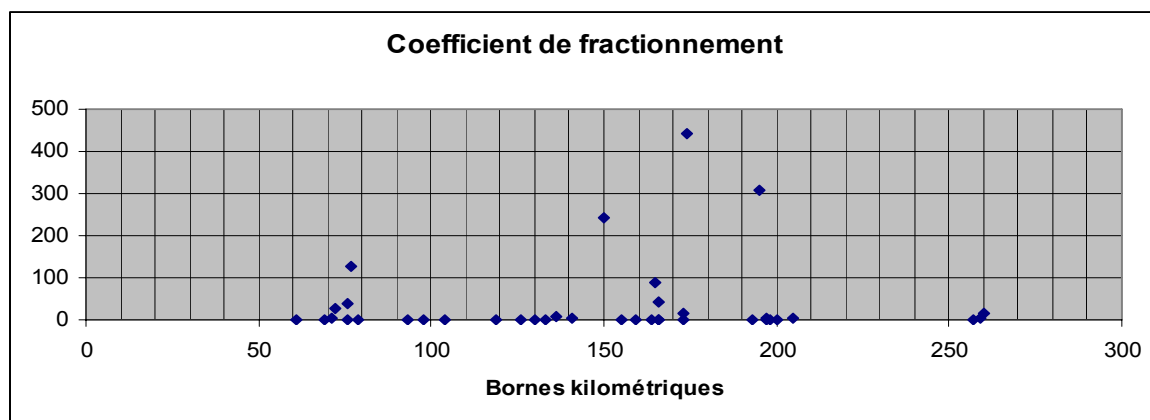
les bornes kilométriques 150 et 200. Pour le secteur de Mingan, compris entre les bornes 60 et 80 on observe de nouveau une recrudescence généralisée du poids moyen des éléments de débitage comparativement aux sites compris entre les bornes kilométriques 100 et 150. Le coefficient de fractionnement observé pour ce matériau, représentant le nombre d'éléments de débitage récupéré pour chaque outil (Plourde 1993, Burke 2003), permet lui aussi d'observer le caractère bimodal de la distribution. Le coefficient de fractionnement observé parmi les assemblages de débitage correspond bien aux prédictions théoriques voulant que le coefficient soit plus élevé à proximité de la zone d'acquisition et de transformation initiale d'un matériau (Burke 2007).

Figure 52: Poids moyen des éléments de débitage complets pour le « quartzite EbCp »



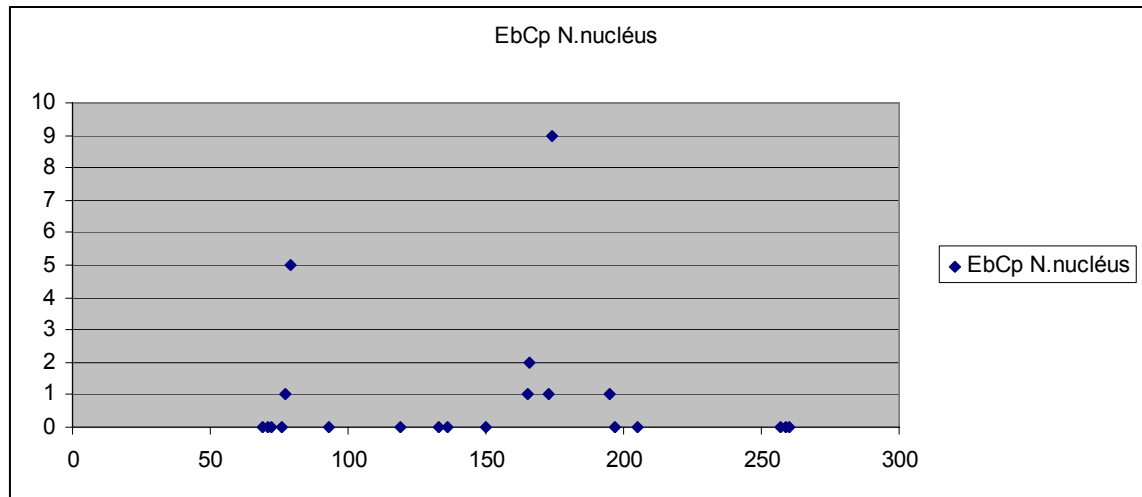
La figure 53 présente le coefficient de fractionnement du « quartzite EbCp » par sites. La recrudescence témoigne pour le secteur archéologique de Mingan, compris entre les bornes kilométriques 60 et 80, tant par le coefficient de fractionnement que par le poids moyen des éléments de débitage, tend à suggérer que des éléments en « quartzite EbCp » aient pu être introduits sur les sites de ce secteur sous des formes moins réduites, ou encore témoigner d'un travail de taille plus intense de ce matériau.

Figure 53 : Coefficient de fractionnement du « quartzite EbCp »



La proposition que le secteur archéologique de Mingan témoigne d'une utilisation plus intensive et donc vraisemblablement d'un approvisionnement plus soutenu en « quartzite EbCp » semble d'ailleurs renforcée par certaines caractéristiques de l'assemblage des outils. Bien que les assemblages qui ont livré des nucléus de quartzite EbCp soient beaucoup moins nombreux que pour le chert de la Minganie et se concentrent essentiellement dans le secteur du site EbCp-002, un certain nombre (6 sur un nombre total de 20) ont été récupérés sur le secteur archéologique de Mingan, soit à une distance considérable de la région source proposée.

Figure 54 : Nombre de nucléus en quartzite EbCp par site



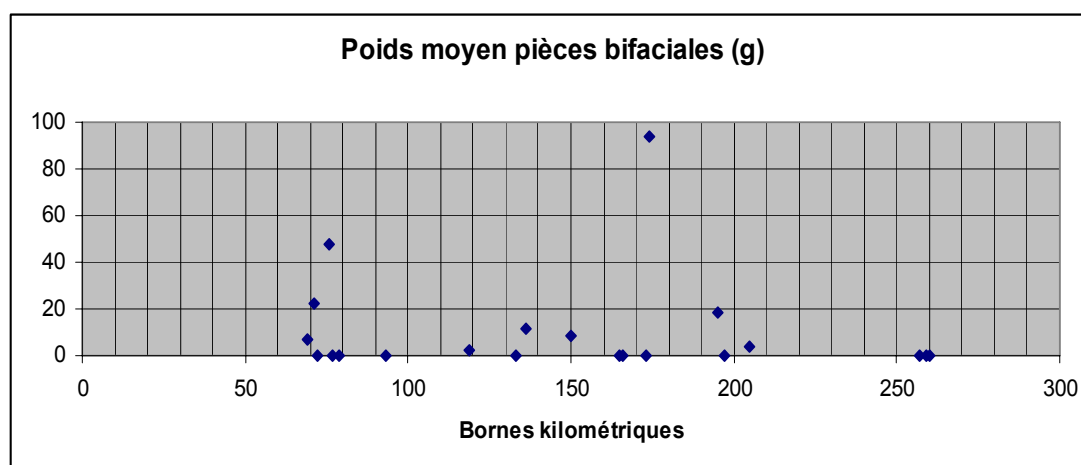
Les nucléus qui ont été récupérés sur le secteur archéologique de Mingan témoignent toutefois de dimensions beaucoup plus réduites que pour le site EbCp-002. Compte tenu de la distance qui sépare les deux secteurs, cette différence ne devrait pas trop surprendre. La présence de ces nucléus tend néanmoins à soutenir la proposition que les groupes de la région de Mingan aient pu profiter d'un accès direct à la source de ce matériau. On peut toutefois comparer leurs dimensions avec ceux de la zone source (tableau XLIX) et constater que ceux répertoriés pour le secteur de Mingan sont de dimension beaucoup plus restreintes (plus de 15 fois plus petit en termes de poids moyen). La présence de ces sites qui présentent d'assez bonnes portions d'éléments en « quartzite EbCp », situés au-delà de la zone d'acquisition, tend effectivement à soutenir la proposition d'un accès direct et permet de proposer que le groupe utilisant principalement le chert de la Minganie et celui du « quartzite EbCp » ne vivent pas en vases clos.

Tableau LI : dimensions des nucléus de « quartzite EbCp » du secteur archéologique de Mingan

Mesure	Poids (g)	Longueur (cm)	Largeur (cm)	Épaisseur (cm)
Moyenne	39,65	4,34	3,41	2,23

Quant aux autres caractéristiques des outils, nous constatons que leur nombre d'outils est généralement trop faible, pour en dresser un portrait et étudier l'évolution de leurs dimensions générales à travers la région à l'étude. Toutefois, pour la distribution des objets en « quartzite EbCp », le poids moyen des pièces bifaciales permet néanmoins de soutenir que les pièces récupérées à proximité de la zone source présentent des dimensions plus importantes et témoignent également de la présence de pièces aux dimensions plus importantes dans le secteur de Mingan.

Figure 55 : Poids moyen des bifaces complets en « quartzite EbCp » par site.



Bien que la région source du « quartzite EbCp » n'est pas définie avec précision et l'étendue de la formation géologique que nous identifions comme hôte possible, de par sa grande étendue, permet de croire qu'un nombre relativement élevé d'affleurements ou sources potentielles puissent être présents. Les données archéologiques identifient toutefois un secteur relativement limité à l'intérieur duquel ce matériau bénéficie d'une représentation élevée. La portion de côte comprise entre les bornes kilométriques 150 et 200 présente un nombre élevé de sites pour lesquels la représentation du « quartzite EbCp » excède 80% du poids total de débitage et ne présente qu'un nombre très faible de sites qui témoignent d'une représentation inférieure à 50%. C'est ainsi une zone d'un rayon

d'approximativement 25 km qui est ainsi définie et qui présente les caractéristiques attribuables à une zone d'acquisition (Renfrew et al 1977; Webb 1974).

Si la distribution du « quartzite EbCp » cadre assez bien avec le pattern d'effet de seuil et de diminution monotonique (Renfrew 1977), le secteur archéologique de Mingan témoigne toutefois d'une représentation plus élevée qu'attendu en fonction de ce modèle. Les sites du secteur archéologique de Mingan sont éloignés approximativement d'une centaine de kilomètres de la région source du « quartzite EbCp ». Bien que la forte représentation du « quartzite EbCp » ne concorde pas avec le portrait qui découle de l'ensemble des sites de la région, on peut y voir une preuve d'un accès direct à la source. Cet accès à la source pourrait s'insérer dans la réalisation d'activités de subsistance effectuées dans ce secteur ou simplement par une expédition visant explicitement l'acquisition de ce matériau.

Lorsqu'on regarde la production globale d'outils, on observe que le « quartzite EbCp » est principalement impliqué dans la production d'outils bifaciaux, ceux-ci représentant plus de 75% des outils récupérés. Ce caractère de la production d'outils est également reflété par une faible représentation des outils informels ou expéditifs. Ces derniers sont parfois fréquents, comme à EbCp-002 avec 80 éclats utilisés/retouchés (Somcynsky 1990a : p.52), mais uniquement sur les sites à proximité de la région source que nous avons défini. La nature du matériau, particulièrement sa constitution cristalline à grains de dimension moyenne à grossière, semble donc influencer le type de production d'outils réalisés. Ce matériau semble mieux adapté à la réalisation d'outils aux tranchants bifaciaux plutôt qu'à la production d'outils pour gratter et racler.

Tableau LII : Représentation des différentes catégories d'outils analysés en « quartzite EbCp »

Type d'outils	Catégorie fonctionnelle	Nombre	% nombre
Biface	Pointe de projectile	10	12,82%
	Couteau	10	12,82%
	Biface	39	50,00%
Total Biface		59	75,64%
Unifaces et outils sur éclats	Grattoir	4	5,13%
	Racloir	2	2,56%
	Perçoir	2	2,56%
	É.utilisé/retouché	8	10,26%
	Coin	1	1,28%
	Indéterminé	2	2,56%
	Total Unifaces	19	24,36%
Total Quartzite EbCp		78	100,00%

Les dimensions générales des outils taillés en quartzite EbCp, et particulièrement lorsque l'on considère leur poids moyen, permettent de constater que celles-ci sont de façon générale beaucoup plus importantes que celle des outils taillés en chert de la Minganie. Cette caractéristique de l'assemblage des outils est particulièrement bien exprimée par la dimension beaucoup plus importante des nucléus de « quartzite EbCp » et il est aisé de comprendre que le calibre plus important des outils produits puisse en découler. Ces dimensions plus importantes permettent de plus d'expliquer pourquoi le « quartzite EbCp », bien qu'il ne constitue que 17,07% du nombre représente plus de 40% du poids total d'outils. Finalement, le tableau LIII présente le poids moyen des différents types d'outils identifiés.

Tableau LIII : « Quartzite EbCp », poids moyen outils par catégorie fonctionnelle

Type d'outils	Catégorie fonctionnelle	Poids moyen	Nombre d'outils complets
Biface	Pointe de projectile	7,48	4
	Couteau	16,33	6
	Biface	98,69	8
Total Biface		50,97	18
Unifaces et outils sur éclats	Grattoir	11,17	3
	Racloir	147,20	1
	Perçoir	45,10	2
	É.utilisé/retouché	30,75	2
	Coin	7,30	1
Total Unifaces		37,74	9
Nucléus	Nucléus	392,80	17
Total Nucléus		392,80	17
Total Complet			44

6.2- Le « quartzite Noui »

Le quartzite que nous avons appelé le « quartzite Noui » constitue le troisième matériau le mieux représenté parmi les assemblages analysés. Il figure sur 26 sites de notre aire d'étude, soit sur un total de 28,89% d'entre eux. Ce matériau compose un total de 15,19% du poids total des éléments de débitage et 6,97% du nombre de l'assemblage des outils. La figure 55 indique les sites sur lesquels ce matériau a été répertorié alors que le tableau LIV indique la représentation de celui-ci sur les différents secteurs archéologiques que nous avons définis. La base de données « assemblages de quartzite Noui » fournie en annexe, présente quant à elle les caractéristiques des assemblages de débitage et d'outillage pour chacun de ces sites.

Tableau LIV : Représentation du « quartzite Noui » par secteur archéologique

Secteur archéologique	Sites		Débitage				Outils	
	N sites avec Matériau	% Nombre du secteur	Nombre	% Nombre total secteur	Poids	% poids total secteur	Nombre	% Nombre total secteur
Tonerre/Saint-Jean/Longue-Pointe	3	42,86%	275	31,43%	295,2	18,29%	1	4,55%
Archipel	1	16,67%	6	0,51%	3,95	0,77%	0	0,00%
Mingan	8	72,73%	1556	29,79%	2064,33	31,79%	27	21,60%
Romaine/Havre-Saint-Pierre	6	42,86	253	5,75%	323,7	16,85%	4	4,55%
Rivière Romaine	0	0%	0	0,00%	0	0,00%	0	0,00%
Betchouanes	0	0%	0	0,00%	0	0,00%	0	0,00%
Piashti/Watshishou	2	16,67%	821	10,05%	619,65	13,26%	1	1,12%
Aguanish	3	30,00%	12	1,12%	26,55	2,39%	1	3,70%
Kégashka	3	33,33%	542	19,52%	401,85	18,43%	6	8,96%
Total	26	28,89%	3465	NA	3735,23	NA	40	NA

Le « quartzite Noui » tire son nom du site EbDa-001 de la région de Mingan, lequel avait été nommé ainsi par René Lévesque. Depuis, l'assemblage de ce site a été intégré au site EbDa-004 fouillé par Chevrier en 1977 (Somcynsky 1987). Tel que présenté au chapitre 3, la question de la provenance et de la distribution du quartzite verdâtre qui domine l'assemblage de ce site avait été soulevée par Plourde (2009 : p.64). L'étude de la distribution et de la représentation de ce matériau au sein de notre aire d'étude devrait permettre de préciser sa provenance ou du moins préciser sa représentation sur les sites de la région

Figure 56:
quartzite Noui,
nucléus
EbDa004.023
provenant du site
EbDa-004

Ce matériau, dont
on peut trouver
une description

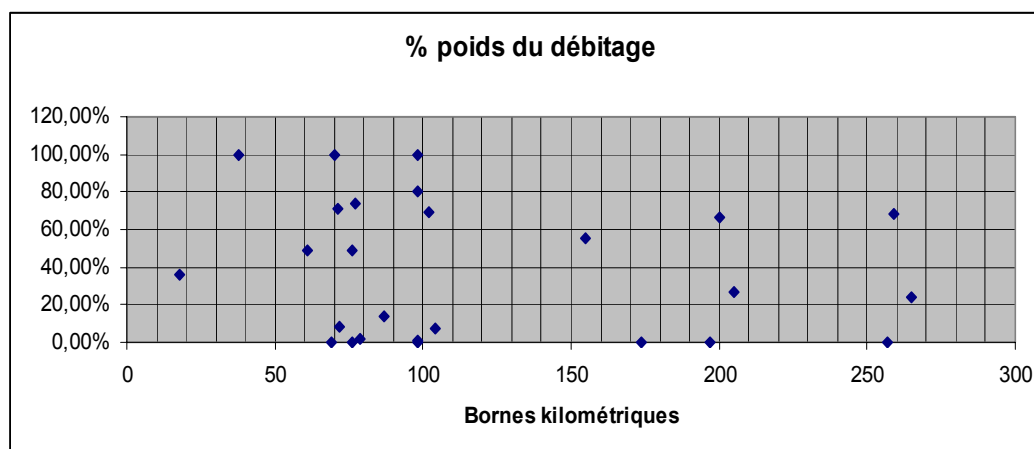


détaillée à l'intérieur de la base de données des matériaux représentés, est un quartzite massif de couleur verdâtre. Sa couleur est assez variable et présente une variété de teintes qui le font passer d'un vert très clair, presque incolore (#61 : 5B 9/1), à un vert bleuté (#72 : 5BG 5/2) ou même un vert bleuté profond (#73 : 5BG 3/2). De granulométrie moyenne il présente une texture homogène et sa texture est généralement granuleuse à rugueuse. Ce quartzite présente presque toujours des inclusions minérales foncées de couleur verdâtre. Son cortex est toujours constitué de surfaces planes et celui-ci présente parfois une teinte jaunâtre. Plusieurs caractéristiques permettent de le différencier du « quartzite EbCp » qui constitue une autre variété de quartzite très rependue. La nature et la couleur des inclusions constituent vraisemblablement les meilleurs attributs permettant de différencier ces matériaux. Leurs couleurs, toutes deux assez variables, permettent toutefois de les différencier par les différences importantes qui caractérisent leurs variétés les plus colorées ou foncées.

Bien que la source du « quartzite Noui » ne soit pas connue avec précision pour l'instant, certaines caractéristiques visuelles de ce matériau présentent toutefois des similarités avec le quartzite 1.1 identifié par Codère (1999 : p.4). Ce quartzite est associé au groupe de Davy du Supergroupe de Wakeham (*idem*). C'est principalement la nature des inclusions et sa couleur qui nous permettent de proposer ce lien sur une base préliminaire. Codère y mentionne que la présence d'inclusion d'épidote (Codère 1999 : p.4), un minéral de couleur verte à l'éclat vitreux (Bonewitz 2005 : p.296), lui donne une teinte verdâtre.

Les données archéologiques telles que présentées au tableau LIV et à la figure 57 nous indiquent que ce matériau est surtout bien représenté dans les secteurs de Rivière-au-Tonnerre/Saint-Jean/Longue-Pointe et de Mingan. Toutefois, il est également disséminé à l'échelle de notre aire d'étude et bénéficie d'une représentation tout de même appréciable dans le secteur de Kégashka avec 18,43% du poids total des éléments de débitage. La figure 58 ci-dessous présente la représentation du « quartzite Noui » au sein des assemblages en fonction de leur distribution selon notre système de bornes kilométriques.

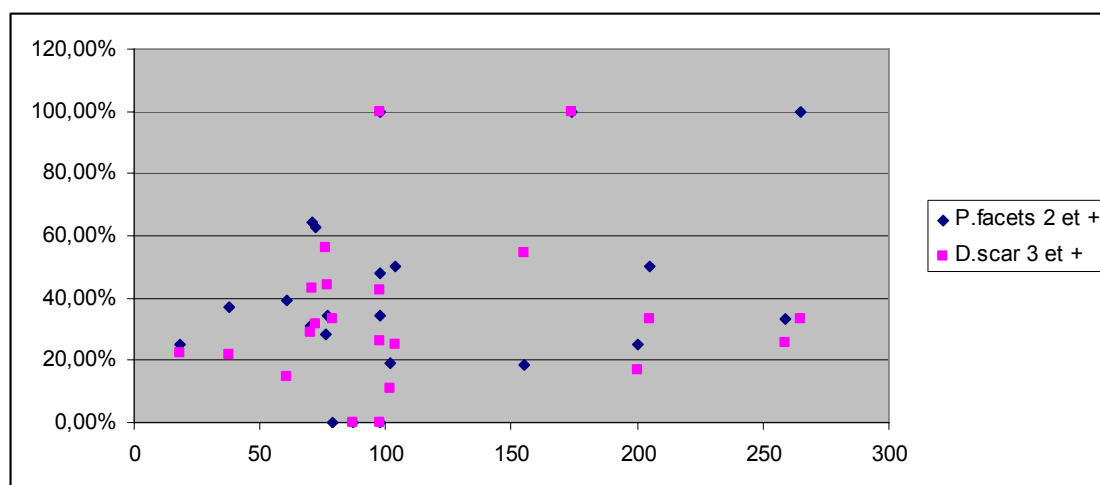
Figure 58 : Représentation du quartzite Noui à l'échelle de l'aire d'étude.



La lecture de la figure 58 nous laisse bien entrevoir que le « quartzite Noui » est plus fortement représenté dans la portion ouest de notre aire d'étude. Celui-ci est toutefois réparti sur l'ensemble de celle-ci. Sa distribution est toutefois assez différente de celles des matériaux présentés précédemment, le chert de Mingan et le « quartzite EbCp ». Ici, l'effet de seuil accompagné d'un déclin rapide n'est pas vraiment représenté. La représentation

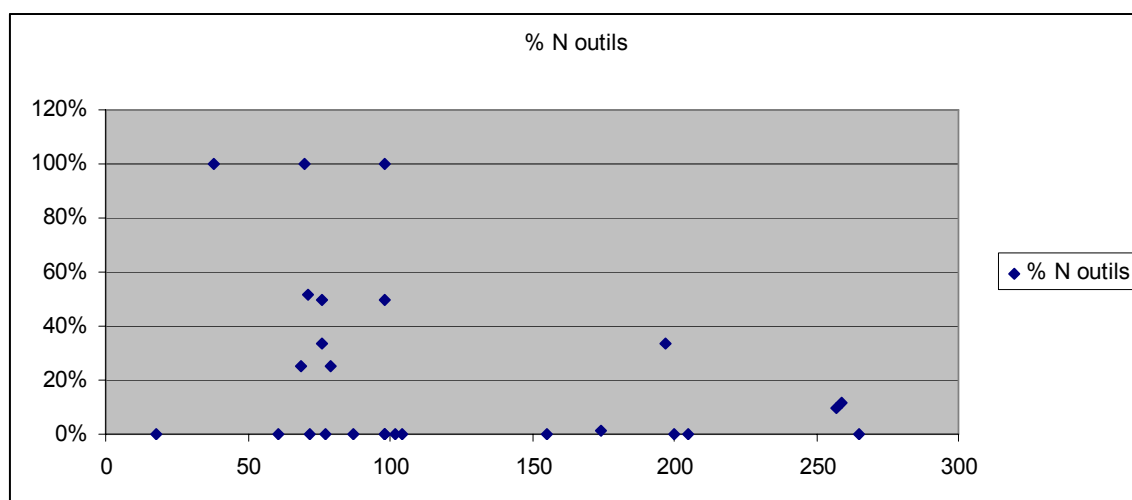
des stades avancés de réduction, dont témoignent les fortes représentations d'éléments présentant plus de deux facettes sur la plateforme de leur talon et de trois cicatrices dorsales, ne témoigne pas non plus d'une variation considérable de leur représentation à travers l'aire d'étude.

Figure 59: Représentation des stades avancés de réduction pour le « quartzite Noui »



La représentation du « quartzite Noui » semble plutôt se maintenir à travers l'aire d'étude et ce bien que certains secteurs ne présentent aucun élément de ce matériau. Au niveau de l'assemblage des outils, le « quartzite Noui », n'est bien représenté que pour le secteur archéologique de Mingan, mais il est tout de même présent, dans des proportions plus limitées sur les secteurs archéologiques de la portion est de notre aire d'étude

Figure 60 : Représentation des outils en quartzite Noui sur les sites de l'aire d'étude



Les nucléus de « quartzite Noui » sont rares parmi les assemblages analysés (N=3) et n'ont été identifiés que pour le secteur de Mingan. La distribution du « quartzite Noui » à travers la région et certaines caractéristiques telles que la rareté des nucléus peut indiquer que la source de ce matériau se retrouve à l'intérieur des terres et non sur la côte. Dans ce sens, la distribution de ce matériau serait le reflet d'une acquisition à l'intérieur des terres et de la circulation des groupes sur le territoire. Les groupes qui ont occupé la côte ont pu avoir accès à ce matériau lors de séjours à l'intérieur et la représentation du «quartzite Noui» dans les assemblages côtiers serait donc le produit du cycle annuel des groupes (Binford 1979; Burke 2006 : p.80). Cette proposition pourrait expliquer l'absence d'un schème de diminution monotonique (Renfrew 1977) à partir d'un point central situé sur ou près de la côte comme pour le chert de la Minganie et le « quartzite EbCp ». La présence de ce matériau sur les assemblages côtiers est d'ailleurs associée à la proximité de cours d'eau majeurs qui sont empruntés pour effectuer le passage de la côte vers l'intérieur. Les principales concentrations sont observables dans le secteur des rivières Mingan, Romaine, Piashti, Watshishou, Aguanish et Kégashka.

En termes plus généraux de production, la production d'outils en « quartzite Noui », comme pour le « quartzite EbCp », est fortement axée sur la production de pièces bifaciales. Le tableau LV présente la représentation des différentes catégories fonctionnelles d'outils confectionnés en « quartzite Noui ». Les outils expéditifs ou informels sont ici très faiblement représentés, seulement par deux éclats retouchés/utilisés. L'absence relative tend elle aussi à supporter la proposition que l'on se trouve à une certaine distance de la source. Selon Andrefsky (1994), la production d'outils informels est principalement associée aux sources de matériaux de faible qualité ou encore aux matériaux qui sont abondants (Andrefsky 1994 : p.30). La rareté d'outils informels tend donc à soutenir la proposition que ce matériau soit peu abondant sur la côte et donc provenir de l'intérieur. Par contre, l'utilisation préférentielle de ce matériau pour la production de pièces bifaciales peut également témoigner de contraintes imposées par le matériau ou du moins une meilleure adaptation de ce matériau pour la production de pièces bifaciales. Cette contrainte semble bien se combiner au fait que le chert de la Minganie ne permet pas de faire de pièces bifaciales de grandes dimensions et que ce chert, de par sa granulométrie beaucoup plus fine et régulière, est mieux adapté comme matériau pour l'utilisation de grattoirs ou autres outils pour gratter et racler.

Tableau LV : Représentation des catégories types d'outils en « quartzite Noui ».

Type d'outils	Catégorie fonctionnelle	Nombre	% nombre
Biface	Pointe de projectile	3	8,57%
	Couteau	8	22,86%
	Biface	19	54,29%
Total Biface		30	85,71%
Unifaces et outils sur éclats			
	Grattoir	3	8,57%
	É.utilisé/retouché	2	5,71%
Total Unifaces		5	14,29%
Total Quartzite Noui		35	100,00%

Le tableau LVI présente le poids moyen des différentes catégories d'outils taillés à partir du « quartzite Noui » et démontre que les outils présentent des poids systématiquement plus élevées que ceux du chert de la Minganie. Comme pour le « quartzite EbCp », tant le type de production que la dimension des outils produits résultent vraisemblablement des possibilités qu'offrent des supports de plus grande dimension. Toutefois, la nature du matériau semble moins adaptée à l'accomplissement de certaines tâches, comme l'illustre la faible représentation des outils grattant pour ces matériaux.

Tableau LVI : Poids moyen des différents types d'outils confectionnés en « quartzite Noui »

Type d'outils	Catégorie fonctionnelle	Poids moyen	Nombre d'outils complets
Biface	Couteau	40,96	7
Total Biface		40,96	7
Unifaces	Grattoir	13,95	2
	É.utilisé/retouché	15,60	2
Total Unifaces		14,78	4
Nucléus	Nucléus	243,63	3
Total Nucléus		243,63	3
Total Complet		76,91	14

6.3- Le quartzite de Ramah

Le quartzite de Ramah constitue le matériau exotique le mieux représenté parmi les assemblages que nous avons analysés. Ce matériau occupe une place particulière dans la préhistoire de toute la péninsule Québec-Labrador (Loring 2002; 1992 : p.333). La source de celui-ci, située dans la portion nord du Labrador a été abondamment étudiée et décrite (Gramly 1978; Lazemby 1980; Fitzhugh 1980; Loring 2002 : p.169). La source de ce matériau à la baie de Ramah (Lazenby 1980 : p.633; Loring 2002) est éloignée de plus de 950 km, en ligne droite, de notre aire d'étude. Ce matériau bénéficie d'une popularité importante sur l'ensemble de la période préhistorique au Labrador (Loring 2002, voir chapitre 4 de ce mémoire), mais également pour la Côte-Nord (Pintal 1990; 1992; 1998; 2000; Plourde 1993). Il est effectivement bien représenté en Basse-Côte-Nord, particulièrement à la période préhistorique récente (Pintal 1990 : p.92). Il a également été identifié sur de nombreux sites de la Haute-Côte-Nord (Plourde 1993) et présente même une représentation très forte sur certains sites de la région de Baie-Comeau (Pintal 2000 : p.5). Pour ces raisons il est intéressant de s'attarder à la représentation de ce matériau au sein de notre aire d'étude afin d'en préciser la distribution et son importance.

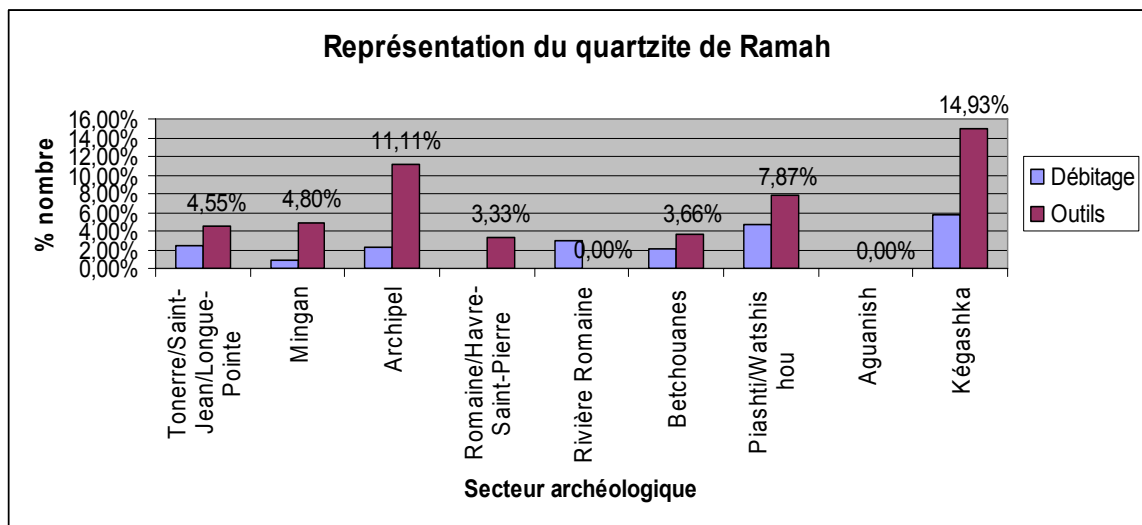
Le quartzite de Ramah figure sur 31 des sites que nous avons analysés, soit sur 34,44% d'entre eux. Il constitue le quatrième matériau en importance pour la production d'outils avec un total de 33 outils pour 5,75% du nombre. Quant au débitage, il occupe le cinquième rang avec 2,49% du nombre. La figure 61 indique les sites sur lesquels ce matériau a été répertorié alors que le tableau LVII présente sa représentation en fonction des secteurs archéologiques que nous avons définis. Les caractéristiques des assemblages de débitage et d'outils de chacun de ces sites sont fournies à l'intérieur de la base de données « **assemblages de quartzite de Ramah** » fournie en annexe.

Tableau LVII : Représentation du quartzite de Ramah par secteurs archéologiques

Secteur archéologique	Sites		Débitage				Outils	
	N sites avec Matériau	% Nombre du secteur	Nombre	% Nombre total	Poids	% poids total	Nombre	% Nombre total
Tonerre/Saint-Jean/Longue	1	14,29%	21	2,40%	2,2	0,14%	1	4,55%
Mingan	6	54,55%	43	0,82%	27,6	0,43%	6	4,80%
Archipel	3	50,00%	27	2,29%	23,55	4,60%	1	11,11%
Romaine/Havre-Saint-Pierre	3	21,43%	3	0,07%	0,45	0,02%	2	3,33%
Rivière Romaine	2	14,29%	3	3,03%	0,38	1,00%	0	0,00%
Betchouanes	6	85,71%	183	2,00%	12,1	0,20%	6	3,66%
Piashti/Watshishou	6	50,00%	380	4,64%	69,95	1,50%	7	7,87%
Aguanish	0	0,00%	0	0,00%	0	0,00%	0	0,00%
Kégashka	4	44,44%	159	5,73%	55	2,52%	10	14,93%
Total	31	34,44%	819	2,49%	191,23	0,78%	33	5,75%

Bien que ce matériau soit identifié sur un nombre relativement élevé de sites, sa représentation à l'intérieur des assemblages est assez restreinte. Restant sous le seuil de 5% du nombre total d'éléments de débitage, sauf pour le secteur de Kégashka. Le quartzite de Ramah bénéficie toutefois d'une représentation sensiblement plus élevée au sein des assemblages d'outils des sites de notre aire d'étude.

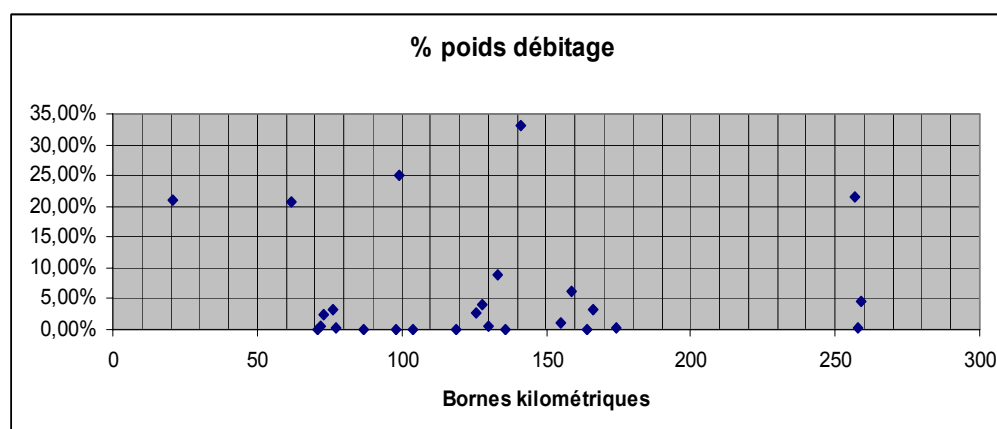
Figure 62 : représentation du quartzite de Ramah par secteurs pour le débitage et l'outillage



Bien que le secteur archéologique de Kégashka constitue la région pour laquelle la représentation absolue du quartzite de Ramah est la plus élevée, on ne constate pas réellement de diminution graduelle de la représentation de ce matériau d'est en ouest. La figure 63 illustrant la représentation du quartzite de Ramah en fonction % du poids total des

éléments de débitage et on y constate qu'il est impossible de percevoir une directionnalité dans sa distribution. D'ailleurs, 5 sites présentent une représentation excédant les 20% pour le quartzite de Ramah dans leur assemblage de débitage et ils sont répartis sur toute l'aire d'étude. Notons toutefois que le secteur de l'archipel présente deux sites dont l'assemblage de débitage est composé à plus de 20% par le quartzite de Ramah. Cette présence plus soutenue peut s'expliquer par le caractère temporel qu'expriment les sites de l'archipel, datant tous de moins de 2000 ans (Somecynsky 1986 : p.265; Couillard et al. 1983 : p.35) et sont donc tous attribuables à la période préhistorique récente, période à laquelle le quartzite de Ramah bénéficie d'une distribution et d'une utilisation plus considérable sur la Basse (Pintal 1990; 1998) et la Haute-Côte-Nord (Pintal 2000).

Figure 63 : Quartzite de Ramah; % poids des éléments de débitage



La représentation des éléments de débitage de petite (<50 mm²) et de grandes (>400 mm²) dimensions au sein des assemblages tend également à démontrer une certaine homogénéité à travers notre aire d'étude. La figure 64 illustre cette représentation et indique clairement que les éléments de grandes dimensions sont généralement très rares et que ceux de petites dimensions dominent fortement les assemblages. Le poids moyen très faible des éléments de débitage, 0,141g (N=269) témoigne également bien du caractère réduit de l'assemblage de débitage. Puisque les stades de réduction intermédiaires et finaux sont également bien représentés parmi les assemblages de débitage on peut affirmer sans trop de chance de se

tromper que les éclats en quartzite de Ramah sont essentiellement des éclats de réaffutage. La figure 65 illustre le poids moyen des différents assemblages et témoigne également de la forte similarité des sites de notre aire d'étude à cet égard.

Figure 64 : Représentation des éléments de petites et de grandes dimensions pour le quartzite de Ramah

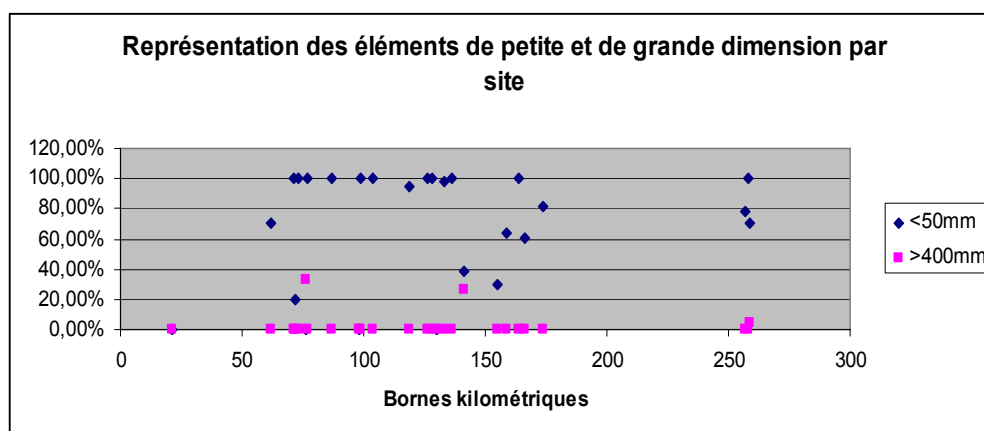
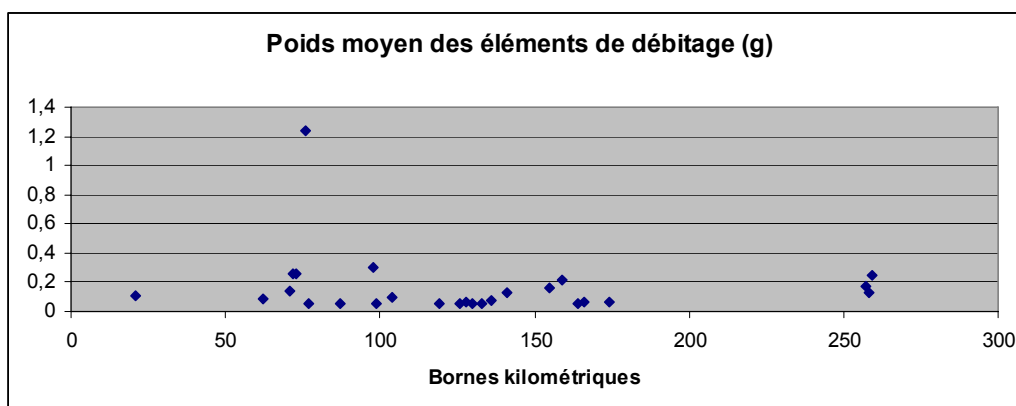


Figure 65 : Poids moyen des éléments de débitage en quartzite de Ramah



Les outils récupérés en quartzite de Ramah sur les sites de notre aire d'étude présentent un taux de fracturation élevé avec seulement 10 outils complets (30,30% du nombre). Ce fort taux de fracturation tend à démontrer une utilisation ou une conservation plus intensive de ce matériau (Plourde 1993). Les outils récupérés témoignent de la représentation d'une

grande variété de fonctions, se répartissant presque également entre les catégories bifaciales et celle des outils sur éclat (unifaces). La forte représentation des pièces bifaciales qui caractérise les deux variétés de quartzites présentées précédemment est beaucoup moins présente pour le quartzite de Ramah. Comme il s'agit d'un matériau de grande qualité pour lequel la disponibilité devait être relativement limitée, on aurait pu s'attendre à ce que la production d'outils soit fortement orientée vers la réalisation d'outils formels (Andrefsky 1994). Toutefois, on constate qu'un nombre important d'outils sont constitués d'outils informels (39,39% du nombre). Nous précisons également qu'aucun nucléus ou même fragment de bloc de ce matériau n'a été retrouvé parmi les sites de notre aire d'étude.

Tableau LVIII : Représentation des catégories fonctionnelles des outils en quartzite de Ramah

Type d'outils	Catégorie fonctionnelle	Nombre	% nombre
Biface	Pointe de projectile	9	27,27%
	Couteau	1	3,03%
	Biface	5	15,15%
Total Biface		15	45,45%
Unifaces	Grattoir	3	9,09%
	Racloir	2	6,06%
	É.utilisé/retouché	12	36,36%
	Indéterminé	1	3,03%
Total Unifaces		18	54,55%
Total Quartzite de Ramah		33	100,00%

Les caractéristiques morphologiques témoignent quant à elles de la dimension réduite des outils en quartzite de Ramah. Bien que le tableau LIX témoigne de certaines exceptions (un couteau et un racloir de grandes dimensions), le poids moyen des outils en quartzite de Ramah est toujours inférieur à ceux observés pour les « quartzites EbCp » et « Noui ». Bien que la catégorie des pièces bifaciales témoigne de dimension plus importante que pour le chert de la Minganie, celle des unifaces et plus particulièrement les éclats utilisés et/ou retouchés présentent un poids moyen plus faible que pour le chert de la Minganie pour lequel la dimension des outils est fortement contrainte par la dimension réduite des supports initiaux. Cet élément tend également à démontrer un effort de conservation et un degré d'utilisation plus avancé (Plourde 1993, Burke 2006, Shott 2007)

Tableau LIX : Poids moyen des outils complets en quartzite de Ramah

Type d'outils	Catégorie fonctionnelle	Poids moyen	Nombre d'outils complets
Biface	Pointe de projectile	3,15	2
	Couteau	77,7	1
Total Biface		28	3
Unifaces	Grattoir	3,2	3
	Racloir	45,3	1
	É.utilisé/retouché	2,63	3
Total Unifaces		8,97	7
Total Complet		14,68	10

Les caractéristiques des assemblages de quartzite de Ramah présentent donc des différences considérables avec celles des matériaux d'origine locale ou régionale présentées plus tôt. La plus grande distance qui sépare les sites de la source du quartzite de Ramah permet globalement d'expliquer le caractère plus réduit de cet assemblage. Toutefois, la représentation de ce matériau ne présente pas de variation considérable à travers l'espace pour notre région d'étude et semble témoigner d'une volonté généralisée de posséder quelques pièces de ce matériau. C'est cette volonté qui traduirait selon nous le mieux cette présence relativement homogène de ce matériau plutôt qu'un modèle de diminution monotonique (Renfrew 1977). L'attrait que semble exercer ce matériau pour les groupes de la péninsule Québec-Labrador et même au-delà a été abondamment soulevé (Loring 1992 : p.342, 2002 : p.181; Bellavance 2006) et, malgré la grande qualité de ce matériau ce serait essentiellement des motivations sociales, notamment d'intégration culturelle, qui serait illustrée par la distribution archéologique de ce matériau (Loring 1992 : p.491, 2002).

6.4- Les autres matériaux et la question de la provenance

Le tableau LX présente la représentation générale des différents types de matériaux et individualise ceux présentés jusqu'ici. Comme nous l'avons vu, le chert de la Minganie et le « quartzite EbCp » constituent des matériaux dont les affleurements sont situés à

l'intérieur ou encore à proximité de notre région d'étude. Nous avons aussi vu au chapitre 4 qu'un certain nombre de variétés de quartzites sont disponibles dans l'arrière-pays de notre aire d'étude (Codère 1999). Le quartz, pour lequel nous n'avons rien mentionné jusqu'ici est lui aussi théoriquement présent de façon sporadique à l'intérieur et à proximité de notre aire d'étude (Codère 1999). Ce matériau doit donc être considéré d'origine régionale. Donc si on accepte cette proposition, on constate en observant le tableau LX que si on combine les trois matériaux les mieux représentés de notre aire d'étude et que l'on y ajoute la représentation des différentes variétés de quartz, ces matériaux composent 87,75% du nombre total des éléments de débitage et ne laisse que très peu de place aux matériaux qui proviennent théoriquement de l'extérieur de notre région d'étude et que l'on peut considérer comme exotiques.

Tableau LX : Représentation des différents types de matériaux

Matériau	Débitage			Outils		
	Nombre	% nombre	Poids	% poids	Poids moyen	% nombre
Chert de la Minganie	15504	47,08%	11094,6	45,08%	0,74	47,39%
Quartzite EbCp	7273	22,09%	5446,65	22,13%	1,00	17,07%
Quartzite Noui	3465	10,52%	3735,23	15,18%	1,32	6,97%
Quartz (cumulé)	2652	8,05%	2560,81	10,40%	1,72	8,01%
Quartzites autres	927	2,82%	856,86	3,48%	1,15	3,31%
Quartzite de Ramah	819	2,49%	191,23	0,78%	0,14	5,75%
Cherts	2010	6,10%	576,69	2,34%	0,31	9,93%
Pélites	126	0,38%	73,62	0,30%	0,74	0,87%
Rhyolites	134	0,41%	75,05	0,30%	0,86	0,52%
Silex	17	0,05%	1,15	0,00%	0,08	0,17%
Schiste	1	0,00%	1,6	0,01%	NA	0,00%
Total	32928	100,00%	24613,49	100,00%	0,89	574

Les matériaux pour lesquels nous proposons une provenance exotique dans le cadre de ce travail sont sur une base initiale ceux constitués par le groupe des cherts et des pélites. Ces types de matériaux ne sont présents géologiquement nulle part à l'échelle de la région d'étude, à l'exception du chert de la Minganie (voir chapitre 4). C'est principalement sur la base de comparaisons effectuées avec les spécimens présents dans les différentes collections de référence lithique que nous avons réussi, sur une base préliminaire, à

identifier des recoupements et dans certains cas la provenance de certains des matériaux considérés exotiques.

Nous présentons ici une courte liste de ces matériaux en présentant ceux qui sont les mieux représentés parmi les collections analysées. Nous commençons par présenter de façon sommaire au tableau LXI les différents liens et associations que nous sommes parvenus à effectuer sur la base des caractéristiques visuelles des éléments de nos assemblages et les collections de références lithiques.

Tableau LXI : Échantillons similaires et détermination de la provenance de certains matériaux

Type matériau	Variété	Lithothèque Haute-Côte-Nord	Lithothèque Basse-Côte-Nord	Provenance	Remarques
Chert	Calcédoine bleutée	#3: C-01		Indéterminée	
Chert	Chert vert lustré	#5-6: C-02 / #18-19 C-10	#135, 137: C-36	Groupe de St-George Terre-Neuve	Portion gaineuse
Chert	Chert noir rhyolitique	#9: C-04		Indéterminée	Inclusions minérales étirées
Pélite	Mudstone marbré	#24: C-14		Indéterminée	
Chert	Chert de la Minganie	#26: C-15	#89: C11 / #111 C25X	Formation de Romaine, Minganie	Varitété au brun dominant
Chert	Chert brun carbonaté	# 35-36: C-22, #44: C-27	#77: C1, #110-111: C25, 25X1	Groupe de St-George Terre-Neuve	Chert brun tacheté
Chert	Chert Bourgogne	#73: C-56		Indéterminée	
Quartzite	Quartzite fin Kégashka	#102-104, Qi-03	#3-4 QTZ2-2X	Formation de Bateau NE de Belle-Isle	Inclusions ferrugineuses alignées
Rhyolite	Rhyolite bleutée		#22: QTZ15	Indéterminée	Quartzite bleu grenatifère
Chert	Chert noir carbonaté		#74: C-2	Groupe de St-George Terre-Neuve	Variété verdâtre altéré
Chert	Chert Marbré gris-beige-mauve		#102-103: C-20X / #119: C-27	Groupe de St-George Terre-Neuve	
Chert	Chert Mauve		#161, 162: C-53	Labrador central (lac Seal)	Chert saunders (Nagle 1978)

Nous précisons ici que ces deux collections de référence sont de type archéologique. Les éléments qu'elles contiennent sont donc essentiellement des artefacts récupérés dans leurs régions respectives et la détermination de la provenance de ces matériaux exige un effort supplémentaire que celui de la création d'un catalogue de matériaux représentés sur les sites archéologiques. La collection de référence lithique de la Basse-Côte-Nord présente toutefois la particularité de documenter la provenance d'une grande partie des échantillons recensés (Marquis 1998 : p.327). Nous présenterons la distribution et la représentation de certains de ces matériaux qui constituent la plus importante part des matériaux exotiques recensés. Une description détaillée de ces matériaux peut également être trouvée à l'intérieur de la base de données « **description des matériaux** » fournie en annexe.

6.4.1- Le chert mauve ou chert « Saunders »

Ce matériau avait été identifié au chapitre 4 comme un matériau assez diagnostique qui était susceptible de se retrouver parmi les assemblages de notre aire d'étude. Chapdelaine avait soulevé la présence d'un chert mauve assez caractéristique au sein de certains des assemblages des sites de Kégashka, plus particulièrement sur le site EbCi-007 (Chapdelaine 2004). Tel que présenté au chapitre 4, la provenance de ce matériau se trouve vraisemblablement au Labrador central et son utilisation est principalement associée à la période intermédiaire, *Intermediate Indian* (Neilson 2006; McCaffrey, Loring et Fitzhugh 1989) et tout particulièrement pour la phase Saunders où il constitue un matériau dominant (Nagle 1978). Ce chert mauve assez caractéristique représente 1,39% du nombre total d'éléments de débitage et 1,05% du nombre d'outils de notre aire d'étude. Il a été identifié sur neuf sites, mais sa présence est surtout associée au secteur archéologique de Kégashka. La figure 75, présentée en annexe, identifie les sites ayant livré ce matériau.

Tableau LXII : Distribution des éléments en chert mauve par secteur archéologique

Secteur archéologique	Sites	Débitage		Outils	
	N sites avec Matériau	Nombre	% Nombre total	Nombre	% Nombre total
Tonerre/Saint-Jean/Lon	0	0	0,00%	0	0,00%
Mingan	0	0	0,00%	0	0,00%
Archipel	0	0	0,00%	0	0,00%
Romaine/Havre-Saint-P	1	1	0,22%	1	16,67%
Rivière Romaine	1	9	1,97%	0	0,00%
Betchouanes	0	0	0,00%	0	0,00%
Piashti/Watshishou	1	5	1,09%	0	0,00%
Aguanish	0	0	0,00%	0	0,00%
Kégashka	6	443	96,72%	5	83,33%
Total chert Mauve	9	458	100,00%	6	100,00%
Total analyse		458	1,39%	6	1,05%

La forte représentation de ce matériau pour le secteur de Kégashka est principalement attribuable au site EbCi-007 pour lequel nos analyses ont identifié la présence de 385 éléments de débitage (56,70% du nombre total) ainsi que 2 outils attribuables à ce matériau. Ce site, daté de 3010 ± 130 ans A.A. (Chapdelaine 2004 : p.89), témoigne bien de la popularité de ce matériau à la période intermédiaire 2600-3500 ans A.A. (Neilson 2006) et semble même indiquer que ce matériau ait pu circuler assez abondamment. À l'extérieur du secteur de Kégashka, le chert mauve n'est que très peu représenté. Cette réalité semble donc indiquer que sa circulation ne s'effectue pas réellement sur d'énormes distances, du moins pour la région de la Minganie et de la Moyenne-Côte-Nord. Ce matériau n'a d'ailleurs pas été répertorié parmi la collection de référence de la Haute-Côte-Nord. Finalement, il est intéressant de mentionner que cinq des six outils récupérés sont des bifaces (N=2) ou pointes de projectile (N=3) et que seulement un (EbCh-7.001) est complet. La production et la circulation des outils en chert mauve sont donc essentiellement des outils formels et témoignent d'un taux de fracturation très élevé (83,33%).

6.4.2- Chert marbré gris-beige-mauve

Ce chert marbré et vacuolaire, qui présente des teintes diverses et passe d'un gris très clair au beige et présente même par endroits de légères teintes violacées provient

vraisemblablement de Terre-Neuve (Marquis 1998). La collection de référence lithique de la Basse-Côte-Nord présente plusieurs échantillons similaires de ce matériau et Marquis (1998 : p.335) attribue sa provenance au groupe de Saint-George sur la côte ouest de l'île de Terre-Neuve. Ce matériau a été identifié 9 sites et constitue 1,18% du nombre total des éléments de débitage et 1,22% du nombre total d'outils avec un décompte de 7. La figure 76, fournie en annexe, présente la distribution des sites pour lesquels ce matériau a été identifié.

Tableau LXIII : Distribution des éléments de Chert marbré gris-beige-mauve par secteur archéologique

Secteur archéologique	Sites	Débitage		Outils	
	N sites avec Matériau	Nombre	% Nombre total	Nombre	% Nombre total
Tonerre/Saint-Jean/Long	0	0	0,00%	0	0,00%
Mingan	2	32	5,67%	2	28,57%
Archipel	0	0	0,00%	0	0,00%
Romaine/Havre-Saint-Pierre	4	79	20,36%	3	42,86%
Rivière Romaine	0	0	0,00%	0	0,00%
Betchouanes	1	4	1,03%	0	0,00%
Piashti/Watshishou	0	0	0,00%	0	0,00%
Aganish	1	0	0,00%	1	14,29%
Kégashka	1	273	70,36%	1	14,29%
total chert marbré gris-beige-mauve	9	388	100,00%	7	100,00%
Total analyse		388	1,18%	7	1,22%

Ce matériau est plus fortement représenté sur le secteur de Kégashka, ce qui concorde bien avec une plus grande proximité géographique, mais présente toutefois également une représentation plus appréciable sur les secteurs situés plus à l'ouest. Bien que plusieurs trous soient présents dans cette distribution, on perçoit néanmoins assez nettement la diminution de la représentation de ce matériau d'est en ouest. Parmi les catégories d'outils confectionnés à partir du matériau, ce sont encore une fois les pièces bifaciales qui dominent avec quatre (1 biface et 3 pointes de projectiles) et présentent également un taux de fracturation élevé avec 75%.

6.4.3- Le chert brun carbonaté

Le chert brun carbonaté est un matériau dont la couleur et la texture sont assez variables et notre classification risque d'inclure plusieurs variétés. Toutefois, elle semble assez solide puisqu'elle se base essentiellement sur l'identification de transitions et par la nature des inclusions qui elles sont beaucoup moins variables. Sur la base de la similitude avec plusieurs échantillons de la collection de référence de la Basse-Côte-Nord, nous associons la provenance de ce matériau au groupe de Saint-George qui contient une certaine variabilité de cherts bruns (Marquis 1998). Ce matériau figure au sein des deux collections de références. Le chert brun carbonaté figure parmi 14 sites de notre aire d'étude. La figure 77, fournie en annexe, présente la distribution des sites qui ont recelé ce matériau. Comme pour les deux matériaux précédents. Ce matériau est essentiellement représenté parmi les secteurs archéologiques de la portion est de notre aire d'étude. Encore ici, ce sont les pièces bifaciales qui dominent l'assemblage des outils, ils constituent d'ailleurs la totalité des outils récupérés pour ce matériau. Leur taux de fracturation est aussi relativement élevé avec 60%.

Tableau LXIV : Distribution des éléments de chert brun carbonaté par secteurs archéologiques

Secteur archéologique	Sites	Débitage		Outils	
	N sites avec Matériau	Nombre	% Nombre total	Nombre	% Nombre total
Tonerre/Saint-Jean/Lon	0	0	0,00%	0	0,00%
Mingan	4	92	11,49%	2	13,33%
Archipel	0	0	0,00%	0	0,00%
Romaine/Havre-Saint-P	0	0	0,00%	0	0,00%
Rivière Romaine	1	12	1,50%	2	13,33%
Betchouanes	2	19	2,37%	0	0,00%
Piashti/Watshishou	2	144	17,98%	2	13,33%
Aguanish	1	1	0,12%	0	0,00%
Kégashka	4	533	66,54%	9	60,00%
total quartzite fin de Kégashka	14	801	100,00%	15	100,00%
Total analyse		801	2,43%	15	2,61%

6.4.4- Le chert vert lustré

Les variétés de chert de couleur verte sont assez nombreuses parmi le nombre de catégories lithiques que nous avons généré. Le chert vert lustré constitue néanmoins une variété pour laquelle l'identification systématique est facilitée par la présence d'une gaine de couleur crème de type calcareuse diagnostique. Ce matériau figure au sein des deux collections de références employées et Marquis (1998) attribue sa provenance au groupe de Saint-George de l'île de Terre-Neuve (Marquis 1998). Bien que la provenance identifiée par Marquis, sur la côte ouest de l'île de Terre-Neuve (1998 : p.335) et la description de matériau permettent d'effectuer certains rapprochements avec le chert Cow Head (Leblanc 2000), le chert vert lustré que nous identifions ne correspond pas à ce chert spécifique (CRLQ-TN-01-0001). De plus, Marquis (1998) ne fait nulle part référence à ce matériau en particulier.

Le chert vert lustré figure parmi 12 sites de notre région d'étude, et encore une fois, ce matériau exotique est majoritairement représenté pour la portion est de notre aire d'étude. La figure 78, présentée en annexe illustre la distribution des sites qui contiennent ce matériau. En termes de la production d'outils, ce matériau présente certaines particularités. Des neuf outils récupérés, six sont constitués d'éclats retouchés et /ou utilisés. Même un fragment de nucléus (petit rognon) a été identifié sur le site EbCp-002. Ces particularités témoignent d'une stratégie de réduction différente de celle des matériaux présentés précédemment et reflète vraisemblablement une contrainte imposée par les matériaux qui se présentent en galet.

Tableau LXV : Distribution des éléments en chert vert lustré par secteurs archéologiques

Secteur archéologique	Sites	Débitage		Outils	
	N sites avec Matériau	Nombre	% Nombre total	Nombre	% Nombre total
Tonerre/Saint-Jean/Lon	0	0	0,00%	0	0,00%
Mingan	1	1	0,39%	1	11,11%
Archipel	2	30	11,81%	1	11,11%
Romaine/Havre-Saint-P	1	1	0,39%	0	0,00%
Rivière Romaine	1	0	0,00%	1	11,11%
Betchouanes	3	32	12,60%	3	33,33%
Piashti/Watshishou	2	18	7,09%	1	11,11%
Aguanish	0	0	0,00%	0	0,00%
Kégashka	2	172	67,72%	2	22,22%
total chert vert lustré	12	254	100,00%	9	100,00%
<i>Total analyse</i>		254	0,77%	9	1,57%

6.4.5- Le « quartzite fin de Kégashka »

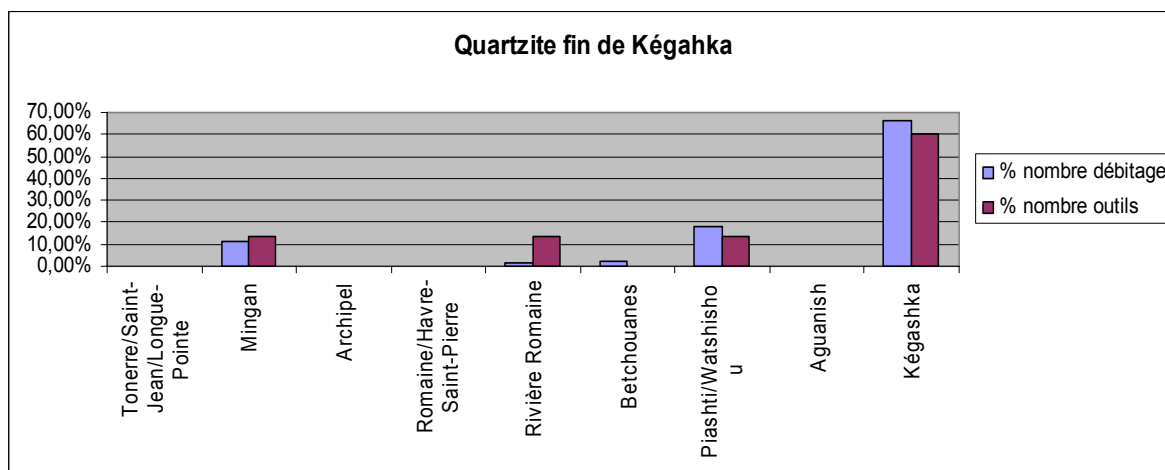
Le matériau que nous avons nommé sur une base préliminaire « quartzite fin de Kégashka » constitue un des rares quartzites exotiques, à l'exception du quartzite de Ramah, qui ait relativement abondamment circulé à l'intérieur de notre aire d'étude. Selon nos observations et les collections de référence, en particulier celle de la Basse-Côte, ce matériau qui constitue un quartzite blanc à jaunâtre, présentant parfois une légère teinte enfumée de granulométrie très fine et homogène proviendrait de la formation de Bateau sur la côte nord-est de l'île de Terre-Neuve. Ce quartzite fin est très diagnostique par la présence d'inclusions minérales ferreuses noires et parfois oxydées donnant à la matrice une légère teinte orangée par endroits. Ce matériau figure sur 14 sites de notre région d'étude qui sont identifiés sur la figure 79 fournie en annexe. Il constitue 2,43% du nombre total des éléments de débitage et 2,61% du nombre d'outils.

Tableau LXVI : Distribution des éléments de quartzite fin de Kégashka par secteurs archéologiques

Secteur archéologique	Sites	Débitage		Outils	
	N sites avec Matériau	Nombre	% Nombre total	Nombre	% Nombre total
Tonerre/Saint-Jean/Longue-Pointe	0	0	0,00%	0	0,00%
Mingan	4	92	11,49%	2	13,33%
Archipel	0	0	0,00%	0	0,00%
Romaine/Havre-Saint-Pierre	0	0	0,00%	0	0,00%
Rivière Romaine	1	12	1,50%	2	13,33%
Betchouanes	2	19	2,37%	0	0,00%
Piashti/Watshishou	2	144	17,98%	2	13,33%
Aguanish	1	1	0,12%	0	0,00%
Kégashka	4	533	66,54%	9	60,00%
total quartzite fin de Kégashka	14	801	100,00%	15	100,00%
<i>Total analyse</i>		801	2,43%	15	2,61%

Sa représentation au sein du débitage dans les assemblages de notre région d'étude s'approche de celle du quartzite de Ramah (Ramah = 2,49% du nombre total), mais en est nettement inférieure par mi les outils récupérés (15 contre 33 pour le quartzite de Ramah). La distribution géographique du quartzite fin de Kégashka est également moins globale que celle du quartzite de Ramah, particulièrement pour les éléments de débitage. Ce premier se concentre principalement dans la portion est de l'aire d'étude bien que le secteur archéologique de Mingan témoigne d'une représentation appréciable de ce matériau malgré son éloignement. On peut donc identifier une diminution de la représentation de ce matériau à mesure que l'on s'éloigne de sa source en se dirigeant vers l'ouest. Les pièces bifaciales dominent encore ici l'assemblage des outils récupérés avec 13 sur 15 et témoigne également d'un taux de fracturation élevé avec 66,66% du nombre d'outils.

Figure 66 : Distribution des éléments de quartzite de Kégashka par secteur archéologique



6.4.6- Le chert rhyolitique noir

Un dernier matériau auquel nous portons une attention particulière est le matériau que nous avons appelé le chert rhyolitique noir. Il s'agit d'une pierre très siliceuse dans laquelle baigne un ensemble d'inclusions minérales. Sa texture vitreuse et la présence d'inclusions minérales lui donnent l'allure d'une rhyolite, mais en l'absence d'un alignement explicite des inclusions il est visuellement impossible de départager si cette pierre est réellement une rhyolite. Son nom rappelle cette ambiguïté. La provenance de ce matériau est inconnue, mais il a tout de même été repéré dans la collection de référence de la Haute-Côte-Nord sous le code C-04 (voir tableau LXI). Marquis le considère donc comme un chert et non une rhyolite.

Le chert rhyolitique noir figure sur 16 sites de notre aire d'étude. Malgré un nombre de sites relativement élevé, ce matériau ne constitue que 0,50% du nombre total d'éléments de débitage et 0,70% des outils avec un nombre total de 4. La figure 80 fournie en annexe indique la position des sites qui ont livré des éléments de ce matériau. La distribution de ce matériau à travers l'aire d'étude est relativement homogène avec seulement le secteur archéologique des Betchouanes ressortant clairement du lot en présentant une concentration plus élevée des éléments de débitage. Sa distribution régionale ne démontre pas de réelle

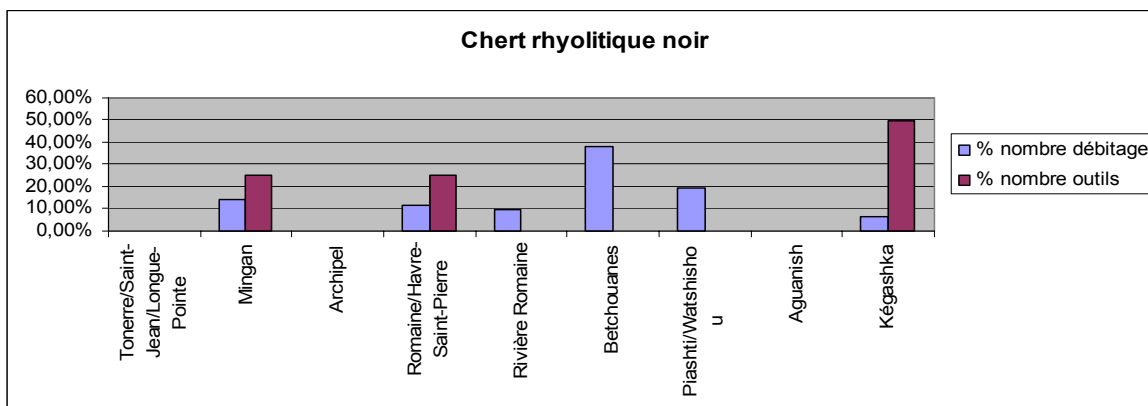
direction de mouvement. Cette caractéristique, qui le différencie des matériaux précédents ne permet pas de contribuer à préciser la provenance de ce matériau à l'aide des données archéologiques que nous possédons.

Tableau LXVII : Distribution des éléments en chert noir rhyolitique par secteur archéologique

Secteur archéologique	Sites	Débitage		Outils	
	N sites avec Matériau	Nombre	% Nombre total	Nombre	% Nombre total
Tonerre/Saint-Jean/Lon	0	0	0,00%	0	0,00%
Mingan	2	23	14,11%	1	25,00%
Archipel	0	0	0,00%	0	0,00%
Romaine/Havre-Saint-P	2	19	11,66%	1	25,00%
Rivière Romaine	1	16	9,82%	0	0,00%
Betchouanes	4	62	38,04%	0	0,00%
Piashti/Watshishou	5	32	19,63%	0	0,00%
Aguanish	0	0	0,00%	0	0,00%
Kégashka	2	11	6,75%	2	50,00%
Total chert rhyolitique noir	16	163	100,00%	4	100,00%
<i>Total analyse</i>		163	0,50%	4	0,70%

La provenance de ce matériau pourrait se trouver vers l'intérieur et possiblement vers la fosse du labrador et expliquer cette distribution relativement homogène de ce matériau. Cette hypothèse devra toutefois être vérifiée plus sérieusement afin d'en augmenter la crédibilité. Ce matériau ne permettant pour l'instant aucune comparaison avec des échantillons géologiques de provenance connue.

Figure 67 : Distribution des éléments en chert noir rhyolitique à travers l'aire d'étude



Les matériaux que nous venons de présenter, bien qu'ils ne constituent individuellement qu'une portion très faible de la représentation des matières premières lithiques utilisées, leur représentation cumulée, en incluant le quartzite de Ramah atteint néanmoins 9,31% du nombre total d'éléments de débitage et 13,75% du nombre total d'outils. La grande majorité des matériaux que nous venons de présenter et pour lesquels la provenance est connue témoigne de relations avec les régions du détroit de Belle-Isle, de Terre-Neuve et du Labrador. Les régions situées à l'ouest et au sud de notre étude, notamment la Haute-Côte-Nord, ne figurent pas parmi les provenances identifiées. Cette réalité est en partie liée à un biais au niveau des collections de références lithiques, seules les collections de la Basse-Côte-Nord et celle du CRLQ identifiant généralement la provenance géologique des échantillons. Toutefois les liens entre la Moyenne et la Basse-Côte-Nord semblent réellement plus réguliers et soutenus, tant au niveau d'un partage d'une adaptation très similaire que de l'utilisation des mêmes matières premières lithiques. Le fait que ces liens ressortent plus dans nos données est une réalité selon nous et non pas simplement un artefact des collections ou biais des collections de référence lithiques disponibles.

En terminant cette section, nous pouvons effectuer quelques commentaires concernant certains matériaux spécifiques. Premièrement, nous aurions pu nous attendre à identifier plus fréquemment le quartzite de Blanc-Sablon parmi les assemblages de notre aire d'étude. Celui-ci n'a été identifié que sur trois sites. Le site principal, EbCi-010, est situé dans le

secteur de Kégashka. La présence de ce matériau y avait été préalablement identifiée par le chercheur (Chapdelaine 2004 : p.104). Ce site attribuable à la période du post-Archaique avec une datation de 2420 ± 100 ans AA (Chapdelaine 2004 : p.97; Pintal 1998 : p.18) ne témoigne toutefois que d'une circulation ténue de ce matériau, seulement un racloir et quatre éclats étant constitués de ce matériau. Deux autres sites, EbCn-001 du secteur d'Aguanish et EbCp-002 du secteur Piashti/Watshishou, présentent chacun un élément de ce matériau. Le quartzite de Blanc-Sablon ne bénéficie donc pas d'une représentation significative à l'échelle de notre région d'étude. Ce matériau semble avoir bénéficié d'une certaine importance au niveau local (Pintal 1990; 1992), particulièrement aux périodes plus anciennes, avant que ne se mettent en place les réseaux d'échanges faisant circuler le quartzite de Ramah et les cherts de Terre-Neuve (Pintal 1990; 1992; 1998). Son utilisation permet donc certains parallèles avec celle de l'utilisation du chert de la Minganie. Ce dernier ne semble toutefois jamais cesser d'être utilisé abondamment au niveau local. Le manque de contrôle chronologique ne nous permet toutefois pas vraiment de documenter la variation de son importance à travers le temps.

Tel que nous l'avons relevé au cours de cette présentation, les matériaux de provenance exotique présentent des caractéristiques qui les différencient des matériaux de provenance plus régionale. Au regard de la production des outils, les matériaux exotiques sont presque exclusivement consacrés à la production de pièces bifaciales. La forte représentation des pièces fracturées, combinée à leur nombre limité, ne permet pas réellement d'élaborer sur les différences de dimensions et de proportions dont elles pourraient témoigner. Toutefois, ce fort taux de fracturation tend à démontrer un stade d'utilisation plus avancé de ces matériaux (Plourde 1993) comparativement au faible taux dont témoigne le chert de la Minganie.

L'assemblage de débitage permet néanmoins de démontrer que le poids moyen des éléments complets de débitage est systématiquement inférieur (à l'exception du quartzite fin de Kégashka) à celui des matières locales, même si on ne considère que la chert de la

Minganie qui présente une granulométrie cryptocristalline comme la plupart des matériaux de provenance exotique. Cet élément tend à démontrer un avancement plus important du processus de réduction de ces éléments (Burke 2007; Shott 2007; Plourde 1993; Bradbury et Carr 2004). La représentation des éclats qui présentent un nombre de deux facettes ou plus sur la plateforme de leur talon tend également à identifier un stade de réduction plus avancé pour les matériaux exotiques identifiés (Magne 1985; 2001; Bradbury et Carr 2004). Le tableau LXVIII présente les données relatives au poids moyen des éléments complets et de la représentation des éléments présentant deux facettes ou plus sur la plateforme de leur talon et présente le nombre d'éléments utilisés pour effectuer ces calculs.

Tableau LXVIII : Comparaison de deux variables pour les assemblages de matériaux exotiques et de matériaux dits « régionaux ».

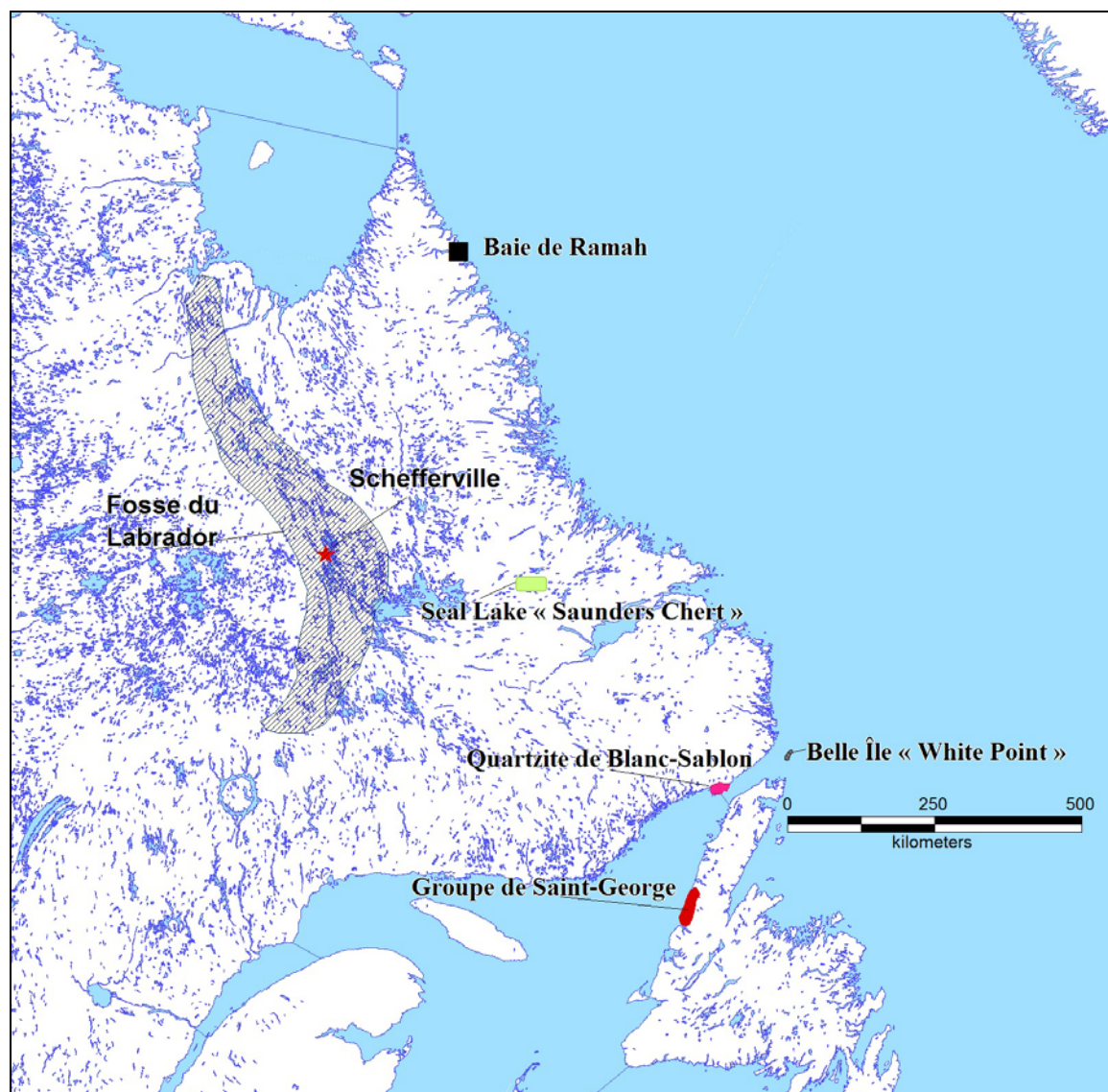
Provenance générale	Matériau	Poids moyen (g)	N éléments	2 facettes et +	N éléments
Matériaux exotiques	Chert Mauve	0,24	112	65,75%	219
	Chert Marbreé gris-beige-mauve	0,34	112	55,56%	189
	Chert brun carbonaté	0,42	73	65,22%	115
	Chert vert lustré	0,28	107	58,71%	155
	Chert rhyolitique noir	0,31	73	68,42%	95
	Quartzite fin de Kégashka	1,26	302	44,29%	429
	Quartzite de Ramah	0,14	269	58,94%	414
	Chert gris-verdâtre (fosse du Labrador?)	0,08	24	46,15%	39
Matériaux régionaux	Chert Mingan	0,74	6370	22,74%	8487
	Quartzite EbCp	1,00	2672	33,98%	3670
	Quartzite Noui	1,32	1268	41,42%	2004
	Quartz (cumulé)	1,72	837	19,58%	1134

Finalement, un chert gris-verdâtre présentant des inclusions circulaires concentriques et une surface d'altération lui donnant une texture mate pourrait bien provenir de la fosse du Labrador (CRLQ-10-0164; McCaffrey 1989; 1989a). Cette proposition se base essentiellement sur la comparaison d'éléments identifiés par Codère (Codère 2000 : p.4) pour la rivière Sainte-Marguerite ou il attribue cette provenance à un matériau présentant des caractéristiques similaires. Le contexte archéologique et sa présence sur deux assemblages situés sur le cours intérieur de la rivière Romaine, les sites EiCw-009 et

EkCw-004, permettaient aussi de poser cette hypothèse, ce matériau ne bénéficiant pas d'une réelle représentation sur la côte.

Les matériaux provenant de l'intérieur des terres de même que de la région de la Haute-Côte-Nord sont vraisemblablement sous représentés parmi notre assemblage faute de bases comparatives aussi élaborées et complètes que celle qui est disponible pour la Basse-Côte-Nord (Marquis 1998; Pintal 1998). L'absence de l'identification de matériaux clairement attribuables à ces secteurs ne devrait donc pas témoigner de l'absence de tels contacts puisqu'on sait que ceux-ci ont eu lieu (Chevrier 1996a; Chapdelaine 1995; Clermont 1998; Martijn 1986) et que d'autres indices archéologiques, tels la présence de poterie sur les sites de la région tendent à le suggérer. L'identification de matériaux tels le chert de Québec ou le chert de Gaspé, voire le chert Onondaga, aurait permis de souligner de telles présences. Ces absences au niveau de nos identifications semblent donc relever d'une faible visibilité archéologique des éléments qui auraient pu permettre d'identifier de tels liens.

Figure 68 : Provenance des matériaux exotiques identifiés



6.5- Limitations dans les données

Les résultats que nous venons de présenter sont le résultat d'une étude régionale des assemblages lithiques provenant des sites préhistoriques. La région que nous nous proposons d'étudier, qui s'étend du village de Sheldrake à celui de Kégashka et qui correspond à l'ensemble de la région de la Minganie, couvre un territoire très large et

comprend un nombre de sites préhistoriques considérable. C'est un total de 90 sites préhistoriques, pour lesquels les assemblages de débitage et d'outillage ont été analysés. C'est ainsi plus de 32 000 éléments de débitage et 574 outils qui ont été considérés au cours de ces analyses et qui permettent maintenant de préciser dans une large mesure les caractéristiques de l'utilisation des matières premières lithiques au cours de la préhistoire de la région d'étude.

La démarche que nous avons privilégiée pour cette étude met l'accent sur la quantité et le traitement efficace d'un nombre élevé de données plutôt que sur la précision et la particularité de chaque assemblage ou même de chaque artéfact. Ce choix s'imposait pour la poursuite de nos objectifs associés à une perspective régionale large impliquant une mise à jour des données disponibles. C'est sans surprise que certains éléments demeurent sans réponse et que certaines problématiques auraient peut-être mérité d'être abordées plus en profondeur. Toutefois, la mise en commun et le traitement d'un grand ensemble de données nécessitent ultimement de se concentrer sur les dénominateurs communs qu'elles contiennent.

Bien que nous ayons présenté les grandes lignes de l'utilisation des matières premières à une échelle spatiale considérable, une critique importante incombe la précision et la validité de nos interprétations, celle du contrôle chronologique de cette variation. Comme nous l'avons vu au chapitre 3, qui présente l'état des connaissances concernant la préhistoire de la Moyenne-Côte-Nord, le contrôle chronologique des assemblages préhistoriques y est encore embryonnaire. En l'absence d'un contrôle chronologique adéquat, nous avons privilégié une approche globale, qui, sur une base préliminaire, confond ce caractère temporel pour ne considérer que la variation spatiale. Il semble évident que ce manque de précision au niveau temporel et chronologique limite aussi la précision de nos résultats et réduit au silence un important facteur de cette variabilité (Pintal 1990; 1998). Nous considérons cependant, à la lumière du travail accompli, que la simple présentation et

production de ces analyses représente déjà un effort considérable et permet de dresser un portrait global de la situation.

Les données produites demeurent disponibles pour le développement de problématiques plus ciblées et permettent de faciliter le développement et l'identification des assemblages susceptibles d'être sélectionnés pour la poursuite de ces objectifs, entre autres des questionnements d'ordre chronologique. Ces données ont d'ailleurs le mérite de constituer un ensemble pour lequel l'information est actualisée et augmentée considérablement par l'identification des matières premières présentes et de leur représentation respective. La production de cartes permet entre autres de présenter de façon rapide et efficace cet ensemble de données dont le contrôle et la présentation étaient jusqu'ici déficients.

Faisant suite à la production et à la présentation de ces résultats, un second élément mérite également d'être commenté. Il est également important de souligner que la validité des identifications et descriptions macroscopiques a souvent été questionnée (Calogero 1992; Clermont et Chapdelaine 1995; Morin et Marquis 1995). Nous ne mettons pas en question la validité de la méthodologie employée, qui a été abondamment utilisée au Québec (Codère 1998; 1996; 1993; Marquis 1998) et a fait ses preuves comme outil de classification. Il est toutefois important de préciser que malgré les efforts de systématisation et de standardisation des observations qui ont été effectuées, le travail de classification implique néanmoins une certaine part de hasard qui sur la base d'identifications visuelles macroscopique est impossible à dissiper complètement. Cette part de hasard découle essentiellement de la grande variabilité dont certains matériaux font état (Clermont et Chapdelaine 1995 : p.45).

Si la variabilité de certains matériaux peut être mieux contrôlée grâce à une bonne connaissance de leur présentation et de leurs variétés en contexte géologique (Chert de la Minganie, présent mémoire, Chert Touladi : Burke et Chalifoux 1998, La Martre : Burke 2002, quartzite de Mistassini : Leblanc 2004, le quartzite de Ramah : Lazenby 1980, le

chert Munsungun : Pollock, Hamilton et Bonnicksen 1999, et plusieurs cherts du sud de l'Ontario : Elley et von Bitter 1989), assez peu de matériaux présentent cet avantage. Si certains matériaux deviennent familiers en cours d'analyse et permettent d'établir une connaissance assez solide de leur variabilité et rendent leur identification plus fiable à travers les différents assemblages, d'autres ne figurent que sur un seul site ou encore ne présentent qu'un nombre très limité d'éléments. Ces matériaux posent particulièrement problème selon nous quant au contrôle de leur variabilité et à la représentativité de nos descriptions. Les matériaux en provenance des régions situées à l'ouest de notre aire d'étude peuvent d'ailleurs bien se dissimuler à l'intérieur de cet ensemble de matériaux, qui sont véritablement exotiques, mais dont la provenance demeure indéterminée pour l'instant.

Notre méthodologie d'analyse permet néanmoins une certaine flexibilité et nous ne mettons pas en doute nos résultats, mais soulevons certains problèmes inhérents à ce type d'entreprise (Calogero 1992; Clermont et Chapdelaine 1995) car elle a également le mérite, si elle ne permet pas pour l'instant de répondre à toutes les questions, d'identifier la présence de ces matériaux et permettre plus facilement la sélection d'un échantillon qui pourrait être soumis à un exercice de caractérisation et de détermination plus approfondi (Morin et Marquis 1995).

Une seconde limitation qui influence vraisemblablement nos résultats et leur interprétation relève de la disponibilité et de la qualité des collections de références lithiques (Odell 2004 : p.41; Aubry 2005 : p.250; Blades 2006). La comparaison de l'assemblage de matières premières que nous avons décrites avec les collections de références lithiques disponibles, particulièrement celles de la Basse et de la Haute-Côte-Nord, nous a permis d'identifier certaines associations possibles entre les matériaux et parfois même d'attribuer une provenance à certains matériaux qui figuraient parmi nos assemblages. Les liens que nous sommes parvenus à identifier mettent en relation notre région d'étude avec les régions du Labrador, de la Basse-Côte-Nord et de Terre-Neuve principalement. La comparaison de nos échantillons à ceux de la collection de référence lithique de la Haute-Côte-Nord permet

également d'identifier des matériaux qui sont communs aux deux régions, mais le fait que la provenance de la grande majorité des matières premières qui y figurent soit indéterminée ne permet pas réellement d'élaborer quant à la nature de ces liens, ni même en termes de direction de mouvement.

Cet élément illustre l'importance et l'avantage que présente une collection de référence pour laquelle la provenance des matériaux est majoritairement connue (Marquis 1998). La collection de référence du CRLQ présente un net avantage à cet égard puisqu'elle est essentiellement constituée d'échantillons géologiques. Nous croyons que la prépondérance des liens identifiés avec les territoires à l'est et au nord de notre aire d'étude puisse être valables, toutefois nous nous attendions également à pouvoir identifier certaines matières premières qui pourraient témoigner de relations avec les régions sises plus à l'ouest comme la Haute-Côte-Nord et les régions situées plus en amont le long du fleuve Saint-Laurent, voire même sur la rive sud de l'estuaire. Ces matériaux sont vraisemblablement présents, mais sont pour l'instant passés inaperçus dans nos collections.

Ce dernier élément est vraisemblablement relié également au problème du traitement de données auquel nous avons été ultimement confrontés. La production d'un nombre considérable de données par l'analyse d'un nombre élevé de sites, bien qu'elle assure une meilleure représentation régionale, peut rapidement devenir difficile à gérer et à mettre équitablement en valeur. En ce sens, nous avons explicitement privilégié certaines avenues et effectué des choix dans la présentation des données. Un nombre important de données qui ont été amassées et cumulées passent donc sous silence ou encore sont présentées de façon très succincte. Le type d'étude que nous avons effectué nous contraint dans un certain sens à nous limiter aux données qui sont les plus évocatrices en relation avec notre thème de recherche. Ces données ont généralement été celles qui sont du type le plus simple et qui sont disponibles pour le plus grand nombre de sites analysés.

6.6- Conclusion de la présentation des résultats

La présentation des résultats se termine ici avec la présentation de la description des principales matières premières de provenance exotiques que nous avons répertoriée au cours de nos analyses. Bien que la présence de ces matériaux nous informe au niveau des contacts et réseaux d'alliances que pouvaient entretenir les groupes qui ont occupé notre aire d'étude, l'utilisation et la sélection des matières premières dont témoignent une majorité de sites de la région tendent à démontrer l'importance des matériaux disponibles localement. Les matières premières lithiques de provenance locale ou régionale comme le chert de la Minganie et le « quartzite EbCp » sont les matériaux les mieux représentés parmi les sites étudiés. Non seulement sont-ils les matériaux les plus fréquents, mais leur représentation sur le territoire permet dans un certain sens de modéliser leur circulation et leur utilisation. À la lumière de nos résultats, l'utilisation du chert de la Minganie et du « quartzite EbCp » témoigne d'une utilisation abondante, mais géographiquement restreinte de ces matériaux. La distribution de ces matériaux répond de façon générale très bien au modèle de diminution monotonique présenté par Renfrew (Renfrew et al. 1969 dans Burke 2007; Renfrew 1977). L'étude de la distribution de ces matériaux à partir des points d'acquisition et en s'éloignant de la source permet entre autres d'identifier certaines tendances qui ont également été répertoriées ailleurs dans le registre archéologique et permettent d'identifier une zone d'acquisition (Renfrew et al. 1969 dans Burke 2007 : p.74), ou le *home area* de Webb (1974 : p. 366). Dans la section suivante, nous nous pencherons sur la signification dont peut témoigner la distribution de ces matériaux et aborderons la notion de territoire. Plus particulièrement nous tenterons d'observer si les territoires définis par la représentation et la distribution de certains matériaux peuvent avoir des équivalences en termes de territoires, notions définies essentiellement sur la base de données ethnographiques.

Si la distribution des matériaux locaux peut théoriquement être abordée en termes de territoires occupés par des groupes locaux, la présence de matériaux exotiques fait intervenir un territoire beaucoup plus étendu. Ces échanges impliquent généralement une forme de contact avec un groupe voisin (Earle 1994 : p.420; Webb 1974 : p.360) et permettent de bâtir ou encore de maintenir une alliance entre les groupes (Adams 1973 : p.242) et ainsi constituer des réseaux sociaux qui allient différents groupes répartis sur un territoire (Loring 1992 : p.342). L'utilisation de certains matériaux peut même revêtir une certaine composante identitaire (Webb 1974 : p.367). Le quartzite de Ramah par exemple, semble revêtir une importance sociale et idéologique particulière (Loring 2002; 1992 : p.333) et son utilisation semble jouer un rôle dans l'intégration culturelle de ses utilisateurs (Loring 1992).

Par la présentation de ces résultats, nous avons tenté de dresser un portrait global de l'utilisation et de la circulation des matières premières lithiques telle que représentée sur les sites de la région de la Minganie. Notre intérêt s'est principalement tourné vers la description des assemblages de chert de la Minganie, particulièrement pour les sites de transformation initiale de ce matériau. Cette présentation permet de documenter les stades initiaux de réduction en documentant la transformation initiale de ce matériau et en cherchant par la suite à documenter la transformation des assemblages qui témoignent d'un éloignement croissant avec la zone d'affleurement de ce matériau. Nous avons également utilisé un mode de représentation qui permet de mettre tous les sites côtiers de la région d'étude en relation par l'utilisation d'un système de bornes kilométriques. Le caractère arbitraire de ce système permet de documenter la représentation changeante des matériaux à une échelle régionale.

Ce système a surtout été utile pour les matériaux pour lesquels la provenance n'était pas établie avec précision et rendait donc difficile l'emploi d'un mode de représentation où la source du matériau doit occuper le point zéro et dont la distance des sites est mesurée à partir de ce point. De plus, ce système de bornes permet d'aborder la question de la

direction du mouvement des matières premières et non uniquement étudier sa représentation en confondant toutes les directions de mouvement. Ce caractère de la distribution a d'ailleurs pu être mis à contribution pour l'étude de la distribution du chert de la Minganie et identifier deux éléments importants. Dans un premier temps, la circulation de ce matériau ne semble pas être aléatoire sur le territoire et se répartir également dans toutes les directions. En ce sens, on observe que la circulation du chert de la Minganie à partir de la zone d'affleurement semble bénéficier d'une meilleure représentation et d'un meilleur maintien de celle-ci vers l'ouest et les secteurs archéologiques de Mingan et de Sheldrake. Cet élément indique que la distance, bien qu'elle soit généralement considérée comme le principal facteur permettant d'expliquer la variation de la représentation d'un matériau (Burke 2007 : p.74), n'est pas le seul élément à considérer. Non seulement la direction de mouvement peut avoir une influence, mais la présence d'une autre source de matériau ou d'un autre groupe peut également influencer l'utilisation des matières premières. En utilisant le système de bornes kilométriques, on constate que la distribution du chert de la Minganie semble non seulement plus limitée vers l'est, mais semble restreinte par la présence d'un autre matériau : « le quartzite EbCp » dont la représentation vers l'ouest semble limitée par la présence du chert de la Minganie et vice-versa.

La distribution du chert de la Minganie de même que celle du « quartzite EbCp » présente donc plusieurs caractéristiques et bénéficie d'un portrait relativement complet qui permet vraisemblablement d'élaborer des hypothèses en termes de la présence de territoires de groupes, de leurs échelles et de leur organisation. La présence de matériaux exotiques et la détermination de leur provenance permettent quant à eux d'aborder la question de territoire social, de l'ampleur de celui-ci et de l'intégration des groupes de la Minganie à un niveau d'organisation culturelle plus global que constitue la péninsule du Québec-Labrador.

Chapitre 7 : Interprétations

Au chapitre 5 nous avons dressé un portrait global de l'utilisation des matières premières qui sont représentées sur les sites de notre région d'étude. Les analyses effectuées ont permis d'identifier un certain nombre de tendances et l'identification de la distribution et de la représentation des matériaux les plus populaires, dont le chert de la Minganie. Ces analyses permettent maintenant de se pencher sur la question des mécanismes qui sont responsables pour la circulation de ces matériaux et des patterns qui sont observés. Dans cette section nous tenterons donc d'aborder la question de la signification des ensembles que nous avons identifiés suite à nos analyses et de les interpréter en faisant essentiellement intervenir les concepts de mobilité et de territoires ainsi que les questions d'interaction. Pour ce faire, nous nous appuierons essentiellement sur les modèles ethnographiques et archéologiques qui s'appliquent à cette problématique et aux populations de chasseurs-cueilleurs que nous étudions.

7.1- Données et modèles ethnographiques

Afin de comprendre la circulation des matières premières sur le territoire, il est important de rappeler que ce phénomène est essentiellement le résultat de la circulation des groupes humains qui les ont utilisées dans le passé. Il est donc nécessaire de considérer les différentes parties du système culturel qui composent la culture de ces groupes et non seulement l'organisation de la technologie lithique (Wright 1994 : p.47). Ces systèmes sont entre autres : l'organisation de la technologie, les modes de subsistance et les schèmes d'établissement (*idem*). D'une importance toute particulière sont ici les modes de subsistance et les schèmes d'établissement éléments qui sont les plus susceptibles de dicter la circulation des groupes sur un territoire donné (Kelly 1983).

Les données archéologiques ne fournissent qu'une image partielle de ces systèmes et n'en livrent essentiellement que les restes matériels. L'utilisation de l'analogie ethnographique permet toutefois de générer un modèle de ces comportements et de l'appliquer plus ou moins globalement aux données archéologiques. L'utilisation de ce type d'analogie est de plus renforcée par la présence sur le territoire à l'étude d'une nation autochtone qui y est installé depuis fort longtemps et dont l'adaptation et les modes de subsistance sont comparables à ceux proposés pour les groupes préhistoriques étudiés. Pour plusieurs chercheurs, les Innus de la Côte-Nord et du Labrador sont les descendants directs des groupes occupant ce même territoire à la période préhistorique (Wright 1999; Loring 1992; Neilson 2006; Chevrier 1996a; Fitzhugh 1972).

Ces groupes préhistoriques sont généralement rattachés à la tradition de l'Archaique du Bouclier (Wright 1999 : p.259; Chevrier 1978) et cette continuité remonterait au moins à la période préhistorique récente, soit une période d'au moins 2000 ans A.A. (Loring 1992 : 490, 494; Neilson 2006 : p.5). L'adaptation de ces groupes préhistoriques est particulièrement axée sur les ressources de l'intérieur et principalement sur le caribou (Wright 1999; Chevrier 1996; 1996a; 1977; 1978). Leur présence sur la côte et l'exploitation de ses ressources n'est généralement considérée que ponctuelle et sporadique (Chevrier 1996a). Ce type d'adaptation requerrait l'utilisation d'un territoire considérable par de petits groupes de personnes et favorisait vraisemblablement un système social flexible permettant d'entretenir des relations étendues (Johnson et Earle 1987; Wright 1999 : p.259; Archéotec 1979; Chevrier 1978). Les Innus qui occupent aujourd'hui ces mêmes territoires partagent une adaptation similaire et constituent donc un équivalent valable pour la constitution d'un modèle ethnographique.

L'ethnographie constitue donc un bon point de départ pour générer un modèle théorique qui tente de reconstituer la structure de la mobilité des groupes préhistoriques de chasseurs-cueilleurs (Kelly 1983 : p.277). La mobilité des groupes et la dimension des territoires parcourus par ces derniers sont liées à la productivité et à la structure des ressources de leur

environnement (Kelly 1983 : p.284). La réalisation de leurs activités de subsistance peut théoriquement les amener donc à parcourir des territoires plus ou moins étendus (Kelly 1983).

Les Innus chassent principalement le caribou à l'intérieur des terres (Archéotec 1979 : p.20; Frenette 1986; Dominique 1989; Mailhot 1999; 1985), mais aussi le poisson et le plus petit gibier dans un milieu forestier intermédiaire et même, épisodiquement, les ressources de la côte (Chevrier 1996a). La forêt boréale est généralement caractérisée par une biomasse faible (Kelly 1983 : p.290) et par une distribution inégale et changeante de ses ressources (Winterhalder 1983 : p.33). Les groupes doivent donc profiter de l'abondance ponctuelle des ressources qu'ils pourchassent. La poursuite de ces différentes ressources les amène à effectuer d'importants et de fréquents déplacements (Kelly 1983 : p.290).

L'organisation de ces déplacements est bien exprimée par la notion de cycle annuel d'activités. Ce cycle constitue « le référent spatial et temporel des activités poursuivies par les Montagnais au cours d'une année » (CÉRANE 1992 : p.118). Ce cycle et la nature des déplacements impliqués conditionnent aussi dans une certaine mesure l'organisation sociale des groupes y prenant part. Pour Leacock (1969; 1954) et Speck (1915; 1931) c'est la bande qui forme l'unité économique et sociale de base. Cet ensemble, composé de deux à six familles va se déplacer ensemble pour l'essentiel de l'année (Leacock 1954 : p.22). À l'intérieur du groupe, la composition de ces bandes est fluide et variable (Mailhot 1985; 1999; Leacock 1954; 1969). Ce niveau d'organisation correspond assez bien à ce que Fitzhugh appelle la bande locale (Fitzhugh 1972 : p.138). Cette unité ne compose toutefois qu'un sous-ensemble d'un groupe plus global. À certains moments précis du cycle annuel, correspondant à des périodes d'abondance, un certain nombre de bandes peut se réunir et ainsi former la « macrobande » (Leacock 1954 : p.22; Rogers et Rogers 1959 : p.131) ou « bande régionale » (Fitzhugh 1972 : p.138). Le cycle annuel, en particulier l'abondance épisodique des ressources, conditionne donc les déplacements et le nombre de personnes qui composent le groupe.

Le cycle annuel traditionnel des Innus peut être découpé en plusieurs étapes (Frenette 1986; Dominique 1989), mais principalement, il amène les groupes à effectuer un aller-retour entre les deux pôles que constituent l'intérieur des terres et la côte (Mailhot 1999 : p.165). C'est sur le haut plateau, « la hauteur des terres », que les Innus peuvent chasser et profiter de l'abondance du caribou (Mailhot 1999 : p.165; Dubois 1996). Cette chasse correspond à la chasse d'automne et d'hiver (Frenette 1986; Dominique 1989). Cette chasse peut aussi permettre d'entrer en contact avec les groupes voisins (bandes) dans le cadre d'une chasse commune (Mailhot 1999 : p.165; Fitzhugh 1972 : p.49). Suite à cette chasse, cet ensemble se divise pour composer un ensemble d'unités familiales qui se répartissent sur le territoire pour la chasse printanière et le retour vers la côte (Frenette 1986). À la saison estivale, les groupes sont présents sur la côte et peuvent s'y rassembler et profiter de l'abondance constituée par la présence de sauvagine et de phoque (Frenette 1986; Dominique 1989; Mailhot 1999; 1985). Vers la fin de l'été, ce groupe se scinde à nouveau, c'est la montée vers l'intérieur et la reprise du cycle (*idem*).

La réalisation de ce cycle renvoie aussi à la notion de territoire. Ces territoires de bande ne sont pas définis par des limites fixes, mais plutôt par des limites naturelles (Mailhot 1999 : p.165; 1985). La configuration de ces territoires s'organise généralement autour de bassins hydrographiques importants (Dominique 1989 : p.145; Mailhot 1999 : p.168; 2004 : p.21). Ces bassins sont d'ailleurs à l'origine de plusieurs des dénominations que les ethnographes ont à l'origine accolés à plusieurs de ces bandes (Speck 1931 : p.574; Mailhot 2004 : p.21). Plusieurs exemples d'échelle et de structure des territoires existent dans la littérature et illustrent bien cette organisation en fonction des bassins hydrographiques de même que leur étendue (Comptois 1983 pour Mingan; Dominique 1989 pour Natashquan et Mailhot 1999 pour North West River). Le modèle proposé par Mailhot (1999) à la figure 70 illustre d'ailleurs bien le phénomène de circulation entre les bandes et la nature des territoires qui sont occupés. Cette organisation par bassins hydrographiques a d'ailleurs aussi été suggérée pour la période préhistorique (Chevrier 1996 : p.99).

Figure 69 : Territoire utilisé par les Innus de Mingan, Ekuanitshit (tiré de Comtois 1983)

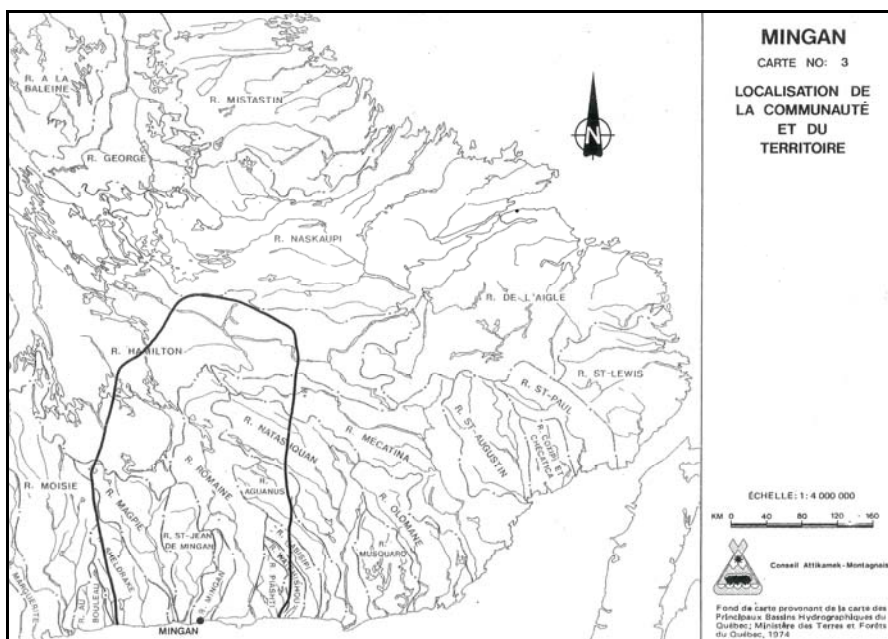
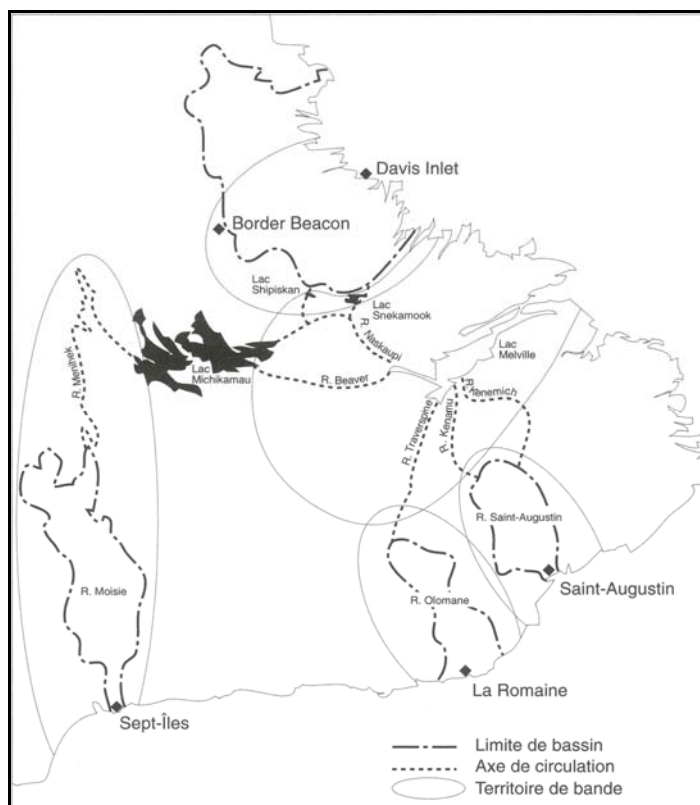


Figure 70 : Modèle d'utilisation du territoire et de circulation entre les bandes (tiré de Mailhot 1999)



Ces territoires ne sont toutefois pas étanches et la circulation entre les bandes occupe une place importante au sein de l'organisation sociale (Mailhot 1999; Archéotec 1979 : p.20). Cette circulation repose sur l'existence d'importants réseaux d'alliances. Ces alliances permettent non seulement aux individus de circuler entre les bandes, mais donnent aussi lieu à des échanges matériels (Archéotec 1979 : p.32; Rogers et Rogers 1959 : p.138). Pour Chevrier (Archéotec 1979), il était d'ailleurs important que ces échanges aient lieux et ceux-ci constituent des intrinsèques de l'organisation sociale globale des communautés Montagnaises (Archéotec 1979 : p.32). Ces alliances lient les communautés entre-elles et servent potentiellement de filet de secours, de système de gestion du risque (Earle 1994 : p.20; Adams 1973 : p.242; Wright 1974 : p.8), et contribuent à l'intégration de ces différentes unités (Webb 1974 : p.367). L'étendue de ce réseau d'alliances permet en quelque sorte d'identifier l'unité d'organisation sociale la plus vaste de ces groupes, la nation ou « *area population* » de Fitzhugh (1972 : P.138).

La présentation de ces données ethnographiques permet dorénavant de modéliser globalement les déplacements et territoires parcourus par les groupes préhistoriques représentés sur le territoire à l'étude. En relation avec ce modèle, une limitation importante pèse toutefois sur les données archéologiques : nous ne disposons essentiellement que des données concernant l'occupation côtière et donc d'un échantillon très partiel de ce cycle. Cela ne nous empêche pas néanmoins d'avancer certaines hypothèses ou prédictions que l'on peut confronter aux données archéologiques. Par exemple, les données ethnographiques identifient dans une certaine mesure la dimension des territoires parcourus et leur structure. Ils permettent d'identifier des territoires de bandes et des territoires plus globaux caractérisés par la présence de plusieurs bandes qui participent à un réseau d'alliance et d'échange (Mailhot 1999; Archéotec 1979; Comptois 1983; Dominique 1989).

Peut-on identifier ce type de phénomène dans le registre archéologique, sur la base de l'utilisation des matières premières lithiques? Le modèle d'utilisation du territoire, structuré autour des principaux bassins hydrographiques, peut-il être révélé par les données que nos

analyses ont générées pour la portion côtière du territoire? En décrivant la circulation des individus sur le territoire, l'utilisation des données ethnographiques permet dans une certaine mesure de modéliser la circulation de biens matériels. Nous tenterons d'en tirer profit dans notre analyse de l'utilisation préhistorique des matières premières lithiques.

Une des principales questions que nous souhaitons explorer réside donc dans la possible adéquation des territoires définis sur la base de données ethnographiques et les regroupements que nous pouvons effectuer sur une base archéologique. L'unité la plus significative et la plus abordable des territoires définis sur une base ethnographique est vraisemblablement le territoire de bande (Fitzhugh 1972 : p.138). Les travaux de Comptois (1983) qui documentent l'utilisation du territoire par la communauté des Innus de la communauté de Mingan (*Ekuanitshit*) permettent de dresser clairement les limites du territoire de cette communauté. Le territoire qu'il définit (voir figure 71) est principalement délimité par l'étendue des principaux axes de circulations et parcours utilisés que constituent les bassins des principales rivières de la région (Comptois 1983 : p.44). Contrairement au modèle présenté par Mailhot (1999, voir figure 70), celui de Comptois illustre plus clairement l'étendue d'un territoire de bande ou d'une communauté dans sa portion côtière. Il faut également mentionner que bien que la structure des territoires des Innus fasse essentiellement le lien entre la côte et l'intérieur par l'utilisation d'axes de pénétration que sont les cours d'eau majeurs, la côte permet également une circulation efficace entre les bandes, le golfe du Saint-Laurent constituant lui aussi un axe de circulation important (Comptois 1983 : p.47; Speck 1931).

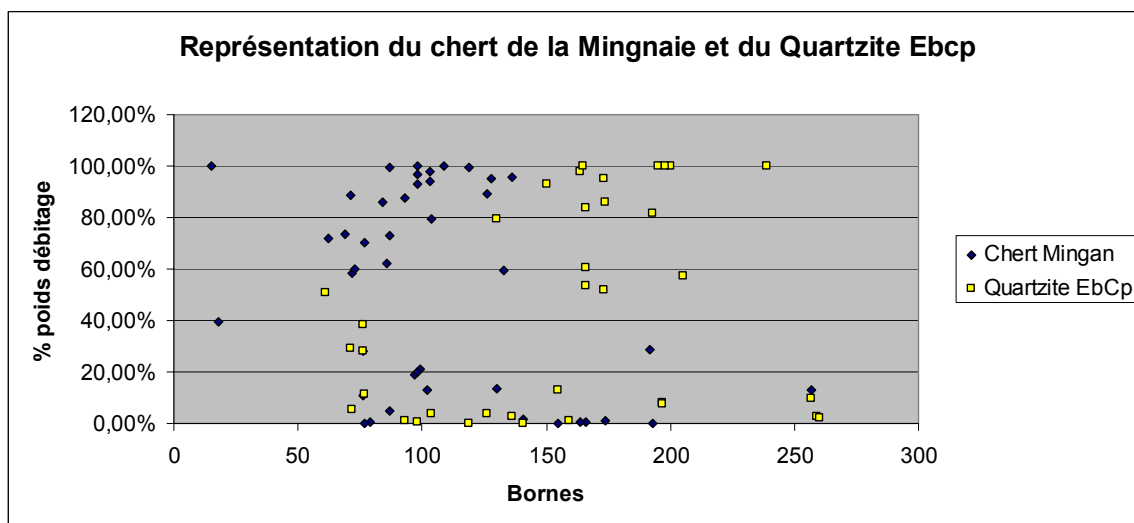
7.2- Données et modèles archéologiques

La réalisation d'une étude régionale qui traite particulièrement de l'utilisation et de la circulation des matières premières lithiques sur le territoire permet de partir à la recherche

d'unités, de regroupements, qui composent des assemblages récurrents et peuvent potentiellement être interprétés en termes de territoires (Burke 2006, 2003; Aubry 2005; Aubry et Mandago 2006). Les résultats de nos analyses permettent effectivement d'identifier de tels regroupements ou ensembles cohérents, sur la base des matières premières qui caractérisent les assemblages répartis à l'échelle de notre aire d'étude. L'idée de départ de cette recherche, la précision de la provenance et de l'utilisation du chert de la Minganie, s'avère donc fructueuse en ce sens.

Le principal résultat qui ressort de nos analyses des assemblages archéologiques réside dans l'identification de deux grands ensembles de sites, représentés chacun par l'utilisation respective d'une matière première spécifique. Pour la portion ouest de notre aire d'étude on observe un premier regroupement constitué par un ensemble de sites sur lesquels le chert de la Minganie se définit clairement comme un matériau dominant. Un deuxième regroupement se constitue dans la portion est de la région, où l'utilisation d'un autre matériau local, le « quartzite EbCp », définit elle aussi un ensemble géographique où celui-ci domine parmi les assemblages. La figure 72 présente de façon cartographique la représentation de ces deux matériaux sur les différents sites et l'organisation de ces deux ensembles. La figure 71 reprend la distribution de ces deux matériaux à l'échelle régionale selon le mode de représentation utilisant le système des bornes kilométriques. La représentation respective de ces deux matériaux permet donc d'identifier deux ensembles géographiques distincts.

Figure 71 : Représentation du chert de la Minganie et du quartzite EbCp à l'échelle de l'aire d'étude

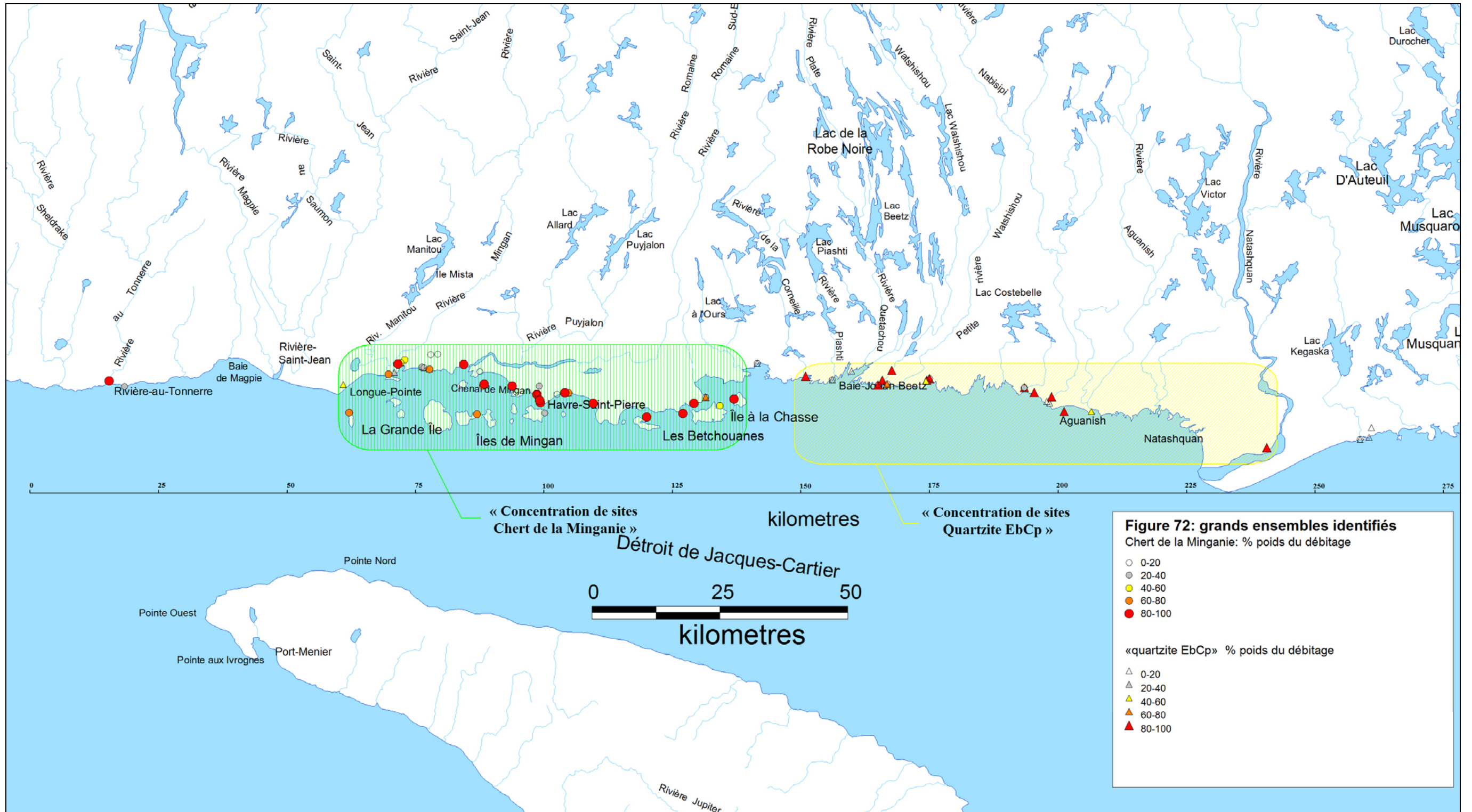


Suite à nos analyses et à la description que nous avons effectuée, nous avons maintenant une bien meilleure connaissance de la présentation géologique de ce matériau et sa représentation archéologique. Le chert de la Minganie constitue le matériau le mieux représenté à une échelle globale. Il tient donc une place importante au sein de l'organisation de la technologie lithique des groupes qui occupent cette portion de territoire.

La représentation du chert de la Minganie parmi les assemblages permet de définir un ensemble géographique d'une longueur approximative de 75 km qui se compose des sites archéologiques compris entre le village de Longue-Pointe de Mingan et l'extrémité est de l'archipel de la Minganie. Tel que présenté au chapitre 5, la distribution de chert de la Minganie déborde parfois considérablement de ces limites et celui-ci se retrouve d'ailleurs même jusque sur le site EbCi-010 du secteur archéologique de Kégashka, situé à près de 150 km du centre de la zone d'affleurement de ce matériau. Sa présence à l'extérieur de cette zone n'est toutefois pas très soutenue.

L'utilisation du chert de la Minganie correspond assez bien aux modèles archéologiques qui décrivent l'utilisation et la représentation des matières premières. Un ensemble de données, qui s'appuient pour l'essentiel sur le modèle de zone d'acquisition et de diminution monotonique proposés par Renfrew (1977; Renfrew et al 1969 dans Burke 2007) mettent en relation la représentation d'un matériau parmi les assemblages et la distance qui les sépare de la source du matériau étudié (Renfrew 1977; Burke 2007; Webb 1974). Lorsque la distance augmente et que cette zone d'acquisition est franchie, la représentation du matériau diminue rapidement. Ce point de rupture constitue un effet de seuil de la représentation du matériau (Renfrew 1977). L'identification de la zone d'acquisition, ou « *home area* » de Webb (1974) permet de définir un espace géographique à l'intérieur duquel l'utilisation d'un matériau spécifique est généralisée et très fortement représentée. Elle permet notamment d'identifier la relation qui existe entre la représentation du matériau et la distance qui sépare les gisements de la source du matériau. Sur la base des données archéologiques, l'utilisation des matières premières lithiques par les groupes de chasseurs-cueilleurs semble, de façon générale, générer des territoires d'acquisition relativement restreints, d'un rayon de l'ordre d'une vingtaine de kilomètres (Burke 2007 : p.74).

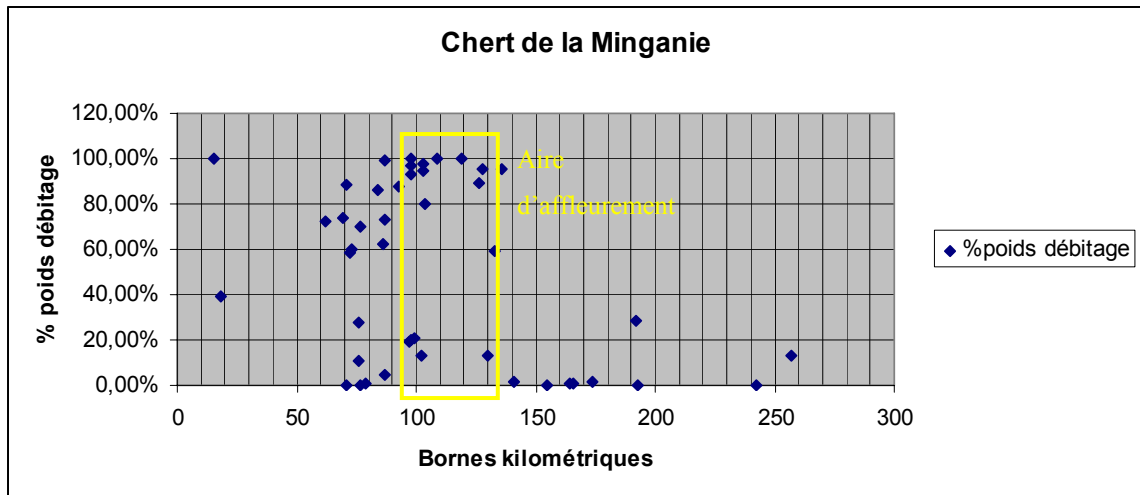
Figure 72 : Grands ensembles identifiés sur la base de la distribution du chert de la Minganie et du « quartzite EbCp ».



Bien que les territoires d'acquisition des groupes de la Moyenne-Côte-Nord semblent plus étendus et vraisemblablement plutôt de l'ordre d'un rayon de 40 à 50 km, le schème observé pour le chert de la Minganie concorde bien avec le modèle présenté plus haut et témoigne avec éloquence de l'effet de seuil qui identifie les limites la zone d'acquisition d'un matériau. Le chert de la Minganie n'est toutefois pas disponible en une source unique, mais se présente plutôt à l'intérieur d'une zone d'affleurement bien définie qui se limite à la formation de Romaine. Cette zone présente elle-même un rayon d'une vingtaine de kilomètres. L'effet de seuil pour ce matériau, tel que présenté à la figure 37 (% poids du débitage Mingan, voir chapitre 5, page 157) se situe à une distance de 45 km du centre de la zone d'affleurement, donc à approximativement 20 km à l'extérieur la zone. Cette mesure correspond assez bien avec les données présentées plus haut (Burke 2007; Renfrew 1977). Le modèle archéologique présenté explique donc principalement la diminution de la représentation d'un matériau par la distance qui sépare le site occupé de la source du matériau. L'éloignement de la source est d'ailleurs généralement considéré comme le principal facteur permettant d'expliquer cette variabilité (Burke 2007 : p.75). Un ensemble d'autres facteurs peut toutefois aussi influencer la représentation et l'utilisation d'un matériau. Ces facteurs peuvent d'ailleurs être la présence d'une autre source de matériau ou encore d'un groupe voisin (Burke 2007 : p.74).

Ce dernier élément est d'ailleurs bien illustré par la représentation du chert de la Minganie. Le mode de représentation de cette distribution, en fonction du système de bornes kilométriques, plutôt que de distance de la source, permet de mettre en lumière un schème de distribution qui semble illustrer l'influence d'un facteur supplémentaire à celui de la distance de la source. Ce mode de présentation permet de mettre en lumière une distribution inégale du chert de la Minganie.

Figure 73 : Représentation du chert de la Minganie par site selon le mode de présentation par bornes kilométriques

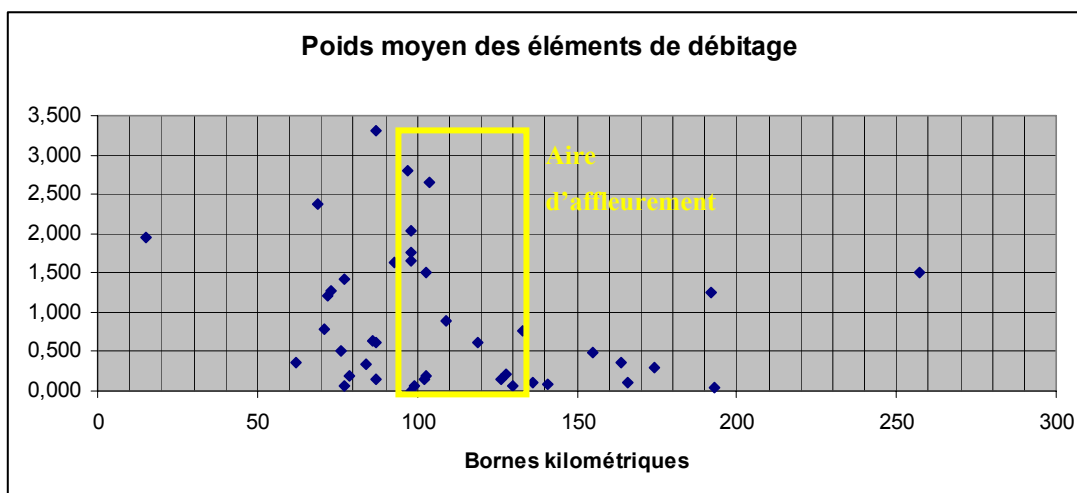


Cette différence dont témoigne la figure 73 peut être interprétée selon nous de deux manières. Dans un premier temps, cette différence peut être l'expression d'un choix exprimé au niveau de l'utilisation des matières premières et témoigner de l'influence de la présence d'une autre région source d'un matériau dans cette direction (Burke 2007), celle du «quartzite EbCp». La présence de ces deux ensembles serait alors essentiellement le reflet de l'organisation de la technologie lithique et de la présence de deux zones d'acquisitions complémentaires de matériau.

Dans un deuxième temps, nous proposons que cette différence puisse être le reflet de l'étendue et de l'organisation d'une réalité d'ordre territoriale (Aubry 2005 : p.250; Geneste 1988 : p.63; Burke 2005; Aubry et Mandago 2005 : p.46; Chapdelaine 2004 : p.112). Les ensembles préalablement définis sur la base de la représentation des matières premières que constituent le chert de la Minganie et le «quartzite EbCp», témoigneraient en ce sens de la présence de deux groupes, caractérisés chacun par l'utilisation massive d'un matériau disponible localement à l'intérieur de leur territoire. Il est toutefois difficile de départager l'hypothèse que ces deux ensembles représentent effectivement la présence de deux groupes distincts sur le territoire de celle qui favorise simplement la représentation de deux zones d'acquisition et une vision économique de la sélection et de l'acquisition des matières premières lithiques en fonction de la proximité de leurs sources. Nous privilégions

néanmoins la seconde hypothèse qui semble mettre en évidence la présence « *de flux préférentiels* [direction de mouvement], *mais également des effets de seuils pouvant aboutir à la reconstitution de comportements humains* » (Aubry 2005 : p.259). Plusieurs éléments des assemblages tendent d'ailleurs à démontrer la validité de l'ensemble du chert de la Minganie que nous observons. Dans un premier temps, tous les sites que nous pouvons considérer comme des sites de transformation initiale ou encore comme des ateliers de taille se retrouvent à l'intérieur de l'ensemble que nous identifions. Ces sites se concentrent sans surprise à l'intérieur de la zone d'affleurement du chert de la Minganie (EbCt-002, EbCv-015, EbCu-002), mais rappelons que le site EbDe-001 (situé à plus de 75 km de la zone d'affleurement) témoigne aussi d'activité de réduction qui permettent de proposer que la taille du chert de la Minganie sur le site s'est effectuée à partir de blocs bruts. Donc, des blocs ont été transportés jusqu'à ce site. Le poids moyen des éléments de débitage (voir figure 74) témoigne lui aussi d'une prépondérance de la représentation du chert de la Minganie en direction ouest.

Figure 74 : poids moyen des éléments de débitage en chert de la Minganie



Nous proposons donc que ces comportements relèvent plutôt de l'expression du caractère identitaire des occupants (Chapdelaine 2004 : p.112; Clermont 1999 : p.72) que d'une réalité essentiellement logistique de l'organisation de la technologie lithique exprimée selon

des critères relevant d'une vision économique de type formaliste de l'acquisition et de l'utilisation des matières premières (Sahlins 1972 dans Burke 2007 : p.75).

C'est ici que l'utilisation de l'analogie ethnographique et une comparaison avec la nature et la structure des territoires traditionnels des Innus de la Côte-Nord peut nous venir en aide et servir de base comparative. Le territoire de la communauté Innue de Mingan (*Ekuanitshit*) tel que défini par les travaux de Comptois (1983) permet notamment d'identifier la portion côtière qui fait partie de l'espace communautaire du groupe (Comptois 1983 : p.43). La délimitation du territoire de cette communauté (Comptois 1983 : carte 3) correspond approximativement à celle générée par la distribution du chert de la Minganie et identifie la rivière Piashti (borne kilométrique 155) comme la limite est de celui-ci. Bien que cette portion côtière du territoire de la communauté de Mingan présente des caractéristiques qui permettent d'effectuer certains rapprochements avec ce que nous pouvons considérer comme un territoire de bande, tel que représenté par nos données archéologiques, la principale composante des territoires de ces groupes devait se trouver à l'intérieur et le long des cours d'eau principaux (Mailhot 1999; 2004; Comptois 1983; Domimique 1989; Speck 1931; 1915). À ce titre, la communauté de Mingan (*Ekuanitshit*) identifie comme principaux axes de circulation les rivières Romaine et Saint-Jean (Comptois 1983 : p.47). Afin de réellement tester si la distribution des matières premières observées sur la côte peut être assimilable à une réalité territoriale ou identitaire d'un groupe, il faudrait alors s'attarder aussi à la représentation de ces matériaux dans la portion intérieure du territoire. Dans ce cas, on pourrait comparer les assemblages des rivières intérieures associées à chacune des deux régions que nous avons définies et voir si la représentation du chert de la Minganie et celle du «quartzite EbCp» semblent également témoigner de la présence de deux ensembles et vraisemblablement de la présence de deux groupes distincts.

On peut partiellement se pencher sur la question de la représentation du chert de la Minganie sur le cours intérieur de la rivière Romaine. Bien que l'avancement des connaissances de la préhistoire de cette région spécifique soit appelé à évoluer rapidement

au cours des années qui viennent, nous ne pouvons pour l'instant qu'effectuer quelques commentaires quant à la représentation et à la pénétration de celui-ci dans la portion intérieure du territoire. Jusqu'à maintenant la représentation du chert de la Minganie semble être d'une importance mineure le long du cours intérieur de la rivière Romaine. Jusqu'à récemment, et selon nos analyses, seulement deux sites ont livré des éléments en chert de la Minganie. Il s'agit des sites EjCw-004 et ElCw-005, situés respectivement à une distance linéaire approximative de 155 et 183 km de la côte. Chacun de ces sites n'a livré qu'un outil unique en chert de la Minganie et aucun élément de débitage. Des travaux de fouilles récents sur le site EdCt-001 ont toutefois permis de documenter la présence d'un gisement qui présente un assemblage où le chert de la Minganie compose 18,23% du nombre d'éléments de débitage et 9,52% du nombre d'outils (Archéotec 2010 : p.54-57). Ce site, inventorié en 2001 (Archéotec 2001 : p.70) n'avait pourtant pas permis, lors de l'inventaire, de documenter la présence du chert de la Minganie à cet endroit (Archéotec 2001). Ce site est situé à une distance moindre de la côte avec approximativement 45 km et cela peut expliquer une meilleure représentation de ce matériau que pour la balance des sites identifiés sur la rivière, situés à des distances plus importantes. Ces éléments, bien qu'ils permettent d'identifier une certaine pénétration du chert de la Minganie vers le territoire situé à l'intérieur des terres, ne permettent pas de proposer que ce matériau y soit dominant, ce chert ayant été identifié seulement sur 3 sites sur un total de 14. Sa présence, bien que sporadique dans l'état actuel des connaissances, permet néanmoins de relier certains gisements de l'intérieur avec un matériau qui affleure uniquement sur la côte.

La représentation des matériaux sur la portion côtière du territoire devrait être interprétée avec précaution puisqu'il est généralement proposé que le principal élément structurant l'organisation territoriale soit l'occupation de bassins hydrographiques (Chevrier 1996a; Dominique 1989; Mailhot 1999). On peut néanmoins proposer que l'occupation de la côte reflète, au moins en partie, cette caractéristique de la distribution des groupes sur le territoire et que les différents espaces que l'on peut y définir soient en fait conséquent de l'organisation en fonction des grands bassins hydrographiques. Si ce modèle semble

prévaloir pour une très longue période de temps, certains changements sont tout de même enregistrés pour la période historique. L'utilisation de la portion côtière de leur territoire par les Innus, par exemple, d'une importance grandissante de avec l'établissement des postes de traites (Frenette 1986).

En ce sens, les deux ensembles que nous avons définis plus tôt sont également associés à de grands ensembles hydrographiques distincts. L'ensemble associé au chert de la Minganie correspond essentiellement aux secteurs archéologiques associés aux cours d'eau majeurs que sont les rivières Mingan, Saint-Jean et Romaine, alors que l'ensemble associé au « quartzite EbCp » est quant à lui associé aux bassins importants se situant plus vers l'est que sont les rivières Piashti, Watshishou, Nabisipi, Aguanus et Natashquan. Finalement, il est également intéressant de mentionner que les ensembles que nous définissons rappellent les définitions que font les Innus de Mingan, *Ekuanitshit* (Comptois 1983; Archéotec 1979) et ceux de Natashquan, *Nutushquan* (Dominique 1989) de leurs territoires traditionnels.

Nous proposons donc que les deux regroupements que nous identifions puissent représenter en quelque sorte une organisation similaire qui remonterait à la période préhistorique. Nous identifions ces regroupements non en termes de groupes fermés et indépendants, mais en terme d'unités d'exploitation d'un territoire. La complémentarité, les alliances et contacts qui lient ces groupes semblent d'ailleurs illustrés par l'échange ou l'acquisition directe de ressources disponibles dans le territoire du voisin. La distribution du « quartzite Noui », qui est représenté sur les deux secteurs et à l'échelle de la région, tend également à démontrer la présence d'affinités entre ces deux secteurs. Nous avons proposé au chapitre 5 que ce matériau puisse provenir de l'intérieur des terres et que sa représentation sur les sites côtiers témoigne d'une acquisition effectuée au cours de la réalisation du cycle annuel, le *embedded procurement* de Binford (1979). Sa présence parmi les deux ensembles tend donc à soutenir que les groupes qu'ils représentent puissent entrer en contact au cours de ce cycle, voire effectuer une partie du cycle de façon conjointe. On peut penser à une chasse communale au caribou qui implique la mise en commun des effectifs de plusieurs bandes

pour une période définie (Leacock 1969, Speck 1931, 1915, Mailhot 1999, Archéotec 1979). La présence et l'acquisition de matériaux de provenance exotique similaire tendent également à démontrer la participation de ces deux groupes à un univers culturel commun, partagé. L'utilisation du quartzite de Ramah par les groupes de la péninsule du Québec-Labrador est d'ailleurs fréquemment interprétée en ce sens (Loring 2002; 1992; Fitzhugh 1972; Mailhot 1999 : p.23).

Si on accepte que ces unités correspondent à la présence de deux bandes locales, comment pouvons-nous interpréter cette distribution, l'organisation et la configuration de leurs territoires respectifs dans sa portion côtière? La dimension intérieure du territoire utilisée au cours du cycle annuel, témoigne d'un parcours réparti sur une période de temps considérable et d'une mobilité de type résidentielle considérable et à grande échelle (Kelly 1983; Binford 1979). La structure de l'occupation de la côte et des déplacements qui y sont effectués ne sont toutefois que rarement abordés et il semble vraisemblable que l'occupation de la côte et l'utilisation de ses ressources témoignent plutôt d'une mobilité de type logistique (Kelly 1983; Binford 1979). Cette mobilité spécialisée serait essentiellement le reflet de la réalisation d'activités de prédatons effectuées et de l'acquisition de ressources (Kelly 1983) dont peuvent faire partie les matières premières lithiques. La distribution du chert de la Minganie sur la côte peut donc refléter l'amplitude de ces déplacements. On peut donc y entrevoir l'étendue d'un territoire occupé sur une base saisonnière, au cours de la saison estivale, par une ou plusieurs bandes associées. Ces sites constituent donc en quelque sorte des campements d'exploitation selon le modèle d'utilisation du territoire de Fitzhugh (1972 : p.137)

En ce sens, on peut théoriquement retrouver à l'intérieur de ce territoire, des sites importants qui peuvent témoigner de campements plus importants et occupés sur une période plus longue, en quelque sorte des camps de base (Fitzhugh 1972 : p.137) à partir desquels cette mobilité logistique pouvait opérer (Kelly 1983; Binford 1979). Si on peut réellement associer la représentation du chert de la Minganie à une bande en particulier, on

peut alors préciser la nature et l'étendue des territoires qui sont occupés sur la côte pendant la saison estivale et ainsi préciser la nature et l'étendue des activités qui y sont réalisées. Afin de réellement documenter les activités qui y sont réalisées, il faudra néanmoins mettre à jour et analyser les assemblages ostéologiques que livrent les sites archéologiques fouillés. La présence d'une telle structure de territoire permet néanmoins de soulever l'importance et l'utilisation de ressources de la côte par les groupes préhistoriques qui fréquentaient la Moyenne-Côte-Nord et particulièrement la région de la Minganie (Chevrier 1996a). L'importance des ressources côtières est d'ailleurs déjà bien établie pour les régions de la Haute (Plourde 1993; 2003; Plourde et Gates Saint-Pierre 1999) et de la Basse-Côte-Nord (Pintal 2006; Pintal 1998).

7.3- La provenance des matériaux

Tel que présenté au chapitre 5, la représentation des matériaux à l'échelle régionale témoigne d'une très forte représentation des matériaux de provenance locale ou régionale. La présentation précédente sur la représentation du chert de la Minganie et du «quartzite EbCp» illustre d'ailleurs assez clairement le rôle central que ces derniers ont joué dans l'organisation de la technologie lithique des sites analysés. Les groupes humains ont donc eu principalement recours aux matériaux disponibles dans leur environnement pour subvenir à leurs besoins en matière première lithique. Cette caractéristique des assemblages se conforme assez bien avec la proposition que c'est principalement la distance qui sépare les sites de la source des matériaux employés qui permet d'expliquer la variabilité observée parmi les assemblages (Renfrew 1977; Burke 2007 : p.75). Un certain nombre de matériaux témoignent néanmoins de l'utilisation de matières premières dont la provenance se trouve à l'extérieur de notre aire d'étude. Un échantillon de ces matériaux, pour lesquels la provenance a pu être proposée, a été présenté au chapitre 5.

Les matériaux de provenance exotiques que nous avons réussi à identifier parmi nos assemblages cumulent 9,31% du nombre total d'éléments de débitage et 13,5% du nombre d'outils. Leur provenance est principalement attribuable aux secteurs situés à l'est et au nord de notre région d'étude. Évidemment, un nombre relativement élevé de variétés de matériaux demeurent sans provenance et cette question sera abordée un peu plus loin. Les principales sources de matériaux exotiques que nous avons identifiées sont celles associées au quartzite de Ramah, aux différentes sources de cherts qui se trouvent dans la région du détroit de Belle-Isle et de Terre-Neuve et finalement au Labrador central et à la fosse du Labrador. Ces matériaux sont vraisemblablement introduits sous la forme d'outils sur les sites puisqu'aucun nucléus (à l'exception du chert vert lustré qui en a livré un) ne permet de documenter l'apport de ces matériaux sous forme brute. Les outils sont d'ailleurs majoritairement des bifaces, à l'exception du quartzite de Ramah qui présente une plus grande diversité d'outils. Les éclats taillés dans ces matériaux (tableau LXVIII chapitre 5) présentent également un poids moyen inférieur aux matériaux d'origine locale que sont le chert de la Minganie, le « quartzite EbCp », le « quartzite Noui » et les différentes variétés de quartz.

La présence de ces matériaux à l'intérieur de notre région d'étude soulève la question du mécanisme responsable de leur introduction dans la région d'étude. Les principaux mécanismes qui peuvent expliquer l'acquisition et la circulation de ces matériaux à l'intérieur de notre région d'étude sont ceux de la mobilité des groupes que nous étudions et de la présence d'un réseau d'échange régional (Pintal 1992). La mobilité des groupes, représentée plus particulièrement par leur cycle annuel d'activités, a été présentée plus haut. Ce type de mobilité, essentiellement résidentielle, mais aussi spécialisée (Kelly 1983; Mailhot 1999) amène les groupes à parcourir des territoires considérables. La structure de ces territoires correspond donc grosso modo à l'échelle et à la configuration des territoires parcourus au cours du cycle annuel d'activité. La réalisation de ce cycle, qui fait principalement circuler les individus entre la côte et les territoires intérieurs (Mailhot 1999 : p.165) donne accès à un territoire considérable. C'est toutefois par le truchement des

territoires des différentes communautés ou bandes et la possibilité d'une circulation entre les groupes (Mailhot 1985; 1999) qu'on a accès à un territoire encore plus considérable (Mailhot 1999). Les réseaux de relations étendus mis en place par les groupes Innus les amènent non seulement à parcourir occasionnellement le territoire de bandes voisines (Mailhot 1999 : p.166), mais l'étendue de leur réseau de relations, sur la base d'alliances et de liens de parenté, les mettent en relation avec l'ensemble du territoire de la Péninsule Labrador (Mailhot 1999 : p.55). La provenance des matériaux exotiques ne semble donc pas s'expliquer uniquement par la présence de territoires parcourus de dimension considérable, mais plutôt par l'existence d'un territoire social beaucoup plus vaste (Mailhot 1999; Aubry 2005 : p.250).

Les différents matériaux exotiques que nous avons identifiés au chapitre 5 proviennent de régions très éloignées (Labrador, Terre-Neuve) de notre région d'étude et leur intégration au registre archéologique des sites analysés constitue vraisemblablement une manifestation matérielle d'un réseau social d'interaction étendu (Loring 1992 : p.491). Le cas du quartzite de Ramah est particulièrement éloquent en ce sens. La source de ce matériau, située dans la portion nord du Labrador, se trouve à plus de 950 km en ligne droite de la portion côtière de notre région d'étude. Malgré cette distance énorme, qui dépasse facilement celle des territoires parcourus à l'intérieur de la réalisation du cycle annuel d'activité, ce matériau figure sur 31 des sites archéologiques que nous avons analysés (34,44%). Bien que sa représentation globale puisse sembler faible avec seulement 2,49% du nombre total d'éléments de débitage et 5,75% de l'assemblage des outils, il bénéficie d'une représentation relativement constante à l'échelle de toute l'aire d'étude. Comparativement aux matériaux locaux pour lesquels on peut identifier une zone d'acquisition et un pattern de seuil de sa représentation au sein des assemblages à mesure que la distance augmente. La représentation du quartzite de Ramah est relativement stable à travers la région. La présence de ce matériau à de grandes distances de la source, même en quantité limitée, ne semble pas pouvoir s'expliquer par un modèle de diminution monotonique (Loring 2002 : p.177). Un certain nombre de matériaux au cours de la préhistoire du Nord-Est bénéficient

également de distributions très étendues. Ces distributions dépassent largement les dimensions de territoires d'exploitation et témoignent du caractère désirable de ces matériaux. De tels matériaux incluent par exemple, le quartzite de Ramah (Loring 2002), le quartzite de Mistassini (Denton 1998) et le chert Onondaga (Chrétien 1995).

La présence récurrente du quartzite de Ramah parmi les assemblages témoigne selon Loring (2002 : p.176; 1992 : 329, 332) qu'une signification sociale et idéologique était vraisemblablement apposée à ce matériau et le rendait particulièrement désirable. Plus spécifiquement, la cache Stubbert (le site EbCi-001) du secteur archéologique de Kégashka témoigne en particulier d'une accumulation importante de ce matériau et des efforts particuliers, hautement motivés, qui sont mis en place pour faire parvenir et circuler ce matériau jusqu'à cette distance (Loring 2002 : p.176). Toujours pour cet auteur, les efforts mis en place et l'utilisation fréquente de ce matériau par des groupes aussi éloignés que ceux de la Côte-Nord témoignent de la présence de réseaux sociaux d'interaction interrégionale qui servent non seulement à maintenir des alliances entre bandes dispersées (Loring 1992 : p.342), mais aussi à souligner leur intégration et leur participation à un univers culturel commun (Loring 2002 : p.183).

Prises de façon conjointe, les différentes provenances que nous avons identifiées pour les matériaux exotiques – on compte le Labrador central pour le chert mauve «*Saunders Chert*» (Neilson 2006; Nagle 1978; Chapdelaine 2004; McCaffrey, Loring et Fitzhugh 1989), l'île de Terre-Neuve pour le chert vert lustré, le chert brun carbonaté et le quartzite fin ferrugineux «de Kégashka» (Marquis 1998; Pintal 1992), le chert gris-verdâtre de la fosse du Labrador (McCaffrey 1989 et 1989a; Denton et McCaffrey 1988), le quartzite rouge de Blanc-Sablon (Pintal 1990; 1992; Marquis 1998) et finalement le nord du Labrador et la baie de Ramah (Loring 2002) -, définissent un large espace géographique qui correspond à tout le versant est de la péninsule Québec-Labrador. L'ampleur de ce territoire semble illustrer l'étendue des contacts et alliances dont bénéficient les groupes de la Moyenne-Côte-Nord et témoigne du niveau le plus étendu de l'organisation sociale de ces

groupes identifiés par Fitzhugh (1972) et correspond à son concept de nation ou *area population* (Fitzhugh 1972 : p.138).

7.4-Organisation de la technologie lithique

7.4.1- Le chert de la Minganie et les matériaux de provenance locale/régionale

De par sa forte représentation et son importance régionale incontestable, l'utilisation du chert de la Minganie occupe immanquablement une place particulière dans l'organisation de la technologie lithique des groupes étudiés. Quelle peut être la place de ce matériau local à l'intérieur d'une stratégie plus globale d'utilisation des matières premières? Certains des sites analysés qui constituent des sites de transformation initiale de ce matériau semblent témoigner d'une stratégie qui indique la production d'outils dans un objectif d'utilisation anticipée. C'est particulièrement le cas du site EbCt-002, l'atelier de taille de l'île Saint-Charles, où une quantité importante d'outils ont été taillés et dont une bonne partie a vraisemblablement été emportée ailleurs pour un usage futur. Le chert de la Minganie constitue un matériau dont la qualité est bonne et dont la disponibilité au niveau local semble relativement abondante. Il n'est donc pas surprenant que celui-ci ait été abondamment utilisé par les groupes locaux. Particulièrement dans un environnement où la disponibilité des matières premières lithiques de bonne qualité, et spécialement les matériaux à granulométrie cryptocristalline comme les cherts, est très limitée.

Selon Andrefsky (1994), qui propose un modèle gouvernant la production d'outils en fonction des critères de qualité et d'abondance (Andrefsky 1994 : p.21), la combinaison de bonnes aptitudes de taille et d'une disponibilité acceptable de ce matériau selon les prédictions du modèle résulte dans la production d'une grande diversité de types d'outils où

les types formels et informels seront bien représentés (Andrefsky 1994 : p.30).. Le chert de la Minganie est d'ailleurs le matériau pour lequel la représentation des outils de type informels est la plus élevée avec une proportion de 37,64%. Cette proportion diminue sensiblement lorsque l'on s'éloigne de la zone d'affleurement de ce matériau, mais ce type d'outils demeure tout de même présent à l'échelle de toute sa distribution. À titre de comparaison, le « quartzite EbCp », un autre matériau fortement représenté à l'échelle de la région, la représentation des outils informels n'est que de 16,67%. La forte représentation des outils informels pour le chert de la Minganie résulte du nombre important d'éclats retouchés et/ou utilisés qui ont été récupérés. Nous soutenons toutefois que cette plus forte représentation des outils informels n'est pas uniquement le reflet de la disponibilité de ce matériau (Andrefsky 1994 : p.21), mais peut aussi témoigner d'une meilleure performance des matériaux à granulométrie très fine et présentant des tranchants résistants pour la réalisation de certaines fonctions (Andrefsky 1998). Les autres matériaux disponibles à l'échelle régionale étant essentiellement des quartzites à granulométrie moyenne à grossière, ceux-ci sont vraisemblablement moins adaptés pour remplir les fonctions associées aux éclats utilisés et/ou retouchés.

Malgré ses aptitudes pour la taille, et le fait qu'il constitue la seule source de ce type de matériau à l'échelle régionale, la distribution du chert de la Minganie semble témoigner d'une circulation relativement limitée de ce matériau. Bien que le chert de la Minganie présente des qualités pour la taille intéressante dans ce contexte régional, ce matériau présente certaines contraintes qui ont modulé en partie les stratégies de réduction de ce matériau et les sous-produits qui sont associés à ces activités. La principale contrainte à laquelle étaient confrontés les tailleurs du chert de la Minganie réside dans la dimension réduite des nodules. La petite dimension de ses nodules, en combinaison avec leur morphologie arrondie, a pour effet que pour une masse comparable de matière première, les nodules de chert de la Minganie présentent une superficie de cortex beaucoup plus élevée que pour un matériau se présentant sous forme massive (Dibble et al 2005). Cette caractéristique du chert de la Minganie résulte dans une représentation plus élevée des

éléments qui présentent des surfaces corticales. Ces proportions sont plus élevées non seulement pour les éléments de débitage, mais également au niveau des outils. Non seulement la présence de surfaces naturelles y est surreprésentée en comparaison avec les autres matériaux, mais le nombre de nucléus et fragments de nucléus récupérés illustre la nécessité de traiter un nombre plus important de nodules pour parvenir à satisfaire les besoins d'un groupe en matière première lithique. Finalement, les dimensions réduites des supports initiaux se reflètent également sur toute l'échelle de la chaîne opératoire, les outils et même les éclats produits de ce matériau présentant un poids moyen global inférieur à celui des autres matières d'origines locales et régionales (voir le tableau LXVIII au chapitre 5).

Au regard des outils finis également, les outils taillés en chert de la Minganie présentent systématiquement des dimensions plus réduites que pour les autres matériaux d'origine locale et régionale, même pour les sites qui constituent des ateliers de taille et témoignent des dimensions initiales, donc maximales, de ces outils. Les dimensions inférieures des outils en chert de la Minganie ne doivent donc pas être interprétées en termes de réduction ou d'avancement plus prononcé de celle-ci, mais bien en termes de contraintes imposées par la nature de la matière première.

7.4.2- Les matériaux exotiques

Les assemblages d'outils confectionnés à partir de matériaux exotiques présentent eux aussi des caractéristiques spécifiques qui les différencient des matériaux disponibles localement. Le nombre d'outils formels y est plus élevé et ceux-ci se présentent majoritairement sous la forme de pièces bifaciales. Ces matériaux présentent également une forte représentation de pièces fracturées. Le fait que ces matériaux proviennent de l'extérieur de la région et ont été acquis vraisemblablement à plus fort coût (Morrow et Jefferies 1989 : p.30) il pouvait être postulé que ces derniers fassent l'objet d'un effort de conservation supérieur (*idem*; Plourde

1993 : p.34). Leur taux de fracturation élevé se situe généralement entre 66,67% et 83,33% comparativement à un taux de 35,29% pour le chert de la Minganie.

L'utilisation des matières premières exotiques témoigne toutefois de certaines exceptions intéressantes en ce qui concerne l'utilisation et la sélection des matières premières lithiques. De façon générale, les outils formels et plus particulièrement les bifaces dominent les assemblages d'outils exotiques, toutefois le matériau que nous avons nommé «chert vert lustré», constitue une exception notable. Ce matériau provient vraisemblablement du groupe de Saint-George de l'île de Terre-Neuve (Marquis 1998, voir tableau LXI chapitre 5). Bien que la provenance de ce matériau soit éloignée, les outils taillés à partir de ce dernier sont principalement des éclats utilisés et/ou retouchés (6 sur 9) et constitue le seul matériau pour lequel un nucléus a été trouvé à l'intérieur de notre aire d'étude. Les caractéristiques de cet assemblage sont toutefois liées à la nature et à la présentation du matériau plutôt qu'à une disponibilité accrue de ce matériau, qui ne bénéficie pas d'une représentation plus importante. Ce matériau se présente sous forme de nodules et présente également une gaine de type calcaireuse. Bien que la dimension de ces nodules soit indéterminée, la présence fréquente de ces surfaces naturelles porte à croire que ses dimensions sont assez restreintes. L'utilisation de ce matériau serait donc particulièrement dictée par sa nature et pour remplir des fonctions assez spécifiques.

L'utilisation du quartzite de Ramah tel que représenté sur les sites analysés mérite également certaines mentions particulières qui permettent de mettre en lumière certains comportements qui relèvent de l'organisation de la technologie lithique. Le quartzite de Ramah, tel que mentionné plus tôt, malgré une représentation globale assez faible, semble occuper une place particulière dans la perspective de l'utilisation des matières premières. Comme pour l'ensemble des matériaux de provenance exotique, le quartzite de Ramah présente un coefficient de fractionnement élevé (69,70% du nombre d'outils) et témoigne donc d'un degré d'utilisation soutenu. Toutefois, en comparaison avec les autres matériaux exotiques, l'utilisation du quartzite de Ramah témoigne de la production d'un nombre plus

varié de types d'outils, et même de la présence d'un nombre élevé d'outils de type informels avec une représentation de 39,39% du nombre total d'outils taillés. Les éclats utilisés et/ou retouchés, au nombre de 12 (pour 36,36% du nombre total) constituent le type d'outils le mieux représentés pour ce matériau. Cette caractéristique de l'assemblage est assez distincte de celui des autres matériaux exotiques et permet certains commentaires. La plus forte représentation des outils de type informels pour les matériaux de grande qualité, selon le modèle proposé par Andrefsky (1994), est associée à une disponibilité ou une abondance accrue de ces matériaux (Andrefsky 1994 : p.30). L'utilisation que les groupes humains ont faite du quartzite de Ramah tel que représenté par les outils qui ont été trouvés sur les sites archéologiques, peut donc témoigner d'une disponibilité et d'une accessibilité accrue de ce matériau. La disponibilité accrue de ce matériau, bien que sa source soit la plus éloignée de notre région d'étude, illustrerait de façon notable l'importance et la signification particulière accordées à ce matériau (Loring 2002; 1992 : 333).

L'analyse des nombreux assemblages que nous avons effectuée nous a permis d'aborder différentes questions liées à l'organisation de la technologie, mais également au niveau plus général de l'organisation des groupes de la Moyenne-Côte-Nord. En incluant un volet technologique à nos analyses et identifications pétrographiques, nous avons fait ressortir différents éléments de la distribution, mais également de la chaîne opératoire de certains des matériaux que nous avons identifiés. En dépassant le simple inventaire des matériaux représentés, nous avons pu mettre en lumière les particularités et la variabilité des assemblages composés par les matériaux sur lesquels nous avons porté notre attention. La distribution et la représentation du chert de la Minganie nous a permis de développer une discussion orientée sur la notion de territoire, mais nos analyses ont également permise d'identifier, de nommer et de caractériser un certain nombre de matériaux locale/régionale (en particulier le « quartzite EbCp » et le « quartzite Noui »). Ensemble, et en y ajoutant le quartz omniprésent, ces matériaux permettent de bien caractériser l'organisation de la technologie lithique et le réseau d'acquisition à un niveau régional. En y ajoutant la provenance et la représentation des matériaux exotiques, on peut compléter le portrait de

cette organisation interne et permettre de mettre en lumière la participation des groupes amérindiens de notre région d'étude à un univers social et culturel plus large.

Conclusion

Le registre archéologique de la Moyenne-Côte-Nord du Saint-Laurent est certainement très riche et diversifié. L'étude régionale que nous y avons effectuée n'a permis d'en aborder que le volet préhistorique et malgré cet effort un nombre important de questions et de problématiques demeurent en suspens. Notre recherche, orientée spécifiquement sur l'utilisation des matières premières lithiques par les groupes amérindiens de la Moyenne-Côte-Nord à la période préhistorique, permet néanmoins de mettre en lumière un important ensemble de données archéologiques, jusqu'ici grandement inexploité, qui attendait d'être exploré plus pleinement par les chercheurs en préhistoire et en études amérindiennes. C'est principalement ce caractère sous-exploité et faiblement diffusé de la préhistoire régionale, combiné à la présence d'un matériau lithique de provenance locale, le chert de la Minganie, qui attira notre attention vers cette région et cette problématique de recherche spécifique.

Au chapitre 1, nous avons tâché de démontrer que la région de la Moyenne-Côte-Nord recèle un nombre important de sites archéologiques et est le lieu de recherches archéologiques qui s'étendent sur plus de quatre décennies. Toutefois, nous rappelions également seulement un nombre limité de publications traitent de la préhistoire de la région et qu'un manque d'organisation des données disponibles rend difficile leur utilisation et mise en valeur. Par la réalisation de notre programme de recherche, nous visions dans un premier temps à bénéficier de ce nombre important de données qui « dormaient » sur les tablettes de la réserve des collections archéologiques, les analyser à la lumière des développements méthodologiques et des tendances actuelles en archéologie préhistorique québécoise et ainsi mettre à jour le potentiel qu'elles recèlent.

L'objectif premier de cette recherche réside dans l'identification et la description des matières premières lithiques qui composent les assemblages archéologiques de la région d'étude. La présence à l'intérieur de la région d'étude de la source d'un matériau connu, le chert de la Minganie, dont l'utilisation à la période préhistorique était attestée, mais faiblement documentée, permettait de bien ancrer cette problématique dans ce contexte

régional. La documentation de l'utilisation des matières premières lithiques, permettrait d'identifier et de décrire les matériaux qui caractérisent l'organisation de la technologie des groupes locaux. L'identification de leur provenance permettrait de démontrer la présence de relations avec les groupes voisins et l'identification de réseaux d'approvisionnement. Afin de documenter de façon globale l'utilisation et la circulation des matières premières lithiques à l'échelle de notre région d'étude, nous avons fait un effort pour documenter la présence et la représentation de chacune d'elles afin d'éviter le piège de ne se concentrer que sur les matériaux exotiques bien connus des archéologues. Ce caractère global permet de caractériser efficacement les réseaux d'acquisition des groupes locaux, de décrire et de définir les matériaux qui sont utilisés localement et également d'identifier adéquatement les matériaux qui proviennent de l'extérieur. Ainsi, la contribution locale et régionale de l'acquisition des matériaux était mesurée et mise en lumière et permet de mieux mesurer l'apport et l'importance des relations qu'entretenaient les groupes locaux avec leurs voisins de la Haute et de la Basse-Côte-Nord.

La poursuite de nos objectifs, principalement l'identification et de la description des matières premières lithiques, exigeait une réanalyse globale des collections, ce type d'information étant rarement satisfaisant dans les rapports archéologiques qui documentent les sites de la région. De plus, les données disponibles, dans leur format original, ne permettaient que difficilement une mise en commun et une présentation à un niveau régional. Le chert de la Minganie n'échappait pas à cette situation et malgré un survol des littératures géologique et archéologique il demeurait difficile d'obtenir une description opérationnelle de ce matériau et établir plus solidement sa provenance et son abondance. Afin de combler ces lacunes, une prospection géologique effectuée par l'auteur a permis de vérifier la présence de ce matériau sur différents affleurements (4 localités) où sa présence avait été mentionnée dans la littérature géologique. Cet exercice a permis la collecte de 25 échantillons de ce matériau et d'établir une description mieux adaptée aux besoins des archéologues. Un effort de description microscopique à l'aide de lames minces (N=4)

complète ce processus de documentation de ce matériau et permet de mieux ancrer certaines observations qui ont été effectuées au niveau macroscopique.

Suite à la sélection des sites archéologiques à inclure dans notre corpus d'analyse, les assemblages de pierre taillée provenant de 90 sites préhistoriques de la région ont été comptabilisés et décrits. Ces analyses permettent de documenter un nombre important d'artéfacts, 32 928 éléments de débitage et 574 outils, et assurent également que le caractère régional large de notre entreprise a été atteint. Au chapitre 2 nous avons présenté en détail la méthodologie employée pour ces analyses. L'approche descriptive visuelle et macroscopique des matières premières lithiques, si elle ne bénéficie pas de la précision de certaines méthodes plus précises et détaillées, nous a néanmoins permis de traiter rapidement l'ensemble des artéfacts et d'effectuer une première description et un catalogage approprié des variétés de matériaux représentés. Si ces analyses ont permis de documenter la présence d'un ensemble de 59 variétés de matières premières lithiques, c'est principalement l'étude de leur distribution au niveau régional et de la variabilité de leurs assemblages (la dimension spatiale de la technologie) qui permet d'élaborer plus en détail sur les questions d'organisation de la technologie, de territoire et de la présence de réseaux d'acquisition qui impliquent des territoires et des groupes répartis sur un espace beaucoup plus vaste que notre région d'étude.

Malgré l'identification d'un nombre élevé de variétés de matières premières, un nombre relativement limité bénéficient d'une représentation appréciable et témoigne d'une utilisation récurrente par les groupes de la Moyenne-Côte-Nord. Le chert de la Minganie, pour lequel le rôle et l'importance au niveau de l'organisation de la technologie lithique des groupes locaux étaient méconnus, s'avère être un matériau dont l'importance et la représentation sont très significatives pour les groupes de la Moyenne-Côte-Nord et particulièrement pour ceux qui exploitent le territoire de la Minganie. Ce matériau s'est avéré être celui qui bénéficie de la meilleure représentation globale à l'échelle régionale. Si son importance a souvent été minimisée ou ignorée, ce matériau prend maintenant, à la

lumière de nos résultats, sa place comme une ressource importante à l'échelle régionale pour la période préhistorique. Les matériaux locaux, de qualité moyenne à faible, mais abondant, sont souvent considérés comme d'importance secondaire et joueraient un rôle d'appoint, voire serait utilisés de façon opportuniste par les groupes préhistoriques. Cette perception semble issue de la notoriété que certains matériaux nobles, tel le quartzite de Ramah, de Mistassini ou le chert Onondaga, qui circulent sur de grandes distances et constituent de matériaux visiblement recherchés par les groupes amérindiens.

Selon nous, l'importance des matériaux disponibles aux échelles locale et régionale ne devrait pas être minimisée et c'est principalement à travers leur utilisation que nous sommes parvenus à relever la présence de tendances et de regroupements que nous avons interprétés en termes comportementaux et selon un modèle d'utilisation du territoire. À l'échelle régionale, l'utilisation et la représentation des matières premières lithiques dont témoignent les assemblages nous permettent d'identifier deux grands ensembles de sites que nous interprétons comme le reflet de la présence de deux sous unités, ou bandes subrégionales (c'est-à-dire locales), se partageant le paysage côtier. Ces unités sont particulièrement mises en lumière par la distribution et la représentation de deux matériaux locaux, le chert de la Minganie et le « quartzite EbCp ».

Un premier ensemble occupe les secteurs archéologiques de Rivière-au-Tonnerre, Mingan, les environs de Havre-Saint-Pierre et des Betchouanes et vraisemblablement le cours intérieur de la rivière Romaine et est caractérisé par une utilisation abondante du chert de la Minganie. Un second ensemble occupe les territoires plus à l'est des régions des rivières Piashti et Watshishou, d'Aganish et de Natashquan et utilise abondamment un quartzite disponible localement, le « quartzite EbCp ». Ces deux unités ne renvoient toutefois pas à la présence de deux groupes évoluant en vases clos : au contraire, chacune de ces unités témoigne de la présence d'éléments attribuable au groupe voisin sur son territoire. Il est intéressant de noter que la répartition et l'étalement de ces ensembles, générés à la lumière des données archéologiques, concordent assez bien avec une réalité ethnographique dont les

modèles d'utilisation traditionnels et historiques du territoire par les Innus font écho. Ainsi, la présence de ces deux bandes subrégionales sur le territoire à la période préhistorique semble refléter l'organisation des groupes Innus sur le territoire et pourrait témoigner de la profondeur temporelle de cette organisation et adaptation. Il apparaît important pour nous de souligner que c'est principalement à travers l'utilisation de ressources dites locales que ces deux unités ont été identifiées.

Ces deux ensembles sont définis principalement par la représentation de leur matière première respective, mais nos analyses permettent d'affiner cette proposition en soulevant certains éléments de la chaîne opératoire et de l'organisation de la technologie. Dans un premier temps, en s'inspirant fortement du modèle de diminution monotonique de Renfrew (1977), ces ensembles se définissent chacun par l'identification d'une zone d'approvisionnement (Renfrew 1977; Webb 1974) d'un matériau respectif. Cette zone se définit comme le territoire à l'intérieur duquel les assemblages sont fortement dominés (généralement plus de 80%) par la représentation d'un matériau. Ce territoire constitue l'espace à l'intérieur duquel les groupes ont un accès direct à la source du matériau. Lorsque la distance d'éloignement de la source outrepassé la limite de la zone d'acquisition définie, on observe une diminution rapide et drastique de la représentation du matériau étudié, c'est l'effet de seuil (Renfrew 1977). Nos analyses, à travers la représentation des différents matériaux, mettent en lumière non seulement la présence de la zone d'acquisition et de l'effet de seuil, mais également la transformation de ces assemblages à mesure que la distance qui sépare le site de la source du matériau augmente. Par exemple, on peut constater que le poids moyen des éléments de débitage tend à diminuer avec l'augmentation de la distance, mais également que la représentation des éléments qui portent des traces de cortex diminue et que les stades avancés de réduction identifiés par le décompte des facettes sur la plateforme du talon et le décompte des cicatrices de la face dorsale des éclats (Magne 1985; 2001, Bradburry et Carr 2004), deviennent mieux représentés. Les assemblages d'outils se transforment également avec la distance. Particulièrement on constate que les supports qui sont introduits sur les sites témoignent d'un degré de finition

grandissant. Sur les sites à l'intérieur de la zone d'acquisition, on constate la présence de blocs bruts et de nucléus et la présence de toutes les étapes de la production et de mise en forme des outils. À l'extérieur de cette zone d'acquisition, la présence de blocs bruts et de nucléus devient très rare et les supports introduits semblent plutôt constitués d'outils finis.

La présence de matériaux exotiques permet également d'aborder la question des territoires et des réseaux d'acquisition des matières premières lithiques. Il est d'ailleurs intéressant de noter que les deux ensembles que nous avons identifiés précédemment sont caractérisés par une utilisation similaire des matériaux exotiques et que cette caractéristique tend également à démontrer que ces deux bandes participent à un même univers culturel plus global. Les diverses provenances identifiées par les matériaux exotiques permettent en ce sens d'identifier un territoire beaucoup plus vaste que les simples territoires parcourus et mettent en évidence la présence d'un réseau d'échange et d'approvisionnement qui illustre la dimension d'un territoire social, territoire à l'intérieur duquel les groupes de la Moyenne-Côte-Nord entretiennent des liens et alliances avec un ensemble de groupes distribués sur un territoire beaucoup plus vaste.

Les matériaux exotiques que nous avons répertoriés au cours de nos analyses permettent en ce sens de définir l'ampleur du territoire qui caractérise les réseaux d'approvisionnement lithiques des groupes étudiés et de déterminer la dimension et la configuration des réseaux sociaux auxquels participent ces groupes. La provenance des matériaux exotiques que nous identifions met principalement les groupes de la Moyenne-Côte-Nord en relation avec ceux qui occupent la Basse-Côte-Nord, le détroit de Belle-Île, le Labrador et Terre-Neuve. Cet espace, en y ajoutant notre région d'étude définit l'énorme territoire constitué par la péninsule du Québec-Labrador.

Les analyses que nous avons effectuées permettent d'identifier des effets de seuils et des flux préférentiels qui caractérisent l'utilisation des matières premières. Notre étude permet également de mettre en évidence certains phénomènes qui influencent l'organisation de la

technologie lithique des groupes que nous étudions. Un premier ensemble de phénomènes est relié à la nature (granulométrie, cassure, dureté) et à la présentation (en nodules ou en lits massifs) des différentes matières premières qui sont utilisées. Par exemple, le chert de la Minganie qui se présente en nodules de dimensions restreintes impose une importante contrainte aux tailleurs. Les outils taillés en chert de la Minganie, même ceux qui ont été récupérés directement sur les sites d'atelier et de transformation initiale sont toujours de petites dimensions et il est d'ailleurs très rare de mettre au jour une pièce complète qui fait plus de 5 à 6 cm de longueur. Également relié à la présentation de ce matériau, et particulièrement à la morphologie des nodules, les assemblages de chert de la Minganie témoignent d'une forte représentation d'éléments portant des surfaces corticales, autant parmi les outils que le débitage. Ce matériau, un chert d'assez bonne qualité pour la taille de petits objets, a été taillé en une importante variété d'outils. Contrairement, le « quartzite EbCp », et également le « quartzite Noui », qui sont des matériaux à granulométrie moyenne, ont principalement été taillés en pièces bifaciales et rares sont les outils tels que les grattoirs et les racloirs ou les éclats utilisés/retouchés confectionnés à partir de ces matériaux. Ces matériaux semblaient donc moins bien adaptés pour l'accomplissement de certaines fonctions qui nécessitaient plutôt l'emploi de pierres à grains très fins. Le « quartzite EbCp » se présente en lits massifs et les nucléus de ce matériau qui ont été observés permettent de soutenir que les supports initiaux pour la confection d'outils en « quartzite EbCp » n'imposaient pas de contrainte de dimension. Et effectivement, les outils confectionnés en « quartzite EbCp » sont systématiquement de dimensions supérieures à ceux en chert de la Minganie.

L'organisation de la technologie des groupes étudiés est également influencée par un second facteur, celui de la disponibilité et de l'abondance des matériaux (Andrefsky 1994). En ce sens, l'utilisation des matières premières lithiques de provenance exotique se démarque sensiblement de celle des matières premières locales. Ces outils semblent invariablement entrer dans le système technologique des groupes locaux sous la forme d'outils finis, les nucléus étant virtuellement absents du registre archéologique. Ces

matériaux, principalement des cherts ou des quartzites à granulométrie très fine, semblent également être de façon préférentielle transformés en pièces bifaciales et les assemblages d'outils récupérés témoignent d'un taux de fracturation supérieur à celui des matières premières d'origine locale ou régionale. De plus, le poids moyen des éléments de débitage est systématiquement inférieur pour les matériaux exotiques ce qui tend à confirmer que ces derniers sont introduits sous la forme de supports plus aboutis. Finalement, la présence et la représentation des matériaux exotiques à l'échelle de la région ne répondent pas au modèle de diminution monotonique et ces derniers se distribuent à l'échelle de la région sans réellement témoigner d'une concentration ou d'une diminution avec l'accroissement de la distance. Cet élément tend à démontrer qu'un effort particulier ou encore une signification particulière était apposée à ces matériaux et motivait la circulation et l'acquisition de ces matières premières. Cette motivation peut découler de la volonté de partager un ensemble de traits ou encore être la conséquence archéologique des importants réseaux d'alliances qui unissaient ces groupes. Non seulement à travers l'identification de réseaux d'acquisition partagés, mais également identifier leur participation à un univers culturel partagé et leur intégration sociale. La présence et la représentation du quartzite de Ramah parmi les assemblages de la région permettent en particulier de soutenir une telle hypothèse et sont abondamment interprétées en ce sens (Loring 2002; 1992; Bellavance 2006).

Nous bénéficions donc maintenant d'une meilleure connaissance de la variabilité des assemblages lithiques qui caractérisent la préhistoire de la Moyenne-Côte-Nord. Un nombre important de ces assemblages ont été décrits et permettent de connaître l'importance et la représentation des différentes matières premières qui ont été utilisées au cours de la préhistoire de la région. Sur la base de l'utilisation et de la représentation de ces matériaux, nous sommes parvenus à identifier la présence de grands ensembles que nous avons interprétés en termes de la présence de territoire de bandes subrégionales. La présence et la provenance des matériaux exotiques a également permis de préciser la nature et l'organisation des relations qu'entretenaient les groupes de la Moyenne-Côte-Nord avec leurs voisins de la péninsule du Québec-Labrador. Malgré ces avancements, certains trous

importants demeurent présents dans cette histoire. Principalement, une dimension importante de la variabilité des assemblages n'a pu être abordée par notre étude et on ne peut jusqu'ici mesurer l'influence de la chronologie sur l'utilisation des matières premières lithiques sur la Moyenne-Côte-Nord. Également, la présence des groupes provenant des régions plus à l'ouest et au sud n'a pas été clairement mise en lumière par notre étude. Les matériaux associés à ces groupes sont vraisemblablement camouflés à l'intérieur du nombre important de variétés de matières premières que nous savons exotiques (l'ensemble des cherts à l'exception du chert de la Minganie par exemple), mais qui présentent un nombre très limité d'éléments et pour lesquelles nous n'avons pu identifier la source. Des recherches ultérieures pourraient toutefois cibler ces matériaux orphelins en particulier et à l'aide d'une méthodologie plus ciblée révéler le potentiel de cet échantillon.

Notre étude, bien qu'elle ne saurait tirer profit de l'ensemble des données qu'elle a générées, a toutefois le mérite de dresser un portrait général de l'utilisation des matières premières lithiques pour cette région. Nous avons bon espoir qu'elle puisse fournir une base de connaissance plus appropriée et actualisée aux chercheurs qui seraient tentés dans le futur d'avoir à leur tour une contribution en développant des thèmes plus spécifiques concernant la préhistoire de cette région.

Nous avons pour notre part établi un registre des sites et assemblages archéologiques pour lequel chaque artefact est décrit et à l'intérieur duquel on peut trouver une description détaillée de toutes les variétés de matières premières qui y figurent. Nos travaux ont permis notamment de préciser la description qui était disponible de la provenance et de la nature d'un matériau local pour lequel l'importance au niveau régional est considérable, le chert de la Minganie. Nous n'avons pas souhaité confiner notre recherche à la production d'un inventaire de matériaux et avons posé explicitement l'objectif d'en décrire la distribution à l'échelle régionale et tenté d'en présenter les caractéristiques générales de leur utilisation. L'analyse d'un nombre élevé d'assemblages répartis à l'échelle de la région de la Minganie nous a permis d'atteindre au moins partiellement cet objectif. À travers l'identification de

directions de mouvements, d'effets de seuils et de regroupements significatifs nous sommes parvenus à relever certains éléments qui peuvent être interprétés en termes de comportements et de territoires. Non seulement l'organisation interne de la région d'étude semble maintenant mieux comprise et mise en valeur, celle-ci, par l'identification d'alliances et de contacts avec des groupes qui occupent l'ensemble de la péninsule du Québec-Labrador, s'intègre également mieux à un contexte régional et culturel plus large.

Bibliographie

- ADAMS, Robert McC., 1974 : « Anthropological perspectives on Ancient trade ». *Current Anthropology* 15 (3) : 239-258.
- ANDREFSKY, William Jr., 2008 : « An introduction to the stone tool life history and technological organisation ». In William Jr. Andrefsky (dir.) : *Lithic technology : measures of production, use, and curation*. Cambridge University press, p.3-10.
- , 2007 : « The application and misapplication of mass analysis in lithic debitage studies ». *Journal of archaeological science* 34: 392-402.
- , 1998 : *Lithics; Macroscopic approaches to analysis*. Cambridge manuals in archaeology, Cambridge University press, New-York.
- , 1994 : « Raw-Material availability and the organisation of technology ». *American Antiquity* 59 (1) : 21-34.
- ARCHAMBAULT, Marie-France, 1995 : *Le milieu biophysique et l'adaptation humaine entre 10 000 et 3000 AA autour de l'embouchure du Saguenay, Côte nord du Saint-Laurent*. Thèse de doctorat, département d'anthropologie, Université de Montréal, Montréal
- , 1987 : « L'archaïque sur la Haute Côte Nord du Saint-Laurent ». *Recherches Amérindiennes au Québec* 17 (1-2) : 101-113.
- ARCHÉOTEC inc., 2010 : *Complexe de la Romaine — Interventions archéologiques 2009*. Rapport de recherches présenté à Groupe production Hydro-Québec, Montréal.
- , 2006 : *Complexe de la Romaine — Inventaire archéologique 2005*. Rapport de recherches présenté à Groupe production Hydro-Québec, Montréal.
- , 2006a : *Complexe de la Romaine — Interventions archéologiques 2004*. Rapport de recherches présenté à Groupe production Hydro-Québec, Montréal.
- , 2004 : *Complexe de la Romaine — Aménagements hydroélectriques Romaine 1, 2, 3 et 4. Parcs à carburant et stations limnimétriques. Inventaire archéologique mai 2003*. Rapport présenté à Hydro-Québec, Montréal.
- , 2002 : *Projet d'aménagement hydroélectrique Romaine I. Réservoir Romaine et aires d'investigations géotechniques. Intervention archéologiques 2001*. Rapport de recherches présenté à Unité Environnement, Ingénierie, approvisionnement et construction Hydro-Québec, Montréal.

- , 2000 : *Dérivation partielle de la rivière Romaine, étude de Faisabilité : Étude du potentiel archéologique*. Rapport présenté à Unité conception des installations et programmes, Hydro-Québec, Montréal.
- , 2000a : *Dérivation partielle de la rivière Romaine. Étude de faisabilité. Interventions archéologiques 1999 dans les secteurs des aménagements à l'étude*. Rapport de recherches présenté à Unité Conception des installations et Programmes, Hydro-Québec, Montréal.
- , 1979 : *Étude de l'utilisation des ressources du territoire de La Romaine, de la période préhistorique à la période contemporaine*. Direction de l'environnement, Hydro-Québec, Montréal.
- AUBRY, Thierry, 2005 : « Étude de l'approvisionnement en matières premières lithiques d'ensemble archéologiques; remarques méthodologiques et terminologiques ». In Céline Bressy, Ariane Burke, P. Chalard et H. Martin (dir.) : *Notions de territoire et de Mobilité. Exemples de l'europe et des premières nations en Amérique du Nord avant le contact européen*. ERAUL 116, p.249-261.
- AUBRY, Thierry et Javier MANDAGO, 2006 : « The Côa valley (Portugal). Lithic raw material characterisation and the reconstruction of Upper Palaeolithic settlement patterns ». In Céline Bressy, Ariane. Burke, P. Chalard et H. Martin (dir.) : *Notions de territoire et de Mobilité. Exemples de l'europe et des premières nations en Amérique du Nord avant le contact européen*. ERAUL 116, p.41-50.
- BELLAVANCE, Francis, 2006 : *Le quartzite de Ramah au Mushuau Nipi, Nouveau-Québec. Analyse du débitage dans une perspective chronologique et contribution à l'étude des réseaux d'échange*. Mémoire de maîtrise, Département d'anthropologie, Université de Montréal, Montréal.
- BEAULIEU, Jean, 2004 : *Pétrographie des roches sédimentaires (deuxième édition)*. École Polytechnique de Montréal, Montréal.
- BERMAN M.J., A.K. SIEVERT et T. WHYTE, 1999 : « Form and function of bipolar lithic artifacts from the 3 dog site ». *Latin American Antiquity* 10 (4) : 415-432.
- BERNARD, Claude, 1966 : « Note sur la relation possible entre le silex de Mingan et certains artéfacts de la Côte-Nord ». *Bulletin de la société d'archéologie du Québec*. Décembre 1966 : 13-14.
- BIGRAS, Patrice et Jean-Marie DUBOIS, 1987 : « Répertoire commenté des datations radiocarbone du Nord de l'estuaire et du Golfe du Saint-Laurent, Québec et Labrador ». *Bulletin de recherche* 94-95-96, Département de Géographie, Université de Sherbrooke. Sherbrooke.

- BINFORD, Lewis R., 1979 : « Organization and formation processes : looking at curated technologies », *Journal of anthropological research* 35 (3) : 255-273.
- BLACK, David W. et Lucy A. WILSON, 1999 : « The Washademoak Lake *Chert* Source, Queens County, New Brunswick, Canada ». *Archaeology of Eastern North America* 27 : 81-108.
- BLADES, Brooke, 2006 : « Common concerns in the analysis of lithic raw material exploitation in the Old and New Worlds ». In Céline Bressy, A. Burke, P. Chalard et H. Martin (dir.) : *Notions de territoire et de Mobilité. Exemples de l'europe et des premières nations en Amérique du Nord avant le contact européen*. ERAUL 116, p.163-164.
- BONEWITZ, Ronald L., 2005 : *Roches et Minéraux. Le guide complet des roches, des minéraux, des gemmes et des fossiles*. ERPI, Montréal.
- BOUCHARD, Serge, 2004 : *Récits de chasse de Mathieu Mestokosho, chasseur Innu*. Boréal, Montréal.
- BRADBURY, Andrew P., CARR, Philip J., 2004 : « Combining aggregate and individual methods of flake analysis: aggregate trend analysis ». *North American Archaeologist* 25 (1) : 65-90.
- , 1999. « Examining stage and continuum models of flake debris analysis: an experimental approach ». *Journal of Archaeological Science* 26 : 105-116.
- , 1995. « Flake typologies and alternative approaches: an experimental assessment ». *Lithic technology* 20 (2) : 100-115.
- BRISEBOIS, Daniel et Thomas CLARK, 2003 : *Géologie et ressources minérales de la partie est de la Province de Grenville*. Ministère des Ressources Naturelles, Faune et Parcs, Québec. 5 cartes.
- BURKE, Adrian L., 2007 : « Quarry source areas and the organization of stone tool technology: a view from Quebec ». *Archaeology of North America* 35 : 63-80.
- , 2006 : « Palaeoindian ranges in Northeastern North America based on lithic raw material sourcing ». In Céline Bressy, A. Burke, P. Chalard et H. Martin (dir.) : *Notions de territoire et de Mobilité. Exemples de l'europe et des premières nations en Amérique du Nord avant le contact européen*. ERAUL 116, p. 91-98.
- , 2006a : « Le site CjEd-5 : Un lieu d'habitation coutumier et lieu rituel dans le Bas-Saint-Laurent ». *Recherches Amérindiennes au Québec* 36 (1) : 23-36.

- , 2003 : « La provenance des matières premières lithiques et la reconstitution des réseaux d'interactions ». In Norman Clermont, Claude Chapdelaine et Jacques Cinq-Mars (dir.) : *Île aux Allumettes : L'archaïque supérieur dans l'Outaouais*. Paléo-Québec 30, Recherches Amérindiennes au Québec, Montréal, p.187-218.
- , 2002 : « Les carrières du Paléoindien récent à la Martre et la géologie du chert du mélange de Cap-Chat ». *Recherches Amérindiennes au Québec* 32 (3) : 91-99.
- , 1993 : *The Pelletier Site (CkEe-9), Témiscouata : a lithic workshop and habitation site*. Mémoire de maîtrise, Université de Montréal, Montréal.
- BURKE, Adrian L. et Éric Chalifoux, 1998 : « Stratégie d'acquisition du chert Touladi et production lithique durant la période du sylvicole au Témiscouata ». In Roland Tremblay (dir.) : *L'éveilleur et l'ambassadeur. Essais archéologiques en hommage à Charles A. Martijn*. Paléo-Québec 27, Recherches Amérindiennes au Québec, Montréal, p.33-52.
- CALLAHAN, Errett, 2000 : *The Basics of Biface Knapping in the Eastern Fluted Point Tradition: A Manual for Flintknappers and Lithic Analysts*. VA: Piltown Productions, Lynchburg, p.1-180.
- CALOGERO, Barbara, 1992 : « Lithic misidentification ». *Man in the Northeast* 43 : 87-90.
- CASTONGUAY, Daniel et Daniel CHEVRIER, 1976 : *Reconnaissance archéologique sur la moyenne et haute Côte Nord, 1976*. Service d'archéologie et d'ethnologie, Ministère des affaires culturelles du Québec, Québec.
- CÉRANE, 1992 : *Complexe de la rivière Sainte-Marguerite, 1991, inventaire archéologique. Partie 2; enquête ethnographique complémentaire*. Hydro-Québec, Environnement, rapport inédit.
- CHALIFOUX, Éric, Adrian L. BURKE et Claude CHAPDELAIN, 1998 : *La préhistoire du Témiscouata; Occupations amérindiennes dans la haute vallée de Wolastokuk*. Paléo-Québec 26, Recherches Amérindiennes au Québec. Montréal.
- CHALIFOUX, Éric et Adrian L. BURKE, 1995 : « L'occupation préhistorique du Témiscouata (est du Québec), un lieu de portage entre deux grandes voies de circulation ». In Anne-Marie Balac, Claude Chapdelaine, Norman Clermont et Françoise Duguay (dir.) : *Archéologies québécoises*. Paléo-Québec 23, Recherches Amérindiennes au Québec, Montréal, p.237-270.

- CHAPDELAINE, Claude, 2004 : « Une séquence culturelle pour la région de Kégashka, Basse-Côte-Nord, Québec ». In Claude Chapdelaine et Pierre Corbeil (dir.) : *Un traducteur du passé : Mélanges en hommage à Norman Clermont*. Paléo-Québec 31, Recherches Amérindiennes au Québec, Montréal, p.87-114.
- , 1995 : « Les Iroquoiens de l'est de la vallée du Saint-Laurent ». In Anne-Marie Balac, Claude Chapdelaine, Norman Clermont et Françoise Duguay (dir.) : *Archéologies québécoises*. Paléo-Québec 23, Recherches Amérindiennes au Québec, Montréal, p.161-184.
- , 1994 : *Inventaire archéologique route 138 Natashquan-Kégashka*. Rapport soumis à la division des études environnementales, Ministère des Transport du Québec. Québec.
- , 1986. « La poterie amérindienne préhistorique du site EbCx-1 : Île du Havre de Mingan : identification culturelle et position chronologique ». *Recherches Amérindiennes au Québec* 16 (2-3) : p.95-101.
- CHAPDELAINE, Claude, Greg KENNEDY et Éric CHALIFOUX, 1995 : « Kégashka; de la poterie iroquoise ou algonquienne? » In Claude Chapdelaine, Norman Clermont et Robert Marquis (dir.) : *Étude du réseau d'interactions des iroquoiens préhistoriques de Québec méridional par les analyses physico-chimiques*. Paléo-Québec 24, Recherches Amérindiennes au Québec, Montréal, p. 71-84.
- CHEVRIER, Daniel, 1996 : « Les premières populations humaines : 8 500 à 2 000 ans avant aujourd'hui ». In Pierre Frenette (dir.) : *Histoire de la Côte-Nord*. Institut de recherche sur la culture, Presses de l'Université Laval, Québec, p.73-104.
- , 1996a : « Le partage des ressources du littoral : 2 000 à 350 ans avant aujourd'hui ». In Pierre Frenette (dir.) : *Histoire de la Côte-Nord*. Institut de recherche sur la culture, Presses de l'Université Laval, Québec, p.105-134.
- , 1978 : « La Côte-Nord du Saint-Laurent ». In Claude Chapdelaine (dir.) : *Images de la préhistoire du Québec*. Recherche Amérindienne au Québec, Montréal, p. 75-87.
- , 1978a : *Sauvetages archéologiques sur la Moyenne-Côte-Nord du Saint-Laurent entre Jupitagon et la Romaine, 1978*. Rapport soumis à la direction de l'archéologie du patrimoine des Affaires Culturelles du Québec, Québec.
- , 1978b : *Recherches archéologiques sur la Côte-Nord du Saint-Laurent, 1977*. Rapport soumis à la direction de l'Archéologie et de l'Ethnologie, Ministère des Affaires Culturelles du Québec, Québec.

- , 1977 : *Préhistoire de la région de la Moisie*. Les cahiers du patrimoine 5. Direction du patrimoine, Ministère des Affaires culturelles, Québec.
- , 1977a : *Potentiel archéologique de six rivières importantes de la Côte-Nord*. Rapport soumis à la direction Environnement, Hydro-Québec, Montréal.
- , 1976 : « L'archéologie [pré] historique sur la moyenne et la Basse-Côte-Nord ». *Recherches Amérindiennes au Québec* 5 (2) : 24-34.
- , 1973 : *Reconnaissance archéologique dans la région de Moisie, 1972*. Service d'archéologie et d'ethnologie, Ministère des Affaires culturelles du Québec, Québec.
- CHRÉTIEN, Yves, 1995 : « Les lames de cache du site Lambert et l'influence de la culture Meadowood dans la région de Québec ». In Anne-Marie Balac, Claude Chapdelaine, Norman Clermont et Françoise Duguay (dir.) : *Archéologies québécoises*. Paléo-Québec 23, Recherches Amérindiennes au Québec, Montréal, p.185-202.
- CLERMONT, Norman, 1999 : « L'archéologue, la culture matérielle et les problèmes de l'ethnicité ». *Recherches Amérindiennes au Québec* 29 (1) : 71-73.
- , 1998 : « Le sylvicole du Bouclier ». *Recherches Amérindiennes au Québec* 28 (2) : 51-57.
- , 1990 : « Le sylvicole inférieur au Québec ». *Recherches Amérindiennes au Québec* 20 (1) : 5-17.
- CLERMONT, Norman et Claude Chapdelaine, 1995 : « Étude macroscopique d'une collection d'artéfacts lithiques de la Pointe-du-Buisson. Point de vue des archéologues ». In Claude Chapdelaine, Norman Clermont et Robert Marquis (dir.) : *Étude du réseau d'interactions des Iroquoiens préhistoriques du Québec Méridional par les analyses physicochimiques*. Paléo-Québec 24, Recherches Amérindiennes au Québec, Montréal, p.45-48.
- CLERMONT, Norman et Charles A. MARTIJN, 1980 : « La terre que Dieu donna à Caïn ». *Études Inuit* 4 (1-2) : 5-18.
- CODÈRE, Yvon, 2000 : « Identification et provenance des matières lithiques des sites préhistoriques de l'aménagement hydroélectrique Sainte-Marguerite 3 ». In CÉRANE (dir.) *Analyse et Synthèse des interventions archéologiques*. Hydro-Québec, Montréal, p.1-36.

- , 1999 : *Potentiel des ressources lithiques du bassin de la Romaine*. Rapport présenté à Archéotec inc, Montréal. 15p.
- , 1998 : *Des pierres et des hommes, phase 2. Unités Borden CE, CF et CG*. Rapport inédit, MCCQ, Québec.
- , 1996 : *Des pierres et des hommes*. Rapport inédit, MCCQ, Québec.
- , 1993 : « Potentiel des ressources lithiques de la portion occidentale de la forêt boréale québécoise ». *Archéologiques* 7 : 90-96.
- COMPTOIS, Robert, 1983 : *Occupation et utilisation du territoire par les Montagnais de Mingan*. Rapport de recherche soumis au Conseil Attikamekw-Montagnais (CAM). Ancienne Lorette.
- COUILLARD, Line et Pierre GRONDIN, 1983 : *Les îles de Mingan, des siècles à raconter*. Ministère des Communications du Québec, Québec.
- CRÊTE, Serge-André, 1978 : *Reconnaissance archéologique à l'archipel de Mingan, été 1978*. Rapport soumis à la direction de l'archéologie du patrimoine des Affaires Culturelles du Québec, Québec.
- DEER W.A., R.A. HOWIE et J. ZUSSMAN, 1992 : *An introduction to the rock forming minerals (2nd edition)*. Pearson, Prentice Hall, Essex.
- DENTON, David, 1998 : « From the source, to the margins and back. Notes on Mistassini quartzite and archaeology in the area of the Colline Blanche ». In Roland Tremblay (dir.) : *L'éveilleur et l'ambassadeur: Essais archéologiques et ethnohistoriques en hommage à Charles A. Martijn*. Paléo-Québec 27, Recherches Amérindiennes au Québec, Montréal, p.17-32.
- DENTON, David et Jean-Yves PINTAL, 2002 : *L'ancre du lièvre et l'histoire des Mistassins: Bilan des connaissances archéologiques et présentation des zones d'intérêt archéologique et historique*. Rapport présenté à la société faune et parcs du Québec. Administration Régionale Crie.
- DENTON, David. et Moira. McCAFFREY 1988 : « A preliminary statement on the prehistoric utilization of chert deposits near Schefferville, Nouveau-Québec ». *Canadian journal of archaeology* 12 : 137- 152.
- DESROCHERS, André, 1988 : *Stratigraphie de l'Ordovicien de la région de l'archipel de Mingan*, MM 87-01. Ministère de l'Énergie et des Ressources, Québec.

- , 1983 : *Géologie du secteur Est de l'archipel de Mingan*. DP 8304, Ministère de l'Énergie et des Ressources, gouvernement du Québec. Québec. 1 carte.
- , 1982 : *Géologie du secteur Ouest de l'archipel de Mingan*. DP 8304, Ministère de l'Énergie et des Ressources, gouvernement du Québec. Québec. 1 carte.
- DIBBLE, Harold et al., 2005 : « the measurement and interpretation of cortex in lithic assemblages ». *American Antiquity* 70 (3) : 545-560.
- DOMINIQUE, Richard, 1989 : *Le langage de la chasse : Récit autobiographique de Michel Grégoire, Montagnais de Natashquan*. Presses de l'Université du Québec. Sillery.
- DUBOIS, Jean-Marie, 1996 : « Le milieu naturel ». In Pierre Frenette (dir.) *Histoire de la Côte-Nord*. Institut de recherche sur la culture, Presses de l'Université Laval, Québec, p.23-72.
- , 1979 : *Environnements quaternaires et évolution postglaciaire d'une zone côtière en émergence en bordure sud du Bouclier canadien : la Moyenne-Côte-Nord du Saint-Laurent, Québec*. Thèse de doctorat, Département de géographie, Université d'Ottawa, Ottawa.
- , 1977 : « La déglaciation de la Côte-Nord du Saint-Laurent: analyse sommaire ». *Géographie physique et quaternaire* 31 (3-4) : 229-246.
- DUBREUIL, Steve, 2007 : *Étude sur les sites archéologiques préhistoriques et historiques caractéristiques de la région de la Côte-Nord du Québec*. Rapport remis à la direction du patrimoine et de la muséologie, Ministère de la Culture, des Communications et de la Condition féminine du Québec, Québec.
- EARLE, Timothy, 1994 : « Positioning exchange in the evolution of human society » In Timothy G. Baugh et Jonathan E. Ericson (dir.) : *Prehistoric exchange systems in North America*. Plenum Press, New-York, p.419-437.
- ELAY, Betty et Peter von BITTER, 1989 : *Cherts of southern Ontario*. Publications in Archaeology, Royal Ontario Museum, Toronto.
- ELBURG, Rengert et Paul Van Der KROFT, 2006 : « Of lithic territories, ancient and modern ». In Céline Bressy, Ariane. Burke, P. Chalard et H. Martin (dir.) : *Notions de territoire et de Mobilité. Exemples de l'europe et des premières nations en Amérique du Nord avant le contact européen*. ERAUL 116, p.151-154.

- FITZHUGH, William W. 2006 : « Settlement, social and ceremonial change in the Labrador Maritime Archaic ». In David Sanger et Priscilla M.A. Renouf (dir.) *The Archaic of the far Northeast*. University of Maine press, Orono, p.47-82.
- , 2001 : *The Gateways Project 2001: Archaeological survey of the Quebec lower North Shore, Gulf of St Lawrence, from Mingan to Blanc-Sablon*. Smithsonian Institution. Rapport soumis au Ministère de la Culture et des Communications du Québec, Québec.
- , 1980 : « Preliminary report on the Torngat Archaeological project ». *Arctic* 33 (3) : 85-606.
- , 1972 : *Environmental Archaeology and cultural systems in Hamilton Inlet, Labrador: A survey of the central coast from 3000 BC. To the present*. Smithsonian contributions to Anthropology 16, Smithsonian institution press, Washington.
- FLÉBOST-AUGUSTIN, Jehanne, 2006 : « Early Neolithic pioneer mobility : raw material procurement in layer 58 of the Gardon cave (Ambérieu-en-Bugey, Ain, France) ». In Céline Bressy, Ariane Burke, P. Chalard et H. Martin (dir.) : *Notions de territoire et de Mobilité. Exemples de l'europe et des premières nations en Amérique du Nord avant le contact européen*. ERAUL 116, p.107-116.
- FRENETTE, Jacques, 1986 : *Mingan au XIXe siècle : cycles annuels des Montagnais et politiques commerciales de la Compagnie de la Baie d'Hudson*. Musée nationaux du Canada, Ottawa.
- GENESTE, Jean-Michel, 1988 : « Systèmes d'approvisionnement en matières premières au paléolithique moyen et au paléolithique supérieur en Auitaine ». In Jean-Michel Geneste (dir.) : *L'homme de Néandertal*, Volume 8, Paris, p.61-70.
- GRAMLY, Micheal R. 1980 : « Raw materials source areas and "curated" tool assemblages ». *American Antiquity* 45 (4) : 823-833.
- , 1978 : « Lithic source areas in Northern Labrador ». *Arctic Anthropology* 15 (2) : 36-47.
- GRÉGOIRE, Sophie. 2002 : « Pétroarchéologie des roches siliceuses ». In Jean-Claude Miskovsky (dir.) : *Géologie de la préhistoire*. GÉOPRE, Paris, p.929-942.
- INDARÈS, Aphrodite et Jacques MARTIGNOLE, 1993 : *Étude régionale du Supergroupe de Wakeham, Moyenne-Côte-Nord*. MB 91-92. Ministère de l'Énergie, des Mines et des Ressources du Canada, Québec.

- INGBAR, E.E., LARSON M.L. et BRADLEY, B.A., 1989 : « A non-typological approach to debitage analysis » In Daniel S. Amick et R.P. Mauldin (dir.) : *Experiments in lithic technology*. BAR international series 528, Oxford, p.67-99.
- INIZAN, Marie-Louise et al. 1995 : *Technologie de la pierre taillée*. Préhistoire de la pierre taillée Tome 4. CREP, Paris.
- JOHNSON, Allen W. et Timothy K. Earle, 1987 : *The evolution of human societies : from foraging group to agrarian state*. Stanford University Press, Stanford.
- KELLY, Robert L., 1983 : « Hunter-gatherer mobility strategies », *Journal of anthropological research* 39 : 277-306.
- KOOYMAN, Brian P., 2000 : *Understanding stone tools and archaeological sites*. University of Calgary press, Calgary.
- KUHN, Steven L., 1989 : « Hunter-gatherer foraging organization and strategies of artefact replacement and discard » In Daniel S. Amick et R.P. Mauldin (dir.) : *Experiments in lithic technology*. BAR international series 528, Oxford, p.33-48.
- KUIJT Ian, PRENTISS, William J., POKOTYLO David, 1995 : « Bipolar reduction: an experimental study of debitage variability ». *Lithic Technology* 20 (2) : 116-127.
- LACASSE, Jean-Paul, 2004 : *Les Innus et le territoire : Innu tipenatamun*. Collection Territoires, Septentrion, Sillery.
- LAFORTE, Esther, 1989 : *Inventaire archéologique, route 138, Rivière-au-Tonnerre à Havre-St-Pierre. Été 1988*. Rapport soumis au Service de l'environnement, Ministère des Transports du Québec, Québec.
- LAZENBY, Colleen M.E., 1980 : « Prehistoric sources of chert in Northern Labrador : Field work and preliminary analyses ». *Arctic* 33 (3) : 628-645.
- LEACOCK, Eleanor B., 1969 : « The Montagnais-Naskapi Band ». In David Damas (dir.) : *Contributions to Anthropology : Band societies*. National Museums of Canada, Bulletin 288, Anthropological series 84, Ottawa, p.1-17.
- , 1954 : *The Montagnais « Hunting territory » and the fur trade*. American Anthropological Association, Mémoire 78, Washington, 59p.
- LEBLANC, David, 2004 : *Caractérisation géochimique de matières premières lithiques : analyse de la quartzite de Mistassini (Colline Blanche, Rivière Témiscamie) et de la calcédoine du Lac Saint-Jean (île aux couleurs, Lac-Saint-Jean)*. Mémoire de maîtrise, Université du Québec à Chicoutimi, Chicoutimi.

- LEBLANC, Sylvie, 2000 : « Groswater technological organization : A decision-making approach ». *Arctic Anthropology* 37 (2) : 23-37.
- LÉVESQUE, René, 1971 : *La seigneurie des Iles et Ilets de Mingan*. Leméac, Ottawa.
- , 1966 : *Mission archéologique de Mingan 1966*. Rapport soumis au Ministère des Affaires Culturelles du Québec, Québec.
- , 1965 : *Mission archéologique de Mingan 1965*. Rapport soumis au Ministère des Affaires Culturelles du Québec, Québec, 20p.
- LONGLEY, Warren W, 1944 : *Rapport préliminaire sur la Rive-Nord du Saint-Laurent, de Mingan à Aguanish*. Ministère des Mines, Gouvernement du Québec, Québec, 1 carte.
- , 1950 : *Côte Nord du Saint-Laurent de Mingan à Aguanish*. Rapport géologique 42, Partie 1. Ministère des mines, Gouvernement du Québec, 1 carte.
- LORING, Stephen, 2002 : « And they took away the stones from Ramah: Lithic raw material sourcing and eastern arctic archaeology ». In William W. Fitzhugh, Stephen Loring et Daniel Odess (dir.) : *Honoring our elders: A history of eastern arctic archaeology*. National Museum of Natural History, Arctic Studies Center, Smithsonian Institution, Washington, p.163-192.
- , 1992 : *Prince and princesses of ragged fame: Innu archaeology and ethnohistory in Labrador*. Thèse de Doctorat. University of Massachusetts, Ann Arbour, 607p.
- LUEDKE, Barbara, 1992 : *An archaeologist guide to chert and flint*. Archaeological research tool, University of California, Los Angeles.
- MAGNE, Martin P.R., 2001 : « Some reflections on debitage analysis ». In William Jr. Andrefsky (dir.) : *Lithic debitage: context, form, meaning*. University of Utah Press, p.15-20.
- , 1985 : *Lithics and livelihood: stone tool technology of central and southern interior British Columbia*. Collection Mercure, Commission Archéologique du Canada, dossier n.133. Musées nationaux du Canada, Ottawa, 302p.
- MAILHOT, José, 2004 : «La disparition des Oumamiois et des Kichestigaux : une histoire cousue de fil blanc ». *Recherches Amérindiennes au Québec* 34 (1) : 21-30.
- , 1999 : *Au pays des Innus : Les gens de Sheshatshit*. Recherches Amérindiennes au Québec, Montréal, 214p.

- , 1985 : « La mobilité territoriale chez les Montagnais-Naskapis du Labrador ». *Recherches Amérindiennes au Québec* 15 (3) : 3-11.
- MARQUIS, Robert, 1998 : « Géographie physique et paléogéographie quaternaire de la région de Blanc-Sablon ». In Jean-Yves Pintal (dir.) : *Aux frontières de la mer : La préhistoire de Blanc-Sablon*. Collection Patrimoines, Dossier 102, Gouvernement du Québec, Québec. p.281-316.
- MARTIJN, Charles A. 1990 : « The Iroquoian Presence in the Estuary and Gulf of the Saint Lawrence River Valley: A Reevaluation ». *Man in the Northeast* 40 : 45-63.
- , 1986 : « Voyages des Micmacs dans la vallée du Saint-Laurent, sur la Côte-Nord et à Terre-Neuve ». In C.A.Martijn (dir.) : *Les Micmacs et la mer*. Collection Signes des Amériques, Recherches Amérindiennes au Québec, Montréal, p.197-223.
- , 1980 : « La présence inuit sur la Côte-Nord du Golfe St-Laurent à l'époque historique ». *Études Inuit* 4 (1-2) : 105-126.
- , 1978 : « Histoire de la recherche archéologique au Québec ». In Claude Chapdelaine (dir.) : *Images de la préhistoire du Québec*. Recherches Amérindiennes au Québec, Montréal. p.11-18.
- McCAFFREY, Moira T., 2006 : « Archaic period occupation in Subarctic Quebec: A review of the evidence ». In David Sanger et Priscilla M.A. Renouf (dir.) : *The Archaic of the far Northeast*. University of Maine press, Orono, p.161-190.
- , 1989 : « Archaeology in western Labrador » In J. Callum Thompson et Jane P. Thompson (dir.) : *Archaeology in Labrador 1986*. Annual Report 7. Historic resource division, Newfoundland Museum, St. John's, p. 72-113.
- , 1989a : « L'acquisition et l'échange de matières lithiques durant la préhistoire récente : un regard vers la Fosse du Labrador ». *Recherches Amérindiennes au Québec* 19 (2-3) : 95-107.
- McCAFFREY, Moira T., Stephen LORING et William W. FITZHUGH, 1989 : « An archaeological reconnaissance of the Seal Lake region, interior Labrador ». In J. Cullum Thompson et Jane P. Thompson (dir.) : *Archaeology in Labrador 1986*. Annual Report 7, Historic resource division, Newfoundland Museum, St. John's, p. 114-163.

- MORIN, Annie et Robert MARQUIS, 1995 : « Étude macroscopique d'une collection d'artéfacts lithiques de la Pointe-du-Buisson. Point de vue des géologues ». In Claude Chapdelaine, Norman Clermont et Robert Marquis (dir.) : *Étude du réseau d'interactions des Iroquoïens préhistoriques du Québec Méridional par les analyses physicochimiques*. Paléo-Québec 24, Recherches Amérindiennes au Québec, Montréal, p.39-44.
- MORROW, Carol A. et Richard W. JEFFERIES, 1989 : « Trade or imbedded procurement? A test case from southern Illinois ». In R. Torrence (dir.) : *Time, energy and stone tools*. New directions in archaeology, Cambridge University Press, Cambridge, p.27-33.
- NAGLE, Christopher, 1985 : « Lithic raw material resources studies in Newfoundland and Labrador: a progress report ». In J. Cullum Thompson et Jane P. Thompson (dir.) : *Archaeology in Labrador 1984*. Annual Report 5, Historic resource division, Newfoundland Museum, St. John's, p. 86-121.
- , 1978 : « Indian occupations of the intermediate period on the central Labrador coast : a preliminary synthesis ». *Arctic Anthropology* 15 (2) : 119-145.
- NEHLIG, Pierre, 1999 : « Les outils et méthodes de la pétrogéochimie au service de l'archéologie ». In Alain Ferdière (dir.) : *La géologie, les sciences de la terre*. Collection « Archéologiques », Édition Errance, Paris, p.9-56.
- NEILSEN, Scott W, 2006 : *The Intermediate Indians : the views from Uspitun 2 and Pmiusik I*. Mémoire de maîtrise, Département of Anthropology, Archaeology unit, Memorial University, St. John's.
- NISSAIRE, M-L. T., 1981 : *Étude qualitative des calcaires dans les régions de Baie-St-Paul – La Malbaie, Simard et Havre-St-Pierre*. DPV-788, Ministère de l'Énergie et des Ressources Gouvernement du Québec, Québec, 3 cartes.
- ODELL, George H., 2004 : *Lithic analysis*. Kluwer Academic/Plenum Publishers. New York.
- PARENT, Michel, et al. 1985 : « Paléogéographie du Québec Méridional entre 12 500 et 8 000 ans BP ». *Recherches Amérindiennes au Québec* 15 (1-2) : 17-37.
- PATTERSON, Leland W., 1995 : « Thermal damage of chert ». *Lithic technology* 20 (1) : 72-80.

- PINTAL, Jean-Yves, 2006 : « The Archaic sequence of the St.Lawrence Lower North Shore, Quebec ». In David Sanger et Priscilla M.A. Renouf (dir.) : *The Archaic of the far Northeast*. University of Maine press, Orono, p.105-138.
- , 2000 : « La préhistoire de la région de Baie-Comeau et l'exploitation des ressources du littoral ». *Archéologiques* 14 : 1-10.
- , 1998 : *Aux frontières de la mer : La préhistoire de Blanc-Sablon*. Collection Patrimoines, Dossier 102, Gouvernement du Québec, Québec.
- , 1996 : *Inventaire archéologique à Aguanish*. Société québécoise d'assainissement des eaux, Municipalité d'Aguanish. Rapport soumis au Ministère de la Culture et des Communications du Québec, Québec.
- , 1996a : *Contrat no. 3000-95-ADO1; Inventaires archéologiques : 6- Côte-Nord*. Rapport soumis à la Direction de la Côte-Nord, Ministère des Affaires Culturelles du Québec, Québec, p.184-242.
- , 1992 : « La distribution des matériaux lithiques en Basse-Côte-Nord orientale ». *Archéologiques* 5-6 : 59-67.
- , 1990 : « Sériation des matières lithiques à Blanc-Sablon : échange ou mobilité territoriale? » *Archéologiques* 3-4 : 87-97.
- , 1989 : « Contributions à la préhistoire récente de Blanc-Sablon ». *Recherches Amérindiennes au Québec* 19 (2-3) : 33-46.
- PLOURDE, Michel, 2009 : *Étude synthèse sur les sites archéologiques caractéristiques de l'occupation amérindienne du territoire et sur la contribution scientifique de l'archéométrie*. Rapport remis à la direction du patrimoine et de la muséologie, Ministère de la Culture, des Communications et de la Condition féminine du Québec, Québec.
- , 2006 : *Étude sur les sites archéologiques caractéristiques de l'occupation amérindienne du territoire*. Rapport remis à la direction du patrimoine et de la muséologie, Ministère de la Culture, des Communications et de la Condition féminine du Québec, Québec.
- , 2003 : *8000 ans de Paléohistoire. Synthèse des recherches archéologiques menées dans l'aire de coordination du Parc Marin du Saguenay – Saint-Laurent*. Service du Patrimoine culturel, Parcs Canada. Québec.

- , 1999 : « Le sylvicole supérieur à l'embouchure du Saguenay est-il iroquoien? ». *Recherches Amérindiennes au Québec* 29 (1) : 9-25.
- , 1998 : *Troisième saison de fouilles archéologiques et d'animation dans le secteur ouest du site de la Falaise (DbEj-13) - Grandes-Bergeronnes - Haute-Côte-Nord - 1997*. Rapport de terrain présenté à Parcs Canada / Parc marin du Saguenay – Saint-Laurent et au ministère de la Culture et des Communications du Québec. Québec.
- , 1993 : *D'Escamines à Pletipishtuk; Perspectives sur la préhistoire amérindienne de la Haute-Côte-Nord du Saint-Laurent*. Les publications du Québec, Collection Patrimoines 80. Québec.
- PLOURDE, Michel et Christian GATES SAINT-PIERRE, 1999 : « Les phocidés du secteur de l'embouchure du Saguenay : modalités d'exploitation au Sylvicole supérieur ». *Recherches Amérindiennes au Québec* 33 (1) : 45-61.
- PLUMET, Patrick et al., 1993 : *Le site Lavoie (DbEj-11). L'archaïque aux Grandes Bergeronnes, Haute Côte-Nord du Saint-Laurent, Québec*. Paléo-Québec 20, *Recherches Amérindiennes au Québec*, Montréal.
- POLLOCK, Stephen G., Nathan D. HAMILTON et Robson BONNICHEN, 1999 : « Chert from the Munsungun Lake Formation (Maine) in Palaeoamerican Archaeological Sites in Northeastern North America: Recognition of its Occurrence and Distribution ». *Journal of Archaeological Science* 26 : 269-293.
- RENFREW, Colin, 1977 : « alternative model for exchange and spatial distribution ». In Timothy K. Earle et J.E. Ericson (dir.) : *Exchange systems in prehistory*. Academic press, New York, p.71-92.
- RICHARD, Pierre J.H., 1985: « Couvert végétal et paléoenvironnements du Québec entre 12000 et 8000 ans BP ». *Recherches Amérindiennes au Québec* 15 (1-2) : 39-56.
- ROGERS, Edward S. et Jean H. Rogers, 1959 : « The yearly cycle of the Mistassini Indians ». *Arctic* 12 : 130-138.
- SCHERRER, Bruno, 1984 : *Biostatistique*. Gaëtan Morin éditeur, Boucherville.
- SCHLANGER, Nathan, 2005 : « The chaîne opératoire ». In Colin Renfrew et Paul Bahn (dir.) : *Archaeology : the key concepts*. Routledge, New-York, p.25-31.
- SELLET, Frederic, 1993 : « Chaîne opératoire; the concept and its applications ». *Lithic technology* 18 (1-2) : 106-112.

- SHOTT, Micheal J., 2007 : « The role of reduction analysis in lithic studies ». *Lithic technology* 32 (1) : 131-141.
- , 2005 : « The reduction thesis and its discontents: overview of the volume ». In Christopher Clarkson et Lara Lamb (dir.) : *Lithics down under: Australian perspective on lithic reduction, use and classification*, BAR International Series 1408, Oxford, p.109-125.
- , 1995 : « How much is a scraper? Curation, use rates, and the formation of scraper assemblages ». *Lithic technology* 20 (1) : 53-72.
- , 1994 : « Size and form in the analysis of flake debris: review and recent approaches ». *Journal of Archaeological Method and Theory* 1 (1) : 69-110.
- , 1986 : « Technological organization and settlement mobility: an ethnographic examination ». *Journal of Anthropological Research* 42 : 15-51.
- SHOTT, Micheal J. et Margaret C. NELSON, 2008 : « lithic reduction, it's measurements and implications ». In William Jr. Andrefsky (dir.) : *Lithic technology : measures of production, use, and curation*. Cambridge University press, Cambridge, p.23-39.
- SHOTT, Micheal J., Kathryn J. WEEDMAN, 2007 : « Measuring reduction in stone tools: an ethnoarchaeological study of Gamo hidescrapers from Ethiopia ». *Journal of Archaeological Science* 34 : 1016-1035.
- SIMPSON, David N., 1984 : « The Port au Port peninsula archaeology project: a preliminary report » In J. Cullum Thompson et J ane P. Thompson (dir.) : *Archaeology in Labrador 1983*. Annual Report 4, Historic ressources division, Newfoundland Museum, St. John's, p. 126-141.
- SOMCYNSKY, Pablo, 2009 : *Éloge de la curiosité*. Mémoire soumis au bureau d'audiences publiques (BAPE) Projet hydroélectrique de la rivière Sheldrake, volet archéologie, Montréal, 5p.
- , 1992 : *Plan quinquennal d'intervention archéologique sur les tracés de ligne électrique de la région de Mingan : phase 1990-1991; fouilles à EbCx-65 et autres expertises*. Rapport déposé au Conseil des Atikamekw et des Montagnais, Ancienne Lorette.
- , 1992a : *Plan quinquennal d'intervention archéologique sur les tracés de ligne électrique de la région de Mingan : phase 1991-1992; fouilles à EbCx-65 et à EbDa-45 et autres expertises*. Rapport déposé au Conseil des Atikamekw et des Montagnais, Ancienne Lorette.

- , 1991 : *Le site préhistorique 72G : un atelier de taille sur l'archipel de Mingan*. Conseil Atikamekw et des Montagnais, Rapport déposé au Service Canadien des Parcs, Québec.
- , 1990 : *Expertises archéologiques sur quatre sites préhistoriques découverts dans la région de Mingan : EbCx-65, EbCx-66, EbDa-44, EbDa-45*, Rapport déposé au Conseil des Atikamekw et des Montagnais (CAM), Ancienne Lorette.
- , 1990a : *Fouilles de sauvetage des sites préhistoriques EbCv-15 et EbCp-2. Reconnaissance sur les diverses sources de matériaux dans le cadre du prolongement de la route 138 de Havre-St-Pierre à la rivière Pashashibou*. Rapport déposé au Conseil des Atikamekw et des Montagnais (CAM), Ancienne Lorette.
- , 1989 : *Reconnaissance archéologique sur le corridor d'étude du prolongement de la route 138. Volume 1 : entre Havre-Saint-Pierre et Baie-Johan-Beetz*. Rapport déposé au Conseil des Atikamekw et des Montagnais (CAM), Ancienne Lorette.
- , 1989a : *Reconnaissance archéologique sur le corridor d'étude du prolongement de la route 138. Volume 2 : entre Baie-Johan-Beetz et la rivière Pashashibou*. Rapport déposé au Conseil des Atikamekw et des Montagnais (CAM), Ancienne Lorette.
- , 1987 : *Évaluation des sites préhistoriques de la région côtière (terre ferme) de Mingan (été 1984)*. Rapport déposé au Ministère des Affaires Culturelles du Québec, Québec.
- , 1986 : *Reconnaissance archéologique sur l'archipel de Mingan : les sites amérindiens paléohistoriques et historiques*. MCCQ, Québec.
- SPECK, Frank G., 1931 : « Montagnais-Naskapi bands and early Eskimo distribution in the Labrador peninsula ». *American Anthropologist* 33 : 557-600.
- , 1915 : « The family hunting band as the basis of Algonkian social organisation ». *American Anthropologist* 17 : 289-305.
- SULLIVAN Alan P., et Kenneth C. ROZEN, 1985 : « Debitage analysis and archaeological interpretation ». *American Antiquity* 50 (4) : 755-779.
- TAILLON, Hélène, 1995 : *Évaluation archéologique du site paléohistorique de Cap-de-Bon-Désir, Québec*. Parc marin du Saguenay-Saint-Laurent. Rapport de terrain remis à Parcs Canada, Patrimoine canadien, Québec.
- WADDINGTON, G.W. 1950 : *Les dépôts calcaires de la région de Mingan*. RG 42, Partie 2. Ministère des mines, Gouvernement du Québec, Québec, 1 carte.

- WEBB, Malcom C., 1974 : « Exchange networks : prehistory ». *Annual review of Anthropology* 3 : 357-383.
- WINTERHALDER, Bruce, 1983 : « History and ecology of the boreal zone in Ontario » In A.T. Steegman (dir.) : *Boreal forest adaptations: The Algonkians of Northern Ontario*. Plenum Press, New York, p.9-54.
- WRIGHT, Gary A., 1974 : *Archaeology and trade*. Module in Anthropology 49, Addison-Wesley, Washington.
- WRIGHT, James V. 1999 : *A history of the native people of Canada. Volume 1 (10,000 – 1,000 BC)*. Archaeological Paper 152, Mercury series, Canadian Museum of Civilization, Ottawa.

Annexes

Tableau LXIX: Inventaire des sites préhistoriques répertoriés à l'intérieur de la région d'étude.

N	Nom	Code Borden	Secteur archéologique	Bornes	Disponibilité	Disponibilité détaillée	Cause	Sélection	Analyse	Type_analyse	DMS (Y)	DMS (X)	Bassin	Altitude/ Mer	Identité	Attribution générale	Attribution
1	Rivière Natashquan	EaCj-001	Aguanish	239	Disponible	Complètes		Non sélectionné	Analysé	Complète	50,09,43.582	61,37,50.318	Natashquan		Amérindien	Préhistorique indéterminé	Préhistorique indéterminé
2	Cache de Stubbert	EbCh-001	Kégashka		Non disponible	Manquante	Collection privée	Non sélectionné	Non analysé	Non analysée	50,10,58.0	61,15,50.0	Musquaro	13	Amérindien	Sylvicole	Sylvicole Moyen
3	Kégashka	EbCh-002	Kégashka	265	Disponible	Partielle	Wintemberg	Non sélectionné	Analysé	Complète	50,11,10.0	61,16,16.0	Musquaro	8	Amérindien	Sylvicole	Sylvicole
4	Court	EbCh-003	Kégashka		Disponible	Complètes		Non sélectionné	Non analysé	Non analysée	50,10,50.0	61,16,02.0	Musquaro		Amérindien	Préhistorique indéterminé	Préhistorique indéterminé
5	Kégashka	EbCh-004	Kégashka		Disponible	Complètes		Non sélectionné	Non analysé	Non analysée	50,10,57.0	61,15,51.0	Musquaro		Amérindien	Préhistorique indéterminé	Préhistorique indéterminé
6	Kégashka	EbCh-005	Kégashka		Disponible	Complètes		Non sélectionné	Non analysé	Non analysée	50,10,43.0	61,16,09.0	Musquaro		Amérindien	Préhistorique indéterminé	Préhistorique indéterminé
7	Kégashka	EbCh-006	Kégashka		Disponible	Complètes		Non sélectionné	Non analysé	Non analysée	50,10,38.0	61,16,04.0	Musquaro	20	Amérindien	Préhistorique indéterminé	Préhistorique indéterminé
8	Kégashka	EbCh-007	Kégashka	264	Disponible	Complètes		Non sélectionné	Analysé	Complète	50,11,19.0	61,16,40.0	Musquaro		Amérindien	Archaique	Archaique
9	Baie aux Huitres	EbCh-008	Kégashka		Disponible	Complètes		Non sélectionné	Non analysé	Non analysée	50,11,18.0	61,18,57.0	Musquaro		Amérindien	Préhistorique indéterminé	Préhistorique indéterminé
10	Baie de Kégashka	EbCh-009	Kégashka		Disponible	Complètes		Non sélectionné	Non analysé	Non analysée	50,11,49.0	61,15,22.0	Musquaro	6	Amérindien	Préhistorique indéterminé	Préhistorique indéterminé
11	Baie de Kégashka	EbCh-010	Kégashka		Disponible	Complètes		Non sélectionné	Non analysé	Non analysée	50,11,48.0	61,15,33.0	Musquaro	6	Amérindien	Préhistorique indéterminé	Préhistorique indéterminé
12	Baie de Kégashka	EbCh-011	Kégashka		Disponible	Complètes		Non sélectionné	Non analysé	Non analysée	50,11,38.0	61,15,58.0	Musquaro		Amérindien	Préhistorique indéterminé	Préhistorique indéterminé
13	Baie de Kégashka	EbCh-012	Kégashka	265	Disponible	Complètes		Sélectionné	Analysé	Complète	50,11,25.0	61,16,20.0	Musquaro		Amérindien	Préhistorique indéterminé	Préhistorique indéterminé
14	Site Foreman	EbCi-001	Kégashka	259	Disponible	Partielle	Wintemberg	Sélectionné	Analysé	Échantillon	50,10,47.75	61,21,06.45	Musquaro	6	Amérindien	Sylvicole	Sylvicole Moyen
15	Rivipre Kégashka	EbCi-002	Kégashka	258	Disponible	Complètes		Sélectionné	Analysé	Complète	51,10,53.875	61,22,22.022	Musquaro	16	Amérindien	Archaique	Archaique Maritime
16	Havre Kégashka	EbCi-005	Kégashka	259	Disponible	Complètes		Sélectionné	Analysé	Complète	50,10,52.0	61,21,47.0	Musquaro	16	Amérindien	Archaique	Archaique Maritime
17	Havre Kégashka	EbCi-006	Kégashka		Disponible	Complètes		Non sélectionné	Non analysé	Non analysée	50,10,48.0	61,21,20.0	Musquaro		Amérindien	Préhistorique indéterminé	Préhistorique indéterminé
18	Little river Ocher	EbCi-007	Kégashka	260	Disponible	Complètes		Sélectionné	Analysé	Complète	50,11,50.0	61,20,42.0	Musquaro	14	Amérindien	Archaique	Archaique terminal
19	Little river Southwest	EbCi-008	Kégashka	260	Disponible	Complètes		Sélectionné	Analysé	Complète	50,11,20.0	61,20,43.0	Musquaro	14	Amérindien	Préhistorique indéterminé	Préhistorique indéterminé
20	Havre Kégashka	EbCi-009	Kégashka		Disponible	Complètes		Non sélectionné	Non analysé	Non analysée	50,10,52.0	61,21,29.0	Musquaro		Amérindien	Préhistorique indéterminé	Préhistorique indéterminé
21	Ruisseau Marshes Barn Br	EbCi-010	Kégashka	257	Disponible	Complètes		Sélectionné	Analysé	Complète	50,10,37.0	61,22,36.0	Musquaro	14	Amérindien	Archaique	Archaique terminal
22	Ruisseau Marshes Barn Br	EbCi-011	Kégashka		Disponible	Complètes		Non sélectionné	Non analysé	Non analysée	50,10,42.0	61,22,26.0	Musquaro		Amérindien	Préhistorique indéterminé	Préhistorique indéterminé
23	Havre Kégashka	EbCi-012	Kégashka		Disponible	Complètes		Non sélectionné	Non analysé	Non analysée	50,10,51.0	61,21,27.0	Musquaro		Amérindien	Préhistorique indéterminé	Préhistorique indéterminé
24	Havre Kégashka	EbCi-013	Kégashka		Disponible	Complètes		Non sélectionné	Non analysé	Non analysée	50,10,57.0	61,20,59.0	Musquaro		Amérindien	Préhistorique indéterminé	Préhistorique indéterminé
25	Chutes Natasquan	EbCj-001	Aguanish	242	Disponible	Complètes		Sélectionné	Analysé	Complète	50,11,23.978	61,35,29.213	Natashquan		Amérindien	Sylvicole	Sylvicole
26	Rivière Aguanish	EbCm-002	Aguanish	205	Disponible	Complètes		Non sélectionné	Analysé	Complète	50,13,30.738	62,06,30.55	Aguanish	6	Amérindien	Archaique	Archaique Moyen
27	Rivière Aguanish	EbCm-003	Aguanish		Disponible	Complètes		Non sélectionné	Non analysé	Non analysée	50,13,41.956	62,06,36.659	Aguanish	4	Amérindien	Préhistorique indéterminé	Préhistorique indéterminé
28	Rivière Aguanish	EbCm-004	Aguanish		Disponible	Complètes		Sélectionné	Non analysé	Non analysée	50,13,45.84	62,06,16.067	Aguanish	10	Amérindien	Archaique	Archaique Moyen
29	Île Michon	EbCm-005	Aguanish	200	Disponible	Complètes		Sélectionné	Analysé	Complète	50,13,30.594	62,10,58.213	Aguanish	10	Amérindien	Préhistorique indéterminé	Préhistorique indéterminé
30	Petite Rivipre Ouest	EbCn-001	Aguanish	192	Disponible	Complètes		Sélectionné	Analysé	Complète	50,15,57.838	62,17,30.35	Nabisipi	15	Amérindien	Préhistorique indéterminé	Préhistorique indéterminé
31	Petite Rivière Est	EbCn-002	Aguanish		Disponible	Partielle		Non sélectionné	Non analysé	Non analysée	50,15,40.792	62,16,11.291	Nabisipi	15	Amérindien	Préhistorique indéterminé	Préhistorique indéterminé
32	Rivière Nabisipi	EbCn-003	Aguanish	197	Disponible	Complètes		Sélectionné	Analysé	Complète	50,14,24.662	62,13,21.504	Nabisipi	18	Amérindien	Préhistorique indéterminé	Préhistorique indéterminé
33	Rivière Nabisipi	EbCn-004	Aguanish		Disponible	Complètes		Non sélectionné	Non analysé	Non analysée	50,14,23.863	62,13,14.772	Nabisipi	20	Amérindien	Préhistorique indéterminé	Préhistorique indéterminé
34	Rivière Nabisipi	EbCn-005	Aguanish	197	Disponible	Complètes		Sélectionné	Analysé	Complète	50,14,34.48	62,13,48.619	Nabisipi	15	Amérindien	Préhistorique indéterminé	Préhistorique indéterminé
35	Petite Rivière Ouest	EbCn-006	Aguanish	193	Disponible	Complètes		Sélectionné	Analysé	Complète	50,16,01.29	62,17,25.483	Nabisipi	15	Amérindien	Préhistorique indéterminé	Préhistorique indéterminé
36	Petite Rivière du Milieu	EbCn-007	Aguanish		Disponible	Complètes		Non sélectionné	Non analysé	Non analysée	50,15,56.135	62,17,07.418	Nabisipi	15	Amérindien	Préhistorique indéterminé	Préhistorique indéterminé
37	Petite Rivière du Milieu	EbCn-008	Aguanish		Disponible	Complètes		Non sélectionné	Non analysé	Non analysée	50,15,45.770	62,16,24.28	Nabisipi	15	Amérindien	Préhistorique indéterminé	Préhistorique indéterminé
38	Rivière Nabisipi	EbCn-009	Aguanish	198	Disponible	Complètes		Sélectionné	Analysé	Complète	50,15,05.213	62,13,00.670	Nabisipi	20	Amérindien	Préhistorique indéterminé	Préhistorique indéterminé
39	Rivière Nabisipi	EbCn-010	Aguanish		Disponible	Complètes		Non sélectionné	Non analysé	Non analysée	50,15,16.956	62,12,41.519	Nabisipi	15	Amérindien	Préhistorique indéterminé	Préhistorique indéterminé
40	Rivière Nabisipi	EbCn-014	Aguanish		Disponible	Complètes		Non sélectionné	Non analysé	Non analysée	50,14,20.411	62,12,53.111	Nabisipi		Amérindien	Préhistorique indéterminé	Préhistorique indéterminé
41	Petite-Rivière du Milieu-Est	EbCn-015	Aguanish	195	Disponible	Complètes		Sélectionné	Analysé	Complète	50,15,31.626	62,15,52.045	Nabisipi		Amérindien	Préhistorique indéterminé	Préhistorique indéterminé
42	Rivière Watshishou	EbCp-001	Piashti/Watshishou	166	Disponible	Complètes		Non sélectionné	Analysé	Complète	50,17,49.175	62,39,07.344	Watshishou	22	Amérindien	Préhistorique indéterminé	Préhistorique indéterminé
43	Baie Pontbriand	EbCp-002	Piashti/Watshishou	174	Disponible	Complètes		Sélectionné	Analysé	Échantillon	50,16,59.178	62,32,58.513	Watshishou	8	Amérindien	Préhistorique indéterminé	Préhistorique indéterminé
44	Baie Pontbriand	EbCp-003	Piashti/Watshishou	173	Disponible	Complètes		Non sélectionné	Analysé	Complète	50,16,47.42	62,33,25.96	Watshishou	2	Amérindien	Préhistorique indéterminé	Préhistorique indéterminé
45	Baie Pontbriand	EbCp-004	Piashti/Watshishou	173	Disponible	Complètes		Sélectionné	Analysé	Complète	50,16,42.2	62,33,31.06	Watshishou	3	Amérindien	Préhistorique indéterminé	Préhistorique indéterminé
46	Colline Watshishou	EbCp-005	Piashti/Watshishou	166	Disponible	Complètes		Sélectionné	Analysé	Complète	50,16,25.968	62,39,52.477	Watshishou	2	Amérindien	Préhistorique indéterminé	Préhistorique indéterminé
47	Colline Watshishou	EbCp-006	Piashti/Watshishou	166	Disponible	Complètes		Sélectionné	Analysé	Complète	50,16,22.984	62,39,53.672	Watshishou	2	Amérindien	Préhistorique indéterminé	Préhistorique indéterminé
48	Baie Johan-Beetz	EbCq-001	Piashti/Watshishou	155	Disponible	Complètes		Sélectionné	Analysé	Complète	50,16,49.908	62,48,50.886	Piashti	5	Amérindien	Préhistorique indéterminé	Préhistorique indéterminé
49	Baie Quetachou	EbCq-004	Piashti/Watshishou	159	Disponible	Complètes		Sélectionné	Analysé	Complète	50,17,44.682	62,45,42.5196	Watshishou		Amérindien	Préhistorique indéterminé	Préhistorique indéterminé
50	Rivière Watshishou	EbCq-007	Piashti/Watshishou	164	Disponible	Complètes		Sélectionné	Analysé	Complète	50,16,18.228	62,41,23.82	Watshishou	3	Amérindien	Préhistorique indéterminé	Préhistorique indéterminé
51	Rivière Watshishou	EbCq-008	Piashti/Watshishou	165	Disponible	Complètes		Sélectionné	Analysé	Complète	50,16,49.328	62,40,39.058	Watshishou	18	Amérindien	Préhistorique indéterminé	Préhistorique indéterminé
52	Rivière Cornelle	EbCr-001	Piashti/Watshishou		Disponible	Complètes		Sélectionné	Non analysé	Non analysée	50,17,02.857	62,53,57.048	Piashti		Amérindien	Préhistorique indéterminé	Préhistorique indéterminé
53	Rivière Cornelle	EbCr-002	Piashti/Watshishou	150	Disponible	Complètes		Sélectionné	Analysé	Complète	50,17,14.0316	62,53,14.453	Piashti	8	Amérindien	Préhistorique indéterminé	Préhistorique indéterminé
54	Île à la Chasse (74G Parcs	EbCs-011	Betchouanes	133	Disponible	Complètes		Sélectionné	Analysé	Complète	50,14,08.783	63,07,13.102	Saint-Laurent	<6	Amérindien	Sylvicole	Sylvicole
55	Île Sainte-Geneviève (75G	EbCs-011	Betchouanes	136	Disponible	Complètes		Sélectionné	Analysé	Complète	50,14,49.369	63,04,54.174	Saint-Laurent	<6	Amérindien	Sylvicole	Sylvicole
56	Baie de la Grande Hermine	EbCs-012	Piashti/Watshishou	141	Disponible	Complètes		Sélectionné	Analysé	Complète	50,18,34.330	63,01,06.96	Piashti	5	Amérindien	Préhistorique indéterminé	Préhistorique indéterminé
57	Pointe de la Tête de Perdri	EbCs-015	Betchouanes	130	Disponible	Complètes		Sélectionné	Analysé	Complète	50,15,03.251	63,09,34.949	Piashti	4	Amérindien	Préhistorique indéterminé	Préhistorique indéterminé
58	Île Saint-Charles (72G Parc	EbCt-002	Betchouanes	119	Disponible	Complètes		Sélectionné	Analysé	Échantillon	50,12,56.862	63,19,13.994	Saint-Laurent	<6	Amérindien	Sylvicole	Sylvicole moyen tardif
59	Île à la Chasse (73G Parcs	EbCt-003	Betchouanes	128	Disponible	Complètes		Non sélectionné	Analysé	Complète	50,13,35.94	63,11,21.977	Saint-Laurent	2	Amérindien	Préhistorique indéterminé	Préhistorique indéterminé
60	Pointe des Grès	EbCt-004	Betchouanes	126	Disponible	Complètes		Sélectionné	Analysé	Complète	50,13,19.567	63,13,15.683	Romaine	3	Amérindien	Préhistorique indéterminé	Préhistorique indéterminé
61	Havre de Betchouane	EbCt-005	Betchouanes	128	Disponible	Complètes		Sélectionné	Analysé	Complète	50,14,23.784	63,11,28.167	Romaine	4	Amérindien	Préhistorique indéterminé	Préhistorique indéterminé

N	Nom	Code_Borden	N_artéfact_s_ISAQ	Total_arte fact_ISAQ	Outils_ISA_Q	Débitage_ISAQ	#coll_analysée	N_artéfact_s_analysé	Total_analysé	Débitage_analysé	Outils_analysé	Outils sur éclat	Outils bifaciaux	Nucléus	Datation	Poterie	Années_C14_(A. A.)	Interventions	Intervention la plus exhaustive	Nombre d'interventions	Année	Références (# source ISAQ)
1	Rivière Natashquan	EaCj-001	<10	2	0	2	31	<10	2	1	1	1	NA	NA	non	non		Sondage	Sondages	1	1992	#2193.
2	Cache de Stubbert	EbCh-001	10-49	32	32	0		NA	NA	NA	NA	NA	NA	NA	non	non		Découverte fortuite	Découverte fortuite	2	1993, 2001	#115, 1801, 2163, 3138.
3	Kégashka	EbCh-002	10-49	19	8	11		<10	5	5	0	0	0	0	non	non		Identification visuelle, collecte, sondage	Sondages	5	1928, 1933, 1934, 1980, 1993	#14, 115, 700, 2163, 2880,
4	Court	EbCh-003	<10	1	1	0		NA	NA	NA	NA	NA	NA	NA	non	non		Identification visuelle	Identification visuelle	1	1980	#115, 1801.
5	Kégashka	EbCh-004	<10	1	1	0		NA	NA	NA	NA	NA	NA	NA	non	non		Identification visuelle	Identification visuelle	2	1964, 1980	#14, 115, 1801.
6	Kégashka	EbCh-005	<10	0	0	0		NA	NA	NA	NA	NA	NA	NA	non	non		Sondage	Sondages	1	1980	#115, 1801.
7	Kégashka	EbCh-006	<10	4	2	2		NA	NA	NA	NA	NA	NA	NA	non	non		Collecte/sondage, identification visuelle	Sondages	3	1966, 1980, 1993	#14, 115, 1801, 2163.
8	Kégashka	EbCh-007	10-49	17	1	16	1 289	10-49	16	15	1	0	1	0	non	non		Collecte/sondage	Sondages	1	1992	#2193.
9	Baie aux Huîtres	EbCh-008	10-49	33	0	33		NA	NA	NA	NA	NA	NA	NA	non	non		Collecte/sondage	Sondages	1	1993	#2163.
10	Baie de Kégashka	EbCh-009	<10	9	0	9		NA	NA	NA	NA	NA	NA	NA	non	non		Collecte/sondage	Sondages	1	1993	#2163.
11	Baie de Kégashka	EbCh-010	10-49	17	0	17		NA	NA	NA	NA	NA	NA	NA	non	non		Collecte/sondage	Sondages	1	1993	#2163.
12	Baie de Kégashka	EbCh-011	<10	1	1	1		NA	NA	NA	NA	NA	NA	NA	non	non		Sondage	Sondages	1	1993	#2163
13	Baie de Kégashka	EbCh-012	100-249	100	0		UdeM 1993	50-99	99	99	0	0	0	0	non	non		Collecte	Collecte	1	1993	#2163
14	Site Foreman	EbCi-001	1000-1999	1994	55	1949	UdeM 1993	1000-1999	1036	1010	26	9	15	2	oui	oui	1:1560-1720 2:1620-1780 3:870-1050 4:720-900	identification visuelle, collecte, sondage, fouille	Fouille	3	1928, 1980, 1993	#14, 115, 700, 1801, 2163, 2871
15	RivièPre Kégashka	EbCi-002	250-499	379	4	375	UdeM 1993	250-499	275	271	4	0	4	0	non	non		Collecte, collecte	Collecte	2	1980, 1993	#115, 1801, 2163.
16	Havre Kégashka	EbCi-005	250-499	268	12	256	UdeM 1993	250-499	270	263	7	2	5	0	non	non		Collecte	Collecte	1	1993	#2163.
17	Havre Kégashka	EbCi-006	<10	1	0	1		NA	NA	NA	NA	NA	NA	NA	non	non		Découverte fortuite	Identification visuelle	1	1993	#2163.
18	Little river Ocher	EbCi-007	500-999	684	7	677	UdeM 1993	500-999	684	679	5	0	5	0	oui	non	2980-3140	Collecte/sondage, fouille	Fouille	1	1993	#2163
19	Little river Southwest	EbCi-008	50-99	69	2	67	UdeM 1993	50-99	65	62	3	2	1	0	non	non		Collecte	Collecte	1	1993	#2163.
20	Havre Kégashka	EbCi-009	<10	0	0	0		NA	NA	NA	NA	NA	NA	NA	non	non		Sondage	Sondages	1	1993	#2163.
21	Ruisseau Marshes Barn Bro	EbCi-010	250-499	398	16	382	UdeM 1993	250-499	394	373	21	13	8	0	oui	non	2320-2520	Collecte/sondage, fouille	Fouille	1	1993	#2163.
22	Ruisseau Marshes Barn Bro	EbCi-011	10-49	13	0	13		NA	NA	NA	NA	NA	NA	NA	non	non		Collecte	Collecte	1	1993	#2163
23	Havre Kégashka	EbCi-012	<10	1	1	0		NA	NA	NA	NA	NA	NA	NA	non	non		Collecte	Collecte	1	1993	#2163.
24	Havre Kégashka	EbCi-013	<10	3	0	3		NA	NA	NA	NA	NA	NA	NA	non	non		Collecte	Collecte	1	1993	#2163.
25	Chutes Natasquan	EbCj-001	<10	1	1	0		<10	1	0	1	1	0	0	non	oui		Collecte, sondage	Sondages	3	1980	#115
26	Rivière Aguanish	EbCm-002	10-49	15	2	13	5 245	10-49	17	15	2	0	2	0	non	non		Sondage	Sondages	1	1995	#2354.
27	Rivière Aguanish	EbCm-003	<10	1	0	1		NA	NA	NA	NA	NA	NA	NA	non	non		Sondage	Sondages	1	1995	#2354.
28	Rivière Aguanish	EbCm-004	100-249	137	0	137		NA	NA	NA	NA	NA	NA	NA	non	non		Collecte/sondage	Sondages	1	1995	#2354.
29	Île Michon	EbCm-005	50-99	55	0	55	5 246	50-99	55	55	0	0	0	0	non	non		Sondage	Sondages	1	1995	#2354.
30	Petite RivièPre Ouest	EbCn-001	100-249	147	8	139	4165-4165a	100-249	154	137	17	16	0	1	non	non		Collecte, sondage	Sondages	2	1987, 1988	#1126, 1584
31	Petite Rivière Est	EbCn-002	10-49	15	0	14		NA	NA	NA	NA	NA	NA	NA	non	non		Collecte, sondage, sondage.	Sondages	3	1987, 1988, 1990	#1126, 1584, 1871.
32	Rivière Nabisipi	EbCn-003	50-99	92	37	55	4167-4167a-4167b	50-99	53	49	4	2	2	0	non	non		Collecte, collecte/sondage	Sondages	3	1987, 1988, 1995	#1126, 1584, 2395.
33	Rivière Nabisipi	EbCn-004	10-49	25	2	23		NA	NA	NA	NA	NA	NA	NA	non	non		Collecte/sondage, collecte/fouille	Sondages	2	1988, 1995	#1126, 2395.
34	Rivière Nabisipi	EbCn-005	10-49	25	0	25	297	10-49	27	27	0	0	0	0	non	non		Collecte /sondage	Sondages	1	1988	#1126.
35	Petite Rivière Ouest	EbCn-006	50-99	64	1	63	298-298a	50-99	60	59	1	0	1	0	non	non		Collecte/sondage	Sondages	2	1988, 1995	#1126, 2395.
36	Petite Rivière du Milieu	EbCn-007	10-49	14	1	13		NA	NA	NA	NA	NA	NA	NA	non	non		Collecte/sondage, collecte	Sondages	2	1988, 1995	# 1126, 2395.
37	Petite Rivière du Milieu	EbCn-008	<10	2	0	2		NA	NA	NA	NA	NA	NA	NA	non	non		Collecte.	Collecte	1	1988	#1126.
38	Rivière Nabisipi	EbCn-009	100-249	100	1	99	301	100-249	110	110	0	0	0	0	non	non		Collecte/sondage	Sondages	1	1988	#1126.
39	Rivière Nabisipi	EbCn-010	10-49	18	0	18		NA	NA	NA	NA	NA	NA	NA	non	non		Sondage	Sondages	1	1988	#1126
40	Rivière Nabisipi	EbCn-014	10-49	19	0	19		NA	NA	NA	NA	NA	NA	NA	non	non		Collecte/sondage	Sondages	1	1995	#2395.
41	Petite-Rivière du Milieu-Est	EbCn-015	500-999	619	1	618	4 878	500-999	622	620	2	0	1	1	non	non		Collecte/sondage	Sondages	2	1995	#2395.
42	Rivière Watshishou	EbCp-001	10-49	25	0	25	4 160	10-49	39	39	0	0	0	0	non	non		Sondage	Sondages	1	1987	#1584.
43	Baie Pontbriand	EbCp-002	>100000	108097	244	107853	4163a	5000-9999	5477	5406	71	18	38	15	non	non		Sondage, fouille	Fouille	2	1987, 1988	#1126, 1584.
44	Baie Pontbriand	EbCp-003	10-49	33	0	33	4 162	<10	6	6	0	0	0	0	non	non		Sondage	Sondages	1	1987	#1584.
45	Baie Pontbriand	EbCp-004	100-249	113	0	113	4 161	10-49	31	29	2	0	0	2	non	non		Sondage	Sondages	1	1987	#1584.
46	Colline Watshishou	EbCp-005	250-499	258	0	258	4 158	100-249	166	163	3	0	0	3	non	non		Sondage	Sondages	1	1987	#1584.
47	Colline Watshishou	EbCp-006	100-249	179	0	179	4 159	10-49	48	48	0	0	0	0	non	non		Sondage	Sondages	1	1987	#1584.
48	Baie Johan-Beetz	EbCq-001	1000-1999	1513	7	1406	4150	1000-1999	1195	1188	7	3	0	4	non	non		Collecte, sondage	Sondages	1	1987	#1584
49	Baie Quetachou	EbCq-004	250-499	297	2	295	4 155	100-249	178	176	2	2	0	0	non	non		Sondage	Sondages	1	1987	#1584.
50	Rivière Watshishou	EbCq-007	250-499	396	4	392	4 156	100-249	201	201	0	0	0	0	non	non		Sondage	Sondages	1	1987	#1584.
51	Rivière Watshishou	EbCq-008	50-99	96	0	96	4 157	50-99	91	90	1	0	0	1	non	non		Sondage	Sondages	1	1987	#1584.
52	Rivière Comeille	EbCr-001	50-99	63	0	63		NA	NA	NA	NA	NA	NA	NA	non	non		Collecte, sondage	Sondages	1	1987	#1584
53	Rivière Comeille	EbCr-002	250-499	395	1	394	4 148	250-499	348	346	2	0	1	1	non	non		Sondage	Sondages	1	1987	#1584.
54	Île à la Chasse (74G Parcs	EbCs-010	500-999	705	7	677	74G	250-499	341	334	7	5	2	0	non	oui		Sondage	Sondages	1	1985	#1468 (+ CAM1985; 180-196)
55	Île Sainte-Genève (75G	EbCs-011	250-499	424	3	421	75G	100-249	209	204	5	3	2	0	non	oui		Sondage	Sondages	1	1985	#1468 (CAM1985; 197-218).
56	Baie de la Grande Hermine	EbCs-012	500-999	644	2	642	4 147	250-499	477	475	2	1	1	0	non	non		Collecte/sondage	Sondages	1	1987	#1584
57	Pointe de la Tête de Perdri	EbCs-015	100-249	158	0	158	4 146	100-249	139	138	1	0	1	0	non	non		Sondage	Sondages	1	1987	#1584.
58	Île Saint-Charles (72G Parcs	EbCt-002	>100000	41	188 969	126	72G	5000-9999	8529	8379	150	49	51	50	oui	non	1130±80, 770±60	Sondage (fouilles 1991?)	Fouille	1	1985	#1468 (+microfiche #442 Parcs Canada)
59	Île à la Chasse (73G Parcs	EbCt-003	<10	1	0	1	73G	<10	1	1	0	0	0	0	non	non		Sondage	Sondages	1	1985	#1468, (CAM1985; 172-179)
60	Pointe des Grès	EbCt-004	100-249	101	0	101	4 144	10-49	41	41	0	0	0	0	non	non		Sondage	Sondages	1	1987	#1584.
61	Havre de Betchouane	EbCt-005	50-99	59	0	59	4145	10-49	39	38	1	0	0	1	non	non		Sondage	Sondages	1	1987	#1584

Suite à la page suivante

N	Nom	Code_Borden	N_artéfact s_ISAQ	Total_arte fact_ISAQ	Outils_ISA Q	Débitage_ ISAQ	#coll_anal ysée	N_artéfact s_analysé	Total_anal ysé	Débitage_ analysé	Outils_an alysé	Outils sur éclat	Outils bifaciaux	Nucléus	Datation	Poterie	Années_C14_(A. A.)	Interventions	Intervention la plus exhaustive	Nombre d'interve ntions	Année	Références (# source ISAQ)
62	Havre Saint-Pierre	EbCu-002	2000-4999	2763	0	2763	4 143	500-999	755	750	5	5	0	0	non	non		Collecte/sondage	Sondages	1	1987	#1584.
63	Havre Saint-Pierre	EbCv-001	250-499	493	4	489	143 (MA12)	50-99	54	46	8	1	2	5	non	non		Collecte/sondage, identification visuelle	Sondages	2	1965, 1976	#329, 72.
64	Havre Saint-Pierre	EbCv-001.1	100-249	NA	0	150	143 (MA5630)	100-249	147	144	3	0	3	0	non	non		Collecte/sondage	Sondages	1	1965	
65	Pointe aux Morts	EbCv-002	10-49	27	1	26		NA	NA	NA	NA	NA	NA	NA	non	non		Collecte, collecte	Sondages	2	1976, 1984	#72, 1448.
66	La Petite Rivière	EbCv-003	10-49	13	0	13	1 194	10-49	10	10	0	0	0	0	non	non		Collecte, identification visuelle, collecte/sondage	Sondages	3	1976, 1984, 1987	#72, 1448, 1548.
67	Havre Saint-Pierre	EbCv-004	10-49	32	1	31	143-1195	50-99	69	64	5	2	2	1	non	non		Collecte, collecte	Collecte	2	1976, 1984	#72, 1448.
68	Havre Saint-Pierre	EbCv-005	50-99	52	3	49	903-903a- 903c	50-99	52	46	6	2	1	3	non	non		Collecte/sondages	Sondages	4	1976, 1979, 1984, 1987	#72, 527, 1448, 1584.
69	Havre Saint-Pierre	EbCv-006	<10	5	0	5		NA	NA	NA	NA	NA	NA	NA	non	non		Collecte/sondage, collecte	Sondages	2	1976, 1984	#72, 1448.
70	Havre Saint-Pierre	EbCv-007	<10	9	0	9		NA	NA	NA	NA	NA	NA	NA	non	non		Collecte/sondage	Sondages	3	1976, 1984, 1987	#72, 1448, 1584.
71	Havre Saint-Pierre	EbCv-015	5000-9999	6522	6	6516	904b	2000-4999	2122	2115	7	2	2	3	non	non		Fouille	Fouille	1	1988	#527, 1584, 1126.
72	Havre Saint-Pierre	EbCv-015.1	10-49	20	2	18	904	10-49	22	20	2	0	1	1	non	non		Collecte/sondage	Sondages	1	1979	
73	Havre Saint-Pierre	EbCv-025	<10	1	1	0		NA	NA	NA	NA	NA	NA	NA	non	non		Collecte, sondage	Sondages	2	1986, 1987	#1373, 1584.
74	Île du Havre (71G Parcs Ca	EbCv-026	10-49	16	0	16	71G	10-49	23	23	0	0	0	0	non	non		Sondage	Sondages	1	1985	#1468, (CAM1985; 146-153).
75	Havre Saint-Pierre	EbCv-027	50-99	89	0	89	4 142	50-99	56	56	0	0	0	0	non	non		Collecte/sondage	Sondages	1	1987	#1548.
76	Havre Saint-Pierre	EbCv-030	10-49	31	1	30	4 141	10-49	31	29	2	0	1	1	non	non		Collecte/sondage	Sondages	1	1987	#1548.
77	Havre-Saint-Pierre	EbCv-031	50-99	76	2	74	302	50-99	74	72	2	0	2	0	non	non		Collecte/sondage	Sondages	1	1989	#1126.
78	Rivière Lechasseur	EbCw-001	<10	8	0	8		NA	NA	NA	NA	NA	NA	NA	non	non		Collecte, Identification visuelle	Collecte	2	1976, 1984	#72, 1448.
79	Rivière Maleck	EbCw-002	2000-4999	2367	20	2347	1 202	500-999	625	614	11	1	8	2	non	non		Collecte/sondage	Sondages	2	1976,1984 1976, 1978, 1984, 1988, 1991, 1992	#72, 1448.
80	Rivière Aisley	EbCw-003	500-999	849	8	841	1203-1203b	250-499	387	382	5	1	4	0	non	non		Collecte et sondage	Sondages	6		#72, 96, 1448, 1674, 1986, 2072.
81	Île Quarry (65G Parcs Cana	EbCw-046	10-49	19	1	18	65G	10-49	27	26	1	1	0	0	non	non		Sondage	Sondages	1	1985	#1468 (CAM1985; 119-126)
82	Grosse Île Romaine (64G Pa	EbCw-048	<10	3	1	2	64G	<10	3	2	1	1	0	0	non	non		Sondage	Sondages	1	1985	#1468, (CAM1985; 109-118)
83	Petite Île Romaine (66G Pa	EbCw-049	250-499	314	0	314	66G	250-499	337	337	0	0	0	0	non	non		Sondage	Sondages	1	1985	#1468, (CAM1985; 127-136).
84	Petite Île Romaine (67G Pa	EbCw-050	50-99	80	0	80	67G	100-249	102	102	0	0	0	0	non	non		Sondage	Sondages	1	1985	#1468, (CAM1985; 137-145.).
85	Pointe aux Morts	EbCw-051	50-99	63	2	61	4 153	50-99	54	50	4	0	2	2	non	non		Collecte/sondage	Sondages	1	1987	#1584.
86	Pointe aux Morts	EbCw-052	<10	6	0	6		NA	NA	NA	NA	NA	NA	NA	non	non		Collecte/sondage	Sondages	1	1987	#1584
87	Rivière Romaine	EbCw-054	<10	5	0	5		NA	NA	NA	NA	NA	NA	NA	non	non		Collecte	Collecte	2	1992, 1993	#2072, 2213.
88	Île du Havre de Mingan	EbCx-001	2000-4999	2853	318	2535		NA	NA	NA	NA	NA	NA	NA	non	Oui		Identification visuelle, Sondage, Fouille	Fouille	5	1966, 1967, 1978, 1980, 2001	#134, 335, 610, 796, 1468, 2880, 3138
89	Rivière de l'Échourie	EbCx-002	500-999	923	20	903	132	100-249	159	141	18	5	11	2	non	oui		Collecte/sondage, collecte.	Sondages	4	1976, 1978, 1984, 1992	#72, 96, 0, 1448, 2072.
90	Rivière Romaine	EbCx-003	2000-4999	2952	11	2941	450-450a	1000-1999	1397	1362	35	9	8	18	non	non		Collecte, sondage, collecte/sondage	Sondages	4	1975, 1976, 1978, 1984	#72, 89, 96, 1448.
91	Rivière Mingan	EbCx-004	500-999	607	280	327		NA	NA	NA	NA	NA	NA	NA	non	non		Collecte/sondage, fouille, collecte/sondage	Fouille	3	1976, 1978, 1984	#72, 96, 1448.
92	Rivière Mingan	EbCx-005	2000-4999	3702	7	3695	1 204	500-999	861	852	9	3	6	0	non	non		Collecte/sondage	Sondages	2	1976, 1984	#72, 1448.
93	Rivière Mingan	EbCx-006	100-249	215	5	210	1 205	50-99	52	51	1	0	1	0	non	non		Collecte/sondage, Identification visuelle, collecte	Sondages	4	1976, 1984, 1991, 1992	#72, 1448, 1986, 2072.
94	Rivière Mingan	EbCx-007	2000-4999	4570	9	4561		NA	NA	NA	NA	NA	NA	NA	non	non		Collecte/sondage, fouille, collecte/sondage	Fouille	3	1976, 1978, 1984	#72, 96, 1448.
95	Rivière de l'Évhourie	EbCx-008	100-249	138	3	135	1 206	50-99	52	50	2	0	2	0	non	non		Collecte/sondage, sondage	Sondages	2	1976, 1984	#72, 1448.
96	Mingan-Romaine	EbCx-009	250-499	345	0	345		NA	NA	NA	NA	NA	NA	NA	non	non		Collecte, fouille	Fouille	2	1976, 1984	#72, 1448
97	Mingan-Romaine	EbCx-010	50-99	61	0	61		NA	NA	NA	NA	NA	NA	NA	non	non		Collecte	Collecte	2	1976, 1984	#72, 1448.
98	Rivière Mingan-Romaine	EbCx-011	10-49	22	1	21		NA	NA	NA	NA	NA	NA	NA	non	non		Collecte, collecte/sondage	Sondages	2	1976, 1984	#72, 1448
99	Rivière Mingan-Romaine	EbCx-012	10-49	10	0	10		NA	NA	NA	NA	NA	NA	NA	non	non		Collecte, identification visuelle	Collecte	2	1976, 1984	#72, 1448.
100	Butler Point	EbCx-013	<10	0	1	0		NA	NA	NA	NA	NA	NA	NA	non	non		Collecte/sondage.	Sondages	1	1976	#72
101	Rivière Lechasseur	EbCx-014	10-49	12	2	10		NA	NA	NA	NA	NA	NA	NA	non	non		Collecte/sondage, collecte	Sondages	3	1976, 1984, 1992	#72, 1448, 2072.
102	Rivière Lechasseur	EbCx-015	10-49	24	0	24		NA	NA	NA	NA	NA	NA	NA	non	non		Collecte/sondage, identification visuelle	Sondages	2	1976, 1984	#72, 1448.
103	Rivière Lechasseur	EbCx-016	10-49	26	0	26		NA	NA	NA	NA	NA	NA	NA	non	non		Collecte/sondage, collecte	Sondages	2	1976, 1984	#72, 1448.
104	Rivière Mingan	EbCx-017	1000-1999	1175	10	1165	1 214	500-999	583	569	14	6	1	7	non	non		Fouille, fouille,	Fouille	2	1978, 1984	#96, 1448.
105	Ruisseau Leblanc	EbCx-063	250-499	385	6	379		NA	NA	NA	NA	NA	NA	NA	non	non		Collecte/sondage	Sondages	2	1976, 1984	#72, 1448.

Suite à la page suivante

N	Nom	Code_Borden	N_artéfact s_ISAQ	Total_arte fact_ISAQ	Outils_ISA Q	Débitage_ ISAQ	#coll_anal ysée	N_artéfact s_analysé	Total_anal ysé	Débitage_ analysé	Outils_an alysé	Outils sur éclat	Outils bifaciaux	Nucléus	Datation	Poterie	Années_C14_(A. A.)	Interventions	Intervention la plus exhaustive	Nombre d'interve ntions	Année	Références (# source ISAQ)
62	Havre Saint-Pierre	EbCu-002	2000-4999	2763	0	2763	4 143	500-999	755	750	5	5	0	0	non	non		Collecte/sondage	Sondages	1	1987	#1584.
63	Havre Saint-Pierre	EbCv-001	250-499	493	4	489	143 (MA12) 143 (MA5630)	50-99	54	46	8	1	2	5	non	non		Collecte/sondage, identification visuelle	Sondages	2	1965, 1976	#329, 72.
64	Havre Saint-Pierre	EbCv-001.1	100-249	NA	0	150		100-249	147	144	3	0	3	0	non	non		Collecte/sondage	Sondages	1	1965	
65	Pointe aux Morts	EbCv-002	10-49	27	1	26		NA	NA	NA	NA	NA	NA	NA	non	non		Collecte, collecte	Sondages	2	1976, 1984	#72, 1448.
66	La Petite Rivière	EbCv-003	10-49	13	0	13	1 194	10-49	10	10	0	0	0	0	non	non		Collecte, identification visuelle, collecte/sondage	Sondages	3	1976, 1984, 1987	#72, 1448, 1548.
67	Havre Saint-Pierre	EbCv-004	10-49	32	1	31	143-1195	50-99	69	64	5	2	2	1	non	non		Collecte, collecte	Collecte	2	1976, 1984	#72, 1448.
68	Havre Saint-Pierre	EbCv-005	50-99	52	3	49	903-903a- 903c	50-99	52	46	6	2	1	3	non	non		Collecte/sondages	Sondages	4	1976, 1979, 1984, 1987	#72, 527, 1448, 1584.
69	Havre Saint-Pierre	EbCv-006	<10	5	0	5		NA	NA	NA	NA	NA	NA	NA	non	non		Collecte/sondage, collecte	Sondages	2	1976, 1984	#72, 1448.
70	Havre Saint-Pierre	EbCv-007	<10	9	0	9		NA	NA	NA	NA	NA	NA	NA	non	non		Collecte/sondage	Sondages	3	1976, 1984, 1987	#72, 1448, 1584.
71	Havre Saint-Pierre	EbCv-015	5000-9999	6522	6	6516	904b	2000-4999	2122	2115	7	2	2	3	non	non		Fouille	Fouille	1	1988	#527, 1584, 1126.
72	Havre Saint-Pierre	EbCv-015.1	10-49	20	2	18	904	10-49	22	20	2	0	1	1	non	non		Collecte/sondage	Sondages	1	1979	
73	Havre Saint-Pierre	EbCv-025	<10	1	1	0		NA	NA	NA	NA	NA	NA	NA	non	non		Collecte, sondage	Sondages	2	1986, 1987	#1373, 1584.
74	Île du Havre (71G Parcs Can	EbCv-026	10-49	16	0	16	71G	10-49	23	23	0	0	0	0	non	non		Sondage	Sondages	1	1985	#1468, (CAM1985; 146-153).
75	Havre Saint-Pierre	EbCv-027	50-99	89	0	89	4 142	50-99	56	56	0	0	0	0	non	non		Collecte/sondage	Sondages	1	1987	#1548.
76	Havre Saint-Pierre	EbCv-030	10-49	31	1	30	4 141	10-49	31	29	2	0	1	1	non	non		Collecte/sondage	Sondages	1	1987	#1548.
77	Havre-Saint-Pierre	EbCv-031	50-99	76	2	74	302	50-99	74	72	2	0	2	0	non	non		Collecte/sondage	Sondages	1	1989	#1126.
78	Rivière Lechasseur	EbCw-001	<10	8	0	8		NA	NA	NA	NA	NA	NA	NA	non	non		Collecte, Identification visuelle	Collecte	2	1976, 1984	#72, 1448.
79	Rivière Maleck	EbCw-002	2000-4999	2367	20	2347	1 202	500-999	625	614	11	1	8	2	non	non		Collecte/sondage	Sondages	2	1976,1984	#72, 1448.
80	Rivière Aisley	EbCw-003	500-999	849	8	841	1203-1203b	250-499	387	382	5	1	4	0	non	non		Collecte et sondage	Sondages	6	1976, 1978, 1984, 1988, 1991, 1992	#72, 96, 1448, 1674, 1986, 2072.
81	Île Quarry (65G Parcs Can	EbCw-046	10-49	19	1	18	65G	10-49	27	26	1	1	0	0	non	non		Sondage	Sondages	1	1985	#1468 (CAM1985; 119-126)
82	Grosse Île Romaine (64G P	EbCw-048	<10	3	1	2	64G	<10	3	2	1	1	0	0	non	non		Sondage	Sondages	1	1985	#1468, (CAM1985; 109-118)
83	Petite Île Romaine (66G Pa	EbCw-049	250-499	314	0	314	66G	250-499	337	337	0	0	0	0	non	non		Sondage	Sondages	1	1985	#1468, (CAM1985; 127-136).
84	Petite Île Romaine (67G Pa	EbCw-050	50-99	80	0	80	67G	100-249	102	102	0	0	0	0	non	non		Sondage	Sondages	1	1985	#1468, (CAM1985; 137-145.).
85	Pointe aux Morts	EbCw-051	50-99	63	2	61	4 153	50-99	54	50	4	0	2	2	non	non		Collecte/sondage	Sondages	1	1987	#1584.
86	Pointe aux Morts	EbCw-052	<10	6	0	6		NA	NA	NA	NA	NA	NA	NA	non	non		Collecte/sondage	Sondages	1	1987	#1584
87	Rivière Romaine	EbCw-054	<10	5	0	5		NA	NA	NA	NA	NA	NA	NA	non	non		Collecte	Collecte	2	1992, 1993	#2072, 2213.
88	Île du Havre de Mingan	EbCx-001	2000-4999	2853	318	2535		NA	NA	NA	NA	NA	NA	NA	non	Oui		Identification visuelle, Sondage, Fouille	Fouille	5	1966, 1967, 1978, 1980, 2001	#134, 335, 610, 796, 1468, 2880, 3138
89	Rivière de l'Échourie	EbCx-002	500-999	923	20	903	132	100-249	159	141	18	5	11	2	non	oui		Collecte/sondage, collecte.	Sondages	4	1976, 1978, 1984, 1992	#72, 96, 0, 1448, 2072.
90	Rivière Romaine	EbCx-003	2000-4999	2952	11	2941	450-450a	1000-1999	1397	1362	35	9	8	18	non	non		Collecte, sondage, collecte/sondage	Sondages	4	1975, 1976, 1978, 1984	#72, 89, 96, 1448.
91	Rivière Mingan	EbCx-004	500-999	607	280	327		NA	NA	NA	NA	NA	NA	NA	non	non		Collecte/sondage, fouille, collecte/sondage	Fouille	3	1976, 1978, 1984	#72, 96, 1448.
92	Rivière Mingan	EbCx-005	2000-4999	3702	7	3695	1 204	500-999	861	852	9	3	6	0	non	non		Collecte/sondage	Sondages	2	1976, 1984	#72, 1448.
93	Rivière Mingan	EbCx-006	100-249	215	5	210	1 205	50-99	52	51	1	0	1	0	non	non		Collecte/sondage, Identification visuelle, collecte	Sondages	4	1976, 1984, 1991, 1992	#72, 1448, 1986, 2072.
94	Rivière Mingan	EbCx-007	2000-4999	4570	9	4561		NA	NA	NA	NA	NA	NA	NA	non	non		Collecte/sondage, fouille, collecte/sondage	Fouille	3	1976, 1978, 1984	#72, 96, 1448.
95	Rivière de l'Évhourie	EbCx-008	100-249	138	3	135	1 206	50-99	52	50	2	0	2	0	non	non		Collecte/sondage, sondage	Sondages	2	1976, 1984	#72, 1448.
96	Mingan-Romaine	EbCx-009	250-499	345	0	345		NA	NA	NA	NA	NA	NA	NA	non	non		Collecte, fouille	Fouille	2	1976, 1984	#72, 1448
97	Mingan-Romaine	EbCx-010	50-99	61	0	61		NA	NA	NA	NA	NA	NA	NA	non	non		Collecte	Collecte	2	1976, 1984	#72, 1448.
98	Rivière Mingan-Romaine	EbCx-011	10-49	22	1	21		NA	NA	NA	NA	NA	NA	NA	non	non		Collecte, collecte/sondage	Sondages	2	1976, 1984	#72, 1448
99	Rivière Mingan-Romaine	EbCx-012	10-49	10	0	10		NA	NA	NA	NA	NA	NA	NA	non	non		Collecte, identification visuelle	Collecte	2	1976, 1984	#72, 1448.
100	Butler Point	EbCx-013	<10	0	1	0		NA	NA	NA	NA	NA	NA	NA	non	non		Collecte/sondage.	Sondages	1	1976	#72
101	Rivière Lechasseur	EbCx-014	10-49	12	2	10		NA	NA	NA	NA	NA	NA	NA	non	non		Collecte/sondage, collecte	Sondages	3	1976, 1984, 1992	#72, 1448, 2072.
102	Rivière Lechasseur	EbCx-015	10-49	24	0	24		NA	NA	NA	NA	NA	NA	NA	non	non		Collecte/sondage, identification visuelle	Sondages	2	1976, 1984	#72, 1448.
103	Rivière Lechasseur	EbCx-016	10-49	26	0	26		NA	NA	NA	NA	NA	NA	NA	non	non		Collecte/sondage, collecte	Sondages	2	1976, 1984	#72, 1448.
104	Rivière Mingan	EbCx-017	1000-1999	1175	10	1165	1 214	500-999	583	569	14	6	1	7	non	non		Fouille, fouille.	Fouille	2	1978, 1984	#96, 1448.
105	Ruisseau Leblanc	EbCx-063	250-499	385	6	379		NA	NA	NA	NA	NA	NA	NA	non	non		Collecte/sondage	Sondages	2	1976, 1984	#72, 1448.

N	Nom	Code_Borden	Secteur archéologique	Bornes	Disponibilité	Disponibilité détaillée	Cause	Sélection	Analyse	Type_analyse	DMS_(Y)	DMS_(X)	Bassin	Altitude/ Mer	Identité	Attribution générale	Attribution
106	Sépulture de Mingan	EbCx-064	Mingan		Non disponible	Manquante	Somcynsky	Sélectionné	Non analysé	Non analysée	50,17,46.424	63,59,46.568	Mingan	6	Amérindien	Sylvicole	Sylvicole Inférieur
107	Rivière Mingan	EbCx-065	Mingan	79	Disponible	Partielle	Somcynsky	Sélectionné	Analysé	Partielle	50,19,29.647	63,53,24.011	Mingan	40	Amérindien	Préhistorique indéterminé	Préhistorique indéterminé
108	Rivière Mingan	EbCx-066	Mingan	77	Disponible	Complètes		Sélectionné	Analysé	Complète	50,19,28.099	63,54,32.76	Mingan	45	Amérindien	Préhistorique indéterminé	Préhistorique indéterminé
109	Rivière de l'Échourie	EbCx-070	Mingan		Non disponible	Manquante	Somcynsky	Non sélectionné	Non analysé	Non analysée	50,19,28.319	63,54,02.956	Mingan	40	Amérindien	Préhistorique indéterminé	Préhistorique indéterminé
110	Rivière Mingan	EbCx-071	Mingan		Non disponible	Manquante	Somcynsky	Non sélectionné	Non analysé	Non analysée	50,19,47.571	63,58,07.345	Mingan	33	Amérindien	Préhistorique indéterminé	Préhistorique indéterminé
111	Ruisseau Leblanc	EbCx-072	Mingan		Non disponible	Manquante	Somcynsky	Non sélectionné	Non analysé	Non analysée	50,19,25.435	63,55,06.69	Mingan	50	Amérindien	Préhistorique indéterminé	Préhistorique indéterminé
112	Anse à Butter	EbCx-073	Mingan		Non disponible	Manquante	Somcynsky	Sélectionné	Non analysé	Non analysée	50,17,54.312	63,52,38.993	Mingan		Amérindien	Préhistorique indéterminé	Préhistorique indéterminé
113	Longue-Pointe-de-Mingan	EbDa-002	Tonerre/Saint-Jean/L ongue-Pointe	61	Disponible	Partielle	Somcynsky	Sélectionné	Analysé	Partielle	50,16,20.147	64,08,47.897	Mingan		Amérindien	Préhistorique indéterminé	Préhistorique indéterminé
114	Mingan	EbDa-003	Mingan	69	Disponible	Complètes		Non sélectionné	Analysé	Complète	50,17,24.234	64,01,24.258	Mingan		Amérindien	Sylvicole	Sylvicole
115	Site Noui	EbDa-004	Mingan	71	Disponible	Partielle	Somcynsky	Sélectionné	Analysé	Échantillon	50,17,36.499	64,00,28.235	Mingan	8	Amérindien	Sylvicole	Sylvicole moyen ancien/sylvicole supérieur (Chevrier 1978)
116	Rivière Mingan	EbDa-005	Mingan	70	Disponible	Partielle	Somcynsky	Sélectionné	Analysé	Partielle	50,17,35.646	64,00,41.238	Mingan	8	Amérindien	Préhistorique indéterminé	Préhistorique indéterminé
117	Île Nue	EbDa-006	Archipel		Disponible	Complètes		Non sélectionné	Non analysé	Non analysée	50,12,41.598	64,07,51.028	Saint-Laurent	<6	Euro-qubécois	Euro-qubécois	Euro-qubécois
118	Poste Mingan - Terre ferme	EbDa-008	Mingan		Disponible	Complètes		Non sélectionné	Non analysé	Non analysée	50,17,26.456	64,01,36.152	Mingan		Amérindien et Euro-Québécois	Amérindien et Euro-Québécois	Historique ancien
119	Poste 1: Compagnie de la	EbDa-009	Mingan		Disponible	Complètes		Non sélectionné	Non analysé	Non analysée	50,17,24.706	64,01,14.462	Mingan		Amérindien et Euro-Québécois	Amérindien et Euro-Québécois	Historique ancien
120	Île Nue (62G Parcs Canada	EbDa-042	Archipel	62	Disponible	Complètes		Sélectionné	Analysé	Complète	50,13,23.999	64,07,51.999	Saint-Laurent	<6	Amérindien/Euro	Préhistorique indéterminé/Euro	Préhistorique indéterminé/Euro
121	Île aux Bouleaux à terre	EbDa-043	Archipel		Disponible	Complètes		Non sélectionné	Non analysé	Non analysée	50,14,42.0	64,01,10.0	Saint-Laurent	<6	Amérindien	Préhistorique indéterminé	Préhistorique indéterminé
122	Rivière Mingan	EbDa-044	Mingan		Non disponible	Manquante	Somcynsky	Non sélectionné	Non analysé	Non analysée	50,17,46.960	64,01,47.312	Mingan	7	Amérindien	Préhistorique indéterminé	Préhistorique indéterminé
123	Rivière Mingan	EbDa-045	Mingan		Non disponible	Manquante	Somcynsky	Sélectionné	Non analysé	Non analysée	50,17,26.866	64,03,13.126	Mingan	3	Amérindien	Préhistorique indéterminé	Préhistorique indéterminé
124	Pointe Matsiteui	EbDa-048	Mingan		Non disponible	Manquante	Somcynsky	Sélectionné	Non analysé	Non analysée	50,17,32.266	64,00,06.538	Mingan	8	Amérindien	Préhistorique indéterminé	Préhistorique indéterminé
125	Rivière Mingan	EbDa-049	Mingan		Disponible	Complètes		Non sélectionné	Non analysé	Non analysée	50,18,24.847	64,00,12.226	Mingan	15	Amérindien	Préhistorique indéterminé	Préhistorique indéterminé
126	Rivière Mingan	EbDa-050	Mingan		Non disponible	Manquante	Somcynsky	Non sélectionné	Non analysé	Non analysée	50,18,19.609	64,00,06.188	Mingan	16	Amérindien	Préhistorique indéterminé	Préhistorique indéterminé
127	Rivière Saint-Jean	EbDb-001	Tonerre/Saint-Jean/Longue-Pointe		Disponible	Complètes		Non sélectionné	Non analysé	Non analysée	50,16,57.09	64,19,28.772	Mingan	5	Amérindien	Préhistorique indéterminé	Préhistorique indéterminé
128	Île aux Perroquet	EbDb-002	Archipel		Disponible	Complètes		Non sélectionné	Non analysé	Non analysée	50,13,14.9556	64,12,21.719	Saint-Laurent	10	Euro-qubécois	Euro-qubécois	Euro-Québécois (1800-1899)
129	Rivière Magpie	EbDc-001	Tonerre/Saint-Jean/Longue-Pointe	38	Disponible	Complètes		Sélectionné	Analysé	Complète	50,18,58.291	64,27,44.474	Magpie	5	Amérindien	Préhistorique indéterminé	Préhistorique indéterminé
130	Rivière Jupitagon	EbDd-001	Tonerre/Saint-Jean/Longue-Pointe		Disponible	Complètes		Non sélectionné	Non analysé	Non analysée	50,16,39.374	64,39,27.364	Sheldrake		Amérindien	Préhistorique indéterminé	Préhistorique indéterminé
131	Rivière Jupitagon	EbDd-002	Tonerre/Saint-Jean/Longue-Pointe	25	Disponible	Complètes		Non sélectionné	Analysé	Complète	50,16,40.865	64,38,37.849	Sheldrake	8	Amérindien	Préhistorique indéterminé	Préhistorique indéterminé
132	Rivière-au-Tonnerre	EbDe-001	Tonerre/Saint-Jean/Longue-Pointe	15	Disponible	Complètes		Sélectionné	Analysé	Complète	50,16,44.39262	64,47,04.444	Sheldrake	16	Amérindien	Préhistorique indéterminé	Préhistorique indéterminé
133	Thunder Point	EbDe-002	Tonerre/Saint-Jean/Longue-Pointe	18	Disponible	Complètes		Non sélectionné	Analysé	Complète	50,16,08.728	64,44,36.571	Sheldrake	10	Amérindien	Préhistorique indéterminé	Préhistorique indéterminé
134	Tonnerre-Jupitagon	EbDe-003	Tonerre/Saint-Jean/Longue-Pointe	21	Disponible	Complètes		Non sélectionné	Analysé	Complète	50,16,47.003	64,42,00.0359	Sheldrake	15	Amérindien	Préhistorique indéterminé	Préhistorique indéterminé
135	Rivière Sheldrake	EbDf-001	Tonerre/Saint-Jean/Longue-Pointe	7	Disponible	Complètes		Non sélectionné	Analysé	Complète	50,16,10.236	64,54,10.0584	Sheldrake	20	Amérindien	Préhistorique indéterminé	Préhistorique indéterminé
136	Rivière Couture	EbDf-002	Tonerre/Saint-Jean/Longue-Pointe		Disponible	Complètes		Non sélectionné	Non analysé	Non analysée	50,15,58.9464	64,53,12.7824	Sheldrake		Amérindien	Préhistorique indéterminé	Préhistorique indéterminé
137	Rivière Romaine	EcCt-003	Rivière Romaine		Disponible	Complètes		Non sélectionné	Non analysé	Non analysée	50,26,54	63,14,00	Romaine	NA	Amérindien	Préhistorique indéterminé	Préhistorique indéterminé
138	Rivière Romaine	EdCt-001	Rivière Romaine	NA	Disponible	Complètes		Sélectionné	Analysé	Complète	50,38,52	63,10,01	Romaine	90	Amérindien	Préhistorique indéterminé	Préhistorique indéterminé
139	Rivière Romaine	EiCw-002	Rivière Romaine	NA	Disponible	Complètes		Sélectionné	Analysé	Complète	51,23,05.4	63,43,09.4	Romaine	429,5	Amérindien	Archaïque	Archaïque
140	Rivière Romaine	EiCw-008	Rivière Romaine	NA	Disponible	Complètes		Sélectionné	Analysé	Complète	51,22,34	63,43,36	Romaine	436,92	Amérindien	Préhistorique indéterminé	Préhistorique indéterminé
141	Rivière Romaine	EiCw-009	Rivière Romaine	NA	Disponible	Complètes		Sélectionné	Analysé	Complète	51,28,32	63,48,15	Romaine	439,04	Amérindien	Préhistorique indéterminé	Préhistorique indéterminé
142	Rivière Romaine	EiCw-010	Rivière Romaine		Disponible	Complètes		Non sélectionné	Non analysé	Non analysée	51,26,40	63,49,00	Romaine	NA	Amérindien	Préhistorique indéterminé	Préhistorique indéterminé
143	Rivière Romaine	EjCw-002	Rivière Romaine	NA	Disponible	Complètes		Sélectionné	Analysé	Complète	51,36,9.15	63,40,18.9	Romaine	426,72	Amérindien	Préhistorique/Amérindien	Préhistorique
144	Rivière Romaine	EjCw-003	Rivière Romaine		Disponible	Complètes		Non sélectionné	Non analysé	Non analysée	51,36,10.8	63,39,59.3	Romaine	426,72	Amérindien	Préhistorique indéterminé	Préhistorique indéterminé
145	Rivière Romaine	EjCw-004	Rivière Romaine	NA	Disponible	Complètes		Sélectionné	Analysé	Complète	51,35,56.1	63,40,07.15	Romaine	433,72	Amérindien	Préhistorique indéterminé	Préhistorique indéterminé
146	Rivière Romaine	EjCw-005	Rivière Romaine	NA	Disponible	Complètes		Sélectionné	Analysé	Complète	51,33,04	63,43,34	Romaine	443	Amérindien	Préhistorique indéterminé	Préhistorique indéterminé
147	Rivière Romaine	EkCw-004	Rivière Romaine	NA	Disponible	Complètes		Sélectionné	Analysé	Complète	51,46,01.4	63,43,10.8	Romaine	441,96	Amérindien	Archaïque	Archaïque
148	Rivière Romaine	EkCw-006	Rivière Romaine	NA	Disponible	Complètes		Sélectionné	Analysé	Complète	51,42,57.805	63,42,59.535	Romaine		Amérindien	Préhistorique indéterminé	Préhistorique indéterminé
149	Rivière Romaine	EiCw-002	Rivière Romaine	NA	Disponible	Complètes		Sélectionné	Analysé	Complète	51,54,22.2	63,49,07.1	Romaine	457,2	Amérindien	Préhistorique indéterminé	Préhistorique indéterminé
150	Rivière Romaine	EiCw-005	Rivière Romaine	NA	Disponible	Complètes		Sélectionné	Analysé	Complète	51,51,04	63,45,41	Romaine	466	Amérindien	Préhistorique indéterminé	Préhistorique indéterminé
151	Rivière Romaine	EiCw-006	Rivière Romaine	NA	Disponible	Complètes		Sélectionné	Analysé	Complète	51,50,58	63,45,29	Romaine	458	Amérindien	Préhistorique indéterminé	Préhistorique indéterminé
152	Rivière Romaine	EiCw-007	Rivière Romaine		Disponible	Complètes		Non sélectionné	Non analysé	Non analysée	51,57,50	63,45,52	Romaine	NA	Amérindien	Préhistorique indéterminé	Préhistorique indéterminé
153	Rivière Romaine	EiCw-008	Rivière Romaine	NA	Disponible	Complètes		Sélectionné	Analysé	Complète	51,54,35	63,47,03	Romaine	470	Amérindien	Sylvicole	Sylvicole
154	Rivière Romaine	EiCw-009	Rivière Romaine		Disponible	Complètes		Non sélectionné	Non analysé	Non analysée	51,53,38	63,48,59	Romaine	NA	Amérindien	Sylvicole	Sylvicole
155	Rivière Romaine	EiCw-010	Rivière Romaine	NA	Disponible	Complètes		Sélectionné	Analysé	Complète	51,50,14	63,44,05	Romaine		Amérindien	Préhistorique indéterminé	Préhistorique indéterminé
156	Petit Lac Lozeau	FaCx-002	Rivière Romaine		Disponible	Complètes		Sélectionné	Non analysé	Non analysée	52,09,04.0	63,51,42.0	Romaine	NA	Amérindien	Préhistorique indéterminé	Préhistorique indéterminé
157	Rivière Romaine	FcDa-002	Rivière Romaine		Disponible	Complètes		Sélectionné	Non analysé	Non analysée	52,26,40	64,06,18.1	Romaine	NA	Amérindien	Préhistorique indéterminé	Préhistorique indéterminé

N	Nom	Code_Borden	N_artéfact_s_ISAQ	Total_arte fact_ISAQ	Outils_ISA Q	Débitage_ ISAQ	#coll_anal ysée	N_artéfact s_analysé	Total_anal ysé	Débitage_ analysé	Outils_an alysé	Outils sur éclat	Outils bifaciaux	Nucléus	Datation	Poterie	Années_C14_(A. A.)	Interventions	Intervention la plus exhaustive	Nombre d'interve ntions	Année	Références (# source ISAQ)
106	Sépulture de Mingan	EbCx-064	250-499	482	470			NA	NA	NA	NA	NA	NA	NA	oui	oui	2000	Collecte/sondage, fouille	Fouille	4	1982, 989, 1990, 1991	#1404, 1779, 1886, 1985.
107	Rivière Mingan	EbCx-065	>100000	225700	988	224712	439	250-499	301	289	12	4	0	8	non	non		Collecte/sondage, fouille	Fouille	5	1989, 1990, 1991, 1992, 1993	#1732, 1887, 1986, 2072, 2213.
108	Rivière Mingan	EbCx-066	2000-4999	3314	23	3291	442	250-499	408	408	0	0	0	0	non	non		Collecte/sondage, fouille	Fouille	2	1989, 1993	#1732, 2213.
109	Rivière de l'Échourie	EbCx-070	10-49	45	0	45		NA	NA	NA	NA	NA	NA	NA	non	non		Collecte/sondage	Sondages	1	1991	#1986.
110	Rivière Mingan	EbCx-071	<10	9	0	9		NA	NA	NA	NA	NA	NA	NA	non	non		Collecte/sondage	Sondages	1	1992	#2072.
111	Ruisseau Leblanc	EbCx-072	10-49	10	0	10		NA	NA	NA	NA	NA	NA	NA	non	non		Collecte/sondage	Sondages	1	1992	#2072.
112	Anse à Butter	EbCx-073	1000-1999	1351	3	1348		NA	NA	NA	NA	NA	NA	NA	non	non		Collecte/sondage	Sondages	1	1992	#2072
113	Longue-Pointe-de-Mingan	EbDa-002	100 249	105	4	101	131	50 99	56	56	0	0	0	0	non	non		Identification visuelle, collecte/sondage, collecte.	Sondages	4	1967, 1976, 1983, 1984	#0, 72, 1073, 1448.
114	Mingan	EbDa-003	10-49	30	3	25	144	10-49	26	22	4	3	1	0	non	oui		Sondage	Sondages	1	1966	# 329, 796.
115	Site Noui	EbDa-004	10000-100000	34740	116	34624	145a-145c	1000-1999	1397	1368	29	2	25	2	oui	oui	550-950	Sondage, collecte/sondage, fouille, sondage.	Fouille	4	1966, 1976, 1977, 1984	#72, 95, 726, 1448.
116	Rivière Mingan	EbDa-005	100-249	124	0	124	1 183	100-249	113	112	1	0	0	1	non	non		Collecte	Collecte	2	1976, 1984	#72, 1448.
117	Île Nue	EbDa-006	indéterminé	indéterminé				NA	NA	NA	NA	NA	NA	NA	non	non		Collecte/sondage	Sondages	1		Parcs Canada
118	Poste Mingan - Terre ferme	EbDa-008	<10	1	1	0		NA	NA	NA	NA	NA	NA	NA	non	non		Collecte, sondage	Sondages	2	1965, 1979	#329, 610, 704, 852
119	Poste 1: Compagnie de la	EbDa-009	<10	0	0	0		NA	NA	NA	NA	NA	NA	NA	non	non		Collecte	Collecte	1	1979	#610
120	Île Nue (62G Parcs Canada	EbDa-042	500-999	692	4	688	62G	500-999	696	689	7	4	2	1	non	non		Sondage	Sondages	1	1985	#1468, P1403, CAM1985; 92-108
121	Île aux Bouleaux à terre	EbDa-043	<10	2	0	2		NA	NA	NA	NA	NA	NA	NA	non	non		Sondage	Sondages	1	1985	#1468
122	Rivière Mingan	EbDa-044	<10	5	0	5		NA	NA	NA	NA	NA	NA	NA	non	non		Collecte	Collecte	1	1989	#1732.
123	Rivière Mingan	EbDa-045	5000-9999	9624	14	9610		NA	NA	NA	NA	NA	NA	NA	non	non		Collecte, sondage	Sondages	3	1989, 1990, 1991	#1732, 1887, 1986.
124	Pointe Matsiteui	EbDa-048	100-249	180	0	180		NA	NA	NA	NA	NA	NA	NA	non	non		Collecte/sondage	Sondages	1	1993	#2213.
125	Rivière Mingan	EbDa-049	10-49	23	0	23		NA	NA	NA	NA	NA	NA	NA	non	non		Collecte/sondage, collecte	Sondages	2	1991,1992	#1986, 2072.
126	Rivière Mingan	EbDa-050	<10	1	1	0		NA	NA	NA	NA	NA	NA	NA	non	non		Collecte, sondage	Sondages	1	1992	#2072
127	Rivière Saint-Jean	EbDb-001	<10	1	0	1		NA	NA	NA	NA	NA	NA	NA	non	non		Collecte/sondage	Sondages	1	1976	#72
128	Île aux Perroquet	EbDb-002	indéterminé	indéterminé				NA	NA	NA	NA	NA	NA	NA	non	non		Sondage	Sondages	1	1985	#1444
129	Rivière Magpie	EbDc-001	100-249	234	1	233	1 185	100-249	233	232	1	0	1	0	non	non		Collecte	Collecte	1	1976	#72
130	Rivière Jupitagon	EbDd-001	<10	2	0	2		NA	NA	NA	NA	NA	NA	NA	non	non		Collecte/sondage, sondage	Sondages	2	1976, 1978	#72, 96.
131	Rivière Jupitagon	EbDd-002	<10	8	1	7		<10	7	7	0	0	0	0	non	non		Collecte/sondage, sondage	Sondages	2	1976, 1978	#72, 96.
132	Rivière-au-Tonnerre	EbDe-001	500-999	643	5	638	1 188	500-999	545	528	17	2	4	11	non	non		Collecte/sondage, collecte	Sondages	3	1976, 1992, 1993	#72, 2072, 2213.
133	Thunder Point	EbDe-002	10-49	20	2	18	1 189	10-49	20	17	3	2	1	0	non	non		Collecte/sondage	Sondages	1	1976	#72.
134	Tonnerre-Jupitagon	EbDe-003	10-49	23	0	23	1 190	10-49	34	33	1	1	0	0	non	non		Collecte/sondage	Sondages	3	1976	#72.
135	Rivière Sheldrake	EbDf-001	<10	2	0	2	1 191	<10	2	2	0	0	0	0	non	non		Collecte/sondage	Sondages	1	1976	#72
136	Rivière Couture	EbDf-002	<10	1	1	0		NA	NA	NA	NA	NA	NA	NA	non	non		Collecte	Collecte	1	1976	#72.
137	Rivière Romaine	EcCt-003	0	0	0	0		NA	NA	NA	NA	NA	NA	NA	non	non		Sondage	Sondages	1	2004	Archéotec 2004
138	Rivière Romaine	EdCt-001	10-49	15	1	14		10-49	16	15	1	1	0	0	non	non		Sondage	Sondages	1	2001	Archéotec 2001
139	Rivière Romaine	EiCw-002	<10	2	1	1		<10	2	1	1	1	0	0	oui	non	oui Préhisto archéotec 2005	Sondage	Sondages	2	1999	#3007
140	Rivière Romaine	EiCw-008	<10	7	0	7		<10	7	7	0	0	0	0	non	non		Sondage	Sondages	1	2004	Archéotec 2004
141	Rivière Romaine	EiCw-009	<10	4	1	3		<10	4	3	1	1	0	0	non	non		Sondage	Sondages	1	2004	Archéotec 2004
142	Rivière Romaine	EiCw-010	0	0	0	0		NA	NA	NA	NA	NA	NA	NA	oui	non	280 ± 80	Sondage	Sondages	1	2004	Archéotec 2004: p.146
143	Rivière Romaine	EjCw-002	<10	4	1	3		NA	3	3	0	0	0	0	non	non		Identification visuelle, Sondage	Sondages	2	1978, 1999	#525, 3527, 3872 (ostéothbque)
144	Rivière Romaine	EjCw-003	0	0	0	0		<10	NA	NA	NA	NA	NA	NA	non	non		Sondage	Sondages	1	1999	Archéotec 2000b
145	Rivière Romaine	EjCw-004	<10	1	1	0		<10	1	0	1	1	0	0	non	non		Sondage	Sondages	1	1999	Archéotec 2000b
146	Rivière Romaine	EjCw-005	10-49	25	1	24		10-49	25	24	1	0	1	0	non	non		Sondage	Sondages	1	2004	Archéotec 2004
147	Rivière Romaine	EkCw-004	10-49	19	1	18		10-49	19	18	1	0	1	0	oui	non	3630-3520	Sondage	Sondages	1	1999	#3007, 3872
148	Rivière Romaine	EkCw-006	<10	1	1	0		<10	1	0	1	1	0	0	non	non		Sondage	Sondages	1	2005	Archéotec 2005
149	Rivière Romaine	EiCw-002	<10	2	0	2		<10	2	2	0	0	0	0	non	non		Sondage	Sondages	1	1999	#3527
150	Rivière Romaine	EiCw-005	<10	1	1	0		<10	1	0	1	1	0	0	non	non		Sondage	Sondages	1	2004	Archéotec 2004
151	Rivière Romaine	EiCw-006	<10	1	1	0		<10	1	0	1	1	0	0	non	non		Sondage	Sondages	1	2004	Archéotec 2004
152	Rivière Romaine	EiCw-007	0	0	0	0		NA	NA	NA	NA	NA	NA	NA	non	non		Sondage	Sondages	1	2004	Archéotec 2004
153	Rivière Romaine	EiCw-008	10-49	27	2	25		10-49	28	26	2	0	2	0	non	non		Sondage	Sondages	1	2004	Archéotec 2004
154	Rivière Romaine	EiCw-009	0	0	0	0		NA	NA	NA	NA	NA	NA	NA	oui	non	2130 ± 50	Sondage	Sondages	1	2004	Archéotec 2004: p.179
155	Rivière Romaine	EiCw-010	<10	1	0	1		<10	1	1	0	0	0	0	non	non		Sondage	Sondages	1	2005	Archéotec 2005
156	Petit Lac Lozeau	FaCx-002	<10	indéterminé				NA	NA	NA	NA	NA	NA	NA	non	non	oui (historique)	Collecte/sondage	Sondages	1	1978	#525
157	Rivière Romaine	FcDa-002	<10	3	0	3		NA	NA	NA	NA	NA	NA	NA	non	non		Sondage	Sondages	1	1999	Archéotec 2000a

Tableau LXX: Inventaire des matériaux répertoriés

#	N	Site	Région	Matière simplifiée finale	Code matière régional	Code préliminaire	Matière	Type matériau	Couleur principale	Couleur secondaires	Structure	Texture	Inclusions principales	Inclusions détaillées	Transparence	Granulométrie	Cortex type	Cortex couleur	Altération	Remarques
1	1	EbCt-002 (72G)	Betchouanes	Chert Mingan	Chert Mingan	Ch1	Chert	Chert	31	23, 62, 192	Moutonné	Cireuse	Qz grenu, fossiles	Vacuoles	Translucide	Aphanitique	Gaine	31	Blanchissement léger	Moutonné et présente organisation concentrique de certaines variations de couleur
2	2	EbCt-002 (72G)	Betchouanes	Quartzite de Ramah	Quartzite de Ramah	Qzite1 (habitation)	Quartzite	Quartzite	12	62, 93, 18	Enfumée	Cireuse	Inclusions minérales couleur rouille	Pyrite	Translucide	très fin	Non observé	Non observé	Oxydation	
3	3	EbCt-002 (72G)	Betchouanes	Quartz laiteux	Quartz laiteux	Qz	Quartz	Quartz	10	11	Homogène	Vitreuse	Non observées	Non observées	Translucide	NA	Non observé	Non observé	Non observé	
4	4	EbCt-002 (72G)	Betchouanes	Quartz hyalin	Quartz hyalin	QzH	Quartz	Quartz	000	11	Homogène	Vitreuse	Non observées	Non observées	Transparent	NA	Non observé	Non observé	Non observé	
5	5	EbCt-002 (72G)	Betchouanes	Quartzite EbCp	Quartzite EbCp	Qzite1 (atelier)	Quartzite	Quartzite	12	22, 181	Homogène	rugueuse	Inclusions minérales foncées	Inclusions minérales foncées de couleur brune (183).	Translucide	Moyenne	Plat ou surface de joint	14, 22		Présente parfois des portions plus grossière, grès quartzeux fin à grossier.
6	6	EbCt-002 (72G)	Betchouanes	Chert gris veiné	Chert gris veiné	Chert gris veiné	Chert	Chert	15		Veinée	Cireuse	Radiolaires	Inclusions circulaires silicieuses	Translucide	Aphanitique	Non observé	Non observé	Non observé	Présente de veines de couleur 195-196.
7	7	EbCt-002 (72G)	Betchouanes	Chert bourgogne	Chert bourgogne	Ch11	Chert	Chert	207	83	Marbrée, vacuolaire	Cireuse	Radiolaires	Inclusions circulaires silicieuses	Semi-translucide	Aphanitique	Gaine	196	Non observé	Présente d'importantes vacuoles, marbrures présentant une teinte gris-bleuté caractéristiques
8	8	EbCt-002 (72G)	Betchouanes	Chert gris moutonné	Chert gris moutonné	Ch3, Ch9	Chert	Chert	14	62	Marbrée	Cireuse	Radiolaires	Inclusions circulaires blanches opaques et incolores (silicieuses)	Semi-translucide	Aphanitique	Non observé	Non observé	Non observé	Peut ressembler au chert Onondaga de la région des Grands-Lacs
9	9	EbCt-002 (72G)	Betchouanes	Chert vert lustré	Chert vert lustré	Ch5	Chert	Chert	33	43	Homogène	Cireuse	Radiolaires	Inclusions circulaires silicieuses	Translucide	Aphanitique	Non observé	Non observé	Non observé	Structure légèrement tachetée par les inclusions
10	10	EbCt-002 (72G)	Betchouanes	Quartzite fin blanc-gris	Quartzite fin blanc-gris	Qzite4	Quartzite	Quartzite	31	32	Homogène, veinée	Cireuse	Minéraux forcés (veines)	Minéraux verts/noir en mince lits pé micas	Semi-translucide	Très fin	Non observé	Non observé	Blanchit	
11	11	EbCt-002 (72G)	Betchouanes	Quartzite fin de Kégashka	Quartzite fin de Kégashka de type 2	Qzite 10	Quartzite	Quartzite	11	207, 204	Tachetée	Cireuse	Inclusions minérales foncées	Inclusions minérales foncées de couleur bourgogne et orange foncé disséminées dans une matrice incolore	Translucide	Aphanitique	Non observé	Non observé	Oxydation	
12	12	EbCt-002 (72G)	Betchouanes	Chert rhyolitique noir	Chert rhyolitique noir	Ch10	Chert	Chert	18		Tachetée, veinée	Cireuse	Phénocristaux	Quartz, minéraux ferreux	Translucide	Aphanitique	Non observé	Non observé	Oxydation	Présente des portions incolores. La couleur noire est le résultat de la présence d'amas de taches/marbrures noires dans une pâte incolore vitreuse. Possiblement qu'il s'agit d'une rhyolite ou encore d'un chert d'origine volcanique.
13	13	EbCw-046 (65G)	Archipel	Chert Mingan	Chert Mingan	Ch1	Chert	Chert	31	23, 62, 192	Moutonné	Cireuse	Qz grenu, fossiles	Vacuoles	Translucide	Aphanitique	Gaine	31	Blanchissement léger	Moutonné et présente organisation concentrique de certaine variations de couleur
14	14	EbCw-046 (65G)	Archipel	Quartzite de Ramah	Quartzite de Ramah	Ramah	Quartzite	Quartzite	12	62, 93, 18	Enfumée	Cireuse	Inclusions minérales couleur rouille	Pyrite	Translucide	très fin	Non observé	Non observé	Oxydation	
15	15	EbCw-046 (65G)	Archipel	Quartz hyalin	Quartz hyalin	QzH	Quartz	Quartz	000	11	Homogène	Vitreuse	Non observées	Non observées	Transparent	NA	Non observé	Non observé	Non observé	
16	16	EbCw-048 (64G)	Archipel	Quartz hyalin	Quartz hyalin	QzH	Quartz	Quartz	000	11	Homogène	Vitreuse	Non observées	Non observées	Transparent	NA	Non observé	Non observé	Non observé	
17	17	EbCw-048 (64G)	Archipel	Chert vert lustré	Chert vert lustré	Ch5	Chert	Chert	33	43	Homogène	Cireuse	Radiolaires	Inclusions circulaires silicieuses	Translucide	Aphanitique	Gaine	195, 193	Non observé	Structure légèrement tachetée par les inclusions
18	18	EbDa-042 (62G)	Archipel	Quartz hyalin	Quartz hyalin	QzH	Quartz	Quartz	000	11	Homogène	Vitreuse	Non observées	Non observées	Transparent	NA	Non observé	Non observé	Non observé	
19	19	EbDa-042 (62G)	Archipel	Chert Mingan	Chert Mingan	Ch1, Qzite3	Chert	Chert	31	23, 62, 192	Moutonné	Cireuse	Qz grenu, fossiles	Vacuoles	Translucide	Aphanitique	Gaine	31	Blanchissement léger	Moutonné et présente organisation concentrique de certaine variations de couleur
20	20	EbDa-042 (62G)	Archipel	Quartzite de Ramah	Quartzite de Ramah	Qzite1, Qzite2	Quartzite	Quartzite	12	62, 93, 18	Enfumée	Cireuse	Inclusions minérales couleur rouille	Pyrite	Translucide	très fin	Non observé	Non observé	Oxydation	
21	21	EbDa-042 (62G)	Archipel	Chert vert lustré	Chert vert lustré	Ch5, Ch6	Chert	Chert	33	43	Homogène	Cireuse	Radiolaires	Inclusions circulaires silicieuses	Translucide	Aphanitique	Non observé	Non observé	Non observé	Structure légèrement tachetée par les inclusions
22	22	EbDa-042 (62G)	Archipel	Chert gris moutonné	Chert gris moutonné	Ch3	Chert	Chert	14	62	Marbrée	Cireuse	Radiolaires	Inclusions circulaires blanches opaques et incolores (silicieuses)	Semi-translucide	Aphanitique	Non observé	Non observé	Non observé	Peut ressembler au chert Onondaga de la région des Grands-Lacs
23	23	EbDa-042 (62G)	Archipel	Chert gris-verdâtre (fosse Lab)	Chert gris à radiolaires	Séd 1	Chert	Chert	32	31	Homogène, légèrement tachetée	Mate	Radiolaires	Inclusions circulaires silicieuses avec structure concentrique	Semi-translucide	Aphanitique	Non observé	Non observé	Non observé	
24	24	EbDa-042 (62G)	Archipel	Silex?	Silex blond?	Ch4	Silex	Silex	196	198	Homogène	Cireuse	Fossiles abondants	Non observées	Translucide	Aphanitique	Non observé	Non observé	Non observé	Possible silex blond
25	25	EbDa-042 (62G)	Archipel	Chert brun caramel	Chert brun caramel	Ch2	Chert	Chert	24	183, 184	Homogène	Cireuse		Inclusions circulaires incolores	Translucide	Aphanitique	Plat	188	Non observé	Fortement translucide, y prend particulièrement sa teinte caramel (188).
26	26	EbDa-042 (62G)	Archipel	Calcédoine bleutée	Calcédoine bleutée	Ch7	Chert	Chert	72	83	Homogène	Cireuse		Radiolaires et carbonates	Translucide	Aphanitique	Non observé	Non observé	Non observé	
27	27	EbDa-042 (62G)	Archipel	Quartz hyalin avec inclusions brunes	Quartz hyalin avec inclusions brunes	Qz	Quartz	Quartz	00		Homogène	Vitreuse		Inclusions minérales foncées	Transparent	NA	Non observé	Non observé	Non observé	
28	28	EbCw-049 (66G)	Archipel	Chert Mingan	Chert Mingan	Ch1, Qzite3	Chert	Chert	31	23, 62, 192	Moutonné	Cireuse	Qz grenu, fossiles	Vacuoles	Translucide	Aphanitique	Gaine	31	Blanchissement léger	Moutonné et présente organisation concentrique de certaine variations de couleur
29	29	EbCw-049 (66G)	Archipel	Quartz hyalin	Quartz hyalin	QzH	Quartz	Quartz	000	11	Homogène	Vitreuse		Non observées	Transparent	NA	Non observé	Non observé	Non observé	

Suite à la page suivante

#	N	Site	Région	Matière simplifiée finale	Code matière régional	Code préliminaire	Matière	Type matériau	Couleur principale	Couleur secondaires	Structure	Texture	Inclusions principales	Inclusions détaillées	Transparence	Granulométrie	Cortex type	Cortex couleur	Altération	Remarques
30	30	EbCw-049 (66G)	Archipel	Quartzite Noui	Quartzite Noui	Qzite6	Quartzite	Quartzite	83	71,72,73	Homogène	rugueuse		inclusions minérales foncées	Translucide	Moyenne à fin	Non observé	Non observé	Non observé	
31	31	EbCw-050 (67G)	Archipel	Chert Mingan	Chert Mingan	Ch1, Qzite3	Chert	Chert	31	23, 62, 192	Moutonné	Cireuse	Qz grenu, fossiles	Vacuoles	Translucide	Aphanitique	Gainé	31	Blanchissement léger	Moutonné et présente organisation concentrique de certaine variations de couleur
32	32	EbCw-050 (67G)	Archipel	Quartz hyalin	Quartz hyalin	QzH	Quartz	Quartz	000	11	Homogène	Vitreuse		Non observées	Transparent	NA	Non observé	Non observé	Non observé	
33	33	EbCw-050 (67G)	Archipel	Quartzite EbCp	Quartzite EbCp	Qzite8	Quartzite	Quartzite	12	22, 181	Homogène	rugueuse		Inclusions minérales foncées	Translucide	Moyenne	Plat ou surface de joint	14, 22		Présente parfois des portions plus grossière, grès quartzeux fin à grossier.
34	34	EbCv-026 (71G)	Archipel	Chert Mingan	Chert Mingan	Ch1	Chert	Chert	31	23, 62, 192	Moutonné	Cireuse	Qz grenu, fossiles	Vacuoles	Translucide	Aphanitique	Gainé	31	Blanchissement léger	Moutonné et présente organisation concentrique de certaine variations de couleur
35	35	EbCv-026 (71G)	Archipel	Quartz hyalin	Quartz hyalin	QzH	Quartz	Quartz	000	11	Homogène	Vitreuse		Non observées	Transparent	NA	Non observé	Non observé	Non observé	
36	36	EbCv-026 (71G)	Archipel	Quartzite de Ramah	Quartzite de Ramah	Qzite1	Quartzite	Quartzite	12	62, 93, 18	Enfumée	Cireuse		Inclusions minérales couleur rouille	Translucide	très fin	Non observé	Non observé	Oxydation	
37	37	EbCt-003 (73G)	Archipel	Quartz laiteux	Quartz laiteux	Qz	Quartz	Quartz	10	11, 211	Homogène	Vitreuse		Non observées	Translucide	NA	Non observé	Non observé	Non observé	
38	38	EbCs-010 (74G)	Betchouanes	Chert Mingan	Chert Mingan	Ch1	Chert	Chert	31	23, 62, 192	Moutonné	Cireuse	Qz grenu, fossiles	Vacuoles	Translucide	Aphanitique	Gainé	31	Blanchissement léger	Moutonné et présente organisation concentrique de certaine variations de couleur
39	39	EbCs-010 (74G)	Betchouanes	Quartz hyalin	Quartz hyalin	QzH	Quartz	Quartz	000	11	Homogène	Vitreuse		Non observées	Transparent	NA	Non observé	Non observé	Non observé	
40	40	EbCs-010 (74G)	Betchouanes	Quartzite de Ramah	Quartzite de Ramah	Qzite1	Quartzite	Quartzite	12	62, 93, 18	Enfumée	Cireuse		Inclusions minérales couleur rouille	Translucide	très fin	Non observé	Non observé	Oxydation	
41	41	EbCs-010 (74G)	Betchouanes	Chert vert lustré	Chert vert lustré	Ch5	Chert	Chert	33	43	Homogène	Cireuse	Radiolaires	Inclusions circulaires silicieuses, inclusions minérales au reflet métallique	Translucide	Aphanitique	Non observé	Non observé	Non observé	Structure légèrement tachetée par les inclusions
42	42	EbCs-010 (74G)	Betchouanes	Chert rhyolitique noir	Chert bleuté inclusions ferreuses	Ch8	Chert	Chert			Homogène, tachetée	Cireuse	Radiolaires	Inclusions minérales foncées, oxydées	Translucide	Aphanitique	Non observé	Non observé	Non observé	Possible variante de Calcdéoine bleutée
43	43	EbCs-010 (74G)	Betchouanes	Quartzite EbCp	Quartzite EbCp	Qzite EbCp	Quartzite	Quartzite	12	22, 181	Homogène	rugueuse		Inclusions minérales foncées	Translucide	Moyenne	Plat ou surface de joint	14, 22		Présente parfois des portions plus grossière, grès quartzeux fin à grossier.
44	44	EbCs-011 (75G)	Betchouanes	Chert Mingan	Chert Mingan	Ch1	Chert	Chert	31	23, 62, 192	Moutonné	Cireuse	Qz grenu, fossiles	Vacuoles	Translucide	Aphanitique	Gainé	31	Blanchissement léger	Moutonné et présente organisation concentrique de certaine variations de couleur
45	45	EbCs-011 (75G)	Betchouanes	Quartzite de Ramah	Quartzite de Ramah	Qzite1, Qzite9	Quartzite	Quartzite	12	62, 93, 18	Enfumée	Cireuse		Inclusions minérales couleur rouille	Translucide	très fin	Non observé	Non observé	Oxydation	
46	46	EbCs-011 (75G)	Betchouanes	Quartzite EbCp	Quartzite EbCp	Qzite EbCp	Quartzite	Quartzite	12	22, 181	Homogène	rugueuse		Inclusions minérales foncées	Translucide	Moyenne	Plat ou surface de joint	14, 22		Présente parfois des portions plus grossière, grès quartzeux fin à grossier.
47	47	EbCs-011 (75G)	Betchouanes	Chert vert lustré	Chert vert lustré	Ch5	Chert	Chert	33	43	Homogène	Cireuse	Radiolaires	Radiolaires	Translucide	Aphanitique	Non observé	Non observé	Non observé	Structure légèrement tachetée par les inclusions
48	48	EbCs-011 (75G)	Betchouanes	Chert rhyolitique noir	Chert rhyolitique noir	Ch10	Chert	Chert	18		Tachetée, veinée	Cireuse	Inclusions circulaires	Phénocristaux	Translucide	Aphanitique	Non observé	Non observé	Oxydation	Présente des portions incolores. La couleur noire est le résultat de la présence d'amas de taches/marbrures noires dans une pâte incolore vitreuse. Possiblement qu'il s'agit d'une rhyolite ou encore d'un chert d'origine volcanique.
49	49	EbCs-011 (75G)	Betchouanes	Quartzite fin de Kégashka	Quartzite fin de Kégashka de type 2	Qzite 10	Quartzite	Quartzite	11	207, 204	Tachetée	Cireuse		Inclusions minérales foncées	Translucide	Aphanitique	Non observé	Non observé	Oxydation	Pourrait s'agir d'une rhyolite comme les inclusions minérales pourraient être interprétées comme de phénocristaux. De plus, le caractère alignées de celles ci pourrait le suggérer.
50	50	EbCs-011 (75G)	Betchouanes	Quartz hyalin avec inclusions brunes	Quartz hyalin avec inclusions brunes	Qz	Quartz	Quartz	00		Homogène	Vitreuse		Inclusions minérales foncées	Transparent	NA	Non observé	Non observé	Non observé	
51	51	EbDc-001	Tonerre/Saint-Jean/Longue-Pointe	Quartzite Noui	Quartzite Noui	Qzite1	Quartzite	Quartzite	71	61, 72, 73	Homogène	Vitreuse		Inclusions minérales foncées	Translucide	Moyenne	Plat	164	Non observé	Quartzite Massif
52	52	EbDe-001	Tonerre/Saint-Jean/Longue-Pointe	Chert Mingan	Chert Mingan	ChM	Chert	Chert	192	193	Moutonné	Cireuse	Qz grenu, fossiles	Vacuoles	Translucide	Aphanitique	Gainé	31	Blanchissement léger	Variété brune marbré, moutonnée
53	53	EbDe-001	Tonerre/Saint-Jean/Longue-Pointe	Quartz hyalin	Quartz hyalin	QzH	Quartz	Quartz	000	11	Homogène	Vitreuse		Non observées	Transparent	NA	Non observé	Non observé	Non observé	
54	54	EbDe-002	Tonerre/Saint-Jean/Longue-Pointe	Chert Mingan	Chert Mingan	ChM	Chert	Chert	192	193	Moutonné	Cireuse	Qz grenu, fossiles	Vacuoles	Translucide	Aphanitique	Gainé	31	Blanchissement léger	Variété brune marbré, moutonnée
55	55	EbDe-002	Tonerre/Saint-Jean/Longue-Pointe	Quartz hyalin	Quartz hyalin	QzH	Quartz	Quartz	000	11	Homogène	Vitreuse		Non observées	Transparent	NA	Non observé	Non observé	Non observé	
56	56	EbDe-002	Tonerre/Saint-Jean/Longue-Pointe	Quartzite Noui	Quartzite Noui	Qzite2	Quartzite	Quartzite	71	61, 72, 73	Homogène	Vitreuse		Inclusions minérales foncées	Translucide	Moyenne	Plat	164	Non observé	

Suite à la page suivante

#	N	Site	Région	Matière simplifiée finale	Code matière régional	Code préliminaire	Matière	Type matériau	Couleur principale	Couleur secondaires	Structure	Texture	Inclusions principales	Inclusions détaillées	Transparence	Granulométrie	Cortex type	Cortex couleur	Altération	Remarques
57	57	EbDe-002	Tonerre/Saint-Jean/Longue-Pointe	Quartzite fin grisâtre; Mistassini?	Quartzite fin grisâtre	Qzite1	Quartzite	Quartzite	11	12	Homogène	Onctueuse		Inclusions minérales foncées	Translucide	Aphanitique	Non observé	Non observé	Non observé	Blanchâtre (légèrement orangé par endroits). Parfois plus translucide. Peut s'apparenter au type de Mistassini
58	58	EbDe-002	Tonerre/Saint-Jean/Longue-Pointe	Quartz laiteux	Quartz laiteux	Qz	Quartz	Quartz	10	11	Homogène	Vitreuse		Non observées	Translucide	NA	Non observé	Non observé	Non observé	
59	59	EbDe-003	Tonerre/Saint-Jean/Longue-Pointe	Quartz hyalin	Quartz hyalin	Qz	Quartz	Quartz	000	11	Homogène	Vitreuse		Non observées	Transparent	NA	Non observé	Non observé	Non observé	
60	60	EbDe-003	Tonerre/Saint-Jean/Longue-Pointe	Quartzite de Ramah	Quartzite de Ramah	Ramah	Quartzite	Quartzite	12	62, 93, 18	Enfumée	Cireuse		Inclusions minérales couleur rouille	Translucide	très fin	Non observé	Non observé	Oxydation	
61	61	EbDe-003	Tonerre/Saint-Jean/Longue-Pointe	Quartzite de Wishart	Quartzite de Wishart	QziteMoy	Quartzite	Quartzite	11	22, 216	Homogène	rugueuse		Inclusions minérales fins rouille	Translucide	Moyenne	Non observé	Non observé	Non observé	Pourrait s'agir d'une variante du quartzite EbCp. Par contre les laminations orangées n'y sont jamais observées.
62	62	EbDf-001	Tonerre/Saint-Jean/Longue-Pointe	Mudstone gris marbré	Mudstone gris marbré		Mudstone	Pélites	32	33	Tachetée	Mate		Radiolaires	Opaque	Aphanitique	Non observé	Non observé	Non observé	
63	63	EbDf-001	Tonerre/Saint-Jean/Longue-Pointe	Rhyolite mauve BJB	Rhyolite mauve BJB		Rhyolite	Rhyolite	112	101	Filigrée, bréchique, alignement	Vitreuse		Phénocristaux de Feldspath	Translucide	Aphanitique	Non observé	Non observé	Non observé	
64	64	EbDd-002	Tonerre/Saint-Jean/Longue-Pointe	Quartzite fin grisâtre; Mistassini?	Quartzite fin grisâtre	QziteFin	Quartzite	Quartzite	11	12	Homogène	Onctueuse		Inclusions minérales foncées	Translucide	Aphanitique	Non observé	Non observé	Non observé	Blanchâtre (légèrement orangé par endroits). Parfois plus translucide. Peut s'apparenter au type de Mistassini
65	65	EbDd-002	Tonerre/Saint-Jean/Longue-Pointe	Quartzite de Wishart	Quartzite de Wishart	QziteMoy	Quartzite	Quartzite	12	11-21-22-216	Homogène	rugueuse		inclusions minérales fin rouille	Translucide	Moyenne	Non observé	Non observé	Non observé	Qzite Wishart? les incluisons donnent une teinte légèrement orangée-rosé a ce quartzite gris-blanc.
66	66	EbDn-001	Moisie	Quartz hyalin avec inclusions brunes	Quartz hyalin avec inclusions brunes	QzH	Quartz	Quartz	00		Homogène	Vitreuse		Inclusions minérales foncées	Transparent	NA	Non observé	Non observé	Non observé	
67	67	EbDn-001	Moisie	Quartz hyalin	Quartz hyalin	QzHi	Quartz	Quartz	000	11	Homogène	Vitreuse		Non observées	Transparent	NA	Non observé	Non observé	Non observé	
68	68	EbDn-001	Moisie	Quartz laiteux	Quartz laiteux	QzL	Quartz	Quartz	10	11	Homogène	Vitreuse		Non observées	Translucide	NA	Non observé	Non observé	Non observé	
69	69	EbDn-001	Moisie	Quartz Hyalin	Quartz cristallin	QzC	Quartz	Quartz	000	11	Homogène	Vitreuse		Non observées	Transparent	NA	Faces cristallines	Non observé	Non observé	
70	70	EbDn-001	Moisie	Shale vert oxydé	Shale vert oxydé	Séd1	Chert/shale	Chert	163	34	Homogène	Mate		Minéraux foncés verdâtres	Opaque	Aphanitique	Non observé	Non observé	Oxydation	
71	71	EbCx-005	Mingan	Quartz hyalin avec inclusions brunes	Quartz hyalin avec inclusions brunes	Qzite2	Quartz	Quartz	00		Homogène	Vitreuse		Inclusions minérales foncées	Transparent	NA	Non observé	Non observé	Non observé	
72	72	EbCx-005	Mingan	Chert Mingan	Chert Mingan	Ch1	Chert	Chert	192	193	Moutonné	Cireuse	Qz grenu, fossiles	Vacuoles	Translucide	Aphanitique	Gaine	31	Blanhissement léger	Variété brune marbré, moutonnée
73	73	EbCx-005	Mingan	Quartzite EbCp	Quartzite EbCp	Qzite1b, séd1	Quartzite	Quartzite	12	22, 181	Homogène	rugueuse		Inclusions minérales foncées	Translucide	Moyenne	Plat ou surface de joint	14, 22		Présente parfois des portions plus grossière, grès quartzeux fin à grossier.
74	74	EbCx-005	Mingan	Quartzite de Ramah	Quartzite de Ramah	Qzite3b	Quartzite	Quartzite	12	62, 93, 18	Enfumée	Cireuse		Inclusions minérales couleur rouille	Translucide	très fin	Non observé	Non observé	Oxydation	
75	75	EbCx-005	Mingan	Quartzite Noui	Quartzite Noui	Qzite1, Qzite3	Quartzite	Quartzite	83	71,72,73	Homogène	rugueuse		inclusions minérales foncées	Translucide	Moyenne à fin	Non observé	Non observé	Non observé	
76	76	EbCx-005	Mingan	Quartzite fin de Kégashka	Quartzite fin de Kégashka de type 2		Quartzite	Quartzite	11	207, 204	Tachetée	Cireuse		Inclusions minérales foncées	Translucide	Aphanitique	Non observé	Non observé	Oxydation	Pourrait s'agir d'une rhyolite comme les inclusions minérales pourraient être interprétées comme de phénocristaux. De plus, le caractère alignées de celles ci pourrait le suggérer.
77	77	EbCx-006	Mingan	Chert rhyolitique noir	Chert rhyolitique noir	Chert noir	Chert	Chert	18		Tachetée, veinée	Cireuse		Phénocristaux	Translucide	Aphanitique	Non observé	Non observé	Oxydation	Présente des portions incolores. La couleur noire est le résultat de la présence d'amas de taches/marbrures noires dans une pâte incolore vitreuse. Possiblement qu'il s'agit d'une rhyolite ou encore d'un chert d'origine volcanique.
78	78	EbCx-006	Mingan	Mudstone gris marbré	Mudstone gris marbré		Mudstone	Pélites	32	33	Tachetée	Mate		Radiolaires	Opaque	Aphanitique	Non observé	Non observé	Non observé	
79	79	EbCx-006	Mingan	Chert Mingan	Chert Mingan	ChMingan	Chert	Chert	31	23, 62, 192	Moutonné	Cireuse	Qz grenu, fossiles	Vacuoles	Translucide	Aphanitique	Gaine	31	Blanhissement léger	Moutonné et présente organisation concentrique de certaine variations de couleur
80	80	EbCx-006	Mingan	Quartzite de Ramah	Quartzite de Ramah	Qzite3b	Quartzite	Quartzite	12	62, 93, 18	Enfumée	Cireuse		Inclusions minérales couleur rouille	Translucide	très fin	Non observé	Non observé	Oxydation	
81	81	EbCx-017	Mingan	Quartz hyalin avec inclusions brunes	Quartz hyalin avec inclusions brunes	QzH2	Quartz	Quartz	00		Homogène	Vitreuse		Inclusions minérales foncées	Transparent	NA	Non observé	Non observé	Non observé	

#	N	Site	Région	Matière simplifiée finale	Code matière régional	Code préliminaire	Matière	Type matériau	Couleur principale	Couleur secondaires	Structure	Texture	Inclusions principales	Inclusions détaillées	Transparence	Granulométrie	Cortex type	Cortex couleur	Altération	Remarques
82	82	EbCx-017	Mingan	Chert Mingan	Chert Mingan	Ch1, Ch1b, Ch1c	Chert	Chert	31	23, 62, 192	Moutonné	Cireuse	Qz grenu, fossiles	Vacuoles	Translucide	Aphanitique	Gaine	31	Blanchissement léger	Moutonné et présente organisation concentrique de certaine variations de couleur
83	83	EbCx-017	Mingan	Quartz hyalin	Quartz hyalin	QzH	Quartz	Quartz	000	11	Homogène	Vitreuse		Non observées	Transparent	NA	Non observé	Non observé	Non observé	
84	84	EbCx-017	Mingan	Quartzite fin de Kégashka	Quartzite fin de Kégashka de type 1	Qzite1	Quartzite	Quartzite	000	31	Homogène	Cireuse		inclusions minérales avec alignement préférentiel	Translucide	Aphanitique	Non observé	Non observé	Non observé	Présente des inclusions minérales qui témoignent d'un certain alignement, allongement
85	85	EbCx-017	Mingan	Chert "La Romaine"	Shale alternance gris-beige/gris foncé	Ch2, Ch2b	Shale/chert	Chert	31-17		Laminée	Mate		Petites inclusions sphériques noires	Opaque	Aphanitique	Non observé	Non observé	Non observé	
86	86	EbCx-065	Mingan	Quartz hyalin enfumé	Quartz enfumé	Qzite1, QzR, QzM	Quartz	Quartz	12		Homogène	Vitreuse		Inclusions minérales rosées de type feldspathique	Translucide-Transparent	NA	Gros amas de minéraux de type feldspathique (granitique).	Non observé	Non observé	
87	87	EbCx-065	Mingan	Quartz hyalin avec inclusions brunes	Quartz hyalin avec inclusions brunes	QzH, QzH2	Quartz	Quartz	00		Homogène	Vitreuse		Inclusions minérales foncées	Transparent	NA	Non observé	Non observé	Non observé	
88	88	EbCx-065	Mingan	Quartzite Noui	Quartzite Noui	Qzite2	Quartzite	Quartzite	83	71,72,73	Homogène	rugueuse		inclusions minérales foncées	Translucide	Moyenne à fin	Non observé	Non observé	Non observé	
89	89	EbCx-065	Mingan	Quartz Hyalin	Quartz cristallin	QzC	Quartz	Quartz	000	11	Homogène	Vitreuse		Non observées	Transparent	NA	Faces cristallines	Non observé	Non observé	
90	90	EbCx-065	Mingan	Chert Mingan	Chert Mingan	ChM, Ch2, Ch3	Chert	Chert	31	23, 62, 192	Moutonné	Cireuse	Qz grenu, fossiles	Vacuoles	Translucide	Aphanitique	Gaine	31	Blanchissement léger	Moutonné et présente organisation concentrique de certaine variations de couleur
91	91	EbCx-065	Mingan	Quartz hyalin	Quartz hyalin	QzH	Quartz	Quartz	000	11	Homogène	Vitreuse		Non observées	Transparent	NA	Non observé	Non observé	Non observé	
92	92	EbCx-066	Mingan	Quartzite Noui	Quartzite Noui	Qzite1	Quartzite	Quartzite	83	71,72,73	Homogène	rugueuse		inclusions minérales foncées	Translucide	Moyenne à fin	Non observé	Non observé	Non observé	
93	93	EbCx-066	Mingan	Chert Mingan	Chert Mingan	ChM	Chert	Chert	31	23, 62, 192	Moutonné	Cireuse	Qz grenu, fossiles	Vacuoles	Translucide	Aphanitique	Gaine	31	Blanchissement léger	Moutonné et présente organisation concentrique de certaine variations de couleur
94	94	EbCx-066	Mingan	Quartz hyalin avec inclusions brunes	Quartz hyalin avec inclusions brunes	QzH	Quartz	Quartz	00		Homogène	Vitreuse		Inclusions minérales foncées	Transparent	NA	Non observé	Non observé	Non observé	
95	95	EbDa-002	Tonerre/Saint-Jean/Longue-Pointe	Quartzite Noui	Quartzite Noui	Qzite1	Quartzite	Quartzite	71	61, 72, 73	Homogène	Vitreuse		Inclusions minérales foncées	Translucide	Moyenne	Plat	164	Non observé	Quartzite Massif
96	96	EbDa-002	Tonerre/Saint-Jean/Longue-Pointe	Quartzite EbCp	Quartzite EbCp	Qzite2, Qzite3	Quartzite	Quartzite	12	22, 181	Homogène	rugueuse		Inclusions minérales foncées	Translucide	Moyenne	Plat ou surface de joint	14, 22		
97	97	EbDa-003	Mingan	Chert Mingan	Chert Mingan	Ch1a	Chert	Chert	192	193	Moutonné	Cireuse	Qz grenu, fossiles	Vacuoles	Translucide	Aphanitique	Gaine	31	Blanchissement léger	Variété brune marbré, moutonnée
98	98	EbDa-003	Mingan	Quartz hyalin avec inclusions brunes	Quartz hyalin avec inclusions brunes	QzH	Quartz	Quartz	00		Homogène	Vitreuse		Inclusions minérales foncées	Transparent	NA	Non observé	Non observé	Non observé	
99	99	EbDa-003	Mingan	Quartzite Noui	Quartzite Noui	Qzite1	Quartzite	Quartzite	71	61, 72, 73	Homogène	Vitreuse		Inclusions minérales foncées	Translucide	Moyenne	Plat	164	Non observé	Quartzite Massif
100	100	EbDa-003	Mingan	Chert Mingan	Chert Mingan Oolithique	Ch2	Chert	Chert	63	16, 24	Tachetée	Cireuse		Incluions fossiles très abondantes	Semi-translucide	Aphanitique	Galet	31	Non observé	Variante possible du chert Mingan, mais surabondance de fossiles.
101	101	EbDa-003	Mingan	Schiste à hornblende	Schiste à hornblende	Schiste	Schiste	Pélites	44	123	Homogène	Mate		Inclusions minérales foncées	Opaque	Très fin	Non observé	Non observé	Non observé	
102	102	EbDa-004	Mingan	Quartzite Noui	Quartzite Noui	Qzite1	Quartzite	Quartzite	71	61, 72, 73	Homogène	Vitreuse		Inclusions minérales foncées	Translucide	Moyenne	Plat	164	Non observé	Quartzite Massif
103	103	EbDa-004	Mingan	Quartzite EbCp	Quartzite EbCp	Qzite2	Quartzite	Quartzite	12	22, 181	Homogène	rugueuse		Inclusions minérales foncées	Translucide	Moyenne	Plat ou surface de joint	14, 22		
104	104	EbDa-004	Mingan	Quartzite de Ramah	Quartzite de Ramah	Ramah	Quartzite	Quartzite	12	62, 93, 18	Enfumée	Cireuse		Inclusions minérales couleur rouille	Translucide	très fin	Non observé	Non observé	Oxydation	
105	105	EbDa-004	Mingan	Chert Mingan	Chert Mingan	Ch1a	Chert	Chert	31	23, 62, 192	Moutonné	Cireuse	Qz grenu, fossiles	Vacuoles	Translucide	Aphanitique	Gaine	31	Blanchissement léger	Moutonné et présente organisation concentrique de certaine variations de couleur
106	106	EbDa-005	Mingan	Quartzite Noui	Quartzite Noui	Qzite1	Quartzite	Quartzite	71	61, 72, 73	Homogène	Vitreuse		Inclusions minérales foncées	Translucide	Moyenne	Plat	164	Non observé	Quartzite Massif

#	N	Site	Région	Matière simplifiée finale	Code matière régional	Code préliminaire	Matière	Type matériau	Couleur principale	Couleur secondaires	Structure	Texture	Inclusions principales	Inclusions détaillées	Transparence	Granulométrie	Cortex type	Cortex couleur	Altération	Remarques
107	107	EbCx-002	Mingan	Chert marbré gris-beige-mauve	Chert marbré gris-beige-mauve	Ch1b	Chert	Chert	31	22, 203, 213	Moutonnée et vacuolaire	Cireuse à vitreuse		Vacuoles sous formes cristallines	Opaque, très faiblement translucide	Aphanitique	Non observé	Non observé		Présente un reflet légèrement vitreux, les marbrures prennent par endroit l'allures de rubannement (flow pattern). Il pourrait s'agir d'une rhyolite; phénocristaux et flow pattern + reflect vitreux.
108	108	EbCx-002	Mingan	Chert Mingan	Chert Mingan	Ch1	Chert	Chert	31	23, 62, 192	Moutonné	Cireuse	Qz grenu, fossiles	Vacuoles	Translucide	Aphanitique	Gaine	31	Blanchissement léger	Moutonné et présente organisation concentrique de certaine variations de couleur
109	109	EbCx-002	Mingan	Quartzite de Ramah	Quartzite de Ramah	Ramah	Quartzite	Quartzite	12	62, 93, 18	Enfumée	Cireuse		Inclusions minérales couleur rouille	Translucide	très fin	Non observé	Non observé	Oxydation	
110	110	EbCx-002	Mingan	Quartz hyalin avec inclusions brunes	Quartz hyalin avec inclusions brunes	Qzite2	Quartz	Quartz	00		Homogène	Vitreuse		Inclusions minérales foncées	Transparent	NA	Non observé	Non observé	Non observé	
111	111	EbCx-002	Mingan	Quartz hyalin	Quartz hyalin	QzH	Quartz	Quartz	000	11	Homogène	Vitreuse		Non observées	Transparent	NA	Non observé	Non observé	Non observé	
112	112	EbCx-002	Mingan	Quartz hyalin enfumé	Quartz enfumé	QzE	Quartz	Quartz	12		Homogène	Vitreusse		Inclusions minérales rosées de type feldspathique	Translucide-Transparent	NA	Gros amas de minéraux de type feldspathique (granitique).	Non observé	Non observé	La gaine ou cortex est typique des granites, feldspaths alcalins rosés, Qz.
113	113	EbCx-002	Mingan	Quartz laiteux	Quartz laiteux avec inclusions brunes	Qz	Quartz	Quartz	10	11, 211	Homogène	Vitreuse		Inclusions minérales foncées	Translucide	NA	Non observé	Non observé	Non observé	
114	114	EbCx-002	Mingan	Quartzite EbCp	Quartzite EbCp	Qzite3, Qzite4, Qzite5	Quartzite	Quartzite	12	22, 181	Homogène	rugueuse		Inclusions minérales foncées	Translucide	Moyenne	Plat ou surface de joint	14, 22		Présente parfois des portions plus grossière, grès quartzeux fin à grossier.
115	115	EbCx-002	Mingan	Quartzite Noui	Quartzite Noui		Quartzite	Quartzite	71	61, 72, 73	Homogène	Vitreuse		Inclusions minérales foncées	Translucide	Moyenne	Non observé	Non observé	Non observé	Présent dans l'outillage seulement
116	116	EbCx-002	Mingan	Jaspe	Jaspe	Jaspe	Chert	Chert	195	210	Homogène	Cireuse		Inclusions minérales foncées	Translucide	Aphanitique	Galet	196	Rougit lorsque chauffé	
117	117	EbCx-002	Mingan	Silex?	Silex anglais		Silex	Silex	16	15, 17	Homogène	Cireuse	Fossiles abondants	Inclusions blanches opaques, carbonates ?	Translucide	Aphanitique	Non observé	Non observé	Non observé	Présent dans l'outillage seulement
118	118	EbCx-002	Mingan	Chert gris moutonné	Chert gris moutonné		Chert	Chert	14	62	Marbrée	Cireuse		Inclusions circulaires blanches opaques et incolores (silicieuses)	Semi-translucide	Aphanitique	Non observé	Non observé	Non observé	Peut ressembler au chert Onondaga de la région des Grands-Lacs
119	119	EbCx-003	Mingan	Chert vert lustré	Chert vert pâle à radiolaire	Ch3	Chert	Chert	122	132	Homogène, veinée	Cireuse		Radiolaires	Semi-translucide	Aphanitique	Non observé	Non observé	Non observé	Ressemble beaucoup au chert vert lustré: même type d'inclusions, même densité d'inclusions, légèrement veiné (diaclasses))
120	120	EbCx-003	Mingan	Chert Mingan	Chert Mingan	ChM, ChMb, Ch9	Chert	Chert	192	193	Moutonné	Cireuse	Qz grenu, fossiles	Vacuoles	Translucide	Aphanitique	Gaine	31	Blanchissement léger	Variété brune marbré, moutonnée
121	121	EbCx-003	Mingan	Quartzite de Ramah	Quartzite de Ramah	Ramah	Quartzite	Quartzite	12	62, 93, 18	Enfumée	Cireuse		Inclusions minérales couleur rouille	Translucide	très fin	Non observé	Non observé	Oxydation	
122	122	EbCx-003	Mingan	Quartz hyalin	Quartz hyalin	QzH, Qz	Quartz	Quartz	000	11	Homogène	Vitreuse		Non observées	Transparent	NA	Non observé	Non observé	Non observé	
123	123	EbCx-003	Mingan	Quartzite EbCp	Quartzite EbCp	Qzite1, Qzite2	Quartzite	Quartzite	12	22, 181	Homogène	rugueuse		Inclusions minérales foncées	Translucide	Moyenne	Plat ou surface de joint	14, 22		Présente parfois des portions plus grossière, grès quartzeux fin à grossier.
124	124	EbCx-003	Mingan	Quartzite fin de Kégashka	Quartzite fin de Kégashka de type 2		Quartzite	Quartzite	11	207, 204	Tachetée	Cireuse		Inclusions minérales foncées	Translucide	Aphanitique	Non observé	Non observé	Oxydation	Pourrait s'agir d'une rhyolite comme les inclusions minérales pourraient être interprétées comme de phénocristaux. De plus, le caractère alignées de celles ci pourrait le suggérer.
125	125	EbCx-003	Mingan	Chert marbré gris-beige-mauve	Chert marbré gris-beige-mauve	Chert gris rubanné, Ch4b, Ch2	Chert	Chert	31	22, 203, 213	Moutonnée et vacuolaire	Cireuse à vitreuse		Vacuoles sous formes cristallines	Opaque, très faiblement translucide	Aphanitique	Non observé	Non observé		Présente un reflet légèrement vitreux, les marbrures prennent par endroit l'allures de rubannement (flow pattern). Il pourrait s'agir d'une rhyolite; phénocristaux et flow pattern + reflect vitreux.
126	126	EbCx-003	Mingan	Rhyolite mauve BJB	Rhyolite mauve BJB	Ch4	Rhyolite	Rhyolite	112	101	Filigrée, bréchique, alignement	Vitreuse		Phénocristaux de Feldspath	Translucide	Aphanitique	Non observé	Non observé	Non observé	
127	127	EbCx-003	Mingan	Calcédoine bleutée	Calcédoine bleutée	Ch8	Chert	Chert	72	83	Homogène	Cireuse		Radiolaires et carbonates	Translucide	Aphanitique	Non observé	Non observé	Non observé	
128	128	EbCx-003	Mingan	Quartzite fin de Kégashka	Quartzite fin de Kégashka de type 1	Qzite3, Qzite3b	Quartzite	Quartzite	000	31	Homogène	Cireuse		inclusions minérales avec alignement préférentiel	Translucide	Aphanitique	Non observé	Non observé	Non observé	Présente des inclusions minérales qui témoignent d'un certain alignement, allongement

#	N	Site	Région	Matière simplifiée finale	Code matière régional	Code préliminaire	Matière	Type matériau	Couleur principale	Couleur secondaires	Structure	Texture	Inclusions principales	Inclusions détaillées	Transparence	Granulométrie	Cortex type	Cortex couleur	Altération	Remarques
129	129	EbCx-003	Mingan	Chert rhyolitique noir	Chert rhyolitique noir	Ch11, Ch7, Ch5	Chert	Chert	18		Tachetée, veinée	Cireuse		Phénocristaux	Translucide	Aphanitique	Gréseux	32	Oxydation	Présente des portions incolores. La couleur noire est le résultat de la présence d'amas de taches/marbrures noires dans une pâte incolore vitreuse. Possiblement qu'il s'agit d'une rhyolite ou encore d'un chert d'origine volcanique.
130	130	EbCx-003	Mingan	Quartz hyalin	Quartz hyalin cireux	QzF	Quartz	Quartz	00	11	Homogène	Onctueuse		Inclusions minérales micacées	Translucide	NA	Non observé	Non observé	Non observé	Pourrait s'agir d'une variante du quartz hyalin avec inclusions brunes. Prend toutefois une texture cireuse/onctueuse
131	131	EbCx-003	Mingan	Chert brun carbonaté	Chert brun carbonaté	Ch6, Ch6b, Ch1	Chert	Chert	183	184, 193, 194, 192, 191, 17, 14	Homogène, tachetée	Cireuse à mate		Inclusions silicieuses bleutées et blanches	Opaque	Aphanitique	Non observé	Non observé	Non observé	De couleur très variable, de gris à brun très foncé. L'altération pourrait être responsable de cette gradation (?). Présente aussi des portions de couleur crème (191) qui semblent appartenir à une gaine ou encore aux portions plus périphériques
132	132	EbCx-003	Mingan	Rhyolite bleutée	Rhyolite bleutée	Qzite3b	Rhyolite	Rhyolite	62	83, 11	Tachetée	Cireuse		Vacuoles, carbonates, minéraux foncés oxydés	Translucide	Aphanitique	Non observé	Non observé	Non observé	Rhyolite, possible rapprochement avec quartzite fin de Kégashka, particulièrement le type 1
133	133	EbCx-003	Mingan	Rhyolite intraclastique	Rhyolite intraclastique	Ch10, Ch7	Rhyolite	Rhyolite	93	32, 31	Intraclastique	Vitreuse		Phénocristaux de feldspath blancs et inclusions blanches amorphes (arrondies)	Translucide	Aphanitique	Gaine	161	Non observé	Présence de très gros cristaux de feldspath (51, 21)
134	134	EbCx-008	Mingan	Chert Mingan	Chert Mingan Quartzite	Ch1	Chert	Chert	192	193	Moutonné	Cireuse	Qz grenu, fossiles	Vacuoles	Translucide	Aphanitique	Gaine	31	Blanchissement léger	Variété brune marbré, moutonnée
135	135	EbCx-008	Mingan	Quartzite Noui	Quartzite Noui	Qzite1	Quartzite	Quartzite	71	61, 72, 73	Homogène	Vitreuse		Inclusions minérales foncées	Translucide	Moyenne	Plat	164	Non observé	Quartzite Massif
136	136	EbCx-008	Mingan	Quartzite EbCp	Quartzite EbCp	Qzite2	Quartzite	Quartzite	12	22, 181	Homogène	rugueuse		Inclusions minérales foncées	Translucide	Moyenne	Plat ou surface de joint	14, 22		
137	137	EbCx-008	Mingan	Quartzite fin grisâtre; Mistassini?	Quartzite fin grisâtre	Qzite4	Quartzite	Quartzite	11	12	Homogène	Onctueuse		Inclusions minérales foncées	Translucide	Aphanitique	Non observé	Non observé	Non observé	Blanchâtre (légèrement orangé par endroits). Parfois plus translucide. Peut s'apparenter au type de Mistassini
138	138	EbCx-008	Mingan	Quartzite fin de Kégashka	Quartzite fin de Kégashka de type 2	Qzite3	Quartzite	Quartzite	11	207, 204	Tachetée	Cireuse		Inclusions minérales foncées	Translucide	Aphanitique	Non observé	Non observé	Oxydation	Pourrait s'agir d'une rhyolite comme les inclusions minérales pourraient être interprétées comme de phénocristaux. De plus, le caractère alignées de celles ci pourrait le suggérer.
139	139	EbCw-002	Romaine côte/H-St-P	Chert Mingan	Chert Mingan	Ch1, Ch1b, Ch1c	Chert	Chert	192	193	Moutonné	Cireuse	Qz grenu, fossiles	Vacuoles	Translucide	Aphanitique	Gaine	31	Blanchissement léger	Variété brune marbré, moutonnée
140	140	EbCw-002	Romaine côte/H-St-P	Quartz hyalin	Quartz hyalin	QzH, Qz	Quartz	Quartz	000	11	Homogène	Vitreuse		Non observées	Transparent	NA	Non observé	Non observé	Non observé	
141	141	EbCw-002	Romaine côte/H-St-P	Quartz laiteux	Quartz laiteux	Qz	Quartz	Quartz	10	11	Homogène	Vitreuse		Non observées	Translucide	NA	Non observé	Non observé	Non observé	
142	142	EbCw-002	Romaine côte/H-St-P	Chert brun carbonaté	Chert brun carbonaté	Ch2	Chert	Chert	183	184, 193, 194, 192, 191, 17, 14	Homogène, tachetée	Cireuse à mate		Inclusions silicieuses bleutées et blanches	Opaque	Aphanitique	Non observé	Non observé	Non observé	De couleur très variable, de gris à brun très foncé. L'altération pourrait être responsable de cette gradation (?). Présente aussi des portions de couleur crème (191) qui semblent appartenir à une gaine ou encore aux portions plus périphériques
143	143	EbCw-051	Romaine côte/H-St-P	Quartzite grossier "poivre et sel"	Quartzite grossier "poivre et sel"	Qzite2	Quartzite	Quartzite	11	13	Marbrée	Granuleuse		Inclusions minérales foncées	Translucide	Grossière	Non observé	Non observé	Non observé	
144	144	EbCw-051	Romaine côte/H-St-P	Chert Mingan	Chert Mingan	ChM	Chert	Chert	192	193	Moutonné	Cireuse	Qz grenu, fossiles	Vacuoles	Translucide	Aphanitique	Gaine	31	Blanchissement léger	Variété brune marbré, moutonnée
145	145	EbCw-051	Romaine côte/H-St-P	Quartzite EbCp	Quartzite EbCp	Qzite1	Quartzite	Quartzite	12	22, 181	Homogène	rugueuse		Inclusions minérales foncées	Translucide	Moyenne	Plat ou surface de joint	14, 22		
146	146	EbCw-051	Romaine côte/H-St-P	Quartz hyalin avec inclusions brunes	Quartz hyalin avec inclusions brunes	QzH	Quartz	Quartz	00		Homogène	Vitreuse		Inclusions minérales foncées	Transparent	NA	Non observé	Non observé	Non observé	
147	147	EbCw-003	Romaine côte/H-St-P	Chert gris moutonné	Chert moutonné gris-bleuté	Ch8, Ch8b	Chert	Chert	83	62	Moutonnée	Mate		Phénocristaux	Semi-translucide	NA	Non observé	Non observé	Patine blanchâtre	Présence de rares phénocristaux de qz, très ressemblant au chert gris moutonné
148	148	EbCw-003	Romaine côte/H-St-P	Chert vert lustré	Chert vert lustré	Ch2	Chert	Chert	33	43	Homogène	Cireuse		Radiolaires	Translucide	Aphanitique	Non observé	Non observé	Non observé	Structure légèrement tachetée par les inclusions
149	149	EbCw-003	Romaine côte/H-St-P	Rhyolite mauve BJB	Rhyolite mauve BJB	Rhy2, Rhy2b,	Rhyolite	Rhyolite	112	101, 41, 52, 42	Filigræe, bréchique, alignement	Vitreuse		Phénocristaux de Feldspath	Translucide	Aphanitique	Non observé	Non observé	Non observé	

#	N	Site	Région	Matière simplifiée finale	Code matière régional	Code préliminaire	Matière	Type matériau	Couleur principale	Couleur secondaires	Structure	Texture	Inclusions principales	Inclusions détaillées	Transparence	Granulométrie	Cortex type	Cortex couleur	Altération	Remarques
150	150	EbCw-003	Romaine côte/H-St-P	Quartzite fin verte	Quartzite fin verte	Rhy4	Quartzite	Quartzite	123	122	Homogène, légèrement écailleuse	Cireuse		Non observées	Translucide	très fin	Non observé	Non observé	Non observé	
151	151	EbCw-003	Romaine côte/H-St-P	Mudstone vert pâle	Mudstone vert pâle	Ch1d	Mudstone	Pélites	121	172	Homogène	Mate		fins inclusions foncées	Opaque	très fin	Non observé	Non observé	Non observé	Roche sédimentaire peu silicieuse.
152	152	EbCw-003	Romaine côte/H-St-P	Chert gris-verdâtre (fosse Lab)	Chert fin gris-vert pâle	Ch4	Chert	Chert	51		Homogène	Cireuse		Radiolaires	Semi-translucide	Aphanitique	Non observé	Non observé	Non observé	1 seul élément. Chert fin gris-vert pâle.
153	153	EbCw-003	Romaine côte/H-St-P	Rhyolite bourgogne	Rhyolite bourgogne	Rhy1	Rhyolite	Rhyolite	214	207	Moutonnée	Cireuse	Phénocristaux	Phénocristaux de qz et feldspaths blancs	Semi-translucide	Aphanitique	Non observé	Non observé	Non observé	
154	154	EbCw-003	Romaine côte/H-St-P	Rhyolite intraclastique	Rhyolite intraclastique	Rhy3	Rhyolite	Rhyolite	93	32, 31	Intraclastique	Vitreuse		Phénocristaux de feldspath blancs et inclusions blanches amorphes (arrondies)	Translucide	Aphanitique	Gainé	161	Non observé	Présence de très gros cristaux de feldspath (51, 21)
155	155	EbCw-003	Romaine côte/H-St-P	Mudstone gris marbré	Mudstone gris marbré	Ch9, Ch1c, Ch1b	Mudstone	Pélites	32	33	Tachetée	Mate		Radiolaires	Opaque	Aphanitique	Non observé	Non observé	Non observé	
156	156	EbCw-003	Romaine côte/H-St-P	Chert brun carbonaté	Chert brun carbonaté	Ch6, Ch6b, Ch7, Ch7b, Ch8b, Séd1, Rhy5	Chert	Chert	183	184, 193, 194, 192, 191, 17, 14	Homogène, tachetée	Cireuse à mate		Inclusions silicieuses bleutées et blanches	Opaque	Aphanitique	Non observé	Non observé	Non observé	Fortement variable, d.abord enregistré sous divers catégories.
157	157	EbCw-003	Romaine côte/H-St-P	Chert rhyolitique noir	Chert rhyolitique noir	Ch5, Ch2b	Chert	Chert	18		Tachetée, veinée	Cireuse		Phénocristaux	Translucide	Aphanitique	Non observé	Non observé	Oxydation	Présente des portions incolores. La couleur noire est le résultat de la présence d'amas de taches/marbrures noires dans une pâte incolore vitreuse. Possiblement qu'il s'agit d'une rhyolite ou encore d'un chert d'origine volcanique.
158	158	EbCw-003	Romaine côte/H-St-P	Chert marbré gris-beige-mauve	Chert marbré gris-beige-mauve	Ch1	Chert	Chert	31	22, 203, 213	Moutonnée et vacuolaire	Cireuse à vitreuse		Vacuoles sous formes cristallines	Opaque, très faiblement translucide	Aphanitique	Non observé	Non observé		Présente un reflet légèrement vitreux, les marbrures prennent par endroit l'allures de rubannement (flow pattern). Toujours aspect vitreux sous la loupe binoculaire.
159	159	EbCw-003	Romaine côte/H-St-P	Quartz hyalin	Quartz hyalin	QzH	Quartz	Quartz	000	11	Homogène	Vitreuse		Non observées	Transparent	NA	Non observé	Non observé	Non observé	
160	160	EbCw-003	Romaine côte/H-St-P	Quartzite de Ramah	Quartzite de Ramah	Ramah	Quartzite	Quartzite	12	62, 93, 18	Enfumée	Cireuse		Inclusions minérales couleur rouille	Translucide	très fin	Non observé	Non observé	Oxydation	
161	161	EbCw-003	Romaine côte/H-St-P	Chert Mingan	Chert Mingan		Chert	Chert	31	23, 62, 192	Moutonné	Cireuse	Qz grenu, fossiles	Vacuoles	Translucide	Aphanitique	Gainé	31	Blanchissement léger	Moutonné et présente organisation concentrique de certaine variations de couleur
162	162	EbCu-002	Romaine côte/H-St-P	Chert Mingan	Chert Mingan		Chert	Chert	192	193	Moutonné	Cireuse	Qz grenu, fossiles	Vacuoles	Translucide	Aphanitique	Gainé	31	Blanchissement léger	Variété brune marbré, moutonnée
163	163	EbCv-001	Romaine côte/H-St-P	Chert Mingan	Chert Mingan		Chert	Chert	31	23, 62, 192	Moutonné	Cireuse	Qz grenu, fossiles	Vacuoles	Translucide	Aphanitique	Gainé	31	Blanchissement léger	Moutonné et présente organisation concentrique de certaine variations de couleur
164	164	EbCv-001	Romaine côte/H-St-P	Quartzite Noui	Quartzite Noui	Qzite1	Quartzite	Quartzite	71	61, 72, 73	Homogène	Vitreuse		Inclusions minérales foncées	Translucide	Moyenne	Plat	164	Non observé	Quartzite Massif
165	165	EbCv-001	Romaine côte/H-St-P	Chert rhyolitique noir	Chert rhyolitique noir	Ch5, Ch2b	Chert	Chert	18		Tachetée, veinée	Cireuse		Phénocristaux	Translucide	Aphanitique	Non observé	Non observé	Oxydation	Présente des portions incolores. La couleur noire est le résultat de la présence d'amas de taches/marbrures noires dans une pâte incolore vitreuse. Possiblement qu'il s'agit d'une rhyolite ou encore d'un chert d'origine volcanique.
166	166	EbCv-001	Romaine côte/H-St-P	Shale vert oxydé	Shale vert oxydé	Séd1	Chert/shale	Chert	163	34	Homogène	Mate		Minéraux foncés verdâtres	Opaque	Aphanitique	Non observé	Non observé	Oxydation	
167	167	EbCv-001	Romaine côte/H-St-P	Chert marbré gris-beige-mauve	Chert marbré gris-beige-mauve		Chert	Chert	31	22, 203, 213	Moutonnée et vacuolaire	Cireuse à vitreuse		Vacuoles sous formes cristallines	Opaque, très faiblement translucide	Aphanitique	Non observé	Non observé	Blanchit	
168	168	EbCv-001.1	Romaine côte/H-St-P	Quartzite Noui	Quartzite Noui	Qzite1	Quartzite	Quartzite	71	61, 72, 73	Homogène	Vitreuse		Inclusions minérales foncées	Translucide	Moyenne	Plat	164	Non observé	Quartzite Massif
169	169	EbCv-001.1	Romaine côte/H-St-P	Quartzite de Ramah	Quartzite de Ramah	Ramah	Quartzite	Quartzite	12	62, 93, 18	Enfumée	Cireuse		Inclusions minérales couleur rouille	Translucide	très fin	Non observé	Non observé	Oxydation	
170	170	EbCv-003	Romaine côte/H-St-P	Chert Mingan	Chert Mingan		Chert	Chert	31	23, 62, 192	Moutonné	Cireuse	Qz grenu, fossiles	Vacuoles	Translucide	Aphanitique	Gainé	31	Blanchissement léger	Moutonné et présente organisation concentrique de certaine variations de couleur
171	171	EbCv-004	Romaine côte/H-St-P	Chert Mingan	Chert Mingan	Chert Mingan	Chert	Chert	192	193	Moutonné	Cireuse	Qz grenu, fossiles	Vacuoles	Translucide	Aphanitique	Gainé	31	Blanchissement léger	Variété brune marbré, moutonnée
172	172	EbCv-004	Romaine côte/H-St-P	Quartzite EbCp	Quartzite EbCp	Qzite1	Quartzite	Quartzite	12	22, 181	Homogène	rugueuse		Inclusions minérales foncées	Translucide	Moyenne	Plat ou surface de joint	14, 22		Présente parfois des portions plus grossière, grès quartzeux fin à grossier.
173	173	EbCv-004	Romaine côte/H-St-P	Quartzite Noui	Quartzite Noui	Noui	Quartzite	Quartzite	71	61, 72, 73	Homogène	Vitreuse		Inclusions minérales foncées	Translucide	Moyenne	Non observé	Non observé	Non observé	
174	174	EbCv-005	Romaine côte/H-St-P	Rhyolite vert forêt	Rhyolite vert forêt	Ch2	Rhyolite	Rhyolite	163		Homogène, tachetée	Cireuse		Phénocristaux et intraclastes	Translucide	Aphanitique	Non observé	Non observé	Oxydation	Possible Rhyolite
175	175	EbCv-005	Romaine côte/H-St-P	Chert brun caramel	Jaspe brun caramel	Ch3	Chert	Chert	187	188	Homogène, marbrée	Cireuse		Radiolaires	Semi-translucide	Aphanitique	Non observé	Non observé	Rougit lorsque chauffé ?	

#	N	Site	Région	Matière simplifiée finale	Code matière régional	Code préliminaire	Matière	Type matériau	Couleur principale	Couleur secondaires	Structure	Texture	Inclusions principales	Inclusions détaillées	Transparence	Granulométrie	Cortex type	Cortex couleur	Altération	Remarques
176	176	EbCv-005	Romaine côte/H-St-P	Quartz hyalin	Quartz hyalin	QzH	Quartz	Quartz	000	11	Homogène	Vitreuse		Non observées	Transparent	NA	Non observé	Non observé	Non observé	
177	177	EbCv-005	Romaine côte/H-St-P	Quartzite de Ramah	Quartzite de Ramah	Ramah	Quartzite	Quartzite	12	62, 93, 18	Enfumée	Cireuse		Inclusions minérales couleur rouille	Translucide	très fin	Non observé	Non observé	Oxydation	
178	178	EbCv-005	Romaine côte/H-St-P	Quartzite EbCp	Quartzite EbCp	Qzite2	Quartzite	Quartzite	12	22, 181	Homogène	rugueuse		Inclusions minérales foncées	Translucide	Moyenne	Plat ou surface de joint	14, 22		Présente parfois des portions plus grossière, grès quartzeux fin à grossier.
179	179	EbCv-005	Romaine côte/H-St-P	Quartzite Noui	Quartzite Noui	Qzite1	Quartzite	Quartzite	71	61, 72, 73	Homogène	Vitreuse		Inclusions minérales foncées	Translucide	Moyenne	Non observé	Non observé	Non observé	
180	180	EbCv-005	Romaine côte/H-St-P	Chert Mingan	Chert Mingan	Ch1	Chert	Chert	192	193	Moutonné	Cireuse	Qz grenu, fossiles	Vacuoles	Translucide	Aphanitique	Gaine	31	Blanchissement léger	Variété brune marbré, moutonnée
181	181	EbCv-015	Romaine côte/H-St-P	Chert Mingan	Chert Mingan	ChM	Chert	Chert	31	23, 62, 192	Moutonné	Cireuse	Qz grenu, fossiles	Vacuoles	Translucide	Aphanitique	Gaine	31	Blanchissement léger	Moutonné et présente organisation concentrique de certaine variations de couleur
182	182	EbCv-015	Romaine côte/H-St-P	Quartz hyalin avec inclusions brunes	Quartz hyalin avec inclusions brunes	QzH	Quartz	Quartz	00		Homogène	Vitreuse		Inclusions minérales foncées	Transparent	NA	Non observé	Non observé	Non observé	
183	183	EbCv-015	Romaine côte/H-St-P	Chert "La Romaine"	Shale alternance gris-beige/gris foncé		Shale/chert	Chert	31-17		Laminée	Mate		Petites inclusions sphériques noires	Opaque	Aphanitique	Non observé	Non observé	Non observé	
184	184	EbCv-015.2	Romaine côte/H-St-P	Chert marbré gris-beige-mauve	Chert marbré gris-beige-mauve	Ch1b	Chert	Chert	31	22, 203, 213	Moutonnée et vacuolaire	Cireuse à vitreuse		Vacuoles sous formes cristallines	Opaque, très faiblement translucide	Aphanitique	Non observé	Non observé	Blanchit	
185	185	EbCv-015.2	Romaine côte/H-St-P	Chert Mingan	Chert Mingan	ChM	Chert	Chert	31	23, 62, 192	Moutonné	Cireuse	Qz grenu, fossiles	Vacuoles	Translucide	Aphanitique	Gaine	31	Blanchissement léger	Moutonné et présente organisation concentrique de certaine variations de couleur
186	186	EbCv-015.2	Romaine côte/H-St-P	Quartz hyalin	Quartz hyalin	QzH	Quartz	Quartz	000	11	Homogène	Vitreuse		Non observées	Transparent	NA	Non observé	Non observé	Non observé	
187	187	EbCv-015.2	Romaine côte/H-St-P	Chert Mauve	Chert mauve rhyolitique	Ch1	Chert	Chert	93	31	Cireuse	Vitreuse	Carbonates		Translucide	NA	Non observé	Non observé	Non observé	
188	188	EbCv-027	Romaine côte/H-St-P	Chert brun caramel	Chert brun caramel	Ch3	Chert	Chert	24	183, 184	Homogène	Cireuse		Inclusions circulaires incolores	Translucide	Aphanitique	Plat	188	Non observé	Rapprochements avec chert noir rhyolitique
189	189	EbCv-027	Romaine côte/H-St-P	Chert Mingan	Chert Mingan	Ch1	Chert	Chert	31	23, 62, 192	Moutonné	Cireuse	Qz grenu, fossiles	Vacuoles	Translucide	Aphanitique	Gaine	31	Blanchissement léger	Moutonné et présente organisation concentrique de certaine variations de couleur
190	190	EbCv-027	Romaine côte/H-St-P	Quartzite Noui	Quartzite Noui	Qzite1	Quartzite	Quartzite	71	61, 72, 73	Homogène	Vitreuse		Inclusions minérales foncées	Translucide	Moyenne	Plat	164	Non observé	Quartzite Massif
191	191	EbCv-027	Romaine côte/H-St-P	Quartzite grossier "poivre et sel"	Quartzite grossier "poivre et sel"	Qzite2	Quartzite	Quartzite	11	13	Marbrée	Granuleuse		Inclusions minérales foncées	Translucide	Grossière	Non observé	Non observé	Non observé	
192	192	EbCv-030	Romaine côte/H-St-P	Argilite blanchâtre	Argilite	Ch2	Argilite/muds tone	Pélites	31	41	Homogène	Mate		Non observées	Opaque	Aphanitique	Non observé	Non observé	Non observé	Roche sédimentaire peu silicieuse. Friable.
193	193	EbCv-030	Romaine côte/H-St-P	Chert Mingan	Chert Mingan	Ch3	Chert	Chert	31	23, 62, 192	Moutonné	Cireuse	Qz grenu, fossiles	Vacuoles	Translucide	Aphanitique	Gaine	31	Blanchissement léger	Moutonné et présente organisation concentrique de certaine variations de couleur
194	194	EbCv-030	Romaine côte/H-St-P	Chert marbré gris-beige-mauve	Chert marbré gris-beige-mauve	Ch1	Chert	Chert	31	22, 203, 213	Moutonnée et vacuolaire	Cireuse à vitreuse		Vacuoles sous formes cristallines	Opaque, très faiblement translucide	Aphanitique	Non observé	Non observé		Présente un reflet légèrement vitreux, les marbrures prennent par endroit l'allures de rubannement (flow pattern). Il pourrait s'agir d'une rhyolite; phénocristaux et flow pattern + reflect vitreux.
195	195	EbCv-031	Romaine côte/H-St-P	Chert Mingan	Chert Mingan	Mingan	Chert	Chert	31	23, 62, 192	Moutonné	Cireuse	Qz grenu, fossiles	Vacuoles	Translucide	Aphanitique	Gaine	31	Blanchissement léger	Moutonné et présente organisation concentrique de certaine variations de couleur
196	196	EbCv-031	Romaine côte/H-St-P	Quartzite Noui	Quartzite Noui	Qzite1	Quartzite	Quartzite	71	61, 72, 73	Homogène	Vitreuse		Inclusions minérales foncées	Translucide	Moyenne	Plat	164	Non observé	Quartzite Massif
197	197	EbCv-031	Romaine côte/H-St-P	Chert marbré gris-beige-mauve	Chert marbré gris-beige-mauve		Chert	Chert	31	22, 203, 213	Moutonnée et vacuolaire	Cireuse à vitreuse		Vacuoles sous formes cristallines	Opaque, très faiblement translucide	Aphanitique	Non observé	Non observé		Présente un reflet légèrement vitreux, les marbrures prennent par endroit l'allures de rubannement (flow pattern). Il pourrait s'agir d'une rhyolite; phénocristaux et flow pattern + reflect vitreux.
198	198	EbCt-004	Betchouanes	Chert Mingan	Chert Mingan	Ch3	Chert	Chert	192	193	Moutonné	Cireuse	Qz grenu, fossiles	Vacuoles	Translucide	Aphanitique	Gaine	31	Blanchissement léger	Variété brune marbré, moutonnée
199	199	EbCt-004	Betchouanes	Quartzite de Ramah	Quartzite de Ramah	Ramah	Quartzite	Quartzite	12	62, 93, 18	Enfumée	Cireuse		Inclusions minérales couleur rouille	Translucide	très fin	Non observé	Non observé	Oxydation	
200	200	EbCt-004	Betchouanes	Quartz hyalin	Quartz hyalin	QzH	Quartz	Quartz	000	11	Homogène	Vitreuse		Non observées	Transparent	NA	Non observé	Non observé	Non observé	
201	201	EbCt-004	Betchouanes	Quartzite EbCp	Quartzite EbCp	Qzite2	Quartzite	Quartzite	12	22, 181	Homogène	rugueuse		Inclusions minérales foncées	Translucide	Moyenne	Plat ou surface de joint	14, 22		Présente parfois des portions plus grossière, grès quartzeux fin à grossier.
202	202	EbCt-005	Betchouanes	Chert Mingan	Chert Mingan	Ch1, Ch2, Ch3	Chert	Chert	192	193	Moutonné	Cireuse	Qz grenu, fossiles	Vacuoles	Translucide	Aphanitique	Gaine	31	Blanchissement léger	Variété brune marbré, moutonnée

Suite à la page suivante

#	N	Site	Région	Matière simplifiée finale	Code matière régional	Code préliminaire	Matière	Type matériau	Couleur principale	Couleur secondaires	Structure	Texture	Inclusions principales	Inclusions détaillées	Transparence	Granulométrie	Cortex type	Cortex couleur	Altération	Remarques	
203	203	EbCt-005	Betchouanes	Quartzite de Ramah	Quartzite de Ramah	Ramah	Quartzite	Quartzite	12	62, 93, 18	Enfumée	Cireuse		Inclusions minérales couleur rouille	Translucide	très fin	Non observé	Non observé	Oxydation		
204	204	EbCt-005	Betchouanes	Chert rhyolitique noir	Chert rhyolitique noir	Ch4	Chert	Chert	18		Tachetée, veinée	Cireuse		Phénocristaux	Translucide	Aphanitique	Gréseux	32	Oxydation	Présente des portions incolores. La couleur noire est le résultat de la présence d'amas de taches/marbrures noires dans une pâte incolore vitreuse. Possiblement qu'il s'agit d'une rhyolite ou encore d'un chert d'origine volcanique.	
205	205	EbCp-002.1	Piashti/Watshishou	Chert Mingan	Chert Mingan	ChMingan, Ch	Chert	Chert	31	23, 62, 192	Moutonné	Cireuse	Qz grenu, fossiles	Vacuoles	Translucide	Aphanitique	Gaine	31	Blanchissement léger	Moutonné et présente organisation concentrique de certaine variations de couleur	
206	206	EbCp-002.1	Piashti/Watshishou	Quartzite de Ramah	Quartzite de Ramah	QziteF1, QziteF2	Quartzite	Quartzite	12	62, 93, 18	Enfumée	Cireuse		Inclusions minérales couleur rouille	Translucide	très fin	Non observé	Non observé	Oxydation		
207	207	EbCp-002.1	Piashti/Watshishou	Quartzite EbCp	Quartzite EbCp	Qzite1, Qzite1c	Quartzite	Quartzite	12	22, 181	Homogène	rugueuse		Inclusions minérales foncées	Translucide	Moyenne	Plat ou surface de joint	14, 22		Présente parfois des portions plus grossière, grès quartzeux fin à grossier.	
208	208	EbCp-002.1	Piashti/Watshishou	Quartz hyalin avec inclusions brunes	Quartz hyalin avec inclusions brunes	QzH	Quartz	Quartz	10	00, 11, 12	Homogène	Vitreuse		Inclusions minérales foncées	Transparent	NA	Non observé	Non observé	Non observé	Présente un continuum entre un quartz vraiment laiteux homogène à un quartz hyalin très transparent, ce parfois sur une même pièce. Présente toujours les inclusions micacées de type biotite.	
209	209	EbCp-002.1	Piashti/Watshishou	Chert "La Romaine"	Shale alternance gris-beige/gris foncé	Ch2	Shale/chert	Chert	31-17		Laminée	Mate		Petites inclusions sphériques noires	Opaque	Aphanitique	Non observé	Non observé	Non observé		
210	210	EbCp-002.3	Piashti/Watshishou	Chert vert lustré	Chert olivâtre marbré		Chert	Chert	33	32, 214	Homogène, marbrée	Cireuse		Radiolaires et fins inclusions circulaires noires	Semi-translucide	Aphanitique	Gaine	34	Rougissem	Chauffé: la couleur bourgogne est pé causée par la chauffe du matériau. Si non très forte ressemblance avec le chert vert lustré	
211	211	EbCp-002.3	Piashti/Watshishou	Calcédoine bleutée	Chert bleu-vert lustré	Ch1, Ch1.1, Ch7	Chert	Chert	72		31	Marbrures, vaguelettes	Cireuse	Vacuoles , inclusions silicieuses circulaires incolores, onclusions circulaires blanches opaques	Translucide	Aphanitique	Non observé	Non observé	Non observé	Chert très vitreux, présente des portions plus opaques de couleur 31 et une gradation vers une portion plus viteuse de couleur 72. On pourrait effectuer un rapprochement entre ces portions bleutées et la calcédoine bleutée?	
212	212	EbCp-002.3	Piashti/Watshishou	Chert gris moutonné	Chert gris moutonné	Ch4, Ch4.1	Chert	Chert	14		23	Marbrée	Cireuse	Inclusions circulaires blanches opaques et incolores (silicieuses)	Semi-translucide	Aphanitique	Non observé	Non observé	Non observé	Variation de gris vers le brun, toujours les mêmes inclusions	
213	213	EbCp-002.3	Piashti/Watshishou	Chert brun caramel	Chert brun caramel	Ch3, Ch3.1, Ch10	Chert	Chert	24	183, 184	Homogène	Cireuse		Inclusions circulaires incolores	Translucide	Aphanitique	Plat	188	Non observé	Rapprochements avec chert noir rhyolitique	
214	214	EbCp-002.3	Piashti/Watshishou	Chert rhyolitique noir	Chert rhyolitique noir	Ch8	Chert	Chert	18		Tachetée, veinée	Cireuse		Phénocristaux	Translucide	Aphanitique	Gréseux	12, 13	Oxydation	Présence de la portion plus gaineuse de type grès/gneiss	
215	215	EbCp-002.3	Piashti/Watshishou	Rhyolite brune sphérulitique	Rhyolite brune sphérulitique	Ch9	Rhyolite	Rhyolite	184		24	Homogène, sphérulitiques	Mate	Phénocristaux	Semi-translucide	Aphanitique	Non observé	Non observé	Non observé	Seulement trois petits éclats...	
216	216	EbCp-002.3	Piashti/Watshishou	Chert gris-verdâtre (fosse Lab)	Chert gris-olivâtre	Ch2, Ch2.1, Ch6	Chert	Chert	172		161	Homogène, veinules	Cireuse	Radiolaires	Semi-translucide	Aphanitique	Non observé	Non observé	Non observé	Les "veinules" sont en fait de minces marbrures longiligne brunâtres dans une matrice verdâtre. Par endroits prend une texture de type sédimentaire mate/rugueuse non "laminé (Ch6)	
217	217	EbCp-002.3	Piashti/Watshishou	Chert Mauve	Chert mauve foncé	Rhy1	Chert	Chert	204		53		Cireuse	Très fins vacuoles, carbonates, inclusions silicieuses bleutées (calcédoine?)	Translucide	Aphanitique	Non observé	Non observé	Non observé	1 seul élément, rapprochement possible avec Biface de M.Napish. Le fait qu'il soit chauffé pourrait toutefois permettre de proposer un rapprochement avec le chert olivâtre marbré	
218	218	EbCp-002.3	Piashti/Watshishou	Argilite blanchâtre	Argilite	Ch5	Argilite/mudstone	Pélites	31		41	Homogène	Mate	Non observées	Opaque	Aphanitique	Non observé	Non observé	Non observé	Roche sédimentaire peu silicieuse. Friable.	
219	219	EbCp-002.3	Piashti/Watshishou	Silex?	Silex blond?	Silex	Silex	Silex	196		198	Homogène	Cireuse	Fossiles abondants	Non observées	Translucide	Aphanitique	Non observé	Non observé	Non observé	Possible silex blond
220	220	EbCp-002.3	Piashti/Watshishou	Quartzite Noui	Quartzite Noui	Qzite4	Quartzite	Quartzite	83			rugueuse		fins inclusions minérales foncées	Translucide	Moyenne	Non observé	Non observé	Non observé	Ressemble beaucoup au type Noui, mais un seul élément	
221	221	EbCp-002.3	Piashti/Watshishou	Quartzite de Blanc-Sablons	Quartzite rouge-orangée	Qzite5	Quartzite	Quartzite	207		219	Homogène	Mate	Quartz granuleux incolore	Translucide	Moyenne	Non observé	Non observé	Non observé	Ressemble au type Brador	
222	222	EbCp-002.3	Piashti/Watshishou	Quartzite de Ramah	Quartzite de Ramah	Ramah	Quartzite	Quartzite	12	62, 93, 18	Enfumée	Cireuse		Inclusions minérales couleur rouille	Translucide	très fin	Non observé	Non observé	Oxydation		
223	223	EbCp-002.3	Piashti/Watshishou	Quartzite EbCp	Quartzite EbCp	Qzite1, Qzite1.1, Qzite1.2	Quartzite	Quartzite	12	22, 181	Homogène	rugueuse		Inclusions minérales foncées	Translucide	Moyenne	Plat ou surface de joint	14, 22		Présente parfois des portions plus grossière, grès quartzeux fin à grossier.	

#	N	Site	Région	Matière simplifiée finale	Code matière régional	Code préliminaire	Matière	Type matériau	Couleur principale	Couleur secondaires	Structure	Texture	Inclusions principales	Inclusions détaillées	Transparence	Granulométrie	Cortex type	Cortex couleur	Altération	Remarques
224	224	EbCp-002.3	Piashti/Watshishou	Quartz hyalin avec inclusions brunes	Quartz hyalin avec inclusions brunes	Qz, QzH, QzH2, QzL	Quartz	Quartz	00		Homogène	Vitreuse		Inclusions minérales foncées	Transparent	NA	Non observé	Non observé	Non observé	
225	225	EbCp-002.3	Piashti/Watshishou	Chert Mingan	Chert Mingan	ChMingan	Chert	Chert	31	23, 62, 192	Moutonné	Cireuse	Qz grenu, fossiles	Vacuoles	Translucide	Aphanitique	Gaine	31	Blanchissement léger	Moutonné et présente organisation concentrique de certaine variations de couleur
226	226	EbCp-001	Piashti/Watshishou	Quartzite de Ramah	Quartzite de Ramah	Ramah	Quartzite	Quartzite	12	62, 93, 18	Enfumée	Cireuse		Inclusions minérales couleur rouille	Translucide	très fin	Non observé	Non observé	Oxydation	
227	227	EbCp-001	Piashti/Watshishou	Quartz hyalin avec inclusions brunes	Quartz hyalin avec inclusions brunes	Qzite1	Quartz	Quartz	00		Homogène	Vitreuse		Inclusions minérales foncées	Transparent	NA	Non observé	Non observé	Non observé	
228	228	EbCp-001	Piashti/Watshishou	Quartzite EbCp	Quartzite EbCp	Qzite2, Qzite3	Quartzite	Quartzite	12	22, 181	Homogène	rugueuse		Inclusions minérales foncées	Translucide	Moyenne	Plat ou surface de joint	14, 22		Présente parfois des portions plus grossière, grès quartzeux fin à grossier (Qzite2).
229	229	EbCp-001	Piashti/Watshishou	Quartz hyalin	Quartz hyalin	QzH	Quartz	Quartz	000	11	Homogène	Vitreuse		Non observées	Transparent	NA	Non observé	Non observé	Non observé	
230	230	EbCp-003	Piashti/Watshishou	Quartz hyalin avec inclusions brunes	Quartz hyalin avec inclusions brunes	Qzite1	Quartz	Quartz	00		Homogène	Vitreuse		Inclusions minérales foncées	Transparent	NA	Non observé	Non observé	Non observé	
231	231	EbCp-003	Piashti/Watshishou	Quartzite EbCp	Quartzite EbCp	Qzite4, Qzite5, Qzite6	Quartzite	Quartzite	12	22, 181	Homogène	rugueuse		Inclusions minérales foncées	Translucide	Moyenne	Plat ou surface de joint	14, 22	Non observé	Présente parfois des portions plus grossière, grès quartzeux fin à grossier (Qzite2).
232	232	EbCp-003	Piashti/Watshishou	Quartz hyalin	Quartz hyalin	QzH	Quartz	Quartz	000	11	Homogène	Vitreuse		Non observées	Transparent	NA	Non observé	Non observé	Non observé	
233	233	EbCp-004	Piashti/Watshishou	Quartz hyalin avec inclusions brunes	Quartz hyalin avec inclusions brunes	Qzite1, QzH	Quartz	Quartz	00		Homogène	Vitreuse		Inclusions minérales foncées	Transparent	NA	Non observé	Non observé	Non observé	
234	234	EbCp-004	Piashti/Watshishou	Quartzite EbCp	Quartzite EbCp	Qzite2, Qzite7	Quartzite	Quartzite	12	22, 181	Homogène	rugueuse		Inclusions minérales foncées	Translucide	Moyenne	Plat ou surface de joint	14, 22		Présente parfois des portions plus grossière, grès quartzeux fin à grossier (Qzite7).
235	235	EbCp-005	Piashti/Watshishou	Sandstone bleuté	Grès tendre bleuté	Grès	Grès	Pélites	81	83	Tacheté	rugueuse		Inclusions minérales	Opaque	fin	Non observé	Non observé	Non observé	
236	236	EbCp-005	Piashti/Watshishou	Chert gris-verdâtre (fosse Lab)	Chert gris-olivâtre	Ch2	Chert	Chert	172	161	Homogène, veinules	Cireuse		Radiolaires	Semi-translucide	Aphanitique	Non observé	Non observé	Non observé	
237	237	EbCp-005	Piashti/Watshishou	Chert Mingan	Chert Mingan	ChM, Ch6	Chert	Chert	31	23, 62, 192	Moutonné	Cireuse	Qz grenu, fossiles	Vacuoles	Translucide	Aphanitique	Gaine	31	Blanchissement léger	Moutonné et présente organisation concentrique de certaine variations de couleur
238	238	EbCp-005	Piashti/Watshishou	Quartz hyalin avec inclusions brunes	Quartz hyalin avec inclusions brunes	QzH	Quartz	Quartz	00		Homogène	Vitreuse		Inclusions minérales foncées	Transparent	NA	Non observé	Non observé	Non observé	
239	239	EbCp-005	Piashti/Watshishou	Silex?	Silex blond	Silex	Silex	Silex	196	198	Homogène	Cireuse	Fossiles abondants	Non observées	Translucide	Aphanitique	Non observé	Non observé	Non observé	Possible silex blond
240	240	EbCp-005	Piashti/Watshishou	Quartzite EbCp	Quartzite EbCp	Qzite1, Qzite2	Quartzite	Quartzite	12	22, 181	Homogène	rugueuse		Inclusions minérales foncées	Translucide	Moyenne	Plat ou surface de joint	14, 22	Non observé	
241	241	EbCp-005	Piashti/Watshishou	Chert brun carbonaté	Chert brun carbonaté	Ch5	Chert	Chert	183	184, 193, 194, 192, 191, 17, 14	Homogène, tachetée	Cireuse à mate		Inclusions siliceuses bleutées et blanches	Opaque	Aphanitique	Non observé	Non observé	Non observé	
242	242	EbCp-005	Piashti/Watshishou	Chert rhyolitique noir	Chert rhyolitique noir	Ch6b	Chert	Chert	18		Tachetée, veinée	Cireuse		Phénocristaux	Translucide	Aphanitique	Gréseux	32	Oxydation	Présente des portions incolores. La couleur noire est le résultat de la présence d'amas de taches/marbrures noires dans une pâte incolore vitreuse. Possiblement qu'il s'agit d'une rhyolite ou encore d'un chert d'origine volcanique.
243	243	EbCp-005	Piashti/Watshishou	Rhyolite mauve BJB	Rhyolite mauve BJB	Ch3, Ch4	Rhyolite	Rhyolite	112	101	Filigrée, bréchique, alignement	Vitreuse		Phénocristaux de Feldspath	Translucide	Aphanitique	Non observé	Non observé	Non observé	
244	244	EbCp-006	Piashti/Watshishou	Chert rhyolitique noir	Chert rhyolitique noir	Ch1	Chert	Chert	18		Tachetée, veinée	Cireuse		Phénocristaux	Translucide	Aphanitique	Gréseux	32	Oxydation	Présente des portions incolores. La couleur noire est le résultat de la présence d'amas de taches/marbrures noires dans une pâte incolore vitreuse. Possiblement qu'il s'agit d'une rhyolite ou encore d'un chert d'origine volcanique.
245	245	EbCp-006	Piashti/Watshishou	Quartz hyalin avec inclusions brunes	Quartz hyalin avec inclusions brunes	QzH	Quartz	Quartz	00		Homogène	Vitreuse		Inclusions minérales foncées	Transparent	NA	Non observé	Non observé	Non observé	

Suite à la page suivante

#	N	Site	Région	Matière simplifiée finale	Code matière régional	Code préliminaire	Matière	Type matériau	Couleur principale	Couleur secondaires	Structure	Texture	Inclusions principales	Inclusions détaillées	Transparence	Granulométrie	Cortex type	Cortex couleur	Altération	Remarques
246	246	EbCp-006	Piashti/Watshishou	Quartzite EbCp	Quartzite EbCp	Qzite1, Qzite1b, Qzite1c, Qzite2	Quartzite	Quartzite	12	22, 181	Homogène	rugueuse		Inclusions minérales foncées	Translucide	Moyenne	Galet	14	Non observé	Approvisionnement dans un dépôt secondaire (cortex de galet)
247	247	EbCq-001	Piashti/Watshishou	Quartzite Noui	Quartzite Noui	Qzite1, 1b, 1c, 1x, Qzite8	Quartzite	Quartzite	71	61, 72, 73	Homogène	Vitreuse		Inclusions minérales foncées	Translucide	Moyenne	Non observé	Non observé	Non observé	
248	248	EbCq-001	Piashti/Watshishou	Quartzite EbCp	Quartzite EbCp	Qzite2-6, Qzite1n	Quartzite	Quartzite	12	22, 181	Homogène	rugueuse		Inclusions minérales foncées	Translucide	Moyenne	Galet	14	Non observé	Approvisionnement dans un dépôt secondaire (cortex de galet)
249	249	EbCq-001	Piashti/Watshishou	Quartz hyalin avec inclusions brunes	Quartz hyalin avec inclusions brunes	QzH	Quartz	Quartz	00		Homogène	Vitreuse		Inclusions minérales foncées	Transparent	NA	Non observé	Non observé	Non observé	
250	250	EbCq-001	Piashti/Watshishou	Chert Mingan	Chert Mingan	ChM	Chert	Chert	192	193	Moutonné	Cireuse	Qz grenu, fossiles	Vacuoles	Translucide	Aphanitique	Gaine	31	Blanchissement léger	Variété brune marbré, moutonnée
251	251	EbCq-001	Piashti/Watshishou	Quartzite de Ramah	Quartzite de Ramah	Ramah	Quartzite	Quartzite	12	62, 93, 18	Enfumée	Cireuse		Inclusions minérales couleur rouille	Translucide	très fin	Non observé	Non observé	Oxydation	
252	252	EbCq-001	Piashti/Watshishou	Silex?	Silex anglais		Silex	Silex	16	15, 17	Homogène	Cireuse	Fossiles abondants	Inclusions blanches opaques, carbonates ?	Translucide	Aphanitique	Non observé	Non observé	Non observé	Présent dans l'outillage seulement
253	253	EbCq-001	Piashti/Watshishou	Calcédoine bleutée	Calcédoine bleutée	Ch2	Chert	Chert	72	83	Homogène	Cireuse	Radiolaires et carbonates	Inclusions circulaires silicieuses et masses blanches opaques	Translucide	Aphanitique	Non observé	Non observé	Non observé	
254	254	EbCq-001	Piashti/Watshishou	Chert rhyolitique noir	Chert rhyolitique noir	Ch3	Chert	Chert	18		Tachetée, veinée	Porphyritique	Phénocristaux	Quartz, minéraux ferreux, inclusions amorphes bleutées	Translucide	Aphanitique	Gréseux	32		La forte représentation de phénocristaux lui donne une texture porphyritique
255	255	EbCq-001	Piashti/Watshishou	Quartzite fin bleuté	Quartzite fin bleutée	Ch1	Quartzite	Quartzite			Homogène	Mate	Non observées	Non observées	Semi-translucide	fin	Galet	192	Non observé	Ressemble au quartzite de type Noui et Quartzite bleuté, mais beaucoup plus fin
256	256	EbCq-001	Piashti/Watshishou	Quartz hyalin enfumé	Quartz enfumé	QzE	Quartz	Quartz	12		Homogène	Vitreuse	Inclusions minérales rosées de type feldspathique	Inclusions minérales rosées de type feldspathique	Translucide-Transparent	NA	Gros amas de minéraux de type feldspathique (granitique).	Non observé	Non observé	La gaine ou cortex est typique des granites, feldspaths alcalins rosés, Qz.
257	257	EbCq-004	Piashti/Watshishou	Quartzite fin de Kégashka	Quartzite fin de Kégashka de type 1	Qzite4	Quartzite	Quartzite	000	31	Homogène	Cireuse	inclusions minérales disséminées	Inclusions minérales jaunâtres/orangées	Translucide	Aphanitique	Non observé	Non observé	Non observé	Présente des inclusions minérales qui forment des "mouchetures"
258	258	EbCq-004	Piashti/Watshishou	Rhyolite bleutée	Rhyolite bleutée	Ch1	Rhyolite	Rhyolite	62	83, 11	Tachetée	Cireuse	Vacuoles, carbonates, minéraux foncés oxydés	Vacuoles, feldspath, minéraux foncés oxydés	Translucide	Aphanitique	Non observé	Non observé	Non observé	Rhyolite, possible rapprochement avec quartzite fin de Kégashka, particulièrement le type 1
259	259	EbCq-004	Piashti/Watshishou	Chert brun carbonaté	Chert brun carbonaté	Ch3	Chert	Chert	183	184, 193, 194, 192, 191, 17, 14	Homogène, tachetée	Cireuse à mate	Inclusions silicieuses bleutées et blanches	Inclusions silicieuses bleutées et blanches	Opaque	Aphanitique	Non observé	Non observé	Non observé	De couleur très variable, de gris à brun très foncé. L'altération pourrait être responsable de cette gradation (?). Présente aussi des portions de couleur crème (191) qui semblent appartenir à une gaine ou encore aux portions plus périphériques
260	260	EbCq-004	Piashti/Watshishou	Quartzite de Ramah	Quartzite de Ramah	Ramah	Quartzite	Quartzite	12	62, 93, 18	Enfumée	Cireuse	Inclusions minérales couleur rouille	Pyrite	Translucide	très fin	Non observé	Non observé	Oxydation	
261	261	EbCq-004	Piashti/Watshishou	Quartz hyalin	Quartz hyalin	QzH	Quartz	Quartz	000	11	Homogène	Vitreuse	Non observées	Non observées	Transparent	NA	Non observé	Non observé	Non observé	Par endroits présente des inclusions brunâtres de type micacées
262	262	EbCq-004	Piashti/Watshishou	Quartzite EbCp	Quartzite EbCp	Qzite1, Qzite2, Qzite3	Quartzite	Quartzite	12	22, 181	Homogène	rugueuse	Inclusions minérales foncées	Inclusions minérales foncées de couleur brune (183).	Translucide	Moyenne	Galet	14	Non observé	
263	263	EbCq-007	Piashti/Watshishou	Quartzite EbCp	Quartzite blanc avec inclusions minérales brunes	Qzite3	Quartzite	Quartzite	11	62	Tachetée	rugueuse	Inclusions minérales foncées	Inclusions minérales brunes (épidote?)	Semi-translucide	Moyenne	Non observé	Non observé	Non observé	
264	264	EbCq-007	Piashti/Watshishou	Quartz hyalin rosé	Quartz hyalin rosé	QzH	Quartz	Quartz	000	218, 11	Homogène	Vitreuse	Non observées	Non observées	Transparent	NA	Non observé	Non observé	Non observé	
265	265	EbCq-007	Piashti/Watshishou	Quartzite de Ramah	Quartzite de Ramah	Ramah	Quartzite	Quartzite	12	62, 93, 18	Enfumée	Cireuse	Inclusions minérales couleur rouille	Pyrite	Translucide	très fin	Non observé	Non observé	Oxydation	
266	266	EbCq-007	Piashti/Watshishou	Chert Mingan	Chert Mingan	ChM, Ch3	Chert	Chert	31	23, 62, 192	Moutonné	Cireuse	Qz grenu, fossiles	Vacuoles	Translucide	Aphanitique	Gaine	31	Blanchissement léger	Moutonné et présente organisation concentrique de certaine variations de couleur
267	267	EbCq-007	Piashti/Watshishou	Calcédoine bleutée	Chert bleu-vert lustré	Ch1, Ch4, Ch5	Chert	Chert	72	31	Marbrures, vaguelettes	Cireuse	Vacuoles , inclusions silicieuses circulaires incolores, onclusions circulaires blanches opaques	Vacuoles , inclusions silicieuses circulaires incolores, onclusions circulaires blanches opaques	Translucide	Aphanitique	Non observé	Non observé	Non observé	Chert très vitreux, présente des portions plus opaques de couleur 31 et une gradation vers une portion plus vitreuse de couleur 72. On pourrait effectuer un rapprochement entre ces portions bleutées et la calcédoine bleutée?
268	268	EbCq-007	Piashti/Watshishou	Chert rhyolitique noir	Chert rhyolitique noir	Ch2	Chert	Chert	18		Tachetée, veinée	Porphyritique	Phénocristaux	Quartz, minéraux ferreux, inclusions amorphes bleutées	Translucide	Aphanitique	Gréseux	32		La forte représentation de phénocristaux lui donne une texture porphyritique

#	N	Site	Région	Matière simplifiée finale	Code matière régional	Code préliminaire	Matière	Type matériau	Couleur principale	Couleur secondaires	Structure	Texture	Inclusions principales	Inclusions détaillées	Transparence	Granulométrie	Cortex type	Cortex couleur	Altération	Remarques
269	269	EbCq-008	Piashti/Watshishou	Calcedoine bleutée	Chert bleu-vert lustré	Ch1	Chert	Chert	72	31	Marbrures, vaugelettes	Cireuse	Vacuoles , inclusions silicieuses circulaires incolores, onclusions circulaires blanches opaques	Vacuoles , inclusions silicieuses circulaires incolores, onclusions circulaires blanches opaques	Translucide	Aphanitique	Non observé	Non observé	Non observé	Chert très vitreux, présente des portions plus opaques de couleur 31 et une gradation vers une portion plus viteurse de couleur 72. On pourrait effectuer un rapprochement entre ces portions bleutées et la calcedoine bleutée?
270	270	EbCq-008	Piashti/Watshishou	Quartzite EbCp	Quartzite EbCp	Qzite1, Qzite2	Quartzite	Quartzite	12	22, 181	Homogène	Vitreuse	Inclusions minérales foncées	Inclusions minérales foncées de couleur brune (183).	Translucide	Moyenne	Galet	14	Non observé	Variété de bonne qualité, très vitreuse
271	271	EbCr-002	Piashti/Watshishou	Quartz hyalin avec inclusions brunes	Quartz hyalin avec inclusions brunes	QzH	Quartz	Quartz	00		Homogène	Vitreuse	Inclusions minérales foncées	Inclusions minérales bun es de type micacées; biotite?	Transparent	NA	Non observé	Non observé	Non observé	
272	272	EbCr-002	Piashti/Watshishou	Quartzite EbCp	Quartzite EbCp	Qzite1	Quartzite	Quartzite	12	22, 181	Homogène	rugueuse	Inclusions minérales foncées	Inclusions minérales foncées de couleur brune (183).	Translucide	Moyenne	Galet	14	Non observé	Présente parfois des portions plus grossière, grès quartzeux fin à grossier.
273	273	EbCs-012	Betchouanes	Mudstone gris marbré	Mudstone gris mat	Ch2	Mudstone/chert	Pélites	32		Homogène	rugueuse	Inclusions minérales, qz	Inclusions minérales, qz	Opaque	Aphanitique	Non observé	Non observé	Non observé	Pierre peu silicieuse
274	274	EbCs-012	Betchouanes	Chert vert lustré	Chert olivâtre filigranné	Ch3	Chert	Chert	43	132	Homogène	Filigranné	Inclusions minérales, structures circulaires silicieuses incolores	Inclusions minérales micacées au reflet métallique argenté, structures circulaires silicieuses incolores	Translucide	Aphanitique	Galet	192	Non observé	
275	275	EbCs-012	Betchouanes	Quartz hyalin avec inclusions brunes	Quartz hyalin avec inclusions brunes	QzH	Quartz	Quartz	00		Homogène	Vitreuse	Inclusions minérales foncées	Inclusions minérales bun es de type micacées; biotite?	Transparent	NA	Non observé	Non observé	Non observé	
276	276	EbCs-012	Betchouanes	Chert Mingan	Chert Mingan	Ch1, Ch1b	Chert	Chert	192	193	Moutonné	Cireuse	Qz grenu, fossiles	Vacuoles	Translucide	Aphanitique	Gaine	31	Blanchissement léger	Variété brune marbré, moutonnée
277	277	EbCs-012	Betchouanes	Quartzite de Ramah	Quartzite de Ramah	Ramah	Quartzite	Quartzite	12	62, 93, 18	Enfumée	Cireuse	Inclusions minérales couleur rouille	Pyrite	Translucide	très fin	Non observé	Non observé	Oxydation	
278	278	EbCs-012	Betchouanes	Quartzite EbCp	Quartzite EbCp	Qzite1	Quartzite	Quartzite	12	22, 181	Homogène	rugueuse	Inclusions minérales foncées	Inclusions minérales foncées de couleur brune (183).	Translucide	Moyenne	Galet	14	Non observé	Présente parfois des portions plus grossière, grès quartzeux fin à grossier.
279	279	EbCs-012	Betchouanes	Quartz hyalin	Quartz hyalin	Qz	Quartz	Quartz	000	11	Homogène	Vitreuse	Non observées	Non observées	Transparent	NA	Non observé	Non observé	Non observé	
280	280	EbCs-012	Betchouanes	Chert "La Romaine"	Shale alternance gris-beige/gris foncé		Shale/chert	Chert	31-17		Laminée	Mate	Petites inclusions sphériques noires	Petites inclusions noires (pellets) peu abondante	Opaque	Aphanitique	Non observé	Non observé	Non observé	
281	281	EbCs-015	Betchouanes	Chert gris moutonné	Chert gris moutonné	Ch3	Chert	Chert	14	62	Marbrée	Cireuse	Inclusions circulaires blanches opaques et incolores (silicieuses)	Radioalires et fossiles très abondants	Semi-translucide	Aphanitique	Non observé	Non observé	Non observé	Peut ressembler au chert Onondaga de la région des Grands-Lacs
282	282	EbCs-015	Betchouanes	Chert marbré gris-beige-mauve	Chert marbré gris-beige-mauve	Ch2, Ch2b	Chert	Chert	31	22, 203, 213	Moutonnée et vacuolaire	Cireuse à vitreuse	Vacuoles sous formes cristallines	Vacuoles sous formes cristallines	Opaque, très faiblement translucide	Aphanitique	Non observé	Non observé	Blanchit	
283	283	EbCs-015	Betchouanes	Chert Mingan	Chert Mingan	Ch1, Ch1b, Ch	Chert	Chert	31	23, 62, 192	Moutonné	Cireuse	Qz grenu, fossiles	Vacuoles	Translucide	Aphanitique	Gaine	31	Blanchissement léger	Moutonné et présente organisation concentrique de certainse variations de couleur
284	284	EbCs-015	Betchouanes	Quartzite de Ramah	Quartzite de Ramah	Ramah	Quartzite	Quartzite	12	62, 93, 18	Enfumée	Cireuse	Inclusions minérales couleur rouille	Pyrite	Translucide	très fin	Non observé	Non observé	Oxydation	
285	285	EbCs-015	Betchouanes	Quartzite EbCp	Quartzite EbCp	Qzite1, Qzite2, Qz2	Quartzite	Quartzite	12	22, 181	Homogène	rugueuse	Inclusions minérales foncées	Inclusions minérales foncées de couleur brune (183).	Translucide	Moyenne	Galet	14	Non observé	Présente parfois des portions plus grossière, grès quartzeux fin à grossier.
286	286	EbCs-015	Betchouanes	Quartz hyalin avec inclusions brunes	Quartz hyalin avec inclusions brunes	Qz1	Quartz	Quartz	00		Homogène	Vitreuse	Inclusions minérales foncées	Inclusions minérales bun es de type micacées; biotite?	Transparent	NA	Non observé	Non observé	Non observé	
287	287	EbCn-001	Aguanish	Quartzite de Blanc-Sablons	Quartzite fin orangée	Qzite2	Quartzite	Quartzite	186	219	Marbrée	Cireuse	Inclusions minérales rouges-orangées	Inclusions minérales rouges-orangées	Translucide	très fin	Non observé	Non observé	Non observé	
288	288	EbCn-001	Aguanish	Chert noir carbonaté	Chert arc-en-ciel	Ch2, Ch2b	Chert	Chert	166	161, 164, 163, 165, 166, 171	Homogène	Cireuse	Non observées	Non observées	Opaque	Aphanitique	Non observé	Non observé	Perte de couleur	Couleur très variable en fonction de la distance à la surface extérieure. En cassure fraîche il est plutôt foncé (166) et en surface exposée il est plus clair.
289	289	EbCn-001	Aguanish	Chert noir carbonaté	Chert noir carbonaté de type 2	Ch6	Chert	Chert	193	192, 24, 18	Marbrée	Cireuse	Inclusions circulaires blanches opaques et vacuoles	Inclusions circulaires blanches opaques et vacuoles	Semi-Translucide	Aphanitique	Gaine	Non observé	32, 13	Chert don't la portion extérieures semble caractérisé par la présence d'une gaine ou zone de transition. La portion plus cherteuse et homogène est noire (voir chert noir carbonaté)
290	290	EbCn-001	Aguanish	Mudstone gris marbré	Pélite grise vacuolaire	Ch5	Mudstone/chert	Pélites	31	33	Marbrée	Cireuse	Inclusions circulaires blanches opaques, inclusions silicieuses circulaires incolores	Inclusions circulaires blanches opaques, inclusions silicieuses circulaires incolores	Opaque	Aphanitique	Non observé	Non observé	Non observé	Possible association avec Chert vert/gris marbré ou encore Mudstone gris marbré Riv-T
291	291	EbCn-001	Aguanish	Chert gris-verdâtre (fosse Lab)	Chert vert/gris marbré	Ch7	Chert	Chert	162	33	Marbrée	Cireuse	Inclusions fins circulaires noires	Inclusions fins circulaires noires (pellets?)	Opaque	Aphanitique	Non observé	Non observé	Non observé	Lien avec pélite grise vacuolaire?

Suite à la page suivante

#	N	Site	Région	Matière simplifiée finale	Code matière régional	Code préliminaire	Matière	Type matériau	Couleur principale	Couleur secondaires	Structure	Texture	Inclusions principales	Inclusions détaillées	Transparence	Granulométrie	Cortex type	Cortex couleur	Altération	Remarques
292	292	EbCn-001	Aguanish	Chert veiné bleu-vert-orangé	Chert veiné bleu-vert-orangé		Chert	Chert	43	63, 189	Marbrée, filigranée	Cireuse	Carbonates	Carbonates	Translucide	Aphanitique	Non observé	Non observé	Non observé	Chert lustré très silicieu, matière très distinctive
293	293	EbCn-001	Aguanish	Chert noir carbonaté	Chert noir carbonaté		Chert	Chert	17	18	Tacheté	Cireuse	Carbonates	Carbonates	Semi-translucide	Aphanitique	type gaine ou zone de transition voir type 2 et chert vert arc-en-ciel	Non observé	Non observé	Portion homogène de chert noir carbonaté de type 2 et lien avec chert arc-en-ciel confirmé
294	294	EbCn-001	Aguanish	Rhyolite mauve BJB	Rhyolite mauve BJB	Ch8	Rhyolite	Rhyolite	112	101	Filigrée, bréchique, alignement	Vitreuse	Phénocristaux de Feldspath	Phénocristaux de Feldspath (41) (20%)	Translucide	Aphanitique	Non observé	Non observé	Non observé	
295	295	EbCn-001	Aguanish	Quartz hyalin	Quartz hyalin	Quartz	Quartz	Quartz	000	11	Homogène	Vitreuse	Non observées	Non observées	Transparent	NA	Non observé	Non observé	Non observé	
296	296	EbCn-001	Aguanish	Quartzite EbCp	Quartzite EbCp	Qzite1	Quartzite	Quartzite	12	22, 181	Homogène	rugueuse	Inclusions minérales foncées	Inclusions minérales foncées de couleur brune (183).	Translucide	Moyenne	Plat ou surface de joint	14, 22		
297	297	EbCn-001	Aguanish	Chert Mingan	Chert Mingan	Ch1, Ch1b, Ch3, Ch4, Ch4b)	Chert	Chert	192	193	Moutonné	Cireuse	Qz grenu, fossiles	Vacuoles	Translucide	Aphanitique	Gaine	31	Blanchissement léger	Variété brune marbré, moutonnée
298	298	EbCn-001	Aguanish	Quartz hyalin avec inclusions brunes	Quartz hyalin avec inclusions brunes	QzH	Quartz	Quartz	00		Homogène	Vitreuse	Inclusions minérales foncées	Inclusions minérales bunes de type micacées; biotite?	Transparent	NA	Non observé	Non observé	Non observé	
299	299	EbCn-003	Aguanish	Chert gris mat	Chert gris mat	Ch4, Ch2, Ch2b	Chert	Chert			Homogène	Mate	Inclusions minérales foncées	Inclusions minérales disséminées noires	Semi-Trans	Très fin	Non observé	Non observé	Non observé	Texture sédimentaire. Possible lien avec mudston et pélite de EbCn-001
300	300	EbCn-003	Aguanish	Chert "La Romaine"	Shale alternance gris-beige/gris foncé	Ch1	Shale/chert	Chert	31-17		Laminée	Mate	Petites inclusions sphériques noires	Petites inclusions noires (pellets) peu abondante	Opaque	Aphanitique	Non observé	Non observé	Non observé	Variante plus silicieuse
301	301	EbCn-003	Aguanish	Quartzite fin de Kégashka	Rhyolite grise translucide	Qzite5	Quartzite	Quartzite	12	13, 82	Homogène	Vitreuse	Phénocristaux	Phénocristaux de feldspath rosés, minéraux foncés rouge-noirs	Translucide	Aphanitique	Non observé	Non observé	Non observé	Lien avec les quartzites fins de Kégashka?
302	302	EbCn-003	Aguanish	Quartzite blanc	Quartzite blanc	Qzite2	Quartzite	Quartzite	10	31	Homogène	Vitreuse	Phénocristaux de Qz et inclusions minérales micacées au reflet métallique	Phénocristaux de Qz et inclusions minérales micacées au reflet métallique	Semi-Translucie	Moyenne	Non observé	Non observé	Non observé	
303	303	EbCn-003	Aguanish	Quartz hyalin	Quartz hyalin	QzH	Quartz	Quartz	000	11	Homogène	Vitreuse	Non observées	Non observées	Transparent	NA	Non observé	Non observé	Non observé	
304	304	EbCn-003	Aguanish	Quartz hyalin	Quartz hyalin rosé	Qz	Quartz	Quartz	000	218, 11	Homogène	Vitreuse	Non observées	Non observées	Transparent	NA	Non observé	Non observé	Non observé	
305	305	EbCn-003	Aguanish	Quartzite EbCp	Quartzite EbCp	Qzite3, Qzite4	Quartzite	Quartzite	12	22, 181	Homogène	rugueuse	Inclusions minérales foncées	Inclusions minérales foncées de couleur brune (183).	Translucide	Moyenne	Galet	14	Non observé	Présente parfois des portions plus grossière, grès quartzeux fin à grossier.
306	306	EbCn-003	Aguanish	Rhyolite bleutée	Rhyolite bleutée	Qzite1	Rhyolite	Rhyolite	62	83, 11	Tachetée	Cireuse	Vacuoles, carbonates, minéraux foncés oxydés	Vacuoles, feldspath, minéraux foncés oxydés	Translucide	Aphanitique	Non observé	Non observé	Non observé	Prend ici une teinte plus grisâtre et une texture plus vitreuse et plus translucide. Se rapproche du quartzite de Ramah. Possible rapprochement avec quartzite fin de kégashka, particulièrement le type 1
307	307	EbCn-003	Aguanish	Chert marbré gris-beige-mauve	Chert marbré gris-beige-mauve		Chert	Chert	31	22, 203, 213	Moutonnée et vacuolaire	Cireuse à vitreuse	Vacuoles sous formes cristallines	Vacuoles sous formes cristallines	Opaque, très faiblement translucide	Aphanitique	Non observé	Non observé		Présente un reflet légèrement vitreux, les marbrures prennent par endroit l'allures de rubannement (flow pattern). Il pourrait s'agir d'une rhyolite; phénocristaux et flow pattern + reflect vitreux.
308	308	EbCn-005	Aguanish	Quartz hyalin	Quartz hyalin	Quartz	Quartz	Quartz	000	11	Homogène	Vitreuse	Non observées	Non observées	Transparent	NA	Non observé	Non observé	Non observé	
309	309	EbCn-005	Aguanish	Quartzite EbCp	Quartzite EbCp	Qzite2	Quartzite	Quartzite	12	22, 181	Homogène	rugueuse	Inclusions minérales foncées	Inclusions minérales foncées de couleur brune (183).	Translucide	Moyenne	Plat ou surface de joint	14, 22		teintes gris-rosé prédominantes
310	310	EbCn-006	Aguanish	Quartz hyalin	Quartz hyalin	QzH	Quartz	Quartz	000	11	Homogène	Vitreuse	Non observées	Non observées	Transparent	NA	Non observé	Non observé	Non observé	
311	311	EbCn-006	Aguanish	Quartzite EbCp	Quartzite EbCp	Qzite1	Quartzite	Quartzite	12	22, 181	Homogène	rugueuse	Inclusions minérales foncées	Inclusions minérales foncées de couleur brune (183).	Translucide	Moyenne	Plat ou surface de joint	14, 22		
312	312	EbCn-006	Aguanish	Chert Mingan	Chert Mingan	ChM	Chert	Chert	192	193	Moutonné	Cireuse	Qz grenu, fossiles	Vacuoles	Translucide	Aphanitique	Gaine	31	Blanchissement léger	Variété brune marbré, moutonnée
313	313	EbCn-009	Aguanish	Quartzite EbCp	Quartzite EbCp	Qzite1, Qzite2	Quartzite	Quartzite	12	22, 181	Veiné de qz parfois, parfois enfumé	rugueuse	Inclusions minérales foncées	Minéraux noirs fins , minéraux bruns en feuilles	Translucide	Moyenne	Plat ou surface de joint	14, 22		Un seul type passe de Séd à vitreux. Bon exemple typique de la variabilité de ce quartzite et établit qu'il s'agit effectivement d'un seul type de matériau
314	314	EbCn-015	Aguanish	Quartz hyalin	Quartz hyalin	QzH	Quartz	Quartz	000	11	Homogène	Vitreuse	Non observées	Non observées	Transparent	NA	Non observé	Non observé	Non observé	

Suite à la page suivante

#	N	Site	Région	Matière simplifiée finale	Code matière régional	Code préliminaire	Matière	Type matériau	Couleur principale	Couleur secondaires	Structure	Texture	Inclusions principales	Inclusions détaillées	Transparence	Granulométrie	Cortex type	Cortex couleur	Altération	Remarques
315	315	EbCn-015	Aguanish	Quartzite EbCp	Quartzite EbCp	Qzite1, Qzite1b	Quartzite	Quartzite	12	22, 181	Homogène	rugueuse	Inclusions minérales foncées	Inclusions minérales foncées de couleur brune (183).	Translucide	Moyenne	Plat ou surface de joint	14, 22		
316	316	EbCm-002	Aguanish	Quartzite EbCp	Quartzite EbCp	Qzite2	Quartzite	Quartzite	12	22, 181	Homogène	rugueuse	Inclusions minérales foncées	Inclusions minérales foncées de couleur brune (183).	Translucide	Moyenne	Plat ou surface de joint	14, 22		
317	317	EbCm-002	Aguanish	Quartzite Noui	Quartzite Noui	Qzite1	Quartzite	Quartzite	71	61, 72, 73	Homogène	Vitreuse	Inclusions minérales foncées	Inclusions minérales verdâtres (3-5%): muscovite?	Translucide	Moyenne	Plat	164	Non observé	Quartzite Massif
318	318	EbCm-005	Aguanish	Quartzite EbCp	Quartzite EbCp	Qzite1	Quartzite	Quartzite	12	22, 181	Homogène	rugueuse	Inclusions minérales foncées	Inclusions minérales foncées de couleur brune (183).	Translucide	Moyenne	Plat ou surface de joint	14, 22		
319	319	EbCm-005	Aguanish	Quartzite Noui	Quartzite Noui	Qzite2	Quartzite	Quartzite	71	61, 72, 73	Homogène	Vitreuse	Inclusions minérales foncées	Inclusions minérales verdâtres (3-5%): muscovite?	Translucide	Moyenne	Plat	164	Non observé	Quartzite Massif
320	320	EbCj-001	Aguanish	Chert Mingan	Chert Mingan	ChM	Chert	Chert	192	193	Moutonné	Cireuse	Qz grenu, fossiles	Vacuoles	Translucide	Aphanitique	Gaine	31	Blanchissement léger	Variété brune marbré, moutonnée
321	321	EbCi-002	Kégashka	Quartzite fin de Kégashka	Quartzite fin de Kégashka	Qzite1-1b	Quartzite	Quartzite	000	10	Homogène	Cireuse	Très rares inclusions minérales noires	Très rares inclusions minérales noires	Translucide	Très fin	Non observé	Non observé	Non observé	Quartzite très fin limpide, forme un continuum avec qzite 1b qui présente plus d'inclusions de bonne dimension de type feldspathiques (31-191)
322	322	EbCi-002	Kégashka	Quartzite fin de Kégashka	Quartzite fin de Kégashka de type 1	Qz1, Qzite2, Qzite2b	Quartzite	Quartzite	000	31	Homogène	Cireuse	inclusions minérales avec alignement préférentiel	Inclusions minérales foncées ("directionelles"), inclusions micacées au reflet métallique	Translucide	Aphanitique	Non observé	Non observé	Non observé	Présente des inclusions minérales qui témoignent d'un certain alignement, allongement
323	323	EbCi-002	Kégashka	Quartzite fin de Kégashka	Quartzite fin de Kégashka de type 2	Qzite3	Quartzite	Quartzite	11	207, 204	Tachetée	Cireuse	Inclusions minérales foncées	Inclusions minérales foncées de couleur bourgogne et orange foncé disséminées dans une matrice incolore	Translucide	Aphanitique	Non observé	Non observé	Oxydation	Pourrait s'agir d'une rhyolite comme les inclusions minérales pourraient être interprétées comme de phénocristaux. De plus, le caractère alignées de celles ci pourrait le suggérer.
324	324	EbCi-002	Kégashka	Quartzite de Ramah	Quartzite de Ramah	Ramah	Quartzite	Quartzite	12	62, 93, 18	Enfumée	Cireuse	Inclusions minérales couleur rouille	Pyrite	Translucide	très fin	Non observé	Non observé	Oxydation	
325	325	EbCi-002	Kégashka	Quartz hyalin	Quartz hyalin	Qz1b, QzH	Quartz	Quartz	000	11	Homogène	Vitreuse	Non observées	Non observées	Transparent	NA	Non observé	Non observé	Non observé	
326	326	EbCi-005	Kégashka	Quartzite fin de Kégashka	Quartzite fin de Kégashka	Qzite1-1b	Quartzite	Quartzite	000	10	Homogène	Cireuse	Très rares inclusions minérales noires	Très rares inclusions minérales noires	Translucide	Très fin	Non observé	Non observé	Non observé	Quartzite très fin limpide, forme un continuum avec qzite 1b qui présente plus d'inclusions de bonne dimension de type feldspathiques (31-191)
327	327	EbCi-005	Kégashka	Quartzite fin de Kégashka	Quartzite fin de Kégashka de type 1	Qzite1c	Quartzite	Quartzite	000	31	Homogène	Cireuse	inclusions minérales avec alignement préférentiel	Inclusions minérales foncées ("directionelles"), inclusions micacées au reflet métallique	Translucide	Aphanitique	Non observé	Non observé	Non observé	Présente des inclusions minérales qui témoignent d'un certain alignement, allongement
328	328	EbCi-005	Kégashka	Quartzite fin de Kégashka	Quartzite fin de Kégashka de type 2	Qzite1d	Quartzite	Quartzite	11	207, 204, 213, 63	Tachetée	Cireuse	Inclusions minérales foncées	Inclusions minérales foncées de couleur bourgogne et orange foncé disséminées dans une matrice incolore	Translucide	Aphanitique	Non observé	Non observé	Oxydation	Pourrait s'agir d'une rhyolite comme les inclusions minérales pourraient être interprétées comme de phénocristaux. De plus, le caractère alignées de celles ci pourrait le suggérer.
329	329	EbCi-005	Kégashka	Quartz hyalin	Quartz hyalin	Qz1, Qz1b	Quartz	Quartz	000	11	Homogène	Vitreuse	Non observées	Non observées	Transparent	NA	Non observé	Non observé	Non observé	
330	330	EbCi-005	Kégashka	Quartzite blanc enfumé	Quartzite blanc enfumé	Qzite2	Quartzite	Quartzite	000	191, 192	Homogène	Vitreuse	Rares inclusions minérales noires		Translucide	Moyenne	Non observé	Non observé	Non observé	Quartzite essentiellement incolore, légèrement enfumée. Pourrait être assimilable au type EbCp
331	331	EbCi-007	Kégashka	Chert Mauve	Chert bleu-mauve veiné	Ch1x	Chert	Chert	7	212	Homogène, laminations	Cireuse	Mince rubannement de Qz et inclusions minérales foncées	Mince rubannement de Qz et inclusions minérales foncées (vert-noir)	Translucide	Aphanitique	Non observé	Non observé	Non observé	Texture cireuse, légèrement vitreuse au binoculaire. 1 seul élément, lien avec chert mauve?
332	332	EbCi-007	Kégashka	Chert Mauve	Chert Mauve	Ch1	Chert	Chert	5RP 2/2 (entre 113 et 114)	214	Homogène	Cireuse	Rares inclusions de Qz	Rares inclusions de Qz formant des petites masses	Translucide	Aphanitique	Non observé	Non observé	Non observé	Le chert mauve du biface de M.Napish de Mingan. Possible continuité avec Ch1b
333	333	EbCi-007	Kégashka	Chert Mauve	Chert Brun-mauve	Ch1b	Chert	Chert	Mélange de 23 et 214		Homogène	Cireuse	Cristaux de qz et rares inclusions foncées disséminées	Cristaux de qz et rares inclusions foncées disséminées	Translucide	Aphanitique	Non observé	Non observé	Non observé	Lien avec Chert Mauve presque assuré
334	334	EbCi-007	Kégashka	Chert Mauve	Chert vert-noir laminé	Ch1b2	Chert	Chert	23	23, 53	Laminée	Cireuse	Cristaux de qz et rares inclusions foncées disséminées	Cristaux de qz et rares inclusions foncées disséminées	Translucide	Aphanitique	Non observé	Non observé	Non observé	Lien avec Ch1b et chert mauve suggéré, particulièrement avec le chert1b.
335	335	EbCi-007	Kégashka	Chert marbré gris-beige-mauve	Chert gris-beige-mauve laminé	Ch2, Ch2b, Ch3	Chert	Chert	22	212, 63	Laminée	Mate	Laminations quartzeuses et inclusions minérales noires disséminées, vacuoles quadragulaires	Laminations quartzeuses et inclusions minérales noires disséminées, vacuoles quadragulaires	Semi-translucide	Aphanitique	Non observé	Non observé	Non observé	Lien avec chert marbré gris-beige-mauve?
336	336	EbCi-007	Kégashka	Quartzite EbCp	Quartzite EbCp	Qzite1, Qzite1b	Quartzite	Quartzite	12	22, 181	Homogène	rugueuse	Inclusions minérales foncées	Inclusions minérales foncées de couleur brune (183).	Translucide	Moyenne	Plat ou surface de joint	14, 22		
337	337	EbCi-007	Kégashka	Chert marbré gris-beige-mauve	Chert marbré gris-beige-mauve		Chert	Chert	31	22, 203, 213	Moutonnée et vacuolaire	Cireuse à vitreuse	Vacuoles sous formes cristallines	Vacuoles sous formes cristallines	Opaque, très faiblement translucide	Aphanitique	Non observé	Non observé		Présente un reflet légèrement vitreux, les marbrures prennent par endroit l'allures de rubannement (flow pattern). Il pourrait s'agir d'une rhyolite; phénocristaux et flow pattern + reflect vitreux.

Suite à la page suivante

#	N	Site	Région	Matière simplifiée finale	Code matière régional	Code préliminaire	Matière	Type matériau	Couleur principale	Couleur secondaires	Structure	Texture	Inclusions principales	Inclusions détaillées	Transparence	Granulométrie	Cortex type	Cortex couleur	Altération	Remarques
338	338	EbCi-007	Kégashka	Quartzite de Ramah	Quartzite de Ramah	Ramah	Quartzite	Quartzite	12	62, 93, 18	Enfumée	Cireuse	Inclusions minérales couleur rouille	Pyrite	Translucide	très fin	Non observé	Non observé	Oxydation	
339	339	EbCi-007	Kégashka	Quartz hyalin	Quartz hyalin	Qz1	Quartz	Quartz	000	11	Homogène	Vitreuse	Non observées	Non observées	Transparent	NA	Non observé	Non observé	Non observé	
340	340	EbCi-008	Kégashka	Chert Mauve	Chert Mauve	Ch1	Chert	Chert	5RP 2/2 (entre 113 et 114)	214	Homogène, présente un rubannement	Cireuse	Rares inclusions de Qz	Rares inclusions de Qz formant des petites masses	Translucide	Aphanitique	Non observé	Non observé	Non observé	Le chert mauve du biface de M.Napish de Mingan. Possible continuité avec Ch1b
341	341	EbCi-008	Kégashka	Chert Mauve	Chert vert-noir laminé	Ch2	Chert	Chert	23	23, 53	Laminée	Cireuse	Cristaux de qz et rares inclusions foncées disséminées	Cristaux de qz et rares inclusions foncées disséminées	Translucide	Aphanitique	Non observé	Non observé	Non observé	
342	342	EbCi-008	Kégashka	Calcédoine jaune	Calcédoine jaune	Ch3	Chert	Chert	195	192	Homogène	Cireuse	Inclusions blanchâtres opaques aciculaires	Inclusions blanchâtres opaques aciculaires	Translucide	Aphanitique	Non observé	Non observé	Non observé	1 seul élément
343	343	EbCi-008	Kégashka	Quartz hyalin	Quartz hyalin	QzH	Quartz	Quartz	000	11	Homogène	Vitreuse	Non observées	Non observées	Transparent	NA	Non observé	Non observé	Non observé	
344	344	EbCi-008	Kégashka	Chert Mauve	Chert Brun-mauve	Ch1b	Chert	Chert	Mélange de 23 et 214		Homogène	Cireuse	Cristaux de qz et rares inclusions foncées disséminées	Cristaux de qz et rares inclusions foncées disséminées	Translucide	Aphanitique	Non observé	Non observé	Non observé	Lien avec Chert Mauve presque assuré
345	345	EbCi-010	Kégashka	Chert rhyolitique noir	Chert rhyolitique noir	Ch1, Ch1b	Chert	Chert	18		Tachetée, veinée	Cireuse	Phénocristaux	Quartz, minéraux ferreux, inclusions amorphes bleutées	Translucide	Aphanitique	Gréseux	32	Oxydation	Présente des portions incolores. La couleur noire est le résultat de la présence d'amas de taches/marbrures noires dans une pâte incolore vitreuse. Possiblement qu'il s'agit d'une rhyolite ou encore d'un chert d'origine volcanique.
346	346	EbCi-010	Kégashka	Chert Mingan	Chert Mingan	Ch2, Ch2b, Ch2c, Ch3, Ch9	Chert	Chert	192	193	Moutonné	Cireuse	Qz grenu, fossiles	Vacuoles	Translucide	Aphanitique	Gaine		Blanchissement léger	Variété brune marbré, moutonnée
347	347	EbCi-010	Kégashka	Chert brun carbonaté	Chert brun carbonaté	Ch4, Ch4b	Chert	Chert	183	184, 193, 194, 192, 191, 17, 14	Homogène, tachetée	Cireuse à mate	Inclusions silicieuses bleutées et blanches	Inclusions silicieuses bleutées et blanches	Opaque	Aphanitique	Non observé	Non observé	Non observé	Fortement variable, d.abord enregistré sous divers catégories.
348	348	EbCi-010	Kégashka	Chert Mauve	Chert Mauve	Ch6, ch6b	Chert	Chert	5RP 2/2 (entre 113 et 114)	214	Homogène, présente un rubannement	Cireuse	Rares inclusions de Qz	Rares inclusions de Qz formant des petites masses	Translucide	Aphanitique	Non observé	Non observé	Non observé	
349	349	EbCi-010	Kégashka	Chert blanc mat	Chert blanc mat	Ch5	Chert	Chert	191		Homogène	Mate	Minces laminations dfe Qz	Minces laminations dfe Qz	Mate	Aphanitique	Non observé	Non observé	Non observé	Chert peu silicieux, mudstone?
350	350	EbCi-010	Kégashka	Mudstone gris marbré	Mudstone gris marbré	mudstone	Mudstone	Pélites	32	33	Tachetée	Mate	Radiolaires	Structures circulaires blanches (5-10%)	Opaque	Aphanitique	Non observé	Non observé	Non observé	
351	351	EbCi-010	Kégashka	Chert vert laminé	Chert vert laminé	Ch11	Chert	Chert	142	153, 143, 122	Laminée	Cireuse	inclusions circulaires noires formant des bandes "laminations"	inclusions circulaires noires formant des bandes "laminations"	Translucide	Aphanitique	Non observé	Non observé	Non observé	Pas le chert vert-noir laminé
352	352	EbCi-010	Kégashka	Rhyolite grise-noire	Rhyolite grise-noire	Rhy1	Rhyolite	Rhyolite	23	22, 33	Porphyritique /sphérulitique	mate	Phénocristaux (sphérulites) de qz et phénocristaux de feldspath	Qz, feldspath	Très faiblement translucide	Aphanitique	Non observé	Non observé	Non observé	Rhyolite Flow pattern. Légère ressemblance avec chert "La Romaine" pour les couleurs et structures.
353	353	EbCi-010	Kégashka	Quartzite fin bleuté	Quartzite fin gris-bleuté	Qzite4	Quartzite	Quartzite	72		Homogène	Cireuse	Inclusions blanches opaques	Inclusions blanches opaques	Translucide	très fin	Non observé	Non observé	Non observé	Forte ressemblance avec calcédoine bleutée, mais ici il s'agit d'un quartzite fin
354	354	EbCi-010	Kégashka	Chert vert lustré	Chert beige-vert à radiolaires	Ch8, Ch8b	Chert	Chert	122	123, 95	Homogène	Cireuse	Radiolaires	fins inclusions circulaires incolores	Semi-translucide	Aphanitique	Non observé	Non observé	Non observé	
355	355	EbCi-010	Kégashka	Chert marbré gris-noir	Chert marbré gris-noir	Ch7	Chert	Chert			Marbré	Cireuse	Cristaux de Qz	Cristaux de Qz		Aphanitique	Non observé	Non observé	Non observé	Prend des allures de grès fin silicifié
356	356	EbCi-010	Kégashka	Quartzite de Ramah	Quartzite de Ramah	Ramah	Quartzite	Quartzite	12	62, 93, 18	Enfumée	Cireuse	Inclusions minérales couleur rouille	Pyrite	Translucide	très fin	Non observé	Non observé	Oxydation	
357	357	EbCi-010	Kégashka	Quartzite blanc enfumé	Quartzite blanc enfumé	Qzite1c	Quartzite	Quartzite	000	191, 192	Homogène	Vitreuse	Rares inclusions minérales noires		Translucide	Moyenne	Non observé	Non observé	Non observé	Quartzite essentiellement incolore, légèrement enfumée. Pourrait être assimilable au type EbCp
358	358	EbCi-010	Kégashka	Quartzite EbCp	Quartzite EbCp	Qzite1, Qzite1b	Quartzite	Quartzite	12	22, 181	Homogène	rugueuse	Inclusions minérales foncées	Inclusions minérales foncées de couleur brune (183).	Translucide	Moyenne	Plat ou surface de joint	14, 22		
359	359	EbCi-010	Kégashka	Quartz hyalin	Quartz hyalin	QzH, QzH2	Quartz	Quartz	000	11	Homogène	Vitreuse	Non observées	Non observées	Transparent	NA	Non observé	Non observé	Non observé	
360	360	EbCi-010	Kégashka	Quartzite de Blanc-Sablons	Quartzite de Blanc-Sablons	Qzite3	Quartzite	Quartzite	207	217	Homogène	rugueuse	Inclusions minérales orangées et rouge foncées	Inclusions minérales orangées et rouge foncées	Translucide	fin	Non observé	Non observé	Non observé	
361	361	EbCi-010	Kégashka	Quartzite de Ramah	Quartzite fin blanc-bleuté opaque	Qzite2	Quartzite	Quartzite	000	60, 93	Enfumée	cireuse	Inclusions minérales de couleur rouille disséminées	Pyrite?	Opaque	Très fin	Non observé	Non observé	Non observé	Quartzite de Ramah altéré?
362	362	EbCi-010	Kégashka	Quartzite fin de Kégashka	Quartzite fin de Kégashka	Qzite5, Qzite5b, Qzite5c	Quartzite	Quartzite	000	10	Homogène	Cireuse	Très rares inclusions minérales noires	Très rares inclusions minérales noires	Translucide	Très fin	Non observé	Non observé	Non observé	Quartzite très fin limpide, forme un continuum avec qzite 1b qui présente plus d'inclusions de bonne dimension de type feldspathiques (31-191)

Suite à la page suivante

#	N	Site	Région	Matière simplifiée finale	Code matière régional	Code préliminaire	Matière	Type matériau	Couleur principale	Couleur secondaires	Structure	Texture	Inclusions principales	Inclusions détaillées	Transparence	Granulométrie	Cortex type	Cortex couleur	Altération	Remarques
363	363	EbCi-010	Kégashka	Chert gris moutonné	Chert gris moutonné		Chert	Chert	14	62	Marbrée	Cireuse	Inclusions circulaires blanches opaques et incolores (silicieuses)	Radioalires et fossiles très abondants	Semi-translucide	Aphanitique	Non observé	Non observé	Non observé	Peut ressembler au chert Onondaga de la région des Grands-Lacs
364	364	EbCi-010	Kégashka	Quartz Hyalin	Quartz cristallin		Quartz	Quartz	000	11	Homogène	Vitreuse	Non observées	Non observées	Transparent	NA	Faces cristallines	Non observé	Non observé	
365	365	EbCi-010	Kégashka	Quartzite Noui	Quartzite Noui		Quartzite	Quartzite	71	61, 72, 73	Homogène	Vitreuse	Inclusions minérales foncées	Inclusions minérales verdâtres (3-5%): muscovite?	Translucide	Moyenne	Non observé	Non observé	Non observé	
366	366	EbCh-002	Kégashka	Quartzite Noui	Quartzite Noui		Quartzite	Quartzite	71	61, 72, 73	Homogène	Vitreuse	Inclusions minérales foncées	Inclusions minérales verdâtres (3-5%): muscovite?	Translucide	Moyenne	Non observé	Non observé	Non observé	
367	367	EbCh-002	Kégashka	Quartz hyalin	Quartz hyalin	QzH, QzH2	Quartz	Quartz	000	11	Homogène	Vitreuse	Non observées	Non observées	Transparent	NA	Non observé	Non observé	Non observé	
368	368	EbCh-002	Kégashka	Chert Mauve	Chert vert-noir laminé	Ch1b2	Chert	Chert	23	23, 53	Laminée	Cireuse	Cristaux de qz et rarness inclusions foncées disséminées	Cristaux de qz et rarness inclusions foncées disséminées	Translucide	Aphanitique	Non observé	Non observé	Non observé	Non observé
369	369	EbCh-012	Kégashka	Quartz hyalin	Quartz hyalin	QuartzH	Quartz	Quartz	000	11	Homogène	Vitreuse	Inclusions minérales noires et brunes	Inclusions minérales noires et brunes	Transparent	NA	Non observé	Non observé	Non observé	
370	370	EbCi-001	Kégashka	Chert vert laminé	Chert vert laminé	Ch14	Chert	Chert	142	153, 143, 122	Laminée	Cireuse	inclusions circulaires noires formant des bandes "laminations"	inclusions circulaires noires formant des bandes "laminations"	Translucide	Aphanitique	Non observé	Non observé	Non observé	Pas le chert vert-noir laminé
371	371	EbCi-001	Kégashka	Chert rhyolitique noir	Chert rhyolitique noir	Ch5, Ch6b, Ch12, Ch13, Qzite4	Chert	Chert	18		Tachetée, veinée	Cireuse	Phénocristaux	Quartz, minéraux ferreux, inclusions amorphes bleutées	Translucide	Aphanitique	Gréseux	32	Oxydation	Présente des portions incolores. La couleur noire est le résultat de la présence d'amas de taches/marbrures noires dans une pâte incolore vitreuse. Possiblement qu'il s'agit d'une rhyolite ou encore d'un chert d'origine volcanique.
372	372	EbCi-001	Kégashka	Chert noir carbonaté	Chert noir carbonaté	Ch9, Ch4	Chert	Chert	17	18	Tacheté	Cireuse	Carbonates	Carbonates	Semi-translucide	Aphanitique	type gaine ou zone de transition voir type 2 et chert vert arc-en-ciel	Non observé	Non observé	Portion homogène de chert noir carbonaté de type 2 et lien avec chert arc-en-ciel confirmé
373	373	EbCi-001	Kégashka	Chert noir carbonaté	Chert arc-en-ciel	Ch4	Chert	Chert	166	161, 164, 163, 165, 166, 171	Homogène	Cireuse	Non observées	Non observées	Opaque	Aphanitique	Non observé	Non observé	Perte de couleur	Couleur très variable en fonction de la distance à la surface extérieure. En cassure fraîche il est plutôt foncé (166) et en surface exposée il est plus clair.
374	374	EbCi-001	Kégashka	Chert vert lustré	Chert vert lustré	Ch8, Ch8b	Chert	Chert	33	43	Homogène	Cireuse	Radiolaires	Inclusions circulaires silicieuses	Translucide	Aphanitique	Gaine	195, 193	Non observé	Structure légèrement tachetée par les inclusions
375	375	EbCi-001	Kégashka	Chert Mauve	Chert Mauve	Ch11, Ch7, Ch7b, Rhy1	Chert	Chert	5RP 2/2 (entre 113 et 114)	214	Homogène, présente un rubannement	Cireuse	Rares inclusions de Qz	Rares inclusions de Qz formant des petites masses	Translucide	Aphanitique	Non observé	Non observé	Non observé	Dans le cas de Rhy1 prend une texture marbrée
376	376	EbCi-001	Kégashka	Chert Mauve	Chert Brun-mauve	Ch7c	Chert	Chert	Mélange de 23 et 214		Homogène	Cireuse	Cristaux de qz et rarness inclusions foncées disséminées	Cristaux de qz et rarness inclusions foncées disséminées	Translucide	Aphanitique	Non observé	Non observé	Non observé	Lien avec Chert Mauve presque assuré
377	377	EbCi-001	Kégashka	Rhyolite grise-noire	Rhyolite grise-noire	Ch10	Rhyolite	Rhyolite	23	22, 33	Porphyritique /sphérulitique	mate	Phénocristaux (sphérulites) de qz et phénocristaux de feldspath	Qz, feldspath	Très faiblement translucide	Aphanitique	Non observé	Non observé	Non observé	Rhyolite Flow pattern. Légère ressemblance avec chert "La Romaine" pour les couleurs et structures.
378	378	EbCi-001	Kégashka	Mudstone gris marbré	Mudstone gris marbré	Ch3	Mudstone	Pélites	32	33	Tachetée	Mate	Radiolaires	Structures circulaires blanches (5-10%)	Opaque	Aphanitique	Non observé	Non observé	Non observé	
379	379	EbCi-001	Kégashka	Chert gris moutonné	Chert gris moutonné	Ch1, Ch2	Chert	Chert	14	62	Marbrée	Cireuse	Inclusions circulaires blanches opaques et incolores (silicieuses)	Radioalires et fossiles très abondants	Semi-translucide	Aphanitique	Non observé	Non observé	Non observé	Peut ressembler au chert Onondaga de la région des Grands-Lacs
380	380	EbCi-001	Kégashka	Quartzite enfumé gris-rouge	Quartzite enfumé gris-rouge	Qzite1, Qzite1b, Qzite1c	Quartzite	Quartzite	11	14, 15, 217	Enfumée	Rugueuse	Inclusions minérales foncées	Inclusions minérales noires et rouilles	Translucide	Moyenne	Non observé	Non observé	Non observé	Quartzite marbré de gris et de rouge. Les portions rouges pourraient englober ce que nous avons identifiés comme le quartzite de Blancs-Sablons.
381	381	EbCi-001	Kégashka	Quartz hyalin	Quartz hyalin	QuartzH	Quartz	Quartz	000	11	Homogène	Vitreuse	Inclusions minérales noires et brunes	Inclusions minérales noires et brunes	Transparent	NA	Non observé	Non observé	Non observé	
382	382	EbCi-001	Kégashka	Quartz hyalin	Quartz hyalin	QzHL	Quartz	Quartz	000	11	Homogène	Vitreuse	Non observées	Non observées	Transparent	NA	Non observé	Non observé	Non observé	
383	383	EbCi-001	Kégashka	Quartzite blanc-brunâtre	Quartzite blanc-brun	Qzite3b	Quartzite	Quartzite	191	188	Homogène	Vitreuse	Inclusions minérales foncées	Inclusions minérales foncées	Semi-translucide	NA	Non observé	Non observé	Non observé	Possiblement variante de type EbCp
384	384	EbCi-001	Kégashka	Quartzite EbCp	Quartzite EbCp	Qzite3	Quartzite	Quartzite	12	22, 181	Homogène	rugueuse	Inclusions minérales foncées	Inclusions minérales foncées de couleur brune (183).	Translucide	Moyenne	Plat ou surface de joint	14, 22		
385	385	EbCi-001	Kégashka	Quartzite fin de Kégashka	Quartzite fin de Kégashka de type 1	Qzite6	Quartzite	Quartzite	000	31	Homogène	Cireuse	inclusions minérales avec alignement préférentiel	Inclusions minérales foncées ("directionelles"), inclusions micacées au reflet métallique	Translucide	Aphanitique	Non observé	Non observé	Non observé	Présente des inclusions minérales qui témoignent d'un certain alignement, allongement
386	386	EbCi-001	Kégashka	Quartzite de Ramah	Quartzite fin blanc-bleuté opaque	Qzite5	Quartzite	Quartzite	000	60, 93	Enfumée	cireuse	Inclusions minérales de couleur rouille disséminées	Pyrite?	Opaque	Très fin	Non observé	Non observé	Non observé	Quartzite de Ramah altéré?

#	N	Site	Région	Matière simplifiée finale	Code matière régional	Code préliminaire	Matière	Type matériau	Couleur principale	Couleur secondaires	Structure	Texture	Inclusions principales	Inclusions détaillées	Transparence	Granulométrie	Cortex type	Cortex couleur	Altération	Remarques
387	387	EbCi-001	Kégashka	Quartzite de Ramah	Quartzite de Ramah	Ramah	Quartzite	Quartzite	12	62, 93, 18	Enfumée	Cireuse	Inclusions minérales couleur rouille	Pyrite	Translucide	très fin	Non observé	Non observé	Oxydation	
388	388	EbCi-001	Kégashka	Quartz laiteux	Quartz laiteux		Quartz	Quartz	10	11	Homogène	Vitreuse	Non observées	Non observées	Translucide	NA	Non observé	Non observé	Non observé	
389	389	EbCi-001	Kégashka	Quartzite Noui	Quartzite Noui	Qzite 1	Quartzite	Quartzite	71	61, 72, 73	Homogène	Vitreuse	Inclusions minérales foncées	Inclusions minérales verdâtres (3-5%): muscovite?	Translucide	Moyenne	Non observé	Non observé	Non observé	
390	390	EbCi-001	Kégashka	Chert brun carbonaté	Chert brun carbonaté		Chert	Chert	183	184, 193, 194, 192, 191, 17, 14	Homogène, tachetée	Cireuse à mate	Inclusions silicieuses bleutées et blanches	Inclusions silicieuses bleutées et blanches	Opaque	Aphanitique	Non observé	Non observé	Non observé	
391	391	EbCi-001	Kégashka	Rhyolite verte porphyroblastique	Rhyolite verte porphyroblastique		Rhyolite	Rhyolite	122	132	Porphyritique	Cireuse	Phénocristaux	Phénocristaux de qz et feldspaths blancs	Semi-translucide	Aphanitique	Non observé	Non observé	Non observé	Lien avec rhyolite mauve porphyroblastique
392	392	EbCi-001	Kégashka	Rhyolite mauve porphyroblastique	Rhyolite mauve porphyroblastique		Rhyolite	Rhyolite	204		Porphyritique	Cireuse	Phénocristaux	Phénocristaux de qz et feldspaths blancs	Semi-translucide	Aphanitique	Non observé	Non observé	Non observé	Lien avec rhyolite verte porphyroblastique
393	393	EbCi-001	Kégashka	Rhyolite bleutée	Rhyolite bleutée		Rhyolite	Rhyolite	62	83, 11	Tachetée	Cireuse	Vacuoles, carbonates, minéraux foncés oxydés	Vacuoles, feldspath, minéraux foncés oxydés	Translucide	Aphanitique	Non observé	Non observé	Non observé	
394	394	EaCj-001	Aguanish	Quartzite EbCp	Quartzite EbCp		Quartzite	Quartzite	12	22, 181	Homogène	rugueuse	Inclusions minérales foncées	Inclusions minérales foncées de couleur brune (183).	Translucide	Moyenne	Non observé	Non observé	Non observé	
395	395	EaCj-001	Aguanish	Mudstone gris marbré	Mudstone gris marbré		Mudstone	Pélites	32	33	Tachetée	Mate	Radiolaires	Structures circulaires blanches (5-10%)	Opaque	Aphanitique	Non observé	Non observé	Non observé	
396	396	EbCp-002.2	Piashti/Watshishou	Chert brun carbonaté	Chert brun carbonaté		Chert	Chert	183	184, 193, 194, 192, 191, 17, 14	Homogène, tachetée	Cireuse à mate	Inclusions silicieuses bleutées et blanches	Inclusions silicieuses bleutées et blanches	Opaque	Aphanitique	Non observé	Non observé	Non observé	
397	397	EbCp-002.2	Piashti/Watshishou	Chert Mingan	Chert Mingan		Chert	Chert	192	193	Moutonné	Cireuse	Qz grenu, fossiles	Vacuoles	Translucide	Aphanitique	Gaine	Blanchissement léger	Variété brune marbré, moutonnée	
398	398	EbCp-002.2	Piashti/Watshishou	Quartzite de Ramah	Quartzite de Ramah	Ramah	Quartzite	Quartzite	12	62, 93, 18	Enfumée	Cireuse	Inclusions minérales couleur rouille	Pyrite	Translucide	très fin	Non observé	Non observé	Oxydation	
399	399	EbCp-002.2	Piashti/Watshishou	Quartzite EbCp	Quartzite EbCp		Quartzite	Quartzite	12	22, 181	Homogène	rugueuse	Inclusions minérales foncées et cristaux de Qz	Inclusions minérales foncées de couleur brune (183).	Translucide	Moyenne	Plat ou surface de joint	14, 22		Présente une grande variabilité, possiblement due à la grande quantité de matériel; nucléus sous forme de galet et massifs et présence de pièces volumineuses. Malgré cette variabilité on observe toujours une certaine continuité entre les variétés et la constance des inclusions de qz.
400	400	EbCp-002.2	Piashti/Watshishou	Quartzite fin de Kégashka	Quartzite fin de Kégashka de type 1		Quartzite	Quartzite	000	31	Homogène	Cireuse	inclusions minérales avec alignement préférentiel	Inclusions minérales foncées ("directionelles"), inclusions micacées au reflet métallique	Translucide	Aphanitique	Non observé	Non observé	Non observé	Présente des inclusions minérales qui témoignent d'un certain alignement, allongement
401	401	EbCp-002.2	Piashti/Watshishou	Quartzite fin de Kégashka	Quartzite fin de Kégashka de type 2		Quartzite	Quartzite	11	207, 204	Tachetée, enfumée	Cireuse	Inclusions minérales foncées	Inclusions minérales foncées de couleur bourgogne et orange foncé disséminées dans une matrice incolore	Translucide	Aphanitique	Non observé	Non observé	Oxydation	Présente une variété fortement enfumée lui donnant une teinte plus grisâtre
402	402	EbCp-002.2	Piashti/Watshishou	Quartzite Noui	Quartzite Noui		Quartzite	Quartzite	71	61, 72, 73	Homogène	Vitreuse	Inclusions minérales foncées	Inclusions minérales verdâtres (3-5%): muscovite?	Translucide	Moyenne	Plat	164	Non observé	Quartzite Massif
403	403	EbCp-002.2	Piashti/Watshishou	Chert vert lustré	Chert beige-vert à radiolaires		Chert	Chert	122	123, 95	Homogène	Cireuse	Radiolaires	ins inclusions circulaires incolores	Semi-translucide	Aphanitique	Non observé	Non observé	Non observé	
404	404	EbCp-002.2	Piashti/Watshishou	Chert gris moutonné	Chert gris moutonné		Chert	Chert	14	62	Marbrée	Cireuse	Inclusions circulaires blanches opaques et incolores (silicieuses)	Radioaires et fossiles très abondants	Semi-translucide	Aphanitique	Non observé	Non observé	Non observé	Peut ressembler au chert Onondaga de la région des Grands-Lacs
405	405	EbCp-002.2	Piashti/Watshishou	Chert "La Romaine"	Shale alternance gris-beige/gris foncé		Shale/chert	Chert	31-17		Laminée	Mate	Petites inclusions sphériques noires	Petites inclusions noires (pellets) peu abondante	Opaque	Aphanitique	Non observé	Non observé	Non observé	
406	406	EbCp-002.2	Piashti/Watshishou	Chert Mauve	Chert Mauve		Chert	Chert	5RP 2/2 (entre 113 et 114)	214	Homogène, présente un rubannement	Cireuse	Rares inclusions de Qz	Rares inclusions de Qz formant des petites masses	Translucide	Aphanitique	Non observé	Non observé	Non observé	Le chert mauve du biface de M.Napish de Mingan. Possible continuité avec Ch1b
407	407	EbCp-002.2	Piashti/Watshishou	Chert rhyolitique noir	Chert rhyolitique noir	Ch2	Chert	Chert	18		Tachetée, veinée	Porphyritique	Phénocristaux	Quartz, minéraux ferreux, inclusions amorphes bleutées	Translucide	Aphanitique	Gréseux	32		La forte représentation de phénocristaux lui donne une texture porphyritique
408	408	EbCp-002.2	Piashti/Watshishou	Mudstone gris marbré	Mudstone gris mat	Ch2	Mudstone/chert	Pélites	32		Homogène	rugueuse	Inclusions minérales, qz	Inclusions minérales, qz	Opaque	Aphanitique	Non observé	Non observé	Non observé	Pierre oeu silicieuse
409	409	EbCp-002.2	Piashti/Watshishou	Quartzite grossier "poivre et sel"	Quartzite grossier "poivre et sel"	Qzite2	Quartzite	Quartzite	11	13	Marbrée	Granuleuse	Inclusions minérales foncées	Inclusions minérales noires allongées et alignées, inclusion minérale rouge	Translucide	Grossière	Non observé	Non observé	Non observé	
410	410	EbCp-002.2	Piashti/Watshishou	Quartz hyalin avec inclusions brunes	Quartz hyalin avec inclusions brunes	QzH	Quartz	Quartz	00		Homogène	Vitreuse	Inclusions minérales foncées	Inclusions minérales bunes de type micacées; biotite?	Transparent	NA	Non observé	Non observé	Non observé	

#	N	Site	Région	Matière simplifiée finale	Code matière régional	Code préliminaire	Matière	Type matériau	Couleur principale	Couleur secondaires	Structure	Texture	Inclusions principales	Inclusions détaillées	Transparence	Granulométrie	Cortex type	Cortex couleur	Altération	Remarques
411	411	EbCp-002.2	Piashti/Watshishou	Quartz laiteux	Quartz laiteux	Qz	Quartz	Quartz	10	11	Homogène	Vitreuse	Non observées	Non observées	Translucide	NA	Non observé	Non observé	Non observé	
412	412	EbCp-002.2	Piashti/Watshishou	Quartzite fin de Kégashka	Quartzite fin de Kégashka de type 3		Quartzite	Quartzite	191	188	Tachetée	Cireuse-mate	Inclusions minérales foncées	Inclusions minérales foncées de couleur bourgogne et orange foncé disséminées dans une matrice incolore	Translucide	Aphanitique	Gaine quartzeuse	Non observé	Non observé	Même chose que quartzite fin de Kégashka des autres types, mais présente une transition entre le Quartzite blanc-brun et la portion plus vitreuse.
413	413	EdCt-001	Rivière Romaine	Quartz hyalin	Quartz hyalin		Quartz	Quartz	000	11	Homogène	Vitreuse	Non observées	Non observées	Transparent	NA	Non observé	Non observé	Non observé	
414	414	EdCt-001	Rivière Romaine	Quartz hyalin avec inclusions brunes	Quartz hyalin avec inclusions brunes		Quartz	Quartz	00		Homogène	Vitreuse	Inclusions minérales foncées	Inclusions minérales bunes de type micacées; biotite?	Transparent	NA	Non observé	Non observé	Non observé	
415	415	EiCw-002	Rivière Romaine	Quartzite blanc-brunâtre	Quartzite blanc-beige		Quartzite	Quartzite	11	21, 31	Homogène	Rugueuse	Inclusions minérales brunes	Inclusions rosâtres	Translucide	Moyenne	Galet	31	Non observé	Forte ressemblance avec Quartzite EbCp. Cortex de galet = source secondaire. Présente une variété blanche homogène, mais semble former un continuum et donc une même source.
416	416	EiCw-008	Rivière Romaine	Mudstone gris-bleuté	Sandstone siliceux		Mudstone/sandstone	Pérites	11	62	Moutonné	Mate	Inclusions minérales opaques	Inclusions minérales noires opaques	Opaque	fin	Non observé	Non observé	Non observé	Sandstone gris-bleuté, mat, faiblement siliceux, mais présente cassure conchoïdale
417	417	EiCw-009	Rivière Romaine	Mudstone mauve	Mudstone mauve		Mudstone/sandstone	Pérites	207	203	Homogène	Mate	Carbonates		Opaque	Très fin	Galet	207	Non observé	Shale ou mudstone mauve, non folié.
418	418	EiCw-009	Rivière Romaine	Chert gris-verdâtre (fosse Lab)	Chert noir-verdâtre		Chert	Chert	123	33	Homogène	Cireuse	Fossiles	inclusions circulaires siliceuses	Translucide	Aphanitique	Non observé	Non observé	Blanchissement	Provenance supposée: fosse du labrador
419	419	EjCw-002	Rivière Romaine	Shale vert oxydé	Shale vert oxydé		Chert/shale	Chert	163	34	Homogène	Mate	Minéraux foncés verdâtres	Minéraux foncés verdâtres	Opaque	Aphanitique	Non observé	Non observé	Oxydation	
420	420	EjCw-002	Rivière Romaine	Quartz laiteux	Quartz laiteux	Qz	Quartz	Quartz	10	11	Homogène	Vitreuse	Non observées	Non observées	Translucide	NA	Non observé	Non observé	Non observé	
421	421	EjCw-004	Rivière Romaine	Chert Mingan	Chert Mingan		Chert	Chert	31-23	193	Moutonné	Cireuse	Fossiles	Qz	Semi-Translucide	Aphanitique	Gaine	193-194	Non observé	
422	422	EjCw-005	Rivière Romaine	Chert Mauve	Chert Mauve		Chert	Chert	213	214	Homogène, présente un rubannement	Cireuse	Rares inclusions de Qz	Rares inclusions de Qz formant des petites masses	Translucide	Aphanitique	Non observé	Non observé	Non observé	
423	423	EjCw-005	Rivière Romaine	Chert gris laminé	Chert gris laminé		Chert	Chert	63	31	Laminée	Mate	Fossiles	inclusions circulaires siliceuses	Semi-translucide	très fin	Gaine	191	Aspect mat	Sandstone siliceux.
424	424	EjCw-005	Rivière Romaine	Quartz hyalin	Quartz hyalin		Quartz	Quartz	000	11	Homogène	Vitreuse	Non observées	Non observées	Transparent	NA	Non observé	Non observé	Non observé	
425	425	EkCw-004	Rivière Romaine	Chert rhyolitique noir	Chert rhyolitique noir		Chert	Chert	17	214	Homogène, laminations	Vitreuse	Oolithes, inclusions minérales	Inclusions minérales rouilles et minérales rouges abondantes	Translucide	Aphanitique	Non observé	Non observé	Non observé	Fosse du lab
426	426	EkCw-004	Rivière Romaine	Chert gris-verdâtre (fosse Lab)	Chert verdâtre		Chert	Chert	162		Homogène	Lustré	fins inclusions circulaires opaques	Inclusions circulaires noires	Translucide	Aphanitique	Non observé	Non observé	Non observé	Fosse du lab
427	427	EkCw-004	Rivière Romaine	Quartzite de Ramah	Quartzite de Ramah	Ramah	Quartzite	Quartzite	12	62, 93, 18	Enfumée	Cireuse	Inclusions minérales couleur rouille	Pyrite	Translucide	très fin	Non observé	Non observé	Oxydation	
428	428	EkCw-006	Rivière Romaine	Quartz hyalin	Quartz hyalin		Quartz	Quartz	000	11	Homogène	Vitreuse	Non observées	Non observées	Transparent	NA	Non observé	Non observé	Non observé	
429	429	EiCw-002	Rivière Romaine	Quartzite de Ramah	Quartzite de Ramah	Ramah	Quartzite	Quartzite	12	62, 93, 18	Enfumée	Cireuse	Inclusions minérales couleur rouille	Pyrite	Translucide	très fin	Non observé	Non observé	Oxydation	
430	430	EiCw-005	Rivière Romaine	Chert Mingan	Chert Mingan		Chert	Chert	191	31	Homogène	Cireuse	Fossiles	Fossiles	Translucide	Aphanitique	Non observé	Non observé	Non observé	
431	431	EiCw-006	Rivière Romaine	Chert vert lustré	Chert vert lustré		Chert	Chert	33	43	Homogène	Cireuse	Radiolaires	Inclusions circulaires siliceuses	Translucide	Aphanitique	Gaine	195, 193	Non observé	Structure légèrement tachetée par les inclusions
432	432	EiCw-008	Rivière Romaine	Quartzite blanc-brunâtre	Quartzite blanc-beige		Quartzite	Quartzite	11	21, 31	Homogène	Rugueuse	Inclusions minérales brunes	Inclusions rosâtres	Translucide	Moyenne	Galet	31	Non observé	Forte ressemblance avec Quartzite EbCp. Cortex de galet = source secondaire.
433	433	EiCw-008	Rivière Romaine	Quartzite fin de Kégashka	Quartzite fin de Kégashka de type 2		Quartzite	Quartzite	11	207, 204	Tachetée	Cireuse	Inclusions minérales foncées	Inclusions minérales foncées de couleur bourgogne et orange foncé disséminées dans une matrice incolore	Translucide	Aphanitique	Non observé	Non observé	Oxydation	Pourrait s'agir d'une rhyolite comme les inclusions minérales pourraient être interprétées comme de phénocristaux. De plus, le caractère alignées de celles ci pourrait le suggérer.
434	434	EiCw-010	Rivière Romaine	Quartz hyalin	Quartz hyalin		Quartz	Quartz	000	11	Homogène	Vitreuse	Non observées	Non observées	Transparent	NA	Non observé	Non observé	Non observé	

Tableau LXXI: Définition du code de couleur

	Code couleur principale	Couleur principale	Code couleur	Code couleur	Code couleur	Code couleur	Code couleur	Code couleur	Code couleur	Code couleur	Code couleur
Description textuelle <i>code Munsell</i>	10	Blanc <i>N9</i>	11- gris très pâle <i>N8</i>	12- gris pâle <i>N7</i>	13- gris pâle moyen <i>N6</i>	14- gris moyen <i>N5</i>	15- gris foncé moyen <i>N4</i>	16- gris foncé <i>N3</i>	17 noir grisâtre <i>N2</i>	18- Noir <i>N1</i>	NA <i>NA</i>
Description textuelle <i>code Munsell</i>	20	Gris brunâtre <i>5YR</i>	21- gris-rosâtre <i>5YR 8/1</i>	22- gris brunâtre pâle <i>5YR 6/1</i>	23- gris brunâtre <i>5YR 4/1</i>	24- noir brunâtre <i>5YR 2/1</i>	NA <i>NA</i>	NA <i>NA</i>	NA <i>NA</i>	NA <i>NA</i>	NA <i>NA</i>
Description textuelle <i>code Munsell</i>	30	Gris olive <i>5Y</i>	31- gris jaunâtre <i>5Y 8/1</i>	32- gris olive pâle <i>5Y 6/1</i>	33- gris olive <i>5Y 4/1</i>	34- noir olive <i>5Y 2/1</i>	NA <i>NA</i>	NA <i>NA</i>	NA <i>NA</i>	NA <i>NA</i>	NA <i>NA</i>
Description textuelle <i>code Munsell</i>	40	Gris verdâtre <i>5GY</i>	41- gris verdâtre pâle <i>5GY 8/1</i>	42- gris verdâtre <i>5GY 6/1</i>	43- gris vert foncé <i>5GY 4/1</i>	44- noir verdâtre <i>5GY 2/1</i>	NA <i>NA</i>	NA <i>NA</i>	NA <i>NA</i>	NA <i>NA</i>	NA <i>NA</i>
Description textuelle <i>code Munsell</i>	50	Gris verdâtre <i>5G</i>	41- gris verdâtre pâle <i>5G 8/1</i>	42- gris verdâtre <i>5G 6/1</i>	43- gris vert foncé <i>5G 4/1</i>	44- noir verdâtre <i>5G 2/1</i>	NA <i>NA</i>	NA <i>NA</i>	NA <i>NA</i>	NA <i>NA</i>	NA <i>NA</i>
Description textuelle <i>code Munsell</i>	60	Gris bleuâtre <i>5B</i>	61- blanc bleuté <i>5B 9/1</i>	62- gris bleuâtre pâle <i>5B 7/1</i>	63- gris bleuâtre moyen <i>5B 5/1</i>	NA <i>NA</i>	NA <i>NA</i>	NA <i>NA</i>	NA <i>NA</i>	NA <i>NA</i>	NA <i>NA</i>
Description textuelle <i>code Munsell</i>	70	Bleu vert <i>5BG</i>	71- bleu vert pâle <i>5BG 7/2</i>	72- bleu vert grisâtre <i>5BG 5/2</i>	73- bleu vert foncé <i>5BG 3/2</i>	74- bleu vert clair <i>5BG 6/6</i>	75- bleu vert moyen <i>5BG 4/6</i>	NA <i>NA</i>	NA <i>NA</i>	NA <i>NA</i>	NA <i>NA</i>
Description textuelle <i>code Munsell</i>	80	Bleu <i>5B</i>	bleu très pâle <i>5B 8/2</i>	bleu pâle <i>5B 6/2</i>	bleu clair <i>5B 7/6</i>	bleu moyen <i>5B 5/6</i>	NA <i>NA</i>	NA <i>NA</i>	NA <i>NA</i>	NA <i>NA</i>	NA <i>NA</i>
Description textuelle <i>code Munsell</i>	90	Bleu grisâtre <i>5PB</i>	91- bleu pâle <i>5PB 7/2</i>	92- bleu grisâtre <i>5PB 5/2</i>	93- bleu très foncé <i>5PB 3/2</i>	NA <i>NA</i>	NA <i>NA</i>	NA <i>NA</i>	NA <i>NA</i>	NA <i>NA</i>	NA <i>NA</i>
Description textuelle <i>code Munsell</i>	100	Violet <i>5P</i>	101- violet pâle <i>5P 6/2</i>	102- violet grisâtre <i>5P 4/2</i>	103- violet très foncé <i>5P 2/2</i>	NA <i>NA</i>	NA <i>NA</i>	NA <i>NA</i>	NA <i>NA</i>	NA <i>NA</i>	NA <i>NA</i>
Description textuelle <i>code Munsell</i>	110	Rouge violet <i>5RP</i>	111- rose pâle <i>5RP 8/2</i>	112- violet rouge pâle <i>5RP 6/2</i>	113- violet rouge grisâtre <i>5RP 4/2</i>	114- violet rouge foncé <i>5RP 2/2</i>	NA <i>NA</i>	NA <i>NA</i>	NA <i>NA</i>	NA <i>NA</i>	NA <i>NA</i>
Description textuelle <i>code Munsell</i>	120	Vert jaunâtre <i>5GY</i>	121- vert jaune grisâtre <i>5GY 7/2</i>	122- vert jaune foncé <i>5GY 5/2</i>	123- vert olive grisâtre <i>5GY 3/2</i>	124- vert jaune moyen <i>5GY 7/4</i>	NA <i>NA</i>	NA <i>NA</i>	NA <i>NA</i>	NA <i>NA</i>	NA <i>NA</i>
Description textuelle <i>code Munsell</i>	130	Vert jaunâtre <i>10GY</i>	131- vert jaunâtre pâle <i>10GY 7/2</i>	132- vert grisâtre <i>10GY 5/2</i>	133- vert jaune foncé <i>10GY 3/2</i>	134- vert jaune moyen <i>10GY 6/4</i>	135- vert jaune foncé <i>10GY 4/4</i>	NA <i>NA</i>	NA <i>NA</i>	NA <i>NA</i>	NA <i>NA</i>
Description textuelle <i>code Munsell</i>	140	Vert <i>5G</i>	141- vert pâle <i>5G 7/2</i>	142- vert grisâtre <i>5G 5/2</i>	143- vert foncé <i>5G 3/2</i>	144- vert clair <i>5G 7/4</i>	145- vert brillant <i>5G 6/6</i>	146- vert moyen <i>5G 5/6</i>	NA <i>NA</i>	NA <i>NA</i>	NA <i>NA</i>
Description textuelle <i>code Munsell</i>	150	Vert <i>10G</i>	151- vert très pâle <i>10G 8/2</i>	152- vert pâle <i>10G 6/2</i>	153- vert grisâtre <i>10G 4/2</i>	NA <i>NA</i>	NA <i>NA</i>	NA <i>NA</i>	NA <i>NA</i>	NA <i>NA</i>	NA <i>NA</i>
Description textuelle <i>code Munsell</i>	160	Jaune-grisâtre <i>5Y</i>	161- gris jaunâtre <i>5Y 7/2</i>	162- gris olive pâle <i>5Y 5/2</i>	163- gris olive <i>5Y 3/2</i>	164- jaune grisâtre <i>5Y 8/4</i>	165- jaune foncé <i>5Y 6/4</i>	166- brun olive moyen <i>5Y 4/4</i>	167- jaune moyen <i>5Y 7/6</i>	168- brun olive pâle <i>5Y 5/6</i>	NA <i>NA</i>
Description textuelle <i>code Munsell</i>	170	Jaune-verdâtre <i>10Y</i>	171- jaune vert pâle <i>10Y 8/2</i>	172- olive pâle <i>10Y 6/2</i>	173- olive grisâtre <i>10Y 4/2</i>	174- jaune vert moyen <i>10Y 7/4</i>	175- olive pâle <i>10Y 5/4</i>	176- jaune vert foncé <i>10Y 6/6</i>	NA <i>NA</i>	NA <i>NA</i>	NA <i>NA</i>
Description textuelle <i>code Munsell</i>	180	Orange-brunâtre <i>5YR</i>	181- rose orange moyen <i>5YR 7/2</i>	182- brun pâle <i>5YR 5/2</i>	183- brun beige <i>5YR 3/2</i>	184- brun foncé <i>5YR 2/2</i>	185- rose orange moyen <i>5YR 8/4</i>	186- brun clair <i>5YR 6/4</i>	187- brun moyen <i>5YR 4/4</i>	188- brun moyen <i>5YR 3/4</i>	189- brun clair <i>5YR 5/6</i>
Description textuelle <i>code Munsell</i>	190	Brun jaunâtre <i>10YR</i>	191- orange très pâle <i>10YR 8/2</i>	192- brun jaune moyen <i>10YR 6/2</i>	193- brun jaune foncé <i>10YR 4/2</i>	194- brun jaune foncé <i>10YR 2/2</i>	195- orange grisâtre <i>10YR 7/4</i>	196- brun jaune moyen <i>10YR 5/4</i>	197- orange jaune pâle <i>10YR 8/6</i>	198- orange jaunâtre foncé <i>10YR 6/6</i>	NA <i>NA</i>
Description textuelle <i>code Munsell</i>	200	Rouge <i>5R</i>	201- rose grisâtre <i>5R 8/2</i>	202- rouge pâle <i>5R 6/2</i>	203- rouge grisâtre <i>5R 4/2</i>	204- rouge noirâtre <i>5R 2/2</i>	205- rose moyen <i>5R 7/4</i>	206- rouge moyen <i>5R 5/4</i>	207- rouge foncé <i>5R 3/4</i>	208- rouge clair <i>5R 6/6</i>	209-rouge moyen <i>5R 4/6</i>
Description textuelle <i>code Munsell</i>	210	Brun-rougeâtre <i>10R</i>	211- rose orange gris <i>10R 8/2</i>	212- rouge pâle <i>10R 6/2</i>	213- rouge grisâtre <i>10R 4/2</i>	214- rouge très foncé <i>10R 2/2</i>	215- rose orange moyen <i>10R 7/4</i>	216- brun rouge pâle <i>10R 5/4</i>	217- brun rouge foncé <i>10R 3/4</i>	218- orange rouge moyen <i>10R 6/6</i>	219- brun rouge moyen <i>10R 4/6</i>

Tableau LXXII: Description des échantillons récupérés lors de nos prospections géologiques

#	N	Localité	Formation géologique	Membre	Type échantillon	Matière	Longueur	Largeur	Épaisseur	Poids	Description cortex/gaine	Couleur cortex/gaine	Couleur principale	Couleur secondaires	Structure	Texture	Inclusions principales	Inclusions détaillées	Transparence	Granulométrie	Commentaires	Référence
1	1	Pointe aux Morts	Romaine	Sainte-Geneviève	Frag. Nodule	Chert	6,26	4,60	2,11	59,20	Gaine dolomitique	191	14	23, 193	marbrures, moutonné	Mate	Structures de remplissage: Qz et calcédoine	Structures circulaires siliceuses	Opaque	Aphanitique		EbCv-001.8 Lévesque 1966
2	1	Pointe aux Morts	Romaine	Sainte-Geneviève	Frag. Nodule	Chert	6,79	3,73	2,64	78,10	NO	NA	62	31, 195	Moutonné	Mate	Quartz	Lentilles de Qz	Opaque	Aphanitique	Portion chertreuse d'un nodule. La gradation de couleur intérieur-extérieur est bien visible. Structures de remplissage bien définies	EbCv-001.8 Lévesque 1966
3	1	Pointe aux Morts	Romaine	Sainte-Geneviève	Nodule complet	Chert	7,14	6,54	4,92	163,60	Gaine dolomitique aphanitique	192	193	191, 192, 197	Moutonné	Cireuse	Quartz, Fossiles	Lentilles de Qz, bioforages	Opaque	Aphanitique	Portion centrale du nodule très siliceuse teintes gris-brun	EbCv-001.8 Lévesque 1966
4	1	Lac de la Carrière	Romaine	Indéterminé	Fragment de nodule	Chert	5,22	4,10	3,98	70,20	Gaine dolomitique aphanitique	192, 31	31	32	Moutonné	Cireuse	Quartz, Fossiles		Semi-Translucide	Aphanitique	Présence de vacuoles, surtout dans la portion gaineuse	Daniel Chevrier Archéotec inc
5	1	Pointe aux Morts	Romaine	Sainte-Geneviève	Fragment de nodule	Chert	5,32	NA	NA	NA	Gaine dolomitique à grains aphanitiques, fossiles	195	192, 193	32, 33	Moutonné	Cireuse	Fossiles abondants + bioforages	Quartz	Opaque	Aphanitique	Fragment de nodule, fossiles visible à faible grossissement	Terrain JCO 2009
6	1	Pointe aux Morts	Romaine	Sainte-Geneviève	Nodule complet	Chert	7,46	4,93	4,08	157,50	Gaine dolomitique aphanitique	31, 191	193	192	Moutonné	Mate	Quartz, Fossiles		Opaque	Aphanitique	Nodule complet	Terrain JCO 2009
7	1	Pointe aux Morts	Romaine	Sainte-Geneviève	Lentille siliceuse	Dolomie siliceuse	14,37	11,76	8,55	1046,30	Gaine dolomitique aphanitique	192, 162	192	32, 62	Moutonné	Cireuse	Quartz, Fossiles		Opaque	Aphanitique	Nodule mal défini, silice précipitée dans la gaine dolomitique forme des amas aux formes et dimensions variées. Vraisemblablement inutilisable pour la taille	Terrain JCO 2009
8	1	Pointe aux Morts	Romaine	Sainte-Geneviève	Lentille siliceuse	Chert	9,48	7,72	4,83	290,40	Gaine dolomitique aphanitique	192	31		Homogène	Cireuse	Quartz, Fossiles		Opaque	Aphanitique	Fortement diaclasé	Terrain JCO 2009
9	1	Pointe aux Morts	Romaine	Sainte-Geneviève	Fragment de nodule	Chert	7,99	5,71	4,65	227,80	Gaine dolomitique aphanitique	191	192	31, 62	Moutonné	Cireuse	Quartz cristallin	Fossiles	Opaque	Aphanitique	Les structures de remplissage donnent un aspect rubané (concentrique) à la portion chertreuse	Terrain JCO 2009
10	1	Pointe aux Morts	Romaine	Sainte-Geneviève	Fragment de nodule	Chert	9,86	4,89	3,30	224,10	Gaine dolomitique aphanitique	191	193	32, 62	Marbré	Cireuse	Lentilles de Qz, fossiles		Opaque	Aphanitique	Bloc de chert relativement massif	Terrain JCO 2009
11	1	Pointe aux Morts	Romaine	Sainte-Geneviève	Fragment de nodule	Dolomie siliceuse	9,38	7,62	5,37	243,30	Gaine dolomitique aphanitique	10, 31	15	14	Moutonné	Mate	Forte présence de qz cristallin		Opaque	Aphanitique	Forte présence de qz cristallin qui comple les vacuoles	Terrain JCO 2009
12	1	Pointe aux Morts	Romaine	Sainte-Geneviève	Fragment de nodule	Chert	11,91	8,89	5,15	449,60	Gaine dolomitique aphanitique	10, 31	31	32	Moutonné	Cireuse	Fossiles, Qz		Opaque	Aphanitique	Fortement diaclasé	Terrain JCO 2009
13	1	Pointe aux Morts	Romaine	Sainte-Geneviève	Nodule complet	Chert	11,50	7,14	5,01	527,10	Gaine dolomitique aphanitique	195, 162	32	33, 192	Moutonné	Cireuse	Fossiles, Qz		Opaque	Aphanitique	Présence de vacuoles, structures de remplissage concentriques	Terrain JCO 2009
14	1	Pointe aux Morts	Romaine	Sainte-Geneviève	Nodule complet	Chert	7,00	6,51	4,75	199,00	Gaine dolomitique aphanitique	191, 184	193	192, 196	Moutonné	Cireuse	Fossiles, Qz		Opaque	Aphanitique	Nodule de petite dimension, gaine très mince avec portion chertreuse prédominante	Terrain JCO 2009
15	1	Pointe aux Morts	Romaine	Sainte-Geneviève	Nodule complet	Chert	8,47	6,31	5,54	312,20	Gaine dolomitique aphanitique	191, 217	192	191	Moutonné	Cireuse	Fossiles, Qz		Opaque	Aphanitique	Présence abondante de vacuoles	Terrain JCO 2009
16	1	Pointe aux Morts	Romaine	Sainte-Geneviève	Nodule complet	Chert	10,37	8,60	6,84	554,80	Gaine dolomitique aphanitique	191, 192, 194	192	32	Moutonné	Cireuse	Fossiles abondants	Bioforages	Opaque	Aphanitique	Nodule complet, très cherteux, faiblement diaclasé. Source de matériel de prédilection.	Terrain JCO 2009
17	1	La Grande Pointe	Romaine	Grande-île?	Nodule complet	Chert	20,00	12,51	7,86	2214,00	Dolomie siliceuse	34	31, 193	62	Moutonné	Cireuse	Fossiles abondants	Bioforages	Opaque	Aphanitique	Nodule de forme irrégulière. Visuellement distinct du chert du membre de Sainte-Geneviève	Terrain JCO 2009
18	1	Lac de la Carrière	Romaine	Indéterminé	Nodule complet	Chert	6,62	5,47	4,73	187,70	Gaine dolomitique aphanitique	10, 31	192	193	Moutonné	Cireuse	Fossiles, Qz	Bioforages	Semi-Translucide	Aphanitique	Nodule complet, de petite dimension	Terrain JCO 2009
19	1	Lac de la Carrière	Romaine	Indéterminé	Nodule complet	Chert	5,11	4,32	3,42	78,30	Gaine dolomitique aphanitique	10, 31	192	193	Moutonné	Cireuse	Fossiles, Qz	Bioforages	Semi-Translucide	Aphanitique	Traces d'oxydation sur le cortex	Terrain JCO 2009
20	1	Lac de la Carrière	Romaine	Indéterminé	Fragment de nodule	Chert	4,77	4,28	3,05	54,70	Gaine dolomitique aphanitique	10, 31	192	31, 193	Moutonné	Cireuse	Fossiles, Qz	Bioforages	Semi-Translucide	Aphanitique	Fossiles et vacuoles abondants	Terrain JCO 2009
21	1	Lac de la Carrière	Romaine	Indéterminé	Fragment de nodule	Chert	6,25	4,64	3,81	134,50	Gaine dolomitique aphanitique	192	31	61-62	Moutonné	Cireuse	Fossiles, Qz	Bioforages	Semi-Translucide	Aphanitique	Fossiles abondants	Terrain JCO 2009
22	1	Lac de la Carrière	Romaine	Indéterminé	Fragment de nodule	Chert	6,21	5,04	3,04	134,70	Gaine dolomitique aphanitique	10	32	31, 13	Moutonné	Cireuse	Fossiles, Qz		Semi-Translucide	Aphanitique	Vacuoles abondants, oxydation	Terrain JCO 2009
23	1	Lac de la Carrière	Romaine	Indéterminé	Fragment de nodule	Chert	6,04	6,01	3,13	142,50	Gaine dolomitique aphanitique	195	191	31	Moutonné	Mate	Fossiles	Structures circulaires siliceuses	Semi-Translucide	Aphanitique	Couleur crème dominante	Terrain JCO 2009
24	1	Lac de la Carrière	Romaine	Indéterminé	Fragment de nodule	Dolomie siliceuse	13,96	8,50	5,49	755,80	Gaine dolomitique aphanitique	62	63	14	Moutonné	Mate	Fossiles		Semi-Translucide	Aphanitique	Masse dolomitique siliceuse, structures de précipitation de la silice bien visibles	Terrain JCO 2009
25	1	Lac de la Carrière	Romaine	Indéterminé	Fragment de nodule	Chert	10,56	6,91	5,68	415,20	Gaine dolomitique aphanitique	10, 31	32	11, 62	Moutonné	Cireuse	Fossiles		Semi-Translucide	Aphanitique	Fossiles abondants	Terrain JCO 2009
26	1	Pointe aux Morts	Romaine	Sainte-Geneviève	Nodule complet	Chert Quartz laiteux	10,87	8,31	6,45	851,40	Gaine dolomitique aphanitique	10, 31	192	32, 62	Moutonné	Cireuse	Qz cristallin et fossiles abondants		Opaque	Aphanitique	Nodule complet, très cherteux, faiblement diaclasé. Source de matériel de prédilection.	Terrain JCO 2009
27	1	Crête Blanche			Bloc massif		13,25	8,21	4,43	505,40	NO		10	21	Homogène	Vitreuse	Non observées		Translucide	NA	Présence de diacalse	Terrain JCO 2009
28	1	Crête Blanche			Éclat	Quartzite	NA	NA	NA	NA	Surface plane; massif	21, 11	11	21, 22	Homogène	Rugueuse	Inclusions minérales opaques	Inclusions minérales brunes et noires.	Semi-Translucide	Moyenne	Éclat prélevé à partir d'un bloc massif (Photo #240). À proximité de la Crête Blanche	Terrain JCO 2009

Tableau LXXIII: Assemblages de débitage de chert de la Minganie

					zone												Coeff.
N	Nom	Code_Borden	Distance point zéro	Bornes	d'affleure ment	N éléments	classe_% _déb	%poids débitage	Poids moyen	% cortex	N.facettes 2 et +	N.cicatrice s 3 et +	% nombre <50mm²	%Nombre >400mm²	% nombre débris	% nombre bipolaire	Fractionnem ent
1	Ruisseau Marshes Barn Brook	EbCi-010	146,30	257	Non	47	0-20	13,20%	1,5069	14,89%	37,84%	60,87%	6,38%	12,77%	2,13%	2,13%	NA
2	Chutes Natasquan	EbCj-001	131,00	242	Non	0	NA	0,00%	NA	NA	NA	NA	NA	NA	NA	NA	NA
3	Petite Rivière Ouest	EbCn-001	81,28	192	Non	66	20-40	28,55%	1,2606	13,64%	22,73%	39,34%	7,58%	13,64%	7,58%	3,03%	33,00
4	Petite Rivière Ouest	EbCn-006	81,37	193	Non	1	0-20	0,10%	0,0500	0,00%	0,00%	0,00%	100,00%	0,00%	0,00%	0,00%	NA
5	Baie Pontbriand	EbCp-002	63,20	174	Non	67	0-20	1,16%	0,2888	0,00%	0,00%	16,07%	49,25%	4,48%	16,42%	4,48%	13,40
6	Colline Watshishou	EbCp-005	54,97	166	Non	24	0-20	0,70%	0,1104	0,00%	8,33%	15,00%	41,67%	0,00%	16,67%	0,00%	24,00
7	Baie Johan-Beetz	EbCq-001	44,55	155	Non	4	0-20	0,17%	0,4875	0,00%	100,00%	25,00%	25,00%	0,00%	0,00%	0,00%	NA
8	Rivière Watshishou	EbCq-007	53,14	164	Non	18	0-20	0,78%	0,3611	5,56%	33,33%	11,11%	27,78%	5,56%	0,00%	0,00%	NA
9	Île à la Chasse (74G Parcs Canada)	EbCs-010	22,29	133	Oui	114	40-60	59,44%	0,7648	5,26%	35,90%	10,48%	90,35%	1,75%	10,53%	0,88%	NA
10	Île Sainte-Geneviève (75G Parcs Canada)	EbCs-011	25,19	136	Oui	52	80-100	95,49%	0,0955	0,00%	33,33%	8,00%	56,86%	0,00%	9,80%	0,00%	NA
11	Baie de la Grande Hermine	EbCs-012	31,34	141	Non	9	0-20	1,73%	0,0750	0,00%	33,33%	33,33%	100,00%	0,00%	0,00%	0,00%	NA
12	Pointe de la Tête de Perdrix	EbCs-015	19,83	130	Oui	29	0-20	13,33%	0,0577	3,45%	17,65%	0,00%	100,00%	0,00%	0,00%	0,00%	29,00
13	Île Saint-Charles (72G Parcs Canada)	EbCt-002	7,89	119	Oui	8172	80-100	99,64%	0,6081	34,18%	17,70%	25,70%	71,74%	6,83%	13,09%	1,30%	1312,28
14	Pointe des Grès	EbCt-004	15,00	126	Oui	31	80-100	88,99%	0,1455	3,45%	31,25%	27,59%	90,91%	0,00%	6,45%	0,00%	NA
15	Havre de Betchouane	EbCt-005	17,39	128	Oui	33	80-100	95,24%	0,2063	6,06%	11,11%	3,13%	87,50%	0,00%	3,03%	0,00%	33,00
16	Havre Saint-Pierre	EbCu-002	4,04	109	Oui	750	80-100	100,00%	0,8825	12,80%	12,38%	20,85%	62,16%	7,77%	22,27%	8,53%	150,00
17	Havre Saint-Pierre	EbCv-001	13,13	98	Oui	41	80-100	96,72%	1,7667	12,80%	13,33%	70,27%	5,26%	26,32%	22,27%	9,76%	5,13
18	La Petite Rivière	EbCv-003	14,28	98	Oui	10	80-100	100,00%	1,6500	0,00%	60,00%	80,00%	25,00%	50,00%	0,00%	0,00%	NA
19	Havre Saint-Pierre	EbCv-004	13,37	98	Oui	55	80-100	93,20%	2,0423	0,00%	16,67%	65,31%	9,38%	37,50%	10,91%	21,82%	24,50
20	Havre Saint-Pierre	EbCv-005	8,96	104	Oui	26	60-80	79,62%	2,6442	11,54%	35,29%	41,67%	16,67%	50,00%	7,69%	11,54%	26,00
21	Havre Saint-Pierre	EbCv-015	9,52	103	Oui	2107	80-100	97,88%	0,1938	3,23%	19,38%	27,49%	87,17%	1,17%	5,70%	0,05%	1086,00
22	Havre Saint-Pierre	EbCv-015.1	9,52	103	Oui	13	80-100	94,24%	1,5000	7,69%	18,18%	41,67%	0,00%	10,00%	7,69%	0,00%	13,00
23	Île du Havre (71G Parcs Canada)	EbCv-026	11,89	99	Oui	4	20-40	20,83%	0,0625	0,00%	66,67%	0,00%	100,00%	0,00%	0,00%	0,00%	NA
24	Havre Saint-Pierre	EbCv-027	10,68	102	Oui	12	0-20	12,81%	0,1500	0,00%	40,00%	18,18%	75,00%	0,00%	8,33%	0,00%	NA
25	Havre Saint-Pierre	EbCv-030	14,30	97	Oui	1	0-20	19,11%	2,8000	0,00%	0,00%	0,00%	0,00%	0,00%	0,00%	0,00%	NA
26	Havre-Saint-Pierre	EbCv-031	14,49	98	Oui	1	20-40	20,07%	NA	0,00%	NA	NA	NA	NA	100,00%	0,00%	NA
27	Rivière Maleck	EbCw-002	29,52	84	Non	578	80-100	86,15%	0,3399	0,87%	66,56%	41,56%	56,77%	7,14%	2,60%	1,04%	52,54
28	Rivière Aisley	EbCw-003	26,17	87	Non	18	0-20	4,77%	0,6227	0,00%	42,86%	45,45%	45,45%	9,09%	0,00%	5,56%	18,00
29	Île Quarry (65G Parcs Canada)	EbCw-046	24,99	86	Oui	3	60-80	62,30%	0,6333	66,67%	0,00%	0,00%	33,33%	0,00%	66,67%	0,00%	NA
30	Petite Île Romaine (66G Parcs Canada)	EbCw-049	24,74	87	Oui	258	60-80	72,95%	0,1553	3,49%	14,12%	1,80%	97,27%	0,39%	12,40%	0,00%	NA
31	Petite Île Romaine (67G Parcs Canada)	EbCw-050	24,56	87	Oui	99	80-100	99,37%	3,3000	6,06%	23,26%	10,29%	78,89%	5,56%	30,30%	3,03%	NA
32	Pointe aux Morts	EbCw-051	19,36	93	Oui	46	80-100	87,71%	1,6429	41,30%	16,67%	18,75%	57,14%	28,57%	67,39%	2,17%	46,00
33	Rivière de l'Échourie	EbCx-002	37,10	76	Non	21	20-40	28,07%	9,9091	33,33%	6,67%	25,00%	0,00%	100,00%	4,76%	23,81%	21,00
34	Rivière Romaine	EbCx-003	35,56	77	Non	763	60-80	70,08%	1,4304	10,09%	31,29%	43,17%	27,27%	16,53%	8,78%	2,62%	30,52
35	Rivière Mingan	EbCx-005	41,26	72	Non	548	40-60	58,41%	1,2068	4,75%	49,24%	44,55%	24,69%	17,99%	2,74%	2,01%	182,33
36	Rivière Mingan	EbCx-006	40,69	73	Non	26	40-60	59,89%	1,2818	0,00%	16,67%	38,46%	27,27%	27,27%	15,38%	0,00%	NA
37	Rivière de l'Évhourie	EbCx-008	36,64	76	Non	12	0-20	10,72%	0,5000	25,00%	0,00%	40,00%	28,57%	0,00%	16,67%	0,00%	12,00
38	Rivière Mingan	EbCx-017	41,69	71	Non	368	80-100	88,65%	0,7867	16,08%	28,19%	23,03%	31,75%	15,87%	13,62%	5,45%	30,583
39	Rivière Mingan	EbCx-065	34,98	79	Non	10	0-20	0,78%	0,1857	0,00%	12,50%	60,00%	57,14%	0,00%	0,00%	0,00%	10
40	Rivière Mingan	EbCx-066	40,69	77	Non	4	0-20	0,27%	0,0667	0,00%	33,33%	75,00%	100,00%	0,00%	0,00%	0,00%	10
41	Mingan	EbDa-003	43,01	69	Non	11	60-80	73,52%	2,3778	36,36%	10,00%	18,18%	0,00%	44,44%	0,00%	36,36%	NA
42	Site Noui	EbDa-004	42,00	71	Non	0	NA	0,00%	NA	NA	NA	NA	NA	NA	NA	NA	NA
43	Île Nue (62G Parcs Canada)	EbDa-042	49,72	62	Oui	523	60-80	72,01%	0,3505	1,91%	36,71%	10,76%	88,15%	1,15%	4,59%	0,57%	130,75
44	Rivière-au-Tonnerre	EbDe-001	96,46	15	Non	527	80-100	99,91%	1,9489	44,21%	25,54%	46,25%	11,65%	24,50%	21,44%	12,52%	32,9375
45	Thunder Point	EbDe-002	93,53	18	Non	2	20-40	39,44%	6,6000	100,00%	0,00%	50,00%	0,00%	100,00%	0,00%	0,00%	1
46	Rivière Romaine	EjCw-004	155,20	NA	Non	0	NA	0,00%	NA	NA	NA	NA	NA	NA	NA	NA	NA
47	Rivière Romaine	EiCw-005	183,70	NA	Non	0	NA	0,00%	NA	NA	NA	NA	NA	NA	NA	NA	NA

Tableau LXXIV: Assemblages de débitage de quartzite EbCp

N	Nom	Code Borden	Bornes	N éléments	classe_% _deb	%poids débitage	Poids moyen	% cortex	N.facettes 2 et +	N.cicatrices 3 et +	% nombre <50mm²	%nombre >400mm²	% nombre débris	% nombre bipolaire	Coeff. Fractionne ment
1	Rivière Natashquan	EaCj-001	239	1	80-100	100,00%	0,500	0,00%	0,00%	0,00%	0,00%	0,00%	0,00%	0,00%	NA
2	Site Foreman	EbCi-001	259	7	0-20	2,60%	0,317	0,00%	14,29%	14,29%	0,00%	33,33%	0,00%	28,57%	3,5
3	Little river Ocher	EbCi-007	260	16	0-20	2,36%	0,200	0,00%	53,85%	18,75%	66,66%	0,00%	0,00%	68,75%	16
4	Ruisseau Marshes Barn Brook	EbCi-010	257	36	0-20	9,65%	1,227	5,56%	10,71%	50,00%	64,71%	17,65%	0,00%	61,11%	NA
5	Rivière Aguanish	EbCm-002	205	8	40-60	57,14%	2,856	5,56%	20,00%	0,00%	20,00%	60,00%	0,00%	12,50%	4
6	Île Michon	EbCm-005	200	49	80-100	100,00%	0,854	2,04%	65,00%	26,09%	53,85%	15,38%	6,12%	32,65%	NA
7	Rivière Nabisipi	EbCn-003	197	4	0-20	8,16%	2,500	0,00%	0,00%	0,00%	0,00%	100,00%	0,00%	0,00%	4
8	Rivière Nabisipi	EbCn-005	197	2	0-20	7,41%	2,500	0,00%	0,00%	0,00%	0,00%	100,00%	0,00%	0,00%	NA
9	Petite Rivière Ouest	EbCn-006	193	48	80-100	81,36%	0,665	2,08%	12,50%	95,45%	60,00%	10,00%	8,33%	27,08%	NA
10	Rivière Nabisipi	EbCn-009	198	11	80-100	100,00%	1,358	13,82%	15,52%	24,77%	37,48%	13,51%	0,91%	36,36%	NA
11	Petite-Rivière du Milieu-Est	EbCn-015	195	619	80-100	99,84%	1,042	16,15%	43,48%	27,98%	32,50%	10,71%	2,42%	50,24%	309,5
12	Rivière Watshishou	EbCp-001	166	2	80-100	83,83%	2,033	67,14%	50,00%	11,11%	0,00%	33,33%	55,00%	5,00%	NA
13	Baie Pontbriand	EbCp-002	174	4659	80-100	85,86%	0,441	0,69%	33,32%	20,28%	78,33%	5,17%	9,25%	36,68%	440,51
14	Baie Pontbriand	EbCp-003	173	4	80-100	95,15%	1,225	50,00%	25,00%	0,00%	0,00%	25,00%	0,00%	0,00%	NA
15	Baie Pontbriand	EbCp-004	173	15	40-60	51,72%	0,100	33,04%	20,00%	0,00%	33,33%	0,00%	6,67%	13,33%	15
16	Colline Watshishou	EbCp-005	166	87	40-60	53,37%	4,427	5,75%	9,52%	9,41%	74,29%	11,43%	2,30%	13,33%	43,5
17	Colline Watshishou	EbCp-006	166	29	60-80	60,42%	5,850	5,75%	0,00%	3,57%	70,00%	20,00%	3,45%	3,45%	NA
18	Baie Johan-Beetz	EbCq-001	155	32	0-20	13,19%	6,507	9,38%	25,00%	25,00%	33,33%	26,67%	0,00%	40,63%	NA
19	Baie Quetachou	EbCq-004	159	7	0-20	1,17%	0,213	0,00%	0,00%	66,67%	75,00%	0,00%	8,33%	57,14%	NA
20	Rivière Watshishou	EbCq-007	164	137	80-100	97,79%	9,631	5,11%	6,56%	10,16%	31,91%	31,91%	5,84%	16,06%	NA
21	Rivière Watshishou	EbCq-008	165	88	80-100	99,86%	0,373	0,00%	17,86%	19,32%	76,74%	2,33%	0,00%	39,77%	88
22	Rivière Corneille	EbCr-002	150	242	80-100	93,15%	0,895	0,83%	25,58%	22,94%	55,10%	15,31%	4,55%	37,19%	242
23	Île à la Chasse (74G Parcs Canada)	EbCs-010	133	0	NA	NA	NA	NA	NA	NA	NA	NA	NA	NA	NA
24	Île Sainte-Geneviève (75G Parcs Canada)	EbCs-011	136	16	0-20	2,79%	0,196	0,94%	63,79%	11,88%	81,61%	1,15%	3,77%	39,62%	8
25	Baie de la Grande Hermine	EbCs-012	141	5	0-20	0,26%	0,070	0,00%	0,00%	20,00%	100,00%	0,00%	0,00%	40,00%	5
26	Pointe de la Tête de Perdrix	EbCs-015	130	91	60-80	79,37%	0,185	0,00%	24,00%	7,69%	92,59%	7,41%	0,00%	30,77%	NA
27	Île Saint-Charles (72G Parcs Canada)	EbCt-002	119	9	0-20	0,01%	0,060	0,00%	40,00%	22,22%	100,00%	0,00%	0,00%	55,56%	NA
28	Pointe des Grès	EbCt-004	126	3	0-20	3,67%	0,067	0,00%	0,00%	0,00%	100,00%	0,00%	0,00%	0,00%	NA
29	Havre Saint-Pierre	EbCv-004	98	8	0-20	12,50%	1,050	0,00%	25,00%	62,50%	25,00%	25,00%	0,00%	12,50%	NA
30	Havre Saint-Pierre	EbCv-005	104	3	0-20	3,94%	0,100	0,00%	100,00%	0,00%	100,00%	0,00%	0,00%	33,33%	NA
31	Pointe aux Morts	EbCw-051	93	1	0-20	1,00%	0,600	0,00%	100,00%	0,00%	NA	NA	0,00%	100,00%	1
32	Rivière de l'Échourie	EbCx-002	76	77	20-40	28,07%	3,647	2,60%	56,10%	37,84%	0,00%	83,12%	3,90%	18,18%	38,5
33	Rivière Romaine	EbCx-003	77	254	0-20	11,31%	0,580	0,79%	26,28%	24,17%	58,49%	13,21%	5,51%	31,50%	127
34	Rivière Mingan	EbCx-005	72	86	0-20	5,60%	0,723	10,47%	43,64%	2,44%	37,50%	5,00%	4,65%	24,42%	28,66
35	Rivière de l'Évhourie	EbCx-008	76	2	20-40	38,12%	1,000	5,00%	18,18%	55,00%	42,86%	0,00%	0,00%	55,00%	NA
36	Rivière Mingan	EbCx-065	79	0	NA	NA	NA	NA	NA	NA	NA	NA	NA	NA	NA
37	Longue-Pointe-de-Mingan	EbDa-002	61	22	40-60	50,75%	3,077	4,55%	57,14%	20,00%	0,00%	42,86%	9,09%	36,36%	NA
38	Mingan	EbDa-003	69	0	NA	NA	NA	NA	NA	NA	NA	NA	NA	NA	NA
39	Site Noui	EbDa-004	71	38	20-40	28,98%	2,962	15,36%	28,84%	23,16%	0,04%	79,39%	6,73%	20,77%	3,1667

Tableau LXXV: Assemblages de débitage de quartzite Noui

N	Nom	Code_Borden	Bornes	N éléments	classe_% _deb	%poids débitage	Poids moyen	% cortex	N.facettes 2 et +	N.cicatrices 3 et +	% nombre <50mm²	%Nombre >400mm²	% nombre débris	% nombre bipolaire	Coeff. Fractionnement
1	Kégashka	EbCh-002	265	3	20-40	24,41%	0,800	33,33%	100,00%	33,33%	0,00%	0,00%	0,00%	66,67%	NA
2	Site Foreman	EbCi-001	259	539	60-80	68,48%	1,022	1,86%	33,44%	25,86%	54,10%	11,48%	2,23%	41,56%	134,750
3	Ruisseau Marshes Barn Brook	EbCi-010	257	0	NA	0,00%	NA	NA	NA	NA	NA	NA	NA	NA	NA
4	Rivière Aguanish	EbCm-002	205	6	20-40	26,53%	1,750	0,00%	50,00%	33,33%	0,00%	50,00%	0,00%	16,67%	NA
5	Île Michon	EbCm-005	200	49	60-80	66,67%	6,550	16,67%	25,00%	16,67%	0,00%	100,00%	0,00%	50,00%	NA
6	Rivière Nabisipi	EbCn-003	197	0	NA	0,00%	NA	NA	NA	NA	NA	NA	NA	NA	NA
7	Baie Pontbriand	EbCp-002	174	1	0-20	0,02%	0,600	0,00%	100,00%	100,00%	0,00%	0,00%	0,00%	100,00%	1,000
8	Baie Johan-Beetz	EbCq-001	155	820	40-60	55,39%	0,820	2,21%	18,33%	54,78%	7,65%	75,08%	1,20%	47,22%	NA
9	Havre Saint-Pierre	EbCv-001	98	2	0-20	1,31%	0,400	0,00%	NA	0,00%	NA	NA	0,00%	0,00%	NA
10	Havre Saint-Pierre	EbCv-001.1	98	143	80-100	99,89%	2,206	11,89%	34,51%	42,66%	2,94%	27,04%	0,00%	57,34%	47,667
11	Havre Saint-Pierre	EbCv-004	98	1	0-20	0,37%	0,400	0,00%	100,00%	100,00%	0,00%	0,00%	0,00%	0,00%	NA
12	Havre Saint-Pierre	EbCv-005	104	4	0-20	7,64%	2,750	0,00%	50,00%	25,00%	0,00%	50,00%	0,00%	25,00%	NA
13	Havre Saint-Pierre	EbCv-027	102	32	60-80	68,97%	0,354	0,00%	18,92%	10,87%	27,27%	0,00%	1,43%	30,71%	NA
14	Havre-Saint-Pierre	EbCv-031	98	71	60-80	79,93%	0,411	0,00%	47,92%	26,44%	13,23%	32,80%	1,41%	50,00%	71,000
15	Petite Île Romaine (66G Parcs Canada)	EbCw-049	87	6	0-20	14,06%	3,700	0,00%	0,00%	0,00%	80,00%	0,00%	1,41%	33,33%	NA
16	Rivière de l'Échourie	EbCx-002	76	0	NA	0,00%	NA	NA	NA	NA	NA	NA	NA	NA	NA
17	Rivière Mingan	EbCx-005	72	95	0-20	8,71%	1,019	0,00%	62,85%	31,56%	3,74%	59,11%	0,38%	36,66%	NA
18	Rivière de l'Évhourie	EbCx-008	76	16	40-60	48,75%	0,513	12,50%	28,57%	56,25%	25,00%	0,00%	0,00%	37,50%	NA
19	Rivière Mingan	EbCx-065	79	3	0-20	1,49%	3,230	0,00%	0,00%	33,33%	0,00%	66,67%	0,00%	0,00%	1,000
20	Rivière Mingan	EbCx-066	77	348	60-80	73,68%	0,173	0,57%	34,27%	44,20%	94,74%	0,58%	8,33%	20,11%	NA
21	Longue-Pointe-de-Mingan	EbDa-002	61	34	40-60	49,25%	1,292	0,00%	39,13%	14,71%	8,33%	16,66%	0,00%	41,18%	NA
22	Mingan	EbDa-003	69	0	NA	0,00%	NA	NA	NA	NA	NA	NA	NA	NA	NA
23	Site Noui	EbDa-004	71	982	60-80	70,99%	2,360	3,46%	64,21%	43,30%	9,20%	34,20%	1,93%	39,82%	65,460
24	Rivière Mingan	EbDa-005	70	112	80-100	100,00%	1,050	0,89%	31,03%	28,97%	31,43%	8,57%	4,46%	45,54%	112,000
25	Rivière Magpie	EbDc-001	38	232	80-100	100,00%	1,226	0,86%	37,13%	21,83%	22,94%	20,18%	1,29%	40,95%	232,000
26	Thunder Point	EbDe-002	18	9	20-40	36,15%	1,325	0,00%	25,00%	22,22%	25,00%	25,00%	1,29%	44,44%	NA

Tableau LXXVI: Assemblages de débitage de quartzite de Ramah

N	Nom	Code_Borden	Bornes	N éléments	classe_% _deb	%poids débitage	Poids moyen	% cortex	N.facettes 2 et +	N.cicatrices 3 et +	% nombre <50mm²	% nombre >400mm²	% nombre débris	% nombre bifacial	Coeff. Fractionnement
1	Site Foreman	EbCi-001	259	74	0-20	4,61%	0,24	0,00%	65,79%	35,14%	70,83%	4,17%	0,00%	52,70%	14,80
2	Rivière Kégashka	EbCi-002	258	5	0-20	0,28%	0,13	0,00%	100,00%	80,00%	100,00%	0,00%	0,00%	40,00%	NA
3	Little river Ocher	EbCi-007	260	0	NA	NA	NA	NA	NA	NA	NA	NA	NA	NA	NA
4	Ruisseau Marshes Barn Brook	EbCi-010	257	80	20-40	21,45%	0,17	0,00%	59,09%	48,10%	77,78%	0,00%	0,27%	42,50%	20,00
5	Rivière Watshishou	EbCp-001	166	8	0-20	3,29%	0,07	0,00%	83,33%	12,50%	60,00%	0,00%	0,00%	75,00%	NA
6	Baie Pontbriand	EbCp-002	174	172	0-20	0,37%	0,07	0,00%	45,45%	33,06%	81,13%	0,00%	0,00%	47,58%	43,00
7	Baie Johan-Beetz	EbCq-001	155	17	0-20	1,15%	0,17	0,00%	94,43%	79,69%	30,00%	0,00%	0,00%	75,78%	8,50
8	Baie Quetachou	EbCq-004	159	17	0-20	6,15%	0,21	0,00%	31,58%	40,00%	64,29%	0,00%	0,00%	51,43%	NA
9	Rivière Watshishou	EbCq-007	164	2	0-20	0,02%	0,05	0,00%	0,00%	50,00%	100,00%	0,00%	0,00%	100,00%	NA
10	Île à la Chasse (74G Parcs Canada)	EbCs-010	133	72	0-20	8,95%	0,06	0,00%	65,00%	23,61%	98,18%	0,00%	0,00%	19,44%	36,00
11	Île Sainte-Geneviève (75G Parcs Canada)	EbCs-011	136	8	0-20	0,07%	0,08	0,00%	100,00%	12,50%	100,00%	0,00%	0,00%	37,50%	4,00
12	Baie de la Grande Hermine	EbCs-012	141	232	20-40	33,07%	0,13	0,00%	62,55%	61,32%	38,14%	26,05%	0,00%	44,71%	232,00
13	Pointe de la Tête de Perdrix	EbCs-015	130	2	0-20	0,63%	0,05	0,00%	0,00%	0,00%	NA	NA	0,00%	50,00%	NA
14	Île Saint-Charles (72G Parcs Canada)	EbCt-002	119	95	0-20	0,13%	0,05	0,00%	77,55%	22,11%	94,19%	0,00%	0,00%	43,16%	47,50
15	Pointe des Grès	EbCt-004	126	2	0-20	2,75%	0,05	0,00%	0,00%	50,00%	100,00%	0,00%	0,00%	0,00%	NA
16	Havre de Betchouane	EbCt-005	128	4	0-20	3,97%	0,07	0,00%	0,00%	25,00%	100,00%	0,00%	0,00%	50,00%	NA
17	Havre Saint-Pierre	EbCv-001.1	98	1	0-20	0,11%	0,30	0,00%	0,00%	100,00%	0,00%	0,00%	0,00%	0,00%	NA
18	Havre Saint-Pierre	EbCv-005	104	1	0-20	0,12%	0,10	0,00%	0,00%	100,00%	100,00%	0,00%	0,00%	0,00%	0,50
19	Île du Havre (71G Parcs Canada)	EbCv-026	99	6	20-40	25,00%	0,05	0,00%	0,00%	0,00%	100,00%	0,00%	0,00%	16,67%	NA
20	Rivière Aisley	EbCw-003	87	1	0-20	0,02%	0,05	0,00%	0,00%	0,00%	100,00%	0,00%	0,00%	100,00%	NA
21	Île Quarry (65G Parcs Canada)	EbCw-046	86	0	NA	NA	NA	NA	NA	NA	NA	NA	NA	NA	NA
22	Rivière de l'Echourie	EbCx-002	76	11	0-20	3,16%	1,23	0,00%	100,00%	54,55%	0,00%	33,33%	0,00%	45,45%	5,50
23	Rivière Romaine	EbCx-003	77	5	0-20	0,35%	0,05	0,00%	100,00%	80,00%	100,00%	0,00%	0,00%	60,00%	NA
24	Rivière Mingan	EbCx-005	72	11	0-20	0,62%	0,26	0,00%	85,71%	45,45%	20,00%	0,00%	0,00%	18,18%	5,50
25	Rivière Mingan	EbCx-006	73	10	0-20	2,49%	0,26	0,00%	71,43%	30,00%	100,00%	0,00%	0,00%	70,00%	10,00
26	Mingan	EbDa-003	69	0	NA	NA	NA	NA	NA	NA	NA	NA	NA	NA	NA
27	Site Noui	EbDa-004	71	6	0-20	0,03%	0,14	0,00%	NA	50,00%	100,00%	0,00%	0,00%	0,00%	NA
28	Île Nue (62G Parcs Canada)	EbDa-042	62	21	20-40	20,86%	0,09	0,00%	62,50%	23,81%	70,59%	0,00%	0,00%	23,81%	NA
29	Tonnerre-Jupitagon	EbDe-003	21	21	20-40	20,95%	0,10	0,00%	25,00%	19,05%	NA	NA	0,00%	19,05%	21,00
30	Rivière Romaine	EkCw-004	NA	1	0-20	0,51%	0,07	0,00%	0,00%	100,00%	NA	NA	0,00%	NA	NA
31	Rivière Romaine	ElCw-002	NA	2	80-100	100,00%	0,16	0,00%	50,00%	0,00%	0,00%	0,00%	0,00%	50,00%	NA

Tableau LXXVII: Catalogue de débitage par matériaux pour le secteur archéologique de la rivière au Tonnerre

						N. cicatrices dorsales								
Site	Matière Finale	N	% N	Poids	% Poids	1	%	2	%	3	%	N.débris	Débris %	Total
EbDa-002	Quartzite EbCp	22	39,29%	67,7	50,75%	1	4,55%	15	68,18%	4	18,18%	2	9,09%	22
	Quartzite Noui	34	60,71%	65,7	49,25%	2	5,88%	27	79,41%	5	14,71%	0	0,00%	34
Total EbDa-002		56	100,00%	133,4	100,00%	3	5,36%	42	75,00%	9	16,07%	2	3,57%	56
EbDc-001	Quartzite Noui	232	100,00%	67,7	100,00%	26	11,21%	153	65,95%	50	21,55%	3	1,29%	232
Total EbDc-001		232	100,00%	65,7	100,00%	26	11,21%	153	65,95%	50	21,55%	3	1,29%	232
EbDd-002	Quartzite de Wishart	2	28,57%	1,5	31,25%	1	50,00%	0	0,00%	0	0,00%	1	50,00%	2
	Quartzite fin grisâtre	5	71,43%	3,3	68,75%	5	100,00%	0	0,00%	0	0,00%	0	0,00%	5
Total EbDd-002		7	100,00%	4,8	100,00%	6	85,71%	0	0,00%	0	0,00%	1	14,29%	7
EbDe-001	Chert Mingan	527	99,81%	1219,15	99,91%	61	11,57%	161	30,55%	191	36,24%	114	21,63%	527
	Quartz hyalin	1	0,19%	1,1	0,09%	0	0,00%	0	0,00%	1	100,00%	0	0,00%	1
Total EbDe-001		528	100,00%	1220,25	100,00%	61	11,55%	161	30,49%	192	36,36%	114	21,59%	528
EbDe-002	Chert Mingan	2	11,76%	8,4	39,44%	0	0,00%	1	50,00%	1	50,00%	0	0,00%	2
	Quartzite fin grisâtre	6	35,29%	5,2	24,41%	1	16,67%	3	50,00%	2	33,33%	0	0,00%	6
	Quartzite Noui	9	52,94%	7,7	36,15%	0	0,00%	7	77,78%	2	22,22%	0	0,00%	9
Total EbDe-002		17	100,00%	21,3	100,00%	1	5,88%	11	64,71%	5	29,41%	0	0,00%	17
EbDe-003	Quartz hyalin	9	27,27%	5,4	51,43%	0	0,00%	6	66,67%	0	0,00%	3	33,33%	9
	Quartzite de Ramah	21	63,64%	2,2	20,95%	1	4,76%	16	76,19%	4	19,05%	0	0,00%	21
	Quartzite de Wishart	3	9,09%	2,9	27,62%	0	0,00%	2	66,67%	0	0,00%	1	33,33%	3
Total EbDe-003		33	100,00%	10,5	100,00%	1	3,03%	24	72,73%	4	12,12%	4	12,12%	33
EbDf-001	Mudstone gris marbré	1	50,00%	0,5	25,00%	0	0,00%	0	0,00%	1	100,00%	0	0,00%	1
	Rhyolite mauve BJB	1	50,00%	1,5	75,00%	0	0,00%	0	0,00%	1	100,00%	0	0,00%	1
Total EbDf-001		2	100,00%	2	100,00%	0	0,00%	0	0,00%	2	100,00%	0	0,00%	2

Tableau LXXVIII: Catalogue de débitage par matériaux pour le secteur archéologique de Mingan

						N. cicatrices dorsales								
Site	Matière Finale	N	% N	Poids (g)	% Poids	1	%	2	%	3	%	N.débris	Débris %	Total
EbCx-002	Chert marbré gris-beige-mauve	10	7,09%	19,9	3,83%	0	0,00%	2	20,00%	8	80,00%	0	0,00%	10
	Chert Mingan	21	14,89%	145,8	28,07%	4	19,05%	11	52,38%	5	23,81%	1	4,76%	21
	Quartz enfumé	1	0,71%	2,2	0,42%	0	0,00%	1	100,00%	0	0,00%	0	0,00%	1
	Quartz hyalin	5	3,55%	7,5	1,44%	0	0,00%	1	20,00%	3	60,00%	1	20,00%	5
	Quartz hyalin avec inclusions brunes	13	9,22%	79	15,21%	2	15,38%	3	23,08%	8	61,54%	0	0,00%	13
	Quartz laiteux avec inclusions brunes	3	2,13%	9,6	1,85%	0	0,00%	1	33,33%	2	66,67%	0	0,00%	3
	Quartzite de Ramah	11	7,80%	16,4	3,16%	0	0,00%	5	45,45%	6	54,55%	0	0,00%	11
	Quartzite EbCp	77	54,61%	239,1	46,03%	1	1,30%	45	58,44%	28	36,36%	3	3,90%	77
Total EbCx-002		141	100,00%	519,5	100,00%	7	4,96%	69	48,94%	60	42,55%	5	3,55%	141
EbCx-003	Calcédoine bleutée	5	0,37%	0,55	0,04%	0	0,00%	2	40,00%	3	60,00%	0	0,00%	5
	Chert brun carbonaté	36	2,64%	10,5	0,77%	0	0,00%	10	27,78%	26	72,22%	0	0,00%	36
	Chert marbré gris-beige-mauve	22	1,62%	1,85	0,14%	0	0,00%	7	31,82%	15	68,18%	0	0,00%	22
	Chert Mingan	763	56,02%	959,5	70,08%	25	3,28%	370	48,49%	300	39,32%	68	8,91%	763
	Chert rhyolitique noir	19	1,40%	12,7	0,93%	0	0,00%	2	10,53%	17	89,47%	0	0,00%	19
	Chert vert lustré	1	0,07%	0,6	0,04%	0	0,00%	1	100,00%	0	0,00%	0	0,00%	1
	Quartz hyalin	237	17,40%	219,35	16,02%	11	4,46%	143	60,34%	65	27,43%	18	7,59%	237
	Quartzite de Ramah	5	0,37%	4,8	0,35%	0	0,00%	1	20,00%	4	80,00%	0	0,00%	5
	Quartzite EbCp	254	18,65%	154,9	11,31%	11	4,33%	171	67,32%	58	22,83%	14	5,51%	254
	Quartzite fin de Kégashka	1	0,07%	0,3	0,02%	0	0,00%	1	100,00%	0	0,00%	0	0,00%	1
	Rhyolite bleutée	6	0,44%	0,9	0,07%	0	0,00%	2	33,33%	4	66,67%	0	0,00%	6
	Rhyolite intraclastique	12	0,88%	2,65	0,19%	0	0,00%	5	41,67%	7	58,33%	0	0,00%	12
	Rhyolite mauve BJB	1	0,07%	0,5	0,04%	0	0,00%	0	0,00%	1	100,00%	0	0,00%	1
Total EbCx-003		1362	100,00%	1369,1	100,00%	47	3,45%	715	52,50%	500	36,71%	100	7,34%	1362
EbCx-005	Chert Mingan	548	64,32%	437,3	58,41%	29	5,29%	267	48,72%	237	43,25%	15	2,74%	548
	Quartz hyalin avec inclusions brunes	112	13,15%	199,56	26,66%	21	18,75%	71	63,39%	7	6,25%	13	11,61%	112
	Quartzite de Ramah	11	1,29%	4,65	0,62%	0	0,00%	6	54,55%	5	45,45%	0	0,00%	11
	Quartzite EbCp	86	10,09%	41,9	5,60%	24	27,91%	56	65,12%	2	2,33%	4	4,65%	86
	Quartzite Noui	95	11,15%	65,2	8,71%	7	7,37%	67	70,53%	19	20,00%	2	2,11%	95
Total EbCx-005		852	100,00%	748,61	100,00%	81	9,51%	467	54,81%	270	31,69%	34	3,99%	852
EbCx-006	Chert Mingan	26	50,98%	21,65	59,89%	0	0,00%	16	61,54%	10	38,46%	15	2,74%	26
	Chert rhyolitique noir	4	7,84%	11,2	30,98%	0	0,00%	0	0,00%	4	100,00%	13	11,61%	4
	Mudstone gris marbré	11	21,57%	2,4	6,64%	0	0,00%	2	18,18%	9	81,82%	0	0,00%	11
	Quartzite de Ramah	10	19,61%	0,9	2,49%	0	0,00%	7	70,00%	3	30,00%	4	4,65%	10
Total EbCx-006		51	100,00%	36,15	100,00%	0	0,00%	25	49,02%	26	50,98%	2	2,11%	51
EbCx-008	Chert Mingan	12	24,00%	6,2	10,72%	0	0,00%	6	50,00%	4	33,33%	2	16,67%	12
	Quartzite EbCp	20	40,00%	22,05	38,12%	0	0,00%	9	45,00%	11	55,00%	0	0,00%	20
	Quartzite fin grisâtre	1	2,00%	0,9	1,56%	0	0,00%	0	0,00%	1	100,00%	0	0,00%	1
	Quartzite fin de Kégashka	1	2,00%	0,5	0,86%	0	0,00%	0	0,00%	1	100,00%	0	0,00%	1
	Quartzite Noui	16	32,00%	28,2	48,75%	0	0,00%	7	43,75%	9	56,25%	0	0,00%	16
Total EbCx-008		50	100,00%	57,85	100,00%	0	0,00%	22	44,00%	26	52,00%	2	4,00%	50

Suite à la page suivante

						N. cicatrices dorsales								
Site	Matière Finale	N	% N	Poids (g)	% Poids	1	%	2	%	3	%	N.débris	Débris %	Total
EbCx-017	Chert "La Romaine"	110	19,33%	21,05	5,77%	6	5,45%	71	64,55%	33	30,00%	0	0,00%	110
	Chert Mingan	368	64,67%	323,25	88,65%	39	10,60%	206	55,98%	73	19,84%	50	13,59%	368
	Quartz hyalin avec inclusions brunes	1	0,18%	2,7	0,74%	0	0,00%	0	0,00%	1	100,00%	0	0,00%	1
	Quartzite fin de Kégashka	90	15,82%	17,65	4,84%	4	4,44%	57	63,33%	26	28,89%	3	3,33%	90
Total EbCx-017		569	100,00%	364,65	100,00%	49	8,61%	334	58,70%	133	23,37%	53	9,31%	569
EbCx-065	Chert Mingan	10	3,46%	5,05	0,78%	0	0,00%	4	40,00%	6	60,00%	0	0,00%	10
	Quartz hyalin	1	0,35%	0,5	0,08%	0	0,00%	1	100,00%	0	0,00%	0	0,00%	1
	Quartz hyalin avec inclusions brunes	164	56,75%	312,85	48,03%	0	0,00%	89	54,27%	50	30,49%	25	15,24%	164
	Quartz hyalin enfumé	111	38,41%	323,25	49,63%	3	2,70%	59	53,15%	18	16,22%	31	27,93%	111
	Quartzite Noui	3	1,04%	9,7	1,49%	0	0,00%	2	66,67%	1	33,33%	0	0,00%	3
Total EbCx-065		289	100,00%	651,35	100,00%	3	1,04%	155	53,63%	75	25,95%	56	19,38%	289
EbCx-066	Chert Mingan	4	3,46%	0,25	0,27%	0	0,00%	1	25,00%	3	75,00%	0	0,00%	4
	Quartz hyalin avec inclusions brunes	56	0,35%	23,7	26,04%	0	0,00%	32	57,14%	24	42,86%	0	0,00%	56
	Quartzite Noui	348	38,06%	67,05	73,68%	7	2,01%	171	49,14%	141	40,52%	29	8,33%	348
Total EbCx-066		408	0,35%	91	100,00%	7	1,72%	204	50,00%	168	41,18%	29	7,11%	408
EbDa-003	Chert Mingan	11	50,00%	26,1	73,52%	2	18,18%	7	63,64%	2	18,18%	0	0,00%	11
	Quartz hyalin avec inclusions brunes	10	45,45%	7,8	21,97%	0	0,00%	8	80,00%	2	20,00%	0	0,00%	10
	Schiste à hornblende	1	4,55%	1,6	4,51%	0	0,00%	1	100,00%	0	0,00%	0	0,00%	1
Total EbDa-003		22	100,00%	35,5	100,00%	2	9,09%	16	72,73%	4	18,18%	0	0,00%	22
EbDa-004	Quartzite de Ramah	6	0,44%	0,85	0,03%	0	0,00%	3	50,00%	3	50,00%	0	0,00%	6
	Quartzite EbCp	380	27,78%	725,15	28,98%	21	5,53%	260	68,42%	71	18,68%	28	7,37%	380
	Quartzite Noui	982	71,78%	1776,58	70,99%	44	4,48%	502	51,12%	417	42,46%	19	1,93%	982
Total EbDa-004		1368	100,00%	2502,58	100,00%	65	4,68%	765	55,92%	491	35,89%	47	3,44%	1368
EbDa-005	Quartzite Noui	112	100,00%	117,6	100,00%	4	3,57%	72	64,29%	31	27,68%	5	4,46%	112
Total EbDa-005		112	100,00%	117,6	100,00%	4	3,57%	72	64,29%	31	27,68%	5	4,46%	112

Tableau LXXIX: Catalogue de débitage par matériaux pour le secteur archéologique de l'archipel

						N. cicatrices dorsales								
Site	Matière Finale	N	% N	Poids (g)	% Poids	1	%	2	%	3	%	N.débris	Débris %	Total
EbCv-026 (71G)	Chert Mingan	4	17,39%	0,25	20,83%	1	25,00%	3	75,00%	0	0,00%	0	0,00%	4
	Quartz hyalin	13	56,52%	0,65	54,17%	8	61,54%	5	38,46%	0	0,00%	0	0,00%	13
	Quartzite de Ramah	6	26,09%	0,3	25,00%	3	50,00%	3	50,00%	0	0,00%	0	0,00%	6
Total EbCv-026 (71G)		23	100,00%	1,2	100,00%	12	52,17%	11	47,83%	0	0,00%	0	0,00%	23
EbCw-046 (65G)	Chert Mingan	3	11,54%	1,9	62,30%	1	33,33%	0	0,00%	0	0,00%	2	66,67%	3
	Quartz hyalin	23	88,46%	1,15	37,70%	13	56,52%	8	34,78%	0	0,00%	2	8,70%	23
Total EbCw-046 (65G)		26	100,00%	3,05	100,00%	14	53,85%	8	30,77%	0	0,00%	4	15,38%	26
EbCw-046 (65G)	Chert Mingan	3	11,54%	1,9	62,30%	1	33,33%	0	0,00%	0	0,00%	2	66,67%	3
	Quartz hyalin	23	88,46%	1,15	37,70%	13	56,52%	8	34,78%	0	0,00%	2	8,70%	23
Total EbCw-046 (65G)		26	100,00%	3,05	100,00%	14	53,85%	8	30,77%	0	0,00%	4	15,38%	26
EbCw-049 (66G)	Chert Mingan	258	76,56%	20,5	72,95%	92	35,66%	126	48,84%	4	1,55%	36	13,95%	258
	Quartz hyalin	73	21,66%	3,65	12,99%	28	38,36%	33	45,21%	0	0,00%	12	16,44%	73
	Quartzite Noui	6	1,78%	3,95	14,06%	3	50,00%	3	50,00%	0	0,00%	0	0,00%	6
Total EbCw-049 (66G)		337	100,00%	28,1	100,00%	123	36,50%	162	48,07%	4	1,19%	48	14,24%	337
EbCw-050 (67G)	Chert Mingan	99	97,06%	365,55	99,37%	20	20,20%	41	41,41%	7	7,07%	31	31,31%	99
	Quartz hyalin	3	2,94%	2,3	0,63%	0	0,00%	3	100,00%	0	0,00%	0	0,00%	3
Total EbCw-050 (67G)		102	100,00%	367,85	100,00%	20	19,61%	44	43,14%	7	6,86%	31	30,39%	102
EbDa-042 (62G)	Calcédoine bleutée	3	0,44%	0,15	0,13%	0	0,00%	2	66,67%	1	33,33%	0	0,00%	3
	Chert brun caramel	73	10,60%	4,2	3,77%	15	20,55%	47	64,38%	8	10,96%	3	4,11%	73
	Chert gris moutonné	1	0,15%	0,05	0,04%	1	100,00%	0	0,00%	0	0,00%	0	0,00%	1
	Chert gris-verdâtre (fosse Lab)	10	1,45%	0,5	0,45%	1	10,00%	8	80,00%	1	10,00%	0	0,00%	10
	Chert Mingan	523	75,91%	80,24	72,00%	194	37,09%	254	48,57%	54	10,33%	21	4,02%	523
	Chert vert lustré	30	4,35%	1,5	1,35%	4	13,33%	20	66,67%	6	20,00%	0	0,00%	30
	Quartz hyalin	8	1,16%	0,55	0,49%	5	62,50%	3	37,50%	0	0,00%	0	0,00%	8
	Quartz hyalin avec inclusions brunes	19	2,76%	0,95	0,85%	8	42,11%	9	47,37%	1	5,26%	1	5,26%	19
	Quartzite de Ramah	21	3,05%	23,25	20,86%	4	19,05%	12	57,14%	5	23,81%	0	0,00%	21
	Silex?	1	0,15%	0,05	0,04%	1	100,00%	0	0,00%	0	0,00%	0	0,00%	1
Total EbDa-042 (62G)		689	100,00%	111,44	100,00%	233	33,82%	355	51,52%	76	11,03%	25	3,63%	689

Tableau LXXX: Catalogue de débitage par matériaux pour le secteur archéologique de Havre-Saint-Pierre

						N. cicatrices dorsales								
Site	Matière Finale	N	% N	Poids	% Poids	1	%	2	%	3	%	N.débris	Débris %	Total
EbCu-002	Chert Mingan	750	100,00%	579,45	100,00%	48	6,40%	419	55,87%	123	16,40%	160	21,33%	750
Total EbCu-002		750	100,00%	579,45	100,00%	48	6,40%	419	55,87%	123	16,40%	160	21,33%	750
EbCv-001	Chert marbré gris-beige-mauve	1	2,13%	0,7	1,15%	0	0,00%	0	0,00%	1	100,00%	0	0,00%	1
	Chert Mingan	41	87,23%	59	96,72%	1	2,44%	10	24,39%	26	63,41%	4	9,76%	41
	Chert rhyolitique noir	1	2,13%	0,3	0,49%	0	0,00%	0	0,00%	1	100,00%	0	0,00%	1
	Quartzite Noui	2	4,26%	0,8	1,31%	0	0,00%	2	100,00%	0	0,00%	0	0,00%	2
	Shale vert oxydé	2	4,26%	0,2	0,33%	0	0,00%	1	50,00%	1	50,00%	0	0,00%	2
Total EbCv-001		47	100,00%	61	100,00%	1	2,13%	13	27,66%	29	61,70%	4	8,51%	47
EbCv-001.1	Quartzite de Ramah	1	0,69%	0,3	0,11%	8	0,00%	0	0,00%	1	100,00%	0	0,00%	1
	Quartzite Noui	143	99,31%	285,4	99,89%	8	5,59%	74	51,75%	61	42,66%	0	0,00%	143
Total EbCv-001.1		144	100,00%	285,7	100,00%	0	5,56%	0	51,39%	62	43,06%	0	0,00%	144
EbCv-003	Chert Mingan	10	100,00%	8,2	100,00%	0	0,00%	2	20,00%	8	80,00%	0	0,00%	10
Total EbCv-003		10	100,00%	8,2	100,00%	0	0,00%	2	20,00%	8	80,00%	0	0,00%	10
EbCv-004	Chert Mingan	55	85,94%	101,3	93,19%	1	1,82%	16	29,09%	32	58,18%	6	10,91%	55
	Quartzite EbCp	8	12,50%	7	6,44%	0	0,00%	3	37,50%	5	62,50%	0	0,00%	8
	Quartzite Noui	1	1,56%	0,4	0,37%	0	0,00%	1	100,00%	0	0,00%	0	0,00%	1
Total EbCv-004		64	100,00%	108,7	100,00%	1	1,56%	20	31,25%	37	57,81%	6	9,38%	64
EbCv-005	Chert brun caramel	1	2,17%	0,8	0,93%	0	0,00%	0	0,00%	1	100,00%	0	0,00%	1
	Chert Mingan	26	56,52%	68,75	79,62%	4	15,38%	10	38,46%	10	38,46%	2	7,69%	26
	Quartz hyalin	6	13,04%	3,3	3,82%	0	0,00%	3	50,00%	3	50,00%	0	0,00%	6
	Quartzite de Ramah	1	2,17%	0,1	0,12%	0	0,00%	0	0,00%	1	100,00%	0	0,00%	1
	Quartzite EbCp	3	6,52%	3,4	3,94%	0	0,00%	3	100,00%	0	0,00%	0	0,00%	3
	Quartzite Noui	4	8,70%	6,6	7,64%	0	0,00%	3	75,00%	1	25,00%	0	0,00%	4
	Rhyolite vert forêt	5	10,87%	3,4	3,94%	0	0,00%	2	40,00%	3	60,00%	0	0,00%	5
Total EbCv-005		46	100,00%	86,35	100,00%	4	8,70%	21	45,65%	19	41,30%	2	4,35%	46
EbCv-015	Chert Mingan	2107	99,62%	235,9	97,88%	43	2,04%	1397	66,30%	546	25,91%	121	5,74%	2107
	Quartz hyalin avec inclusions brunes	8	0,38%	5,1	2,12%	0	0,00%	7	87,50%	1	12,50%	0	0,00%	8
Total EbCv-015		2115	100,00%	241	100,00%	3	2,04%	1404	66,38%	547	25,86%	121	5,72%	2115
EbCv-015.2	Chert marbré gris-beige-mauve	4	20,00%	0,25	1,32%	0	0,00%	3	75,00%	1	25,00%	0	0,00%	4
	Chert Mauve	1	5,00%	0,05	0,26%	0	0,00%	1	100,00%	0	0,00%	0	0,00%	1
	Chert Mingan	13	65,00%	18	95,24%	1	7,69%	6	46,15%	5	38,46%	1	7,69%	13
	Quartz hyalin	2	10,00%	0,6	3,17%	0	0,00%	0	0,00%	2	100,00%	0	0,00%	2
Total EbCv-015.2		20	100,00%	18,9	100,00%	1	5,00%	10	50,00%	8	40,00%	1	5,00%	20
EbCv-027	Chert brun caramel	11	19,64%	1,55	15,27%	0	0,00%	5	45,45%	6	54,55%	0	0,00%	11
	Chert Mingan	12	21,43%	1,3	12,81%	0	0,00%	9	75,00%	2	16,67%	1	8,33%	12
	Quartzite grossier "poivre et sel"	1	1,79%	0,3	2,96%	0	0,00%	1	100,00%	0	0,00%	0	0,00%	1
	Quartzite Noui	32	57,14%	7	68,97%	1	3,13%	24	75,00%	6	18,75%	1	3,13%	32
Total EbCv-027		56	100,00%	10,15	100,00%	1	1,79%	39	69,64%	14	25,00%	2	3,57%	56

Suite à la page suivante

						N. cicatrices dorsales								
Site	Matière Finale	N	% N	Poids	% Poids	1	%	2	%	3	%	N.débris	Débris %	Total
EbCv-030	Argilite blanchâtre	21	72,41%	11,35	77,47%	5	23,81%	8	38,10%	4	19,05%	4	19,05%	21
	Chert marbré gris-beige-mauve	7	24,14%	0,5	3,41%	0	0,00%	2	28,57%	5	71,43%	0	0,00%	7
	Chert Mingan	1	3,45%	2,8	19,11%	0	0,00%	1	100,00%	0	0,00%	0	0,00%	1
Total EbCv-030		29	100,00%	14,65	100,00%	5	17,24%	11	37,93%	9	31,03%	4	13,79%	29
EbCv-031	Chert Mingan	1	1,39%	5,9	20,07%	0	0,00%	0	0,00%	0	0,00%	1	100,00%	1
	Quartzite Noui	71	98,61%	23,5	79,93%	2	2,82%	55	77,46%	13	18,31%	1	1,41%	71
Total EbCv-031		72	100,00%	29,4	100,00%	2	2,78%	55	76,39%	13	18,06%	2	2,78%	72
EbCw-002	Chert brun carbonaté	9	1,47%	1,45	0,67%	0	0,00%	3	33,33%	6	66,67%	0	0,00%	9
	Chert Mingan	578	94,14%	186,6	86,15%	9	1,56%	320	55,36%	234	40,48%	15	2,60%	578
	Quartz hyalin	26	4,23%	26,95	12,44%	1	3,85%	15	57,69%	3	11,54%	7	26,92%	26
	Quartz laiteux	1	0,16%	1,6	0,74%	0	0,00%	1	100,00%	0	0,00%	0	0,00%	1
Total EbCw-002		614	100,00%	216,6	100,00%	10	1,63%	339	55,21%	243	39,58%	22	3,58%	614
EbCw-003	Chert brun carbonaté	96	25,13%	50,9	25,30%	5	5,21%	55	57,29%	36	37,50%	0	0,00%	96
	Chert gris moutonné	23	6,02%	5,65	2,81%	1	4,35%	15	65,22%	7	30,43%	0	0,00%	23
	Chert gris-verdâtre (fosse Lab)	1	0,26%	0,3	0,15%	0	0,00%	0	0,00%	1	100,00%	0	0,00%	1
	Chert marbré gris-beige-mauve	67	17,54%	21,2	10,54%	6	8,96%	31	46,27%	29	43,28%	1	1,49%	67
	Chert Mingan	18	4,71%	9,6	4,77%	0	0,00%	11	61,11%	7	38,89%	0	0,00%	18
	Chert rhyolitique noir	18	4,71%	7,85	3,90%	1	5,56%	6	33,33%	11	61,11%	0	0,00%	18
	Chert vert lustré	1	0,26%	2,6	1,29%	0	0,00%	0	0,00%	1	100,00%	0	0,00%	1
	Mudstone gris marbré	49	12,83%	32,1	15,96%	4	8,16%	21	42,86%	24	48,98%	0	0,00%	49
	Mudstone vert pâle	2	0,52%	0,7	0,35%	0	0,00%	1	50,00%	1	50,00%	0	0,00%	2
	Quartz hyalin	19	4,97%	7,65	3,80%	2	10,53%	7	36,84%	7	36,84%	3	15,79%	19
	Quartzite de Ramah	1	0,26%	0,05	0,02%	0	0,00%	1	100,00%	0	0,00%	0	0,00%	1
	Quartzite fin verte	5	1,31%	1,4	0,70%	0	0,00%	3	60,00%	2	40,00%	0	0,00%	5
	Rhyolite bourgogne	2	0,52%	1,5	0,75%	0	0,00%	1	50,00%	1	50,00%	0	0,00%	2
	Rhyolite intraclastique	2	0,52%	0,8	0,40%	0	0,00%	0	0,00%	2	100,00%	0	0,00%	2
	Rhyolite mauve BJB	78	20,42%	58,85	29,26%	5	6,41%	39	50,00%	32	41,03%	2	2,56%	78
Total EbCw-003		382	100,00%	201,15	100,00%	24	6,28%	191	50,00%	161	42,15%	6	1,57%	382
EbCw-051	Chert Mingan	46	92,00%	52,8	87,71%	1	2,17%	12	26,09%	3	6,52%	30	65,22%	46
	Quartz hyalin avec inclusions brunes	2	4,00%	2,1	3,49%	0	0,00%	1	50,00%	1	50,00%	0	0,00%	2
	Quartzite EbCp	1	2,00%	0,6	1,00%	0	0,00%	1	100,00%	0	0,00%	0	0,00%	1
	Quartzite grossier "poivre et sel"	1	2,00%	4,7	7,81%	0	0,00%	1	100,00%	0	0,00%	0	0,00%	1
Total EbCw-051		50	100,00%	60,2	100,00%	1	2,00%	15	30,00%	4	8,00%	30	60,00%	50

Tableau LXXXI: Catalogue de débitage par matériaux pour le secteur archéologique de la rivière Romaine (cours intérieur)

						N. cicatrices dorsales								
Site	Matière Finale	N	% N	Poids (g)	% Poids	1	%	2	%	3	%	N.débris	Débris %	Total
EdCt-001	Quartz hyalin	11	73,33%	3,55	88,75%	0	0,00%	0	0,00%	2	50,00%	2	50,00%	11
	Quartz hyalin avec inclusions brunes	4	26,67%	0,45	11,25%	0	0,00%	6	54,55%	5	45,45%	0	0,00%	4
Total EdCt-001		15	100,00%	4	100,00%	0	0,00%	6	40,00%	7	46,67%	2	13,33%	15
EiCw-002	Quartzite blanc-brunâtre	1	100,00%	0,55	100,00%	0	0,00%	1	100,00%	0	0,00%	0	0,00%	1
Total EiCw-002		1	100,00%	0,55	100,00%	0	0,00%	1	100,00%	0	0,00%	0	0,00%	1
EiCw-008	Mudstone gris-bleuté	7	100,00%	1,07	100,00%	0	0,00%	7	100,00%	0	0,00%	0	0,00%	7
Total EiCw-008		7	100,00%	1,07	100,00%	0	0,00%	7	100,00%	0	0,00%	0	0,00%	7
EiCw-009	Mudstone mauve	2	66,67%	5,25	96,33%	1	50,00%	1	50,00%	0	0,00%	7	100,00%	2
	Chert gris-verdâtre (fosse Lab)	1	33,33%	0,2	3,67%	0	0,00%	0	0,00%	1	100,00%	7	100,00%	1
Total EiCw-009		3	100,00%	5,45	100,00%	1	33,33%	1	33,33%	1	33,33%	0	0,00%	3
EjCw-002	Quartz laiteux	2	66,67%	2,13	61,92%	0	0,00%	1	50,00%	1	50,00%	2	50,00%	2
	Shale vert oxydé	1	33,33%	1,31	38,08%	0	0,00%	1	100,00%	0	0,00%	0	0,00%	1
Total EjCw-002		3	100,00%	3,44	100,00%	0	0,00%	2	66,67%	1	33,33%	2	13,33%	3
EjCw-005	Chert gris laminé	13	54,17%	1,61	72,85%	0	0,00%	9	60,00%	3	37,50%	1	100,00%	13
	Chert Mauve	9	37,50%	0,4	18,10%	0	0,00%	6	40,00%	3	37,50%	0	0,00%	9
	Quartz hyalin	2	8,33%	0,2	9,05%	0	0,00%	0	0,00%	2	25,00%	0	0,00%	2
Total EjCw-005		24	100,00%	2,21	100,00%	0	0,00%	15	100,00%	8	100,00%	1	100,00%	24
EkCw-004	Chert rhyolitique noir	16	88,89%	13,5	98,18%	0	0,00%	5	31,25%	11	68,75%	0	0,00%	16
	Chert gris-verdâtre (fosse Lab)	1	5,56%	0,18	1,31%	0	0,00%	0	0,00%	1	100,00%	0	0,00%	1
	Quartzite de Ramah	1	5,56%	0,07	0,51%	0	0,00%	0	0,00%	1	100,00%	0	0,00%	1
Total EkCw-004		18	100,00%	13,75	100,00%	0	0,00%	5	27,78%	13	72,22%	0	0,00%	18
EiCw-002	Quartzite de Ramah	2	100,00%	0,31	100,00%	0	0,00%	2	100,00%	0	0,00%	0	0,00%	2
Total EICw-002		2	100,00%	0,31	100,00%	0	0,00%	2	100,00%	0	0,00%	0	0,00%	2
EiCw-008	Quartzite blanc-brunâtre	2	100,00%	0,31	100,00%	0	0,00%	10	71,43%	4	28,57%	0	0,00%	14
	Quartzite fin de Kégashka	2	100,00%	0,31	100,00%	1	8,33%	8	66,67%	3	25,00%	0	0,00%	12
Total EICw-008						1	3,85%	18	69,23%	7	26,92%	0	0,00%	26
EiCw-010	Quartz hyalin	1	100,00%	0,72	100,00%	0	0,00%	0	0,00%	1	100,00%	0	0,00%	1
Total EICw-010		1	100,00%	0,72	100,00%	0	0,00%	0	0,00%	1	100,00%	0	0,00%	1

Tableau LXXXII: Catalogue de débitage par matériaux pour le secteur archéologique des Betchouanes

						N. cicatrices dorsales								
Site	Matière Finale	N	% N	Poids (g)	% Poids	1	%	2	%	3	%	N.débris	Débris %	Total
EbCs-010 (74G)	Chert Mingan	114	34,13%	27,55	59,44%	43	37,72%	51	44,74%	11	9,65%	9	7,89%	114
	Chert rhyolitique noir	4	1,20%	0,25	0,54%	0	0,00%	1	25,00%	3	75,00%	0	0,00%	4
	Chert vert lustré	30	8,98%	1,85	3,99%	0	0,00%	19	63,33%	11	36,67%	0	0,00%	30
	Quartz hyalin	114	34,13%	12,55	27,08%	29	25,44%	67	58,77%	6	5,26%	12	10,53%	114
	Quartzite de Ramah	72	21,56%	4,15	8,95%	4	5,56%	51	70,83%	17	23,61%	0	0,00%	72
	Total EbCs-010 (74G)	334	100,00%	46,35	100,00%	76	22,75%	189	56,59%	48	14,37%	21	6,29%	334
EbCs-011 (75G)	Chert Mingan	52	25,49%	644,15	95,49%	8	15,38%	15	28,85%	2	3,85%	27	51,92%	52
	Chert rhyolitique noir	4	1,96%	0,2	0,03%	0	0,00%	3	75,00%	1	25,00%	0	0,00%	4
	Chert vert lustré	1	0,49%	0,05	0,01%	0	0,00%	1	100,00%	0	0,00%	0	0,00%	1
	Quartz hyalin avec inclusions f	18	8,82%	7,1	1,05%	1	5,56%	11	61,11%	2	11,11%	4	22,22%	18
	Quartzite de Ramah	8	3,92%	0,45	0,07%	0	0,00%	7	87,50%	1	12,50%	0	0,00%	8
	Quartzite EbCp	106	51,96%	18,8	2,79%	4	3,77%	85	80,19%	12	11,32%	5	4,72%	106
	Quartzite fin de Kégashka	15	7,35%	3,85	0,57%	2	13,33%	9	60,00%	4	26,67%	0	0,00%	15
	Total EbCs-011 (75G)	204	100,00%	674,6	100,00%	15	7,35%	131	64,22%	22	10,78%	36	17,65%	204
EbCs-015	Chert gris moutonné	7	5,07%	0,4	2,54%	0	0,00%	6	85,71%	1	14,29%	27	51,92%	7
	Chert marbré gris-beige-mauve	4	2,90%	0,35	2,22%	0	0,00%	3	75,00%	1	25,00%	0	0,00%	4
	Chert Mingan	29	21,01%	2,1	13,33%	6	20,69%	23	79,31%	0	0,00%	0	0,00%	29
	Quartz hyalin avec inclusions f	5	3,62%	0,3	1,90%	0	0,00%	5	100,00%	0	0,00%	4	22,22%	5
	Quartzite de Ramah	2	1,45%	0,1	0,63%	1	50,00%	1	50,00%	0	0,00%	0	0,00%	2
	Quartzite EbCp	91	65,94%	12,5	79,37%	8	8,79%	76	83,52%	7	7,69%	5	4,72%	91
	Total EbCs-015	138	100,00%	15,75	100,00%	10	10,87%	114	82,61%	9	6,52%	0	0,00%	138
EbCt-002 (72G)	Chert bourgogne	3	0,04%	0,2	0,00%	0	0,00%	2	66,67%	1	33,33%	0	0,00%	3
	Chert gris moutonné	16	0,19%	3,3	0,06%	1	6,25%	9	56,25%	6	37,50%	0	0,00%	16
	Chert Mingan	8172	97,53%	5288,05	99,64%	1598	19,55%	3686	45,11%	1824	22,32%	1064	13,02%	8172
	Chert rhyolitique noir	53	0,63%	5,1	0,10%	0	0,00%	25	47,17%	28	52,83%	0	0,00%	53
	Chert vert lustré	1	0,01%	0,05	0,00%	0	0,00%	0	0,00%	1	100,00%	0	0,00%	1
	Quartz hyalin	2	0,02%	0,1	0,00%	0	0,00%	2	100,00%	0	0,00%	0	0,00%	2
	Quartz laiteux	1	0,01%	0,1	0,00%	0	0,00%	1	100,00%	0	0,00%	0	0,00%	1
	Quartzite de Ramah	95	1,13%	7	0,13%	5	5,26%	69	72,63%	21	22,11%	0	0,00%	95
	Quartzite EbCp	9	0,11%	0,5	0,01%	0	0,00%	7	77,78%	2	22,22%	0	0,00%	9
	Quartzite fin blanc-gris	23	0,27%	2,3	0,04%	0	0,00%	16	69,57%	7	30,43%	0	0,00%	23
	Quartzite fin de Kégashka	4	0,05%	0,2	0,00%	0	0,00%	4	100,00%	0	0,00%	0	0,00%	4
	Total EbCt-002 (72G)	8379	100,00%	5306,9	100,00%	1604	19,14%	3821	45,60%	1890	22,56%	1064	12,70%	8379
EbCt-003 (73G)	Quartz laiteux	1	100,00%	11,5	100,00%	0	0,00%	1	100,00%	0	0,00%	0	0,00%	1
	Total EbCt-003 (73G)	1	100,00%	11,5	100,00%	0	0,00%	1	100,00%	0	0,00%	0	0,00%	1
EbCt-004	Chert Mingan	31	75,61%	4,85	88,99%	0	0,00%	21	67,74%	8	25,81%	2	6,45%	31
	Quartz hyalin	5	12,20%	0,25	4,59%	0	0,00%	2	40,00%	3	60,00%	0	0,00%	5
	Quartzite de Ramah	2	4,88%	0,15	2,75%	0	0,00%	1	50,00%	1	50,00%	0	0,00%	2
	Quartzite EbCp	3	7,32%	0,2	3,67%	0	0,00%	3	100,00%	0	0,00%	0	0,00%	3
	Total EbCt-004	41	100,00%	5,45	100,00%	0	0,00%	27	65,85%	12	29,27%	2	4,88%	41
EbCt-005	Chert Mingan	33	86,84%	6	95,24%	2	6,06%	29	87,88%	1	3,03%	1	3,03%	33
	Chert rhyolitique noir	1	2,63%	0,05	0,79%	0	0,00%	0	0,00%	1	100,00%	0	0,00%	1
	Quartzite de Ramah	4	10,53%	0,25	3,97%	0	0,00%	3	75,00%	1	25,00%	0	0,00%	4
	Total EbCt-005	38	100,00%	6,3	100,00%	2	5,26%	32	84,21%	3	7,89%	1	2,63%	38

Tableau LXXXIII: Catalogue de débitage par matériaux pour le secteur archéologique des rivières Piashti, Watshishou et Corneille

						N. cicatrices dorsales								
Site	Matière Finale	N	% N	Poids (g)	% Poids	1	%	2	%	3	%	N.débris	Débris %	Total
EbCp-001	Quartz hyalin	1	2,56%	1,2	7,19%	0	0,00%	0	0,00%	1	100,00%	0	0,00%	1
	Quartz hyalin avec inclusions brunes	10	25,64%	0,95	5,69%	2	20,00%	7	70,00%	1	10,00%	0	0,00%	10
	Quartzite de Ramah	8	20,51%	0,55	3,29%	0	0,00%	7	87,50%	1	12,50%	0	0,00%	8
	Quartzite EbCp	20	51,28%	14	83,83%	7	35,00%	1	5,00%	1	5,00%	11	55,00%	20
Total EbCp-001		39	100,00%	16,7	100,00%	9	23,08%	15	38,46%	4	10,26%	11	28,21%	39
EbCp-002 (zone 1)	Chert "La Romaine"	10	3,46%	5,05	0,78%	0	0,00%	2	50,00%	2	50,00%	0	0,00%	4
	Chert Mingan	1	0,35%	0,5	0,08%	0	0,00%	45	69,23%	9	13,85%	11	16,92%	65
	Quartz hyalin avec inclusions brunes	164	56,75%	312,85	48,03%	1	0,83%	90	75,00%	11	9,17%	18	15,00%	120
	Quartzite de Ramah	111	38,41%	323,25	49,63%	0	0,00%	30	88,24%	4	11,76%	0	0,00%	34
	Quartzite EbCp	3	1,04%	9,7	1,49%	17	0,96%	1281	72,41%	319	18,03%	152	8,59%	1769
Total EbCp-002 (zone 1)		289	100,00%	651,35	100,00%	18	0,90%	1448	72,69%	345	17,32%	181	9,09%	1992
EbCp-002 (zone 2)	Chert "La Romaine"	2	0,07%	0,1	0,01%	0	0,00%	1	50,00%	1	50,00%	0	0,00%	2
	Chert gris moutonné	1	0,03%	0,1	0,01%	0	0,00%	0	0,00%	1	100,00%	0	0,00%	1
	Chert Mauve	2	0,07%	0,15	0,02%	0	0,00%	1	50,00%	1	50,00%	0	0,00%	2
	Chert Mingan	1	0,03%	0,05	0,01%	0	0,00%	1	100,00%	0	0,00%	0	0,00%	1
	Chert rhyolitique noir	17	0,59%	1,15	0,13%	0	0,00%	10	58,82%	7	41,18%	0	0,00%	17
	Chert vert lustré	9	0,31%	0,55	0,06%	0	0,00%	4	44,44%	5	55,56%	0	0,00%	9
	Mudstone gris marbré	5	0,17%	0,5	0,06%	0	0,00%	0	0,00%	5	100,00%	0	0,00%	5
	Quartz hyalin avec inclusions brunes	88	3,04%	9,1	1,03%	1	1,14%	67	76,14%	14	15,91%	6	6,82%	88
	Quartz laiteux	7	0,24%	0,35	0,04%	0	0,00%	5	71,43%	2	28,57%	0	0,00%	7
	Quartzite de Ramah	23	0,79%	1,5	0,17%	0	0,00%	14	60,87%	9	39,13%	0	0,00%	23
	Quartzite EbCp	2638	91,00%	859,15	97,63%	52	1,97%	1795	68,04%	525	19,90%	266	10,08%	2638
	Quartzite fin de Kégashka	100	3,45%	6,8	0,77%	2	2,00%	66	66,00%	31	31,00%	1	1,00%	100
	Quartzite grossier "poivre et sel"	6	0,21%	0,5	0,06%	1	16,67%	3	50,00%	0	0,00%	2	33,33%	6
Total EbCp-002 (zone 2)		2899	100,00%	880	100,00%	56	1,93%	1967	67,85%	601	20,73%	275	9,49%	2899
EbCp-002 (zone 3)	Argilite blanchâtre	1	0,19%	0,1	0,12%	0	0,00%	1	100,00%	0	0,00%	0	0,00%	1
	Calcédoine bleutée	51	9,90%	1,4	1,75%	0	0,00%	32	62,75%	19	37,25%	0	0,00%	51
	Chert brun caramel	13	2,52%	0,2	0,25%	0	0,00%	4	30,77%	9	69,23%	0	0,00%	13
	Chert gris moutonné	15	2,91%	1,2	1,50%	0	0,00%	11	73,33%	4	26,67%	0	0,00%	15
	Chert gris-verdâtre (fosse Lab)	32	6,21%	1,4	1,75%	1	3,13%	19	59,38%	12	37,50%	0	0,00%	32
	Chert Mauve	3	0,58%	0,1	0,12%	0	0,00%	2	66,67%	1	33,33%	0	0,00%	3
	Chert Mingan	1	0,19%	0,1	0,12%	0	0,00%	1	100,00%	0	0,00%	0	0,00%	1
	Chert rhyolitique noir	10	1,94%	0,6	0,75%	0	0,00%	4	40,00%	6	60,00%	0	0,00%	10
	Quartz hyalin avec inclusions brunes	113	21,94%	5,4	6,73%	2	1,77%	90	79,65%	11	9,73%	10	8,85%	113
	Quartzite de Blanc-Sablons	1	0,19%	0	0,00%	0	0,00%	1	100,00%	0	0,00%	0	0,00%	1
	Quartzite de Ramah	29	5,63%	1,7	2,12%	1	3,45%	20	68,97%	8	27,59%	0	0,00%	29
	Quartzite EbCp	233	45,24%	67,3	83,92%	10	4,29%	200	85,84%	13	5,58%	10	4,29%	233
	Quartzite Noui	1	0,19%	0,6	0,75%	0	0,00%	1	100,00%	0	0,00%	0	0,00%	1
	Rhyolite brune sphérulitique	3	0,58%	0	0,00%	0	0,00%	3	100,00%	0	0,00%	0	0,00%	3
	Silex?	9	1,75%	0,1	0,12%	0	0,00%	5	55,56%	4	44,44%	0	0,00%	9
Total EbCp-002 (zone 3)		515	100,00%	80,2	100,00%	14	2,72%	394	76,50%	87	16,89%	20	3,88%	515

Suite à la page suivante

						N. cicatrices dorsales								
Site	Matière Finale	N	% N	Poids (g)	% Poids	1	%	2	%	3	%	N.débris	Débris %	Total
EbCp-003	Quartz hyalin	1	16,67%	0	0,00%	0	0,00%	0	0,00%	1	0,00%	0	0,00%	1
	Quartz hyalin avec inclusions brunes	1	16,67%	0,2	3,92%	0	0,00%	1	100,00%	0	37,25%	0	0,00%	1
	Quartzite EbCp	4	66,67%	4,9	96,08%	2	50,00%	2	50,00%	0	69,23%	0	0,00%	4
Total EbCp-003		6	100,00%	5,1	100,00%	2	33,33%	3	50,00%	1	26,67%	0	0,00%	6
EbCp-004	Quartz hyalin avec inclusions brunes	14	48,28%	16,55	74,22%	0	0,00%	9	64,29%	3	21,43%	2	14,29%	14
	Quartzite EbCp	15	51,72%	5,75	25,78%	2	20,00%	11	73,33%	0	0,00%	1	6,67%	15
	Total EbCp-004	29	100,00%	22,3	100,00%	3	10,34%	20	68,97%	3	10,34%	3	10,34%	29
EbCp-005	Chert brun carbonaté	1	0,61%	0,5	0,13%	0	0,00%	0	0,00%	0	0,00%	1	100,00%	1
	Chert gris-verdâtre (fosse Lab)	1	0,61%	0,05	0,01%	0	0,00%	1	100,00%	0	0,00%	0	0,00%	1
	Chert Mingan	24	14,72%	2,65	0,70%	0	0,00%	17	70,83%	3	12,50%	4	16,67%	24
	Chert rhyolitique noir	2	1,23%	0,1	0,03%	0	0,00%	1	50,00%	1	50,00%	0	0,00%	2
	Quartz hyalin avec inclusions brunes	41	25,15%	25	6,57%	1	2,44%	31	75,61%	5	12,20%	4	9,76%	41
	Quartzite EbCp	87	53,37%	339,55	89,26%	7	8,05%	70	80,46%	8	9,20%	2	2,30%	87
	Rhyolite mauve BJB	3	1,84%	0,15	0,04%	0	0,00%	2	66,67%	1	33,33%	0	0,00%	3
	Sandstone bleuté	3	1,84%	12,2	3,21%	0	0,00%	3	100,00%	0	0,00%	0	0,00%	3
	Silex?	1	0,61%	0,2	0,05%	0	0,00%	0	0,00%	1	100,00%	0	0,00%	1
	Total EbCp-005		163	100,00%	380,4	100,00%	8	4,91%	125	76,69%	19	11,66%	11	6,75%
EbCp-006	Chert rhyolitique noir	1	2,08%	0,5	0,13%	0	0,00%	0	0,00%	1	100,00%	0	0,00%	1
	Quartz hyalin avec inclusions brunes	18	37,50%	0,05	0,01%	1	5,56%	15	83,33%	2	11,11%	0	0,00%	18
	Quartzite EbCp	29	60,42%	2,65	0,70%	3	10,34%	24	82,76%	1	3,45%	1	3,45%	29
Total EbCp-006		48	100,00%	0,1	0,03%	4	8,33%	39	81,25%	4	8,33%	1	2,08%	48
EbCq-001	Calcédoine bleutée	1	0,08%	0,05	0,00%	0	0,00%	0	0,00%	1	100,00%	0	0,00%	1
	Chert Mingan	4	0,34%	1,95	0,17%	0	0,00%	3	75,00%	1	25,00%	0	0,00%	4
	Chert rhyolitique noir	1	0,08%	0,2	0,02%	0	0,00%	0	0,00%	1	100,00%	0	0,00%	1
	Quartz hyalin avec inclusions brunes	306	25,76%	333,1	29,80%	1	0,33%	189	61,76%	42	13,73%	74	24,18%	306
	Quartzite de Ramah	17	1,43%	12,8	1,15%	0	0,00%	9	52,94%	8	47,06%	0	0,00%	17
	Quartzite EbCp	32	2,69%	147,45	13,19%	4	12,50%	20	62,50%	8	25,00%	0	0,00%	32
	Quartzite fin bleuté	1	0,08%	2,7	0,24%	0	0,00%	1	100,00%	0	0,00%	0	0,00%	1
	Quartzite Noui	820	69,02%	619,05	55,39%	7	0,85%	590	71,95%	158	19,27%	65	7,93%	820
	Silex?	6	0,51%	0,4	0,04%	0	0,00%	4	66,67%	2	33,33%	0	0,00%	6
	Total EbCq-001		1188	100,00%	1117,7	100,00%	12	1,01%	816	68,69%	221	18,60%	139	11,70%

Suite à la page suivante

						N. cicatrices dorsales								
Site	Matière Finale	N	% N	Poids (g)	% Poids	1	%	2	%	3	%	N.débris	Débris %	Total
EbCq-004	Chert brun carbonaté	23	0,08%	3,15	3,08%	0	0,00%	17	73,91%	6	26,09%	0	0,00%	23
	Quartz hyalin	63	0,34%	87,7	85,64%	3	4,76%	45	71,43%	11	17,46%	4	6,35%	63
	Quartzite de Ramah	35	0,08%	6,3	6,15%	0	0,00%	21	60,00%	14	40,00%	0	0,00%	35
	Quartzite EbCp	7	25,76%	1,2	1,17%	0	0,00%	2	28,57%	4	57,14%	1	14,29%	7
	Quartzite fin de Kégashka	44	1,43%	3,25	3,17%	1	2,27%	37	84,09%	6	13,64%	0	0,00%	44
	Rhyolite bleutée	4	2,69%	0,8	0,78%	0	0,00%	0	0,00%	4	100,00%	0	0,00%	4
Total EbCq-004		176	0,08%	102,4	100,00%	4	2,27%	122	69,32%	45	25,57%	5	2,84%	176
EbCq-007	Calcédoine bleutée	15	7,46%	0,95	0,11%	0	0,00%	15	100,00%	0	0,00%	0	0,00%	15
	Chert Mingan	18	8,96%	6,5	0,78%	0	0,00%	16	88,89%	2	11,11%	0	0,00%	18
	Chert rhyolitique noir	1	0,50%	0,05	0,01%	0	0,00%	1	100,00%	0	0,00%	0	0,00%	1
	Quartz hyalin	28	13,93%	10,8	1,30%	0	0,00%	21	75,00%	3	10,71%	4	14,29%	28
	Quartzite de Ramah	2	1,00%	0,15	0,02%	0	0,00%	1	50,00%	1	50,00%	0	0,00%	2
	Quartzite EbCp	137	68,16%	815,5	97,79%	19	13,87%	96	70,07%	13	9,49%	9	6,57%	137
Total EbCq-007		201	100,00%	833,95	100,00%	19	9,45%	150	74,63%	19	9,45%	13	6,47%	201
EbCq-008	Calcédoine bleutée	1	1,11%	0,05	0,14%	0	0,00%	1	100,00%	0	0,00%	0	0,00%	1
	Quartzite EbCp	89	98,89%	35	99,86%	2	2,25%	69	77,53%	18	20,22%	0	0,00%	89
Total EbCq-008		90	100,00%	35,05	100,00%	2	2,22%	70	77,78%	18	20,00%	0	0,00%	90
EbCr-002	Quartz hyalin avec inclusions brunes	104	30,06%	15,65	6,85%	5	4,81%	68	65,38%	3	2,88%	28	26,92%	104
	Quartzite EbCp	242	69,94%	212,85	93,15%	6	2,48%	172	71,07%	53	21,90%	11	4,55%	242
Total EbCr-002		346	100,00%	228,5	100,00%	11	3,18%	240	69,36%	56	16,18%	39	11,27%	346
EbCs-012	Chert Mingan	9	1,89%	2,3	1,73%	1	11,11%	5	55,56%	3	33,33%	0	0,00%	9
	Chert vert lustré	9	1,89%	1,45	1,09%	1	11,11%	6	66,67%	2	22,22%	0	0,00%	9
	Mudstone gris marbré	14	2,95%	0,85	0,64%	2	14,29%	8	57,14%	4	28,57%	0	0,00%	14
	Quartz hyalin	6	1,26%	2,55	1,92%	2	33,33%	2	33,33%	0	0,00%	2	33,33%	6
	Quartz hyalin avec inclusions brunes	200	42,11%	81,45	61,29%	2	1,00%	132	66,00%	31	15,50%	35	17,50%	200
	Quartzite de Ramah	232	48,84%	43,95	33,07%	8	3,45%	155	66,81%	69	29,74%	0	0,00%	232
	Quartzite EbCp	5	1,05%	0,35	0,26%	0	0,00%	4	80,00%	1	20,00%	0	0,00%	5
Total EbCs-012		475	100,00%	132,9	100,00%	16	3,37%	312	65,68%	110	23,16%	37	7,79%	475

Site	Matière Finale	N	% N	Poids (g)	% Poids	1	%	2	%	3	%	N.débris	Débris %	Total
EaCj-001	Quartzite EbCp	1	100,00%	0,5	100,00%	0	0,00%	1	100,00%	0	0,00%	0	0,00%	1
Total EaCj-001		1	100,00%	0,5	100,00%	0	0,00%	1	100,00%	0	0,00%	0	0,00%	1
EbCm-002	Quartzite EbCp	8	57,14%	22,85	73,47%	2	25,00%	6	75,00%	0	0,00%	0	0,00%	8
	Quartzite Noui	6	42,86%	8,25	26,53%	0	0,00%	4	66,67%	2	33,33%	0	0,00%	6
Total EbCm-002		14	100,00%	31,1	100,00%	2	14,29%	10	71,43%	2	14,29%	0	0,00%	14
EbCm-005	Quartzite EbCp	49	89,09%	36,6	66,67%	2	4,08%	32	65,31%	12	24,49%	3	6,12%	49
	Quartzite Noui	6	10,91%	18,3	33,33%	1	16,67%	4	66,67%	1	16,67%	0	0,00%	6
Total EbCm-002		55	100,00%	54,9	100,00%	3	5,45%	36	65,45%	13	23,64%	3	5,45%	55
EbCn-001	Chert Mingan	66	48,18%	83,2	28,55%	3	4,55%	34	51,52%	24	36,36%	5	7,58%	66
	Chert noir carbonaté	24	17,52%	55,95	19,20%	2	8,33%	12	50,00%	8	33,33%	2	8,33%	24
	Mudstone gris marbré	4	2,92%	4,2	1,44%	0	0,00%	2	50,00%	2	50,00%	0	0,00%	4
	Quartz hyalin avec inclus	36	26,28%	141,15	48,44%	1	2,78%	24	66,67%	7	19,44%	4	11,11%	36
	Quartzite de Blanc-Sabl	1	0,73%	0,5	0,17%	0	0,00%	0	0,00%	1	100,00%	0	0,00%	1
	Quartzite EbCp	5	3,65%	5,3	1,82%	0	0,00%	4	80,00%	0	0,00%	1	20,00%	5
	Rhyolite mauve BJB	1	0,73%	1,1	0,38%	0	0,00%	0	0,00%	1	100,00%	0	0,00%	1
Total EbCn-001		137	100,00%	291,4	100,00%	6	4,38%	76	55,47%	43	31,39%	12	8,76%	137
EbCn-003	Chert "La Romaine"	1	48,18%	0,2	0,20%	0	0,00%	1	100,00%	0	0,00%	0	0,00%	1
	Chert gris mat	4	17,52%	1,6	1,62%	0	0,00%	3	75,00%	1	25,00%	0	0,00%	4
	Quartz hyalin	25	2,92%	12,95	13,12%	1	4,00%	15	60,00%	6	24,00%	3	12,00%	25
	Quartzite EbCp	4	0,73%	12,1	12,26%	1	25,00%	3	75,00%	0	0,00%	0	0,00%	4
	Quartzite fin de Kégashk	1	3,65%	69,5	70,42%	0	0,00%	0	0,00%	1	100,00%	0	0,00%	1
	Rhyolite bleutée	14	0,73%	2,35	2,38%	0	0,00%	10	71,43%	4	28,57%	0	0,00%	14
Total EbCn-003		49	100,00%	98,7	100,00%	2	4,08%	32	65,31%	12	24,49%	3	6,12%	49
EbCn-005	Quartz hyalin	25	92,59%	12,95	94,87%	0	0,00%	12	48,00%	11	44,00%	2	8,00%	25
	Quartzite EbCp	2	7,41%	0,7	5,13%	0	0,00%	2	100,00%	0	0,00%	0	0,00%	2
Total EbCn-005		27	100,00%	13,65	100,00%	0	0,00%	14	51,85%	11	40,74%	2	7,41%	27
EbCn-006	Chert Mingan	1	1,69%	0,05	0,10%	0	0,00%	1	100,00%	0	0,00%	0	0,00%	1
	Quartz hyalin	10	16,95%	4,75	9,18%	1	10,00%	5	50,00%	1	10,00%	3	30,00%	10
	Quartzite EbCp	48	81,36%	46,95	90,72%	2	4,16%	33	68,75%	9	18,75%	4	8,33%	48
Total EbCn-006		59	100,00%	51,75	100,00%	3	3,39%	39	66,10%	10	16,95%	7	11,86%	59
EbCn-009	Quartzite EbCp	110	100,00%	145,45	100,00%	2	1,82%	80	72,73%	27	24,55%	1	0,91%	110
Total EbCn-009		110	100,00%	145,45	100,00%	2	1,82%	80	7					

Tableau LXXXV:Catalogue de débitage par matériaux pour le secteur archéologique de Kégashka

						N. cicatrices dorsales								
Site	Matière Finale	N	% N	Poids	% Poids	1	%	2	%	3	%	N.débris	Débris %	Total
EbCh-002	Chert Mauve	1	20,00%	0,2	0,43%	0	0,00%	0	0,00%	1	100,00%	0	0,00%	1
	Quartz hyalin	1	20,00%	34,8	75,16%	1	100,00%	0	0,00%	0	0,00%	0	0,00%	1
	Quartzite Noui	3	60,00%	11,3	24,41%	0	0,00%	2	66,67%	1	33,33%	0	0,00%	3
Total EbCh-002		5	100,00%	46,3	100,00%	1	20,00%	2	40,00%	2	40,00%	0	0,00%	5
EbCh-007	Quartz hyalin	15	100,00%	4,1	100,00%	4	26,67%	1	6,67%	9	60,00%	1	6,67%	15
Total EbCh-007		15	100,00%	4,1	100,00%	4	26,67%	1	6,67%	9	60,00%	1	6,67%	15
EbCh-012	Quartz hyalin	99	100,00%	125,6	100,00%	4	4,04%	51	51,52%	36	36,36%	8	8,08%	99
Total EbCh-012		99	100,00%	125,6	100,00%	4	4,04%	51	51,52%	36	36,36%	8	8,08%	99
EbCi-001	Chert gris moutonné	21	2,08%	6,95	1,22%	0	0,00%	7	33,33%	14	66,67%	0	0,00%	21
	Chert Mauve	24	2,38%	7,35	1,29%	3	12,50%	10	41,67%	11	45,83%	0	0,00%	24
	Chert noir carbonaté	27	2,67%	9,9	1,74%	0	0,00%	12	44,44%	15	55,56%	0	0,00%	27
	Chert rhyolitique noir	6	0,59%	1,1	0,19%	0	0,00%	3	50,00%	3	50,00%	0	0,00%	6
	Chert vert laminé	1	0,10%	0,4	0,07%	0	0,00%	0	0,00%	1	100,00%	0	0,00%	1
	Chert vert lustré	168	16,63%	43,7	7,66%	2	1,19%	89	52,98%	77	45,83%	0	0,00%	168
	Mudstone gris marbré	5	0,50%	1,6	0,28%	0	0,00%	2	40,00%	3	60,00%	0	0,00%	5
	Quartz hyalin	30	2,97%	28,55	5,01%	1	3,33%	17	56,67%	5	16,67%	7	23,33%	30
	Quartzite de Ramah	74	7,33%	26,3	4,61%	4	5,41%	44	59,46%	26	35,14%	0	0,00%	74
	Quartzite EbCp	7	0,69%	14,85	2,60%	0	0,00%	6	85,71%	1	14,29%	0	0,00%	7
	Quartzite enfumé gris-rouge	14	1,39%	17,95	3,15%	1	7,14%	9	64,29%	4	28,57%	0	0,00%	14
	Quartzite fin de Kégashka	93	9,21%	21,05	3,69%	0	0,00%	50	53,76%	42	45,16%	1	1,08%	93
	Quartzite Noui	539	53,37%	390,55	68,48%	30	5,57%	360	66,79%	136	25,23%	13	2,41%	539
	Rhyolite grise-noire	1	0,10%	0,1	0,02%	0	0,00%	1	100,00%	0	0,00%	0	0,00%	1
Total EbCi-001		1010	100,00%	570,35	100,00%	41	4,06%	610	60,40%	338	33,47%	21	2,08%	1010
EbCi-002	Quartz hyalin	9	3,32%	2,9	0,92%	0	0,00%	1	11,11%	1	11,11%	7	77,78%	9
	Quartzite de Ramah	5	1,85%	0,9	0,29%	0	0,00%	1	20,00%	4	80,00%	0	0,00%	5
	Quartzite fin de Kégashka	257	94,83%	311,4	98,79%	24	9,34%	178	69,26%	47	18,29%	8	3,11%	257
Total EbCi-002		271	100,00%	315,2	100,00%	24	8,86%	180	66,42%	52	19,19%	15	5,54%	271
EbCi-005	Quartz hyalin	74	28,14%	123,9	26,61%	2	2,70%	46	62,16%	17	22,97%	9	12,16%	74
	Quartzite blanc enfumé	32	12,17%	49	10,53%	0	0,00%	22	68,75%	9	28,13%	1	3,13%	32
	Quartzite fin de Kégashka	157	59,70%	292,65	62,86%	10	6,37%	98	62,42%	46	29,30%	3	1,91%	157
Total EbCi-005		263	100,00%	465,55	100,00%	12	4,56%	166	63,12%	72	27,38%	13	4,94%	263

Suite à la page suivante

						N. cicatrices dorsales									
Site	Matière Finale	N	% N	Poids	% Poids	1	%	2	%	3	%	N.débris	Débris %	Total	
EbCi-007	Chert marbré gris-beige-mauve	273	40,21%	47,2	40,14%	10	3,66%	126	46,15%	136	49,82%	1	0,37%	273	
	Chert Mauve	385	56,70%	60,1	51,11%	8	2,08%	151	39,22%	224	58,18%	2	0,52%	385	
	Quartz hyalin	4	0,59%	8,2	6,97%	0	0,00%	1	25,00%	3	75,00%	0	0,00%	4	
	Quartzite EbCp	17	2,50%	2,1	1,79%	0	0,00%	14	82,35%	3	17,65%	0	0,00%	17	
Total EbCi-007		679	100,00%	117,6	100,00%	18	2,65%	292	43,00%	366	53,90%	3	0,44%	679	
EbCi-008	Calcédoine jaune	1	1,61%	0,5	0,62%	0	0,00%	1	100,00%	0	0,00%	0	0,00%	1	
	Chert Mauve	3	4,84%	1,3	1,62%	0	0,00%	0	0,00%	3	100,00%	0	0,00%	3	
	Quartz hyalin	58	93,55%	78,4	97,76%	2	3,45%	27	46,55%	17	29,31%	12	20,69%	58	
Total EbCi-008		62	100,00%	80,2	100,00%	2	3,23%	28	45,16%	20	32,26%	12	19,35%	62	
EbCi-010	Calcédoine bleutée	60	16,09%	88,3	21,10%	1	1,67%	30	50,00%	28	46,67%	1	1,67%	60	
	Chert blanc mat	2	0,54%	0,4	0,10%	0	0,00%	1	50,00%	1	50,00%	0	0,00%	2	
	Chert brun carbonaté	16	4,29%	3,2	0,76%	2	12,50%	12	75,00%	2	12,50%	0	0,00%	16	
	Chert marbré gris-noir	6	1,61%	2,7	0,65%	0	0,00%	3	50,00%	3	50,00%	0	0,00%	6	
	Chert Mauve	30	8,04%	9,6	2,29%	0	0,00%	6	20,00%	24	80,00%	0	0,00%	30	
	Chert Mingan	47	12,60%	55,1	13,17%	2	4,26%	16	34,04%	28	59,57%	1	2,13%	47	
	Chert rhyolitique noir	5	1,34%	1,3	0,31%	0	0,00%	1	20,00%	4	80,00%	0	0,00%	5	
	Chert vert laminé	1	0,27%	0,3	0,07%	0	0,00%	0	0,00%	1	100,00%	0	0,00%	1	
	Chert vert lustré	4	1,07%	0,3	0,07%	0	0,00%	3	75,00%	1	25,00%	0	0,00%	4	
	Mudstone gris marbré	1	0,27%	0,8	0,19%	0	0,00%	0	0,00%	1	100,00%	0	0,00%	1	
	Quartz hyalin	49	13,14%	34,7	8,29%	3	6,12%	15	30,61%	25	51,02%	6	12,24%	49	
	Quartzite blanc enfumé	5	1,34%	15,5	3,70%	1	20,00%	4	80,00%	0	0,00%	0	0,00%	5	
	Quartzite de Blanc-Sablons	4	1,07%	0,5	0,12%	0	0,00%	3	75,00%	1	25,00%	0	0,00%	4	
	Quartzite de Ramah	80	21,45%	26,8	6,41%	3	3,75%	38	47,50%	38	47,50%	1	1,25%	80	
	Quartzite EbCp	36	9,65%	168,4	40,25%	0	0,00%	18	50,00%	18	50,00%	0	0,00%	36	
	Quartzite fin de Kégashka	26	6,97%	10,2	2,44%	0	0,00%	12	46,15%	14	53,85%	0	0,00%	26	
	Rhyolite grise-noire	1	0,27%	0,3	0,07%	0	0,00%	1	100,00%	0	0,00%	0	0,00%	1	
	Total EbCi-010		373	100,00%	418,4	100,00%	12	3,22%	163	43,70%	189	50,67%	9	2,41%	373

Tableau LXXXVI: Catalogue des outils analysés

N	Secteur archéologique	Site	# collection	Aire	Provenance	# cat original	# analyse	Nom générique	Nom générique simplifié	Formel vs informel	Type	Matière simplifiée finale	Matériau	Type Matériau	Intégrité	Poids	Longueur	Largeur%	Largeur max	Épaisseur%	Épaisseur max	Chauffe	Cortex	W/T ratio	Description
1	Archipel	EbDa-042 (62G)	62G		1D2		1D2.001	Pointe de projectile	Pointe de projectile	Formel	Biface	Chert Mingan	Chert Mingan	Chert Mingan	Fragment	0,40	*		2,02*		0,30	Non	Non	NA	Base de pointe de projectile à encoches latérales. La nature achevée des encoches et la position de la fracture semble suggérer une fracture reliée à l'utilisation de la pièce.
2	Archipel	EbDa-042 (62G)	62G		1F2		1F2	Pointe de projectile	Pointe de projectile	Formel	Biface	Chert Mingan	Chert Mingan	Chert Mingan	Fragment	3,60	2,88*	2,19	2,19	0,62	0,65*	Non	Non	3,53	Présente de belles structures de type calcaédoine.
3	Archipel	EbDa-042 (62G)	62G		1D2	62G1D2?	1D2.003	Éclat retouché	É. utilisé/reto uché	Informel	Unifaces	Chert brun caramel	Chert brun caramel	Chert	Complet	2,80	2,70	1,30	1,86		1,11	Non	Surface de joint	NA	Racioir sur éclat. Le bord porte des esquillements marqués attestant un travail vigoureux malgré la nature de la pièce
4	Archipel	EbDa-042 (62G)	62G		1J2		1J2.001	Coin	Coin	Informel	Unifaces	Chert Mingan	Chert Mingan	Chert Mingan	Complet	12,70	2,92	2,85	3,04		1,57	Non	Oui	NA	Pièce esquillée (coin).
5	Archipel	EbDa-042 (62G)	62G		1D4		1D4.001	Éclat utilisé	É. utilisé/reto uché	informel	Unifaces	Chert brun caramel	Chert brun caramel	Chert	Complet	14,10	3,50		3,50		0,87	Non	Oui	NA	Racioir sur éclat. Chert noir mat de Schefferville?.
6	Archipel	EbDa-042 (62G)	62G									Quartz hyalin avec inclusions brunes	Quartz hyalin avec inclusions brunes												
7	Archipel	EbDa-042 (62G)	62G		1H2		1H2.001	Grattoir	Grattoir	Formel	Unifaces	Chert Mingan	Chert Mingan	Chert Mingan	Complet	3,20	2,13		1,88		6,30	Non	Non	NA	Grattoir.
8	Archipel	EbDa-042 (62G)	62G		1D2		1D2.002	Nucléus	Nucléus	NA	Nucléus	Chert Mingan	Chert Mingan	Chert Mingan	Complet	76,40	6,64		4,23		3,05	Non	Oui	NA	Fragment de bloc sur lequel quelques éclats ont été détachés. Portion très chertreuse avec peu de gaine.
8	Archipel	EbCw-048 (64G)	64G		1C2	1C2	1C2.001	Éclat utilisé	É. utilisé/reto uché	informel	Unifaces	Chert vert lustré	Chert vert lustré	Chert	Complet	6,50	3,05		3,14		0,97	Non	Oui	NA	Éclat légèrement retouché pour former une petite projection acuminée.
9	Archipel	EbCw-046 (65G)	65G		1L2		1L2.001	Éclat utilisé	É. utilisé/reto uché	informel	Unifaces	Quartzite de Ramah	Quartzite de Ramah	Quartzite de Ramah	Complet	3,60	4,41		2,48		0,55	Non	Non	NA	Racioir sur gros éclat bifacial.
10	Betchouanes	EbCt-002 (72G)	72G atelier	Est	53D4	53D4-4Q	53D4-4Q	Fragment retouché	Indéterminé	Informel	Unifaces	Chert Mingan	Chert Mingan	Chert Mingan	Complet	13,30	4,14		2,55		1,56	Non	Gaine	NA	Fragment légèrement retouché sur l'un de ses bord. Ne présente pas vraiment de traces d'utilisation.
11	Betchouanes	EbCt-002 (72G)	72G atelier	Est	53D5	53D5-2Q	53D5-2Q	Éclat retouché	É. utilisé/reto uché	Informel	Unifaces	Chert Mingan	Chert Mingan	Chert Mingan	Complet	6,10	2,85		2,55		0,64	Non	Oui	NA	Fragment légèrement retouché sur chacun de ses bords en position distale. Fonction indéterminée, il pourrait s'agir d'une ébauche abandonnée
12	Betchouanes	EbCt-002 (72G)	72G atelier	Est	62D11	62D11-1Q	62D11-1Q	Éclat retouché	É. utilisé/reto uché	Informel	Unifaces	Chert Mingan	Chert Mingan	Chert Mingan	Fragment	0,30	8,6*		1,54*		4,9*	Non	Non	NA	La forme concave et l'angle abrupt de la retouche, laisse croire à une utilisation pour gratter.
13	Betchouanes	EbCt-002 (72G)	72G atelier	Est	53D4	53D4-2Q	53D4-2Q	Fragment retouché	Indéterminé	Informel	Unifaces	Chert Mingan	Chert Mingan	Chert Mingan	Complet	5,60	2,81		1,79		1,37	Non	Oui	NA	Aucune trace d'utilisation
14	Betchouanes	EbCt-002 (72G)	72G atelier	Ouest	50E1	50E1-2Q	50E1-2Q	Éclat retouché	É. utilisé/reto uché	Informel	Unifaces	Chert Mingan	Chert Mingan	Chert Mingan	Complet	2,90	2,41		2,00		0,69	Non	Oui	NA	Émoussage du bord actif
15	Betchouanes	EbCt-002 (72G)	72G atelier	Ouest	50D7	50D7-2Q	50D7-2Q	Éclat utilisé	É. utilisé/reto uché	informel	Unifaces	Chert Mingan	Chert Mingan	Chert Mingan	Complet	5,30	3,24		1,96		0,98	Non	Oui	NA	Éclat utilisé, grignotage et emoussé
16	Betchouanes	EbCt-002 (72G)	72G atelier	Ouest	39A1	39A1-2Q	39A1-2Q	Éclat utilisé	É. utilisé/reto uché	informel	Unifaces	Chert Mingan	Chert Mingan	Chert Mingan	Fragment	1,00	2,17*		1,11		0,47	Non	Non	NA	Éclat utilisé présentant 2 fractures
17	Betchouanes	EbCt-002 (72G)	72G atelier	Est	53B2	53B2-1Q	53B2-1Q	Fragment retouché	Indéterminé	Informel	Unifaces	Chert Mingan	Chert Mingan	Chert Mingan	Complet	8,30	3,84		2,18		1,20	Non	Oui	NA	Éclat sur lequel un enlèvement a été effectué, mais ne porte aucune trace d'utilisation
18	Betchouanes	EbCt-002 (72G)	72G atelier	Est	54C1	54C1-6Q	54C1-6Q	Fragment utilisé	Indéterminé	informel	Unifaces	Chert Mingan	Chert Mingan	Chert Mingan	Complet	14,30	3,69		2,54		1,22	Non	Oui	NA	Rabot?
19	Betchouanes	EbCt-002 (72G)	72G atelier	Est	54B1	54B1-4Q	54B1-4Q	Fragment retouché	Biface	Formel	Biface	Chert Mingan	Chert Mingan	Chert Mingan	Fragment	7,10	4,50		1,66		0,89	Non	Non	NA	D'abord classé comme éclat retouché, nous le considérons comme une ébauche abandonnée en cours de production suite à la fracturation de la pièce. Retouche sur faces opposées, aucune trace d'utilisation.
20	Betchouanes	EbCt-002 (72G)	72G atelier	Ouest	50E5	50E5-4Q	50E5-4Q	Éclat utilisé	É. utilisé/reto uché	informel	Unifaces	Chert Mingan	Chert Mingan	Chert Mingan	Complet	14,80	4,74		2,18		1,50	Non	Oui	NA	D'avoir classé comme éclat retouché, mais aucune trace de retouche, seulement des esquilles d'utilisation.
21	Betchouanes	EbCt-002 (72G)	72G atelier	Est	54C1	54C1-5Q	54C1-5Q	Fragment utilisé	Indéterminé	informel	Unifaces	Chert Mingan	Chert Mingan	Chert Mingan	Fragment	42,50	5,19*		4,95		2,03	Non	Oui	NA	Cros fragment portant des traces d'utilisation sur l'un de ses bords. Originellement considéré comme un éclat retouché.
22	Betchouanes	EbCt-002 (72G)	72G atelier	Ouest	39A1	39A1-3Q	39A1-3Q	Éclat utilisé	É. utilisé/reto uché	informel	Unifaces	Chert Mingan	Chert Mingan	Chert Mingan	Complet	0,40	1,75		1,12		0,29	Non	Non	NA	Petit éclat en éventail utilisé sur l'un de ses bords
23	Betchouanes	EbCt-002 (72G)	72G atelier	Est	62A1	62A1-3Q	62A1-3Q	Éclat retouché	É. utilisé/reto uché	Informel	Unifaces	Chert Mingan	Chert Mingan	Chert Mingan	Fragment	0,80	2,62		1,18*		0,42	Non	Oui	NA	Fragment d'éclat retouché
24	Betchouanes	EbCt-002 (72G)	72G atelier	Ouest	50D7	50D7-1Q	50D7-1Q	Éclat utilisé	É. utilisé/reto uché	informel	Unifaces	Chert Mingan	Chert Mingan	Chert Mingan	Fragment	5,10	3,28		2,1*		1,08	Non	Non	NA	Fragment d'éclat utilisé
25	Betchouanes	EbCt-002 (72G)	72G atelier	Est	53B2	53B2-2Q	50D7-1Q	Fragment retouché	Biface	Formel	Biface	Chert Mingan	Chert Mingan	Chert Mingan	Fragment	3,00	2,36*		1,66*		0,93	Non	Non	NA	Possible préforme bifaciale
26	Betchouanes	EbCt-002 (72G)	72G atelier	Ouest	59A11	59A11-2Q	59A11-2Q	Fragment retouché	Indéterminé	Informel	Unifaces	Chert Mingan	Chert Mingan	Chert Mingan	Fragment	7,30	3,05*		2,52		10,40	Non	Gaine	NA	Fragment retouché abandonné en cours de taille, aucune utilisation
27	Betchouanes	EbCt-002 (72G)	72G atelier	Ouest	50B2	50B2-7Q	50B2-7Q	Fragment retouché	Indéterminé	Informel	Unifaces	Chert Mingan	Chert Mingan	Chert Mingan	Fragment	3,30	2,84*		1,34*		0,89	Non	Non	NA	Fragment retouché abandonné en cours de taille, aucune utilisation
28	Betchouanes	EbCt-002 (72G)	72G atelier	Ouest	50E5	50E5-1Q	50E5-1Q	Fragment retouché	Indéterminé	Informel	Unifaces	Chert Mingan	Chert Mingan	Chert Mingan	Complet	16,80	4,04		3,17		1,37	Non	Non	NA	Fragment retouché, aucune utilisation, aucun bord aménagé
29	Betchouanes	EbCt-002 (72G)	72G atelier	Est	53D5	53D5-3Q	53D5-3Q	Éclat retouché	É. utilisé/reto uché	Informel	Unifaces	Chert Mingan	Chert Mingan	Chert Mingan	Fragment	4,70	3,07		2,20		0,80	Non	Oui	NA	Éclat retouché fracturé sur le tranchant
30	Betchouanes	EbCt-002 (72G)	72G atelier	Est	26C1	26C1-1Q	26C1-1Q	Pièce encochée	Indéterminé	Informel	Unifaces	Chert Mingan	Chert Mingan	Chert Mingan	Fragment	0,20	2,05*		,05*		0,35	Non	Non	NA	Fragment de pièce encochée
31	Betchouanes	EbCt-002 (72G)	72G atelier	Est	53A3	53A3-1Q	53A3-1Q	Éclat utilisé	É. utilisé/reto uché	informel	Unifaces	Chert Mingan	Chert Mingan	Chert Mingan	Complet	2,90	2,95		2,05		0,86	Non	Oui	NA	Éclat utilisé distalement. Originellement identifié comme un éclat retouché, mais nous proposons qu'il s'agisse plutôt d'Esquilles d'utilisation.
32	Betchouanes	EbCt-002 (72G)	72G atelier	Ouest	51D4	51D4-1Q	51D4-1Q	Éclat retouché	É. utilisé/reto uché	Informel	Unifaces	Chert Mingan	Chert Mingan	Chert Mingan	Complet	10,70	3,98		2,37		1,37	Non	Oui	NA	Somcynsky propose 3 UE, mais nos observations ne le supporte pas. Il semble s'agir de tentatives d'amincissement qui ont échouées et mené à l'abandon de la pièce
33	Betchouanes	EbCt-002 (72G)	72G atelier	Est	53A3	53A3-4Q	53A3-4Q	Éclat retouché	É. utilisé/reto uché	Informel	Unifaces	Chert Mingan	Chert Mingan	Chert Mingan	Fragment	0,07	2,2*		0,81		0,50	Non	Oui	NA	Possible préforme de forêt, section triangulaire
34	Betchouanes	EbCt-002 (72G)	72G atelier	Est	53D5	53D5-1Q	53D5-1Q	Éclat retouché	É. utilisé/reto uché	Informel	Unifaces	Chert Mingan	Chert Mingan	Chert Mingan	Fragment	4,40	2,86		1,64		0,94	Non	Oui	NA	Possible ébauche de couteau, retouche unifaciale se terminant à la cassure, abandon de la pièce
35	Betchouanes	EbCt-002 (72G)	72G atelier	Ouest	50E7		50E7.002	Éclat utilisé	É. utilisé/reto uché	informel	Unifaces	Chert Mingan	Chert Mingan	Chert Mingan	Complet	2,70	2,44		1,77		0,85	Non	Oui	NA	Éclat utilisé pour gratter, l'acumité formée pourrait avoir eue pour fonction le burinage.
36	Betchouanes	EbCt-002 (72G)	72G atelier	Est	1J2	1J2-1Q	1J2-1Q	Éclat retouché	É. utilisé/reto uché	Informel	Unifaces	Chert bourgogne	Chert bourgogne	Chert	Complet	4,00	2,59		2,00		0,81	Non	Oui	NA	Éclat retouché, cortex en position distale

Suite à la page suivante

N	Secteur archéologique	Site	# collection	Aire	Provenance	# cat original	# analyse	Nom générique	Nom générique simplifié	Formel vs informel	Type	Matière simplifiée finale	Matériau	Type Matériau	Intégrité	Poids	Longueur	Largeur%	Largeur max	Épaisseur%	Épaisseur max	Chauffe	Cortex	W/T ratio	Description
37	Betchouanes	EbCt-002 (72G)	72G atelier	Ouest	50E7	50E7-1Q	50E7-1Q	Fragment retouché	Indéterminé	Informel	Unifaces	Chert Mingan	Chert Mingan	Chert Mingan	Complet	10,50	3,41		2,00		1,05	Non	Oui	NA	Originellement catalogué comme préforme. L'absence d'un caractère bifacial m'incite plutôt à le considérer comme un fragment retouché
38	Betchouanes	EbCt-002 (72G)	72G atelier	Est	54D1		54D1.003	Éclat utilisé	É. utilisé/reto uché	informel	Unifaces	Chert Mingan	Chert Mingan	Chert Mingan	Complet	4,30	2,85		1,88		0,84	Non	Non	NA	
39	Betchouanes	EbCt-002 (72G)	72G atelier	Est	62A1		62A1.001	Éclat retouché	É. utilisé/reto uché	Informel	Unifaces	Chert Mingan	Chert Mingan	Chert Mingan	Complet	1,20	1,61		1,55		0,43	Non	Non	NA	Éclat retouché sur le talon pour former un petit grattoir sur éclat.
40	Betchouanes	EbCt-002 (72G)	72G atelier	Ouest	49B2	49B2-1Q	49B2-1Q	Burin	É. utilisé/reto uché	Informel	Unifaces	Chert Mingan	Chert Mingan	Chert Mingan	Complet	1,90	2,75		0,93		0,77	Non	Non	NA	Burin ou grattoir sur bout. Somcynsky l'identifie comme un burin busqué.
41	Betchouanes	EbCt-002 (72G)	72G atelier	Est	54D1		54D1.004	Burin	É. utilisé/reto uché	Informel	Unifaces	Chert Mingan	Chert Mingan	Chert Mingan	Complet	9,10	3,86		2,07		0,76	Non	Oui	NA	Burin sur éclat tabulaire
42	Betchouanes	EbCt-002 (72G)	72G atelier	Ouest	47C1	47C1-1Q	47C1-1Q	Coin	Coin	Informel	Unifaces	Chert Mingan	Chert Mingan	Chert Mingan	Complet	13,80	3,44		2,71		1,45	Non	Oui	NA	Coin sur fragment de galet, la face dorsale présente près de 100% de surface corticale.
43	Betchouanes	EbCt-002 (72G)	72G atelier	Est	53D5	53D5-4Q	53D5-4Q	Racloir	Racloir	Formel	Unifaces	Chert Mingan	Chert Mingan	Chert Mingan	Complet	3,10	3,54		1,34		0,79	Non	Non	NA	Outil sur fragment ou fragment d'outil? Nous le considérons comme un outil sur fragment
44	Betchouanes	EbCt-002 (72G)	72G atelier	Ouest	50B2	50B2-2Q	50B2-2Q	Grattoir	Rabot	Formel	Unifaces	Chert Mingan	Chert Mingan	Chert Mingan	Complet	90,10	6,15		4,27		3,74	Non	Oui	NA	Grattoir très peu retouché (extrémité distale seulement). Angle très aigu, possible rabot/fendeur?
45	Betchouanes	EbCt-002 (72G)	72G atelier	Ouest	57B2	57B2-1Q	57B2-1Q	Grattoir	Rabot	Formel	Unifaces	Chert Mingan	Chert Mingan	Chert Mingan	Complet	29,70	4,20		2,97		1,99	Oui	Oui	NA	Grattoir peu élaboré, front retouché minimalement
46	Betchouanes	EbCt-002 (72G)	72G atelier	Est	10A1	10A1-1Q	10A1-1Q	Grattoir	Grattoir	Formel	Unifaces	Chert Mingan	Chert Mingan	Chert Mingan	Complet	7,90	3,64		2,18		1,15	Non	Non	NA	Éclat retouché distalement, front très abrupt. Grattoir? Classifié par somcynsky comme éclat retouché. Pouvons nous y voir une ébauche de grattoir?
47	Betchouanes	EbCt-002 (72G)	72G atelier	Ouest	50D1	50D1-2Q	50D1-2Q	Éclat de réaménagement	Indéterminé	NA	Unifaces	Chert Mingan	Chert Mingan	Chert Mingan	Complet	6,76	3,51		1,38		1,70	Non	Oui	NA	Réaménagement de front de grattoir? Chute de Burin?
48	Betchouanes	EbCt-002 (72G)	72G atelier	Ouest	50E5	50E5-3Q	50E5-3Q	Éclat de réaménagement	Indéterminé	NA	Unifaces	Chert Mingan	Chert Mingan	Chert Mingan	Complet	2,00	3,78		1,04		0,64	Non	Non	NA	Réaménagement de front de grattoir.
49	Betchouanes	EbCt-002 (72G)	72G atelier	Ouest	57B2	57B2-2Q	57B2-2Q	Grattoir	Grattoir	Formel	Unifaces	Chert Mingan	Chert Mingan	Chert Mingan	Fragment	0,30	*		*		0,30	Non	Non	NA	Fragment distal de grattoir. La fracture "snap fracture" semble indiquer que la pièce ait pu être emmanchée.
50	Betchouanes	EbCt-002 (72G)	72G atelier	Est	19F1	19F1-1Q	19F1-1Q	Grattoir	Grattoir	Formel	Unifaces	Chert Mingan	Chert Mingan	Chert Mingan	Complet	1,40	1,95		1,74		0,39	Non	Non	NA	Grattoir en éventail de petite dimension.
51	Betchouanes	EbCt-002 (72G)	72G atelier	Est	19F1	19F1-2Q	19F1-2Q	Grattoir	Grattoir	Formel	Unifaces	Chert Mingan	Chert Mingan	Chert Mingan	Complet	2,00	2,14		1,45		0,67	Non	Oui	NA	Petit grattoir avec modification pour emmanchement.
52	Betchouanes	EbCt-002 (72G)	72G atelier	Ouest	50E1	50E1-1Q	50E1-1Q	Grattoir-racloir	Grattoir	Formel	Unifaces	Chert gris veiné	Chert gris veiné	Chert	Complet	1,70	2,04		1,83		0,51	Non	Non	NA	Grattoir-racloir en chert exotique, ne porte pas de traces d'emmanchement.
53	Betchouanes	EbCt-002 (72G)	72G atelier	Ouest	50E3	50E3-1Q	50E3-1Q	Grattoir	Grattoir	Formel	Unifaces	Chert Mingan	Chert Mingan	Chert Mingan	Complet	0,70	1,44		1,56		0,40	Non	Non	NA	Petit grattoir en éventail sur éclat
54	Betchouanes	EbCt-002 (72G)	72G atelier	Ouest	58B1	58B1-1Q	58B1-1Q	Grattoir	Grattoir	Formel	Unifaces	Chert Mingan	Chert Mingan	Chert Mingan	Complet	7,30	3,38		2,31		0,93	Non	Oui	NA	
55	Betchouanes	EbCt-002 (72G)	72G atelier	Est	61C9	61C9-1Q	61C9-1Q	Grattoir	Grattoir	Formel	Unifaces	Quartzite de Ramah	Quartzite de Ramah	Quartzite de Ramah	Complet	4,90	2,56		2,87		0,64	Non	Non	NA	Grattoir en éventail en quartzite Ramah
56	Betchouanes	EbCt-002 (72G)	72G atelier	Ouest	50E3	50E3-2Q	50E3-2Q	Fragment retouché	Indéterminé	Informel	Unifaces	Chert Mingan	Chert Mingan	Chert Mingan	Fragment	9,43	3,66*		3,65*		1,23	Non	Oui	NA	Pièce fracturée en cours de taille, retouche alterne
57	Betchouanes	EbCt-002 (72G)	72G atelier	Ouest	50E1	50E1-3Q	50E1-3Q	Éclat retouché	É. utilisé/reto uché	Informel	Unifaces	Chert Mingan	Chert Mingan	Chert Mingan	Fragment	8,40	4,24		2,19		1,10	Non	Oui	NA	Éclat retouché. Ébauche?
58	Betchouanes	EbCt-002 (72G)	72G habitation		77A1	77A1-1Q	77A1-1Q	Racloir	Racloir	Formel	Unifaces	Chert Mingan	Chert Mingan	Chert Mingan	Fragment	1,70	1,59*		2,25*		0,46*	Non	Non	NA	Éclat retouché en racloir (ou grattoir?). La pièce présente plusieurs fractures.
59	Betchouanes	EbCt-002 (72G)	72G atelier	Ouest	49C10	49C10-2Q	49C10-2Q	Ébauche bifaciale	Ébauche bifaciale	Formel	Biface	Chert Mingan	Chert Mingan	Chert Mingan	Complet	15,10	4,16	3,36	3,47	1,54	1,59	Non	Gaine	2,18	Taillé entièrement à partir de la gaine
60	Betchouanes	EbCt-002 (72G)	72G atelier	Ouest	50B2	50B2-3Q	50B2-3Q	Ébauche bifaciale	Ébauche bifaciale	Formel	Biface	Chert Mingan	Chert Mingan	Chert Mingan	Complet	30,60	4,28	3,99	3,99	2,15	2,26	Non	Non	1,86	Taille bifaciale seulement sur certaines portions. Pièce très épaisse avec face ventrale presque plate.
61	Betchouanes	EbCt-002 (72G)	72G atelier	Ouest	50B2	50B2-4Q	50B2-4Q	Ébauche bifaciale	Ébauche bifaciale	Formel	Biface	Chert Mingan	Chert Mingan	Chert Mingan	Complet	17,20	3,60	2,75	2,78	1,65	1,65	Non	Oui	1,67	Face ventrale très plate, tendance bifaciale
62	Betchouanes	EbCt-002 (72G)	72G atelier	Ouest	51B1	51B1-1Q	51B1-1Q	Ébauche bifaciale	Ébauche bifaciale	Formel	Biface	Chert Mingan	Chert Mingan	Chert Mingan	Complet	15,46	3,25	2,75	3,04	1,44	1,60	Non	Oui	1,91	Base non travaillée et épaisse
63	Betchouanes	EbCt-002 (72G)	72G atelier	Est	52D1	52D1-1Q	52D1-1Q	Ébauche bifaciale	Ébauche bifaciale	Formel	Biface	Chert Mingan	Chert Mingan	Chert Mingan	Fragment	14,70	3,55	2,32	2,32*		1,63	Non	Oui	NA	Peu d'enlèvements sur la face dorsale, fracture axiale sur le côté droit semble résulter de la taille de la pièce
64	Betchouanes	EbCt-002 (72G)	72G atelier	Est	53A3	53A3-3Q	53A3-3Q	Ébauche bifaciale	Ébauche bifaciale	Formel	Biface	Chert Mingan	Chert Mingan	Chert Mingan	Fragment	2,80	2,83	1,26	1,26*	0,96	1,00	Non	Oui	1,31	Pièce très fragmentaire, cassure axiale
65	Betchouanes	EbCt-002 (72G)	72G atelier	Est	54A2	54A2-1Q	54A2-1Q	Ébauche bifaciale	Ébauche bifaciale	Formel	Biface	Chert Mingan	Chert Mingan	Chert Mingan	Fragment	27,90	3,56*	3,61	3,61*	2,11	2,14	Non	Oui	1,71	Grande ébauche sur éclat tabulaire
66	Betchouanes	EbCt-002 (72G)	72G atelier	Est	54C1	54C1-2Q	54C1-2Q	Ébauche bifaciale	Ébauche bifaciale	Formel	Biface	Chert Mingan	Chert Mingan	Chert Mingan	Complet	10,10	4,35	1,85	1,95	1,32	1,34	Non	Oui	1,40	Possible ébauche de couteau
67	Betchouanes	EbCt-002 (72G)	72G atelier	Est	54C1	54C1-7Q	54C1-7Q	Ébauche bifaciale	Ébauche bifaciale	Formel	Biface	Chert Mingan	Chert Mingan	Chert Mingan	Fragment	10,10	3,02	2,56	2,56	1,31	1,40	Non	Oui	1,95	Fragment proximal d'ébauche
68	Betchouanes	EbCt-002 (72G)	72G atelier	Ouest	56B2	56B2-1Q	56B2-1Q	Ébauche bifaciale	Ébauche bifaciale	Formel	Biface	Chert Mingan	Chert Mingan	Chert Mingan	Complet	18,70	3,43	2,96	3,12	1,68	1,70	Non	Oui	1,76	Taille centripète sur face ventrale
69	Betchouanes	EbCt-002 (72G)	72G atelier	Ouest	59A11	59A11-3Q	59A11-3Q	Ébauche bifaciale	Ébauche bifaciale	Formel	Biface	Chert Mingan	Chert Mingan	Chert Mingan	Complet	20,40	3,95	2,92	2,92	1,98	2,01	Non	Oui	1,47	Ébauche sur tout petit galet
70	Betchouanes	EbCt-002 (72G)	72G atelier	Est	61B2	61B2-1Q	61B2-1Q	Ébauche bifaciale	Ébauche bifaciale	Formel	Biface	Chert Mingan	Chert Mingan	Chert Mingan	Complet	30,50	4,46	3,47	3,60	1,79	1,93	Oui	Oui	1,94	Plusieurs veines vides, vacuoles importants ayant sans doute mené à l'abandon de la manufacture de la pièce. Retouche bifaciale uniquement sur l'un des bords et faorme asymétrique laissent croire en une préforme de couteau.
71	Betchouanes	EbCt-002 (72G)	72G atelier	Est	61B5	61B5-1Q	61B5-1Q	Ébauche bifaciale	Ébauche bifaciale	Formel	Biface	Chert Mingan	Chert Mingan	Chert Mingan	Complet	13,10	3,40	3,04	3,04	1,28	1,30	Non	Oui	2,38	Caractère asymétrique
72	Betchouanes	EbCt-002 (72G)	72G atelier	Est	61B7	61B7-1Q	61B7-1Q	Ébauche bifaciale	Ébauche bifaciale	Formel	Biface	Chert Mingan	Chert Mingan	Chert Mingan	Complet	12,60	3,93	2,20	3,04	1,52	1,60	Non	Oui	1,45	Manufacturé entièrement dans la gaine
73	Betchouanes	EbCt-002 (72G)	72G atelier	Est	62A1	62A1-1Q	62A1-1Q	Ébauche bifaciale	Ébauche bifaciale	Formel	Biface	Chert Mingan	Chert Mingan	Chert Mingan	Fragment	21,20	3,70	2,55	3,23	1,92	1,85	Non	Oui	1,33	
74	Betchouanes	EbCt-002 (72G)	72G atelier	Est	62B9	62B9-1Q	62B9-1Q	Ébauche bifaciale	Ébauche bifaciale	Formel	Biface	Chert Mingan	Chert Mingan	Chert Mingan	Complet	20,40	3,97	3,61	3,80	1,77	1,77	Non	Non	2,04	

Suite à la page suivante

N	Secteur archéologique	Site	# collection	Aire	Provenance	# cat original	# analyse	Nom générique	Nom générique simplifié	Formel vs informel	Type	Matière simplifiée finale	Matériau	Type Matériau	Intégrité	Poids	Longueur	Largeur½	Largeur max	Épaisseur½	Épaisseur max	Chauffe	Cortex	W/T ratio	Description
75	Betchouanes	EbCt-002 (72G)	72G atelier	Est	63A1	63A1-1Q	63A1-1Q	Ébauche bifaciale	Ébauche bifaciale	Formel	Biface	Chert Mingan	Chert Mingan	Chert Mingan	Complet	22,40	4,00	3,14	3,14	1,70	1,70	Non	Oui	1,85	Importante gibbosité sur la face ventrale
76	Betchouanes	EbCt-002 (72G)	72G atelier	Ouest	64A1	64A1-1Q	64A1-1Q	Ébauche bifaciale	Ébauche bifaciale	Formel	Biface	Chert Mingan	Chert Mingan	Chert Mingan	Complet	22,50	3,85	3,90	3,66	2,12	2,12	Non	Oui	1,84	Cortex sur les deux faces
77	Betchouanes	EbCt-002 (72G)	72G atelier	Ouest	48D3-1Q	48D3-1Q	48D3-1Q	Préforme bifaciale	Préforme bifaciale	Formel	Biface	Chert Mingan	Chert Mingan	Chert Mingan	Complet	9,30	3,69	2,48	2,54	1,09	1,25	Non	Oui	2,28	Ébauche de couteau? (somcynsky)
78	Betchouanes	EbCt-002 (72G)	72G atelier	Ouest	49C4	49C4-1Q	49C4-1Q	Préforme bifaciale	Préforme bifaciale	Formel	Biface	Chert Mingan	Chert Mingan	Chert Mingan	Fragment	6,39	3,39*	1,85	2,15	0,94	0,94	Non	Non	1,97	La cassure au niveau de l'extrémité distale semble avoir mené à l'abandon de la pièce.
79	Betchouanes	EbCt-002 (72G)	72G atelier	Ouest	50D1	50D1-1Q	50D1-1Q	Préforme bifaciale	Préforme bifaciale	Formel	Biface	Chert Mingan	Chert Mingan	Chert Mingan	Fragment	15,60	4,36*	2,28	3,35	1,27*	1,45*	Non	Oui	#VALEUR!	Multiples fractures et tentative de reprise, mais abandon
80	Betchouanes	EbCt-002 (72G)	72G atelier	Ouest	49C10	49C10-1Q	49C10-1Q	Préforme bifaciale	Préforme bifaciale	Formel	Biface	Chert Mingan	Chert Mingan	Chert Mingan	Fragment	5,10	2,94	1,88	2,05	0,76	0,76	Non	Non	2,47	Retouché bifacialement sur un bord seulement. Pièce asymétrique. Ébauche de couteau?
81	Betchouanes	EbCt-002 (72G)	72G atelier	Ouest	51B1	51B1-2Q	51B1-2Q	Préforme bifaciale	Préforme bifaciale	Formel	Biface	Chert Mingan	Chert Mingan	Chert Mingan	Fragment	6,60	4,56	*	2,38*	*	1,20	Non	Non	NA	Fractures multiples ayant mené à l'abandon de la pièce. Originellement considéré comme une ébauche, mais la taille fine qui caractérise la partie distale suggère plutôt une préforme.
82	Betchouanes	EbCt-002 (72G)	72G atelier	Est	53C4	53C4-1Q	53C4-1Q	Préforme bifaciale	Préforme bifaciale	Formel	Biface	Chert Mingan	Chert Mingan	Chert Mingan	Fragment	0,08	*	*	*	*	*	Non	Non	NA	Fragment distale d'ébauche bifaciale
83	Betchouanes	EbCt-002 (72G)	72G atelier	Est	53D4	53D4-1Q	53D4-1Q	Préforme bifaciale	Préforme bifaciale	Formel	Biface	Chert Mingan	Chert Mingan	Chert Mingan	Fragment	12,5*	3,96*	2,46	2,65	1,45	1,45	Non	Oui	1,70	Pourrait être considéré plutôt comme une ébauche. Cortex sur les deux faces.
84	Betchouanes	EbCt-002 (72G)	72G atelier	Est	54C1	54C1-3Q	54C1-3Q	Préforme bifaciale	Préforme bifaciale	Formel	Biface	Chert Mingan	Chert Mingan	Chert Mingan	Complet	8,60	3,90	1,36	1,90	1,25	1,48	Non	Oui	1,09	Section triangulaire, préforme de foret?
85	Betchouanes	EbCt-002 (72G)	72G atelier	Est	61B2	61B2-2Q	61B2-2Q	Préforme bifaciale	Préforme bifaciale	Formel	Biface	Chert Mingan	Chert Mingan	Chert Mingan	Complet	7,60	3,17	2,28	2,31	1,21	1,21	Non	Oui	1,88	Aménagement de la base entamé, mais gibbosité importante sur la face dorsale semble avoir causé problème.
86	Betchouanes	EbCt-002 (72G)	72G atelier	Est	62A1	62A1-2Q	62A1-2Q	Préforme bifaciale	Préforme bifaciale	Formel	Biface	Chert Mingan	Chert Mingan	Chert Mingan	Complet	9,20	3,00	2,30	2,65	1,27	1,27	Non	Oui	1,81	Base amincie. Importante gibbosité sur face dorsale
87	Betchouanes	EbCt-002 (72G)	72G atelier	Est	62A1	62A1-7Q	62A1-7Q	Préforme bifaciale	Préforme bifaciale	Formel	Biface	Chert Mingan	Chert Mingan	Chert Mingan	Fragment	4,50	3,24	1,27	1,72*	0,86	0,97	Non	Non	1,48	Ébauche bifaciale de forme triangulaire
88	Betchouanes	EbCt-002 (72G)	72G atelier	Est	53D1	53D1-2Q	53D1-2Q	Ébauche bifaciale	Ébauche bifaciale	Formel	Biface	Chert Mingan	Chert Mingan	Chert Mingan	Complet	8,20	2,86	2,89	2,89	1,21	1,21	Non	Oui	2,39	Éclat retouché. Ébauche bifaciale?
89	Betchouanes	EbCt-002 (72G)	72G atelier	Ouest	30G1	30G1-1Q	30G1-1Q	Couteau	Couteau	Formel	Biface	Chert Mingan	Chert Mingan	Chert Mingan	Complet	7,30	3,44	2,25	2,40	0,84	0,90	Non	Oui	2,68	Couteau lancéolé. Cassure reliée au processus de taille.
90	Betchouanes	EbCt-002 (72G)	72G atelier	Est	54B1	54B1-2Q	54B1-2Q	Couteau	Couteau	Formel	Biface	Chert Mingan	Chert Mingan	Chert Mingan	Complet	10,90	4,27	2,51	2,74	0,84	0,84	Non	Oui	2,99	Couteau lancéolé légèrement asymétrique. Préforme?
91	Betchouanes	EbCt-002 (72G)	72G atelier	Est	43A1	43A1-1Q	43A1-1Q	Couteau	Couteau	Formel	Biface	Chert Mingan	Chert Mingan	Chert Mingan	Complet	5,20	3,68	1,95	1,96	0,59	0,74	Non	Non	3,31	Couteau lancéolé légèrement asymétrique. Base légèrement amincie, mais ne porte pas de traces d'emmanchement. Dos plat, mais non aménagé
92	Betchouanes	EbCt-002 (72G)	72G atelier	Est	62A1	62A1-5Q	62A1-5Q	Couteau	Couteau	Formel	Biface	Chert Mingan	Chert Mingan	Chert Mingan	Complet	4,70	3,95	1,96	2,22	0,53	0,66	Non	Non	3,70	Couteau lancéolé légèrement symétrique à lame droite. Ne porte pas de traces d'utilisation. Ébauche?
93	Betchouanes	EbCt-002 (72G)	72G atelier	Ouest	41A1	41A1-1Q	41A1-1Q	Couteau	Couteau	Formel	Biface	Chert Mingan	Chert Mingan	Chert Mingan	Complet	10,40	3,25	2,66	2,90	1,04	1,40	Non	Oui	2,56	Couteau ovoïde, cortex aux 2 extrémités. Préforme.
94	Betchouanes	EbCt-002 (72G)	72G atelier	Est	54D1	54D1-1Q	54D1-1Q	Couteau	Couteau	Formel	Biface	Chert Mingan	Chert Mingan	Chert Mingan	Complet	9,90	2,95	2,56	2,56	1,40	1,55	Non	Oui	1,83	Couteau ovoïde.
95	Betchouanes	EbCt-002 (72G)	72G atelier	Est	54D1	54D1-3Q	54D1-3Q	Couteau	Couteau	Formel	Biface	Chert Mingan	Chert Mingan	Chert Mingan	Complet	9,90	3,23	3,27	3,27	1,27	1,27	Non	Oui	2,57	Couteau ovoïde.
96	Betchouanes	EbCt-002 (72G)	72G atelier	Est	52D5	52D5-1Q	52D5-1Q	Couteau	Couteau	Formel	Biface	Chert Mingan	Chert Mingan	Chert Mingan	Complet	3,40	2,75	1,46	1,78	0,81	0,97	Non	Oui	1,80	Couteau triangulaire.
97	Betchouanes	EbCt-002 (72G)	72G atelier	Est	61B13	61B13-1Q	61B13-1Q	Couteau	Couteau	Formel	Biface	Chert Mingan	Chert Mingan	Chert Mingan	Complet	2,30	2,87	1,41	1,43	0,57	0,57	Non	Non	2,47	Couteau subtriangulaire, présente un double tranchant, l'un convexe, l'autre convexe (couteau-racloir?).
98	Betchouanes	EbCt-002 (72G)	72G atelier	Est	54C1	54C1-1Q	54C1-1Q	Couteau	Couteau	Formel	Biface	Chert Mingan	Chert Mingan	Chert Mingan	Complet	5,70	3,08	2,24	2,68	0,68	0,68	Non	Oui	3,29	Couteau subtriangulaire. Présente un double tranchant.
99	Betchouanes	EbCt-002 (72G)	72G atelier	Est	54D1	54D1-2Q	54D1-2Q	Couteau	Couteau	Formel	Biface	Chert Mingan	Chert Mingan	Chert Mingan	Complet	4,80	2,95	2,04	2,17	0,78	0,78	Non	Oui	2,62	Couteau subtriangulaire. Présente un double tranchant.
100	Betchouanes	EbCt-002 (72G)	72G atelier	Est	52B2	52B2-1Q	52B2-1Q	Couteau	Couteau	Formel	Biface	Chert Mingan	Chert Mingan	Chert Mingan	Complet	7,40	2,86	2,05	2,37	0,96	1,32	Non	Oui	2,14	Couteau triangulaire.
101	Betchouanes	EbCt-002 (72G)	72G atelier	Est	52D1	52D1-2Q	52D1-2Q	Couteau	Couteau	Formel	Biface	Chert Mingan	Chert Mingan	Chert Mingan	Complet	14,70	3,33	2,42	2,69	1,52	1,72	Non	Non	1,59	Couteau sur fragment retouché.
102	Betchouanes	EbCt-002 (72G)	72G atelier	Est	62A1	62A1-6Q	62A1-6Q	Couteau	Couteau	Formel	Biface	Chert Mingan	Chert Mingan	Chert Mingan	Complet	3,00	2,67	1,95	1,95	0,71	0,71	Non	Oui	2,75	Couteau de forme irrégulière avec importante masse corticale (incluant le talon) sur l'un de ses cotés.
103	Betchouanes	EbCt-002 (72G)	72G atelier	Est	43A1	43A1-2Q	43A1-2Q	Pointe de projectile	Pointe de projectile	Formel	Biface	Quartzite EbCp	Quartzite EbCp	Quartzite	Complet	2,20	2,65	1,53	1,82	0,55	0,56	Non	Non	2,78	Petite pointe triangulaire complète. Base amincie et traces de polissage/émoussage sur face dorsale attestant l'emmanchement.
104	Betchouanes	EbCt-002 (72G)	72G atelier	Est	53D6	53D6-1Q	53D6-1Q	Pointe de projectile	Pointe de projectile	Formel	Biface	Chert Mingan	Chert Mingan	Chert Mingan	Complet	2,00	2,55	1,45	1,52	0,46	0,56	Non	Oui	3,15	Petite pointe de projectile subtriangulaire. Son contour irrégulier et l'aspect non continu de la retouche laisse croire à une ébauche.
105	Betchouanes	EbCt-002 (72G)	72G habitation		77A1	77A1-2Q	77A1-2Q	Pointe de projectile	Pointe de projectile	Formel	Biface	Quartzite de Ramah	Quartzite de Ramah	Quartzite de Ramah	Fragment	0,20	*	*	*	*	*	Non	Non	NA	Frgment proximo-latéral de pointe de projectile. Encoches en coin.
106	Betchouanes	EbCt-002 (72G)	72G atelier	Est	54D1	54D1-4Q	54D1-4Q	Pointe de projectile	Pointe de projectile	Formel	Biface	Chert Mingan	Chert Mingan	Chert Mingan	Complet	2,50	2,89	1,87	1,88	0,48	0,48	Non	Oui	3,90	Pointe sur éclat.
107	Betchouanes	EbCt-002 (72G)	72G atelier	Ouest	67A1	67A1-1Q	67A1-1Q	Ébauche bifaciale	Ébauche bifaciale	Formel	Biface	Chert Mingan	Chert Mingan	Chert Mingan	Complet	50,90	6,09	3,82	4,11	2,45	2,62	Non	Non	1,56	Préforme bifaciale. Talon volumineux bien présent sur le tranchant.
108	Betchouanes	EbCt-002 (72G)	72G atelier	Est	54B1	54B1-1Q	54B1-1Q	Préforme bifaciale	Préforme bifaciale	Formel	Biface	Chert Mingan	Chert Mingan	Chert Mingan	Complet	10,00	3,91	2,45	2,48	0,96	1,00	Non	Non	2,55	Préforme bifaciale, talon présent.
109	Betchouanes	EbCt-002 (72G)	72G atelier	Ouest	29F2	29F2-1Q	29F2-1Q	Couteau	Couteau	Formel	Biface	Chert Mingan	Chert Mingan	Chert Mingan	Complet	16,20	5,56	3,56	3,56	0,80	0,85	Non	Non	4,45	Pièce la plus fine de la collection.
110	Betchouanes	EbCt-002 (72G)	72G atelier	Est	54B1	54B1-5Q	54B1-5Q	Nucléus	Nucléus	NA	Nucléus	Chert Mingan	Chert Mingan	Chert Mingan	Complet	23,20	3,19		2,33		1,72	Non	Oui	NA	
111	Betchouanes	EbCt-002 (72G)	72G atelier	Ouest	47C1	47C1-2Q	47C1-2Q	Nucléus	Nucléus	NA	Nucléus	Chert Mingan	Chert Mingan	Chert Mingan	Fragment	16,10	3,74		2,84		1,46	Non	Oui	NA	
112	Betchouanes	EbCt-002 (72G)	72G atelier	Ouest	59A11	59A11-1Q	59A11-1Q	Nucléus	Nucléus	NA	Nucléus	Chert Mingan	Chert Mingan	Chert Mingan	Fragment	36,80	4,29		3,78		2,22	Non	Oui	NA	Aucun enlèvement ultérieur
113	Betchouanes	EbCt-002 (72G)	72G atelier	Ouest	66D3	66D3-1Q	66D3-1Q	Nucléus	Nucléus	NA	Nucléus	Chert Mingan	Chert Mingan	Chert Mingan	Complet	11,10	3,00		2,46		1,54	Non	Oui	NA	

Suite à la page suivante

N	Secteur archéologique	Site	# collection	Aire	Provenance	# cat original	# analyse	Nom générique	Nom générique simplifié	Formel vs informel	Type	Matière simplifiée finale	Matériau	Type Matériau	Intégrité	Poids	Longueur	Largeur%	Largeur max	Épaisseur%	Épaisseur max	Chauffe	Cortex	W/T ratio	Description
114	Betchouanes	EbCt-002 (72G)	72G atelier	Est	53D4	53D4-3Q	53D4-3Q	Nucléus	Nucléus	NA	Nucléus	Chert Mingan	Chert Mingan	Chert Mingan	Fragment	15,70	4,92		1,56		1,56	Non	Oui	NA	
115	Betchouanes	EbCt-002 (72G)	72G atelier	Ouest	50E3	50E3-5Q	50E3-5Q	Nucléus	Nucléus	NA	Nucléus	Chert Mingan	Chert Mingan	Chert Mingan	Complet	29,40	3,42		3,06		1,77	Non	Oui	NA	
116	Betchouanes	EbCt-002 (72G)	72G atelier	Ouest	51C2	51C2-1Q	51C2-1Q	Nucléus	Nucléus	NA	Nucléus	Chert Mingan	Chert Mingan	Chert Mingan	Complet	37,00	4,38		3,79		2,21	Non	Oui	NA	
117	Betchouanes	EbCt-002 (72G)	72G atelier	Ouest	58B8		58B8.001	Nucléus	Nucléus	NA	Nucléus	Chert Mingan	Chert Mingan	Chert Mingan	Fragment	37,00	4,74		3,29		2,61	Non	Oui	NA	
118	Betchouanes	EbCt-002 (72G)	72G atelier	Ouest	58B12		58B12.001	Nucléus	Nucléus	NA	Nucléus	Chert Mingan	Chert Mingan	Chert Mingan	Fragment	57,40	5,09		3,79		2,59	Non	Oui	NA	
119	Betchouanes	EbCt-002 (72G)	72G atelier	Ouest	58B7		58B7.001	Nucléus	Nucléus	NA	Nucléus	Chert Mingan	Chert Mingan	Chert Mingan	Fragment	48,70	5,75		4,31		2,20	Non	Oui	NA	
120	Betchouanes	EbCt-002 (72G)	72G atelier	Ouest	50D1+ 53D1	50D1-1Q + 53D1-1Q	50D1-1Q	Nucléus	Nucléus	NA	Nucléus	Chert Mingan	Chert Mingan	Chert Mingan	Complet	199,40	7,45		5,62		4,81	Non	Oui	NA	
121	Betchouanes	EbCt-002 (72G)	72G atelier	Est	54B1	54B1-6Q	54B1-6Q	Nucléus	Nucléus	NA	Nucléus	Chert Mingan	Chert Mingan	Chert Mingan	Complet	71,50	6,21		3,85		2,84	Non	Oui	NA	Contour en quartzite gris
122	Betchouanes	EbCt-002 (72G)	72G atelier	Est	62B7	62B7-1Q	62B7-1Q	Nucléus	Nucléus	NA	Nucléus	Chert Mingan	Chert Mingan	Chert Mingan	Fragment	120,80	6,34		4,94		4,41	Non	Oui	NA	
123	Betchouanes	EbCt-002 (72G)	72G atelier	Ouest	50B2	50B2-6Q	50B2-6Q	Nucléus	Nucléus	NA	Nucléus	Chert Mingan	Chert Mingan	Chert Mingan	Complet	147,00	7,20		5,41		3,75	Non	Oui	NA	Quartzite gris
124	Betchouanes	EbCt-002 (72G)	72G atelier	Ouest	39A1	39A1-1Q	39A1-1Q	Nucléus	Nucléus	NA	Nucléus	Chert Mingan	Chert Mingan	Chert Mingan	Fragment	274,00	8,86		7,52		3,54	Non	Oui	NA	Discoïde
125	Betchouanes	EbCt-002 (72G)	72G atelier	Ouest	50D1	50D1-3Q	50D1-3Q	Nucléus	Nucléus	NA	Nucléus	Chert Mingan	Chert Mingan	Chert Mingan	Complet	46,30	5,42		3,46		2,75	Non	Oui	NA	Abandonné, petit galet+S50
126	Betchouanes	EbCt-002 (72G)	72G atelier	Est	62A1	62A1-4Q	62A1-4Q	Nucléus	Nucléus	NA	Nucléus	Chert Mingan	Chert Mingan	Chert Mingan	Complet	107,80	6,99		5,52		2,89	Non	Oui	NA	
127	Betchouanes	EbCt-002 (72G)	72G atelier	Ouest	50B2	50B2-5Q	50B2-5Q	Nucléus	Nucléus	NA	Nucléus	Chert Mingan	Chert Mingan	Chert Mingan	Complet	48,50	7,77		3,96		1,30	Non	Oui	NA	Aucun enlèvement ultérieur
128	Betchouanes	EbCt-002 (72G)	72G atelier	Ouest	60B1	60B1-1Q	60B1-1Q	Nucléus	Nucléus	NA	Nucléus	Chert Mingan	Chert Mingan	Chert Mingan	Complet	311,80	10,26		6,50		4,10	Non	Oui	NA	
129	Betchouanes	EbCt-002 (72G)	72G atelier	Ouest	50B2	50B2-1Q	50B2-1Q	Nucléus	Nucléus	NA	Nucléus	Chert Mingan	Chert Mingan	Chert Mingan	Fragment	392,00	9,43		7,84		6,32	Non	Oui	NA	3 fragments remontés dont il manque le cœur
130	Betchouanes	EbCt-002 (72G)	72G atelier	Ouest	49B6	49B6-1Q	49B6-1Q	Nucléus	Nucléus	NA	Nucléus	Chert Mingan	Chert Mingan	Chert Mingan	Fragment	459,40	8,49		7,78		7,14	Non	Oui	NA	Plusieurs fragments remontés
131	Betchouanes	EbCt-002 (72G)	72G atelier	Est	63A1	63A1-2Q	63A1-2Q	Nucléus	Nucléus	NA	Nucléus	Chert Mingan	Chert Mingan	Chert Mingan	Complet	405,10	8,70		6,58		7,31	Non	Oui	NA	Curiosité
132	Betchouanes	EbCt-002 (72G)	72G atelier	Est	54D1		54D1.001	Nucléus	Nucléus	NA	Nucléus	Chert Mingan	Chert Mingan	Chert Mingan	Complet	42,50	3,88		3,84		2,43	Non	Oui	NA	
133	Betchouanes	EbCt-002 (72G)	72G atelier	Est	54D1		54D1.002	Nucléus	Nucléus	NA	Nucléus	Chert Mingan	Chert Mingan	Chert Mingan	Complet	25,60	4,98		2,19		1,97	Non	Oui	NA	
134	Betchouanes	EbCt-002 (72G)	72G atelier	Ouest	50E5		50E5.001	Nucléus	Nucléus	NA	Nucléus	Chert Mingan	Chert Mingan	Chert Mingan	Complet	83,90	4,38		4,30		3,47	Non	Oui	NA	
135	Betchouanes	EbCt-002 (72G)	72G atelier	Ouest	58B14		58B14.001	Nucléus	Nucléus	NA	Nucléus	Chert Mingan	Chert Mingan	Chert Mingan	Complet	35,90	4,02		3,42		1,85	Non	Oui	NA	
136	Betchouanes	EbCt-002 (72G)	72G atelier	Ouest	50E7		50E7.001	Nucléus	Nucléus	NA	Nucléus	Chert Mingan	Chert Mingan	Chert Mingan	Complet	68,90	4,87		3,68		3,12	Non	Oui	NA	
137	Betchouanes	EbCt-002 (72G)	72G atelier	Est	53B1		53B1.002	Nucléus	Nucléus	NA	Nucléus	Chert Mingan	Chert Mingan	Chert Mingan	Complet	17,80	3,21		3,12		2,47	Non	Oui	NA	
138	Betchouanes	EbCt-002 (72G)	72G atelier	Est	53B2		53B2.001	Nucléus	Nucléus	NA	Nucléus	Chert Mingan	Chert Mingan	Chert Mingan	Complet	3,70	1,95		1,50		1,28	Non	Non	NA	Pourrait être classé comme débris
139	Betchouanes	EbCt-002 (72G)	72G atelier	Ouest	50E3		50E3.001	Nucléus	Nucléus	NA	Nucléus	Chert Mingan	Chert Mingan	Chert Mingan	Complet	23,90	2,92		2,81		2,08	Non	Oui	NA	
140	Betchouanes	EbCt-002 (72G)	72G atelier	Est	53B2		53B3.002	Nucléus	Nucléus	NA	Nucléus	Chert Mingan	Chert Mingan	Chert Mingan	Complet	19,00	3,32		2,35		1,98	Non	Oui	NA	
141	Betchouanes	EbCt-002 (72G)	72G atelier	Est	53B1		53B1.001	Nucléus	Nucléus	NA	Nucléus	Chert Mingan	Chert Mingan	Chert Mingan	Complet	15,60	3,65		2,98		1,37	Non	Oui	NA	
142	Betchouanes	EbCt-002 (72G)	72G atelier	Ouest	58B6		58B6.001	Nucléus	Nucléus	NA	Nucléus	Chert Mingan	Chert Mingan	Chert Mingan	Complet	15,70	2,32		2,33		2,10	Non	Oui	NA	
143	Betchouanes	EbCt-002 (72G)	72G atelier	Ouest	58B6		58B6.002	Nucléus	Nucléus	NA	Nucléus	Chert Mingan	Chert Mingan	Chert Mingan	Complet	4,20	2,05		1,75		1,38	Non	Non	NA	
144	Betchouanes	EbCt-002 (72G)	72G atelier	Ouest	50E5		50E5.002	Nucléus	Nucléus	NA	Nucléus	Chert Mingan	Chert Mingan	Chert Mingan	Complet	28,30	4,02		3,47		3,00	Non	Oui	NA	petit galet
145	Betchouanes	EbCt-002 (72G)	72G atelier	Ouest	50E3		50E3.002	Nucléus	Nucléus	NA	Nucléus	Chert Mingan	Chert Mingan	Chert Mingan	Complet	69,00	5,98		4,54		2,65	Non	Oui	NA	
146	Betchouanes	EbCt-002 (72G)	72G atelier	Est	53B3		53B3.001	Nucléus	Nucléus	NA	Nucléus	Chert Mingan	Chert Mingan	Chert Mingan	Complet	56,40	4,98		4,11		3,11	Non	Oui	NA	
147	Betchouanes	EbCt-002 (72G)	72G atelier	Ouest	50E7		50E7.002	Nucléus	Nucléus	NA	Nucléus	Chert Mingan	Chert Mingan	Chert Mingan	Fragment	28,00	4,20		2,96		2,25	Non	Oui	NA	Présence d'enlèvements
148	Betchouanes	EbCt-002 (72G)	72G atelier	Ouest	50E7		50E7.003	Nucléus	Nucléus	NA	Nucléus	Chert Mingan	Chert Mingan	Chert Mingan	Fragment	49,90	6,01		4,02		2,27	Non	Oui	NA	
149	Betchouanes	EbCt-002 (72G)	72G atelier	Ouest	50E1		50E1.001	Nucléus	Nucléus	NA	Nucléus	Chert Mingan	Chert Mingan	Chert Mingan	Complet	33,80	4,80		3,20		2,50	Non	Oui	NA	
150	Betchouanes	EbCt-002 (72G)	72G atelier	Ouest	50E1		50E1.002	Nucléus	Nucléus	NA	Nucléus	Chert Mingan	Chert Mingan	Chert Mingan	Complet	68,80	4,68		4,33		2,33	Non	Oui	NA	
151	Betchouanes	EbCt-002 (72G)	72G atelier	Ouest	50E3		50E3.006	Nucléus	Nucléus	NA	Nucléus	Chert Mingan	Chert Mingan	Chert Mingan	Complet	46,00	4,31		3,68		2,10	Non	Oui	NA	
152	Betchouanes	EbCt-002 (72G)	72G atelier	Ouest	50E3		50E3.007	Nucléus	Nucléus	NA	Nucléus	Chert Mingan	Chert Mingan	Chert Mingan	Complet	30,70	2,70		3,50		2,75	Non	Oui	NA	Curiosité
153	Betchouanes	EbCt-002 (72G)	72G atelier	Est	62A1		62A1.001	Nucléus	Nucléus	NA	Nucléus	Chert Mingan	Chert Mingan	Chert Mingan	Fragment	28,60	4,83		3,72		2,25	Non	Oui	NA	
154	Betchouanes	EbCt-002 (72G)	72G atelier	Est	62A1		62A1.002	Nucléus	Nucléus	NA	Nucléus	Chert Mingan	Chert Mingan	Chert Mingan	Complet	24,50	3,64		2,51		1,99	Non	Oui	NA	
155	Betchouanes	EbCt-002 (72G)	72G atelier	Ouest	50E3		50E3.003	Nucléus	Nucléus	NA	Nucléus	Chert Mingan	Chert Mingan	Chert Mingan	Complet	29,60	4,17		2,88		2,58	Non	Oui	NA	

Suite à la page suivante

N	Secteur archéologique	Site	# collection	Aire	Provenance	# cat original	# analyse	Nom générique	Nom générique simplifié	Formel vs informel	Type	Matière simplifiée finale	Matériau	Type Matériau	Intégrité	Poids	Longueur	Largeur%	Largeur max	Épaisseur%	Épaisseur max	Chauffe	Cortex	W/T ratio	Description
156	Betchouanes	EbCt-002 (72G)	72G atelier	Ouest	50E3		50E3.004	Nucléus	Nucléus	NA	Nucléus	Chert Mingan	Chert Mingan	Chert Mingan	Complet	35,20	3,81		3,10		2,40	Non	Oui	NA	
157	Betchouanes	EbCt-002 (72G)	72G atelier	Ouest	50E3		50E3.005	Nucléus	Nucléus	NA	Nucléus	Chert Mingan	Chert Mingan	Chert Mingan	Complet	106,80	6,30		4,41		3,62	Non	Oui	NA	
158	Betchouanes	EbCt-002 (72G)	72G atelier	Est	54C1	54C1-4Q	54C1-4Q	Nucléus	Nucléus	NA	Nucléus	Chert Mingan	Chert Mingan	Chert Mingan	Complet	12,30	2,93		2,69		1,89	Non	Oui	NA	Originellement considéré comme éclat retouché
159	Betchouanes	EbCt-002 (72G)	72G atelier	Ouest	50E3	50E3-4Q	50E3-4Q	Nucléus	Nucléus	NA	Nucléus	Chert Mingan	Chert Mingan	Chert Mingan	Complet	406,00	9,40		7,74		4,90	Non	Oui	NA	Gros nucléus multidirectionnel. Présente un bel enlèvement typique pour support pour outil.
160	Betchouanes	EbCs-010 (74G)	74G		1J2	1J2	1J2.002	Pointe de projectile	Pointe de projectile	Formel	Biface	Quartzite de Ramah	Quartzite de Ramah	Quartzite de Ramah	Fragment	0,10	NA		0,6*	NA	0,14*	Non	Non	NA	Fragment distal de pointe de projectile. Il manque l'extrémité distale qui pourrait aussi être le talon du support de la pièce?
161	Betchouanes	EbCs-010 (74G)	74G		1J2	1J2	1J2.001	Pointe de projectile	Pointe de projectile	Formel	Biface	Quartzite de Ramah	Quartzite de Ramah	Quartzite de Ramah	Fragment	1,20	2,48*		1,51	0,27	0,31	Oui	Non	0,00	Fragment de pointe de projectile sur éclat.
162	Betchouanes	EbCs-010 (74G)	74G		1E2	74G1E2	1E2.001	Grattoir- racloir	Grattoir	Formel	Unifaces	Quartzite EbCp	Quartzite EbCp	Quartzite	Complet	5,90	3,42		2,59		0,44	Non	Non	NA	Grattoir-racloir. La portion racloir est retouchée sur la face ventrale de l'éclat.
163	Betchouanes	EbCs-010 (74G)	74G		1J3	1J3	1J3.001	Éclat retouché	É. utilisé/reto uché	Informel	Unifaces	Chert vert lustré	Chert vert lustré	Chert	Complet	0,60	1,42		1,82		0,32	Oui	Non	NA	Éclat retouché
164	Betchouanes	EbCs-010 (74G)	74G		1J3	1J3	1J3.003	Éclat retouché	É. utilisé/reto uché	Informel	Unifaces	Chert vert lustré	Chert vert lustré	Chert	Complet	1,10	1,91		1,71		0,43	Oui	Oui	NA	Éclat retouché. Chert vert olivâtre. Présente une portion corticale.
165	Betchouanes	EbCs-010 (74G)	74G		1J3	1J3	1J3.002	Grattoir	Grattoir	Formel	Unifaces	Quartz hyalin	Quartz hyalin	Quartz	Fragment	0,90	1,94		1,43*		0,30	Non	Non	NA	Grattoir sur éclat. Pièce fragmentaire
166	Betchouanes	EbCs-010 (74G)	74G		1D2	1D2	1D2.001	Coin	Coin	Informel	Unifaces	Quartz hyalin	Quartz hyalin	Quartz	Fragment	1,20	1,84		,77*		0,64	Non	Non	NA	Fragment de pièce esquillée (coin). La fracture semble résulter de l'utilisation de la pièce.
167	Betchouanes	EbCs-011 (75G)	75G		1C3	1C3-X2	1C3-X2	Pointe de projectile	Pointe de projectile	Formel	Biface	Quartzite EbCp	Quartzite EbCp	Quartzite	Fragment	11,80	5,24*	2,54	2,54	0,63	0,70	Non	Non	4,03	Pointe de projectile à encoches latérales. Fracture de la base, possiblement dans l'emmanchement.
168	Betchouanes	EbCs-011 (75G)	75G		1A2	1A2-X1	1A2-X1	Couteau	Couteau	Formel	Biface	Quartzite EbCp	Quartzite EbCp	Quartzite	Complet	11,30	5,01	2,49	3,41	0,48	0,48	Non	Oui	5,19	Ébauche de couteau sur plaquette. Surface de joint sur les 2 faces.
169	Betchouanes	EbCs-011 (75G)	75G		1C3		1C3.001	Éclat utilisé	É. utilisé/reto uché	informel	Unifaces	Quartzite de Ramah	Quartzite de Ramah	Quartzite de Ramah	Fragment	1,10	1,93*		2,46		0,24	Non	Non	NA	Éclat utilisé (fragment).
170	Betchouanes	EbCs-011 (75G)	75G		2D3		2D3.001	Éclat utilisé	É. utilisé/reto uché	informel	Unifaces	Quartzite de Ramah	Quartzite de Ramah	Quartzite de Ramah	Complet	1,90	3,01		2,04		0,27	Non	Non	NA	Éclat utilisé dont il manque le talon
171	Betchouanes	EbCs-011 (75G)	75G		1A3		1A3.001	Burin	É. utilisé/reto uché	Informel	Unifaces	Chert vert lustré	Chert vert lustré	Chert	Complet	0,40	1,59		0,95		0,45	Non	Non	NA	Petit burin sur éclat? Aménagement d'un biseau par retouche alterne sur l'extrémité distale. Le bord latéral droit porte un émoussé ainsi que quelques esquilles.
172	Aguanish	EaCj-001	31		Sondage positif #1	1	EaCj-1.001	Éclat utilisé	É. utilisé/reto uché	informel	Unifaces	Mudstone gris marbré	Mudstone gris marbré	Pélites	Fragment	2,8	2,79*		3,16		0,48	Non	Non	NA	Éclat utilisé, porte des traces d'utilisation sur l'un de ses bords
173	Aguanish	EbCj-001	968				EbCj-1.2	EbCj-1.2	Racloir	Formel	Unifaces	Chert Mingan	Chert Mingan	Chert Mingan	Complet	4,8	3,37		2,29		0,60	Non	Non	NA	Racloir sur éclat.
174	Aguanish	EbCm-002	5245		Puits 1A, quadrant 2		EbCm-2 #5	EbCm-2.005	Pointe de projectile	Formel	Biface	Quartzite EbCp	Quartzite EbCp	Quartzite	Complet	3,5	3,17	1,61	1,86	0,55	0,57	Non	Non	2,93	Petite pointe triangulaire sur éclat. Base droite et amincie.
175	Aguanish	EbCm-002	5245		Puits 1A, quadrant 3		EbCm-2 #3	EbCm-2.003	Pointe de projectile	Formel	Biface	Quartzite EbCp	Quartzite EbCp	Quartzite	Fragment	7	4,12	2,28	2,77*	0,57	0,65	Non	Non	4,00	Pointe ou couteau sur éclat. Fracture au niveau proximal, vraisemblablement en cours de taille. Ne porte pas de traces d'utilisation.
176	Aguanish	EbCn-001					EbCn-1.10	EbCn-1.10	Éclat retouché	Informel	Unifaces	Chert noir carbonaté	Chert noir carbonaté	Chert	Complet	3,3	3,21		2,58		0,48	Non	Non	NA	Éclat retouché, utilisé sur ses 2 bords.
177	Aguanish	EbCn-001					EbCn-1.11	EbCn-1.11	Éclat retouché	Informel	Unifaces	Chert noir carbonaté	Chert noir carbonaté	Chert	Fragment	2,1	2,03*		2,35		0,38	Non	Non	NA	Éclat retouché, utilisé sur ses 2 bords.
178	Aguanish	EbCn-001	4165					EbCn-1.X1	Éclat retouché	Informel	Unifaces	Chert noir carbonaté	Chert noir carbonaté de type 2	Chert	Fragment	4,0	3,38*		2,08*		0,58	Non	Non	NA	Éclat retouché. Variété brune du chert noir carbonnaté.
179	Aguanish	EbCn-001	4165		S-1-B			EbCn-1.X2	Éclat utilisé	informel	Unifaces	Chert gris- verdâtre (fosse Lab)	Chert vert/gris marbré	Chert	Complet	10,4	4,41		5,16		0,65	Non	Non	NA	Gros éclat utilisé.
180	Aguanish	EbCn-001					EbCn-1.5	EbCn-1.5	Grattoir	Formel	Unifaces	Chert veiné bleu-vert- orangé	Chert veiné bleu-vert- orangé	Chert	Complet	1,7	1,97*		2,25		0,38	Non	Non	NA	Grattoir sur éclat
181	Aguanish	EbCn-001					EbCn-1.8	EbCn-1.8	Grattoir	Formel	Unifaces	Mudstone gris marbré	Pélite grise vacuolaire	Pélites	Complet	1,7	1,76		2,05		0,46	Non	Non	NA	Grattoir sur éclat, emmanché.
182	Aguanish	EbCn-001			EbCn-1.2		EbCn-1,2.12	EbCn-1,2.12	Coin	Informel	Unifaces	Quartz hyalin	Quartz hyalin	Quartz	Fragment	11,0	2,76		3,16*		0,97	Non	Oui	NA	Coin. Fracturé. Présente une surface de joint.
183	Aguanish	EbCn-001					EbCn-1.7	EbCn-1.7	Éclat utilisé	informel	Unifaces	Chert Mingan	Chert Mingan	Chert Mingan	Complet	8,4	3,88		2,76		1,14	Non	Oui	NA	Gros éclat utilisé. Talon cortical.
184	Aguanish	EbCn-001					EbCn-1.6	EbCn-1.6	Éclat utilisé	informel	Unifaces	Chert Mingan	Chert Mingan	Chert Mingan	Fragment	9,6	2,42*		3,19*		1,22	Non	Non	NA	Fragment d'éclat utilisé.
185	Aguanish	EbCn-001	4165		S-2			EbCn-1.X3	Grattoir	Formel	Unifaces	Chert noir carbonaté	Chert arc-en- ciel	Chert	Fragment	0,4	1,58*		1,30*		1,28*	Non	Non	NA	Petit grattoir sur éclat, fracturé (snap fracture = emmanché)
186	Aguanish	EbCn-001	4165		S-4			EbCn-1.X4	Racloir	Formel	Unifaces	Chert noir carbonaté	Chert noir carbonaté de type 2	Chert	Fragment	0,6	2,60*		0,87*		0,42*	Non	Non	NA	Fragment de racloir sur éclat.
187	Aguanish	EbCn-001					EbCn-1.9	EbCn-1.009	Éclat utilisé	informel	Unifaces	Mudstone gris marbré	Pélite grise vacuolaire	Pélites	Complet	2,9	3,48		1,88		0,35	Non	Non	NA	Éclat utilisé
188	Aguanish	EbCn-001						EbCn-1.X5	Éclat utilisé	informel	Unifaces	Chert noir carbonaté	Chert noir carbonaté	Chert	Fragment	1,2	1,89*		2,25		0,32*	Non	Non	NA	Fragment d'éclat utilisé.
189	Aguanish	EbCn-001	4165		S-4		1.1?	EbCn-1.X6	Éclat utilisé	informel	Unifaces	Chert noir carbonaté	Chert noir carbonaté	Chert	Fragment	3,7	2,80*		2,56*		0,66*	Non	Non	NA	Fragment d'éclat utilisé. Chert noir carbonaté avec portion chertreuse verte.
190	Aguanish	EbCn-001	4165		"sur butte"		1.2	EbCn-1.X7	Éclat utilisé	informel	Unifaces	Quartz hyalin	Quartz hyalin	Quartz	Complet	1,8	2,43		1,75		0,44	Non	Non	NA	Éclat utilisé.
191	Aguanish	EbCn-001	4165		S-2			EbCn-1.X8	Burin	Informel	Unifaces	Quartz hyalin	Quartz hyalin	Quartz	Complet	2,3	1,67		1,48		0,61	Non	Non	NA	Burin sur fragment de plaquette.
192	Aguanish	EbCn-001	4165a		S3			EbCn-1X9	Nucléus	NA	Nucléus	Quartz hyalin	Quartz hyalin	Quartz	Complet	137,3	9,11		4,51		3,84			NA	Inclusions de feldspath bien visibles
193	Aguanish	EbCn-003	4167		S1			EbCn-3.X1	Éclat utilisé	informel	Unifaces	Chert marbré gris-beige- mauve	Chert marbré gris-beige- mauve	Chert	Fragment	1,2	2,07*		1,88		0,30	Non	Non	NA	Fragment d'éclat utilisé.

Suite à la page suivante

N	Secteur archéologique	Site	# collection	Aire	Provenance	# cat original	# analyse	Nom générique	Nom générique simplifié	Formel vs informel	Type	Matière simplifiée finale	Matériau	Type Matériau	Intégrité	Poids	Longueur	Largeur%	Largeur max	Épaisseur%	Épaisseur max	Chauffe	Cortex	W/T ratio	Description
194	Aguanish	EbCn-003	4167		S7		EbCn-3.X2	Grattoir- racoir	Grattoir	Formel	Unifaces	Quartzite Noui	Quartzite Noui	Quartzite	Complet	20,2	4,74	3,14	3,16	0,91	0,98	Non	Non	NA	Outil composite. Grattoir-racoir
195	Aguanish	EbCn-003	4167			2		Pointe de projectile	Pointe de projectile	Formel	Biface	Schiste verdâtre	Schiste verdâtre	Schiste	Fragment									NA	Pointe polie
196	Aguanish	EbCn-003	4167a				EbCn-3.5	Pointe de projectile/cou- teau	Couteau	Formel	Biface	Quartzite EbCp	Quartzite EbCp	Quartzite	Fragment	9,9	4,57*	2,19	2,31	0,69	0,73	Non	Non	3,17	Couteau sur éclat, vraisemblablement emmanché
197	Aguanish	EbCn-006	298A				EbCn-6.2	Pointe de projectile	Pointe de projectile	Formel	Biface	Quartz hyalin	Quartz hyalin	Quartz	Fragment	2,9	2,34*		1,77*		0,77*	Non	Non	#DIV/0!	Fragment proximal de pointe de projectile. On semble y déceler la présence d'encoches latérales (larges et très peu profondes).
198	Aguanish	EbCn-015	4878		Surface	#2	EbCn-15.X2	Couteau	Couteau	Formel	Biface	Quartzite EbCp	Quartzite EbCp	Quartzite	Complet	18,5	4,73	2,55	2,55*	1,64	1,64	Non	Non	0,64	Couteau.
199	Aguanish	EbCn-015	4878		Surface	#1	EbCn-15.X1	Nucléus	Nucléus	NA	Nucléus	Quartzite EbCp	Quartzite EbCp	Quartzite	Complet	14,4	2,80		4,05		2,04	Non	Oui	NA	Nucléus sur Plaque (lit épais). Présente 2 surfaces naturelles à angle de 90 degrés.
200	Betchouanes	EbCs-015	4146				EbCs-15.3	Pointe de projectile	Pointe de projectile	Formel	Biface	Chert Mingan	Chert Mingan	Chert Mingan	Complet	3,8	3,25	1,58	2,18	0,77	0,80	Non	Non	2,05	Pointe de projectile triangulaire sur éclat.
201	Betchouanes	EbCt-005	4145		Puits 2	#2	EbCt-5.001	Nucléus	Nucléus	NA	Nucléus	Chert Mingan	Chert Mingan	Chert Mingan	Complet	13,0	2,77		2,38		1,75	Non	Oui	NA	Rognon de chert réduit de façon bipolaire.
202	Tonnerre	EbDc-001	1185				EbDc-1.001	Pointe de projectile	Pointe de projectile	Formel	Biface	Quartzite Noui	Quartzite Noui	Quartzite	Fragment	3,2	NA	NA	NA	NA	NA	Non	Non	NA	Fragment proximal (base uniquement de pointe de projectile, vraisemblablement de lance).
203	Tonnerre	EbDe-001	1188				EbDe-1	Grattoir	Grattoir	Formel	Unifaces	Chert Mingan	Chert Mingan	Chert Mingan	Complet	1,5	2,33	1,45	1,61	0,36	0,38	Non	Non	NA	Grattoir sur éclat
204	Tonnerre	EbDe-001	1188				EbDe-1	Grattoir	Grattoir	Formel	Unifaces	Chert Mingan	Chert Mingan	Chert Mingan	Complet	2,2	2,38		1,74	0,35	0,49	Non	Non	NA	Grattoir sur éclat
205	Tonnerre	EbDe-001	1188				EbDe-1	Pointe de projectile	Pointe de projectile	Formel	Biface	Chert Mingan	Chert Mingan	Chert Mingan	Complet	1,1	2,16	1,01	1,19	0,41	0,49	Non	Non	2,46	Petite pointe de flèche à encoches en coin.
206	Tonnerre	EbDe-001	1188				EbDe-1	Biface	Biface	Formel	Biface	Chert Mingan	Chert Mingan	Chert Mingan	Complet	7,5	3,48	2,22	2,54	0,75	0,80	Non	Oui	2,96	Petit biface, couteau foliacé avec tentative d'amincissement de la base.
207	Tonnerre	EbDe-001	1188				EbDe-1	Couteau	Couteau	Formel	Biface	Chert Mingan	Chert Mingan	Chert Mingan	Complet	4,6	2,26	1,99	2,28	0,76	1,04	Non	Oui	2,62	Petit couteau sur éclat. Présente 2 extrémités corticales
208	Tonnerre	EbDe-001	1188				EbDe-1	Couteau	Couteau	Formel	Biface	Quartz hyalin	Quartz hyalin	Quartz	Complet	1,3	2,55	1,16	1,16	0,34	0,34	Non	Non	3,41	Petit couteau emmanché
209	Tonnerre	EbDe-001	1188				EbDe-1	Nucléus	Nucléus	NA	Nucléus	Chert Mingan	Chert Mingan	Chert Mingan	Complet	32,3	4,15		3,95		2,53	Non	Oui	NA	Petit nucléus sur support bipolaire
210	Tonnerre	EbDe-001	1188				EbDe-1	Nucléus	Nucléus	NA	Nucléus	Chert Mingan	Chert Mingan	Chert Mingan	Complet	77,3	4,39		4,15		3,53	Non	Oui	NA	Petit nucléus, présente du cortex sur deux faces opposées
211	Tonnerre	EbDe-001	1188				EbDe-1	Nucléus	Nucléus	NA	Nucléus	Chert Mingan	Chert Mingan	Chert Mingan	Complet	45,5	4,71		3,30		2,70	Non	Oui	NA	Petit nucléus multidirectionnel sur galet
212	Tonnerre	EbDe-001	1188				EbDe-1	Nucléus	Nucléus	NA	Nucléus	Chert Mingan	Chert Mingan	Chert Mingan	Complet	12,0	3,12		2,58		1,58	Non	Non	NA	Petit rognon de chert
213	Tonnerre	EbDe-001	1188				EbDe-1	Nucléus	Nucléus	NA	Nucléus	Chert Mingan	Chert Mingan	Chert Mingan	Complet	22,0	3,94		3,43		2,04	Non	Oui	NA	Petit nucléus bipolaire
214	Tonnerre	EbDe-001	1188				EbDe-1	Nucléus	Nucléus	NA	Nucléus	Chert Mingan	Chert Mingan	Chert Mingan	Fragment	52,5	5,71		4,30		2,86	Non	Oui	NA	Présente grosse cavité corticale
215	Tonnerre	EbDe-001	1188				EbDe-1	Nucléus	Nucléus	NA	Nucléus	Chert Mingan	Chert Mingan	Chert Mingan	Complet	29,2	5,56		1,85		1,56	Non	Oui	NA	Nucléus bipolaire avec enlèvements subséquents
216	Tonnerre	EbDe-001	1188				EbDe-1	Nucléus	Nucléus	NA	Nucléus	Chert Mingan	Chert Mingan	Chert Mingan	Complet	16,0	3,73		3,21		1,73	Non	Oui	NA	Gros éclat bipolaire avec enlèvements ultérieurs
217	Tonnerre	EbDe-001	1188				EbDe-1	Nucléus	Nucléus	NA	Nucléus	Chert Mingan	Chert Mingan	Chert Mingan	Complet	15,6	3,38		3,52		1,42	Non	Oui	NA	Gros éclat bipolaire avec enlèvements ultérieurs
218	Tonnerre	EbDe-001	1188				EbDe-1	Nucléus	Nucléus	NA	Nucléus	Chert Mingan	Chert Mingan	Chert Mingan	Fragment	15,8	3,46		3,41		1,94	Non	Oui	NA	Gros éclat bipolaire avec enlèvements ultérieurs
219	Tonnerre	EbDe-001	1188				EbDe-1	Nucléus	Nucléus	NA	Nucléus	Chert Mingan	Chert Mingan	Chert Mingan	Complet	19,7	4,21		2,05		1,63	Non	Oui	NA	Gros éclat bipolaire avec enlèvements ultérieurs
220	Tonnerre	EbDe-002	1189				T-1	Éclat retouché	É. utilisé/reto- uché	Informel	Unifaces	Chert Mingan	Chert Mingan	Chert Mingan	Complet	3,8	2,63	2,31	2,31	0,50	0,56	Non	Oui	NA	Éclat retouché
221	Tonnerre	EbDe-002	1189				T-1	Éclat utilisé	É. utilisé/reto- uché	informel	Unifaces	Chert Mingan	Chert Mingan	Chert Mingan	Complet	1,1	2,16	1,06	1,32	0,32	0,35	Non	Oui	NA	Éclat utilisé
222	Tonnerre	EbDe-002	1189				T-1	Couteau	Couteau	Formel	Biface	Quartz laiteux	Quartz laiteux	Quartz	Complet	14,3	5,27	2,46	2,46	1,06	1,06	Non	Non	2,32	Couteau sur éclat.
223	Tonnerre	EbDe-003	1190				EbDe-3.001	Fragment retouché	Indéterminé	Informel	Unifaces	Quartzite de Ramah	Quartzite de Ramah	Quartzite de Ramah	Fragment	0,5	NA	NA	NA	NA	NA	Non	Non	NA	Fragment retouché. Pièce très fragmentaire.
224	Mingan	EbCx-002	132		MA2135		EbCx-2.20	Couteau	Couteau	Formel	Biface	Quartzite Noui	Quartzite Noui	Quartzite	Complet	13,9	6,96	2,38	2,52	0,83	0,86	Non	Non	2,87	Couteau ou pointe de projectile emmanché.
225	Mingan	EbCx-002	132		MA2135		EbCx-2.2	Couteau	Couteau	Formel	Biface	Quartzite EbCp	Quartzite EbCp	Quartzite	Complet	47,8	2,24	4,57	4,73	1,09	1,09	Non	Non	4,19	Couteau à dos taillé sur plaque.
226	Mingan	EbCx-002	132		MA2135		EbCx-2.19	Pointe de projectile	Pointe de projectile	Formel	Biface	Chert gris moutonné	Chert gris moutonné	Chert	Complet	4,7	3,33	1,45	1,77	0,76	0,76	Non	Non	1,91	Pointe de projectile fortement réaffûtée. Voir EbCx-2.17
227	Mingan	EbCx-002	132		MA2135		EbCx-2.17	Pointe de projectile	Pointe de projectile	Formel	Biface	Chert marbré gris-beige- mauve	Chert marbré gris-beige- mauve	Chert	Complet	14,1	6,66	2,04	2,46	0,81	1,11	Non	Non	2,52	Pointe de projectile de forme lancéolé à pédoncule? Pièce taillée bifacialement sur l'un de ses bords. Ébauche de couteau?
228	Mingan	EbCx-002	132		MA2135		EbCx-2.3	Biface	Biface	Formel	Biface	Quartzite Noui	Quartzite Noui	Quartzite	Fragment	14,9	4,85	3,16	3,16*	0,75	0,93	Non	Non	4,21	La forme asymétrique de cette extrémité distale de pièce bifaciale laisse croire qu'il s'agit d'un couteau.
229	Mingan	EbCx-002	132		MA2135		EbCx-2.4	Biface	Biface	Formel	Biface	Quartzite EbCp	Quartzite EbCp	Quartzite	Fragment	3,3	2,43*	2,18	2,18*	0,54	0,54*	Non	Non	4,04	Extrémité distale de biface. Morphologie symétrique.
230	Mingan	EbCx-002	132		MA2135		EbCx-2.5	Biface	Biface	Formel	Biface	Quartzite Noui	Quartzite Noui	Quartzite	Fragment	3,8	2,78*	2,08	2,08*	0,70	0,70*	Non	Non	2,97	Petit biface triangulaire à base droite. Présente une surface corticale (surface de joint).
231	Mingan	EbCx-002	132		MA2135		EbCx-2.7	Biface	Biface	Formel	Biface	Quartzite Noui	Quartzite Noui	Quartzite	Fragment	8,6	4,04	2,55	2,87*	0,78	1,02	Non	Oui	3,27	Préforme bifaciale. Vraisemblablement fracturé en cours de production.
232	Mingan	EbCx-002	132		MA2135		EbCx-2.8	Biface	Biface	Formel	Biface	Quartzite EbCp	Quartzite EbCp	Quartzite	Fragment	10,3	5,17*	1,90	2,65*	0,73	0,87	Non	Non	2,60	Biface emmanché.
233	Mingan	EbCx-002	132		MA2135		EbCx-2.9	Biface	Biface	Formel	Biface	Quartzite Noui	Quartzite Noui	Quartzite	Fragment	19,3	4,62	3,63	3,81	1,11	1,11	Non	Non	3,27	

Suite à la page suivante

N	Secteur archéologique	Site	# collection	Aire	Provenance	# cat original	# analyse	Nom générique	Nom générique simplifié	Formel vs informel	Type	Matière simplifiée finale	Matériau	Type Matériau	Intégrité	Poids	Longueur	Largeur%	Largeur max	Épaisseur%	Épaisseur max	Chauffe	Cortex	W/T ratio	Description
234	Mingan	EbCx-002	132		MA2135	EbCx-2.10	EbCx-2.10	Biface	Biface	Formel	Biface	Quartzite Noui	Quartzite Noui	Quartzite	Fragment	20,3	4,14*	4,00	4,0*	0,81	0,99*	Non	Non	4,94	Préforme de pièce bifaciale? Taillé bifacialement sur seulement l'un de ses bords.
235	Mingan	EbCx-002	132		MA2135	EbCx-2.11	EbCx-2.11	Racloir	Racloir	Formel	Unifaces	Quartzite de Ramah	Quartzite de Ramah	Quartzite de Ramah	Fragment	5,2	4,15		2,48		0,43	Non	Non	NA	Racloir double sur éclat. La pièce présente un émoussage prononcé.
236	Mingan	EbCx-002	132		MA2135	EbCx-2.12	EbCx-2.12	Pierre à briquet	Indéterminé	NA	Unifaces	Jaspe	Jaspe rouge	Chert	Complet	11,8	3,68		2,71*		1,11	Oui	Non	NA	La pièce présente plusieurs cupules de feu. Sur tout le pourtout la pièce présente des étoilures, traces de percussion. Il s'agit vraisemblablement d'un pierre à briquet? Si non d'un éclat utilisé sur tout son pourtour? Pièce anectotique de provenance plus qu'incertaine, porte l'inscription P.Pietach...
237	Mingan	EbCx-002	132		MA2135	EbCx-2.13	EbCx-2.13	Grattoir	Grattoir	Formel	Unifaces	Chert Mingan	Chert Mingan	Chert Mingan	Fragment	4,3	2,46		2,90		0,61	Non	Non	NA	Grattoir sur éclat. Le talon est toujours visible à l'extrémité gauche du front.
238	Mingan	EbCx-002	132		MA2135	EbCx-2.18	EbCx-2.18	Grattoir	Grattoir	Formel	Unifaces	Jaspe	Jaspe jaune	Chert	Complet	5,6	3,19		2,38		0,93	Non	Oui	NA	Grattoir sur éclat. Présente une bonne surface corticale de galet. La pièce présente un fort émoussé. Pièce anectotique, provenance incertaine.
239	Mingan	EbCx-002	132		MA2135	EbCx-2.X3	EbCx-2.X3	Éclat retouché	É. utilisé/reto uché	Informel	Unifaces	Quartzite de Ramah	Quartzite de Ramah	Quartzite de Ramah	Complet	2,4	3,05		2,04		0,32	Non	Non	NA	Éclat utilisé/retouché sur tout le pourtour présent de la pièce.
240	Mingan	EbCx-002	132		MA2135		EbCx-2.X1	Nucléus	Nucléus	NA	Nucléus	Quartz hyalin enfumé	Quartz enfumé	Quartz	Complet	61,9	5,25		4,23		2,16	Non	Oui	NA	Nucléus en quartz enfumé. Présente une surface corticale (ou très grosse inclusion) de type feldspath rosé.
241	Mingan	EbCx-002	132		MA2135		EbCx-2.X2	Nucléus	Nucléus	NA	Nucléus	Quartz hyalin avec inclusions brunes	Quartz hyalin avec inclusions brunes	Quartz	Complet	14,6	3,30		2,74		1,57	Non	Non	NA	Petit nucléus épuisé en quartz hyalin
242	Mingan	EbCx-003	450a		Emplacement #3	T3	EbCx-3.001	Biface	Biface	Formel	Biface	Chert Mingan	Chert Mingan	Chert Mingan	Complet	10,3	4,69	2,54	2,72	0,81	1,08	Non	Non	3,14	Biface fin. Importantes vacuoles en structure d'agate sur les 2 faces.
243	Mingan	EbCx-003	450a		Emplacement #3	T3	EbCx-3.003	Pointe de projectile	Pointe de projectile	Formel	Biface	Chert Mingan	Chert Mingan	Chert Mingan	Fragment	3	2,84*	1,76	1,85	0,52	0,61	Non	Non	3,38	Pointe de projectile à encoches en coin.
244	Mingan	EbCx-003	450a		Emplacement #3	T3	EbCx-3.004	Biface	Biface	Formel	Biface	Chert vert lustré	Chert vert pâle à radiolaire	Chert	Complet	3,9	3,62	1,57	1,67	0,56	0,80	Non	Non	2,80	Petit biface. Présente deux tranchants. Base amincie mais ne porte pas de traces d'emmanchement. Talon présent sur extrémité distale.
245	Mingan	EbCx-003	450a		Emplacement #3	T3	EbCx-3.005	Pointe de projectile	Pointe de projectile	Formel	Biface	Quartzite fin de Kégashka	Quartzite fine de Kégashka de type 2	Quartzite	Fragment	2,8	2,13*	1,75	2,14	0,38	0,60	Non	Non	4,61	Fragment proximal de pointe de projectile à encoches en coin. Cassure d'utilisation.
246	Mingan	EbCx-003	450a		Emplacement #3	T3	EbCx-3.006	Biface	Biface	Formel	Biface	Chert Mingan	Chert Mingan	Chert Mingan	Fragment	12,7	2,88*	2,99	3,48	1,12	1,25	Non	Non	2,67	Fragment proximal de biface triangulaire.
247	Mingan	EbCx-003	450a		Emplacement #3	T3	EbCx-3.009	Biface	Biface	Formel	Biface	Quartz hyalin	Quartz hyalin	Quartz	Complet	21,5	4,99	3,63	3,63	1,22	1,22	Non	Non	2,98	Préforme bifaciale.
248	Mingan	EbCx-003	450a		Emplacement #3	T3	EbCx-3.014	Biface	Biface	Formel	Biface	Chert Mingan	Chert Mingan	Chert Mingan	Complet	32,3	4,62	3,25	3,25	1,81	1,81	Non	Non	1,80	Préforme bifaciale. Importante gibbosité sur face dorsale.
249	Mingan	EbCx-003	450a		Emplacement #1	T1	EbCx-3.035	Biface	Biface	Formel	Biface	Quartzite EbCp	Quartzite EbCp	Quartzite	Fragment	1,3	*	*	*	*	*	Non	Non	#VALEUR!	Extrémité distale de biface
250	Mingan	EbCx-003	450a		Emplacement #3	T3	EbCx3.002	Grattoir	Grattoir	Formel	Unifaces	Chert Mingan	Chert Mingan	Chert Mingan	Fragment	2,7	2,37*	1,95	1,95		0,77	Non	Non	NA	Grattoir sur éclat.
251	Mingan	EbCx-003	450a		Emplacement #3	T3	EbCx3.007	Couteau sur éclat	É. utilisé/reto uché	Informel	Unifaces	Chert Mingan	Chert Mingan	Chert Mingan	Complet	8,5	5,23	2,35	2,35		0,84	Non	Oui	NA	Utilisation opportuniste d'un éclat pour y produire un tranchant (couteau).
252	Mingan	EbCx-003	450a		Emplacement #3	T3	EbCx3.008	Éclat Utilisé	É. utilisé/reto uché	informel	Unifaces	Chert rhyolitique noir	Chert noir rhyolitique	Chert	Complet	1,9	1,61		2,54		0,52	Non	Non	NA	Utilisation opportuniste d'un éclat. Utilisation comme grattoir.
253	Mingan	EbCx-003	450a		Emplacement #3	T3	EbCx3.010	Coin	Coin	Informel	Unifaces	Quartz hyalin	Quartz hyalin	Quartz	Complet	6,8	2,63		2,81		0,75	Non	Non	NA	Coin sur éclat. Tranchant ébréché et légèrement fracturé.
254	Mingan	EbCx-003	450a		Emplacement #3	T3	EbCx3.011	Coin	Coin	Informel	Unifaces	Chert Mingan	Chert Mingan	Chert Mingan	Complet	5,4	2,18		2,34		1,10	Non	Non	NA	Coin sur éclat. Bon exemple du type moucheté de chert Mingan.
255	Mingan	EbCx-003	450a		Emplacement #3	T3	EbCx3.012	Coin	Coin	Informel	Unifaces	Quartz hyalin	Quartz hyalin	Quartz	Fragment	3,3	2,12		2,00		0,74	Non	Non	NA	Coin. Présente une fracture axiale.
256	Mingan	EbCx-003	450a		Emplacement #3	T3	EbCx3.013	Éclat Utilisé	É. utilisé/reto uché	informel	Unifaces	Chert marbré gris-beige- mauve	Chert marbré gris-beige- mauve	Chert	Complet	2,0	3,11		1,58		0,48	Non	Non	NA	Éclat utilisé sur tout son pourtour. Petite fracture distale.
257	Mingan	EbCx-003	450a		Emplacement #3	T3	EbCx3.015	Éclat retouché	É. utilisé/reto uché	Informel	Unifaces	Chert Mingan	Chert Mingan	Chert Mingan	Complet	3,8	2,49		2,71		0,72	Non	Non	NA	Grattoir sur éclat.
258	Mingan	EbCx-003	450a		Emplacement #3	T3	EbCx3.016	Burin	É. utilisé/reto uché	Informel	Unifaces	Chert Mingan	Chert Mingan	Chert Mingan	Complet	10,2	3,94		2,86		1,14	Non	Non	NA	Burin aménagé sur éclat fracturé transversalement.
259	Mingan	EbCx-003	450a		#1	#1	EbCx3.17	Nucléus	Nucléus	NA	Nucléus	Quartzite EbCp	Quartzite EbCp	Quartzite	Complet	41,6	6,16		3,72		2,20	Non	Oui	NA	Nucléus multidirectionnel, présente une surface corticale plane.
260	Mingan	EbCx-003	450a		#3.2	#3.2	EbCx3.18	Nucléus	Nucléus	NA	Nucléus	Quartz hyalin	Quartz hyalin	Quartz	Complet	125,3	7,41		4,85		3,23	Non	Non	NA	Nucléus multidirectionnel.
261	Mingan	EbCx-003	450				EbCx3.19	Nucléus	Nucléus	NA	Nucléus	Chert Mingan	Chert Mingan	Chert Mingan	Complet	24,5	4,32		3,37		1,58	Non	Oui	NA	Nucléus multidirectionnel, probalblement sur éclat support de type bipolaire.
262	Mingan	EbCx-003	450				EbCx3.20	Nucléus	Nucléus	NA	Nucléus	Chert Mingan	Chert Mingan	Chert Mingan	Complet	12,0	3,96		2,48		1,49	Non	Oui	NA	Petit nucléus bipolaire.
263	Mingan	EbCx-003	450a		#3.2	#3.2	EbCx3.21	Nucléus	Nucléus	NA	Nucléus	Chert Mingan	Chert Mingan	Chert Mingan	Complet	58,7	5,39		4,04		2,53	Non	Oui	NA	Présence de vacuoles de bonne dimension
264	Mingan	EbCx-003	450a		#3.2	#3.2	EbCx3.22	Nucléus	Nucléus	NA	Nucléus	Chert Mingan	Chert Mingan	Chert Mingan	Complet	14,0	3,55		3,83		1,66	Non	Non	NA	Petit résidu de nucléus bipolaire
265	Mingan	EbCx-003	450a		#3.2	#3.2	EbCx3.23	Nucléus	Nucléus	NA	Nucléus	Chert Mingan	Chert Mingan	Chert Mingan	Complet	15,3	4,70		2,43		1,71	Non	Non	NA	Éclat bipolaire avec enlèvements ultérieurs
266	Mingan	EbCx-003	450a		#3.2	#3.2	EbCx3.24	Nucléus	Nucléus	NA	Nucléus	Chert Mingan	Chert Mingan	Chert Mingan	Complet	19,1	4,67		2,09		1,83	Possible	Non	NA	Variété plus rare, gris-noir marbré
267	Mingan	EbCx-003	450a		#3.2	#3.2	EbCx3.25	Nucléus	Nucléus	NA	Nucléus	Chert Mingan	Chert Mingan	Chert Mingan	Complet	17,5	4,30		2,81		1,56	Non	Non	NA	Rognon de nucléus sur éclat
268	Mingan	EbCx-003	450a		#3.2	#3.2	EbCx3.26	Nucléus	Nucléus	NA	Nucléus	Chert Mingan	Chert Mingan	Chert Mingan	Complet	43,4	4,85		4,63		2,13	Non	Oui	NA	

N	Secteur archéologique	Site	# collection	Aire	Provenance	# cat original	# analyse	Nom générique	Nom générique simplifié	Formel vs informel	Type	Matière simplifiée finale	Matériau	Type Matériau	Intégrité	Poids	Longueur	Largeur%	Largeur max	Épaisseur%	Épaisseur max	Chauffe	Cortex	W/T ratio	Description
269	Mingan	EbCx-003	450a		#3	#3	EbCx3.27	Nucléus	Nucléus	NA	Nucléus	Chert Mingan	Chert Mingan	Chert Mingan	Complet	34,2	5,81		3,38		1,82	Non	Oui	NA	
270	Mingan	EbCx-003	450a		#3	#3	EbCx3.28	Nucléus	Nucléus	NA	Nucléus	Chert Mingan	Chert Mingan	Chert Mingan	Complet	26,4	4,35		2,52		2,35	Non	Non	NA	
271	Mingan	EbCx-003	450a		#3	#3	EbCx3.29	Nucléus	Nucléus	NA	Nucléus	Chert Mingan	Chert Mingan	Chert Mingan	Fragment	20,6	3,34		4,39		1,72	Non	Non	NA	
272	Mingan	EbCx-003	450a		#3	#3	EbCx3.30	Nucléus	Nucléus	NA	Nucléus	Chert Mingan	Chert Mingan	Chert Mingan	Fragment	57,8	6,98		3,94		2,81	Non	Oui	NA	
273	Mingan	EbCx-003	450a		#3	#3	EbCx3.31	Nucléus	Nucléus	NA	Nucléus	Chert Mingan	Chert Mingan	Chert Mingan	Fragment	64,7	6,04		4,08		2,14	Possible	Oui	NA	Présence de cortex sur les 2 extrémités
274	Mingan	EbCx-003	450a		#3	#3	EbCx3.32	Nucléus	Nucléus	NA	Nucléus	Chert Mingan	Chert Mingan	Chert Mingan	Fragment	48,5	5,40		3,28		2,55	Non	Non	NA	
275	Mingan	EbCx-003	450a		#3	#3	EbCx3.33	Nucléus	Nucléus	NA	Nucléus	Chert Mingan	Chert Mingan	Chert Mingan	Fragment	110,6	6,59		4,88		2,94	Non	Oui	NA	
276	Mingan	EbCx-003	450a		#3	#3	EbCx3.34	Nucléus	Nucléus	NA	Nucléus	Chert Mingan	Chert Mingan	Chert Mingan	Fragment	59,0	5,81		4,38		3,50	Non	Oui	NA	
277	Mingan	EbCx-005			T-2	T-2	EbCx-5.003	Couteau Pointe de projectile	Couteau Pointe de projectile	Formel	Biface	Quartzite fine de Kégashka	Quartzite fine de Kégashka de type 2	Quartzite	Fragment	6,3	3,55*	2,29	2,29	0,49	0,64	Non	Non	4,67	Fragment proximal de couteau. Présente deux tranchants.
278	Mingan	EbCx-005			T-2	T-2	EbCx-5.004	Pointe de projectile	Pointe de projectile	Formel	Biface	Quartzite EbCp	Quartzite EbCp	Quartzite	Fragment	5,8	3,97*		2,16	0,65	0,65	Non	Non	0,00	Fragment proximal de pointe de projectile de forme foliacée?
279	Mingan	EbCx-005			T-2	T-2	EbCx-5.005	Biface	Biface	Formel	Biface	Quartzite de Ramah	Quartzite de Ramah	Quartzite de Ramah	Fragment	5,2	3,84*		1,86*		0,94	Non	Non	NA	Fragment latéral de pièce bifaciale.
280	Mingan	EbCx-005			T-1	T-1	EbCx-5.007	Biface	Biface	Formel	Biface	Quartzite EbCp	Quartzite EbCp	Quartzite	Fragment	7,7	3,58	2,51	2,51*	1,07	1,09	Non	Non	2,35	Fragment distal de pièce bifaciale. Importante protubérance sur face dorsale ayant mené à cassure et abandon de la pièce.
281	Mingan	EbCx-005			T-1	T-1	EbCx-5.008	Biface	Biface	Formel	Biface	Quartzite EbCp	Quartzite EbCp	Quartzite	Fragment	9,7	3,79	2,78	2,78*	1,22	1,22*	Non	Non	2,28	Ébauche bifaciale taillée sur une seule face. Sur éclat.
282	Mingan	EbCx-005			T-2	T-2	EbCx-5.009	Pointe de projectile	Pointe de projectile É. utilisé/reto uché	Formel	Biface	Quartzite de Ramah	Quartzite de Ramah	Quartzite de Ramah	Complet	4,4	3,48	1,83	1,98	0,61	0,79	Non	Non	3,00	Pointe de projectile à encoche en coin. L'épaisseur maximale se trouve sur la portion distale de la pièce, ce qui laisse croire à un réaffutage intensif.
283	Mingan	EbCx-005			T-2	T-2	EbCx-5.001	Éclat utilisé	É. utilisé/reto uché	informel	Unifaces	Chert Mingan	Chert Mingan	Chert Mingan	Complet	4,1	3,81		2,20		0,55	Non	Non	NA	Éclat utilisé.
284	Mingan	EbCx-005			T-2	T-2	EbCx-5.002	Éclat utilisé	É. utilisé/reto uché	informel	Unifaces	Chert Mingan	Chert Mingan	Chert Mingan	Complet	9,4	3,97		2,31		1,18	Non	Oui	NA	Éclat utilisé. Surface de joint, Portion quartzeux.
285	Mingan	EbCx-005			T-1	T-1	EbCx-5.006	Coin	Coin	Informel	Unifaces	Chert Mingan	Chert Mingan	Chert Mingan	Complet	10,7	3,04		2,74		1,18	Non	Non	NA	Pièce esquillée. Coin.
286	Mingan	EbCx-006	1205				EbCx-6.001	Pointe de projectile	Pointe de projectile	Formel	Biface	Quartzite de Ramah	Quartzite de Ramah	Quartzite de Ramah	Fragment	0,4	1,57*	0,91	1,19	0,21	0,21	Non	Non	4,33	Petite pointe de flèche, fractures distales et basales
287	Mingan	EbCx-008	1206			EbCx-8	EbCx-8.001	Pointe de projectile	Pointe de projectile	Formel	Biface	Quartzite Noui	Quartzite Noui	Quartzite	Fragment	4,6	3,77*	2,04	2,14	0,46	0,51	Non	Non	4,43	Pointe de projectile à encoches en coin. Base droite et amincie.
288	Mingan	EbCx-008	1206			EbCx-8	EbCx-8.002	Biface	Biface	Formel	Biface	Chert Mingan	Chert Mingan	Chert Mingan	Fragment	3,3	4,08*	1,85	1,85*	0,60	0,6*	Non	Oui	3,08	Fragment de pièce bifaciale. Vraisemblablement une ébauche.
289	Mingan	EbCx-017	1214		3N-3E	T-24	EbCx-17.007	Biface	Biface	Formel	Biface	Chert Mingan	Chert Mingan	Chert Mingan	Fragment	7,8	4,11	2,18	2,18	1,00	1,00	Non	Oui	2,18	Fragment d'ébauche bifaciale.
290	Mingan	EbCx-017	1214		Sondage 2		EbCx-17.008	Grattoir	Grattoir É. utilisé/reto uché	Formel	Unifaces	Quartz hyalin	Quartz hyalin	Quartz	Fragment	2,7	1,62*		2,05		0,71	Non	Oui	NA	Grattoir en quartz cristallin, manque la portion proximale, snap fracture.
291	Mingan	EbCx-017	1214		3N-1E	T-6	EbCx-17.009	Éclat utilisé	É. utilisé/reto uché	informel	Unifaces	Chert Mingan	Chert Mingan	Chert Mingan	Complet	2,3	3,59		1,81		0,39	Non	Non	NA	Éclat utilisé. Éclat de bonnes dimensions pour le matériau.
292	Mingan	EbCx-017	1214		2N-2E	T-42	EbCx-17.010	Grattoir	Grattoir É. utilisé/reto uché	Formel	Unifaces	Chert Mingan	Chert Mingan	Chert Mingan	Complet	1,1	2,02		1,73		0,44	Non	Oui	NA	Grattoir sur éclat.
293	Mingan	EbCx-017	1214		3N-2E	T-50	EbCx-17.11	Éclat utilisé	É. utilisé/reto uché	informel	Unifaces	Chert Mingan	Chert Mingan	Chert Mingan	Fragment	1,4	1,81*		1,72		0,35	Non	Non	NA	Éclat utilisé.
294	Mingan	EbCx-017	1214		3N-3E	T-11	EbCx-17.12	Grattoir	Grattoir	Formel	Unifaces	Chert Mingan	Chert Mingan	Chert Mingan	Complet	0,9	1,31		1,66		0,64	Non	Oui	NA	Grattoir sur éclat.
295	Mingan	EbCx-017	1214		3N-3E	T-56	EbCx-17.013	Fragment utilisé	Indéterminé	informel	Unifaces	Chert Mingan	Chert Mingan	Chert Mingan	Complet	11,9	3,31		2,81		1,02	Non	Oui	NA	Burin sur plaquette doublé d'une portion utilisée
296	Mingan	EbCx-017	1214		1N-3E	T-6	EbCx-17.001	Nucléus	Nucléus	NA	Nucléus	Chert Mingan	Chert Mingan	Chert Mingan	Fragment	19,2	3,99		2,54		1,40*	Non	Oui	NA	Fragment de nucléus. Présence surface corticale.
297	Mingan	EbCx-017	1214		3N-2E	T-70	EbCx-17.002	Nucléus	Nucléus	NA	Nucléus	Chert Mingan	Chert Mingan	Chert Mingan	Fragment	14,9	3,55		2,13		1,58*	Non	Oui	NA	Fragment de nucléus sur support bipolaire.
298	Mingan	EbCx-017	1214		1N-1E	T-1	EbCx-17.003	Nucléus	Nucléus	NA	Nucléus	Chert Mingan	Chert Mingan	Chert Mingan	Complet	13,5	3,06		2,91		1,55	Non	Non	NA	Nucléus multidirectionnel épuisé. Tendance discoïde/centripète.
299	Mingan	EbCx-017	1214		3N-3E	T-6	EbCx-17.004	Nucléus	Nucléus	NA	Nucléus	Chert Mingan	Chert Mingan	Chert Mingan	Fragment	10,9	2,04*		2,82		1,73	Oui	Non	NA	Rognon de chert éclaté par le feu
300	Mingan	EbCx-017	1214		2N-2E	T-3	EbCx-17.005	Nucléus	Nucléus	NA	Nucléus	Chert Mingan	Chert Mingan	Chert Mingan	Fragment	17,9	4,92		2,36		1,93*	Oui	Oui	NA	Fragment de nucléus éclaté par le feu
301	Mingan	EbCx-017	1214		1N-3E	T-5	EbCx-17.006	Nucléus	Nucléus	NA	Nucléus	Chert Mingan	Chert Mingan	Chert Mingan	Fragment	17,2	3,70		2,94		1,78	Non	Oui	NA	Rognon de chert.
302	Mingan	EbCx-017	1214		2N-3E	T-17	EbCx-17.014	Nucléus	Nucléus	NA	Nucléus	Quartz hyalin avec inclusions brunes	Quartz hyalin avec inclusions brunes	Quartz	Complet	493,0	14,04		8,99		4,01	Non	Oui	NA	Très gros bloc de quartz portant des traces d'enlèvements. Présente plusieurs plans de faiblesses.
303	Mingan	EbCx-065	439		EbCx-65.2	#11	EbCx-65.2.001	Éclat utilisé	É. utilisé/reto uché	informel	Unifaces	Quartz hyalin	Quartz hyalin	Quartz	Complet	5,3	2,76		1,85		1,13	Non	Non	NA	Éclat utilisé.
304	Mingan	EbCx-065	439		EbCx-65.7	#9	EbCx-65.7.001	Éclat utilisé	É. utilisé/reto uché	informel	Unifaces	Chert Mingan	Chert Mingan	Chert Mingan	Complet	5,2	3,14		1,93		0,97	Non	Non	NA	Éclat utilisé.
305	Mingan	EbCx-065	439		EbCx-65.2	#13	EbCx-65.2.002	Éclat utilisé	É. utilisé/reto uché	informel	Unifaces	Quartz hyalin avec inclusions brunes	Quartz hyalin avec inclusions brunes	Quartz	Complet	37,2	4,57		3,54		2,49	Non	Oui	NA	Utilisation opportuniste d'un éclat présentant un tranchant, non modifié.
306	Mingan	EbCx-065	439		EbCx-65.7	#11	EbCx-65.7.003	Éclat retouché	É. utilisé/reto uché	Informel	Unifaces	Quartzite Noui	Quartzite Noui	Quartzite	Complet	27,5	6,42		3,03		1,95	Non	Non	NA	Fragment retouché. Tentative de mise en forme d'un éclat?

Suite à la page suivante

N	Secteur archéologique	Site	# collection	Aire	Provenance	# cat original	# analyse	Nom générique	Nom générique simplifié	Formel vs informel	Type	Matière simplifiée finale	Matériau	Type Matériau	Intégrité	Poids	Longueur	Largeur½	Largeur max	Épaisseur½	Épaisseur max	Chauffe	Cortex	W/T ratio	Description
307	Mingan	EbCx-065	439		EbCx-65.3	#7	EbCx-65.3.001	Nucléus	Nucléus	NA	Nucléus	Quartz hyalin enfumé	Quartz enfumé	Quartz	Complet	59,4	4,20		3,89		3,34	Non	Non	NA	Petit bloc de quartz portant des enlèvements.
308	Mingan	EbCx-065	439		EbCx-65.5	#2	EbCx-65.5.001	Nucléus	Nucléus	NA	Nucléus	Quartzite EbCp	Quartzite EbCp	Quartzite	Fragment	95,2	5,36		5,08		3,07	Non	Oui	NA	Galet de quartz portant des enlèvements. Présente plusieurs failles/plans de faiblesses.
309	Mingan	EbCx-065	439		EbCx-65.3	#16	EbCx-65.3.002	Nucléus	Nucléus	NA	Nucléus	Quartzite EbCp	Quartzite EbCp	Quartzite	Complet	25	3,81		3,22		1,86	Non	Oui	NA	Petit nucléus en quartz
310	Mingan	EbCx-065	439		EbCx-65.3	#9	EbCx-65.3.003	Nucléus	Nucléus	NA	Nucléus	Quartzite EbCp	Quartzite EbCp	Quartzite	Complet	55	5,00		3,85		2,77	Non	Oui	NA	
311	Mingan	EbCx-065	439		EbCx-65.3	#2	EbCx-65.3.004	Nucléus	Nucléus	NA	Nucléus	Quartzite Noui	Quartzite Noui	Quartzite	Complet	154,3	6,51		5,28		3,42	Non	Oui	NA	Nucléus sur galet
312	Mingan	EbCx-065	439		EbCx-65.7	Surface c	EbCx-65.7.002	Nucléus	Nucléus	NA	Nucléus	Quartzite Noui	Quartzite Noui	Quartzite	Complet	200,9	8,06		6,51		4,48	Non	Oui	NA	Nucléus sur galet. Galet fracturé par percussion bipolaire.
313	Mingan	EbCx-065	439		EbCx-65.3	#8	EbCx-65.3.005	Nucléus	Nucléus	NA	Nucléus	Quartzite EbCp	Quartzite EbCp	Quartzite	Complet	13,1	2,98		2,78		1,95	Non	Non	NA	Nucléus épuisé en chert Mingan
314	Mingan	EbCx-065	439		EbCx-65.3	#2	EbCx-64.3.006	Nucléus	Nucléus	NA	Nucléus	Quartzite EbCp	Quartzite EbCp	Quartzite	Fragment	8	2,75		1,78		1,51	Oui	Non	NA	Fragment de nucléus bipolaire
315	Mingan	EbDa-003	144		MA25		EbDa-3.1.001	Coin	Coin	Informel	Unifaces	Quartzite EbCp	Quartzite EbCp	Quartzite	Complet	7,3	3,85		2,17		1,04	Non	Non	NA	Racloir sur éclat. Possible pièce esquillée mais ne porte pas de point d'impacts outree le talon.
316	Mingan	EbDa-003	144		MA25	EbDa-3.3	EbDa-3.3.001	Grattoir Éclat retouché	Grattoir É. utilisé/retouché	Formel	Unifaces	Quartzite de Ramah	Quartzite de Ramah	Quartzite de Ramah	Complet	0,6	1,78		1,26		0,30	Non	Non	NA	Grattoir sur éclat.
317	Mingan	EbDa-003	144		MA25	EbDa-3.2	EbDa-3.2			Informel	Unifaces	Quartzite Noui	Quartzite Noui	Quartzite	Complet	3,7	2,50		2,01		0,90	Non	Non	NA	Éclat retouché, forme un bord irrégulier, fonction?
318	Mingan	EbDa-003	144		MA234	EbDa-3.5	EbDa-3.5.001	Couteau	Couteau	Formel	Biface	Quartzite EbCp	Quartzite EbCp	Quartzite	Complet	6,7	4,13	2,03	2,52	0,63	0,70	Non	Non	3,22	Pointe sur écat. Le talon est toujours visible en position proximale. Pièce vraisemblablement utilisée comme couteau car seul un bord est retouché et porte des traces d'utilisation.
319	Mingan	EbDa-004	145c		B-2	MA-J-10002	EbDa-4.001	Biface	Biface	Formel	Biface	Quartzite EbCp	Quartzite EbCp	Quartzite	Complet	18,6	5,70	2,89	3,20	1,02	1,25	Non	Non	2,83	Préforme bifaciale.
320	Mingan	EbDa-004	145c		B-1	EbDa-1.2	EbDa-4.003	Couteau	Couteau	Formel	Biface	Quartzite Noui	Quartzite Noui	Quartzite	Fragment	8,5	4,40*	2,24	2,76	0,71	0,76	Non	Oui	3,15	Couteau sur plaquette. Fracture au niveau proximal.
321	Mingan	EbDa-004	145c		B-2	EbDa-1.30	EbDa-4.30	Couteau	Couteau	Formel	Biface	Quartzite EbCp	Quartzite EbCp	Quartzite	Fragment	19,4	4,74	2,85	2,85*	1,00	1,37	Non	Non	2,85	Couteau à dos.
322	Mingan	EbDa-004	145c		B-1	EbDa-1.18	EbDa-4.006	Couteau	Couteau	Formel	Biface	Quartzite Noui	Quartzite Noui	Quartzite	Complet	10,9	5,46	1,99	2,17	0,84	1,14	Non	Non	2,37	Couteau emmanché.
323	Mingan	EbDa-004	145c		B-1	EbDa-1.8	EbDa-4.007	Biface	Biface	Formel	Biface	Quartzite Noui	Quartzite Noui	Quartzite	Fragment	13,9	5,65	1,91	2,11	1,18	1,22	Non	Non	1,62	Ébauche de biface. Fracture le long d'une plan de faiblesse.
324	Mingan	EbDa-004	145c		B-1	EbDa-1.9	EbDa-4.008	Biface	Biface	Formel	Biface	Quartzite Noui	Quartzite Noui	Quartzite	Fragment	9,3	4,31*	3,03	3,03*	0,62	0,62	Non	Non	4,89	Fragment proximal (?) de pièce bifaciale. Pièce sur éclat.
325	Mingan	EbDa-004	145c		B-1	EbDa-1.17	EbDa-4.009	Biface	Biface	Formel	Biface	Quartzite EbCp	Quartzite EbCp	Quartzite	Fragment	6,9	3,38	2,68	2,68	0,75	0,75*	Non	Non	3,57	Fragment distal de pièce bifaciale. Cassure distale d'impact. Symétrique
326	Mingan	EbDa-004	145c		B-1	EbDa-1.25	EbDa-4.010	Biface	Biface	Formel	Biface	Quartzite Noui	Quartzite Noui	Quartzite	Fragment	1,6	NA	NA	NA	NA	NA	Non	Non	NA	Fragment distal de pièce bifaciale. Cassure distale d'impact. Symétrique
327	Mingan	EbDa-004	145c		B-2	EbDa-1.31	EbDa-4.011	Biface	Biface	Formel	Biface	Quartzite EbCp	Quartzite EbCp	Quartzite	Fragment	2,3	NA	NA	NA	NA	NA	Non	Non	NA	Fragment distal de pièce bifaciale. Symétrique.
328	Mingan	EbDa-004	145c		B-1	EbDa-1.5	EbDa-4.012	Biface	Biface	Formel	Biface	Chert Mingan	Chert Mingan	Chert Mingan	Fragment	2,9	NA	1,68	NA	0,72	NA	Non	Non	2,33	Fragment distal de pièce bifaciale. Symétrique.
329	Mingan	EbDa-004	145c		5	EbDa-1.23	EbDa-4.013	Biface	Biface	Formel	Biface	Quartzite Noui	Quartzite Noui	Quartzite	Fragment	2,5	NA	1,51	NA	0,58	NA	Non	Non	2,60	Fragment distal de pièce bifaciale. Symétrique. Cassure d'impact au niveau distal.
330	Mingan	EbDa-004	145c		B-2	EbDa-1.32	EbDa-4.014	Biface	Biface	Formel	Biface	Quartzite Noui	Quartzite Noui	Quartzite	Fragment	1,1	NA	1,76	NA	0,45	NA	Non	Non	3,91	Fragment mésial de biface.
331	Mingan	EbDa-004	145c		B-1	EbDa-1.28	EbDa-4.015	Biface	Biface	Formel	Biface	Quartzite EbCp	Quartzite EbCp	Quartzite	Fragment	1,0	NA	NA	NA	NA	NA	Non	Non	NA	Base de biface, pédoncule.
332	Mingan	EbDa-004	145c		6	EbDa-1.24	EbDa-1.016	Biface	Biface	Formel	Biface	Quartzite EbCp	Quartzite EbCp	Quartzite	Fragment	1,8	NA	2,02	NA	0,46	NA	Non	Non	4,39	Fragment distal de pièce bifaciale. Asymérique = couteau?
333	Mingan	EbDa-004	145c		A-2?	EbDa-1.27	EbDa-4.017	Biface	Biface	Formel	Biface	Quartzite Noui	Quartzite Noui	Quartzite	Fragment	3,0	NA	2,28	NA	0,57	NA	Non	Non	4,00	Fragment distal de pièce bifaciale. Asymérique = couteau?
334	Mingan	EbDa-004	145c		B-1	EbDa-1.14	EbDa-4.018	Biface	Biface	Formel	Biface	Quartzite Noui	Quartzite Noui	Quartzite	Fragment	5,4	NA	2,64	NA	0,96	NA	Non	Non	2,75	Fragment distal de pièce bifaciale. Asymérique = couteau?
335	Mingan	EbDa-004	145c			EbDa-1.4	EbDa-4.019	Biface	Biface	Formel	Biface	Quartzite Noui	Quartzite Noui	Quartzite	Fragment	7,2	3,36*	2,94	NA	0,81	NA	Non	Non	3,63	Fragment distal de pièce bifaciale.
336	Mingan	EbDa-004	145c		B-2	EbDa-1.29	EbDa-4.020	Biface	Biface	Formel	Biface	Quartzite EbCp	Quartzite EbCp	Quartzite	Complet	39,7	6,53	2,35	2,76	1,54	2,15	Non	Non	1,53	Préforme bifaciale. Seule la portion distale est retouchée et amincie. Il semble que la pièce ait été abandonnée puisqu'il était impossible de réduire la portion proximale (importante gibbosité).
337	Mingan	EbDa-004	145c		B-1?	EbDa-1.26	EbDa-4.022	Couteau	Couteau	Formel	Biface	Quartzite Noui	Quartzite Noui	Quartzite	Complet	126,8	15,10	5,26	5,72	0,95	1,65	Non	Non	5,54	Possible couteau sur très gros éclat.
338	Mingan	EbDa-004	145c			EbDa-1.12	EbDa-4.024	Couteau	Couteau	Formel	Biface	Quartzite EbCp	Quartzite EbCp	Quartzite	Complet	7,9	4,28	1,91	2,14	0,70	0,96	Non	Non	2,73	Petit couteau bifacial. Tentative d'amincissement de la base.
339	Mingan	EbDa-004	145a			EbDa-1.7	EbDa-4.025	Couteau	Couteau	Formel	Biface	Chert Mingan	Chert Mingan	Chert Mingan	Complet	11,2	5,26	2,63	2,65	0,72	0,86	Non	Non	3,65	L'asymétrie de la pièce et la présence d'un seul bord travaillé. Sur éclat.
340	Mingan	EbDa-004	145c			EbDa-1.22	EbDa-4.026	Couteau	Couteau	Formel	Biface	Quartzite Noui	Qzite Aéroport	Quartzite	Complet	17,6	5,44	2,34	2,56	1,23	1,31	Non	Non	1,90	Pièce asymétrique avec 1 tranchant convexe et abrasion du bord opposé (dos).
341	Mingan	EbDa-004	145c			EbDa-4.10	EbDa-4.027	Couteau	Couteau	Formel	Biface	Quartzite Noui	Quartzite Noui	Quartzite	Complet	9,5	4,78	2,46	2,46	0,74	0,97	Non	Non	3,32	Pièce asymétrique. Base amincie.
342	Mingan	EbDa-004	145c			EbDa-1.16	EbDa-4.028	Biface	Biface	Formel	Biface	Quartzite EbCp	Qzite grossier granuleux	Quartzite	Fragment	20,7	5,57*	2,64	2,91	1,33	1,35	Non	Non	1,98	Possible ébauche/préforme bifaciale. Extrémité distale fracturée.
343	Mingan	EbDa-004	145c			EbDa-1.15	EbDa-4.029	Pointe de projectile	Pointe de projectile	Formel	Biface	Quartzite EbCp	Quartzite EbCp	Quartzite	Fragment	6,4	3,89*	1,87	2,06	0,85	0,85	Non	Non	2,20	Cassure d'impact
344	Mingan	EbDa-004	145c		B-1	EbDa-1.25	EbDa-4.004	Grattoir	Grattoir É. utilisé/retouché	Formel	Unifaces	Quartzite EbCp	Quartzite EbCp	Quartzite	Complet	20,4	4,33		4,90		0,99	Non	Non	NA	Grattoir sur gros éclat bifacial.
345	Mingan	EbDa-004	145c			EbDa-1.3	EbDa-4.021	Éclat utilisé		informel	Unifaces	Quartzite EbCp	Quartzite EbCp	Quartzite	Complet	58,2	6,69		5,34		1,19	Non	Non	NA	Racloir sur gros éclat. Fortement émoussé.

N	Secteur archéologique	Site	# collection	Aire	Provenance	# cat original	# analyse	Nom générique	Nom générique simplifié	Formel vs informel	Type	Matière simplifiée finale	Matériau	Type Matériau	Intégrité	Poids	Longueur	Largeur%	Largeur max	Épaisseur%	Épaisseur max	Chauffe	Cortex	W/T ratio	Description	
346	Mingan	EbDa-004	145c		B-2	MA-J-10002	EbDa-4.002	Nucléus	Nucléus	NA	Nucléus	Quartzite Noui	Quartzite Noui	Quartzite	Fragment	20,8	3,27*		3,25		2,69	Non	Non	NA	Fragment de nucléus vraisemblablement épuisé.	
347	Mingan	EbDa-004	145c		Site Noui		EbDa-4.023	Nucléus	Nucléus	NA	Nucléus	Quartzite Noui	Quartzite Noui	Quartzite	Complet	375,7	16,50		5,41		4,72	Non	Oui	NA	Nucléus multidirectionnel. Dimension imposantes. Provenance incertaine "site Noui"	
348	Mingan	EbDa-005	1183				EbDa-5.001	Nucléus	Nucléus	NA	Nucléus	Quartzite Noui	Quartzite Noui	Quartzite	Fragment	13	4,00*		2,45		1,15	Non	Non	NA	Nucléus sur éclat. On note la présence de détachements (en lamelles) unidirectionnels.	
349	Romaine côte/H-St-P	EbCu-002	4143		Puits #1		EbCu-2.001	Coin	Coin	Informel	Unifaces	Chert Mingan	Chert Mingan	Chert Mingan	Complet	11,9	3,47		1,85		2,00	Non	Non	NA	Coin sur éclat bipolaire. Structure en agate.	
350	Romaine côte/H-St-P	EbCu-002	4143		Puits #1		EbCu-2.002	Coin	Coin	Informel	Unifaces	Chert Mingan	Chert Mingan	Chert Mingan	Complet	15,3	3,81		2,33		1,62	Non	Non	NA	Coin sur éclat.	
351	Romaine côte/H-St-P	EbCu-002	4143		Puits #1		EbCu-2.003	Coin	Coin	Informel	Unifaces	Chert Mingan	Chert Mingan	Chert Mingan	Fragment	4,7	2,76		1,80*		1,04	Non	Non	NA	Coin sur éclat bipolaire. Structure en agate.	
352	Romaine côte/H-St-P	EbCu-002	4143		Puits #1		EbCu-2.004	Coin	Coin	Informel	Unifaces	Chert Mingan	Chert Mingan	Chert Mingan	Fragment	2,6	2,14		1,64		0,72	Non	Non	NA	Coin sur éclat bipolaire. Structure en agate.	
353	Romaine côte/H-St-P	EbCu-002	4143		Puits #1		EbCu-2.005	Coin	Coin	Informel	Unifaces	Chert Mingan	Chert Mingan	Chert Mingan	Complet	7,0	2,82		1,85		1,15	Non	Oui	NA	Coin avec cortex sur portion proximale.	
354	Romaine côte/H-St-P	EbCv-001	143			MA13	EbCv-1.008	Biface	Biface	Formel	Biface	Chert Mingan	Chert Mingan	Chert Mingan	Fragment	3,3	2,85*	2,62	2,62*	0,64	0,64*	Non	Gaine	4,09	Extémité distale de pièce bifaciale. Fracturation le long d'un plan de faiblesse.	
355	Romaine côte/H-St-P	EbCv-001	143			MA12	EbCv-1.001	Éclat retouché	É. utilisé/reto uché	Informel	Unifaces	Chert Mingan	Chert Mingan	Chert Mingan	Complet	1,5	2,58		1,00		0,72	Non	Oui	NA	Éclat retouché pour former un front grattant. Porte des esquilles d'utilisation.	
356	Romaine côte/H-St-P	EbCv-001	143			MA12	EbCv-1.002	Éclat utilisé	É. utilisé/reto uché	informel	Unifaces	Chert Mingan	Chert Mingan	Chert Mingan	Complet	3,1	2,17		2,89		0,65	Non	non	NA	Éclat utilisé. Utilisation opportuniste comme grattoir.	
357	Romaine côte/H-St-P	EbCv-001	143			MA12	EbCv-1.003	Nucléus	Nucléus	NA	Nucléus	Chert Mingan	Chert Mingan	Chert Mingan	Complet	18,8	4,09		3,13		1,08	Non	Oui	NA	Nucléus sur plaquette. Présente du cortex sur 2 faces.	
358	Romaine côte/H-St-P	EbCv-001	143			MA12	EbCv-1.004	Nucléus	Nucléus	NA	Nucléus	Chert Mingan	Chert Mingan	Chert Mingan	Complet	47,5	4,28		4,15		2,54	Non	Oui	NA	Nucléus multidirectionnel présentant une surface corticale.	
359	Romaine côte/H-St-P	EbCv-001	143			MA12	EbCv-1.005	Nucléus	Nucléus	NA	Nucléus	Chert Mingan	Chert Mingan	Chert Mingan	Complet	6,7	2,24		1,94		1,38	Non	Non	NA	Rognon de chert.	
360	Romaine côte/H-St-P	EbCv-001	143			MA12	EbCv-1.006	Nucléus	Nucléus	NA	Nucléus	Chert Mingan	Chert Mingan	Chert Mingan	Complet	3,4	2,00		1,48		1,06	Non	Non	NA	Rognon de chert.	
361	Romaine côte/H-St-P	EbCv-001	143			MA12	EbCv-1.007	Nucléus	Nucléus	NA	Nucléus	Chert Mingan	Chert Mingan	Chert Mingan	Complet	3,6	1,88		1,48		1,18	Non	Non	NA	Rognon de chert.	
362	Romaine côte/H-St-P	EbCv-001.1	143		Chemin de fer	MA 5630	EbCv-1.2.001	Biface	Biface	Formel	Biface	Quartzite Noui	Quartzite Noui	Quartzite	Fragment	8,1	2,38*	3,58	3,58*	0,68	0,68*	Non	Oui	5,26	Fragment proximal de pièce bifaciale.	
363	Romaine côte/H-St-P	EbCv-001.1	143		Chemin de fer	MA 5630	EbCv-1.2.002	Biface	Biface	Formel	Biface	Quartzite Noui	Quartzite Noui	Quartzite	Fragment	2,8	NA	NA	NA	NA	NA	Non	Non	NA	Fragment proximal (pédoncule contractant) de biface.	
364	Romaine côte/H-St-P	EbCv-001.1	143		Chemin de fer	MA 5630	EbCv-1.2.003	Biface	Biface	Formel	Biface	Quartzite Noui	Quartzite Noui	Quartzite	Fragment	10,9	2,43*	2,82	2,82	0,94	1,11	Non	Non	3,00	Fragment mésial de biface.	
365	Romaine côte/H-St-P	EbCv-004	1195				EbCv-4	EbCv-4.005	Nucléus	Nucléus	NA	Nucléus	Chert Mingan	Chert Mingan	Chert Mingan	Complet	6,6	2,15		2,14		1,15	Non	Non	NA	Rognon de chert.
366	Romaine côte/H-St-P	EbCv-004	1195				EbCv-4	EbCv-4.002	Grattoir	Grattoir	Formel	Unifaces	Chert Mingan	Chert Mingan	Chert Mingan	Complet	3,1	2,43		2,53		0,65	Non	Non	NA	Grattoir sur éclat. Talon large, facetté.
367	Romaine côte/H-St-P	EbCv-004	1195				EbCv-4	EbCv-4.003	Grattoir	Grattoir	Formel	Unifaces	Chert Mingan	Chert Mingan	Chert Mingan	Complet	1,1	1,73		1,92		0,39	Non	Non	NA	Grattoir sur éclat. Utilisation opportuniste d'un éclat.
368	Romaine côte/H-St-P	EbCv-004	143		MA 2132	MA 2132	EbCv-4.001	Biface	Biface	Formel	Biface	Chert Mingan	Chert Mingan	Chert Mingan	Fragment	1,4	2,42	NA	1,37*		0,58	Non	Non	NA	Préforme de pointe triangulaire sur éclat. Talon présent en position position proximale indique que l'amincissement de la base est incomplet et possiblement cause de la fracture de la pièce.	
369	Romaine côte/H-St-P	EbCv-004	1195				EbCv-4	EbCv-4.004	Biface	Biface	Formel	Biface	Chert Mingan	Chert Mingan	Chert Mingan	Fragment	3,5	2,83*	2,42	2,42*	0,56	0,56	Non	Non	4,32	Biface taillé finement. La lame asymétrique laisse croire que la pièce est un couteau.
370	Romaine côte/H-St-P	EbCv-005	903			T-5.3	EbCv-5.003	Nucléus	Nucléus	NA	Nucléus	Chert Mingan	Chert Mingan	Chert Mingan	Complet	79,0	5,38		4,70		3,48	Non	Oui	NA	Nucléus multidirectionnel sur galet. Surface corticale sur 2 faces.	
371	Romaine côte/H-St-P	EbCv-005	903C		W		EbCv-5.2	EbCv-5.004	Nucléus	Nucléus	NA	Nucléus	Chert Mingan	Chert Mingan	Chert Mingan	Complet	55,7	4,76		3,31		3,02	Non	Oui	NA	Nucléus multidirectionnel sur galet.
372	Romaine côte/H-St-P	EbCv-005	903C		Surface #1		EbCv-5.3	EbCv-5.005	Nucléus	Nucléus	NA	Nucléus	Chert Mingan	Chert Mingan	Chert Mingan	Complet	70,9	5,35		5,17		2,50	Non	Oui	NA	Nucléus multidirectionnel sur galet.
373	Romaine côte/H-St-P	EbCv-005	903				EbCv-5.1.21	EbCv-5.1.21	Éclat utilisé	É. utilisé/reto uché	informel	Unifaces	Chert Mingan	Chert Mingan	Chert Mingan	Fragment	0,3	1,36*		1,16*		0,23*	Non	Non	NA	Éclat utilisé fracturé perpendiculairement au tranchant.
374	Romaine côte/H-St-P	EbCv-005	903		Localisation 2		T-5.5	EbCv-5.002	Éclat retouché	É. utilisé/reto uché	Informel	Unifaces	Quartzite de Ramah	Quartzite de Ramah	Quartzite de Ramah	Fragment	2,7	1,83*		3,22*		0,38*	Non	Non	NA	Fragment proximal d'éclat retouché.
375	Romaine côte/H-St-P	EbCv-005	903				T-5.7	EbCv-5.001	Pointe de projectile	Pointe de projectile	Formel	Biface	Quartzite de Ramah	Quartzite de Ramah	Quartzite de Ramah	Fragment	0,5	NA	NA	NA	NA	Non	Non	NA	Fragment de base de pointe de projectile à encoches. Sur éclat.	
376	Romaine côte/H-St-P	EbCv-015	904b				EbCv-15.26	EbCv-15.26	Nucléus	Nucléus	NA	Nucléus	Chert Mingan	Chert Mingan	Chert Mingan	Fragment	36,3	4,95		3,71		2,34	Non	Oui	NA	Fragment de nucléus multidirectionnel. Présente deux surfaces corticales opposées. Fracture longitudinale.
377	Romaine côte/H-St-P	EbCv-015	904b		1-2N/4-5E QSW cou		EbCv-15.X1	EbCv-15.X1	Nucléus	Nucléus	NA	Nucléus	Chert Mingan	Chert Mingan	Chert Mingan	Complet	6	2,93		2,18		1,06	Non	Non	NA	Rognon de chert.
378	Romaine côte/H-St-P	EbCv-015	904b		0-1S/1-2E QNE Cou		EbCv-15.X3	EbCv-15.X3	Nucléus	Nucléus	NA	Nucléus	Chert Mingan	Chert Mingan	Chert Mingan	Fragment	13,1	3,48		2,34		1,42	Non	Oui	NA	Fragment de nucléus. Présente deux surface corticales opposées.
379	Romaine côte/H-St-P	EbCv-015	904b				EbCv-15.27	EbCv-15.27	Grattoir	Grattoir	Formel	Unifaces	Chert Mingan	Chert Mingan	Chert Mingan	Complet	1,4	1,94		2,03		0,58	Non	Non	NA	Grattoir sur éclat. Utilisation opportuniste.
380	Romaine côte/H-St-P	EbCv-015	904b		0-1N/1-2E, QNE, cou		EbCv-15.X2	EbCv-15.X2	Perçoir	Perçoir	informel	Unifaces	Chert "La Romaine"	Shale alternance gris-beige/gris foncé	Chert	Complet	2,2	3,02		1,35		0,63	Non	Oui	NA	Perçoir sur éclat. Présente cortex sur deux faces opposées, support sur plaquette.
381	Romaine côte/H-St-P	EbCv-015	904B				EbCv-15.25	EbCv-15.25	Biface	Biface	Formel	Biface	Chert Mingan	Chert Mingan	Chert Mingan	Fragment	15,6	3,11	NA	NA	NA	1,23*	Non	Non	NA	Fragment mésial de gros biface.
382	Romaine côte/H-St-P	EbCv-015	904B				EbCv-15.11	EbCv-15.11	Biface	Biface	Formel	Biface	Chert Mingan	Chert Mingan	Chert Mingan	Complet	20,3	4,58	2,56	2,83	1,43	1,71	Non	Oui	1,79	Préforme bifaciale. Seulement la portion distale est réellement mise en forme, la pièce semble avoir été abandonnée en cours de Manufacture.
383	Romaine côte/H-St-P	EbCv-015.2	904		Loc. 4A		EbCv-15.9	EbCv-15.9	Nucléus	Nucléus	NA	Nucléus	Chert Mingan	Chert Mingan	Chert Mingan	Fragment	14,3	3,22		2,55		1,56*	Non	Oui	NA	Fragment de nucléus multidirectionnel. Présente deux faces corticales opposées.
384	Romaine côte/H-St-P	EbCv-015.2	904		Loc.2		EbCv-15.5	EbCv-15.5	Pointe de projectile	Pointe de projectile	Formel	Biface	Chert Mauve	Chert mauve rhyolitique	Chert	Fragment	4,2	3,94*	1,87	2,22*	0,58	0,66	Non	Non	3,22	Pointe de projectile de forme lancéolée.

Suite à la page suivante

N	Secteur archéologique	Site	# collection	Aire	Provenance	# cat original	# analyse	Nom générique	Nom générique simplifié	Formel vs informel	Type	Matière simplifiée finale	Matériau	Type Matériau	Intégrité	Poids	Longueur	Largeur½	Largeur max	Épaisseur½	Épaisseur max	Chauffe	Cortex	W/T ratio	Description
385	Romaine côte/H-St-P	EbCv-030	PS-19		Surface #1		EbCv-30.001	Nucléus	Nucléus	NA	Nucléus	Argilite blanchâtre	Argilite	Pélites	Complet	112,2	7,61		4,61		2,77	Non	Oui	NA	Traces d'enlèvements équivoques
386	Romaine côte/H-St-P	EbCv-030	4141			EbCv-30.6	EbCv-30.6	Pointe de projectile	Pointe de projectile	Formel	Biface	Chert marbré gris-beige-mauve	Chert marbré gris-beige-mauve	Chert	Fragment	5,8	3,31	2,35	2,58	0,68	0,70	Non	Non	3,46	Pointe de projectile recyclée en grattoir.
387	Romaine côte/H-St-P	EbCv-031	302			EbCv-31.2	EbCv-31.2	Pointe de projectile	Pointe de projectile	Formel	Biface	Chert marbré gris-beige-mauve	Chert marbré gris-beige-mauve	Chert	Fragment	0,6	NA	NA	NA	NA	NA	Non	Non	NA	Pédoncule de pointe de projectile?
388	Romaine côte/H-St-P	EbCv-031	302			EbCv-31.1	EbCv-31.1	Couteau	Couteau	Formel	Biface	Quartzite Noui	Quartzite Noui	Quartzite	Complet	101,2	11,18	4,31	4,58	1,53	1,75	Non	Non	2,82	Couteau sur éclat. Emmanché. Présente un tranchant double
389	Romaine côte/H-St-P	EbCw-002	1202		Emplacement 4	T-4	EbCw-2.009	Nucléus	Nucléus	NA	Nucléus	Chert Mingan	Chert Mingan	Chert Mingan	Complet	9,4	2,50		2,12		1,85	Non	Non	NA	Petit nucléus épuisé (rognon) de chert Mingan.
390	Romaine côte/H-St-P	EbCw-002	1202		Emplacement 4	T-4	EbCw-2.010	Nucléus	Nucléus	NA	Nucléus	Chert Mingan	Chert Mingan	Chert Mingan	Fragment	9,7	2,73		2,04		1,41	Non	Non	NA	Petit nucléus épuisé sur support bipolaire.
391	Romaine côte/H-St-P	EbCw-002	1202		Emplacement 4	T-1	EbCw-2.008	Grattoir	Grattoir	Formel	Unifaces	Chert Mingan	Chert Mingan	Chert Mingan	Complet	2,6	1,73		2,30		0,85	Non	Non	NA	Grattoir sur éclat.
392	Romaine côte/H-St-P	EbCw-002	1202		Emplacement 4	T-4	EbCw-2.001	Biface	Biface	Formel	Biface	Chert Mingan	Chert Mingan	Chert Mingan	Complet	7	3,86	1,76	1,76	0,57	1,07	Non	Oui	3,09	Préforme bifaciale inachevée, présence d'une gibbosité importante sur portion proximale. Sur éclat.
393	Romaine côte/H-St-P	EbCw-002	1202		Emplacement 4	T-4	EbCw-2.002	Biface	Biface	Formel	Biface	Chert Mingan	Chert Mingan	Chert Mingan	Fragment	2,3	NA	NA	NA	NA	NA	Non	Non	NA	Base de pièce bifaciale de grande dimension. Une faiblesse dans la matière semble à l'origine de la fracturation de la pièce
394	Romaine côte/H-St-P	EbCw-002	1202		Emplacement 1	T-1	EbCw-2.003	Biface	Biface	Formel	Biface	Chert Mingan	Chert Mingan	Chert Mingan	Fragment	7,6	NA	2,82	2,82	0,61	0,73	Non	Non	4,62	Fragment mésial de biface
395	Romaine côte/H-St-P	EbCw-002	1202		Emplacement 1	T-1	EbCw-2.004	Biface	Biface	Formel	Biface	Chert Mingan	Chert Mingan	Chert Mingan	Fragment	1,1	1,72*	1,14	1,14	0,40	0,40	Non	Non	2,85	Fragment mésial et distal de biface. Possible cassure au niveau du rétrécissement d'une petite pointe à encoches.
396	Romaine côte/H-St-P	EbCw-002	1202		Emplacement 1	T-1	EbCw-2.005	Biface	Biface	Formel	Biface	Chert Mingan	Chert Mingan	Chert Mingan	Fragment	8,2	2,70*	2,53	2,53*	0,75	0,75*	Non	Non	3,37	Fragment proximal de biface.
397	Romaine côte/H-St-P	EbCw-002	1202		Emplacement 1	T-1	EbCw-2.006	Biface	Biface	Formel	Biface	Chert Mingan	Chert Mingan	Chert Mingan	Fragment	6,4	NA	NA	2,98		0,97*	Non	Non	NA	Fragment proximo-latéral de pièce bifaciale.
398	Romaine côte/H-St-P	EbCw-002	1202		Emplacement 1	T-1	EbCw-2.007	Pointe de projectile	Pointe de projectile	Formel	Biface	Chert Mingan	Chert Mingan	Chert Mingan	Fragment	0,8	1,89	0,86	1,12*	0,27	0,40*	Non	Non	3,19	Petite pointe de projectile sur éclat. Retouche alterne sur la portion distale.
399	Romaine côte/H-St-P	EbCw-002	1202		Emplacement 1	T-1	EbCw-2.011	Biface	Biface	Formel	Biface	Chert Mingan	Chert Mingan	Chert Mingan	Complet	5,8	3,73	1,87	2,10	0,56	0,78	Non	Oui	3,34	Préforme bifaciale inachevée, présence d'une gibbosité importante sur portion proximale. Sur éclat.
400	Romaine côte/H-St-P	EbCw-003	1203		Emplacement #3	T-3	EbCw-3.001	Foret	Foret	Formel	Biface	Chert gris moutonné gris-bleuté	Chert	Chert	Complet	2,7	2,65		1,50		0,74	Non	Non	NA	Foret aménagé sur pbase de pointe de projectile, récupération.
401	Romaine côte/H-St-P	EbCw-003	1203		Emplacement #1	T-1	EbCw-3.002	Biface	Biface	Formel	Biface	Mudstone gris marbré	Mudstone gris marbré	Pélites	Fragment	1,9	2,30	1,90	1,90*	0,33	0,48	Non	Non	5,76	Fragment distal de pointe de biface (pointe de projectile?).
402	Romaine côte/H-St-P	EbCw-003	1203		Emplacement #3	T-3	EbCw-3.004	Biface	Biface	Formel	Biface	Chert brun carbonaté	Chert brun carbonaté	Chert	Fragment	6,5	NA	NA	NA	NA	0,74	Non	Non	NA	Fragment mésial de biface.
403	Romaine côte/H-St-P	EbCw-003	1203		Emplacement #2	T-2	EbCw-3.005	Biface	Biface	Formel	Biface	Chert Mingan	Chert Mingan	Chert Mingan	Fragment	10,7	3,35*	2,63	2,63	1,25	1,25	Non	Oui	2,10	Fragment d'ébauche bifaciale. Entièrement taillé dans la gaine.
404	Romaine côte/H-St-P	EbCw-003	1203		Emplacement #	T-3	EbCw-3.003	Éclat retouché	É utilisé/reto-uché	Informel	Unifaces	Chert marbré gris-beige-mauve	Chert marbré gris-beige-mauve	Chert	Fragment	17,8	4,08		2,42		1,64	Non	Oui	NA	Éclat retouché, présente une surface de joint.
405	Romaine côte/H-St-P	EbCw-051	4153		Puits #14		EbCw-51.X1	Nucléus	Nucléus	NA	Nucléus	Quartz hyalin avec inclusions brunes	Quartz hyalin avec inclusions brunes	Quartz	Complet	34	3,18		2,94		2,52	Non	Non	NA	Nucléus multidirectionnel en quartz.
406	Romaine côte/H-St-P	EbCw-051	4153		Puits #8		EbCw-51.X2	Nucléus	Nucléus	NA	Nucléus	Chert Mingan	Chert Mingan	Chert Mingan	Complet	264,7	8,58		7,18		3,98	Non	Oui	NA	Nucléus multidirectionnel sur galet. Présente structure vacuolaires de type agate.
407	Romaine côte/H-St-P	EbCw-051	4153			EbCw-51.7	EbCw-51.007	Biface	Biface	Formel	Biface	Chert Mingan	Chert Mingan	Chert Mingan	Fragment	14,8	3,87*	4,06	4,06*	0,99	0,99*	Non	Oui	4,10	Fragment proximal de biface. Taille soignée et dimension importante pour le Chert Mingan. Présence de cortex sur les deux faces.
408	Romaine côte/H-St-P	EbCw-051	4153			EbCw-51.6	EbCw-51.006	Biface	Biface	Formel	Biface	Quartzite EbCp	Quartzite EbCp	Quartzite	Fragment	2,6	*		2,76		0,40	Non	Non	NA	Fragment proximal de biface. Taille soignée; pièce mince et retouche fine.
409	Piashti	EbCp-002 (zone 1)	4163a		1-2N/2-3W		EbCp-2.1.001	Biface	Biface	Formel	Biface	Quartzite EbCp	Quartzite EbCp	Quartzite	Fragment	9,50	2,58*	3,45	3,45*	0,90	0,9*	Non	Non	3,83	Ébauche bifaciale sur éclat. Pièce fravturée.
410	Piashti	EbCp-002 (zone 1)	4163a			EbCp-2.173	EbCp-2.173	Biface	Biface	Formel	Biface	Quartzite EbCp	Quartzite EbCp	Quartzite	Fragment	13,00	3,09*	2,95	3,42	1,04	1,11	Non	Non	2,84	Pointe triangulaire. Pièce vraisemblablement fracturée en cours d'utilisation comme la portion de l'emmanchement est complétée.
411	Piashti	EbCp-002 (zone 1)	4163a			EbCp-2.374	EbCp-2.374	Biface	Biface	Formel	Biface	Quartz hyalin avec inclusions brunes	Quartz hyalin avec inclusions brunes	Quartz	Fragment	0,40	*	*	*	*	*	Non	Non	NA	Fragment de tranchant de pièce bifaciale.
412	Piashti	EbCp-002 (zone 1)	4163a			EbCp-2.105	EbCp-2.105	Pointe de projectile	Pointe de projectile	Formel	Biface	Quartzite EbCp	Quartzite EbCp	Quartzite	Complet	15,50	5,13	2,58	2,71	1,09	1,10	Non	Oui, plat	2,37	Pointe de projectile lancéolée. Taille essentiellement sous forme de retouche alterne (ébauche?). Présence du talon sur extrémité distale.
413	Piashti	EbCp-002 (zone 1)	4163a			EbCp-2.135	EbCp-2.135	Ébauche	Biface	Formel	Biface	Quartzite EbCp	Quartzite EbCp	Quartzite	Complet	66,80	8,26	3,39	3,41	2,08	2,46	Non	Non	1,63	Préforme bifaciale
414	Piashti	EbCp-002 (zone 1)	4163a			EbCp-2.340	EbCp-2.340	Biface	Biface	Formel	Biface	Quartzite EbCp	Quartzite EbCp	Quartzite	Fragment	6,70	3,89*	*	*	1,17	1,17*	Non	Non	NA	Fragment latéral de pièce bifaciale.
415	Piashti	EbCp-002 (zone 1)	4163a			EbCp-2.277	EbCp-2.277	Couteau	Couteau	Formel	Biface	Quartzite EbCp	Quartzite EbCp	Quartzite	Fragment	10,40	3,95*	2,96	2,96*	0,98	0,98*	Non	Non	3,02	Fragment distal de biface. Le caractère asymétrique et la qualité supérieure de l'un des tranchants laisse croire à un couteau. Sur éclat.
416	Piashti	EbCp-002 (zone 1)	4163a			EbCp-2.309	EbCp-2.309	Éclat retouché	É utilisé/reto-uché	Informel	Unifaces	Quartzite EbCp	Quartzite EbCp	Quartzite	Fragment	15,00	3,90		3,19		1,20	Non	Non	NA	Éclat retouché en racloir-couteau, très grossier.
417	Piashti	EbCp-002 (zone 1)	4163a			EbCp-2.322	EbCp-2.322	Éclat retouché	É utilisé/reto-uché	Informel	Unifaces	Quartzite EbCp	Quartzite EbCp	Quartzite	Fragment	41,90	5,77*		4,95		1,58	Non	Non	NA	Fragment de gros éclat retouché don't la majeure partie active semble manquante
418	Piashti	EbCp-002 (zone 1)	4163a			EbCp-2.441	EbCp-2.441	Fragment retouché	Indéterminé	Informel	Unifaces	Chert Mingan	Chert Mingan	Chert Mingan	Fragment	8,20	4,23		1,89*		1,25	Non	Oui	NA	Fragment retouché, porte des traces d'utilisation.
419	Piashti	EbCp-002 (zone 1)	4163a			EbCp-2.419	EbCp-2.419	Nucléus	Nucléus	NA	Nucléus	Quartzite EbCp	Quartzite EbCp	Quartzite	Complet	525,9	13,66		8,22		5,22	Non	Oui, galet	NA	Nucléus sur éclat de très grande dimension. Présente une portion de cortex arrondi (galet) ce qui témoigne d'approvisionnement en contexte secondaire.

Suite à la page suivante

N	Secteur archéologique	Site	# collection	Aire	Provenance	# cat original	# analyse	Nom générique	Nom générique simplifié	Formel vs informel	Type	Matière simplifiée finale	Matériau	Type Matériau	Intégrité	Poids	Longueur	Largeur%	Largeur max	Épaisseur%	Épaisseur max	Chauffe	Cortex	W/T ratio	Description
420	Piashti	EbCp-002 (zone 1)	4163a			EbCp-2.414	EbCp-2.414	Nucléus	Nucléus	NA	Nucléus	Quartz hyalin	Quartz hyalin	Quartz	Complet	143,2	6,84		5,62		4,54	Non	Oui; galet	NA	Galet duquel furent détachés quelques enlèvements, mais semble avoir été rejeté comme aucun éclat de bonne dimension n'a pu en être détaché. Approvisionnement secondaire.
421	Piashti	EbCp-002 (zone 2)	4163a			EbCp-2.249	EbCp-2.249	Ébauche bifaciale	Biface	Formel	Biface	Quartzite EbCp	Quartzite EbCp	Quartzite	Complet	385,9	14,00	8,02	8,27	2,87	3,23	Non	Non	2,79	Grande ébauche bifaciale non complétée.
422	Piashti	EbCp-002 (zone 2)	4163a			EbCp-2.218	EbCp-2.218	Perçoir	Perçoir	informel	Unifaces	Quartzite EbCp	Quartzite EbCp	Quartzite	Complet	86,3	6,75	4,62	6,41	1,92	2,65	Non	Non	NA	Perçoir sur éclat, pièce grossièrement aménagée
423	Piashti	EbCp-002 (zone 2)	4163a			EbCp-2.215	EbCp-2.215	Ébauche bifaciale	Biface	Formel	Biface	Quartzite EbCp	Quartzite EbCp	Quartzite	Fragment	51,9	7,76	3,85	3,85	1,94	1,96	Non	Non	1,98	Fragment d'ébauche bifaciale
424	Piashti	EbCp-002 (zone 2)	4163a			EbCp-2.159	EbCp-2.159	Biface	Biface	Formel	Biface	Quartzite EbCp	Quartzite EbCp	Quartzite	Complet	59,0	6,44	4,16	5,65	1,80	2,15	Non	Non	2,31	Biface triangulaire
425	Piashti	EbCp-002 (zone 2)	4163a			EbCp-2.130	EbCp-2.130	Pointe de projectile	Pointe de projectile	Formel	Biface	Quartzite EbCp	Quartzite EbCp	Quartzite	Fragment	8,3	4,58*	*	2,57	0,90	0,94	Non	Non	NA	Pointe de projectile de forme lancéolée
426	Piashti	EbCp-002 (zone 2)	4163a			EbCp-2.450	EbCp-2.450	Biface	Biface	Formel	Biface	Quartzite EbCp	Quartzite EbCp	Quartzite	Fragment	0,8	*	*	*	*	*	Non	Non	NA	Fragment distal de biface
427	Piashti	EbCp-002 (zone 2)	4163a			EbCp-2.370	EbCp-2.370	Biface	Biface	Formel	Biface	Quartzite EbCp	Quartzite EbCp	Quartzite	Complet	44,9	5,72	3,50	4,30	1,38	1,66	Non	Non	2,54	Ébauche bifaciale rejetée
428	Piashti	EbCp-002 (zone 2)	4163a			EbCp-2.280	EbCp-2.280	Biface	Biface	Formel	Biface	Quartzite EbCp	Quartzite EbCp	Quartzite	Fragment	9,3	*	*	*	*	*	Non	Non	NA	Fragment latéral de biface
429	Piashti	EbCp-002 (zone 2)	4163a			EbCp-2.361	EbCp-2.361	Biface	Biface	Formel	Biface	Quartzite EbCp	Quartzite EbCp	Quartzite	Fragment	10,0	3,86*	*	*	1,25	1,25	Non	Non	NA	Fragment distal de biface
430	Piashti	EbCp-002 (zone 2)	4163a			EbCp-2.387	EbCp-2.387	Biface	Biface	Formel	Biface	Quartzite EbCp	Quartzite EbCp	Quartzite	Fragment	29,2	*	*	8,80	*	1,89	Non	Non	NA	Fragment mésial d'un très gros biface
431	Piashti	EbCp-002 (zone 2)	4163a			EbCp-2.385	EbCp-2.385	Biface	Biface	Formel	Biface	Quartzite EbCp	Quartzite EbCp	Quartzite	Fragment	2,9	*	*	*	*	*	Non	Non	NA	Fragment de bord de biface
432	Piashti	EbCp-002 (zone 2)	4163a			EbCp-2.282	EbCp-2.282	Biface	Biface	Formel	Biface	Quartzite EbCp	Quartzite EbCp	Quartzite	Fragment	3,4	*	*	*	*	*	Non	Non	NA	Fragment de bord de biface
433	Piashti	EbCp-002 (zone 2)	4163a			EbCp-2.258	EbCp-2.258	Couteau	Couteau	Formel	Biface	Quartzite EbCp	Quartzite EbCp	Quartzite	Fragment	4,9	*	2,71	2,71*	1,04	1,04*	Non	Non	2,61	Fragment distal de biface. La forme asymétrique laisse croire à un couteau.
434	Piashti	EbCp-002 (zone 2)	4163a			EbCp-2.463	EbCp-2.463	Biface	Biface	Formel	Biface	Quartzite EbCp	Quartzite EbCp	Quartzite	Fragment	2,1	*	*	*	*	*	Non	Non	NA	Fragment de bord de biface
435	Piashti	EbCp-002 (zone 2)	4163a			EbCp-2.256	EbCp-2.256	Biface	Biface	Formel	Biface	Quartzite EbCp	Quartzite EbCp	Quartzite	Fragment	2,4	*	*	*	*	*	Non	Non	NA	Fragment distal de biface
436	Piashti	EbCp-002 (zone 2)	4163a			EbCp-2.256	EbCp-2.256	Biface	Biface	Formel	Biface	Quartzite EbCp	Quartzite EbCp	Quartzite	Fragment	2,4	*	*	*	*	*	Non	Non	NA	Fragment distal de biface
437	Piashti	EbCp-002 (zone 2)	4163a			EbCp-2.290	EbCp-2.290	Biface	Biface	Formel	Biface	Quartzite EbCp	Quartzite EbCp	Quartzite	Fragment	2,8	*	*	*	*	*	Non	Non	NA	Fragment distal de biface
438	Piashti	EbCp-002 (zone 2)	4163a			EbCp-2.344	EbCp-2.344	Biface	Biface	Formel	Biface	Quartzite EbCp	Quartzite EbCp	Quartzite	Fragment	16,0	3,78*	3,46	3,46*	1,19	1,19*	Non	Non	2,91	Extrémité proximale de biface
439	Piashti	EbCp-002 (zone 2)	4163a			EbCp-2.118	EbCp-2.118	Pointe de projectile	Pointe de projectile	Formel	Biface	Quartzite Noui	Quartzite Noui	Quartzite	Fragment	13,0	4,81*	2,58	2,67	0,71	0,71	Non	Non	3,63	Fractures au niveau distale et proximal
440	Piashti	EbCp-002 (zone 2)	4163a			EbCp-2.242- 243	EbCp-2.242- 243	Biface	Biface	Formel	Biface	Quartzite EbCp	Quartzite EbCp	Quartzite	Fragment	162,8	8,13*		9,41	1,29	1,51*	Non	Non	0,00	2 fragments de base d'un biface de grande dimension
441	Piashti	EbCp-002 (zone 2)	4163a			EbCp-2.198	EbCp-2.198	Ébauche bifaciale	Biface	Formel	Biface	Quartzite EbCp	Quartzite EbCp	Quartzite	Complet	151,4	16,80	4,68	5,12	1,65	1,76	Non	Non	2,84	Grande ébauche bifaciale sur éclat
442	Piashti	EbCp-002 (zone 2)	4163a			EbCp-2.120	EbCp-2.120	Biface	Biface	Formel	Biface	Quartzite fin de Kégashka	Quartzite fine de Kégashka de type 2	Quartzite	Fragment	3,0	*	*	*	*	*	Non	Non	NA	Pédoncule rectangulaire à base droite d'assez grande dimension. Snap fracture
443	Piashti	EbCp-002 (zone 2)	4163a			EbCp-2.121	EbCp-2.121	Biface	Biface	Formel	Biface	Quartzite fin de Kégashka	Quartzite fine de Kégashka de type 1	Quartzite	Fragment	1,1	*	*	*	*	*	Non	Non	NA	Pédoncule rectangulaire à base droite.
444	Piashti	EbCp-002 (zone 2)	4163a			EbCp-2.110	EbCp-2.110	Biface	Biface	Formel	Biface	Quartzite EbCp	Quartzite EbCp	Quartzite	Fragment	11,8	4,1*	3,86	3,86*	0,88	0,88*	Non	Non	4,39	Extrémité distale de pièce bifaciale, symétrique.
445	Piashti	EbCp-002 (zone 2)	4163a			EbCp-2.108	EbCp-2.108	Couteau	Couteau	Formel	Biface	Quartzite EbCp	Quartzite EbCp	Quartzite	Complet	5,8	3,81	1,98	2,26	0,62	0,62	Non	Non	3,19	Couteau sur éclat emmanché, un seul bord utilisé
446	Piashti	EbCp-002 (zone 2)	4163a			EbCp-2.451	EbCp-2.451	Biface	Biface	Formel	Biface	Quartzite de Ramah	Quartzite de Ramah	Quartzite de Ramah	Fragment	0,8	*	*	*	*	*	Non	Non	NA	Pédoncule rectangulaire à base droite.
447	Piashti	EbCp-002 (zone 2)	4163a			EbCp-2.146	EbCp-2.146	Pointe de projectile	Pointe de projectile	Formel	Biface	Quartzite de Ramah	Quartzite de Ramah	Quartzite de Ramah	Complet	1,9	3,29	1,77	1,77	0,33	0,33	Non	Non	5,36	Pointe de projectile sur éclat. Possible couteau.
448	Piashti	EbCp-002 (zone 2)	4163a			EbCp-2.103	EbCp-2.103	Outil composite	Biface	Formel	Biface	Chert Mingan Quartzite de Ramah	Chert Mingan Quartzite de Ramah	Chert Mingan Quartzite de Ramah	Complet	23,4	5,04	3,04	3,14	1,62	1,65	Oui	Oui	1,88	Outil composite. Combine un couteau bifacial sur le bord droit, un grattoir en position distale et un racloir unifacial sur le bord gauche. Taillé sur éclat présentant une importante surface corticale de galet sur la face dorsale.
449	Piashti	EbCp-002 (zone 2)	4163a			EbCp-2.100	EbCp-2.100	Couteau	Couteau	Formel	Biface	Chert brun carbonaté	Chert brun carbonaté	Chert	Complet	77,7	10,57	5,90	6,20	0,81	1,11	Non	Non	7,28	Couteau, ne porte pas de traces d'emmanchement
450	Piashti	EbCp-002 (zone 2)	4163a			EbCp-2.247	EbCp-2.247	Couteau	Couteau	Formel	Biface	Quartzite EbCp	Quartzite EbCp	Quartzite	Complet	42,8	8,25	4,82	4,82	1,13	1,18	Oui	Non	4,27	
451	Piashti	EbCp-002 (zone 2)	4163a			EbCp-2.364	EbCp-2.364	Ébauche bifaciale	Biface	Formel	Biface	Quartzite EbCp	Quartzite EbCp	Quartzite	Complet	23,2	4,71	3,18	3,48	1,16	1,25	Non	Non	2,74	Ébauche bifaciale
452	Piashti	EbCp-002 (zone 2)	4163a			EbCp-2.447	EbCp-2.447	Éclat retouché	É. utilisé/reto uché	Informel	Unifaces	Quartzite EbCp	Quartzite EbCp	Quartzite	Fragment	84,7	7,97		5,04		3,04	Non	Non	NA	Fragment retouché à fonction indéterminée
453	Piashti	EbCp-002 (zone 2)	4163a			EbCp-2.207	EbCp-2.207	Racloir	Racloir	Formel	Unifaces	Quartzite EbCp	Quartzite EbCp	Quartzite	Complet	147,2	9,04		5,27		2,66	Non	Oui	NA	Gros racloir sur éclat
454	Piashti	EbCp-002 (zone 2)	4163a			EbCp-2.144	EbCp-2.144	Grattoir	Grattoir	Formel	Unifaces	Quartzite EbCp	Quartzite EbCp	Quartzite	Fragment	13,1	3,03		3,84		1,17	Non	Non	NA	Grattoir sur éclat, fracture au niveau proximal.
455	Piashti	EbCp-002 (zone 2)	4163a			EbCp-2.170	EbCp-2.170	Éclat retouché	É. utilisé/reto uché	Informel	Unifaces	Quartzite EbCp	Quartzite EbCp	Quartzite	Fragment	20,0	3,11*		4,88		1,17	Non	Non	NA	Fragment d'éclat retouché
456	Piashti	EbCp-002 (zone 2)	4163a			EbCp-2.147	EbCp-2.147	Éclat retouché	É. utilisé/reto uché	Informel	Unifaces	Quartzite EbCp	Quartzite EbCp	Quartzite	Fragment	5,4	4,09*		2,37		0,62	Non	Non	NA	Fragment d'éclat retouché
457	Piashti	EbCp-002 (zone 2)	4163a			EbCp-2.354	EbCp-2.354	Perçoir	Perçoir	informel	Unifaces	Quartzite EbCp	Quartzite EbCp	Quartzite	Complet	3,9	5,11		1,16		0,82	Non	Non	NA	Perçoir sur éclat

N	Secteur archéologique	Site	# collection	Aire	Provenance	# cat original	# analyse	Nom générique	Nom générique simplifié	Formel vs informel	Type	Matière simplifiée finale	Matériau	Type Matériau	Intégrité	Poids	Longueur	Largeur%	Largeur max	Épaisseur%	Épaisseur max	Chauffe	Cortex	W/T ratio	Description
458	Piashti	EbCp-002 (zone 2)	4163a			EbCp-2.210	EbCp-2.210	Fragment retouché	Indéterminé	Informel	Unifaces	Quartzite EbCp	Quartzite EbCp	Quartzite	Fragment	8,9	3,19		2,67		0,95	Non	Non	NA	Fragment retouché à fonction indéterminée
459	Piashti	EbCp-002 (zone 2)	4163a			EbCp-2.287	EbCp-2.287	Éclat retouché	É. utilisé/reto uché	Informel	Unifaces	Quartzite EbCp	Quartzite EbCp	Quartzite	Complet	3,3	3,48		1,81		0,59	Non	Non	NA	Couteau unifacial sur éclat
460	Piashti	EbCp-002 (zone 2)	4163a			EbCp-2.286	EbCp-2.286	Grattoir	Grattoir	Formel	Unifaces	Quartzite EbCp	Quartzite EbCp	Quartzite	Complet	7,2	3,89		2,00		1,32	Non	Non	NA	Grattoir sur éclat
461	Piashti	EbCp-002 (zone 2)	4163a			EbCp-2.397	EbCp-2.397	Racloir	Racloir	Formel	Unifaces	Quartzite EbCp	Quartzite EbCp	Quartzite	Fragment	11,9	4,24*		2,83		0,77	Non	Non	NA	Racloir sur éclat
462	Piashti	EbCp-002 (zone 2)	4163a			EbCp-2.166	EbCp-2.166	Éclat utilisé	É. utilisé/reto uché	informel	Unifaces	Quartzite de Ramah	Quartzite de Ramah	Quartzite de Ramah	Fragment	14,4	4,72		4,58		0,57	Non	Oui	NA	Éclat utilisé, fort grignotage des bords
463	Piashti	EbCp-002 (zone 2)	4163a			EbCp-2.306	EbCp-2.306	Fragment utilisé	Indéterminé	informel	Unifaces	Chert Mangan	Chert Mangan	Chert Mangan	Fragment	4,8	3,89		2,64		1,04	Oui	Oui	NA	Fragment utilisé sur l'un de ses bords. Possiblement seulement des esquilles causées par son altération par la chaleur.
464	Piashti	EbCp-002 (zone 2)	4163a			EbCp-2.439	EbCp-2.439	Éclat retouché	É. utilisé/reto uché	Informel	Unifaces	Chert Mangan	Chert Mangan	Chert Mangan	Fragment	1,7	1,93*		2,17*		0,44*	Non	Non	NA	Fragment d'éclat retouché
465	Piashti	EbCp-002 (zone 2)	4163a			EbCp-2.246	EbCp-2.246	Grattoir	Grattoir	Formel	Unifaces	Chert Mangan	Chert Mangan	Chert Mangan	Complet	3,4	2,04		2,36		0,71	Non	Non	NA	Grattoir unguiforme
466	Piashti	EbCp-002 (zone 2)	4163a			EbCp-2.160	EbCp-2.160	Nucléus	Nucléus	NA	Nucléus	Quartzite EbCp	Quartzite EbCp	Quartzite	Complet	264,8	9,41		8,67		3,95	Non	Non	NA	Présence d'un lit de qz qui traverse la pièce
467	Piashti	EbCp-002 (zone 2)	4163a			EbCp-2.169	EbCp-2.169	Nucléus	Nucléus	NA	Nucléus	Quartzite EbCp	Quartzite EbCp	Quartzite	Complet	129,2	6,69		5,55		3,10	Non	Non	NA	
468	Piashti	EbCp-002 (zone 2)	4163a			EbCp-2.427	EbCp-2.427	Nucléus	Nucléus	NA	Nucléus	Quartzite EbCp	Quartzite EbCp	Quartzite	Complet	390,7	9,54		11,67		3,38	Non	Non	NA	Nucléus sur éclat
469	Piashti	EbCp-002 (zone 2)	4163a			EbCp-2.253	EbCp-2.253	Nucléus	Nucléus	NA	Nucléus	Quartzite EbCp	Quartzite EbCp	Quartzite	Complet	639,0	13,75		8,29		4,30	Non	Non	NA	
470	Piashti	EbCp-002 (zone 2)	4163a			EbCp-2.254	EbCp-2.254	Nucléus	Nucléus	NA	Nucléus	Quartzite EbCp	Quartzite EbCp	Quartzite	Complet	1034,1	14,65		11,25		6,37	Non	Oui	NA	Présente une surface de cortex plat
471	Piashti	EbCp-002 (zone 2)	4163a			EbCp-2.255	EbCp-2.255	Nucléus	Nucléus	NA	Nucléus	Quartzite EbCp	Quartzite EbCp	Quartzite	Complet	1660,9	20,00		11,01		7,53	Non	Oui	NA	Présente une surface de cortex plat
472	Piashti	EbCp-002 (zone 2)	4163a			EbCp-2.214	EbCp-2.214	Nucléus	Nucléus	NA	Nucléus	Quartzite EbCp	Quartzite EbCp	Quartzite	Complet	371,4	13,21		8,03		3,68	Non	Non	NA	Nucléus sur éclat
473	Piashti	EbCp-002 (zone 2)	4163a3			EbCp-2.3.006 et EbCp-2.3.007		Éclat retouché	É. utilisé/reto uché	Informel	Unifaces	Calcédoine bleutée	Chert bleu- vert lustré	Chert	Fragment	0,3	2,1*		0,58*		0,31*	Oui	Non	NA	Remontage de EbCp-2.3.006 et EbCp-2.3.007
474	Piashti	EbCp-002 (zone 2)	4163a3		2-3N/1-2W		EbCp-2.3.001	Nucléus	Nucléus	NA	Nucléus	Quartz hyalin avec inclusions brunes	Quartz hyalin avec inclusions brunes	Quartz	Complet	6,0	2,51		1,63		1,61	Non	Non	NA	Petit rognon de nucléus en quartz hyalin.
475	Piashti	EbCp-002 (zone 2)	4163a3		7-8N/2-3W		EbCp-2.3.002	Nucléus	Nucléus	NA	Nucléus	Quartz hyalin avec inclusions brunes	Quartz hyalin avec inclusions brunes	Quartz	Complet	12,8	5,85		5,02		3,02	Non	Oui	NA	Nucléus sur galet, quartz vitreux granuleux, orthoquartzite.
476	Piashti	EbCp-002 (zone 2)	4163a3		2-3N/1-2W		EbCp-2.3.003	Nucléus	Nucléus	NA	Nucléus	Quartzite EbCp	Quartzite EbCp	Quartzite	Complet	68,4	4,09		4,84		4,54	Non	Non	NA	Nucléus unidirectionnel, avec plan de frappe.
477	Piashti	EbCp-002 (zone 2)	4163a3		1-2N/0-1W		EbCp-2.3.005	Nucléus	Nucléus	NA	Nucléus	Quartz hyalin avec inclusions brunes	Quartz hyalin avec inclusions brunes	Quartz	Fragment	13,9	3,10*		2,89*		1,34*	Non	Non	NA	Plaquette de quartzite portant des traces d'enlèvements.
478	Piashti	EbCp-002 (zone 2)	4163a3		4-5N/1-2W		EbCp-2.3.008	Nucléus	Nucléus	NA	Nucléus	Chert vert lustré	Chert olivâtre marbré	Chert	Complet	2,3	1,82		1,79		0,92*	Oui	Non	NA	Rognon de chert fracturé par le feu. Sa provenance atteste de l'emplacement d'un foyer
479	Piashti	EbCp-004	4161		Ae sur rocher	#1	EbCp-4.001	Nucléus	Nucléus	NA	Nucléus	Quartz hyalin avec inclusions brunes	Quartz hyalin avec inclusions brunes	Quartz	Fragment	39,5	3,97		2,81		2,75	Non	Non	NA	Nucléus prismatique en quartz hyalin. Présente une fracture longitudinale ayant vraisemblablement mené à son abandon.
480	Piashti	EbCp-004	4161		Ae sur rocher	#1	EbCp-4.002	Nucléus	Nucléus	NA	Nucléus	Quartzite EbCp	Quartzite EbCp	Quartzite	Complet	79,1	7,98		3,74		2,68	Non	Non	NA	Nucléus sur éclat. Présence de plans de faiblesse ayant vraisemblablement mené à l'abandon de la pièce.
481	Piashti	EbCp-005	4158		Puits 1 couche A2	#1	EbCp-5.001	Nucléus	Nucléus	NA	Nucléus	Chert Mangan	Chert Mangan	Chert Mangan	Complet	68,00	5,42		3,95		2,72	Oui	Oui	NA	Petit nucléus bipolaire sur galet. Semble avoir été chauffé (noircit).
482	Piashti	EbCp-005	4158		Puits 1 couche A2	#1	EbCp-5.002	Nucléus	Nucléus	NA	Nucléus	Quartzite EbCp	Quartzite EbCp	Quartzite	Complet	640,04	12,78		8,89		5,73	Non	Non	NA	Nucléus multidirectionnel.
483	Piashti	EbCp-005	4158			#3	EbCp-5.003	Nucléus	Nucléus	NA	Nucléus	Quartzite EbCp	Quartzite EbCp	Quartzite	Complet	724,90	13,01		7,29		6,79	Non	Oui	NA	Présence de 2 surface de joints parallèles.
484	Piashti	EbCq-001	4150		G		EbCq-1.004	Nucléus	Nucléus	NA	Nucléus	Quartz hyalin enfumé	Quartz enfumé	Quartz	Complet	244,7	9,89		6,66		3,26	Non	Oui	NA	Bloc de qz qui porte des traces d'enlèvements.
485	Piashti	EbCq-001	4150		1		EbCq-1.001	Nucléus	Nucléus	NA	Nucléus	Quartz hyalin avec inclusions brunes	Quartz hyalin avec inclusions brunes	Quartz	Complet	252	8,02		5,54		4,79	Non	Oui	NA	Bloc de qz qui porte des traces d'enlèvements.
486	Piashti	EbCq-001	4150		1		EbCq-1.002	Nucléus	Nucléus	NA	Nucléus	Quartz hyalin avec inclusions brunes	Quartz hyalin avec inclusions brunes	Quartz	Complet	91,8	5,60		6,89		2,84	Non	Non	NA	Bloc de qz qui porte des traces d'enlèvements.
487	Piashti	EbCq-001	4150		1		EbCq-1.003	Nucléus	Nucléus	NA	Nucléus	Quartz hyalin avec inclusions brunes	Quartz hyalin avec inclusions brunes	Quartz	Complet	161,4	7,82		5,39		4,42	Non	Oui	NA	Présence d'un gros amas de cristaux de muscovite en surface.
488	Piashti	EbCq-001	4150		Surface générale		EbCq-1.005	Éclat utilisé	É. utilisé/reto uché	informel	Unifaces	Quartzite de Ramah	Quartzite de Ramah	Quartzite de Ramah	Fragment	1,9	2,35*		1,94		0,28	Non	Non	NA	Éclat utilisé. Présente une petite encoche étroite et assez profonde (fonction?).
489	Piashti	EbCq-001	4150		6		EbCq-1.007	Éclat utilisé	É. utilisé/reto uché	informel	Unifaces	Quartzite de Ramah	Quartzite de Ramah	Quartzite de Ramah	Fragment	7,1	4,28*	3,33	3,33	0,41	0,41	Non	Non	NA	Bords de la pièce fortement grignotés. Manque extrémité distale. Aménagé à partir d'un gros éclat bifacial.

Suite à la page suivante

N	Secteur archéologique	Site	# collection	Aire	Provenance	# cat original	# analyse	Nom générique	Nom générique simplifié	Formel vs informel	Type	Matière simplifiée finale	Matériau	Type Matériau	Intégrité	Poids	Longueur	Largeur%	Largeur max	Épaisseur%	Épaisseur max	Chauffe	Cortex	W/T ratio	Description	
490	Piashti	EbCq-001	4150		8		EbCq-1.006	Éclat utilisé?	É. utilisé/reto uché	informel	Unifaces	Silex?	Silex anglais	Silex	Complet	0,2						Non	Non	NA	Petit éclat de silex. Le détachement semble accidentel et résulter de l'utilisation d'un outil en silex; possiblement une pierre à fusil (la présence de grignottage et d'esquilles appuyent cette proposition).	
491	Piashti	EbCq-004	4155		Puits #3		EbCq-4.001	Burin Éclat retouché	É. utilisé/reto uché	Informel	Unifaces	Quartz hyalin	Quartz hyalin	Quartz	Complet	0,7	1,35		0,85		0,55	Non	Non	NA	Burin sur éclat	
492	Piashti	EbCq-004	4155		Puits #6		EbCq-4.002		É. utilisé/reto uché	Informel	Unifaces	Quartz hyalin	Quartz hyalin	Quartz	Fragment	0,9	1,66*		1,09*		0,56*	Non	Non	NA	Fragment d'éclat retouché.	
493	Piashti	EbCq-008	4157		"B"		EbCq-8.001	Nucléus	Nucléus	NA	Nucléus	Quartzite EbCp	Quartzite EbCp	Quartzite	Fragment	45,3	3,28*		5,52		1,89	Non	Non	NA	Nucléus sur éclat. Présence de patine sur la face dorsale.	
494	Piashti	EbCr-002	4148		Puits #7		EbCr-2.001	Nucléus	Nucléus	NA	Nucléus	Quartz hyalin avec inclusions brunes	Quartz hyalin avec inclusions brunes	Quartz	Fragment	54,5	6,22		2,95		2,38	Non	Non	NA	Nucléus multidirectionnel. Fracture longitudinale.	
495	Piashti	EbCr-002	4148			#13	EbCr-2.013	Pointe de projectile	Pointe de projectile	Formel	Biface	Quartzite EbCp	Quartzite EbCp	Quartzite	Complet	8,7	4,12	2,23	2,58	0,81	1,27	Non	Non	2,75	Importante gibbosité (bulbe de l'éclat) en position proximale. Pièce non achevée.	
496	Piashti	EbCs-012	4147				EbCs-12.17	Grattoir	Grattoir	Formel	Unifaces	Quartzite de Ramah	Quartzite de Ramah	Quartzite de Ramah	Complet	4,1	2,54		2,78		0,61	Non	Non	NA	Grattoir sur éclat.	
497	Piashti	EbCs-012	4147				EbCs-12.16	EbCs-12.16	Biface	Formel	Biface	Chert "La Romaine"	Shale alternance gris- beige/gris foncé	Chert	Fragment	0,6	1,80				0,43	0,43*	Non	Oui	0,00	Fragment distal de pièce bifaciale. Possible pointe de projectile.
498	Kégashka	EbCh-07	1289			3	EbCh-7.001	Pointe de projectile	Pointe de projectile	Formel	Biface	Chert Mauve	Chert Mauve	Chert	Fragment	24,9	7,89	3,23	3,46	0,92	0,95	Non	Non	3,51	Pointe de projectile de bonne dimension avec encoches latérales	
499	Kégashka	EbCi-001			33N-16E	EbCi-1.49	EbCi-1.49	Pointe de projectile	Pointe de projectile	Formel	Biface	Chert brun carbonaté	Chert brun carbonaté	Chert	Fragment	2,1	2,95*	2,32	2,32*	0,35	0,35*	Non	Non	6,63	Fragment distal de pointe de projectile. Chert gris légèrement filigrané avec beaucoup de radiolaires.	
500	Kégashka	EbCi-001			32N-16E	EbCi-1.50	EbCi-1.50	Biface	Biface	Formel	Biface	Chert brun carbonaté	Chert brun carbonaté	Chert	Fragment	17,8	3,8*	4,21	4,21*	1,18	1,18*	Non	Non	3,57	Fragment distal de biface.	
501	Kégashka	EbCi-001			24N-19E	EbCi-1.51	EbCi-10.51	Biface	Biface	Formel	Biface	Quartzite de Ramah	Quartzite de Ramah	Quartzite de Ramah	Fragment	5,7	2,94*	3,09	3,09*	0,55	,55*	Non	Non	5,62	Surtout essentiellement sur l'un des bords. Couteau?	
502	Kégashka	EbCi-001			27N-13E	EbCi-1.54	EbCi-1.54	Biface	Biface	Formel	Biface	Quartzite Noui	Quartzite Noui	Quartzite	Fragment	18,8	4,83*	2,74	3,21	0,68	1,01	Non	Non	4,03	Taillé bifacialement essentiellement sur l'un de ses bords uniquement. Couteau Ou ébauche bifaciale fracturée en cours de production? Couteau	
503	Kégashka	EbCi-001			27N-14E	EbCi-1.56	EbCi-1.56	Biface	Biface	Formel	Biface	Quartzite Noui	Quartzite Noui	Quartzite	Fragment	0,9	1,54*		1,4*		,47*	Non	Non	NA	Fragment méso-latéral de pièce bifaciale indéterminée.	
504	Kégashka	EbCi-001			27N-14E	EbCi-1.57	EbCi-1.57	Biface	Biface	Formel	Biface	Quartzite Noui	Quartzite Noui	Quartzite	Fragment	25,8	5,77	2,56	2,56	1,43	1,43	Non	Oui (plaquette)	1,79	Préforme bifacial présentant une surface de cortex de plaquette.	
505	Kégashka	EbCi-001			33N-16E	EbCi-1.58	EbCi-1.58	Biface	Biface	Formel	Biface	Chert vert lustré	Chert vert lustré	Chert	Fragment	0,6	NA		NA		NA	Non	Non	NA	Fragment proximal de petite pièce bifaciale (talon présent). Catalogué comme fragment distal par Chapdelaine 1994.	
506	Kégashka	EbCi-001			33N-16E	EbCi-1.59	EbCi-1.59	Biface	Biface	Formel	Biface	Rhyolite verte porphyroblast ique	Rhyolite verte porphyroblast ique	Rhyolite	Fragment	8,0	4,54*	1,87	1,87*	0,68	0,68*	Non	Non	2,75	Fragment de pièce bifaciale. Taille très fine. L'aspect long et étroit de la pièce	
507	Kégashka	EbCi-001			33N-17E	EbCi-1.60	EbCi-1.60	Biface	Biface	Formel	Biface	Chert Mauve	Chert Mauve	Chert	Fragment	4,2	2,27*	3,74	3,74*	0,62	0,62*	?	Oui	6,03	Fragment proximal de biface. Présence de cortex formant une dépression (?).	
508	Kégashka	EbCi-001			33N-17E	EbCi-1.62	EbCi-1.62	Biface	Biface	Formel	Biface	Rhyolite mauve porphyroblast ique	Rhyolite mauve porphyroblast ique	Rhyolite	Fragment	27,2	6,91*	3,31	4,37	0,81	0,92	Non	Non	4,09	Pièce bifaciale. La portion qui forme un étranglement de la pièce est travaillé de façon alterno (chaque bord étant travaillé essentiellement sur une face). Cette caractéristique et la présence d'un étranglement nous laisse croire qu'il s'agisse d'un foret. Catalogué comme biface par Chapdelaine 1994.	
509	Kégashka	EbCi-001			40N-19E	EbCi-1.140	EbCi-1.140	Biface	Biface	Formel	Biface	Rhyolite bleutée	Rhyolite bleutée	Rhyolite	Fragment	1,8	1,59*	2,00	2,00	0,54	0,54	Non	Non	3,70	Fragment mésial de biface.	
510	Kégashka	EbCi-001			Haute terrasse	EbCi-1.148	EbCi-1.148	Pointe de projectile	Pointe de projectile	Formel	Biface	Quartzite de Ramah	Quartzite de Ramah	Quartzite de Ramah	Fragment	6,4	3,27*	2,68	2,68	0,48	0,48	Non	Non	5,58	Fragment proximal et mésial de pointe à encoche latérale. Quartzite noir de Ramah.	
511	Kégashka	EbCi-001			Haute terrasse	EbCi-1.149	EbCi-1.149	Pointe de projectile	Pointe de projectile	Formel	Biface	Quartzite EbCp	Quartzite EbCp	Quartzite	Fragment	9,2	4,89	2,60	2,6*	0,83	0,83*	Non	Non	3,13	Fragment distal de pointe de projectile. Quartzite grisâtre (EbCp ou Noui ?).	
512	Kégashka	EbCi-001			Haute terrasse	EbCi-1.150	EbCi-1.150	Biface	Biface	Formel	Biface	Chert brun carbonaté	Chert brun carbonaté	Chert	Fragment	8,4	3,7*	2,80	2,8*	0,76	0,76*	Non	Non	3,68	Chert brun-noir très similaire a EbCi-1.50. Fragment proximal et mésial de biface. Très belle retouche parallèle sur une face et caractère inachevé sur l'autre (face ventrale). Possible couteau taillé sur éclat	
513	Kégashka	EbCi-001			Haute terrasse	EbCi-1.151	EbCi-1.151	Biface	Biface	Formel	Biface	Chert noir carbonaté	Chert arc-en- ciel	Chert	Fragment	3,9	2,44*	2,66	2,66*	0,68	0,68*	Non	Non	3,91	Fragment distal (?) de pièce bifaciale. Le matériau est une quartzite ou une rhyolite, la couleur en surface est olivâtre et au centre de la pièce plutôt vert foncé. Une patine recouvre la pièce. Absence de phénocristaux.	
514	Kégashka	EbCi-001			25N-19E	EbCi-1.52	EbCi-1.52	Éclat retouché	É. utilisé/reto uché	Informel	Unifaces	Chert vert laminé	clusions de ba	Chert	Fragment	0,7	2,02*		1,48		0,34	Non	Non	NA	Éclat retouché. Petit racloir? Catalogué comme Éclat utilisé en 1994.	
515	Kégashka	EbCi-001			27N-13E	EbCi-1.43	EbCi-1.43	Coin	Coin	Informel	Unifaces	Quartz hyalin	Quartz hyalin	Quartz	Complet	1,8	1,76		1,35		0,64	Non	Non	NA	Pièce esquillée, coin.	
516	Kégashka	EbCi-001			27N-14E	EbCi-1.55	EbCi-1.55	Grattoir	Grattoir	Formel	Unifaces	Quartzite Noui	Quartzite Noui	Quartzite	Complet	7,7	4,15		2,11		1,05	Non	Non	NA	Grattoir sur éclat. Semble être une ébauche et ne pas avoir été utilisé.	
517	Kégashka	EbCi-001			33N-17E	EbCi-1.61	EbCi-1.61	Éclat utilisé	É. utilisé/reto uché	informel	Unifaces	Chert vert lustré	Chert vert lustré	Chert	Complet	1,3	2,60		1,65		0,30	Non	Oui	NA	Petit éclat utilisé. La matériau semble être semblable que EbCi-1.60. Possible jaspe rouge/jaune ?.	
518	Kégashka	EbCi-001			26N-23E	EbCi-1.67 (11	EbCi-1.67.001	Éclat retouché	É. utilisé/reto uché	Informel	Unifaces	Chert rhyolitique noir	Chert rhyolitique noir	Chert	Complet	1,7	2,80		1,00		0,59	Non	Non	NA	Éclat utilisé présentant 3 UE. 2 en position latéral et 1 en position distale.	
519	Kégashka	EbCi-001			33N-116E	EbCi-1.114	EbCi-1.114.00	Éclat utilisé	É. utilisé/reto uché	informel	Unifaces	Quartzite de Ramah	Quartzite de Ramah	Quartzite de Ramah	Fragment	9,9	2,86*		4,34*		0,64	Non	Non	NA	Fragment d'éclat utilisé.	
520	Kégashka	EbCi-001			57N-21E	EbCi-1.139	EbCi-1.139	Éclat utilisé	É. utilisé/reto uché	informel	Unifaces	Quartzite de Ramah	Quartzite de Ramah	Quartzite de Ramah	Fragment	2,7	2,83*		2,09*		0,41	Non	Non	NA	Fragment d'éclat utilisé. Les esquilles d'utilisation se retrouvent sur la fece ventral de l'éclat.	

N	Secteur archéologique	Site	# collection	Aire	Provenance	# cat original	# analyse	Nom générique	Nom générique simplifié	Formel vs informel	Type	Matière simplifiée finale	Matériau	Type Matériau	Intégrité	Poids	Longueur	Largeur½	Largeur max	Épaisseur½	Épaisseur max	Chauffe	Cortex	W/T ratio	Description
521	Kégashka	EbCi-001			40N-19E	EbCi-1.141	EbCi-1.141	Racloir	Racloir	Formel	Unifaces	Quartzite de Ramah	Quartzite de Ramah	Quartzite de Ramah	Complet	45,3	7,19		4,94		1,22	Non	Non	NA	Gros racloir sur éclat. Il pourrait ne s'agir que d'un segment utilisé ("pointed"), mais nous le séparons ici en 2 segments utilisés puisque leur morphologie est différente (convexe et concave).
522	Kégashka	EbCi-001			Haute terrasse	EbCi-1.152	EbCi-1.152	Éclat utilisé	É utilisé/reto uché	informel	Unifaces	Quartzite EbCp	Quartzite EbCp	Quartzite	Fragment	3,1	3,09*		1,61*		0,68	Non	Non	NA	Fragment d'éclat utilisé.
523	Kégashka	EbCi-001			27N-14E	EbCi-1.83	EbCi-1.83	Nucléus	Nucléus	NA	Nucléus	Quartz hyalin	Quartz hyalin	Quartz	Complet	182,4	7,37		5,33		3,95	Non	Oui	NA	Nucléus multidirectionnel sur gos cristal de Quartz? Présence de 2 plans ou faces cristallines qui se rejoignent à un angle de 60 degrés.
524	Kégashka	EbCi-001			32N-16E	EbCi-1.96	EbCi-1.96	Nucléus	Nucléus	NA	Nucléus	Quartz laiteux	Quartz laiteux	Quartz	Complet	80,0	6,25		3,62		3,05	Non	Oui	NA	Nucléus multidirectionnel sur gros éclat bipolaire taillé sur galet.
525	Kégashka	EbCi-002			20N-43E	EbCi-2.61	EbCi-2.61	Ébauche bifaciale	Biface	Formel	Biface	Quartzite fin de Kégashka	Quartzite fine de Kégashka de type 1	Quartzite	Complet	31,6	7,29	3,19	3,33	1,21	1,21	Non	Non	2,64	Pièce bifaciale au contour sinueu. Ébauche bifaciale. Porte l'appellation biface dans catalogue Chapdelaine 1994.
526	Kégashka	EbCi-002			19N-42E	EbCi-2.59	EbCi-2.59	Ébauche bifaciale	Biface	Formel	Biface	Quartzite fin de Kégashka	Quartzite fine de Kégashka de type 2	Quartzite	Fragment	17,2	4,96*		2,47		1,18	Non	Non	NA	Pièce présentant bcp d'enlèvements avec terminaisons en escalier. Préforme bifaciale. Catalogué comme FMB Chapdelaine 1994.
527	Kégashka	EbCi-002			19N-44E	EbCi-2.60	EbCi-2.60	Ébauche bifaciale	Biface	Formel	Biface	Quartzite fin de Kégashka	Quartzite fine de Kégashka de type 2	Quartzite	Fragment	4,4	1,75		2,49		0,87	Non	Non	NA	Fragment proximal de pièce bifaciale. Catalogué FMB dans Chapdelaine 1994.
528	Kégashka	EbCi-002			Surface	EbCi-2.58	EbCi-2.58	Pointe de projectile	Pointe de projectile	Formel	Biface	Quartz hyalin	Quartz hyalin	Quartz	Complet	7,7	5,07	1,77	2,07	0,69	0,79	Non	Non	2,57	Pointe de projectile à encoches en coin.
529	Kégashka	EbCi-005			13N-54E	EbCi-5.2	EbCi-5.2	Racloir	Racloir	Formel	Unifaces	Quartzite fin de Kégashka	Quartzite fine de Kégashka	Quartzite	Complet	1,8	2,46*		1,13*	1,13*	0,59	Non	Non	NA	Fragment de pièce retouchée unifacialement sur un bord. Racloir?. Catalogué comme grattoir dans Chapdelaine 1994.
530	Kégashka	EbCi-005			49N-65E	EbCi-5.11	EbCi-5.11	Éclat retouché	É utilisé/reto uché	Informel	Unifaces	Quartzite fin de Kégashka	Quartzite fine de Kégashka	Quartzite	Fragment	8	2,75*		2,4*		1,17	Non	Oui	NA	Fragment d'éclat retouché. Préforme?
531	Kégashka	EbCi-005			13N-55E	EbCi-5.3	EbCi-5.3	Biface	Biface	Formel	Biface	Quartzite fin de Kégashka	Quartzite fine de Kégashka	Quartzite	Fragment	17,3	3,54*		3,82*		1,32	Non	Non	NA	Fragment distal de pièce bifaciale. Le caractère asymétrique de la pièce pourrait laisser croire qu'il s'agit d'un couteau.
532	Kégashka	EbCi-005			13N-55E	EbCi-5.4	EbCi-5.4	Biface	Biface	Formel	Biface	Quartzite blanc enfumé	Quartzite blanc enfumé	Quartzite	Fragment	25,4	4,11		4,19		1,11	Non	Non	NA	Fragment mésial de pièce bifaciale
533	Kégashka	EbCi-005			13N-55E	EbCi-5.5	EbCi-5.5	Biface	Biface	Formel	Biface	Quartzite fin de Kégashka	Quartzite fine de Kégashka de type 2	Quartzite	Fragment	11,4	5,13	2,60	2,60	0,85	0,85	Non	Non	3,06	Petit biface.
534	Kégashka	EbCi-005			21N-27E	EbCi-5.8	EbCi-5.8	Pointe de projectile	Pointe de projectile	Formel	Biface	Quartzite fin de Kégashka	Quartzite fine de Kégashka de type 2	Quartzite	Complet	12,0	7,80	1,84	2,35	0,65	0,88	Non	Non	2,83	Pointe de projectile à pédoncule contractant. Taille très fine.
535	Kégashka	EbCi-005			3N-57E	EbCi-5.12	EbCi-5.12	Pointe de projectile	Pointe de projectile	Formel	Biface	Quartzite fin de Kégashka	Quartzite fine de Kégashka	Quartzite	Fragment	7,9	1,11*		1,00*		0,35*	Non	Non	NA	Fragment distal de pointe de projectile.
536	Kégashka	EbCi-007			10N-9E	EbCi-7.1	EbCi-7.1	Biface	Biface	Formel	Biface	Chert Mauve	Chert Mauve	Chert	Fragment	0,6	NA		NA		NA	Non	Non	NA	Fragment de pièce bifaciale. Fragment méso-io-latéral.
537	Kégashka	EbCi-007			12N-9E	EbCi-7.2	EbCi-7.2	Biface	Biface	Formel	Biface	Quartzite de Ramah	Quartzite de Ramah	Quartzite de Ramah	Fragment	0,3	NA		NA		NA	Non	Non	NA	Fragment portant un bord/tranchant taillé bifacialement.
538	Kégashka	EbCi-007			12N-9E	EbCi-7.3	EbCi-7.3	Biface	Biface	Formel	Biface	Quartzite EbCp	Quartzite EbCp	Quartzite	Fragment	2,4	NA		2,07*		0,62	Non	Non	NA	Fragment bifacial. Base de biface?
539	Kégashka	EbCi-007			12N-9E	EbCi-7.4	EbCi-7.4	Biface	Biface	Formel	Biface	Chert marbré gris-beige- mauve	Chert marbré gris-beige- mauve	Chert	Fragment	1,6	3,61*		1,18*		0,46	Non	Non	NA	Fragment de biface à base droite.
540	Kégashka	EbCi-007			11N-11E	EbCi-7.5	EbCi-7.5	Pointe de projectile	Pointe de projectile	Formel	Biface	Chert Mauve	Chert Mauve	Chert	Fragment	15,7	4,37	3,15	3,15*	1,05	1,05	Non	Non	3,00	Pointe de projectile (lance) avec encoches latérales.
541	Kégashka	EbCi-008				6	EbCh008.07	Ébauche	Biface	Formel	Biface	Quartz hyalin	Quartz hyalin	Quartz	Fragment	19,4	5,61	2,44	2,44*	1,64	1,67*	Non	Non	1,49	Fragment qui porte un tranchant bifacial. Vraisemblablement une ébauche bifaciale.
542	Kégashka	EbCi-008			21N-18E	EbCi-8.1	EbCi-8.1	Éclat retouché	É utilisé/reto uché	Informel	Unifaces	Quartz hyalin	Quartz hyalin	Quartz	Fragment	6,5	3,45		2,82		0,77	Non	Non	NA	Éclat retouché. Classé dans Chapdelaine 1994 comme un frag bifacial, mais la taille n'est qu'unifaciale.
543	Kégashka	EbCi-008			21N-18E	EbCi-8.2	EbCi-8.2	Éclat retouché	É utilisé/reto uché	Informel	Unifaces	Chert Mauve	Chert Mauve	Chert	Fragment	2,0	2,35*		1,86*		0,41	Non	Non	NA	Éclat retouché unifacialement pour former un front. Racloir?
544	Kégashka	EbCi-010			10S-3W	EbCi-10.1	EbCi-10.1	Biface	Biface	Formel	Biface	Chert marbré gris-noir	Chert marbré gris-noir	Chert	Fragment	2,2	NA	NA	NA	NA	NA	Non	Non	NA	Fragment proximal. Base de pointe de projectile à encoches vraisemblablement en coin. La cassure semble résulter de l'utilisation.
545	Kégashka	EbCi-010			RS-1	EbCi-10.5	EbCi-10.5	Couteau	Couteau	Formel	Biface	Quartzite Noui	Quartzite Noui	Quartzite	Complet	6,8	3,91	1,90	2,09	0,75	0,75	Non	Non	2,53	Couteau bifacial asymétrique, dos émoussé.
546	Kégashka	EbCi-010			RS-17	EbCi-10.7	EbCi-10.7	Biface	Biface	Formel	Biface	Quartzite EbCp	Quartzite EbCp	Quartzite	Fragment	3,2	2,6*	NA	1,54	NA	0,96	Non	Non	NA	Fragment distal de pointe de projectile. Il pourrait sagir d'une préforme comme le talon est toujours visible.
547	Kégashka	EbCi-010			RS-17	EbCi-10.9	EbCi-10.9	Biface	Biface	Formel	Biface	Quartzite de Ramah	Quartzite de Ramah	Quartzite de Ramah	Fragment	2,4	NA	NA	NA	NA	0,43	Oui	Non	NA	Fragment mésial de pièce bifaciale. Quartzite de Ramah que la chauffe à rendu blanchâtre et opaque?
548	Kégashka	EbCi-010			RS-17	EbCi-10.10	EbCi-10.10	Pointe de projectile	Pointe de projectile	Formel	Biface	Quartzite de Ramah	Quartzite de Ramah	Quartzite de Ramah	Fragment	3,6	3,15	2,45	2,45	0,36	0,38	Non	Non	6,81	Pointe de projectile sur éclat. Encoches latérales. Base très fracturée, cassée dans emmanchement/ en cours d'utilisation.
549	Kégashka	EbCi-010			5S-8W	EbCi-10.12	EbCi-10.12	Pointe de projectile	Pointe de projectile	Formel	Biface	Chert Mingan	Chert Mingan	Chert Mingan	Fragment	1,2	NA	NA	NA	NA	NA	Non	Non	NA	Fragment de base de pointe de projectile à encoches latérales.
550	Kégashka	EbCi-010			5S-8W	EbCi-10.13	EbCi-10.13	Biface	Biface	Formel	Biface	Quartzite EbCp	Quartzite EbCp	Quartzite	Fragment	0,4	NA	NA	NA	NA	NA	Non	Non	NA	Fragment proximal de biface à base droite.
551	Kégashka	EbCi-010			5S-9W	EbCi-10.51	EbCi-10.51	Biface	Biface	Formel	Biface	Quartzite blanc enfumé	Quartzite blanc enfumé	Quartzite	Fragment	20,6	5,33*	3,50	3,81	0,85	1,05	Non	Non	4,12	Fragment de biface .Couteau?

N	Secteur archéologique	Site	# collection	Aire	Provenance	# cat original	# analyse	Nom générique	Nom générique simplifié	Formel vs informel	Type	Matière simplifiée finale	Matériau	Type Matériau	Intégrité	Poids	Longueur	Largeur%	Largeur max	Épaisseur%	Épaisseur max	Chauffe	Cortex	W/T ratio	Description
552	Kégashka	EbCi-010			10S-3W	EbCi-10.2	EbCi-10.2	Coin	Coin	Informel	Unifaces	Quartz hyalin	Quartz hyalin	Quartz	Complet	2,9	1,70		1,68		0,80	Non	Non	NA	Pièce esquillée (coin).
553	Kégashka	EbCi-010			Lobe est	EbCi-10.3	EbCi-10.3	Éclat retouché	É.utilisé/reto uché	Informel	Unifaces	Chert gris moutonné	Chert gris moutonné	Chert	Fragment	1,0	1,8*		1,46*		0,43	Non	Non	NA	Fragment d'éclat retouché présentant 2 EU. Pièce encochée à fonction indéterminée.
554	Kégashka	EbCi-010			Carré 3	EbCi-10.4	EbCi-10.4	Éclat utilisé	É.utilisé/reto uché	informel	Unifaces	Chert Mingan Quartzite	Chert Mingan Quartzite Noui	Chert Mingan	Complet	0,5	2,21		1,17		0,18	Non	Non	NA	Éclat utilisé.
555	Kégashka	EbCi-010			RS-1	EbCi-10.6	EbCi-10.6	Grattoir	Grattoir	Formel	Unifaces				Fragment	11,0	2,98*		2,62		1,01	Non	Non	NA	Fragment distal de grattoir.
556	Kégashka	EbCi-010			RS-17	EbCi-10.8	Ebci-10.8	Racloir	Racloir	Formel	Unifaces	Quartzite de Blanc-Sablons	Quartzite de Blanc-Sablons	Quartzite	Complet	27,5	6,19		3,54		1,21	Non	Non	NA	Racloir sur éclat aménagé. Catalogué comme pièce bifaciale dans Chapdelaine 1994. Pourtant on observe aucun enlèvements sur la face ventrale de la pièce. La présence d'un bord aménagé nous laisse plutôt l'impression qu'il s'agit d'un racloir. Talon éclaté.
557	Kégashka	EbCi-010			4S-8W	EbCi-10.11	EbCi-10.11	Grattoir	Grattoir	Formel	Unifaces	Chert Mingan	Chert Mingan	Chert Mingan	Complet	4,7	2,85		2,26		0,69	Non	Oui	NA	Grattoir-racloir en Chert de Mingan. Présence de cortex sur toute l'extrémité proximale. Talon cortical.
558	Kégashka	EbCi-010			6S-8W	EbCi-10.14	EbCi-10.14	Éclat retouché	É.utilisé/reto uché	Informel	Unifaces	Chert Mingan	Chert Mingan	Chert Mingan	Fragment	1,8	1,67*		1,4*		0,64	Non	Non	NA	Fragment d'éclat retouché. Pièce très fragmentaire.
559	Kégashka	EbCi-010			Lobe est	EbCi-10.16 (1	EbCi-10.16.00	Éclat utilisé	É.utilisé/reto uché	informel	Unifaces	Chert rhyolitique noir	Chert rhyolitique noir	Chert	Fragment	0,8	2,1*		1,43*		0,25	Non	Non	NA	Fragment d'éclat utilisé. Non catalogué.
560	Kégashka	EbCi-010			Lobe est	EbCi-10.16	EbCi-10.16.00	Éclat utilisé	É.utilisé/reto uché	informel	Unifaces	Quartzite de Ramah	Quartzite de Ramah	Quartzite de Ramah	Fragment	0,8	1,88*		1,81*		0,16	Non	Non	NA	Fragment d'éclat utilisé. Non catalogué.
561	Kégashka	EbCi-010			RS-1	EbCi-10.30	EbCi-10.30.00	Fragment retouché	Indéterminé	Informel	Unifaces	Quartzite EbCp	Quartzite EbCp	Quartzite	Fragment	34,3	7,16		3,26		1,26	Non	Non	NA	Fragment retouché. Aucune trace d'utilisation ou bords actifs. Non catalogué.
562	Kégashka	EbCi-010			Rs-17	EbCi-10.34 (1	EbCi-10.34.01	Éclat utilisé	É.utilisé/reto uché	informel	Unifaces	Quartzite de Ramah	Quartzite de Ramah	Quartzite de Ramah	Fragment	0,6	1,14*		1,65		0,29	Non	Non	NA	Fragment d'éclat utilisé. Non catalogué.
563	Kégashka	EbCi-010			5S-11W	EbCi-10.55	EbCi-10.55	Coin	Coin	Informel	Unifaces	Quartz Hyalin	Quartz cristallin	Quartz	Complet	1,8	2,36		1,25		0,57	Non	Non	NA	Coin aménagé sur fragment de quartz cristallin.
564	Kégashka	EbCi-010			8S-5W	EbCi-10.70	EbCi-10.70.00	Éclat retouché	É.utilisé/reto uché	Informel	Unifaces	Quartz hyalin	Quartz hyalin	Quartz	Fragment	2,7	2,18*		1,41*		0,75	Non	Non	NA	Fragment d'éclat retouché.
565	Rivière Romaine	EdCt-001			S-2	EdCt-001.2	EdCt-001.2	Burin	É.utilisé/reto uché	Informel	Unifaces	Quartz hyalin avec inclusions brunes	Quartz hyalin avec inclusions brunes	Quartz	Complet	3,3	2,45	1,18	1,29		0,81	Non	Non	NA	Burin
566	Rivière Romaine	EiCw-002			S-1	EiCw-2.1	EiCw-2.1	Éclat retouché	É.utilisé/reto uché	Informel	Unifaces	Quartzite blanc-brunâtre	Quartzite blanc-beige	Quartzite	Fragment	20,2	6,17		3,15		1,72	Non	Oui, galet	NA	Fragment retouché. Sur éclat, ébauche bifaciale
567	Rivière Romaine	EiCw-009			S-1	EiCw-4.9	EiCw-4.9	Éclat retouché	É.utilisé/reto uché	Informel	Unifaces	Chert gris-verdâtre (fosse Lab)	Chert noir-verdâtre	Chert	Fragment	11,7	3,50		2,95		0,97	Non	Non	NA	Fragment d'éclat retouché. La portion active de la pièce ne figure pas sur ce fragment.
568	Rivière Romaine	EjCw-004			Surface	EjCw-4.1	EjCw-4.1	Grattoir	Grattoir	Formel	Unifaces	Chert Mingan	Chert Mingan	Chert Mingan	Complet	10,0	3,79	2,80	2,86	0,97	0,97	Non	Non	NA	Grattoir sur éclat détaché à partir d'un galet
569	Rivière Romaine	EjCw-005			S-1	EjCw-5.6	EjCw-5.6	Pointe de projectile	Pointe de projectile	Formel	Biface	Chert gris laminé	Chert gris laminé	Chert	Fragment	1,13	1,94*		1,63*		0,49*	Non	Non	NA	Fragment distale de pointe de projectile
570	Rivière Romaine	EkCw-004			S-9	EkCw-4.12	EkCw-4.12	Biface	Biface	Formel	Biface	Chert rhyolitique noir	Chert rhyolitique noir	Chert	Fragment	1,2	2,16	2,16	1,34	1,34	0,55	Non	Non	1,61	Fragment latéral d'une pièce bifaciale
571	Rivière Romaine	EkCw-006				EkCw-6.1/6.2	EkCw-6.1	Grattoir	Grattoir	Formel	Unifaces	Quartz hyalin	Quartz hyalin	Quartz	Complet	17,7	3,55	3,89	3,89	1,00	1,00	Non	Non	NA	Grattoir. Réaménagement de l'outil en détachant le front grattant. Possible utilisation secondaire comme burin
572	Rivière Romaine	EiCw-005			S-1	EiCw-5.1	EiCw-5.1	Éclat utilisé	É.utilisé/reto uché	informel	Unifaces	Chert Mingan	Chert Mingan	Chert Mingan	Complet	1,7	2,3		1,65		0,55	Non	Non	NA	Éclat utilisé.
573	Rivière Romaine	EiCw-006			S-1	EiCw-6.1	EiCw-6.1	Burin	É.utilisé/reto uché	Informel	Unifaces	Chert vert lustré	Chert vert lustré	Chert	Complet	7,1	3,44	2,07	2,1	1,11	1,11	Non	Oui	NA	Burin sur éclat, présence de cortex en position proximale
574	Rivière Romaine	EiCw-008			S-2	EiCw-8.22	EiCw-8.22	Pointe de projectile	Pointe de projectile	Formel	Biface	Quartzite fine de Kégashka	Quartzite fine de Kégashka de type 2	Quartzite	Complet	2,3	3,9	1,8	1,8	0,35	0,35	Non	Non	5,14	Pointe de projectile sur éclat
575	Rivière Romaine	EiCw-008			S-4	EiCw-8.28	EiCw-8.28	Pointe de projectile	Pointe de projectile	Formel	Biface	Quartzite fine de Kégashka	Quartzite fine de Kégashka de type 2	Quartzite	Complet	3,31	3,03	2,01	2,01	0,53	0,53	Non	Non	3,79	Pointe de projectile sur éclat

Figure 75: Distribution géographique des sites où figure le chert mauve

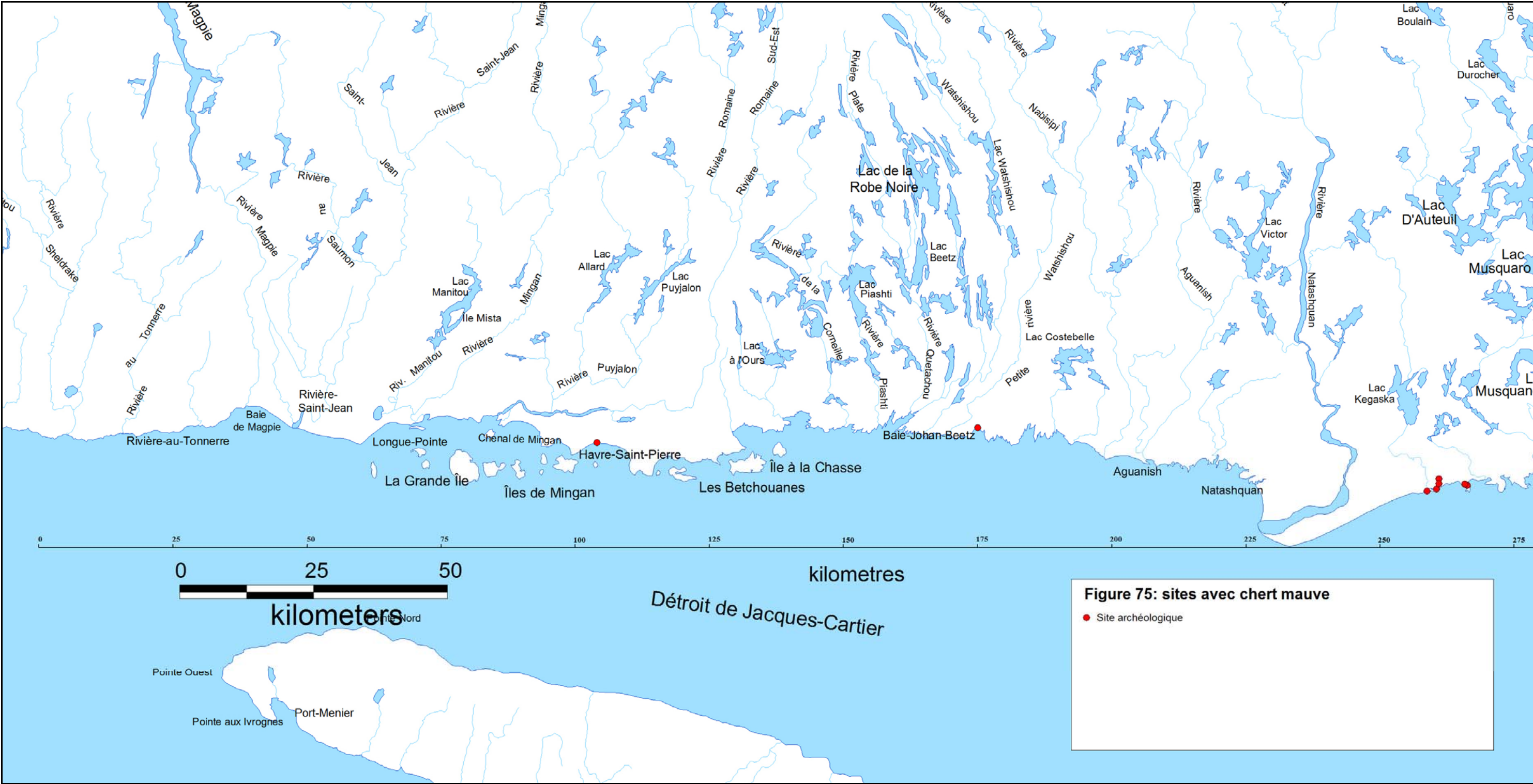


Figure 76: Distribution géographique des sites où figure le chert marbré gris-beige mauve

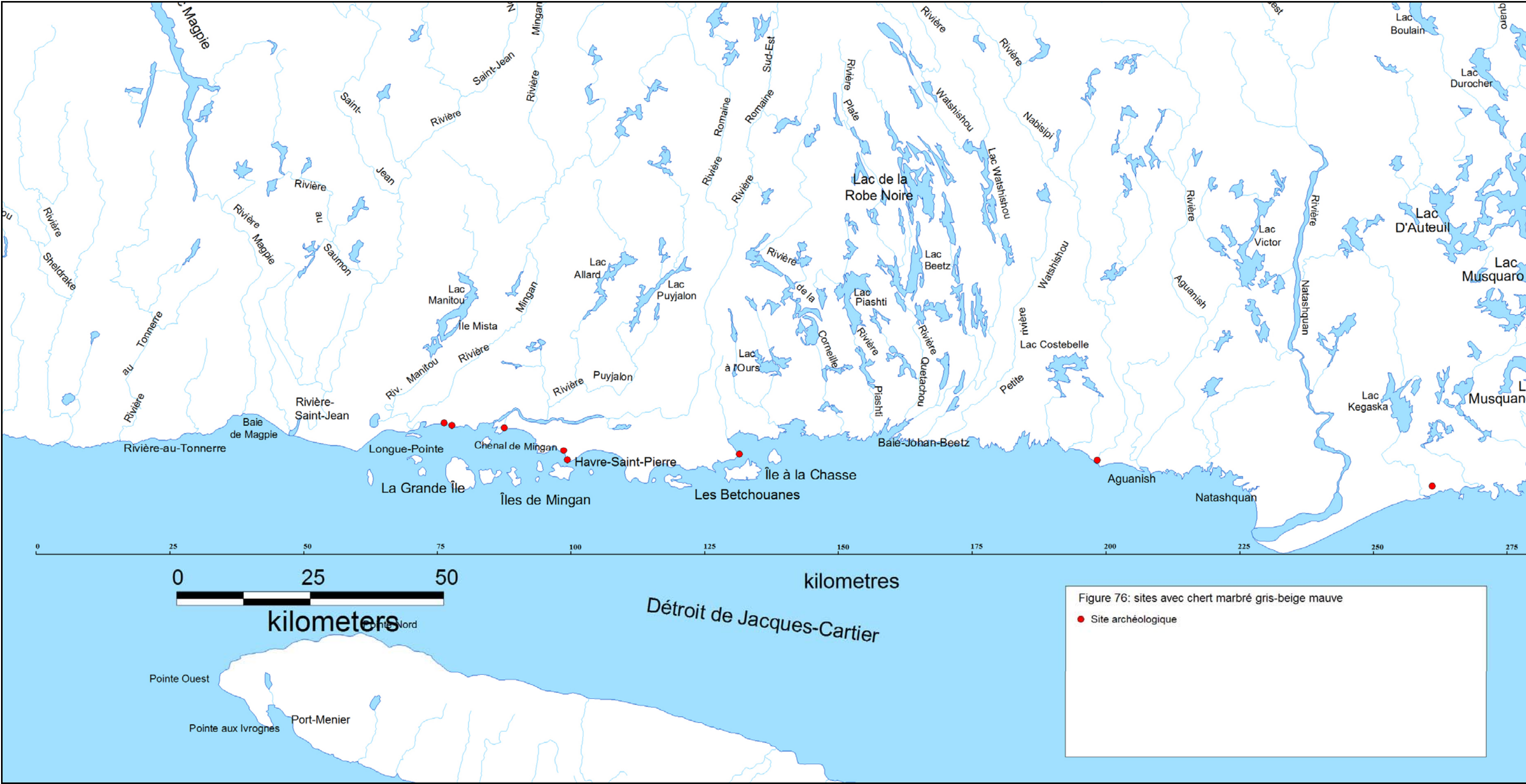
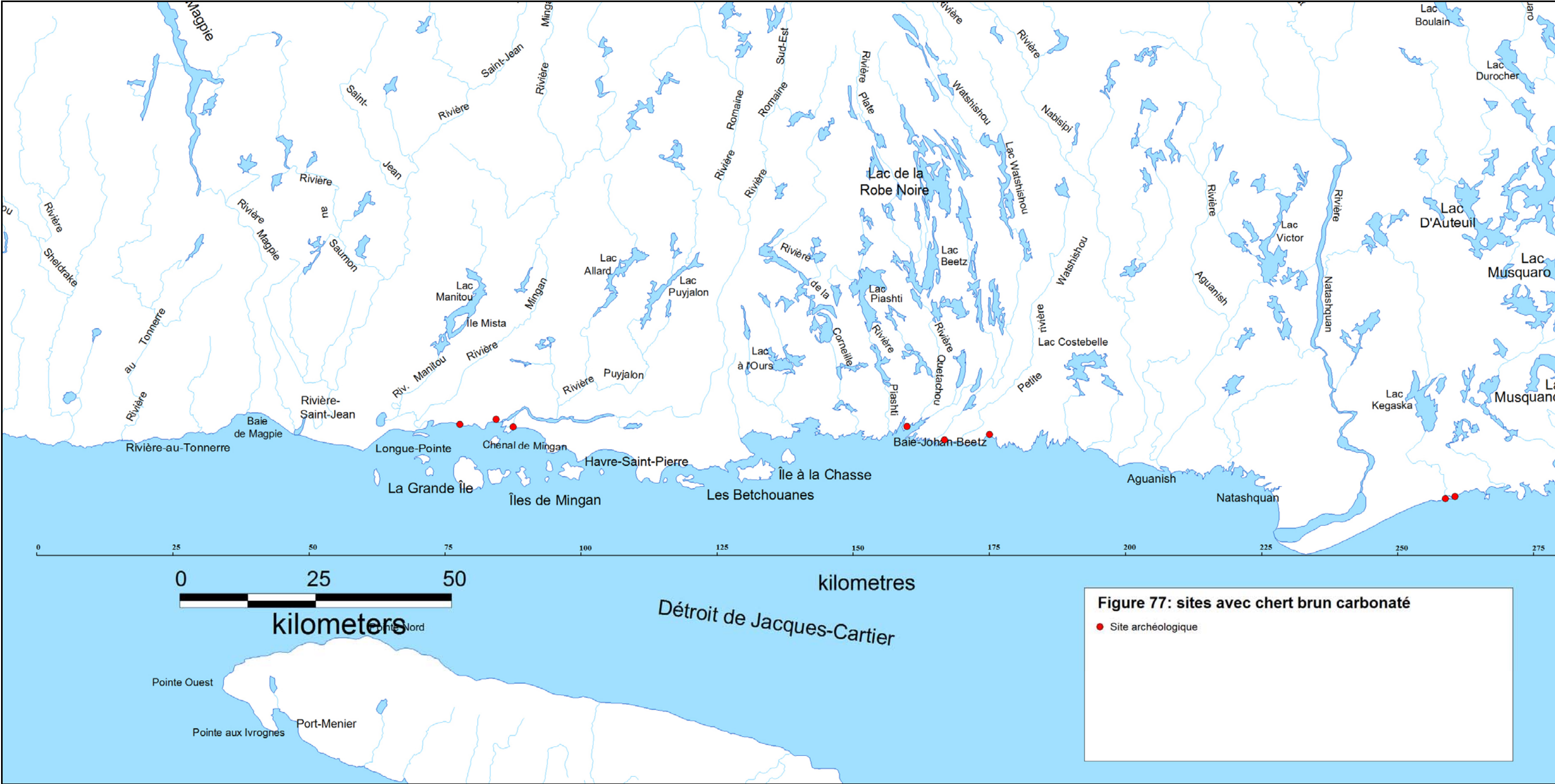


Figure 77: Distribution géographique des sites où figure le chert brun carbonaté



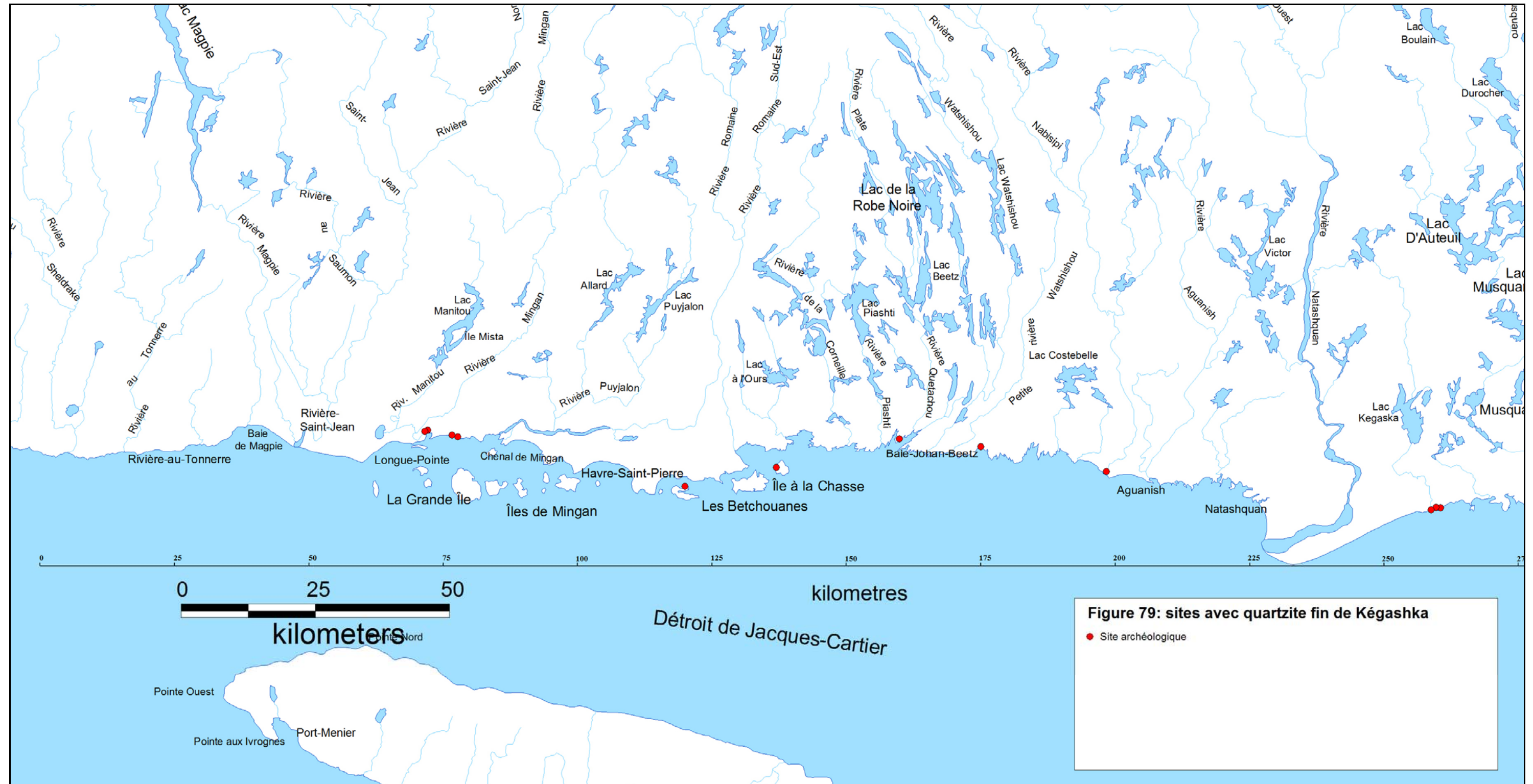


Figure 80: Distribution géographique des sites où figure le chert rhyolitique noir

